

ANASTASE PRUTU
ION DRAGOMIR
DUMITRU CATANĂ

GHEORGHE UZUNOV
ELENA DINU
TEODOR POPA

MANUALUL OFITERULUI MECANIC MARITIM

Vol .II

Coordonatori:
Anastase Pruiu, Gheorghe Uzunov



EDITURA TEHNICĂ
București, 1998

Copyright © 1998, S.C. ~~Editura~~ **Tehnică S.A.**

Toate drepturile asupra acestei ediții sunt rezervate editurii

Adresa: S.C. EDITURA **TEHNICĂ** S.A.

Piața Presei Libere, 1

33 București, România

Cod 71341

Redactor: ing. Maria Antoinette Ionescu

Tehnoredactor: Diana Jilavu

Editare computerizată: Voichita Pruiu

Laura Alexe

Coperta: Simona Dumitrescu

Bun de tipar: 1998 Coli tipo: 11,5

C.Z.U.: 629.12

ISBN: 973-31-1057-4

ISBN: 973-31-1266-6

Tiparul executat la tipografia „Goliat” Constanta

PREFAȚA

Cartea este rezultatul experienței **didactice, științifice** și activității practice la bordul navelor a autorilor care **activează** în Academia Navală “**Mircea cel Bătrân**”, Centrul de Perfecționare a Personalului din Marina Civilă **Constanța**, Inspectoratul Navigației Civile, Institutul de Marină Civilă.

Concepția și ordonarea materialului prezentei lucrări se bazează, cu precădere, pe aspectele principale și generale ale posibilității de exploatare în condiții de siguranță a mașinilor, mecanismelor, sistemelor și instalațiilor navale.

Activitatea de exploatare a motoarelor, mașinilor și instalațiilor navale impune ofițerilor mecanici o pregătire teoretică și practică **multidisciplinară**, cunoștințe teoretice de bază privind principiile de funcționare ale mașinilor și instalațiilor, metode de măsurare a mărimilor fizice, analiza datelor și interpretarea rapidă a rezultatelor.

Documentația de exploatare a mașinilor cuprinde reguli, instrucțiuni și date tehnice specifice, iar pentru interpretarea lor rapidă și **corectă** este necesară o informare tehnică continuă.

Activitatea de exploatare a **motoarelor**, mașinilor, agregatelor și instalațiilor de la bordul navelor este puternic influențată de următorii factori:

Complexitatea- datorată numărului mare de tipuri de motoare, mașini, agregate, dispozitive și instalații montate în compartimentul mașini sau pe puntea principală, cu parametri funcționali ridicați și **dimensiuni** geometrice mari, a căror funcționare are la bază diverse principii **termotehnice**, mecanice, hidraulice etc.

Factorul economic- impus de armatori privind economia de combustibil, de apă, de **lubrifianți**, precum și de reducerea cheltuielilor legate de plata echipajelor și a **condițiilor** de muncă la bordul navelor. La unele nave, armatorii au redus numărul de membri ai echipajului până la limita de siguranță, impunând sarcini sporite.

Condițiile hidrometeorologice- existente în natură în diversele puncte cardinale în care se află nava.

Factorul uman- legat de pregătirea profesională a echipajului și de durata voiajelor între una și **unsprezece** luni de navigație.

S-a dovedit că pentru **această** activitate desfășurată la bordul navei în condiții de ruliu, **tangaj, zgomote, vibrații**, gaze și temperaturi ridicate este necesară o **pregătire multidisciplinară complexă**, o condiție fizică bună și un moral ridicat.

Această carte este **adresată**, în principal, ofițerilor mecanici care își petrec o bună parte din viață la **bordul** navelor, prin a căror pricepere tehnică și stăpânire de sine supraveghează instalațiile, fac reparații complexe, mențin navele în condiții de vitalitate, asigurând prin aceasta transporturi **importante** de mărfuri și de pasageri între diverse porturi ale lumii.

Pentru a **stăpâni** această tehnică **deosebit de complexă**, ofițerilor mecanici li se impun condiții de pregătire superioare, marcate de examenele de brevet la un număr mare de discipline fundamentale și de specialitate.

Manualul cuprinde două volume. În primul volum sunt cuprinse următoarele capitole: **matematică, termodinamică tehnică, rezistența materialelor, desen tehnic, organe de mașini, motoare navale, căldări de abur saturat și supraîncălzit, mașini cu abur cu piston**, caracteristicile de exploatare ale apei tehnice, combustibililor navali și **lubrifiantilor** utilizați la mașinile și agregatele **navale**. În finalul **primului** volum sunt prezentate cele mai importante acorduri internaționale și regionale privind introducerea **I.S.M. (International System Management)** și **P.C.S. (Port Control State)** pentru construcția, exploatarea și **inspecția** instalațiilor navale precum și pentru pregătirea profesională și conduita socială a echipajului.

Volumul H cuprinde următoarele capitole: turbine cu abur, turbine cu gaze, pompe, conducte, armături, compresoare de aer, instalația de aer comprimat, instalații frigorifice, instalația de ambarcare și transfer combustibil, separatoare de combustibil și de ulei, instalații de stins **incendiu**, instalații de spălare tancuri de marfă de la tancurile petroliere, instalația de gaz inert. Capitolul 12, din volumul U prezintă codul tehnic privind emanația de noxe de la motoarele navale, ce urmează a fi implementat **începând** cu anul 1999 și introdus în forță începând cu anul 2000.

Cartea se adresează ofițerilor mecanici maritimi, ofițerilor mecanici fluviali, ofițerilor maritimi de punte, inginerilor mecanici din șantierele navale, specialiștilor de la companiile de navigație, studenților din învățământul superior de marină.

Mulțumim doamnei **Vochița Pruiu** și doamnei **Laura Alexe**, pentru **tehno-redactarea** computerizată a cărții.

CUPRINS

I. TURBINE CU ABUR	15
1.1. Principiul de funcționare	15
1.2. Clasificarea turbinelor cu abur	16
1.3. Procesul termic din turbine	17
1.4. Turbina cu acțiune cu o singură treaptă	18
1.5. Puterile, randamentele și consumurile de abur ale turbinelor	21
1.6. Sisteme de reglaj ale turbinelor	24
1.7. Turbopompa de balast	26
1.7.1. Echipamentul de reglaj-protecție ungere	27
1.7.2. Parametrii funcționali ai sistemului de reglaj, protecție, ungere	27
1.7.3. Reductorul de turație	28
1.7.4. Transmisia cardanică	28
1.7.5. Pompa de balast	28
1.7.6. Instalația de automatizare	28
1.8. Turbopompa de raarfl	29
1.8.1. Echipamentul de reglaj-protecție ungere	29
1.8.2. Parametrii funcționali ai sistemului de reglaj, protecție, ungere	29
1.8.3. Reductorul de turație	30
1.8.4. Transmisia cardanică	30
1.8.5. Pompa de marfă	30
1.8.6. Instalația de automatizare-control	31
Bibliografie	32
2. TURBINE CU GAZE	33
2.1. Generalități	33
2.2. Ciclul de funcționare al instalațiilor de turbine cu gaze	33
2.2.1. Ciclul instalațiilor de turbine cu gaze cu ardere la volum constant	34
2.2.2. Ciclul instalațiilor de turbine cu gaze cu ardere la presiune constantă	37
2.2.3. Ciclul instalațiilor de turbine cu gaze cu recuperatoare de căldură	39
2.2.4. Ciclul instalațiilor de turbine cu gaze cu comprimare și destindere izotermă și cu recuperare totală	40
2.2.5. Ciclul instalațiilor de turbine cu gaze cu răcirii și încălziri intermediare	41
2.3. Principale componente ale instalațiilor de turbine cu gaze	43
2.3.1. Turbine cu gaze	43
2.3.2. Compresorul de aer	44
2.3.3. Camera de ardere	47
Bibliografie	54
3. POMPE. CONDUCTE. ARMĂTURI. GARNITURI	55
3.1. Generalități	55
3.2. Fluide utilizate la bordul navelor	55
3.3. Clasificarea generatoarelor hidraulice	56
3.3.1. Pompe volumice	57

3.3.2. Pompe hidrodinamice	57
3.3.3. Pierderile în pompe	57
3.4. Pompe cu piston	58
3.4.1. Generalități	58
3.4.2. Clasificarea pompelor cu piston clasice	59
3.4.3. Construcție și funcționare	60
3.4.3.1. Pompa simplex cu simplu efect	60
3.4.3.2. Pompa cu dublu efect	61
3.4.4. Parametrii pompelor cu piston	62
3.4.4.1. Presiune maximă	62
3.4.4.2. Înălțimea de aspirație	62
3.4.4.3. Debit, cilindree, randament volumic	62
3.4.4.4. Putere	63
3.4.4.5. Momente	63
3.4.4.6. Randament global	63
3.4.4.7. Cinematica pompelor cu piston clasice	64
3.4.5. Exploatarea pompelor cu piston clasice	66
3.4.5.1. Exploatarea și întreținerea pompelor cu piston clasice	66
3.4.5.2. Jocuri și uzuri admisibile la pompele cu piston	67
3.4.6. Pompele cu pistonase radiale	67
3.4.6.1. Generalități	67
3.4.6.2. Construcție și funcționare	68
3.4.6.3. Determinarea debitului mediu	68
3.4.6.4. Determinarea debitului instantaneu	69
3.4.7. Pompa cu pistonase axiale	70
3.4.7.1. Generalități	70
3.4.7.2. Calculul debitului	70
3.5. Pompe volumice cu mișcare de rotație	71
3.5.1. Pompe cu angrenaje	72
3.5.1.1. Principiul de funcționare	72
3.5.1.2. Calculul debitului	73
3.6. Pompe cu șurub	74
3.6.1. Pompe cu șurub cu profil cicloridal	74
3.6.2. Pompe cu șurub neetanșe	74
3.6.3. Exploatarea pompelor volumice cu mișcare de rotație	75
3.7. Pompe centrifuge, diagonale și axiale	76
3.7.1. Clasificare	76
3.7.2. Construcție și funcționare	77
3.7.3. Construcția etanșărilor mobile utilizate la pompe	78
3.7.4. Ecuațiile fundamentale ale pompelor hidrodinamice	79
3.7.5. Exploatarea turbopompelor	81
3.7.5.1. Pornirea și oprirea agregatelor	81
3.7.5.2. Defectele turbopompelor	82
3.7.5.3. Reglarea debitului	82
3.7.5.4. Funcționarea pompelor în paralel	83
3.7.5.5. Funcționarea pompelor în serie	84
3.8. Pompe cu inel de lichid	85
3.9. Pompe cu membrană	86
3.10. Pompe cu palete glisante	86
3.11. Pompe cu jet	87
3.11.1. Pompe cu jet de abur	87

3.11.2. Pompe cu jet de apă	90
3.12. Conducte	92
3.12.1. Generalități	92
3.12.2. Elemente de calcul de verificare	93
3.12.3. Sisteme de îmbinare a conductelor	94
3.13. Armături	96
3.13.1. Clasificarea armăturilor	96
3.13.2. Elementele principale ale unei armături	97
3.13.3. Materialele utilizate în construcția armăturilor	101
3.13.4. Reguli principale pentru montarea și demontarea armăturilor	101
3.14. Garnituri folosite în instalațiile navale	102
<i>Bibliografie</i>	104
4. COMPRESOARE	105
4.1. Generalități, clasificare, mărimi caracteristice	105
4.2. Compresoare cu piston	105
4.2.0. Construcția compresoarelor cu piston	105
4.2.1. Dimensiunile principale și debitul compresorului	109
4.2.2. Calculul coeficientului global de debit	110
4.2.3. Calculul dimensiunilor principale ale compresoarelor monoetajate	111
4.2.4. Puteri și randamente	112
4.2.5. Răcirea corapresoarelor	113
4.2.6. Distribuția corapresoarelor cu piston	114
4.2.7. Rezervorul tampon	115
4.2.7.1. Dimensionarea buteliilor de aer de lansare motor principal	115
4.2.8. Reglarea debitului	116
4.2.9. Acționarea compresoarelor	117
4.3. Corapresoare, suflante și pompe de vid volumice rotative	117
4.3.1. Generalități	117
4.3.2. Compresoare și pompe de vid multicelulare	118
4.3.3. Compresoare Roots	120
4.3.4. Compresoare elicoidale	121
4.3.5. Suflante cu rotor de distribuție	123
4.4. Corapresoare și suflante centrifuge	124
4.5. Ventilatoare	125
4.5.1. Generalități	125
4.5.2. Ventilatoare centrifuge	125
4.5.3. Ventilatoare axiale	127
4.5.4. Încercarea ventilatoarelor	127
4.6. Analiza defecțiunilor compresoarelor constatate în diagrama indicată	129
<i>Bibliografie</i>	131
5. INSTALAȚIA DE AER COMPRIMAT	132
5.1. Introducere	132
5.2. Instalația de producere a aerului comprimat	132
5.3. Rețeaua de conducte	133
5.4. Măsurile generale pentru întreținerea instalațiilor pneumatice	134
5.4.1. Operații de întreținere zilnice	134
5.4.2. Operații de întreținere săptămânale	134

5.4.3. Operații de întreținere lunare	134
5.4.4. Operații de întreținere bianuale	134
5.5. Dimensionarea conductelor	135
5.6. Prepararea aerului instrumental	137
Bibliografie	140
6. INSTALAȚII FRIGORIFICE	141
6.1. Introducere	141
6.2. Termodinamica în timp finit a ciclurilor inversate	143
6.2.1. Cazul instalațiilor frigorifice	143
6.3. Proprietățile termodinamice și termofizice ale agenților analizați	149
6.3.1. Agenți frigorifici și presiuni de calcul(conf. R\NR)	149
6.3.2. Agenți frigorifici acceptați ecologic	149
6.3.3. Fluide frigorifice a căror producție este interzisă după 31.12.1994	150
6.3.4. Fluide frigorifice a căror producție încetează în 2014	150
6.3.5. Fluide frigorifice înlocuitoare	150
6.4. Particularități de utilizare a agenților frigorifici	151
6.5. Proprietățile termodinamice ale agenților frigorifici	152
6.5.1. Proprietățile termodinamice ale amoniacului R717	152
6.5.2. Proprietățile termodinamice ale freonului R12	154
6.5.3. Proprietățile termodinamice ale freonului R22	156
6.5.4. Proprietățile termodinamice ale freonului R502	159
6.5.5. Proprietățile termodinamice ale freonului R134a	162
6.5.6. Proprietățile termodinamice ale freonului R40SA	166
6.5.7. Proprietățile termodinamice ale freonului R409A	167
6.6. Funcționarea reală a instalațiilor frigorifice.Coefficienți de lucru	168
6.6.1. Funcționarea reală a instalațiilor frigorifice cu compresie mecanică	168
de vapori	
6.6.1.1 Influența spațiului vătămător	168
6.6.1.2 Influența laminării prin supape	173
6.7 Analiza exergetică a proceselor din compresorul frigorific cu piston	175
6.8 Exploatarea instalațiilor frigorifice	179
6.8.1 Vaporizatoare	179
6.8.2 Defecțiuni ce pot apărea în exploatarea instalațiilor frigorifice	181
6.8.3 Deranjamente provocate de prezenta umidității în agentul frigorific	185
Bibliografie	186
7. INSTALAȚIA DE AMBARCARE ȘI TRANSFER COMBUSTIBIL	187
7.1. Stabilirea cantităților de combustibil necesare	187
7.2. Componenta instalației de amarcare și transfer combustibil	189
Bibliografie	192
8.SEPARATOARECENTRIFUGALE	193
8.1. Generalități	193
8.1. Principii de funcționare	193
8.3. Alegerea corectă a discului gravitațional	194
8.3.1 Determinarea analitică	194
8.3.2 Alegerea discului gravitațional cu ajutorul diagramelor	196

S.3.3 Selectarea prin încercări succesive	197
8.4 Elemente componente ale unui separator	198
8.5 Purificarea și clarificarea la un separator fără autodescărcare	200
8.6 Separatorul cu autodescărcare	202
8.6.1 Principiul de funcționare	202
8.6.2. Acționarea hidraulică a descărcării	203
8.7. Automatizarea procesului de separare	204
8.7.1. Posibilități de automatizare	204
8.7.2. Instalația de automatizare a procesului de separare	204
S.S. Reguli de exploatare. Defecțiuni, cauze și remedierea lor	207
<i>Bibliografie</i>	210
9. INSTALAȚII DE STINGERE INCENDII	211
9.1. Generalități	211
9.1.1. Cerințe ale instalațiilor de stins incendiu	212
9.1.2. Mijloace de prevenire a incendiilor la bordul navei	212
9.2. Instalații de stins incendiu cu apă	213
9.2.1. Instalația de stins incendiu cu jet de apă	214
9.2.1.1. Tubulaturile	215
9.2.1.2. Hidranții	215
9.2.1.3. Calculul instalației	216
9.2.1.4. Parametrii funcționali ai instalației	218
9.2.2. Instalații de stins incendiu cu apă pulverizată	220
9.2.2.1. Calculul instalației	222
9.3. Instalații de stins incendiu cu lichide volatile	223
9.4. Instalații de stins incendiu cu pulberi	225
9.4.1. Calculul instalației	227
9.5. Instalația de stins incendiu cu spumă	227
9.5.1. Calculul instalației	229
9.6. Instalații de stins incendiu cu dioxid de carbon	230
9.6.1. Calculul instalației	231
<i>Bibliografia</i>	234
10. INSTALAȚIA DE SPĂLARE TANCURI DE MARFA	235
10.1. Generalități privind spălarea tancurilor petroliere	235
10.1.1. Spălarea tancurilor într-o atmosferă de dp A	236
10.1.2. Spălarea tancurilor într-o atmosferă de tip B	236
10.1.3. Spălarea tancurilor într-o atmosferă inertă de tip C	237
10.1.4. Spălarea tancurilor într-o atmosferă suprasaturată de tip D	237
10.2. Spălarea tancurilor de marfă cu apă de mare rece	237
10.3. Instalația de spălare a tancurilor de marfă cu apă de mare caldă	238
10.4. Spălarea cu petrol (COW)	240
10.5. Instalația de spălare cu țitei a tancurilor de marfa	241
10.6. Drenarea cargotancurilor	245
10.7. Metode și proceduri pentru drenare	246
10.8. Inspectarea și întreținerea echipamentului	246
<i>Bibliografia</i>	247
	248

11. INSTALAȚIA DE GAZ INERT	248
11.1. Introducere	248
11.1.1. Reducerea riscurilor de foc și explozie pentru tancurile petroliere și produse chimice	248
11.1.2. Definiții	249
11.2. Noțiuni generale	251
11.2.1. Compoziția și caracteristicile amestecului gazos hidrocarburi-aer	251
11.2.2. Inflamabilitatea amestecurilor HC gaz-aer-gaz inert	251
11.2.3. Gaze inerte folosite în prevenirea și stingerea incendiilor	252
11.2.4. Producerea gazelor inerte	253
11.2.5. Calitatea gazului inert obținut din gazele de ardere	257
11.2.6. Metode de înlocuire a gazelor din tancurile de marfă	258
11.2.7. Cerințe impuse instalațiilor de gaz inert	260
11.3. Componenta sistemului de gaz inert obținut din gaze de ardere	261
11.3.1. Priza de gaze de ardere	262
11.3.2. Absorberul (scrubberul)	263
11.3.3. Grupul de ventilatoare	266
11.3.4. Valvulă pentru reglarea presiunii	267
11.3.5. Supapa hidraulică (blocajul hidraulic)	268
11.3.6. Valvulă unisens (de reținere)	270
11.3.7. Supapa de presiune/ vacuum	271
11.3.8. Valvule de presiune/ vacuum	272
11.4. Dispozitive de măsură, reglaj și siguranță	272
11.4.1. Controlul concentrației gazelor	274
11.4.1.1. Analizoare de oxigen	274
11.4.1.2. Indicatoare de hidrocarburi	275
11.5. Pornirea și oprirea instalației de gaz inert	276
11.6. Folosirea gazului inert la operații efectuate în tancurile de marfă	279
11.7. Întreținerea și verificarea sistemului de gaz inert	279
<i>Bibliografie</i>	281
 12 CODUL TEHNIC PRIVIND EMANAȚIA DE OXIZI DE AZOT DE LA MOTOARELE DIESEL NAVALE	 282
12.1 Introducere	282
12.2 Generalități	283
12.2.1 Scopul	283
12.2.2. Aplicarea	283
12.2.3. Definiții	283
12.3 Inspecții și certificare	285
12.3.1 Generalități	285
12.3.2 Procedee pentru precertificarea unui motor	286
12.3.3 Procedee pentru certificarea unui motor	287
12.3.4 Fișa tehnică și mijloacele de verificare	288
12.4. Norme privind emanația de NO_x	290
12.4.1 Limite maxime admisibile pentru emanațiile de NO_x de la motoarele navale	290
12.4.2 Ciclurile de încercare și factorii de presiune ce trebuie aplicați	290
12.5 Aprobarea privind fabricarea în serie a motoarelor; concepte de familie și grup de motoare	293

12.5.1 Generalități	293
12.5.2 Documentație	293
12.5.3 Aplicația privind conceptul de familie de motoare	293
12.5.4 Linii directe pentru alegerea familiei de motoare	294
12.5.5 Linii directe pentru alegerea motorului variantă de bază dintr-o familie de motoare	295
12.5.6 Certificarea familiei de motoare	296
12.5.7 Aplicarea conceptului de grup de motoare	297
12.5.8 Linii directe pentru alegerea unui grup de motoare	297
12.5.9 Linii directe privind reglările sau modificările din cadrul unui grup de motoare	293
12.5.10 Linii directe privind alegerea motorului variantă de bază dintr-un grup de motoare	299
12.6 Procedee cu privire la măsurătorile de emanații de NO_x efectuate pe un stand de încercare	299
12.6.1 Generalități	299
12.6.2 Condiții de încercare	300
12.6.3 Combustibili de încercare	301
12.6.4 Echipament de măsurare	301
12.6.5 Determinarea debitului de gaze arse evacuate	302
12.6.6 Abaterile admisibile ale dispozitivelor de măsurare a parametrilor caracteristici ai motorului și ai altor parametri esențiali	302
12.6.7 Analiză pentru determinarea componentelor gazoase	302
12.6.8 Calibrarea aparatelor analitice	303
12.6.9 Încercarea la funcționare	303
12.6.10 Raportul încercării	304
12.6.11 Evaluarea datelor privind emanația de gaze	304
12.6.12 Calcularea emanațiilor gazoase	305
12.7 Proceduri privind demonstrarea conformității cu limitele de emanații de NO_x la bordul navelor	308
12.7.1 Generalități	308
12.7.2 Metoda de verificare a parametrilor motorului	308
12.7.3 Metoda de măsurare simplificată	311
12.8 Anexe	314
12.8.1 Supliment la certificatul internațional al motorului privind prevenirea poluării aerului (Certificat ELAPP)	314
12.8.2 Scheme logice privind inspecțiile și certificarea motoarelor diesel navale	316
12.8.3 Abrevieri, indici și simboluri	316
12.8.4 Raport de încercare privind luarea de probe	325
12.8.5 Specificații pentru analizoarele ce urmează a fi utilizate la determinarea componentelor gazoase din emanațiile de la motoarele diesel	331
12.8.6 Calibrarea aparatelor de măsurare analitică	332
12.8.7 Calcularea debitului raasic al gazelor arse de evacuare	340
12.8.8 Lista de verificare pentru metoda de verificare a parametrilor motorului	351
Bibliografie	353

ABREVIERI

IMO	- International Maritime Organization
MSC	- Maritime Safety Committee
MEPC	- Maritime Environmental Protection Committee
EPA	- Environmental Protection Agency
IAPPC	- International Air Pollution Prevention Certificate
EIAPPC	- Engine International Air Pollution Prevention Certificate
CFV	- Critical Flow Venturi
CLD	- Chemiluminescent Detector
ECS	- Electrochimical Sensor
FID	- Flame Ionization Detector
FTIR	- Fourier Transform Infrared Analyser
HCLD	- Heated Chemiluminescent Detector
HFID	- Heated Flame Ionization Detector
NDIR	- Non-dispersive Infrared Analyser
PDP	- Positive Displacement Pump
PMD	- Paramagnetic Detector
UVD	- Ultraviolet Detector
ZRDO	- Zirconiumdioxide Sensor

TURBINE CU ABUR

Turbina cu abur **este mașina** energetică de forță în care are loc **transformarea** energiei potențiale a aburului în energie cinetică și a acesteia în energie **mecanică**, servind la. rotirea arborelui turbinei. Prin cuplarea arborelui turbinei cu un generator electric se **realizează** transformarea energiei **mecanice** în energie **electrică**, transportată și apoi transformată în diferite forme de energie, dictate de scopul utilizării lor. în domeniul naval turbinele cu abur se folosesc pentru antrenarea generatoarelor **electrice**, **acționarea** pompelor de marfa și a **pompelor** de balast pe navele tancuri petroliere, iar pe unele nave sunt folosite pentru propulsie.

1.1. Principiul de funcționare

Transformarea energiei **potențiale**, termice, a aburului în energie cinetică, se produce prin destinderea aburului în **ajutaje directoare** sau **palette directoare**, prin scăderea presiunii și creșterea **vitezei** aburului, astfel concepute încât să realizeze **destinderea**, respectiv viteza necesară **aburului**, precum și direcția de ieșire dorită a acestuia. Având o direcție de ieșire dirijată de către aparatul director, jetul de abur pătrunde în rotor, constituit din **palette mobile** situate la periferia unui disc mobil sau a unui **tambur**, în care direcția îi este deviată, prin aceasta aburul cedând rotorului, sub forma de lucru mecanic, o parte din energia sa cinetică. Aceste două organe, coroana de ajutaje directoare și cea de palette mobile, formează o treaptă sau un etaj de turbină.

Deoarece o turbină constituită dintr-o singură treaptă nu utilizează economic energia potențială a aburului, jetul de abur trebuie să parcurgă succesiv mai multe asemenea **trepte**, **realizându-se** *turbina cu mai multe trepte*.

Turbina cu abur poate **fi** cu acțiune **pură**, dacă energia **termică** a aburului este **transformată** în întregime în energie cinetici în ajutajele fixe aburului și în coroanele de palette mobile.

în spațiile dintre palettele **mobile** ale turbinei (**fie** că se continuă destinderea sau nu), aburul este forțat **întotdeauna**, prin forma curbată a paletelor, să-și modifice direcția vitezei, **exercitând** asupra **paletelor** o împingere, a cărei componentă periferică produce rotirea arborelui turbinei.

În studiul și calculul turbinelor cu abur intervin următoarele viteze: viteza absolută a jetului de abur (c); viteza periferică a coroanelor de palette mobile (u); viteza **relativă** a jetului de abur față de **palettele mobile** (w).

Forța dezvoltată de **jetul** de abur asupra paletelor mobile, se obține din ecuația impulsului:

$$F = \dot{m}(c_1 - c_2) \quad [N] \quad (1.1)$$

în care:

F - forța jetului de abur, \dot{m} - debitul masic de abur care părăsește ajutorajul: c_1, c_2 - vitezele teoretice absolute ale jetului de abur la **intrarea**, respectiv la ieșirea **din** paletelor mobile, în m/s.

Din această expresie rezultă forța dezvoltată de către debitul de abur (1 kg/s).

$$F = (c_1 - c_2) \quad [N] \quad (1.2)$$

Având în vedere că sub acțiunea forței pe care o exercită jetul de abur apare mișcarea de rotație a rotorului cu viteza tangențială u , se poate determina forța datorată vitezei relative a aburului:

$$F_u = (w_{1u} - w_{2u}) \quad M \quad (1.3)$$

unde w_{1u} și w_{2u} sunt **proiecțiile** vitezelor relative pe direcția vitezei periferice.

Puterea obținută prin acțiunea debitului de abur de **1kg/s** asupra paletelor mobile **este**

$$\dot{q}_u = F_u \cdot u \quad M \quad (1.4)$$

1.2. Clasificarea turbinelor cu abur

Folosirea turbinelor **cu abur** în multiple domenii tehnice, a condus la realizarea multor tipuri de **turbine**, a căror clasificare generală este prezentată în tabelul 1.1.

Tabelul 1.1 **Clasificarea** generală a turbinelor cu abur

Criteriul de clasificare	Tipul de turbine	Criteriul de clasificare		Tipul de turbine
Felul destinderii aburului	Cu acțiune	Modul de exploatare		De bază (lucrează la sarcină constantă)
	Cu reacțiune			De vârf (preiau variațiile de sarcină)
	Combinate, cu acțiune și reacțiune			Auxiliare (antrenează instalațiile auxiliare)
Modul de utilizare al energiei aburului	Într-o singură treaptă	Regimul de funcționare		Cu turație constantă
	Cu trepte de viteză			Cu turație variabilă
	Cu trepte de presiune			Cu turație normală: $n=3\ 000$ rot/min
Direcția aburului	Axiale	Valoarea turației		Cu turație mare: $n > 3\ 000$ rot/min
	Radiale			Cu turație mică: $n < 3\ 000$ rot/min
	Tangențiale			
Parametri aburului la admisie	Cu parametri înalți $p_0 > 140$ bar; $t_0 > 540$ °C	Particularități constructive	Numărul de arbori	Cu un singur arbore
	Cu parametri înalți $p_0 = (49...140)$ bar; $t_0 = (450...540)$ °C		Construcția rotorului	Cu doi sau mai mulți arbori
	Cu parametri medii $p_0 = (12...50)$ bar; $t_0 = (300...450)$ °C			Cu discuri
	Cu parametri scăzuți $p_0 < 12$ bar; $t_0 < 300$ °C			Cu tambur
			Numărul de corpuri	Cu discuri și tambur
				Cu un singur corp
				Cu două, sau mai multe corpuri

Tabelul 1.1.(continuare)

0	1	0	1
Utilizarea aburului la evacuare	Cu condensare de termoficare	de fluxuri	în simplic flux Cu fluxuri multiple
	Cu contra- presiune		Cu sens de rotație normal (privit dinspre generator, sensul acelor de ceasornic)
	înaintașe	Sensul de rotație	Cu sens invers
Felul procesului termic	Fără prize	Sistemul de reglare	Cu reglare prin admisie
	Cu prize		Cu reglare prin laminare
	Cu prize reglabile		Cu reglare mixtă
	Cu prize fixe	Modul de instalare	Cu condensatorul în subsol
Destinația	Staționare		Fără subsol
	Nestaționare (pentru transporturi)		

1.3. Procesul termic din turbine

Procesul turbinei cuprinde o singură fază a ciclului și anume destinderea. Din cauza curgerii rapide a aburului procesul este considerat adiabatic. **Lucrul** mecanic produs în turbină este egal cu căderea de **entalpie** :

$$dl = -di \text{ sau } l = -\int_{*}^{\infty} di = i_0 - i_c = h \quad \left[\frac{J}{kg} \right] \quad (1.5)$$

Pentru procesul întreg al turbinei, căderea de entalpie va fi notată cu H , iar pentru o treaptă sau o regiune din turbină cu h .

Procesul teoretic - **izentropa** AB_t (fig. 1.1). **Lucrul** mecanic teoretic se determină cu

relația: $l_t = i_0 - i_{at} = H_t \quad \left[\frac{J}{kg} \right] \quad (1.6)$

unde H_t este căderea **teoretică**, denumită în unele lucrări și cădere adiabatică.

Procesul real - **politropa** AB . Căderea de **entalpie** în procesul **real** se numește cădere internă (**indicată**) $H_i = i_0 - i_c$.

Lucrul mecanic transmis rotorului în procesul real se numește **lucrul** mecanic intern (**indicat**) .

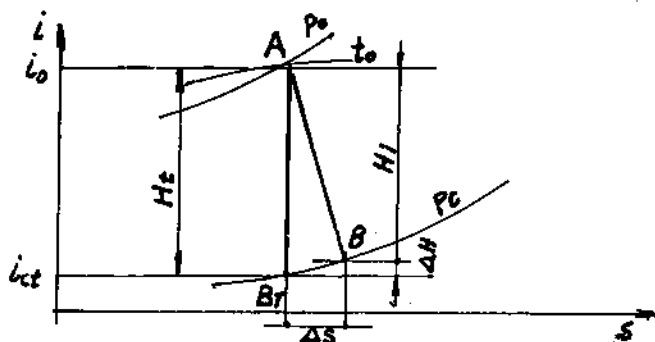


Fig. 1.1 Reprezentarea destinderii
în diagrama i-s

1.4. Turbina cu acțiune cu o singură treaptă

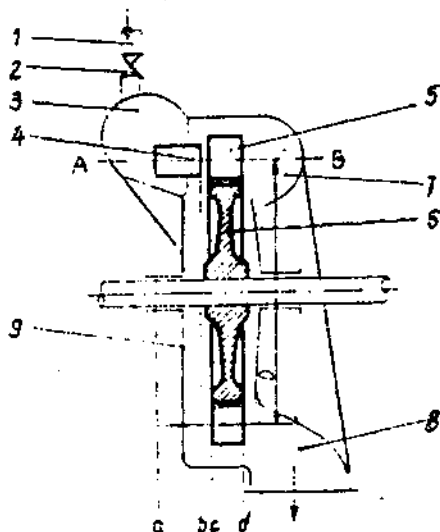


Fig. 1.2. Schema turbinei de abur cu acțiune, cu o singură treaptă:

1- conductă de abur, 2- ventil de reglare; 3- canal pentru distribuția aburului; 4- ajutoraj; 5- palete mobile; 6- discul rotorului; 7- canal pentru colectarea aburului; 8- racord de evacuare; 9- carcasa turbinei.

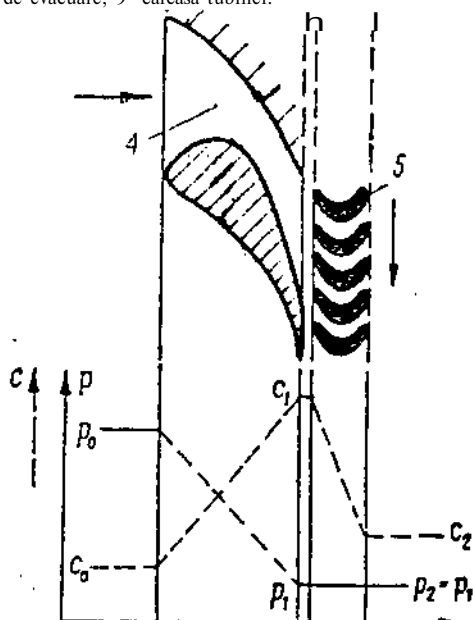


Fig. 1.3. Variația presiunii și a vitezei aburului în treapta cu acțiune a turbinei Laval

Turbina cu acțiune cu o singură treaptă, turbina Laval este prezentată schematic în fig. 1.2. în fig. 1.3 este reprezentată, secțiunea A - B desfășurată, a turbinei Laval, împreună cu variația vitezei și a presiunii aburului, care au loc datorită destinderii lui în ajutoraj 4 și transformării energiei sale cinetice, în energie mecanică pe paletele mobile 5. La ieșire din turbină, aburul este condus prin racordul de evacuare 5.

Jetul de abur, de presiune p_0 și viteză c_0 , se destinde în ajutoarele statorului până la presiunea p_1 , atingând viteza c_1 ; cu această viteză, sub un unghi α_1 , atacă paletele mobile ale rotorului, cărora îi imprimă o mișcare de rotație prin transformarea energiei sale cinetice în energie mecanică, datorită micșorării vitezei de la c_1 la c_2 .

Cunoscându-se c_1 , α_1 și viteza tangențială de mișcare a paletelor: $u = \frac{\pi d n}{60}$

în care d reprezintă diametrul rotorului, considerat la jumătatea paletei, iar n - numărul de rotații pe minut, efectuat de palete. Din triunghiul de viteze la intrarea aburului între palete(fig. 1.4), se determină viteza relativă w_1 .

Pentru a nu se produce pierderi la intrarea aburului între palete, este necesar ca jetul de abur să intre tangent la suprafața paletei, astfel încât β_1 să fie egal cu unghiul făcut de tangenta la suprafața paletei în punctul de intrare, și planul discului.

După ce curge prin canalul dintre palete, în care suferă o abatere datorită profilului curbat al paletelor, aburul părăsește canalul cu viteza relativă w_2 , tangentă la ultimul element de suprafață al paletei. Teoretic, această viteză se consideră egală ca valoare cu w_1 , dar datorită pierderilor prin frecare, este mai mică decât aceasta, micșorare de care se ține seama prin coeficientul de reducere a vitezei între paletele mobile ψ , astfel că $w_2 = \psi w_1$.

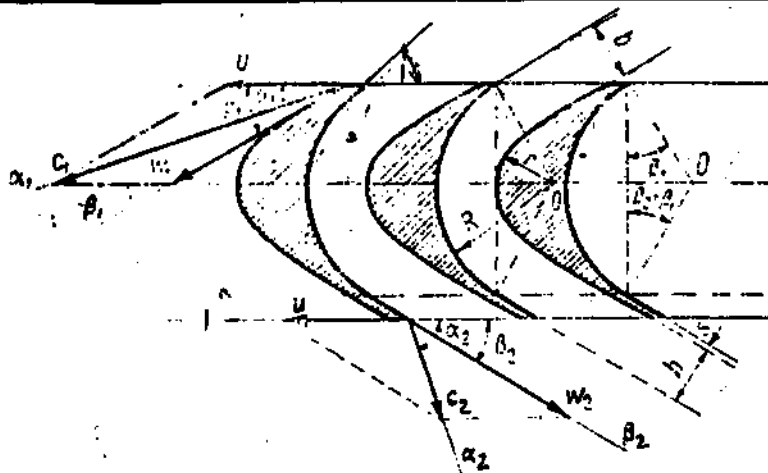


Fig. 1.4. Triunghiurile de viteze pentru turbina cu acțiune cu o singuri treaptă.

în funcție de unghiul de curbură ($\beta_1 + \beta_2$) din diagrama reprezentată în fig. 1.5.a. se obține coeficientul ψ' , iar în funcție de viteza w_1 (fig. 1.5.b) rezultă coeficientul k_w , cu care. $\psi = \psi' \cdot k_w$.

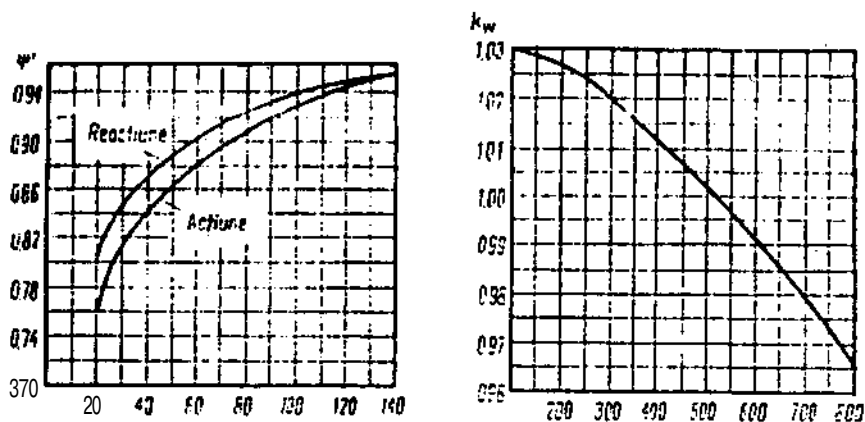


Fig. 1.5. Nomogramă pentru determinarea coeficienților ψ' (a) și k_w (b)

Astfel, cu w_2 determinat și u cunoscut, viteza absolută c_2 se obține fie din triunghiul de viteze la ieșire (fig. 1.4), fie analitic:

$$c_2 = \sqrt{w_2^2 + u^2 - 2u \cdot w_2 \cos \beta_2}.$$

Pentru simplificare grafică, cele două triunghiuri de viteze se construiesc în aceeași figură (fig. 1.4) și alcătuiesc diagrama de viteze, trasată într-un sistem **rectangular** având ca axe direcția tangențială și cea axială **vârfului triunghiurilor** fiind construite în originea sistemului de coordonate. Valoarea vitezei c_2 reprezintă o **pierdere**, prin micșorarea energiei transformată în lucru mecanic, datorită energiei cinetice $c_2^2/2$, cu care aburul iese dintre palete. Pentru ca această energie cinetică reziduală să fie minimă este necesar ca c_{2a} (componenta tangențială a vitezei c_2) să fie **nulă**, adică ieșirea aburului să se facă în planul **axial**, $\alpha_2 = 90^\circ$ și $c_{2a} = 0$.

Cunoscând din diagrama de viteze unghiurile β_1 și β_2 (fig. 1.6), se poate determina forma paletelor, dictată de faptul că teoretic $w_2 = w_1$, ceea ce conduce la constanța secțiunii canalului dintre paletă, realizabilă prin: lățimea canalului b constantă ($\beta_1 = \beta_2$) și **îngroșarea** profilului paletelor în mijlocul ei (v. fig. 1.4), în așa fel **încât** partea concavă a unei paletă să fie concentrică cu cea concavă a paletelor vecine.

Deoarece aburul iese din ajutăje cu viteze mari, este necesar ca **muchia** de intrare a paletelor să fie ascuțită cu o grosime de 0,2 ... 0,3 mm.

Lucrul mecanic util (fig. 1.7) efectuat de către o cantitate unitară de abur, sau cădere termică utilă h_u a turbinei, este:

$$l_u = h_u = u(c_{1u} \pm c_{2u}) \left[\frac{\text{J}}{\text{kg}} \right] \quad (1.7)$$

care **semnul** plus sau minus se consideră după cum $\alpha_2 < 90^\circ$, sau $\alpha_2 > 90^\circ$.

Lucrul mecanic specific, teoretic, de destindere a aburului în ajutăje, în cazul inexistenței pierderilor, respectiv prin conservarea vitezei teoretice c_{1t} , pentru $c_2 = 0$, se

determină cu relația :

$$l_t = \frac{c_{1t}^2}{2} \left[\frac{\text{J}}{\text{kg}} \right] \quad (1.8)$$

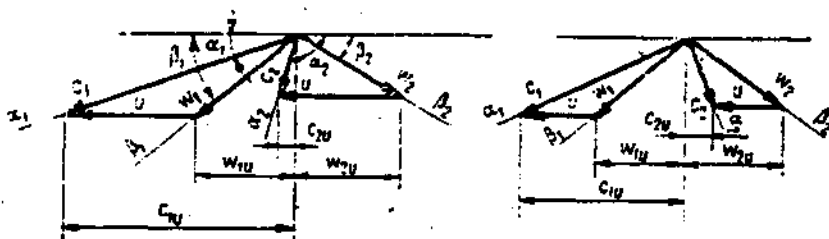


Fig. 1.6. Diagramele de viteze pentru turbina cu acțiune, cu o singură treaptă

Tabelul 1.2. Principalele pierderi de energie termică ale turbinei cu abur

Categoria	Pierderi de energie termică		Observații
de pierderi	Simbolul	Denumirea	
Pierderi interne	Δh	Pierderi în ventile de reglare	Pierderile interne sunt pierderi calitative , deoarece influențează starea aburului din turbină.
	h_n	Pierderi în ajutăjele statorului (între paletelor directoare)	
	h_m	Pierderi între paletelor mobile	
	h_{cr}	Pierderi prin energia cinetică reziduală	
	h_{fr}	Pierderi prin frecări și ventilații	
	h_{um}	Pierderi prin umiditate	
	h_s	Pierderi prin scăpări de abur interioare (între trepte)	
Pierderi externe	h_{et}	Pierderi prin scăpări de abur în exterior (prin etanșările terminale)	Pierderile externe nu exercită nici o influență asupra transformărilor aburului în turbină
	h_m	Pierderi mechanice	
	h_r	Pierderi prin radiație și conductivitate	

1.5. Puterile, randamentele și consumurile de abur ale turbinelor

Puteri și randamente. Fată de căderea termică **teoretică**, obținută prin destinderea **adiabată** reversibilă a aburului în treapta unei turbine cu acțiune (fig. 1.7.a), respectiv, cu reacțiunea (fig. 1.7.b):

$$h_t = i_0 - i_1; \quad h_t = i_0 - i_2 \quad \left[\frac{\text{J}}{\text{kg}} \right] \quad (1.9)$$

în cazul procesului real, după modul de grupare al pierderilor se deosebesc:

- căderea **termică**, lucrul mecanic, la periferia rotorului:

$$l_u = h_u = i_0 - i_{2u} = h_u - (h_{tr} + h_{um} + h_j) \quad \left[\frac{\text{J}}{\text{kg}} \right]; \quad (1.10)$$

- căderea termică internă a treptei:

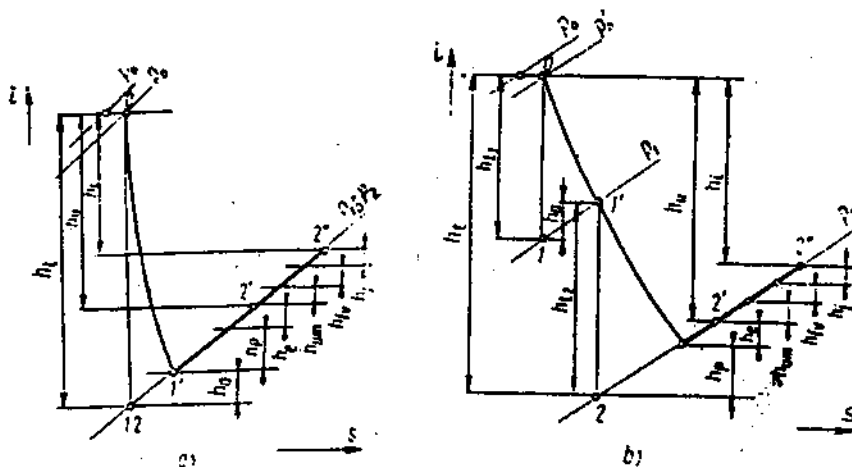


Fig. 1.7. Reprezentarea în diagrama $i-s$ a pierderilor interne ale unei trepte de turbină cu abur
a) - cu acțiune; b) - cu reacțiune.

$$l_i = h_i = i_0 - i_{2u} = h_u - (h_{tr} + h_{um} + h_j) \quad \left[\frac{\text{J}}{\text{kg}} \right] \quad (1.11)$$

Randamentul periferic (la periferia rotorului) și **randamentul intern** al treptei turbinei cu abur:

$$\eta_p = \frac{h_u}{h_t} = \frac{l_u}{l_i}; \quad \eta_i = \frac{h_i}{h_t} = \frac{l_i}{l_t} \quad (1.12)$$

Randamentul intern (termodinamic) al turbinei cu abur (fig. 1.8), cu considerarea factorului de recuperare a energiei termice reziduale $f = 1,03 \dots 1,07$, are expresia:

$$\eta_i = f \frac{L_i}{L_r} = f \frac{H_i}{H_r} \quad (1.13)$$

cu care, cunoscând căderea termică internă pe toate treptele turbinei ($H_i = \sum h_i = i_0 - i_c$), se poate reprezenta în diagrama i - s procesul de destindere real, prin determinarea punctului de ieșire din **turbină**, care pentru $f = 1$, are valoarea:

$$i'_c = i_0 - \eta_i H_i \quad \left[\frac{\text{J}}{\text{kg}} \right] \quad (1.14)$$

Datorită pierderilor externe, dintre care o importanță deosebită o prezintă cele mecanice, **lucrul** mecanic efectiv L_e , al turbinei, corespunzător căderii termice utilizată pentru livrarea lucrului mecanic la **cuplă**, este micșorat față de cel intern, cu valoarea acestor pierderi.

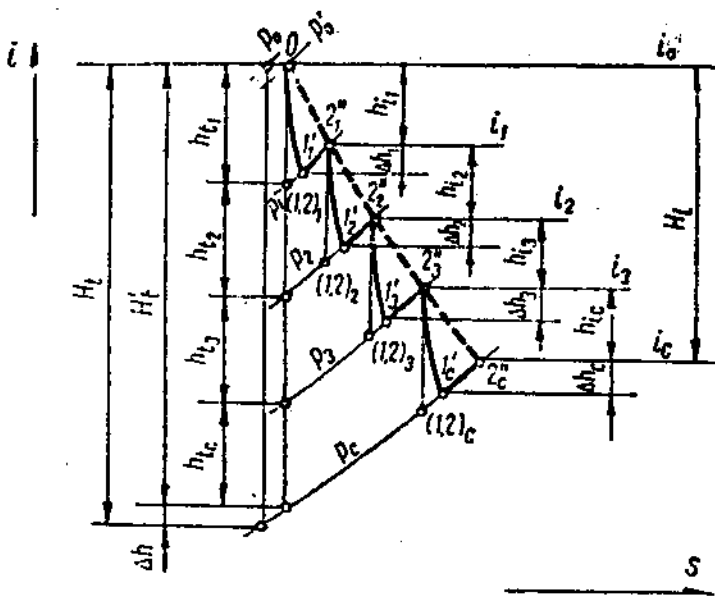


Fig.1.8. Reprezentarea în diagrama i - s a pierderilor interne ale turbinei cu abur cu **acțiune**

Randamentul mecanic al turbinei este:

$$\eta_m = \frac{L_e}{L_i} = \frac{L_e}{H_i} = \frac{L_e}{\eta_i H_i}, \quad (1.15)$$

a cărui **variație în funcție** de puterea **turbinei** este reprezentată în **fig.1.9**.

Randamentul efectiv al turbinei cu abur este:

$$\eta_e = \frac{L_e}{L_i} = \frac{L_e}{L_i} \cdot \frac{L_i}{L_i} = \eta_m \cdot \eta_i, \quad (1.16)$$

iar în figura **1.10** redă variația lui η_e cu puterea turbinei.

Reprezentând raportul dintre lucrul mecanic efectiv și căldura totală primită de abur, **randamentul total** al turbinei cu abur, sau **randamentul efectiv absolut**, are expresia:

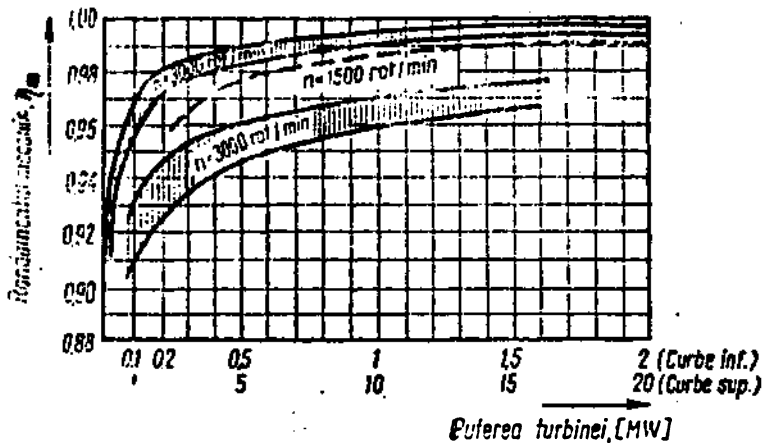


Fig. 19. Variația **randamentului** mecanic în funcție de **puterea** turbinei cu abur

$$\eta_m = \frac{L_t}{D(i_0 - i_1)} = \frac{L_t}{L_i} \cdot \frac{L_i}{L_t} \cdot \frac{L_t}{D(i_0 - i_1)} = \eta_m \cdot \eta_i \cdot \eta_t = \eta_e \cdot \eta_t \quad (1.17)$$

în care i_1 reprezintă **entalpia** apei de alimentare a cazanului de abur, iar η_t randamentul termic teoretic al turbinei.

Randamentul exergetic al turbinei cu abur este cel care arată măsura în care exergia preluată de agentul termic în cazan, se regăsește sub formă de lucru mecanic efectiv:

$$\eta_m = \frac{L_t}{D(e_0 - e_1)} \quad (1.18)$$

iar diferența dintre valoarea maximă α **acesruia**, $\eta_m = 1$, corespunzătoare procesului reversibil, și valoarea pe care o are randamentul exergetic, este proporțională cu pierderea de **exergie**. Ca și randamentul exergetic al cazanului de abur, și cel al turbinei, prezintă o deosebită **importanță** în analiza energetică a centralelor termoelectrice.

În cazul turbinei cu abur care antrenează un generator electric, obișnuit se măsoară **puterea la bornele generatorului electric** P_g , cu ajutorul căreia se definesc: **randamentul generatorului electric** η_g și **randamentul electric al turbinei** η_{et} , cu relațiile:

$$\eta_g = \frac{P_g}{P_t};$$

$$\eta_{et} = \frac{P_g}{P_i} = \eta_g \cdot \eta_t = \eta_g \cdot \eta_m \cdot \eta_i \cdot \eta_t$$

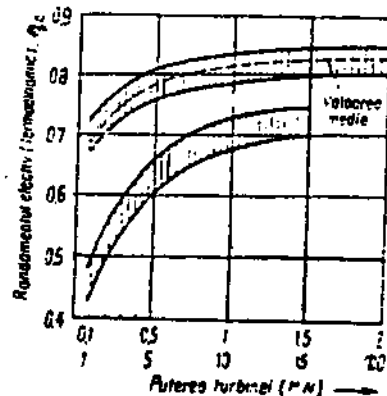


Fig. 1.10. Variația **randamentului** efectiv al turbinei cu abur, în funcție de putere.

(1.19)

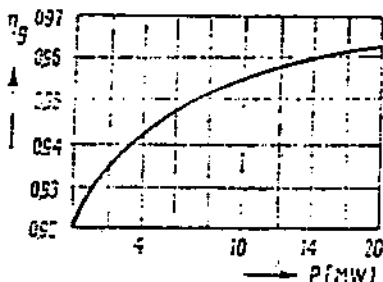


Fig. 1.11 .Variația randamentului generatorului electric, în funcție de puterea turbinei cu abur

Randamentul generatorului, în funcție de putere, **se** obține din figura 1.11.

În general se cunoaște puterea efectivă a turbinei, dacă puterea la bornele generatorului electric este cea **cunoscută**, adoptând valoarea η_g (fig. 1.11), din prima relație (1.19) se determină P_e , cu care, **puterea internă care** trebuie furnizată de către **turbină**, este:

$$P_i = 10^3 H_i D = \frac{P_e}{\eta_g} \quad (1.20)$$

D reprezentând debitul de abur al turbinei, în **kg/s**.

Consumul de abur al turbinei se determină cu ajutorul **relațiilor** (1.20), (1.13) și (1.16)

$$D = \frac{P_e}{\eta_g \eta_i H_i} \left[\frac{\text{kg}}{\text{s}} \right] \text{ sau } D_a = 3600 \frac{P_e}{\eta_g H_i} \left[\frac{\text{kg}}{\text{h}} \right] \quad (1.21)$$

Dacă este cunoscută puterea la bornele generatorului electric, rezultă debitul de abur al turbinei:

$$D = \frac{P_e}{\eta_g \cdot \eta_i \cdot H_i} \left[\frac{\text{kg}}{\text{s}} \right] \quad (1.22)$$

Consumul **specific de abur al turbinei**, consumul de abur pentru producerea unui **kWh**, se obține cu utilizarea relației (1.21)

$$d_i = \frac{D_h}{P_e} = \frac{3600}{\eta_g \cdot H_i} \left[\frac{\text{kg}}{\text{kWh}} \right] \quad (1.23)$$

având valori optime, pentru turbinele cu condensatie, 3 ... 5,5 **kg/kWh**.

O altă **mărimă** utilizată ca indice **comparativ** în funcționarea turbinelor cu abur este consumul specific de căldură;

$$d_c = \frac{3600}{\eta_g} \left[\frac{\text{kJ}}{\text{kWh}} \right] \quad (1.24)$$

1.6. Sisteme de reglaj ale turbinelor

Calculul turbinei cu abur se face pentru un anumit **consum** de abur și pentru anumiți parametri ai aburului la intrare și ieșire. Pentru turbinele ce se **proiectează**, se ia ca parametru cantitativ consumul de abur care corespunde puterii nominale, ceea ce corespunde regimului de funcționare Cel mai **îndelungat** al turbinei. Randamentul turbinei pentru acest consum de abur trebuie să fie **maxim**. În timpul funcționării, sarcina variază **continuu**, deci și consumul de abur va varia în aceeași măsură. Această variație a consumului de abur trebuie să fie asigurată de sistemul de reglaj, astfel încât să poată da posibilitatea turbinei de a dezvolta puterea cerută. Variația puterii **furnizată** de o turbină se poate realiza prin diferite procedee de reglaj și anume:

1. reglajul prin laminare, obținut tehnic prin variația secțiunii de trecere a aburului prin **ventilele de admisie** în turbină (reglaj calitativ):

2. **reglajul** prin **admisie**, obținut prin variația **cantității** de abur **admis**, denumit reglaj cantitativ;
3. **admisia** în trepte, adică prin introducerea de abur în diferite trepte intermediare;
4. combinarea între reglajul prin admisie și cel în trepte;
5. schimbarea presiunii aburului livrat de cazan. *

Reglajul prin laminare

O dată cu micșorarea **sarcinii**, trebuie să fie micșorat și consumul de abur, ceea ce se poate realiza prin **scăderea** presiunii de intrare a aburului în turbină. **Această** scădere de presiune, se poate realiza prin micșorarea **secțiunii** de trecere a aburului **prin ventil (ventil de laminare)**.

La închiderea parțială a **ventilului**, cantitatea de abur ce trece prin el se micșorează și o dată cu această micșorare, apărând și fenomenul de laminare, **presiunea** aburului **scade**, **entalpia** aburului la intrare rămânând aceeași, punctul B din fig. 1.12.

Presiunea p_1 se determină **funcție** de puterea pe care trebuie s-o dezvolte turbina. Se folosește un ventil special de laminare, dar aburul este laminat și în ventilul principal al turbinei numit ventil cu închidere rapidă, de la presiunea p_0 până la presiunea p_0' . în timpul funcționării turbinei ventilul cu închidere rapidă rămâne complet deschis.

Reglajul prin admisie

Schema reglajului este prezentată în figura 1.13. Aburul pătrunde în schemă prin mai multe ventile, fiecare dintre acestea lăsând să treacă debitul de abur necesar **ajutajelor deservite**. La deschiderea tuturor ventilelor va trece prin turbină debitul maxim de abur. Pentru reducerea **cantității** de abur se închide un număr corespunzător de ventile. Presiunea aburului la intrarea în turbine rămâne aceeași.

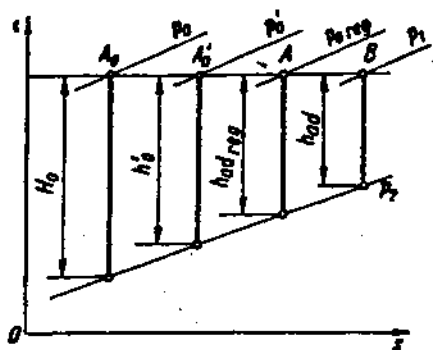


Fig. 1.12. Schema reglajului prin laminare

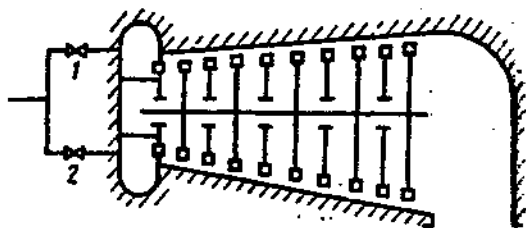


Fig. 1.13. Schema reglajului prin admisie
1,2 - ventile; 3,4,5 - rețele de ajutor; 6 - discurile turbinei; 7 - rotorul turbinei.

Reglajul prin variația presiunii aburului livrat de cazan

Modificarea puterii turbinei se poate face și prin variația presiunii **aburului** livrat de **cazan**. La acest sistem de reglare procesul **termodinamic** decurge la fel ca și în cazul reglajului prin laminare. Utilizarea acestui sistem de reglare este limitată deoarece se aplică unor **azane** cu debit mic și când presiunea la cazan poate fi **stabilizată** foarte repede prin **regulator**. Sistemele de reglare care acționează asupra organelor de alimentare **cu combustibil**, asupra sistemului de **reglare** a aerului de **combustie** și asupra pompelor de alimentare cu apă ale **cazanului** sunt destul de complicate.

Condensatorul

Condensatorul are ca scop asigurarea vidului necesar la evacuarea din turbină. Pentru obținerea unui randament ridicat se impune condensarea aburului ce părăsește turbina la o temperatură scăzută, de $32 \dots 24^\circ \text{C}$ ceea ce corespunde unui vid de ordinul de $0,05 \dots 0,03$ bar. De obicei se utilizează condensatoare de suprafață. Pentru evacuarea aerului care a pătruns prin neetanșeitățile turbinei se impune montarea unor dispozitive care să extragă acest aer din condensator. Vidul obținut în condensator depinde de temperatura apei de răcire și de debitul de apă care circulă prin țevile condensatorului. În figura 1.14 este prezentată secțiunea printr-un condensator de abur de suprafață. Aerul din condensator este scos pe la partea inferioară, iar apa parcurge lungimea condensatorului în dublu flux. Țevile condensatorului se montează prin sudare sau prin mandrinare. Țevile pot fi confecționate din: alamă, alamă cu adaos, alamă cu adaos de antimoniu, alamă aliată cu nichel, alamă aliată cu aluminiu. Plăcile tubulare se confecționează din oțel.

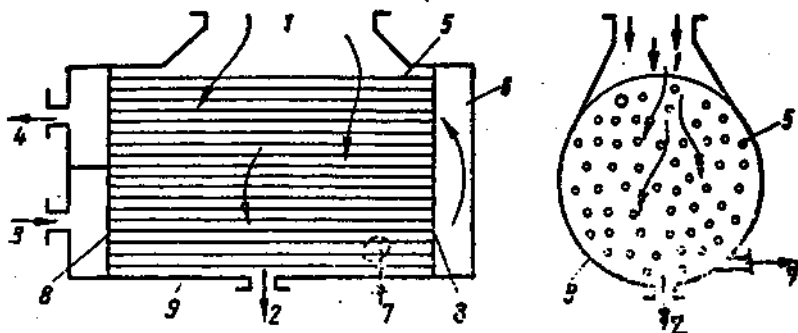


Fig. 1.14. Condensator de abur de suprafață

1- intrarea aburului; 2- ieșirea condensului; 3- intrarea apei de răcire; 4- ieșirea apei de răcire;
5- țevile condensatorului; 6- camerele colectoare de apă; 7- ejectorul de aer, 5- placa tubulară;
P- mantaua condensatorului.

1.7. Turbopompa de balast

Turbina este verticală de 530 kw, cu condensare cu rotorul format dintr-un disc tip roată Curtis având turația de 3693 rot/min. Parametrii aburului la intrarea în turbină sunt: presiunea de $13,0 \dots 14,7$ bar și temperatura de $250 \dots 290^\circ \text{C}$. Admisia aburului în turbină se face printr-un ventil cu două scaune, acesta îndeplinind funcția de ventil de reglare cât și pe cea de ventil cu închidere rapidă. După destinderea în cele două rânduri de paletе rotorice aburul este evacuat la presiunea de 450 mm Hg vacuum. Sistemul de etanșare al arborelui turbinei nu permite contactul între partea rotitoare și cea fixă (etanșare cu labirinți) și împiedică pătrunderea în interiorul turbinei a aerului, umidității din mediul ambiant precum și a prafului din aer.

Turbina antrenează pompa de balast prin intermediul unui mecanism reductor, la care rotorul turbinei se montează pe capătul arborelui primar al reductorului, prin fretare, iar carcasa turbinei se montează prin flanșă pe carcasa reductorului de turație, ceea ce nu permite funcționarea turbinei fără mecanismul reductor.

1.7.1. Echipamentul de reglaj - protecție ungere

Turbopompa este comandată de un sistem electromecanic și hidraulic care asigură **reglajul**, protecția și ungerea **și care** permite funcționarea la sarcini de exploatare (sarcini parțiale și sarcina nominală) a agregatului.

În **componenta** echipamentului de reglaj, **protecție**, ungere intră următoarele:

a) *dispozitive de reglaj și protecție*;

declanșator hidraulic: declanșatorul la **supraturație**; servomotorul ventilului de reglare; acumulatorul hidraulic; buclă de reglare temperatură ulei; regulator de **turație**.

b) *dispozitive de ungere*;

tancul de ulei; circuitul de ulei; ventil de **suprapresiune**; răcitorul de ulei; pompa principală; **electropompa de preungere**;

1.7.2. Parametrii funcționali ai sistemului de reglaj, protecție, ungere

Se folosește un regulator de **turație** tip UG 8 - DIAL (WOODWARD). Pompa principală de ungere, **precum** și electropompa de preungere asigură o presiune pe refulare de 5 bar. În circuitul de **acționări** hidraulice presiunea uleiului este între **3,8...4,2 bar**. În circuitul de reglaj este asigurată o presiune de 2,4**2,8 bar**. Presiunea uleiului pe circuitul de ungere este cuprinsă în domeniul de **1,6....2bar**. Turația nominală a turbinei este de 3693 **rot/min**, iar **turația** de declanșare **protecție** la **supraturare** este de 4247 **rot/min**.

Filtrarea uleiului este asigurată de un filtru cu finețea de filtrare 0,02 **mm**, având un debit maxim de 265 **l/min**, iar căderea normală de presiune pe filtru este de **0,5....0,8 bar**.

Capacitatea utilă a tancului de ulei este de 645 l debitul pompei fiind de 300 **l/min** ceea ce asigură circa 28 de **recirculări** pe oră. Temperatura uleiului la intrarea în lagărele turbinei este de 45 °C iar la ieșirea din lagărele turbinei este de maxim 55 °C. **Menținerea** temperaturii uleiului se face printr-un **răcitor** de ulei cu **apă**, răcitorul fiind de 28,5 kW.

Sistemul de reglaj va controla și menține turația turbinei la valoarea prescrisă cu o abatere de maxim 1 % pentru oricare dintre sarcinile turbinei între **30....100 %**.

Sistemul de protecție va controla parametrii principali ai **turbopompei** și va acționa oprirea rapidă a acesteia în următoarele situații:

- când **turația** turbinei atinge valoarea de 4247 \pm 13 **rot/min**;
- când turația pompei **atinge** valoarea de 863 \pm 3 **rot/min**;
- când temperatura metalului lagărelor mecanismului reductor a ajuns la valoarea de **80 °C**;
- când presiunea de refulare a pompei principale este de 1 bar;
- când presiunea uleiului în circuitul de ungere scade până la 0,8 bar;
- când temperatura lagărelor trecerii etanșe (între compartimentul mașini și compartimentul pompei) depășește valoarea de 80 °C;
- când temperatura lagărelor cu rulmenți ale pompei de balast **atinge** valoarea de **80°C**;
- când temperatura **metalelor** lagărelor axiale depășește 80 °C (ceea ce înseamnă o tendință de deplasare axială);
- când nivelul uleiului în tanc este sub valoarea minimă.

Sistemul de ungere asigură **lubrefierea** pentru: lagărele **radiale** și **axiale** ale mecanismului reductor **precum** și angrenajul acestuia.

1.7.3. Reductorul de turație

Mecanismul reductor de **turație** asigură reducerea turației de la 3693 **rot/min** până la 750 **rot/min** printr-un angrenaj cilindric cu dinți **încleși** într-o singură **treaptă**.

În componența reductorului se mai află și două prize de putere pentru antrenarea regulatorului de turație și a pompei principale de ungere.

Caracteristicile principale ale mecanismului reductor de turație sunt:

- puterea nominală la arborele de ieșire 530 **kW**;
- turația de intrare - ieșire 3693 / 750 **rot/min**;
- **priza** pentru regulatorul de **turație** de 0,5 kW, iar turația de intrare în regulator este de 950 **rot/min**;
- **priza** de putere pentru **pompa** principală de ungere este de 8 kW, iar turația de intrare în pompă este 2181 **rot/min**;

1.7.4. Transmisia cardanică

Este elementul de legătură cinematică dintre arborele trecerii etanșe și pompa de **balast**, având un moment **nominal** de torsiune de 28 **kNm**, la **turația** maximă de 2000 **rot/min**.

Înclinarea axei longitudinale a **cardanului** față de linia geometrică ce unește centrul flanșei de jos cu centrul flanșei de sus va **fi** cuprinsă între 1,5° și 3°. Unghiul **maxim** de înclinare al articulației este de 15°.

1.7.5. Pompa de balast

Este o pompă verticală de tip radial **centrifugală**, raționalizată și rotorul în dublu flux cu aspirație și refulare în plan orizontal decalate la 90° **una** în raport cu cealaltă.

Pompa de balast are următoarele caracteristici: debitul de 3500 **m³ / h**, **presiunea** de refulare 40 **m col.apă**, turația 750 **rot/min**, N.P.S.H. de 5 **m** iar puterea absorbită de 480 kW. Părțile **componente** ale pompei sunt executate din materiale care nu produc scântei electrostatice sau datorate frecărilor accidentale. Pompa va putea funcționa normal la turația **nominală**, chiar dacă debitul acesteia scade până la 20 % din valoarea nominală.

1.7.6. Instalația de automatizare

Destinația acestei instalații este să **urmărească**, să **transmită**, să **afișeze** informații și să acționeze în anumite situații pentru reglarea anumitor parametri și pentru protecția **turbopompei**. Această instalație permite efectuarea operațiilor de: **balastare**, **debalastare**, comandă manuală și automată.

Instalația de automatizare se compune din: **AMC montate** în instalație, echipamente locale montate în compartimentul pompelor și în compartimentul mașinilor, echipamente montate în camera de comandă încărcare - descărcare marfă și în postul central de **comandă**.

Instalația de automatizare **permite** urmărirea următoarelor presiuni: intrare abur în **turbină**, abur etanșare **labirinți**, ieșire abur din **turbină**, ulei pentru reglaj, ulei ungere după **răcitor**, ulei protecție **turbină**, ulei refulare **pompe** de ungere, ulei intrare - ieșire filtru de ulei, balast pe aspirația pompei de **balsat**, balast pe refularea pompei de balast.

Instalația de automatizare urmărește temperaturile: intrare abur în **turbină**, ieșire abur din **turbină**, lagărelor **mecanismului** reductor, ulei intrare - ieșire din **răcitor**, **lagăre** or pompei de balast.

Protecția este asigurată **pentru** următoarele **situații**: turație turbină (**maximă**), temperatură **lagăre** reductor (maximă), temperatură lagăre pompă (maximă), presiune abur evacuare din **turbină**(**maximă**), presiune refulare pompă de balast (maximă), presiune ulei ungere (**minimă**), nivel ulei în tanc (**minim**), alte situații legate de instalațiile navei.

1.8. Turbopompa de marfa

Turbina este verticală de 1900 kw, cu **condensație** cu rotorul format dintr-un disc tip roată Curtis având **turația** de 6618 **rot/min**. Parametrii aburului la intrarea în turbină sunt: presiunea de **13,3...14,7 bar** și temperatura de 250290 °C. **Admisia** aburului în turbină se face **printr-un** ventil cu două scaune, acesta îndeplinind funcția de ventil de reglare cât și pe cea de ventil cu **închidere** rapidă. După destinderea în cele două rânduri de paletе **rotorice** aburul este evacuat la presiunea de 450 mm Hg vacuum. Sistemul de etanșare al arborelui **turbinei** nu permite contactul între partea rotitoare și cea fixă (etanșare cu **labirinți**) și împiedică pătrunderea în interiorul turbinei a aerului, umidității din mediul ambiant precum și a prafului din **aer**.

Turbina **antrenează** pompa de **marfă** prin **intermediul** unui mecanism reductor, la care rotorul turbinei se montează pe capătul arborelui primar al reductorului, prin **fretare**, iar carcasele turbinei se montează prin flanșă pe carcasa reductorului de turație, ceea ce nu permite funcționarea turbinei fără mecanismul reductor.

1.8.1. Echipamentul de reglaj • protecție ungere

Turbopompa este comandată de un sistem electromecanic și hidraulic care asigură reglajul, **protecția** și ungerea și care permite **funcționarea** la sarcini de exploatare (sarcini **parțiale** și sarcina nominală) a agregatului.

În componenta echipamentului de reglaj, **protecție**, ungere intră următoarele:

a) *dispozitive de reglaj și protecție*;

declanșator hidraulic: declanșatorul la **supraturație**; servomotorul ventilului de reglare; acumulatorul hidraulic; buclă de reglare temperatură ulei; regulator de turație.

b) *dispozitive de ungere*;

tancul de ulei; circuitul de ulei: ventil de **suprapresiune**; **răcitorul** de ulei; pompa principală; **electropompa** de **preungere**;

1.8.2. Parametrii funcționali ai sistemului de reglaj, protecție, ungere

Se folosește un regulator de turație dp UG 8 - DIAL (WOODWARD). Pompa principală de ungere, precum și electropompa de preungere asigură o presiune pe refulare de 5 bar. În circuitul de acționări hidraulice presiunea uleiului este între 3,8...4,2 bar, în circuitul de reglaj este asigurată o presiune de 2,42,8 bar. Presiunea uleiului pe circuitul de ungere este cuprinsă în domeniul de 1,6....2bar. Turația nominală a turbinei este de 6618 **rot/min**, iar turația de declanșare protecție la **supraturare** este de 7611 **rot/min**.

Filtrarea uleiului este asigurată de un filtru cu finețea de **filtrare** 0,02 mm, având un debit **maxim** de 265 **l/min**, iar căderea normală de presiune pe filtru este de 0,5....0,8 bar.

Capacitatea utilă a tancului de ulei este de 945 l debitul **pompei** fiind de 300 **l/min** ceea ce asigură circa 19 de **recirculări** pe oră. **Temperatura** uleiului la intrarea în lagărele turbinei este de 45 °C iar la ieșirea din lagărele turbinei este de maxim 55 °C. Menținerea temperaturii uleiului se face printr-un **răcitor** de ulei cu apă, răcitorul fiind de 40.46 kW.

Sistemul de reglaj va controla și menține turația turbinei la valoarea prescrisă cu o

abatere de maxim 1 % pentru oricare dintre sarcinile turbinei între 30...100 %.

Sistemul de protecție va controla parametrii principali ai turbopompei și va acționa oprirea rapidă a acestuia în următoarele situații:

- când turația turbinei atinge valoarea de 7761 ± 23 rot/min;
- când turația pompei atinge valoarea de 1495 ± 5 rot/min;
- când temperatura metalului lagărelor mecanismului reductor a ajuns la valoarea de 80°C ;
- când presiunea de refulare a pompei principale este de 1 bar,
- când presiunea uleiului în circuitul de ungere scade până la 0,8 bar
- când temperatura lagărelor trecerii etanșe (între compartimentul mașini și compartimentul pompei) depășește valoarea de 80°C ;
- când temperatura lagărelor cu rulmenți ale pompei de balast atinge valoarea de 80°C ;
- când temperatura metalelor lagărelor axiale depășește 80°C (ceea ce înseamnă o tendință de deplasare axială);
- când nivelul uleiului în tanc este sub valoarea minimă.

Sistemul de ungere asigură lubrifierea pentru: lagărele radiale și axiale ale mecanismului reductor precum și angrenajul acestuia.

1.8.3. Reductorul de turație

Mecanismul reductor de turație asigură reducerea turației de la 6618 rot/min până la 1300 rot/min printr-un angrenaj cilindric cu dinți înclinați într-o singură treaptă. În componența reductorului se mai află și două prize de putere pentru antrenarea regulatorului de turație și a pompei principale de ungere.

Caracteristicile principale ale mecanismului reductor de turație sunt:

- puterea nominală la arborele de ieșire 1730 kW;
- turația de intrare -ieșire 6618/ 1300 rot/min;
- priza pentru regulatorul de turație de 0,5 kW, iar turația de intrare în regulator este de 950 rot/min;
- priza de putere pentru pompa principală de ungere este de 8 kW, iar turația de intrare în pompă este 2181 rot/min;

1.8.4. Transmisia cardanică

Este elementul de legătură cinematică dintre arborele trecerii etanșe și pompa de balast având un moment nominal de torsiune de 40 kNm, la turația maximă de 2200 rot/min.

Înclinarea axei longitudinale a cardanului față de linia geometrică ce unește centrul flanșei de jos cu centrul flanșei de sus va fi cuprinsă între $1,5^\circ - 3^\circ$. Unghiul maxim de înclinare al articulației este de 15° .

1.8.5. Pompa de marfă

Este o pompă verticală de tip radial centrifugală, monoetajată și rotorul în dublu flux cu aspirație și refulare în plan orizontal decalate la 90° una în raport cu cealaltă.

Pompa de balast are următoarele caracteristici: debitul de $3500 \text{ m}^3 / \text{h}$, presiunea de refulare 145m col.apă, turația 1300 rot/min, N.P.S.H. de 4,8 m iar puterea absorbită de 1730 kW. Părțile componente ale pompei sunt executate din materiale care nu produc scântei

electrostatice sau datorate frecărilor accidentale. Pompa va putea funcționa normal la turația **nominală**, chiar dacă debitul acesteia scade până la 20 % din valoarea nominală.

1.8.6, Instalația de automatizare - control

Destinația acestei instalații este să **urmărească**, să **transmită**, să afișeze informații și să acționeze în anumite situații pentru reglarea anumitor parametri și pentru protecția **turbopompei**. Această instalație permite efectuarea **operațiilor** de: **balastare**, **debalastare**, comandă manuală și automată.

Instalația de automatizare se compune din: **AMC** montate în instalație, echipamente locale montate în compartimentul pompelor și în compartimentul mașinilor, echipamente montate în camera de comandă încărcare - descărcare marfă și în postul **central** de comandă.

Instalația de automatizare permite urmărirea următoarelor presiuni: intrare abur în **turbină**, abur etanșare **labirinți**, ieșire abur din **turbină**, ulei pentru reglaj, ulei ungere după **răcitor**, ulei protecție **turbină**, ulei refulare pompe de ungere, ulei intrare - ieșire filtru de ulei, balast pe aspirația pompei de **balsat**, balast pe refularea pompei de balast.

Instalația de automatizare **urmărește** temperaturile: intrare abur în **turbină**, ieșire abur din **turbină**, lagărelor mecanismului reductor, ulei intrare - ieșire din răcitor, lagărelor pompei de balast.

Protecția este asigurată pentru următoarele situații: turație turbină (**maximă**), temperatură lagăre **reductor** (maximă), temperatură lagăre pompă (maximă), presiune abur evacuare din **turbină(maximă)**, presiune refulare pompă de balast (maximă), presiune ulei ungere (minimă), nivel ulei în tanc (**minim**), alte situații legate de instalațiile navei.

Bibliografie

- [1]. B. Popa, C. Vintilă
Termotehnică și mașini termice
Editura Didactică și Pedagogică
București 1977
- [2]. B. Popa, L. Carabogdan
Manualul inginerului **termotehnician**, vol. II
Editura **Tehnică**, București 1986
- [3]. Ș. Petrescu, Dan Ștefănescu, ș.a.
Termotehnică și mașini **termice**
Editura Didactică și Pedagogică
București 1978
- [4]. Titus Grecu, M. Cârdu, L. Nicolau
Turbine cu abur
Editura **Tehnică**, București 1996
- [5]. Gavril Creța
Turbine cu abur și cu gaze
Editura **Didactică** și Pedagogică
București 1981
- [6]. L. V. Inozemtev
Motoare termice
Editura **Tehnică**, București 1955
- ***
Turbopompă de balast tip TC- 0,53/3693-THA
- ***
Turbopompă de marfă tip TC- 1,9/6618- THA

2

TURBINE CU GAZE

2.1. Generalități

Instalațiile de turbine cu gaze **prezintă**, atât față de cele de turbine cu **abur**, cât și față de **motoarele** cu ardere **internă** cu piston, câteva avantaje importante rezultate din faptul că necesită un debit de apă de răcire **mult** mai redus, exploatarea lor este mai **simplă** și cheltuielile de **întreținere** sunt mai mici, dimensiunile de **gabarit**, suprafața ocupată și greutatea lor sunt mai mici la aceleași puteri **unitare**, iar domeniile de utilizare ale **instalațiilor** de turbine cu gaze sunt **mult** mai extinse. Dar, față de **instalațiile** de turbine cu abur, cele de turbine cu gaze au **unele** dezavantaje care le **limitează** domeniul de utilizare: puterea unitară mai mică datorită capacității reduse de **înmagazinare** a căldurii în **gaze** și a consumului de putere reclamat de compresor, siguranță în funcționare mai redusă, consum mare de materiale aliate **necesare** camerelor de ardere și turbinelor, **complicarea** constructivă a instalației prin prezența **compresorului**. În ceea ce privește turbina cu **gaze propriu-zisă**, funcționând pe același principiu ca și turbina cu abur, este asemănătoare cu **aceasta**, față de care prezintă însă un necesar de trepte mai mic, **corespunzător** căderii **termice** mai reduse.

Principal, în instalațiile de turbine cu gaze are loc **transformarea** energiei chimice a combustibililor în energie termică (**potențială**), în camera de ardere unde **combustibilul** este injectat în aerul de ardere, provenit de la un compresor, energia termică a **gazelor** rezultate din ardere se transformă apoi, în ajutoarele turbinei cu gaze, în energie **cinetică**, iar în rotorul turbinei, aceasta se transformă în energie **mecanică**, servind la acționarea arborelui turbinei.

Variatatea principiilor constructive, precum și diversitatea domeniilor de **utilizare**, conduc la existența unor tipuri variate de instalații de turbine cu gaze, a căror clasificare generală este prezentată în tabelul 2.1.

2.2. Ciclul de funcționare al instalațiilor de turbine cu gaze

Spre deosebire de cele ale **motoarelor** cu ardere internă cu piston, ciclurile instalațiilor de turbine cu gaze se realizează în întreaga instalație (compusă **dintr-un** minim de agregate separate: compresor, cameră de ardere, turbină cu gaze), iar destinderea gazelor în **turbină** nu este **trunchiată**, ci se continuă până la atingerea presiunii de **admisie** în instalație.

Tabelul 2.1. Clasificarea generală a instalațiilor de turbine cu gaze.

Criteriul de clasificare	Instalații de turbine cu gaze	Criteriul de clasificare *	Instalații de turbine cu gaze
Condițiile de ardere	Cu ardere la presiune constantă-	Felul comprimării agentului de lucru	Fără răcire intermediară
	Cu ardere la volum constant		Cu răcire intermediară
Circulația agentului termic	Cu circuit deschis	Direcția gazelor în turbină	Cu turbine axiale
	Cu circuit închis		Cu turbine radiale
	Cu circuit mixt	Modul de transformare a căldurii în lucru mecanic	Fără încălzire intermediară
	Turbine de expansiune		Cu încălzire intermediară
Valorificarea căldurii reziduale (evacuare)	Fără recuperare	Numărul de arbori	Cu acțiune
	Cu recuperare		Cu un arbore
	Cu cicluri combinate		Cu mai mulți arbori
Sistemul de alimentare al turbinelor	Cu cameră de ardere	Utilizări la bordul navei	Pentru propulsie
	Cu generatoare de gaze cu pistoane libere		Pentru generatoare de curent
	Cu gaze de evacuare		Agregate de supraalimentare

2.2.1. Ciclul instalațiilor de turbine cu gaze cu ardere la volum constant

Principala **caracteristică** a instalațiilor de turbine cu **gaze** cu ardere la volum **constant**, o constituie camera de ardere b (Fig. 2.1.), **prevăzută** cu supapele de **admisie** (s_a) și de **evacuare** (s_e) care asigură condițiile **izocore** de ardere.

Evacuarea gazelor arse din camera de ardere fiindu-se **periodic**, lucrul mecanic cules la arborele turbinei se produce de asemenea cu **intermitență**.

În Fig. 2.1 cifrele încercuite care **precizează** starea agentului termic, **aer-gaze** arse, se regăsesc în **vârfurile** ciclului teoretic de funcționare a instalației, reprezentat în diagramele $p-V$ și $T-S$ din fig. 2.2.

Compresorul a aspiră aerul la presiunea p_1 , după izobara (0-1) și îl **comprimă**, teoretic **adiabatic**, pe traseul (1-2), până la presiunea p_2 , corespunzătoare raportului de creștere a presiunii în timpul comprimării:

$$\beta = \frac{p_2}{p_1} \quad (2.1)$$

Supapele de adraisie s_a fiind deschise, **aerul** comprimat pătrunde în camera de ardere, în același timp **injectându-se** și combustibilul. După închiderea supapelor și realizarea **aprinderii**, în volumul închis al camerei de ardere are loc procesul de ardere, reprezentat în ciclul teoretic prin încălzirea **izocoră** (2-3).

La atingerea presiunii p_3 , **corespunzătoare raportului** de creștere a presiunii în procesul de ardere:

$$\lambda = \frac{p_3}{p_2} \quad (2.2)$$

supapa de evacuare s_e se deschide și permite gazelor arse să pătrundă în turbina d .

Destinderea gazelor în turbină **se desfășoară**, până când se atinge presiunea $p_4 = p_1 = p_0$, teoretic după **adiabata** (3 - 4): ciclul teoretic se închide prin răcirea izobară (4 - 7), care reprezintă evacuarea gazelor în atmosferă și răcirea acestora până la $T_1 < T_0$.

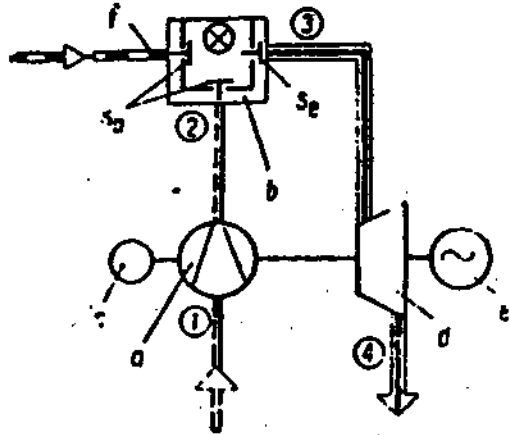


Fig. 2.1. **Schema instalației de turbină cu gaze, cu ardere la volum constant.**
a - compresor; b - camera de ardere; c - motor de pornire; d - turbină cu gaze; e - generator electric; f - conductă de alimentare cu combustibil; s_a, s_e - supapă de admisie, respectiv evacuare; 1, 2, 3, 4 - stările agentului evolutiv.

Pe măsură ce gazele arse sunt evacuate din camera de ardere, presiunea în interiorul acesteia scade, iar la atingerea valorii $p_2 < p_s$, supapele de evacuare se închid, cele de admisie se deschid, permițând astfel reluarea procesului ciclic.

Randamentul termic al ciclului teoretic, parcurs de o masă unitară de agent evolutiv, este:

$$\eta_t = 1 - \frac{|q_o|}{q} = 1 - \frac{|q_{41}|}{q_{23}} \quad (2.3)$$

Sau, dacă se înlocuiește expresia căldurii cedate în răcirea izobară și cea a aportului de căldură din încălzirea izocoră:

$$|q_{41}| = \bar{c}_p(T_4 - T_1); \quad q_{23} = \bar{c}_v(T_3 - T_2)$$

se obține:

$$\eta_t = 1 - \frac{\bar{c}_p(T_4 - T_1)}{\bar{c}_v(T_3 - T_2)} = 1 - x \frac{\frac{T_4}{T_1} - 1}{\frac{T_3}{T_2} - 1} \quad (2.4)$$

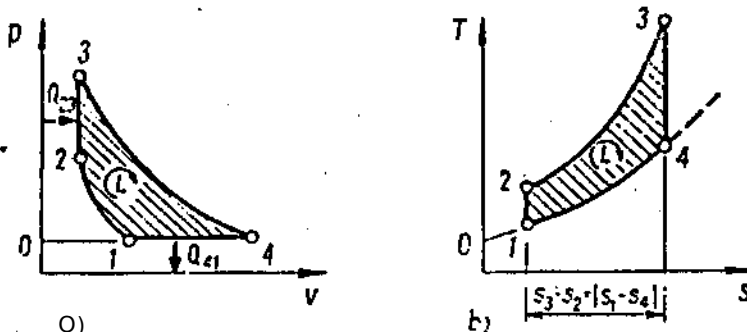


Fig. 2.2. **Ciclul teoretic al instalației de turbină cu gaze, cu ardere la volum constant, reprezentat în:**

a - diagrama $p - V$; b - diagrama $T - S$.

Pentru a exprima $\eta_t = f(\beta, \lambda)$, se iau în considerare relațiile de interdependență dintre temperaturile și presiunile din procesele care formează ciclul teoretic:

$$\frac{T_1}{T_2} = \left(\frac{p_1}{p_2} \right)^{\frac{x-1}{x}} = \frac{1}{\beta^{\frac{x-1}{x}}} \quad (2.5)$$

$$\frac{T_3}{T_2} = \frac{p_3}{p_2} = \lambda \quad (2.6)$$

$$\left\{ \begin{aligned} \frac{T_4}{T_3} &= \left(\frac{p_4}{p_3} \right)^{\frac{x-1}{x}} = \left(\frac{p_1}{p_3} \right)^{\frac{x-1}{x}} = \left(\frac{p_1}{p_2} \frac{p_2}{p_3} \right)^{\frac{x-1}{x}} = \frac{1}{\beta^{\frac{x-1}{x}} \lambda^{\frac{x-1}{x}}}; \\ \frac{T_4}{T_1} &= \frac{T_4}{T_3} \frac{T_3}{T_2} \frac{T_2}{T_1} \left\{ \begin{aligned} \frac{T_3}{T_2} &= \lambda; \\ \frac{T_2}{T_1} &= \left(\frac{p_1}{p_2} \right)^{\frac{x-1}{x}} = \beta^{\frac{x-1}{x}}; \end{aligned} \right. \end{aligned} \right.$$

rezultând pentru ultimul raport:

$$\frac{T_4}{T_1} = \frac{1}{\beta^{\frac{x-1}{x}} \lambda^{\frac{x-1}{x}}} \lambda \cdot \beta^{\frac{x-1}{x}} = \lambda^{1/x} \quad (2.7)$$

Substituind relațiile obținute (2.5), (2.6) și (2.7) în expresia (2.4) a randamentului termic teoretic, se obține pentru ciclul instalațiilor de turbine cu gaze cu ardere la volum **constant**:

$$\eta_t = 1 - x \frac{1}{\beta^{\frac{x-1}{x}}} \frac{\lambda^{1/x} - 1}{\lambda - 1} \quad (2.8)$$

care arată că majorarea randamentului termic al ciclului teoretic este condiționată de creșterea raportului β și de mărirea încărcării mașinii λ , după cum este reprezentat în cele două diagrame din (fig. 2.3).

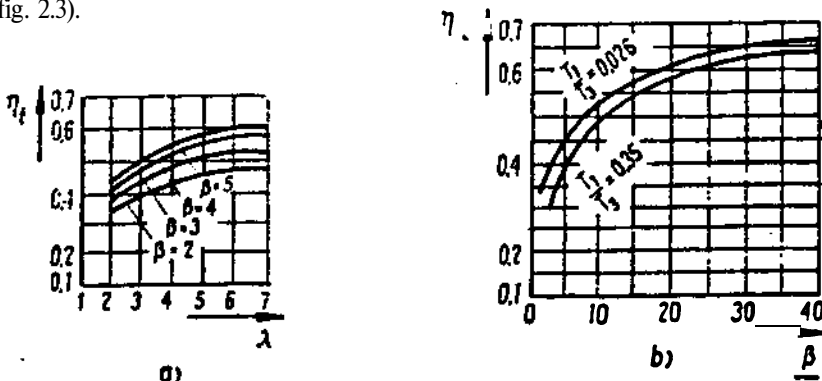


Fig. 2.3. Variația randamentului termic pentru ddui teoretic ai instalațiilor de turbine cu gaze, cu ardere izocoră:

a - $\eta_t = f(\beta, \lambda)$; b - $\eta_t = f(T_3/T_2, \beta)$.

Dezavantajele majore ale acestor instalații: necesitatea unui mecanism complicat pentru comanda supapelor de **admisie** și **evacuare**, existența unor valori variabile ale presiunii și temperaturii la **admisia** gazelor în **turbină**, au făcut ca în prezent turbinele cu gaze cu ardere la volum constant să nu se mai construiască.

2.2.2. Ciclu **instalațiilor** de turbine cu gaze cu ardere la presiune constantă

Nemaiavând supape de admisie și evacuare (fig. 2.4), camera de ardere b a acestei instalații este alimentată continuu cu aer comprimat și combustibil, ceea ce face ca și debitarea de **gaze arse**, spre turbină să **fie continuă**.

Ciclu teoretic al acestor instalații, reprezentat în diagramele $p-V$ și $T-s$ din (fig. 2.5), se compune din următoarea succesiune de transformări pe care le parcurge agentul termic: (7-2) comprimarea **adiabatică** a aerului în compresorul a ; (2-3) încălzirea **izobară**, reprezentând procesul de ardere în camera de ardere b ; deschisă la ambele capete: (3-4) destinderea **adiabatică** a gazelor arse, în turbina d ; (4-1) răcirea izobară a gazelor evacuate din **turbină**.

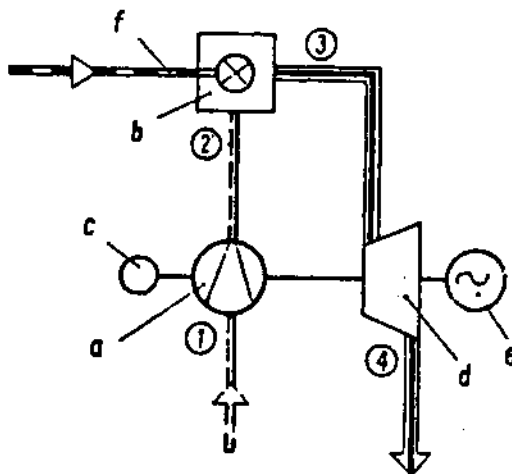


Fig. 2.4. Schema **instalației** de turbină cu gaze, cu ardere la **presiune constantă**.

a - compresor; b - camera de ardere; c - raocor de pornire; d - turbină cu gaze; e - generator electric; f - conductă de alimentare cu combustibil; 1, 2, 3, 4 - stările agentului termic evoluiv.

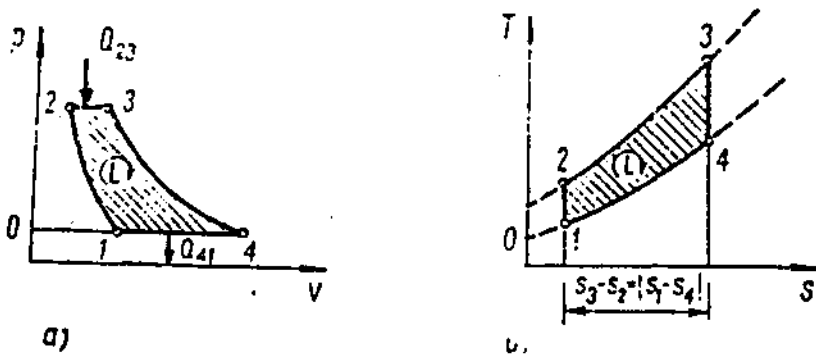


Fig. 2.5. Ciclu teoretic al instalației de turbină cu gaze, cu ardere la presiune **constantă**, reprezentat în:

a - diagrama $p-V$; b - diagrama $T-s$.

Căldura primită în procesul arderii izobare, împreună cu cea cedată de către gazele arse la ieșire din turbină (scrise pentru 1 kg de agent termic):

$$q_{23} = \bar{c}_p(T_3 - T_2);$$

$$|q_{41}| = \bar{c}_p(T_4 - T_1)$$

conduc la precizarea randamentului termic al ciclului **teoretic pentru** instalațiile de turbine cu gaze cu ardere la presiune constantă:

$$\eta_t = 1 - \frac{|q_{41}|}{q_{23}} = 1 - \frac{T_4 - T_1}{T_3 - T_2} = 1 - \frac{T_1}{T_2} \frac{\frac{T_4}{T_1} - 1}{\frac{T_3}{T_2} - 1} \quad (2.9)$$

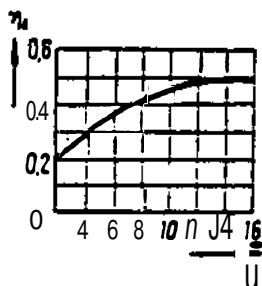


Fig. 2.6. Variația randamentului termic $\eta_t = f(\beta)$ pentru ciclul teoretic al instalațiilor de turbine cu gaze, cu ardere la izobară.

Pentru **adiabatele** (1-2) și (3-4), ținând cont de egalitatea **prăsiunilor** $p_2 = p_3$ și $p_4 = p_1$, rezultă:

$$\frac{T_1}{T_2} = \left(\frac{p_1}{p_2}\right)^{\frac{\kappa-1}{\kappa}} = \left(\frac{p_4}{p_3}\right)^{\frac{\kappa-1}{\kappa}} = \frac{T_4}{T_3} \left\{ \begin{array}{l} \frac{T_3}{T_2} = \frac{T_4}{T_1} \\ \frac{T_1}{T_2} = \frac{1}{\beta^{\frac{\kappa-1}{\kappa}}} \end{array} \right.$$

cu care, din relația (2.9) se obține:

$$\eta_t = 1 - \frac{1}{\beta^{\frac{\kappa-1}{\kappa}}} \quad (2.10)$$

Asemănătoare celei stabilite pentru motoarele cu ardere la volum **constant**, expresia (2.10) arată că randamentul termic al acestui ciclului **teoretic**, crește odată cu mărirea raportului de creștere a presiunii în timpul comprimării (fig. 2.6).

Caracteristic pentru acest ciclu este coeficientul:

$$\varphi = \frac{V_3}{V_2} = \frac{T_3}{T_2} \quad (2.11)$$

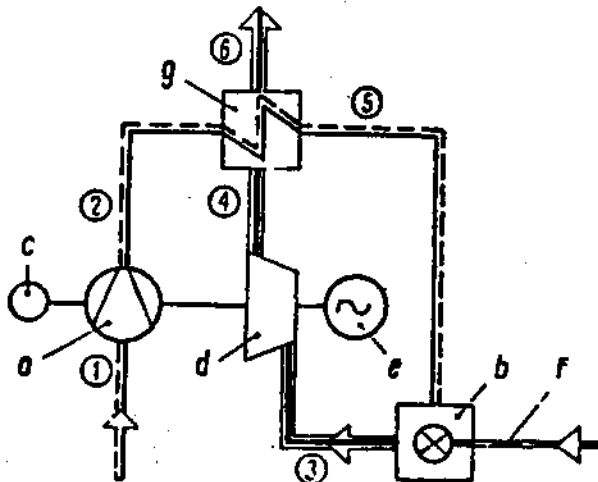
reprezentând raportul volumelor (sau al temperaturilor) în arderea **izobară**.

2.2.3. Ciclul instalațiilor de turbine cu gaze, cu recuperare de căldură

Îmbunătățirea randamentului **instalațiilor** de turbine cu **gaze** se poate obține prin montarea unor aparate schimbătoare de **căldură**, numite în acest **caz**, recuperatoare (g din figura 2.7), în care, după evacuarea din **turbină**, gazele arse cedează o parte din căldura pe care o **conțin**, aerului refulat de compresor. Prin această **preîncălzire** a aerului de ardere se micșorează **diferența** dintre temperatura gazelor arse la ieșire din camera de ardere și temperatura aerului la intrare în **aceasta**, corespunzător căreia se reduce consumul de combustibil.

Fig. 2.7. Schema instalației de turbină cu gaze, cu recuperare de căldură:

a - compresor; b - camera de ardere; c - motor de pornire; d - turbină cu gaze; e - generator electric; f - conductă de alimentare cu combustibil; g - aparat recuperator de călduri;
1, 2, 3, 4 - stările agentului termic evolutiv.



Ciclurile teoretice de funcționare ale instalațiilor de turbine cu gaze, cu recuperare, sunt reprezentate în diagramele p - V și T - s din (fig. 2.8), cu utilizarea aceluiași notații pentru stările agentului **termic**, ca și în (fig. 2.7).

După **comprimarea** adiabatică (1-2), la care este supus aerul în compresorul **a**, pătrunzând în recuperatorul **g** se încălzește izobar, astfel încât își mărește temperatura la $T_3 > T_2$; în cazul teoretic al recuperării totale, aerul se încălzește până când temperatura lui atinge valoarea temperaturii gazelor arse, adică până la $T_3 = T_4$.

Prin procesul de ardere din camera de ardere **b**, încălzirea este continuată pe traseul izobar (5-3) al ciclului, în cursul căreia agentul evolutiv absoarbe căldura q_a .

După destinderea adiabatică (3-4) din turbina **d**, gazele arse intră în recuperatorul **g** și cedează căldură aerului **comprimat**, pe traseul izobar (4-6), iar în cazul ideal al recuperării totale (4-6').

Evacuarea în atmosferă a gazelor arse este însoțită de răcirea izobară a lor (6-1), în care cedează mediului **ambiant**, conținutul lor de căldură q_r .

Factorul de recuperare μ reprezintă raportul dintre căldura preluată de aer în recuperator pentru a-și majora **temperatura** de la T_2 la T_3 și căldura care ar putea fi preluată de aer într-un recuperator cu o suprafață infinit de mare (recuperare totală), caz în care **și-ar** mări temperatura de la T_2 până la $T_3 = T_4$:

$$\mu = \frac{\bar{c}_p(T_3 - T_2)}{c_p(T_4 - T_2)} = \frac{T_3 - T_2}{(T_4 - T_2)} \quad (2.12)$$

rezultând pentru recuperarea **totală**, adică $\mu = 1$, $T_3 = T_4$.

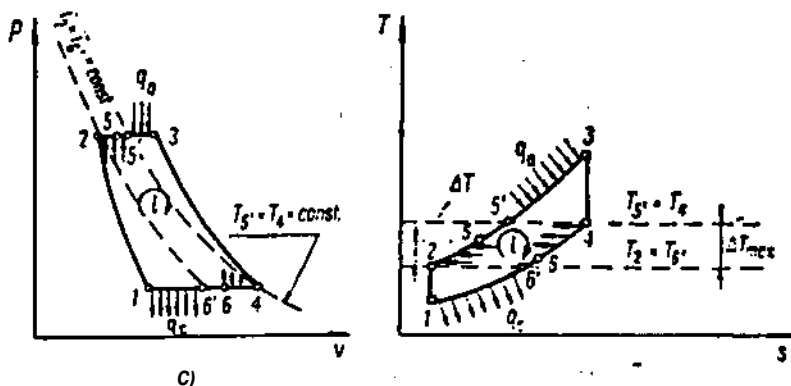


Fig. 2.8. Ciclu teoretic al instalației de turbină cu gaze, cu ardere la presiune constantă și cu recuperare de căldură:
a - în diagrama $p - V$; b - în diagrama $T - S$.

Ținând cont de expresia factorului de recuperare (2.12), ecuația bilanțului termic pentru schimbătorul de căldură-recuperator (fig. 2.7):

$$T_4 - T_6 = T_3 - T_2 = \mu(T_3 - T_2)$$

servește la precizarea căldurii absorbite și a celei cedate de 1 kg de agent termic la parcurgerea procesului ciclic:

$$q_a = \bar{c}_p(T_3 - T_5) = \bar{c}_p[(T_3 - T_2) - (T_5 - T_2)] = \bar{c}_p[(T_3 - T_2) - \mu(T_3 - T_2)];$$

$$|q_c| = \bar{c}_p(T_6 - T_1) = \bar{c}_p[(T_4 - T_1) - (T_6 - T_6)] = \bar{c}_p[(T_4 - T_1) - \mu(T_3 - T_2)].$$

Cu ajutorul acestora, randamentul termic al ciclului teoretic cu recuperare de căldură parțială, rezultă:

$$\eta_{t_{\text{max}}} = 1 - \frac{|q_c|}{q_a} = 1 - \frac{T_4 - T_1 - \mu(T_3 - T_2)}{T_3 - T_2 - \mu(T_3 - T_2)} \quad (2.13)$$

creșterea acestui randament este cu atât mai importantă, cu cât factorul de recuperare μ este mai apropiat de unitate.

2.2.4 Ciclu instalațiilor de turbine cu gaze, cu comprimare și destindere izotermă și cu recuperare totală

Într-un astfel de ciclu (fig. 2.9), în comprimarea izotermă (1-2) agentul termic cedează căldura $q_{12} = q_0$, la temperatura $T_1 = T_2 = T_0$, iar în destinderea izotermă (3-4), primește din exterior căldura $q_{34} = q$, la temperatura $T_3 = T_4 = T$, $T > T_0$.

Ciclu fiind cu recuperare totală, $\mu = 1$, în aparatul recuperator căldura cedată de gazele arse în cursul răcirii izobare (4-1), este preluată integral, în încălzirea la presiune constantă (2-3), de către aerul comprimat; ceea ce rezultă și din ciclul reprezentat în diagrama $T-S$ (fig. 2.9,b): aria 41ad = aria 23cb,

adică

$$\bar{c}_p(T_4 - T_1) = \bar{c}_p(T_3 - T_2) = \bar{c}_p(T - T_0).$$

Randamentul termic al acestui ciclu teoretic:

$$\eta_{\text{tez}} = 1 - \frac{|q_{12}|}{q_{34}} = 1 - \frac{|q_0|}{q} = 1 - \frac{rT_0 \ln \frac{p_2}{p_1}}{rT \ln \frac{p_2}{p_1}} = 1 - \frac{T_0}{T} \quad (2.14)$$

reprezintă randamentul **termic** al unui **ciclu Carnot** care ar lucra între aceleași limite de temperatură.

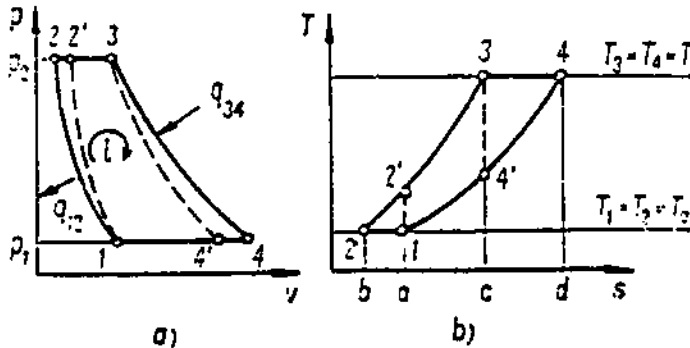


Fig. 2.9. Ciclu instalației de turbine cu gaze, cu compresie și destindere izotermă, reprezentat în diagramele :

a) $p - V$; b) $T - s$.

Un astfel de ciclu este deci un ciclu **ideal**, irealizabil deoarece:

- recuperarea integrală a căldurii conținută de gazele evacuate reprezintă un caz **limită**, care ar putea avea loc numai într-un recuperator ipotetic, cu **suprafață** infinit de mare;
- comprimarea și destinderea izotermă sunt evoluții teoretice, nerealizabile în agregatele industriale. Pentru a se utiliza parțial avantajele economice ale ciclului cu **comprimare** și destindere izotermă, în practică se recurge la fracționarea acestor procese în mai multe agregate legate în serie.

2.2.5. Ciclu instalațiilor de turbine cu gaze, cu răciri și încălziri intermediare

Instalația de turbine cu **gaze**, a cărei schemă de principiu este **reprezentată** în fig.2.10. reali/rază procesul de comprimare în trei **compresoare** (c_1 , c_2 , c_3), între care sunt intercalate două **răcitoare** intermediare (r_1 și r_2), **destinderea**, în trei turbine (t_1 , t_2 , t_3), fiecare din ele fiind precedate de câte o cameră de ardere (ca_1 , ca_2 și ca_3), iar schimbătorul de căldură R asigură o recuperare parțială a căldurii conținută de gazele arse evacuate din turbina de joasă presiune t_3 ; ciclul real de funcționare a acestei **instalații** este reprezentat în fig. 2.11.

Compresorul c_1 aspiră aer atmosferic și îl comprimă **politropic** (1-2'), după care, în **răcitorul intermediar** r_1 , aerul este **supus** unei răciri izobare (2'-1'). între comprimările **politropice** (1'-2'') și (2''-3), care au loc în **compresoarele** de medie și înaltă presiune, c_2 și c_3 , este intercalată răcirea intermediară (2''-1'') care se desfășoară izobar, în răcitorul r_2 . Aerul pătruns în recuperatorul R se încălzește izobar până la starea corespunzătoare punctului 5 din diagrama $T-s$, în **timp** ce gazele **arse**, evacuate din turbina de joasă presiune, în **prer recuperator** se răcesc la presiune constantă (4-6).

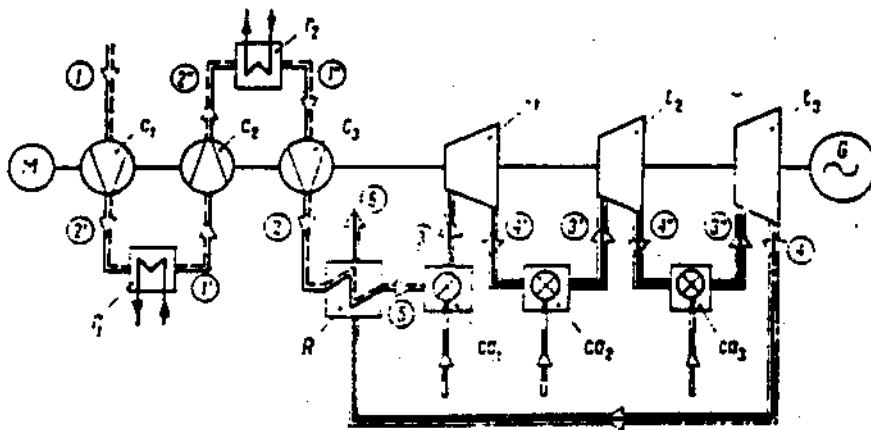
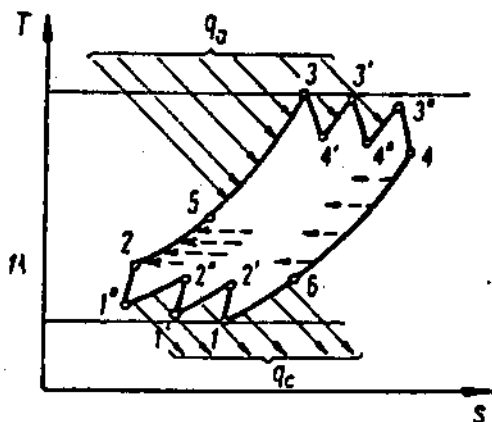


Fig. 2.10. Schema de principiu a instalației de turbine cu gaze, cu încălziri și rădri intermediare și cu recuperare de căldură parțială:

C_1, C_2, C_3 - compresor de joasă, medie și înaltă presiune; R - recuperator de căldură; r_1, r_2 - răcitoare de aer; t_1, t_2, t_3 - turbină cu gaze de înaltă, medie și joasă presiune; ca_1, ca_2, ca_3 - camere de ardere; M - motor de pornire; G - generator electric.



2.3. Părțile componente ale instalațiilor de turbine cu gaze

2.3.1. Turbina cu gaze

Turbinele cu gaze, constructiv asemănătoare celor cu abur, sunt mai simple decât acestea datorită numărului mai mic de trepte și lipsei **ventilelor** de reglare.

Funcțional, turbina cu gaze **se deosebește** de cea cu abur prin solicitarea termică puternică a **paletelor**, cauzată de temperaturile ridicate ale gazelor arse (fig. 2.12). Din acest **motiv**, răcirea paletelor are un rol important în buna **funcționare** a turbinei.

Sistemele de răcire cu apă prezentând complicații din cauza garniturilor de etanșare și a vaporizării apei între piesele fixe și mobile ale turbinei, răcirea cu aer a paletelor este cea care a căpătat o largă răspândire la toate tipurile de turbine cu gaze.

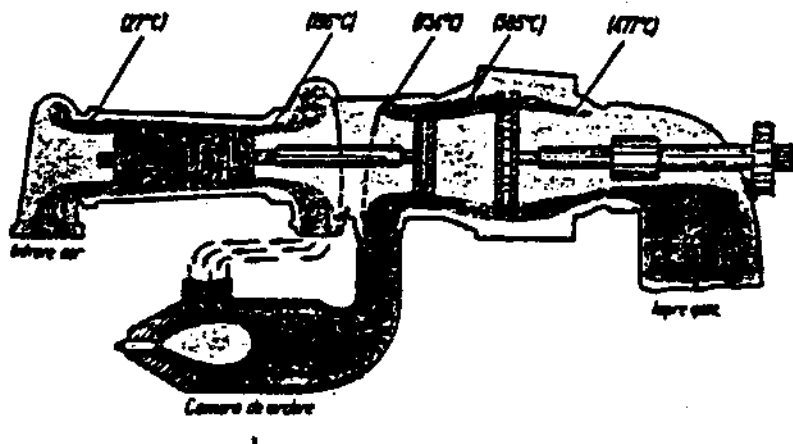


Fig. 2.12 Schema fluxului termic al gazelor care străbat o instalație de turbină cu gaze

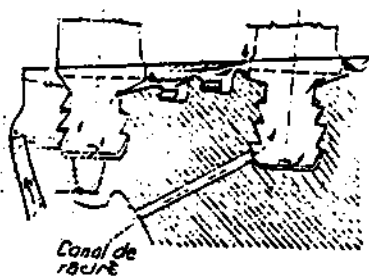


Fig. 2.13 Răcirea exterioară a paletelor mobile și a piciorului paletelor fixe ale turbinelor cu gaze

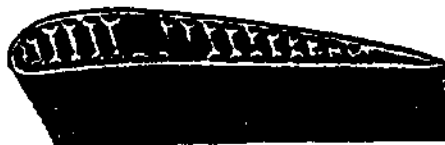


Fig. 2.14 Paleta unei turbine cu gaze, confecționată din tablă de oțel, cu canale de răcire din tablă ondulată

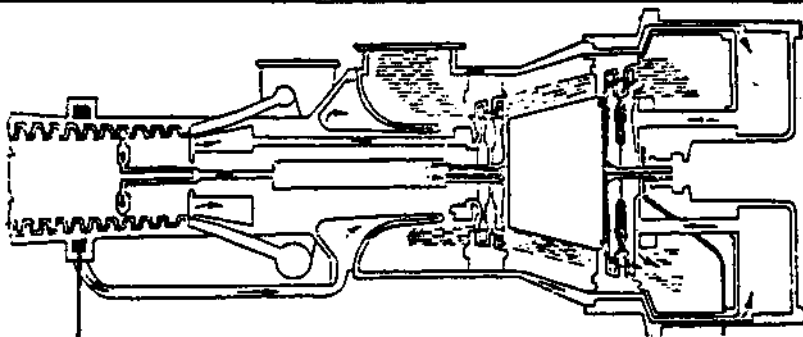


Fig. 2.15 Răcire combinată, exterioară și interioară, pentru o instalație de turbină cu gaze

Efectuându-se cu aer preluat din conducta de refulare a compresorului, răcirea cu aer a paletelor se poate realiza sub formă de:

-**răcire exterioară** (fig. 2.13), la care aerul se prelinge în lungul suprafețelor exterioare ale rotorului;

-**răcire interioară**, care constă din introducerea aerului în interiorul **arborelui**, de unde, prin niște canale **radiale** este dirijat spre canalele interioare practicate în palete (fig. 2.14), cărora le asigură **astfel răcirea**;

-**răcire combinată, exterioară și interioară**, prezentată în fig. 2.15 pentru turbina cu gaze pentru care în fig. 2.17 este redată schema fluxului termic al gazelor care parcurg instalația.

Paletelor turbinelor cu gaze (fig. 2.16) se execută din aliaje speciale, rezistente la temperaturi ridicate (tab. 2.2), prin forjare, sau prin turnare în forme cu modele **fuzibile** și mai rar, prin **frezare**. Sistemele adoptate pentru prinderea paletelor sunt similare celor utilizate în construcția turbinelor cu abur (cap. 1).

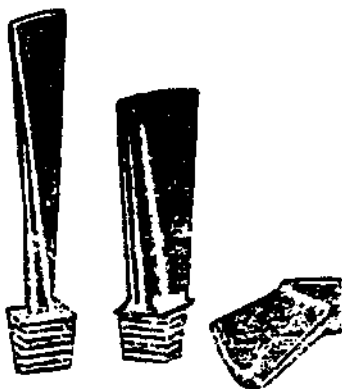


Fig. 2.16 Forma paletelor mobile ale turbinei cu gaze

2.3.2. Compresorul de aer

Compresorul, necesar alimentării cu aer a instalației la presiunea corespunzătoare funcționării **acesteia**, este tipul **turbocompresor**, acționat de către turbina cu gaze, fie prin cuplare directă (fig. 2.17), fie prin intermediul unor multiplicatoare de turație.

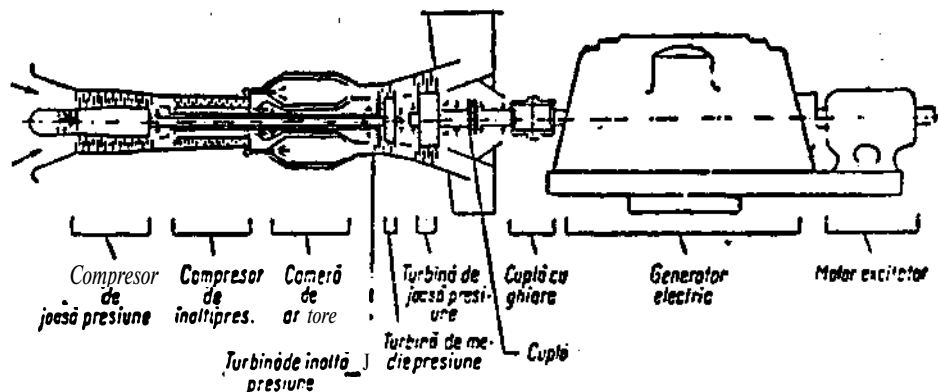


Fig. 2.17 Părțile componente ale unei instalații de turbină cu gaze de 9 MW

Tabelul 2.2 Aliaje speciale pentru confecționarea paletelor la turbinele cu gaze

Aliajul	Compoziția chimică [%]														Coeficientul de dilatare între 0 1000 °C %	Tempe- ratura maximă de utilizare °C1
		C	Si	Mn	P	S	Cr	Ni	Mo	W	Co	Ti	Nb	Alte elemente		
Ei - 123	-	$\frac{0,15}{0,25}$	$\frac{1}{2,3}$	$\frac{0,4}{0,8}$	0,03	0,03	$\frac{14}{16}$	$\frac{12}{14}$		$\frac{1,8}{2,2}$	-	$\frac{0,5}{1,5}$	•	-	18	650
Ei - 405	•	0,12	$\frac{0,8}{1,0}$	$\frac{0,3}{0,5}$	0,03	0,025	$\frac{14}{16}$	$\frac{12}{14}$	$\frac{2,5}{3,5}$	-	-	-	$\frac{0,8}{1,2}$	•	-	650
4X14H14B2M (EI - 69)	•	$\frac{0,4}{0,6}$	$\frac{0,3}{0,6}$	0,7	0,03	0,03	$\frac{13}{15}$	$\frac{13}{15}$	$\frac{0,25}{0,40}$	$\frac{2,00}{2,75}$		0,3	-	-	18	700
23X13H	•	0,2	1,0	2,0	0,035	0,03	$\frac{22}{25}$	$\frac{12}{15}$	-	•	-	$\frac{0,15}{0,25}$	-	-	18,6	700
1X18HT (IAIT)	-	0,12	0,8	2,0	0,03	0,035	$\frac{17}{20}$	$\frac{8}{11}$	-	-	•	0,8	-	-	18,2	700
Nimonic 80 A	0,5	0,04	-	-	-	•	20	75	-	-	•	2,4	•	A/2	15,1	735
Nimonic 90 A	0,5	0,04	•	-	•	-	20	55	•	-	20	2,4	•	A/2	-	815
Vitalium	2,0	0,2	•	-	•	-	28	2	6	-	62	-	-	•	14,1	980
J	2,3	0,7	-	•	•	-	23	6	6	•	60	-	•	T/2	-	980
S - 816	4,0	0,4	-	-	-	-	20	20	3,5	4	44	-	4	-	15,9	980
M-252	•	0,1	-	-	•	•	20	50	10	-	10	-	2,5	Al 0,75 Mn 0,7 Si 1,0	-	-

Compresoarele centrifuge (fig. 2.18) și (2.19), de construcție simplă și de dimensiuni **reduse**, au randamente relativ **reduse** (75%); sunt folosite la agregatele de supraalimentare la motoarele navale.

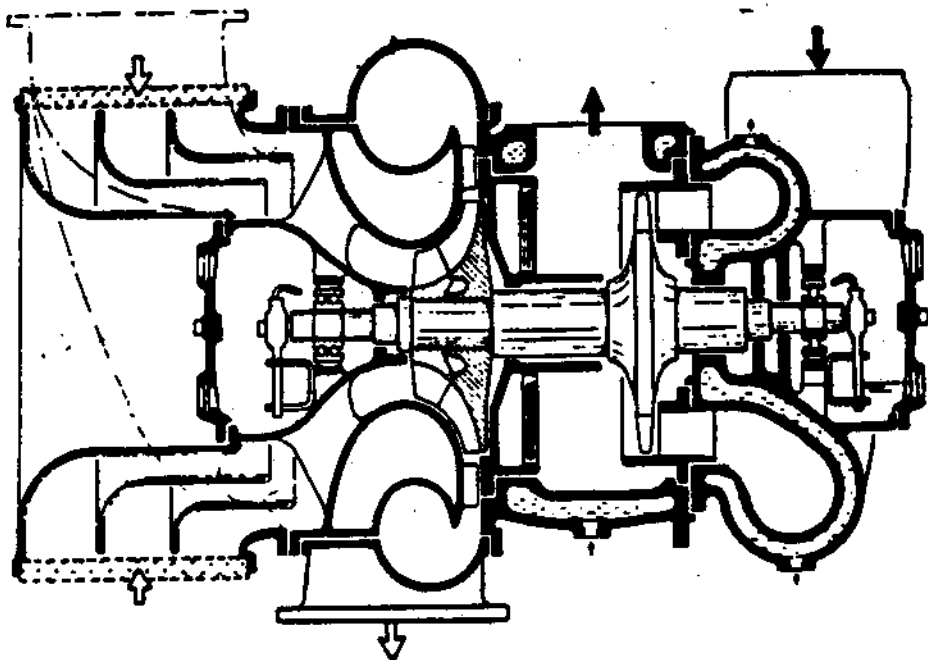


Fig. 2.18. Agregatul de supraalimentare pentru motoare tip DOXFORD
1-filtru de aer; 2-. compresor **centrifugal**; 3- turbină cu gaze;

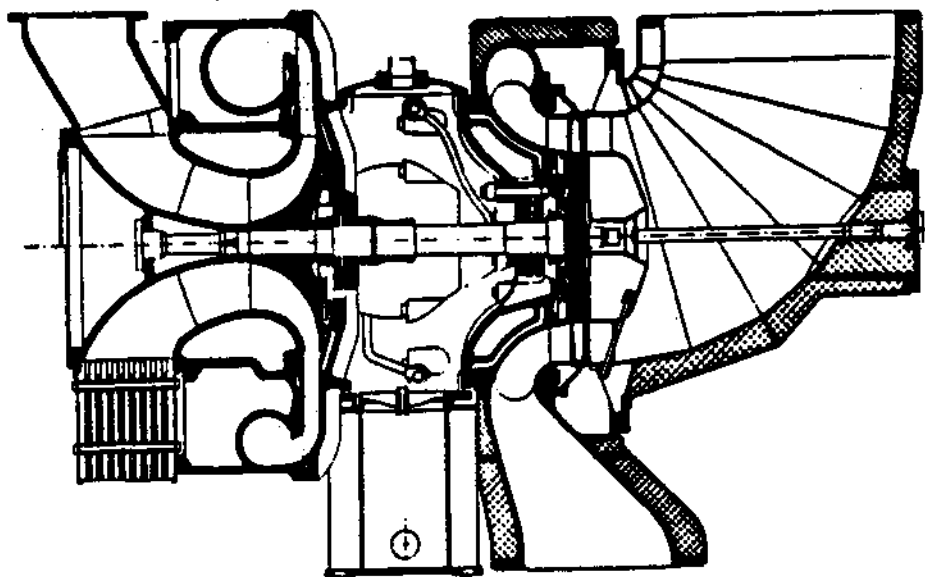


Fig. 2.19. Agregat de supraalimentare pentru motoare **MAN**
1-filtru de aer; 2-. compresor **centrifugal**; 3- turbină cu gaze;

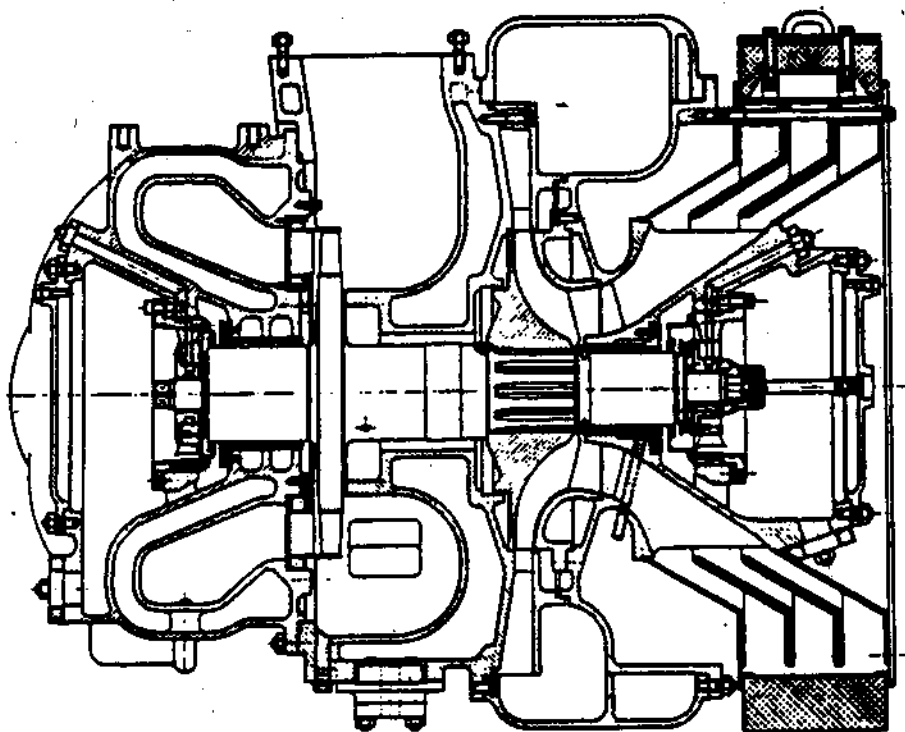


Fig. 2.20. Agregatul de supraalimentare pentru un motor în patru timpi
1-filtru de aer; 2- compresor centrifugal; 3- turbină cu gaze;

2.3.3 Camera de ardere

Camera de ardere este partea din instalație în care energia chimică a combustibilului se **transformă** în energie termică a gazelor de ardere rezultate, a căror temperatură se reduce, prin amestecare cu aer suplimentar introdus, până la valoarea necesară alimentării turbinei. Realizarea constructivă a camerelor de ardere (clasificate în tabelul 2.3), de care depinde funcționarea sigură și economică a instalației, trebuie să îndeplinească următoarele condiții principale: **aprindere** sigură și simplă a combustibilului; ardere, cu flacără cât mai **scurtă**, stabilă în întreg domeniul de utilizare; răcire corespunzătoare a tuturor **părților** ei componente; rezistență aerodinamică cât mai **redușă**; randament cât mai ridicat și dimensiuni cât mai reduse.

în camera de ardere în **echicurent**, combustibilul este introdus printr-un injector, în cazul combustibililor **lichizi**, sau arzător, la cei gazoși sau solizi **pulverizați**, iar aerul de ardere este **turbionat** printr-un sistem de palete directe, pentru realizarea unui amestec cât mai omogen **aer-combustibil**. Lungimea camerei de ardere, respectiv volumul **ei**, se determină în așa fel, încât timpul de **trecere** al particulelor de combustibil prin camera de ardere să fie suficient pentru realizarea **oxidării** complete, adică viteza de deplasare a gazelor să fie inferioară celei de propagare a flăcării.

Tabelul 2.3 Clasificarea camerelor de ardere

Criteriul de clasificare	Tipul de cameră de ardere	Particularități
Felul combustibilului	Cu combustibil lichid	Combustibilul este pulverizat în camera de ardere prin intermediul injectoarelor
	Cu combustibil gazos	Camera de ardere este echipată cu arzătoare , prin care este introdus combustibilul .
	Cu combustibil solid pulverizat	Particulele de combustibil pătrund în camera de ardere, în suspensie într-un curent de aer.
Direcția și sensul de introducere a aerului și a combustibilului	în echicurent	Aerul și combustibilul se introduc în camera de ardere în direcție axială și în același sens.
	în contracurent	Circulația aerului în secțiunea inelară dintre tubul central și manta , se face în direcția axială și în sens invers față de gazele arse.
	Unghiulară	Introducerea aerului perpendicular pe direcția de mișcare a gazelor arse, asigură o amestecare bună a aerului cu combustibilul
	Ciclon	Îmbunătățirea amestecării aerului cu combustibilul se realizează prin introducerea tangențială a aerului în camera de ardere
Realizarea constructivă	Individuală	Camera de ardere este tubulară
	Inelară	Arderea are loc în spațiul inelar dintre tubul central și manta

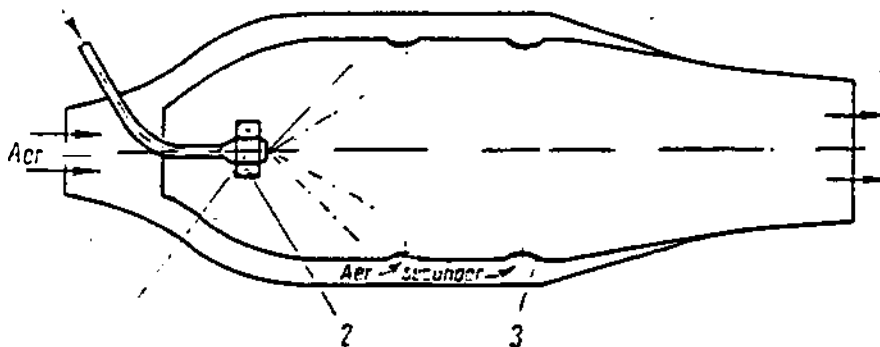


Fig. 2.21. Schema de principiu a camerei de ardere în echicurent:
1-injector; **2**-palete directoare; **3**-orificii pentru pătrunderea aerului secundar.

Principalele caracteristici ale camerelor de ardere (tab. 2.4) sunt:

-încărcarea sau solicitarea termică reprezintă raportul dintre căldura orară Q_h , dezvoltată prin arderea combustibilului și volumul camerei de ardere:

$$v_{CA} = \frac{Q_h}{V_{CA}} \left| \frac{kJ}{m^3 \cdot h} \right| \quad (2.16)$$

-**intensitatea termică**, intensitatea fluxului termic din spațiul camerei de ardere, dependentă de Q_h , de viteza axială medie w a gazelor și de debitul de aer L introdus în camera de ardere:

$$\mu_{CA} = \frac{3600Q_h}{L} w \left[\frac{kJ}{m^2 \cdot h} \right]. \quad (2.17)$$

având valori de 126...630 $GJ/m^2 \cdot h$, în cazul camerelor de ardere din instalațiile energetice corespunzătoare unor viteze $w=25m/s$:

Tabelul 2.4 Clasificarea camerelor de ardere

Camera de ardere	Temperatura aerului [°C]	Presiunea inițială [bar]	Pierderi de presiune [%]	Solicitarea termică a camerei de ardere [$GJ/m^2 \cdot h$]	Combustibilul utilizat	Coeficientul de exces de aer α	Debitul de căldură al camerei de ardere [CJ/h]
Cilindrică	-	3,8	-	83,7	păcură	1,6...2	până la 37,7
	200	4,2	1,6	până la 83,7	motorină	-	87,9
	400	4,1	1,9	până la 92,1	motorină	1,8	25,1
Unghiulară	250	6,4	0,6	până la 94,1	motorină	-	-
Inelară	220	3,1	8,5	-	motorină	-	51,9

-**stabilitatea și capacitatea de reglare a camerei de ardere**, obținute prin măsuri constructive speciale, exprimă posibilitatea de realizare a arderii stabile, în limitele de variație a cantității de combustibil admise;

-**căderea de presiune din camera de ardere**, datorată prezenței paletelor directoare și șocurilor produse la amestecarea gazelor de ardere cu aerul suplimentar;

-**randamentul termic al camerei de ardere**, dependent atât de pierderile prin ardere incompletă, cât și de cele ale suprafețelor ei exterioare, prin radiație și convecție termică, are valori, la construcțiile moderne, de 0.97...0.98. Fiind supuși unor solicitări termice mari, pereții camerelor de ardere se confecționează din oțeluri refractare, răciți în exterior de aerul secundar care îi scaldă. Figura 2.22 prezintă în secțiune, o cameră de ardere verticală în contracurent, iar figura 2.23, o cameră de ardere ciclon.

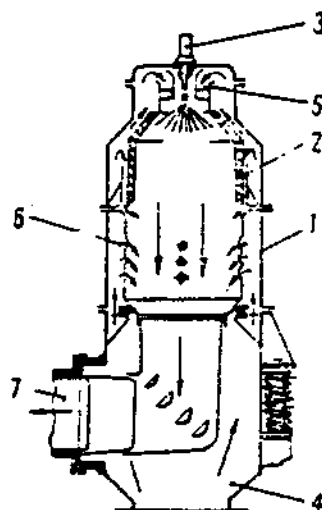


Fig. 2.22. Cameră de ardere verticală în contracurent:

1-mantă exterioră; 2-tub refractar; 3-injector; 4-racord pentru admisia aerului; 5-paletetele directoare ale aerului primar; 6-orificii pentru pătrunderea aerului secundar; 7-racord de evacuare.

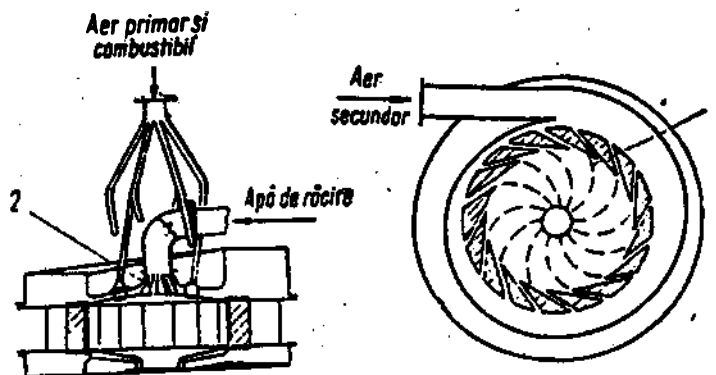


Fig. 2.23. Camera de ardere ciclon:
1-paletă directoare; 2-nervuri de răcire.

În scopul obținerii unui **amestec corespunzător** și a unei arderi uniforme și stabile, camerele de ardere pentru combustibili **lichizi**, se pot realiza **de tipul**, cu **vaporizare** prealabilă arderii **combustibilului**.

În fig. 2.24 se prezintă două posibilități de injectare a combustibilului în curentul de **aer**: **în sensul acestuia**, sau **în sens invers**.



Fig. 2.24. Camera de ardere cu injectarea **combustibilului**:
a-în sensul curentului de aer; b-în sens opus curentului de aer

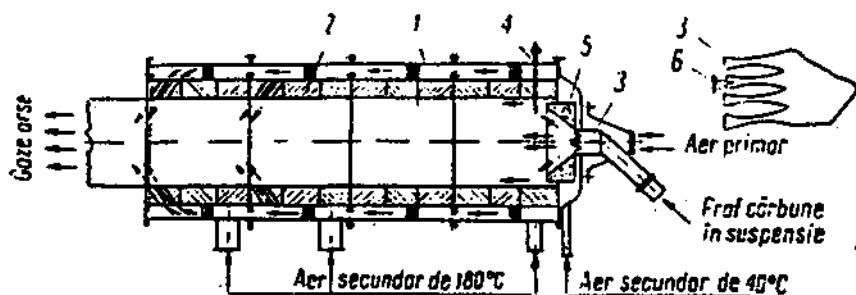


Fig. 2.25 Camera de ardere cu cărbune pulverizat:
1-manta exterioră; 2-căptușală refractară; 3-rețea de ajutaje pentru combustibilul pulverizat în suspensie; 4-sursă de aprindere; 5-căptușală din beton; 6-injector auxiliar cu combustibil lichid, pentru amorsarea arderii.

Asemănătoare celor cu combustibil **lichid**, camerele de ardere cu **combustibil** gazos au sistemul de **omogenizare** a amestecului **aer-combustibil**, constructiv **mai simplu**.

Camera de ardere în figura 2.25 este destinată utilizării prafului de cărbune.

Aceste camere de ardere sunt urmate de baterii multiciclone pentru reținerea cenușii, în scopul reducerii efectului **eroziv** asupra paletelor turbinei.

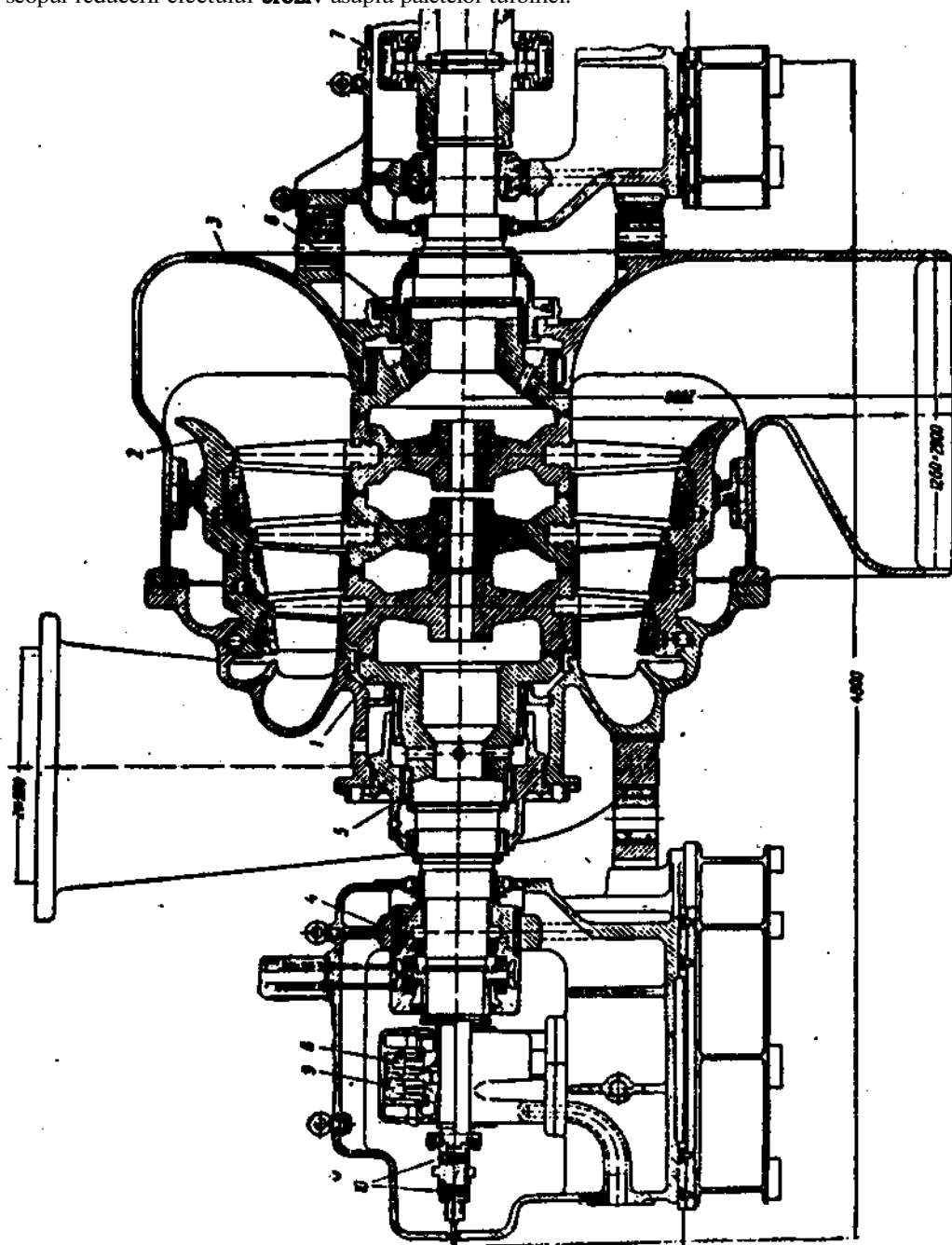


Fig. 2.26. Secțiune printr-o turbină cu gaze de joasă presiune LMZ
 1-rotor; 2- batiu; 3- racord de evacuare; 4- lagăr; 5, 6- labirinți; 7- cuplaj elastic;
 8- pompa sistemului de ungere; 9- pompă de ulei pentru sistemul de reglare.

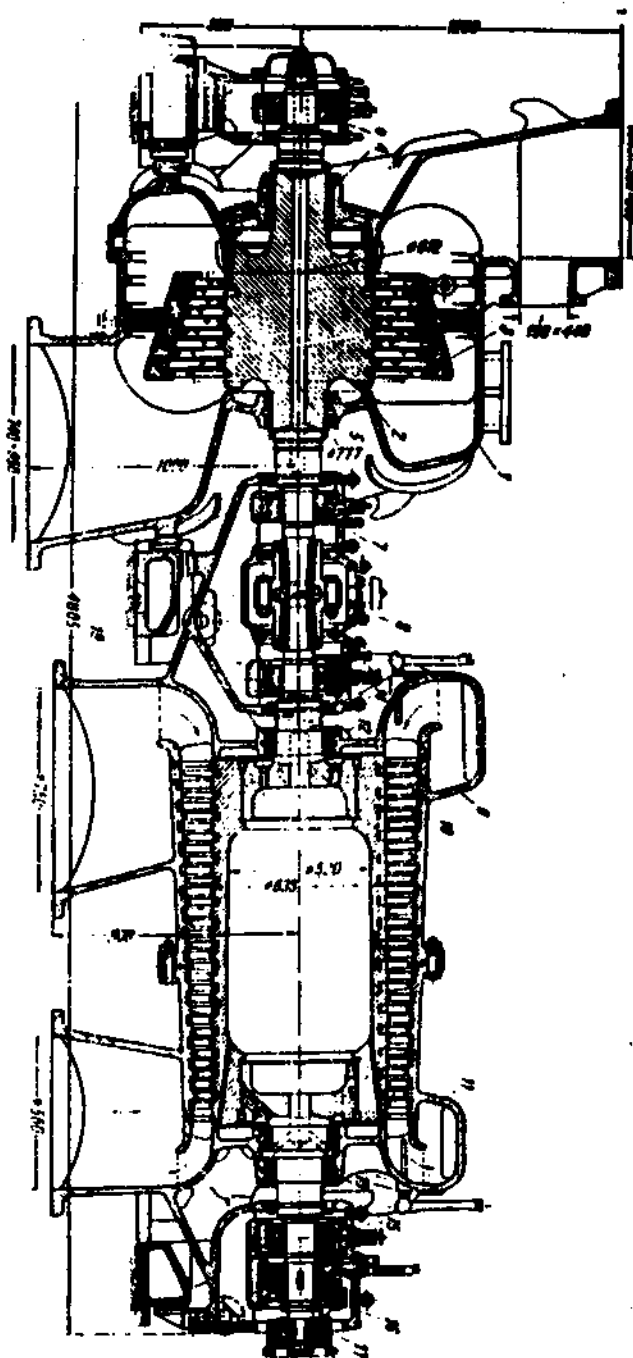


Fig.2.27. Turbina cu gaze NZL de 1500 kW la 5000 rot/min

1-carcasă; 2- rotor, 3- cadru; 4,5 -labirinți pentru turbină; 6,7 -lagăre;8-cuplaj;9- compresor axial; 10-rotorul compresorului; 11- difuzorul compresorului; 12,13- labirinți pentru compresori; 14,15-lagăre compresor; 16- lagăre axial; 17- cuplaj dințat; 18,19- batiu turbină.

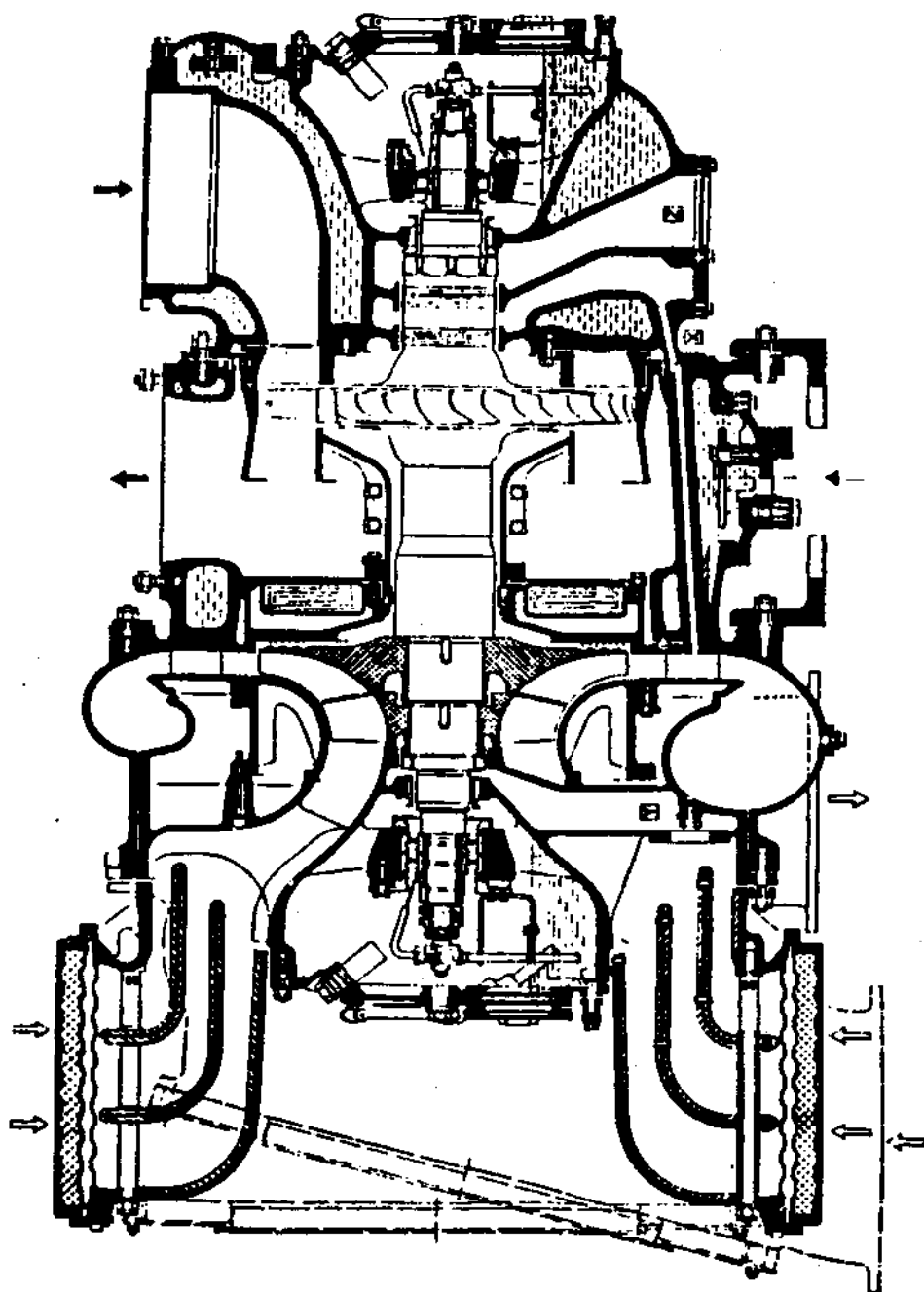


Fig.2.28 Turbosuflantă Brown Boveri

1-compresor;2-turbină cu gaze;3-intrare gaze;4 -ieșire gaze; 5-intrare aer, 6-ieșire aer

Bibliografie

[1]. B. Popa, C. Vintilă

Termotehnică și mașini **termice**
Editura Didactică și Pedagogică
București 1977

[2]. B. Popa, L. Carabogdan

Manualul inginerului **termotehnician**, vol. II
Editura **Tehnică**, București 1986

[3]. S. Petrescu, Dan Ștefănescu, ș.a.

Termotehnică și mașini **termice**
Editura Didactică și Pedagogică
București 1978

[4]. Titus Grecu, M. Cărdă, I. Nicolau

Turbine cu abur
Editura Tehnici București 1996

[5]. Gavril Creța

Turbine cu abur și cu gaze
Editura **Didactică** și Pedagogică
București 1981

[6]. I. V. Inozemțev

Motoare **termice**
Editura **Tehnică**, București 1955

POMPE . CONDUCTE . ARMĂTURI . GARNITURI

3. 1. Generalități

Mecanismele și instalațiile auxiliare de bord constituie parte componentă a utilajului tehnologic de la bordul navelor maritime și **fluviale**, **aflându-se** în funcționare continuă sau intermitentă pe toată durata de exploatare a navei.

Mecanismele și instalațiile hidraulice și pneumatice au rolul de a asigura printr-o funcționare corespunzătoare calitățile nautice ale navelor și de exploatare precum și condițiile de confort necesar echipajului pentru desfășurarea activității la bord. **Mecanismele** și instalațiile **hidro-pneumatice** de la bordul navei sunt supuse în permanentă agenților de lucru din instalații pe de o parte și diferiților agenți **atmosferici**, factori ce supun materialul de construcție în special fenomenului de coroziune. Mecanismele hidraulice trebuie să mai asigure buna funcționare a instalațiilor ce au rolul de a asigura protecția navei pe toată durata exploatării sale în marș și în **staționare împotriva** pericolului de scufundare și a incendiilor ce pot avea loc la bord.

3.2. Fluide utilizate la bordul navelor

Fluidul	Clasificare	Utilizare
Apă	<div>de mare</div> <div>de peste bord</div> <div>de fluviu</div>	<ul style="list-style-type: none"> - răcirea uleiului - răcirea apei din circuitul închis: - răcirea aerului de baleiaj: - distilatorul de apă tehnică: - stins incendiu etc. - răcirea uleiului: - răcirea apei din circuitul închis: - răcirea aerului de baleiaj: - stins incendiu etc.
	tehnică	<ul style="list-style-type: none"> - circuitele de răcire ale motoarelor auxiliare: - circuitele de răcire ale motorului principal: - caldarinele (recuperatoare și cu arzător) - încălzire; etc.

Apă	potabilă	<ul style="list-style-type: none"> - preparatul hranei; - consum; - spălat; etc.
	marin greu	- motorul principal și caldarina cu arzător;
Combustibil	diesel marin	- motorul principal și caldarina cu arzător;
	motorină	- motoarele auxiliare și caldarina cu arzător.
Ulei	<ul style="list-style-type: none"> - ungere mecanism motor (pentru motor principal); - ungere motoare auxiliare; - ungere compresoare; - ungere turbosuflete; - acționări hidraulice, etc. 	
Agenți frigorifici	<ul style="list-style-type: none"> - în instalațiile frigorifice; - în instalațiile de condiționare. 	
Aer comprimat	<ul style="list-style-type: none"> - lansare motor principal; - lansare motoare auxiliare; - nevoi gospodărești; - acționări pneumatice, etc. 	
Abur	<ul style="list-style-type: none"> - încălzire; - acționări cu abur; - stins incendiu, etc. 	
Gaze de ardere	<ul style="list-style-type: none"> - acționarea turbinelor de gaze; - agenți pentru caldarina recuperatoare; - gaze inerte. 	

3.3. Clasificarea generatoarelor hidraulice.

Pompe volumice	cu piston	<ul style="list-style-type: none"> - cu simplu efect - cu dublu efect
	rotitoare	<ul style="list-style-type: none"> - cu angrenaje - cu pală oscilantă (culisantă) - cu inel de lichid
	elevatoare	<ul style="list-style-type: none"> - cu lanț și cupe - cu șurub - vibratoare electromagnetice
Turbo pompe	centrifuge	<ul style="list-style-type: none"> - monoetajate - bietajate - multietajate - în simplu flux - în dublu flux
	elicoidale	<ul style="list-style-type: none"> - diagonale normale - diagonale rapide (Deriaz) <ul style="list-style-type: none"> • axiale normale - Kaplan - Bulb
Pompe cu jet	<ul style="list-style-type: none"> - cu jet de apă - cu jet de abur sau aer 	

Generatoarele hidraulice, **denumite** curent pompe, **transformă** energia mecanică primită la arbore în **energie hidraulică**, în scopul vehiculării unui fluid.

Transformarea energiei se face conform relației:

$$E_h = \eta_p \cdot E_m \quad (3-1)$$

în care: E_h - energia hidraulică:

E_m - energia mecanică:

η_p - randamentul de transformare sau randamentul pompei.

3.3.1. Pompele volumice

Pompele **volumice** sunt mașini în care au loc deplasări periodice ale unor volume de lichid dinspre aspirație către **refulare**, cu creșterea corespunzătoare a presiunii. Ele sunt caracterizate prin deplasări reduse fluidului față de organele active ale rașizirii (rotor, piston, **membrană**, etc.) iar debitul variază **puțin** cu **înălțimea** de pompare. Caracteristică acestor mașini este **prezența** unor organe de închidere (clape, supape, bile): acestea în timpul **funcționării**, închid spații prin care este transportat fluidul din camera de aspirație în camera de refulare. **Pompele volumice** au următoarele utilizări:

- pompa cu ulei de lichid se utilizează pentru realizarea vacuumului în **instalațiile de amorsare a pompelor**;
- pompa cu angrenaje se folosește pentru realizarea presiunii de ulei la instalațiile de acționări hidraulice etc.
- pompa Alwailier (cu pantă oscilantă) se utilizează pentru goliri etc.

3.3.2. Pompele hidrodinamice

Pompele hidrodinamice (**turbopompele**) sunt mașini în care **transfor-marea** de energie are loc datorită **interacțiunii** dintre palete și fluid (prin modificarea momentului **cantității** de mișcare): sunt caracterizate prin viteze mari ale fluidului **față** de organele active ale mașinii, iar debitul variază cu înălțimea de pompare. La **turbopompe** procesul transformărilor energetice începe odată cu intrarea fluidului în rotor, pentru ca la ieșire energia cinetică a fluidului să fie maximă: procesul continuă în stator și în camera **spirală**, astfel încât la **flansa** de refulare fluidul să aibă preponderent energia potențială.

3.3.3. Pierderile în pompe

Pentru a-și îndeplini **misiunea**, pompa trebuie cuplată la o sursă de energie **stereomecanică** (de exemplu motor electric) ,**care** transmite la arborele pompei puterea:

$$P = M \cdot \omega \text{ kW} \quad (3-2)$$

M [KN · m] - momentul transmis la arbore: ω [rad / s] - viteza unghiulară a arborelui

$$\text{dar: } \omega = \frac{\pi \cdot n}{30} \quad \frac{\text{rd}}{\text{s}} \quad (3-3) \quad \text{unde } n [\text{rot} / \text{min}] - \text{turația arborelui}$$

$$\text{deci: } P = M \cdot \frac{\pi \cdot n}{30} \quad (3-4)$$

Prin organul său activ pompa transmite energie **curentului** lichid care o **traversează**, valorificând sub formă de putere hidraulică cea **mai** mare parte a puterii primită de la arbore, aceasta fiind puterea utilă realizată de **pompă**

$$P_u = \rho \cdot g \cdot \dot{V} \cdot H \cdot 10^{-3} \text{ kW} \quad (3-5)$$

unde : ρ [kg / m³] - densitatea lichidului pompat: g [m / s²] - accelerația gravitațională

\dot{V} [m^3/s] - debitul real furnizat de **pompă**; H [m] - **înălțimea** de pompare

în cursul convertirii energiei **stereomecanice** în energie hidraulică au loc și transformări ireversibile de energie **termică**, acustică etc. Datorită faptului că aceste disipări nu mai pot fi recuperate în mod curent în **tehnică**, ele poartă denumirea de **pierderi**. În tabelul 3.1. sunt prezentate disipările de energie pe baza cărora sunt definite pierderile mecanice, pierderile hidraulice precum și pierderile volumice de care **trebuie să se țină** cont în definirea și determinarea randamentului mecanic, hidraulic și **volumic** al pompei

Randamentul total al pompei se obține făcând produsul randamentelor mecanic, hidraulic și volumic.

Tabelul 3. J. Pierderile în pompe

P_m pierderi mecanice	- frecări în lagăre; - frecări în cutiile de atmosfere; - prin ventilație;	$\eta_m = \frac{\rho \cdot g \cdot \dot{V}_t \cdot H_t}{M \cdot \omega}$
P_h pierderi hidraulice	- frecarea și ciocnirile dintre particule; - frecări dintre fluid și pereții canalului; - variații de direcție și secțiune ;	$\eta_h = \frac{\rho \cdot g \cdot \dot{V}_t \cdot H}{\rho \cdot g \cdot \dot{V}_t \cdot H_t}$
P_v pierderi volumice	- etanșări imperfecte dintre organele fixe și cele mobile; (o parte din lichid se reîntoarce în zona de aspirație)	$\eta_v = \frac{\rho \cdot g \cdot \dot{V} \cdot H}{\rho \cdot g \cdot \dot{V}_t \cdot H}$

\dot{V}_t [m^3/s] - debitul volumic teoretic

H_t [m] - **înălțimea** teoretică de refulare

Randamentul total se obține făcând produsul randamentelor parțiale:

$$\eta = \frac{\rho \cdot g \cdot \dot{V}_t \cdot H_t}{M \cdot \omega} \cdot \frac{\rho \cdot g \cdot \dot{V}_t \cdot H}{\rho \cdot g \cdot \dot{V}_t \cdot H_t} \cdot \frac{\rho \cdot g \cdot \dot{V} \cdot H}{\rho \cdot g \cdot \dot{V}_t \cdot H} = \eta_m \cdot \eta_h \cdot \eta_v \quad (3-6)$$

3.4. Pompe cu piston

3.4.1. Generalități

Pompele cu piston fac parte din **categoria** mașinilor volumice, în care transformarea energiei mecanice în energia hidraulică se realizează păstrând energia cinetică a lichidului practic **constantă**, din care cauză mașinile volumice se mai numesc și mașini **hidrostatice**. În aceste **mașini**, transportarea lichidului **dintr-o** cavitate în alta se realizează prin echivalarea volumelor, fiind caracteristică prezența organelor de închidere (supape, dinții roților dințate, clapete, bile **etc.**), care în timpul funcționării **închid** spații în interiorul cărora este transportat lichidul în **mașină**, de la intrare la ieșire.

Pompele cu piston sunt mașini hidraulice în care fluidul de lucru este pus în mișcare prin deplasarea rectilinie **alternativă**, în corpul pompei, a unui piston. Sensul mișcării pistonului se schimbă **periodic**, astfel **încât** la capetele **cursei** viteza sa este nulă

(puncte **moarte**) , iar mișcarea imprimată lichidului este **pulsatorie**.

După modul în care se comandă mișcarea **pistonului**, pompele cu piston se clasifică în:

- pompe cu piston clasice
- pompe cu pistoane **radiale**
- pompe cu pistoane axiale

3.4.2. Clasificarea pompelor cu piston clasice:

a) După numărul de curse active la o cursă dublă (**o rotație a A.C**):

- pompe cu simplu efect (**cu o singură față activă a pistonului**);
- pompe cu dublu efect (cu ambele fețe active):
- pompe diferențiale (care la aspirație se **comportă** ca o **pompă** cu simplu **efect**, iar la refulare ca o **pompă** cu dublu efect).

b) După tipul constructiv:

- pompe cu un singur **cilindru** (simplex):
- pompe cu doi cilindri în paralel (duplex):
- pompe cu trei cilindri în paralel (**triplex**);
- pompe **policilindrice**:

Pompele simplex sau **duplex** pot fi cu simplu sau cu dublu **efect**, iar pompele triplex sunt întotdeauna cu simplu efect.

c) După **poziția cilindrilor**:

- pompe orizontale:
- **pompe** verticale:

d) După modul de acționare:

- pompe cu acționare **directă**, antrenate de o mașină cu abur sau aer comprimat:
- pompe acționate de motoare rotative prin intermediul unui mecanism bielă- manivelă sau a unui excentric:

e) După natura fluidului vehiculat de pompă:

- pompă pentru amestec **apă-produse petroliere**(ulei, combustibil):
- pompă pentru apă (de mare, **tehnică**, potabilă):
- pompe pentru combustibil:
- pompe pentru ulei:

f) După viteza de deplasare a pistonului:

- pompe lente:
- pompe rapide:

Fată de **turbopompe**, pompele cu piston prezintă următoarele avantaje:

- pot asigura teoretic, o presiune de refulare oricât de mare:
- presiunea de refulare nu depinde de viteza pistonului, ea putând fi păstrată constantă la diverse debite:
- sunt **autoamorsabile**:
- **au** randament hidraulic ridicat, datorită disipațiilor hidraulice mici:

Pompele cu piston prezintă dezavantajele **următoare**:

- au debit limitat datorită modului de mișcare al pistonului:
- sunt mai complicate **constructiv**(prezintă supape, pistoane, mecanisme **bielă-manivelă**):
- debitul este **pulsatoriu**.

3.4.3. Construcție și funcționare

3.4.3.1. Pompa simplex cu simplu efect

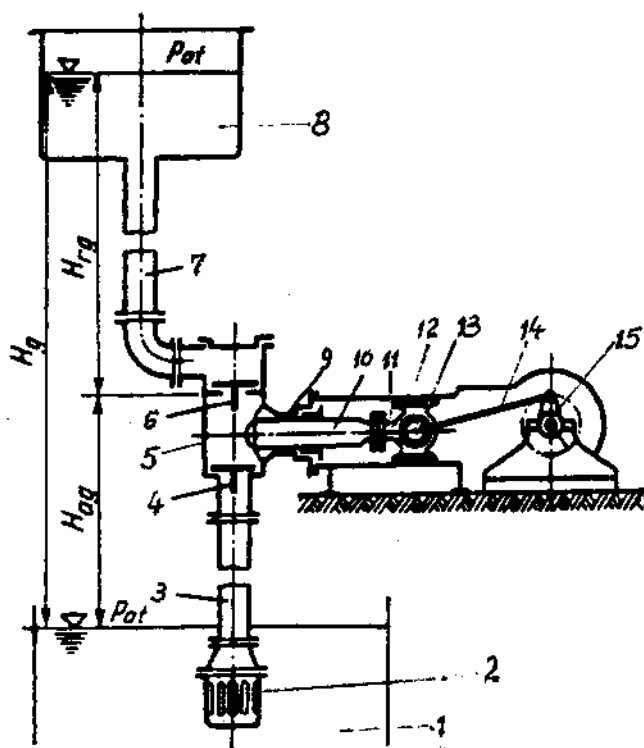


Fig. 3.1. Pompă cu simplu efect

1 - tanc aspirație; 2 - sorb; 3 - conductă de aspirație; 4 - supapa (clapețul) de aspirație; 5 - caseta supapelor (clapeților); 6 - supapa (clapețul) de refulare; 7 - conducta de refulare; 8 - tancul de refulare; 9 - cilindru; 10 - piston; 11 - tija pistonului; 12 - glisiera capului de cruce; 13 - capul de cruce; 14 - biela; 15 - manivela.

Pistonul 10 execută o mișcare alternativă în cilindrul 9. La deplasarea pistonului către dreapta, în cilindru se crează o depresiune datorită căreia supapa de aspirație 4 se deschide permițând intrarea în pompă a lichidului din conducta de aspirație 3. Aspirația durează toată perioada deplasării pistonului către dreapta. La deplasarea pistonului către stânga, datorită presiunii create de piston, supapa de aspirație 4 se închide, iar supapa de refulare 6 se deschide, permițând trecerea lichidului în conducta de refulare 7. Apoi ciclul se repetă.

3.4.3.2. Pompa cu dublu efect

Pompa diferențială

La deplasarea pistonului către dreapta se deschide clapetul de aspirație 2 și se aspiră lichid în volumul V_1 care crește: se deschide și clapetul de refulare 6 **permițând** trecerea fluidului din volumul V_2 , se deschide clapetul 3 de refulare și se **refulează** lichidul din volumul V_1 care se reduce.

D - diametrul pistonului

d - diametrul tijei pistonului

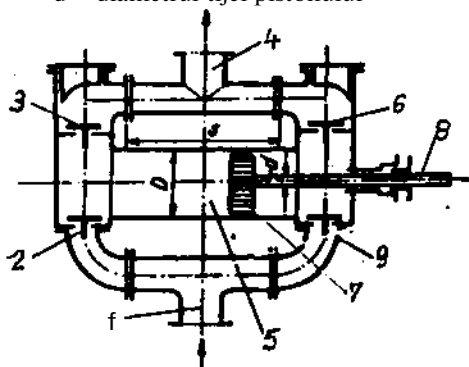


Fig. 3.2. Pompa cu dublu efect
1 - conductă de aspirație; 2 - clapet de aspirație; 3 - clapet de refulare; 4 - conductă de refulare; 5 - cilindru; 6 - clapet de refulare; 7 - piston; 8 - tija pistonului; 9 - clapet de aspirație.

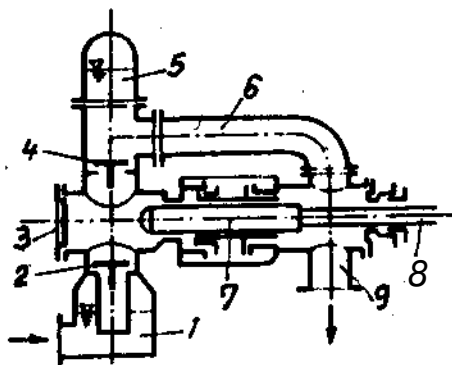
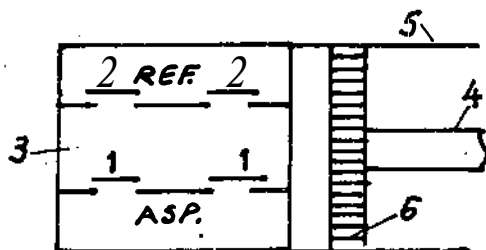


Fig. 3.3. Pompa diferențială
1 - conductă aspirație; 2 - clapet de aspirație; 3 - caseta clapetilor; 4 - clapet de refulare; 5 - hidroforul de refulare; 6 - conductă de refulare; 7 - piston; 8 - tija pistonului; 9 - conductă de refulare.

- Clapeții pompei cu piston

Fig. 3.4. Dispunerea clapetilor la o pompă cu simplu efect

1 - clapete de aspirație; 2 - clapete de refulare;
3 - cutia cu clapete; 4 - tija pistonului; 5 - cilindru pompei; 5 - piston.



Deschiderea și închiderea conductelor de aspirație și refulare cât și reținerea lichidului în pompă este îndeplinită de **clapeții** pompei.

Clasificarea clapetilor

- După rolul pe care îl au sunt: clapete de aspirație; clapete de refulare; clapete de reținere.
- După **felul** acționării sunt: cu acțiune automată (**autocomandare**); cu **acționare printr-un mecanism** de distribuție.
- După formă sunt: cu formă de talere; cu formă sferică; cu **formă** conică; cu formă inelară.

Cerințe ce se impun clapetilor pentru buna funcționare a pompei:

- să separe ermetic cele două spații;
- să funcționeze fără șocuri;
- să deschidă și să închidă repede.

De regulă clapetele de aspirație și de refulare ai pompei sunt dispuși în așa numita cutie de clapete, la care pe de o parte prinde tubulatura de aspirație, iar pe de altă parte tubulatura de refulare.

3.4.4. Parametrii pompelor cu piston

3.4.4.1. Presiunea maximă

Reprezintă cea **mai mare** presiune, **la** care pompa poate funcționa corect. Spre deosebire de pompele **centrifuge**, la cele volumice debitul și presiunea sunt mărimi independente. Oricât de mare ar fi presiunea în conducta de refulare, pompa debitează același volum de lichid. Pentru o exploatare corectă presiunea de lucru să fie 70 - 75 % din presiunea maximă.

3.4.4.2. Înălțimea de aspirație

Se calculează în același mod ca la pompele centrifuge.
Trebuie să se **țină seama** de presiunea din tancul de aspirație cât și de temperatura fluidului.

3.4.4.3. Debit, cilindree, randament volumic

Cilindreea reprezintă volumul refulat de pompă într-un ciclu

S [m] - cursa pistonului

D [m] - diametrul pistonului

d [m] - diametrul tijei **pistonului**

n [rpm] - turația **arborelui** de antrenare

w [s⁻¹] - viteza unghiulară α arborelui de antrenare

v_i [m³] - cilindree (volumul cursei pistonului)

$$v_i \approx \frac{\pi \cdot D^2}{4} \cdot s; \quad \text{m}^3 \quad (3-7)$$

Viteza unghiulară:

$$\omega = \frac{\pi \cdot n}{30} \quad \text{s}^{-1} \quad (3-8)$$

La fiecare rotație se execută un ciclu (o refulare).

Debitul - volumul de lichid pe care îl furnizează pompa în unitatea de **timp**.

- debitul teoretic, în ipoteza pierderilor volumice nule.

V m³/s - **debitul** real al pompei

V_p m³/s - debitul pierdut

V_p = V_t - V

(3-9)

V_p - apare datorită următoarelor cauze:

- introducerea lichidului, prin **jocuri**, din zona de refulare în zona de aspirație;

- umplerea incompletă cu lichid, datorită unui debit insuficient pe conducta de

aspirație sau a întârzierilor la închiderea și deschiderea **supapelor**;

- **existența**, uneori în zona de aspirație a unui **amestec aer-lichid**.

Debitul teoretic se calculează cu relația:

$$\dot{V}_t = V_i \cdot \frac{n}{60} \quad (3-10)$$

$$\dot{V}_t = V_i \cdot \frac{\omega}{2 \cdot \pi} \quad (3-11)$$

$$\dot{V}_t = \frac{\pi \cdot D^3}{4} \cdot s \cdot \frac{n}{60} \quad (3-12)$$

$$\dot{V}_t = \frac{\pi \cdot D^3}{4} \cdot s \cdot \frac{\omega}{2\pi} \quad (3-13)$$

Randamentul **volumic** poate fi **calculat** cu relația:

$$\eta_v = \frac{\dot{V}}{\dot{V}_t} = \frac{\dot{V}_t - \dot{V}_p}{\dot{V}_t} \quad (3-14)$$

în cazul în care este necesară **funcționarea** pompei la **turație** de antrenare **constantă** dar la debite variabile se utilizează soluții **constructive** care să **permită modificarea** cilindrului în **timpul** funcționării.

3.4.4.4. Putere

Puterea teoretică absorbită de pompă este dată de produsul dintre debitul teoretic și de **diferența** de presiune la care lucrează pompa:

$$P_t = \Delta p \cdot \dot{V}_t = \Delta p \cdot V_t \cdot \frac{\omega}{2\pi} \quad (3-15)$$

care mai poate fi scrisă:

$$P_t = \Delta p \cdot \frac{\pi D^3}{4} \cdot s \cdot \frac{\omega}{2\pi} \quad (3-16)$$

3.4.4.5. Momente

Legătura dintre putere și moment fiind:

$$P_t = M_t \cdot \omega \quad (3-17)$$

rezultă:

$$M_t = \Delta p \cdot \frac{\pi D^3}{4} \cdot s \cdot \frac{1}{2\pi} \quad (3-18)$$

3.4.4.6. Randament global

P - puterea efectivă care se aplică la arborele pompei este mai mare decât puterea **teoretică**, deoarece trebuie să acopere următoarele pierderi:

- frecarea în lagăre;
- frecarea lichidului cu piesele în mișcare ale pompei;
- frecarea lichidului cu porțile fixe ale pompei.

Raportul dintre puterea teoretică și cea efectivă aplicată la **arborele** de centrare se **numește** randament mecanic:

$$\eta_m = \frac{P_t}{P} = \frac{M_t \omega}{M \omega} = \frac{\Delta p \cdot V_t}{M} \quad (3-19)$$

Randamentul global al pompei se **determină** cu relația:

$$\eta = \frac{\Delta p \cdot \dot{V}}{p} = \frac{\Delta p \cdot \dot{V}}{M \cdot \omega} \quad (3-20)$$

$$\eta = \eta_v \cdot \eta_h \cdot \eta_m \quad (3-21)$$

3.4*4.7. Cinematica pompelor cu piston clasice

s_a - supapa de admisie;

s_r - supapa de refulare;

D - diametrul cilindrului;

s - cursa pistonului;

$OB = x$ (raza butonului de manivelă)

$OM = r$

$BM = l$ (lungimea bielei)

$$\text{Cilindreea: } V_s = \frac{\pi D^2}{4} s \quad m^3 \quad (3-22)$$

Debitul mediu teoretic:

$$\dot{V}_t = V_s \cdot \frac{n}{60} = \frac{\pi D^2}{4} \cdot s \cdot \frac{n}{60} \quad (3-23)$$

Debitul mediu efectiv:

$$\dot{V} = \eta_v \cdot \dot{V}_t \quad (3-24)$$

La pompe bine executate și întreținute

$$\eta_v = 0.93 \div 0.96$$

Dacă $\eta_v < 0.92$ înseamnă că pompa are scăpări mari prin neetanșeități datorate unor uzuri excesive.

Debitul instantaneu al pompei este proporțional cu viteza de deplasare a pistonului.

Pentru a determina această viteză, se folosesc relațiile triparametrice în triunghiul OBC (fig.3.5).

$$l^2 = x^2 + r^2 - 2xr \cos \alpha \quad (3-25)$$

$$l^2 = x^2 + r^2 - 2xr \cos (\pi - \varphi) \quad (3-26)$$

de unde

$$x^2 = l^2 + r^2 - 2xr \cos \varphi \quad (3-27)$$

sau

$$x^2 + 2xr \cos \varphi + (r^2 - l^2) = 0 \quad (3-28)$$

$$x_{1,2} = -r \cos \varphi \pm \sqrt{r^2 \cos^2 \varphi - (r^2 - l^2)} \quad (3-29)$$

sau

$$x_{1,2} = -r \cos \varphi \pm \sqrt{r^2 (1 - \sin^2 \varphi) - (r^2 - l^2)} \quad (3-30)$$

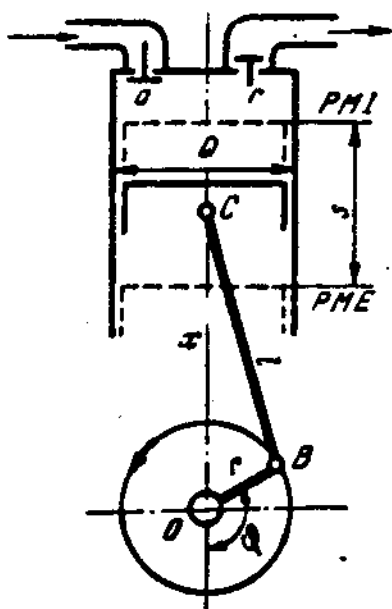
$$x_1 = -r \cos \varphi \pm l \sqrt{1 - \frac{r^2}{l^2} \sin^2 \varphi} \quad (3-31)$$

Fig. 3.5. Schema de principiu a pompei cu piston

Pentru a raționaliza relația (3-31) se dezvoltă în serie expresia:

$$\left(1 - \frac{r^2}{l^2} \sin^2 \varphi\right)^{\frac{1}{2}} = 1 - \frac{1}{2} \frac{r^2}{l^2} \sin^2 \varphi + \dots \quad (3-32)$$

deci se obține:



$$x \approx -r \cos \varphi \pm l \left(1 - \frac{1}{2} \frac{r^2}{l^2} \sin^2 \varphi \right) \quad (3-33)$$

sau

$$x = \pm l - r \cos \varphi \mp \frac{r^2}{2l} \sin 2\varphi \quad (3-34)$$

Viteza pistonului se obține:

$$v = \frac{dx}{dt} = +r \sin \varphi \frac{d\varphi}{dt} \mp \frac{r^2}{2l} \sin 2\varphi \frac{d\varphi}{dt} \quad (3-35)$$

Se introduce notația:

$\omega = \frac{d\varphi}{dt}$, deci debitul instantaneu se poate scrie ca fiind:

$$\dot{V} = \frac{\pi \cdot D^2}{4} v = \frac{\pi D^2}{4} r \omega \left(\sin \varphi \mp \frac{r}{2l} \sin 2\varphi \right) \quad (3-36)$$

Pentru o pompă **dată**, diametrul **pistonului**, raza manivelei și viteza unghiulară fiind constante, expresia (3-36) devine:

$$\dot{V} = K \left(\sin \varphi \mp \frac{r}{2l} \sin 2\varphi \right) = k V' \quad (3-37)$$

$\frac{r}{l} = \frac{1}{5}$ pentru **pompele** clasice cu piston:

\dot{V} se abate foarte puțin de la sinusoidă.

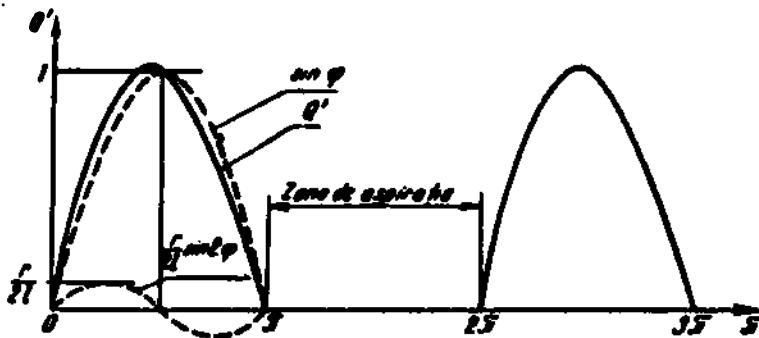


Fig. 3.6. Caracteristicile pompei cu piston cu simplu efect

Deoarece pulsațiile mari ale debitului sunt dăunătoare se aplică următoarele **măsur**i pentru a le reduce:

- amplasarea unui acumulator hidraulic (**hidrofor**) pe conducta de refulare, de aspirație sau pe ambele conducte;

- cuplarea pe aceeași conductă a n **pompe** având ciclul de funcționare decalat cu $2\pi/n$;
- combinarea **metodelor** expuse.

Alte măsuri pentru a reduce pulsațiile de presiune pe aspirație:

- reducerea înălțimii de aspirație a pompei;

- reducerea turăției pompei;

- micșorarea razei de manivelă pe cât posibil;

- scurtarea traseului de **aspirație** pe cât **posibil**;

- micșorarea numărului de obstacole care introduc pierderi hidraulice de sarcină.

Alte măsuri pentru a reduce pulsațiile de presiune pe refulare:

- **mărirea** diametrului conductei de refulare;
- reducerea turației pompei: - reducerea razei de manivelă.

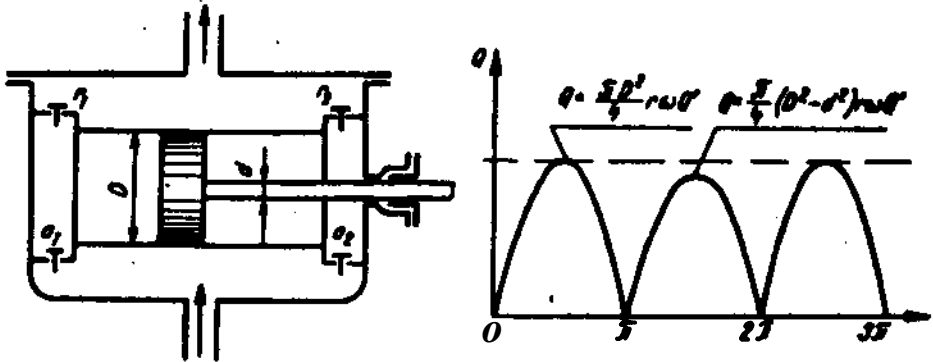


Fig. 3.7. Variația debitului pentru pompa cu dublu efect

3.4.4. Exploatarea pompelor cu piston clasic

3.4.5.1. Exploatarea și întreținerea pompelor cu piston clasice

Cerințe impuse **pompelor** cu piston navale:

- să corespundă scopului propus în **instalație**;
- să fie aleasă corect din punct de vedere al debitului și presiunii;
- să fie montată corect în instalație;
- exploatarea să fie făcută de personal calificat.

* Montajul pe navă

- postamentul să fie **metalic** și se sudează pe **elementele** de structură de rezistență ale corpului navei;

- fixarea corectă a **pompei** pe postament;
- centrarea pompei cu mașina de **antrenare**;
- se verifică etanșeitatea conductei de aspirație .

* Pornirea pompei

Pregătirea de pornire constă în următoarele:

- controlul exterior al elementelor **pompei**;
- verificarea centrajului;
- verificarea sistemului de ungere;
- se deschid robinetele pe CA și CR.

Pornirea **propriu-zisă** se face **mărindu-se** treptat **turația** și **urmărindu-se** cu **atenție** funcționarea pompei.

* Oprirea pompei

- se oprește mașina de antrenare;
- se închide refularea;
- dacă oprirea se face pentru timp mai îndelungat se golește **cilindrul** de lichid.

* Întreținerea pompei

- se supraveghează mersul corect al pompei;
- la zgomete suspecte pompa se oprește imediat și se verifică care este cauza;
- uleiul se completează la timp și se verifică articulațiile;
- se verifică etanșeitatea presetupei;

- se **verifică monovacuumetrele** și **manometrele**;
- verificarea periodică se face după un program bine **stabilit**.

3.4.5.2. Jocuri și uzuri admisibile la pompele cu piston.

În practică un rol important în exploatarea pompelor îl au jocurile și uzurile dintre cilindrul de abur și piston redate în tabelul **3.2**.

În tabelul 3.3. sunt prezentate jocurile pe înălțime a **segmentilor** de piston pentru cilindrii hidraulici.

Tabelul 3.2. Jocuri și uzuri ale cilindrilor de abur și hidraulici ai mecanismelor auxiliare

Diametrul cilindrului, mm		Jocul diametral între cămașă și piston , mm		Limita de uzură maxim admisă pentru cilindru, mm	
De la	La	La montaj	Maxim* admis	Ovalitate	Conicitate
50	80	0,4-0,66	3,00	0,60	0,40
80	120	0,45-0,76	3,50	0,70	0,50
120	180	0,60-0,94	4,00	0,90	0,60
180	260	0,76-1,15	4,50	1,20	0,70
260	360	0,90-1,34	5,50	1,80	0,80
360	500	1,10-1,60	7,00	2,20	0,90

Observații. * La creșterea jocului peste maxim admisibil (coloana 4), între cămașă și piston, se va înlocui pistonul.

Tabelul 3.3. **Jocurile pe înălțime și uzura segmentilor de piston pentru cilindri hidraulici**

Înălțimea segmentului, mm		Jocul, mm	
De la	La	La montaj	Maxim admis
-	10	0,02-0,08	0,12
10	18	0,02-0,10	0,14
18	30	0,03-0,13	0,18

3.4.6. Pompe cu pistonase radiale

3.4.6.1. Generalități

Se utilizează la **instalații** de acționări hidraulice care lucrează la următorii parametri:

$p \leq 300$ bar - presiune

$\dot{V} \leq 20 \div 750$ l/min - debit

$\eta_v \leq 0,95$ - randament **volumic**

$\eta_m \leq 0,95$ - randament **meccanic**

3.4.6.2. Construcție și funcționare

Datorită **forței** centrifuge pistoanele 4 sunt presate pe coroana 2, **dispusă** excentric față de rotorul 1.

În timpul unei rotații volumul cuprins **între** piston și fundul cilindrului **variază**, crește pe porțiunea ABD și scade pe porțiunea DCA.

Aceste volume sunt puse în legătură cu orificiile de **distribuție**, de **aspirație**, a și de refulare r .

Deci pompa aspiră pe porțiunea ABD și refulază pe porțiunea DCA.

Cursa **maximă** a pistoanelor este egală cu dublul **excentricității**: $e = 3 \div 8$ mm.

În cazul pompelor cu debit **variabil**, excentricitatea se poate **modifica** de la $e = 0$ (debit zero) la $e = e_{\max}$ (debit maxim).

Diametrele pistonășelor sunt cuprinse între **10 ÷ 18 mm**, viteza lichidului pe tubulatura de **aspirație** $2 \div 3$ m/s și viteza lichidului pe tubulatura de refulare $4 \div 6$ m/s.

Pentru a mări debitul pompei, pe aceeași axă se pot **monta** în paralel 2-3 rânduri de cilindri.

3.4.6.3. Determinarea debitului mediu

Notății:

- h [mm] - cursa pistonului
- e [mm] - excentricitatea
- d [mm] - diametrul pistonului
- z - numărul pistoanelor
- n [rot/min] - turația
- w [s⁻¹] - viteza **unghiulară** a axului pompei

(3-38)

$$h = 2e \quad \text{mm}$$

$$V_h = \frac{\pi d^2}{4} h \quad \text{mm}^3/\text{ciclu}$$

(3-39)

Volumul cursei pistonului

$$V_h = \frac{\pi d^2}{2} e \quad \text{mm}^3/\text{ciclu}$$

(3-40)

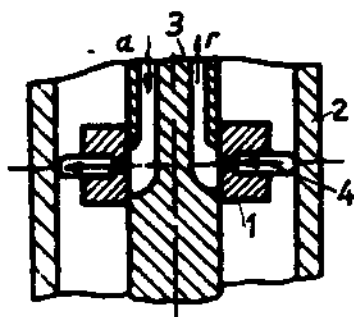
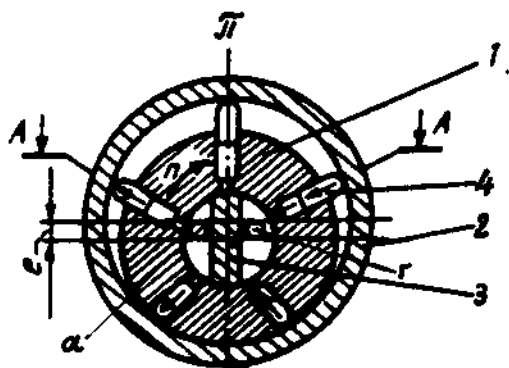


Fig. 3.8. Pompă cu pistonase radiale

1-rotor; 2 - carcasă; 3- diafragma axului central;
4-pistonas; a-aspirație; r - refulare.

$$V_p = \frac{\pi d^2}{4} \cdot e \cdot z \text{ mm}^3/\text{ciclu} \quad (3-41)$$

Cilindreea pompei

$$\frac{n}{60} \text{ cicluri/s} \quad (3-42)$$

Deci, debitul **refulat** de pompă

$$\dot{V} = V_p \cdot \frac{n}{60} = \frac{\pi d^2}{2} \cdot e \cdot z \cdot \frac{n}{60} \text{ mm}^3/\text{s} \quad (3-43)$$

$$\text{sau} \quad V = \frac{\pi d^2}{2} \cdot e \cdot z \cdot \frac{n}{60} \cdot 10^{-6} \text{ l/s} \quad (3-44)$$

3.4.6.4. Determinarea debitului instantaneu

Legea de deplasare a **pistoanelor** în cilindri este identică cu cea determinată pentru pompele cu piston clasice.

Variația distanței x fiind direct proporțională cu cursa pistonului.

$$OA = R; O_1A = x; OO_1 = e$$

Din ΔO_1OA se poate scrie:

$$R^2 = x^2 + e^2 - 2x \cdot e \cos(\pi - \varphi) \quad (3-45)$$

$$x^2 + 2x \cdot e \cos \varphi + (e^2 - R^2) = 0 \quad (3-46)$$

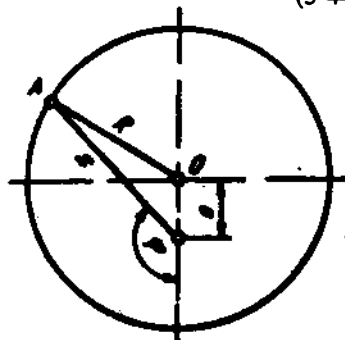


Fig.3.9. Determinarea deplasării pistonului

De unde rezultă:

$$x = -e \cos \varphi \pm \sqrt{e^2 (1 - \sin^2 \varphi) - e^2 + R^2} \quad (3-47)$$

$$\text{sau} \quad x = -e \cos \varphi \pm R \sqrt{1 - \frac{e^2}{R^2} \sin^2 \varphi} \quad (3-48)$$

După dezvoltarea în serie de **puteri**:

$$\left(1 - \frac{e^2}{R^2} \sin^2 \varphi\right)^{\frac{1}{2}} = 1 - \frac{e^2}{R^2} \sin^2 \varphi + \frac{1}{2} \left(1 - \frac{1}{2}\right) \left(\frac{e^2}{R^2} \sin^2 \varphi\right)^2 + \dots \quad (3-49)$$

Se rețin numai primii doi termeni, astfel că relația (3-49) devine:

$$x \approx -e \cos \varphi \pm R \left(1 - \frac{e^2}{R^2} \sin^2 \varphi\right)$$

Viteza de deplasare a pistonului fiind:

$$v = \frac{dx}{dt} = \omega \left(e \sin \varphi \mp \frac{e^2}{R} \sin 2\varphi \right) \quad (3-50)$$

Debitul total **instantaneu** este **egal** cu **suma** debitelor instantanee ale cilindrilor **care** **refulează**:

$$\dot{V}_z = \frac{\pi d^2}{4} \cdot e \cdot \omega \sum_i^k \left(\sin \varphi_i \mp \frac{e}{R} \sin 2\varphi_i \right) \quad (3-51)$$

unde:

z_R - numărul cilindrilor care refulează;

φ_i - unghiurile momentane dintre axele **fiecărui** cilindru și $\alpha\alpha$ pozițiilor punctelor moarte.

3.4.7. Pompă cu pistonase axiale

3.4.7.1. Generalități

Când ansamblul **bloc-pistonașe-disc** este antrenat **în mișcare** de **rotație**, în cilindrii motorului se produc variații de volum care determină funcționarea mașinii ca pompă.

Dacă în loc de energia mecanică mașina primește agentul de lucru la presiunea corespunzătoare sarcinii ea poate funcționa ca **hidromotor**, livrând la arborele 5 energie mecanică. Debitul se poate modifica prin unghiul α .

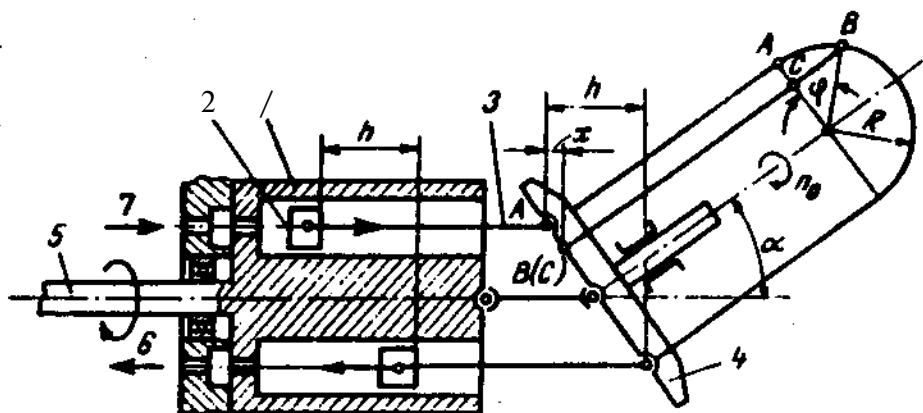


Fig. 3.10. Pompa cu pistonase axiale
1 - blocul cilindrilor; 2 - pistonas; 3 - biela;
4 - disc; 5 - arbore; 6 - refulare; 7 - aspirație.

3.4.7.2. Calculul debitului

d [mm] - diametrul pistonasului;

z - numărul de pistonase;

j ferd] - deplasarea unghiulară a **blocului** - pistonase - disc.

x [mm] - deplasarea pistonasului 2

La rotirea blocului 1 și a discului 4 cu unghiul φ , pistonasul 2 are deplasarea:

$$x = (R - R \cos \varphi) \sin \alpha \quad (3-52)$$

iar pentru $\varphi = 180^\circ$

$$x = [R - (-R)] \sin \alpha$$

$$x = 2R \sin \alpha \quad (3-53)$$

Secțiunea transversală a unui **pistonaș** fiind:

$$A = \frac{\pi d^2}{4} \quad (3-54)$$

înseamnă că variația elementară de volum se poate scrie:

$$dV_p = A \cdot dx \quad (3-55)$$

$$\text{deci} \quad dV_p = \frac{\pi d^2}{4} \cdot dx \quad (3-56)$$

$$\text{dar } dx = +R \cos \varphi \cdot \sin \alpha \cdot d\varphi \quad (3-57)$$

$$\text{deci} \quad dV_p = \frac{\pi d^2}{4} \cdot R \sin \alpha \cdot \cos \varphi d\varphi \quad (3-58)$$

Pentru turația n_0 **rot/min**, debitul total al pompei devine:

$$\dot{V} = V_p \cdot n_0 \cdot z \quad (3-59)$$

$$\text{sau} \quad \dot{V} = \frac{\pi d^2}{4} R \sin \alpha \cdot n_0 \cdot z \int_0^\pi \sin \varphi d\varphi \quad (3-60)$$

$$\dot{V} = 2 \frac{\pi d^2}{4} \cdot R \sin \alpha \cdot n_0 \cdot z \quad (3-61)$$

Din relație se observă că pentru (d ; R ; z ; $n_0 = \text{ct}$) debitul variază sinusoidal funcție de α între două limite \dot{V}_{\min} și \dot{V}_{\max} .

Pentru aprecierea uniformității debitului pompei se calculează coeficientul de **pulsație**:

$$\delta = \frac{\dot{V}_{\max} - \dot{V}_{\min}}{\dot{V}} \quad (3-62)$$

\dot{V} - debitul mediu.

3.5. Pompe volumice cu mișcare de rotație

Clasificarea **pompelor** cu roți **dințate**

- 1) După caracterul **angrenării** : angrenare exterioară; angrenare interioară.
- 2) După forma **dinților**: cu dinți drepti; cu dinți înclinați; cu **dinți** în V.
- 3) După numărul de perechi de **roți** angrenate simultan: cu două rotoare; cu mai multe rotoare.
- 4) După numărul de perechi de roți **dințate** din pompă: **cu** o treaptă; cu mai multe trepte
- 5) După posibilitatea reglării debitului: cu debit reglabil; cu debit neregabil.

Presiunea de lucru pentru cazuri cu descărcarea arborilor **200-300 bar**.

pentru arbori nedescărcați **10-35 bar**.

Turația **6000-8000 rot/min**

Viscozitatea lichidului poate fi cuprinsă între valorile:

$$0.5 \times 10^{-6} - 256 \times 10^{-6} \text{ m}^2/\text{s}.$$

3.5.1. Pompe cu angrenaje

Folosite **pentru** pomparea lichidelor vâscoase, fiind utilizate ca pompe de **ulei** pentru motoarele cu ardere internă etc.

Prezintă avantajul că sunt puțin **sensibile** la variația **vâscozității** lichidului, pot lucra la **turații** ridicate sunt simple din punct de vedere constructiv, prezintă o mare siguranță în **funcționare** și **ușurință** în exploatare, au dimensiuni și **greutăți** mici.

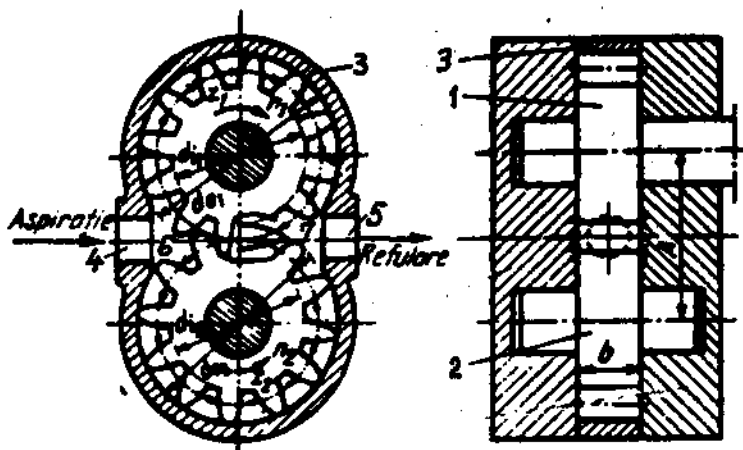


Fig.3.11. Pompă cu mișcare de rotație

1;2 - roți dințate; 3- carcasa; 4- orificiul de aspirație;
5- orificiu de refulare; 6 - camera de aspirație;
7 - camera de refulare.

3.5.1.1. Principiul de funcționare

Roata 1 este pusă în mișcare de un **motor**; roata 2 se mișcă liber pe axul său.

În scopul asigurării bunei **funcționări** a pompei angrenarea dintre cele două **roți** trebuie să fie **etanșă** pentru a separa camera de refulare de cea de aspirație.

Când roțile se rotesc în sensul **indicat**, fiecare dinte transportă un volum de lichid egal cu un gol dintre doi dinți.

Presiunea **maximă posibilă** este $175 \text{ [daN/cm}^2\text{]}$.

În **funcție** de construcție debitul poate varia de la 400 [l /min] la 600 [l /min], iar randamentele au următoarele valori:

$$\eta_m=0.90; \eta_v=0.80.$$

Sensul de rotație de la punctul de angrenare către aspirație în **momentul** în care dinții în angrenare se **separă**, în cavitatea de aspirație se formează un vid care permite **aspirarea** lichidului.

Când dinții ating punctele A₁ și A₂ fluidul este obligat să rămână în spațiul format de flancul dinților și carcasa și este condus către punctele R₁ și R₂.

Rotația **continuă**, iar volumul umplut cu ulei este condus la punctul de angrenare M, unde dinții **pinionului** opus elimină uleiul **împingându-l** în cavitatea de refulare.

Pompa cu roți **dințate** poate fi asemuită într-o oarecare **măsură**, cu o **pompă** cu **piston**, fiecare **gol** dintre **dinții** consecutivi formând un cilindru în care n dinte al roții opuse va juca rolul pistonului.

Pot apare curgeri și **inverse**(dinspre refulare către aspirație) prin:

- **jocul dintre dinți și fundul golului;**

- **jocul dintre dinți și carcasă;**

- joc în zonele frontale ale dinților.

Din această cauză pentru pompele cu presiunea de refulare peste 100 [daN/cm²] se prescriu toleranțe de ordinul 1 [μm].

De cele mai multe ori, pe suprafețele frontale se dispun plăci de împingere care pot compensa uzurile și reduc pierderile de debit pe partea frontală a roților dințate.

Când se controlează o pompă care a funcționat vreme **îndelungată**, se constată că uzurile maxime s-au produs în partea de aspirație deoarece apare o forță de împingere, creată de diferența de presiune dintre refulare și aspirație.

3.5.1.2. Calculul debitului

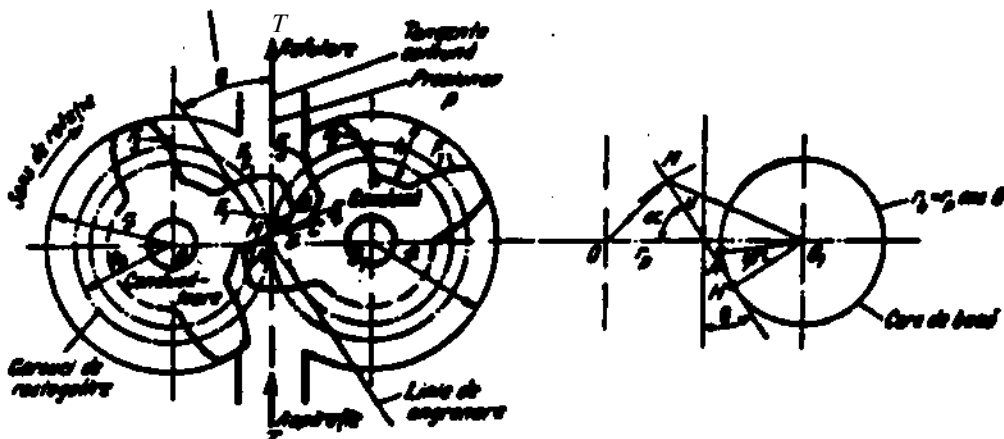


Fig. 3.12. Schema de calcul

R_i - raza cercului interior; R_r - raza cercului de rostogolire;

r_l - raza cercului exterior; b - lățimea dintelui;

h - înălțimea dintelui

Ipoteză

Considerăm că golurile celor două roți în angrenare formează un canal dispus pe una din roți.

Canalul are următoarele dimensiuni:

$$A_{ABCD} = b \times h \text{ dar } h = \frac{D_e - D_i}{2} \quad (3-63)$$

u - viteza de curgere

$$u = \omega \cdot \frac{D_r}{2} \quad u = \omega \cdot \frac{D_e + D_i}{4} \quad (3-64)$$

$\dot{V} = A \cdot u$ rezultă:

$$\dot{V} = b \cdot \frac{D_e - D_i}{2} \cdot \omega \cdot \frac{D_e + D_i}{4} L \text{ dar}$$

$$\omega = \frac{n}{30}; \quad n [\text{rot/min}]; \quad \omega [\text{rd/s}] \text{ deci } V = b \cdot \frac{D_e}{2} \cdot \frac{D_i}{4} \cdot \frac{D_e + D_i}{4} \cdot \frac{\pi n}{30}$$

$$b [\text{mm}]; D, [\text{mm}]; D_i [\text{mm}]; \text{ rezultă } [\text{mm}^3/\text{s}]; \quad 1 \text{ mm}^3 = 10^{-3} \text{ cm}^3 \text{ sau } 1 \text{ mm}^3 = 10^{-6} \text{ dm}^3$$

$$\dot{V} = \frac{\pi \cdot 10^{-6}}{2 \cdot 4 \cdot 30} \cdot b(D_2^2 - D_1^2) \cdot n \quad 1/s$$

$$\dot{V} \approx \frac{10^{-6}}{80} \cdot b(D_2^2 - D_1^2) \cdot n \quad 1/s \quad (3-65)$$

3.6. Pompele cu șurub

Față de pompele cu roți dințate, pompele cu șurub sunt mai **compacte**, cu un debit mai stabil și un randament mai ridicat: sunt mai **silențioase**, au o durabilitate ridicată și o construcție mai **ieftină**.

Pompele cu șurub sunt formate din două sau mai multe șuruburi fără **sârșit**, cu axele paralele având spirele **pătrunse** între ele.

- un șurub este **conducător**;
- celelalte șuruburi sunt conduse;
- lichidul este deplasat în lungul șuruburilor, din camera de **aspirație** spre camera de refulare.

Pompele cu șurub se clasifică în :

- pompe cu profil **cicloid**al;
- pompe cu șurub **neetanșe**;
- pompe cu șurub cu un singur rotor.

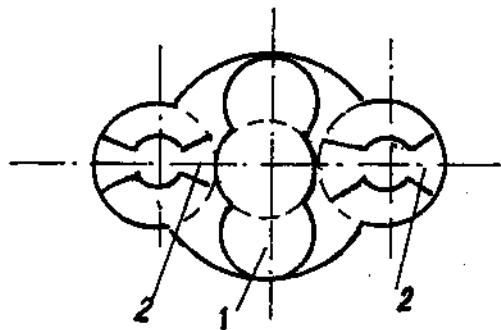


Fig. 3.13. Pompă cu profil cicloid
/. șurub **conducător**; 2- șuruburi conduse.

3.6.1. Pompe cu șurub cu profil cicloid

$$Q = 5 \div 300 \text{ m}^3/\text{h}$$

$$p = 200 \text{ kgf/cm}^2$$

$$n \text{ s } 600 \div 800 \text{ rot/min}$$

Greutatea lor este de 2-3 ori mai **mică** decât a **turbopompelor** cu același debit

$$d_1 = D_1; D_2 = 5/3 D_1 \text{ rezultă } D_2 = 5/3 d_1$$

$$d_2 = 3d_1; t = 10/3 d_1; t - \text{pasul filetelui.}$$

Șuruburile laterale se rostogolesc **fără** alunecare pe cercul interior al șurubului din mijloc.

Lichidul trece din camera de **aspirație** în camera de refulare prin canalele șuruburilor care sunt închise în câteva locuri (în funcție de **raportul** dintre lungimea și pasul șurubului) de către **dinții** unuia care intră în jocurile celuilalt; întrucât în timpul rotirii **suprafața** de închidere a canalelor se **deplasează**, lichidul este împins în lungul **canalului**, astfel **încât** canalele se pot asemana cu niște cilindri iar părțile proeminente cu niște **pistonașe** care împing lichidul.

3.6.2. Pompele cu șurub **neetanșe**

Între camera de **aspirație** și camera de refulare nu există nici o **despărțitură etanșă**, astfel încât apar scurgeri inverse produse de **neetanșeitate**, dar care nu afectează prea mult funcționarea pompei.

Pompa se compune din două șuruburi cu filet **dreptnghiular**, unul antrenat de motor (**șurubul conducător**), iar celălalt condus prin **intermediul roților** dințate;

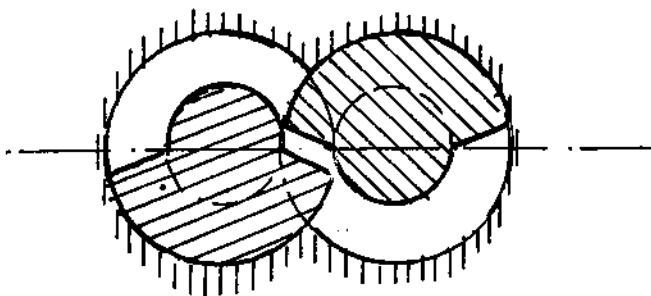


Fig. 3.14. Pompe cu șurub neetanș

$n = 5000 \text{ rot/min} - 10.000 \text{ rot/min}$; $V = 3 \div 300 \text{ m}^3/\text{h}$; $p \leq 200 \text{ kgf/cm}^2$; $\eta = 0,7 \div 0,75$;
 $\eta_v = 0,91 \div 0,98$; $\eta_m = 0,55 \div 0,76$

3.6.3. Exploatarea pompelor volumice cu mișcare de rotație

Exploatarea trebuie făcută respectând indicațiile din instrucțiunile de exploatare ale pompelor

- centrarea corectă a organelor în **mișcare**;
- jocurile să fie **cele** prescrise;
- lichidele să fie filtrate înainte de trecerea prin pompă;
- în timpul **funcționării**;
- vibrații și zgomote anormale;

Cauze:

- **umplerea** parțială a **spațiilor** cu lichid;
- viscozitatea lichidului;
- **cavitație**;
- corpul pompei se încălzește;

Cauze:

- înfundarea pompei;
- reducerea jocurilor,
- creșterea presiunii de refulare:

Cauze:

- înfundarea orificiilor de refulare;
- **pompele** nu aspiră:

Cauze:

- creșterea **jocurilor**;
- **înfundarea** conductei de aspirație;
- **înălțimea** de aspirație mare.

3. 7. Pompe centrifuge, diagonale și axiale

3.7.1. Clasificare

1) Din punct de vedere al **direcției** de curgere a lichidului prin rotor

a.1. - pompe centrifuge la care mișcarea fluidului în rotor este preponderent **radială**;

a.2. - pompe diagonale la care viteza lichidului prin rotor are atât o **componentă** radială cât și o **componentă** axială:

a.2.1. - pompe diagonale cu ieșirea lichidului axială;

a.3. - pompe axiale, la care mișcarea lichidului în **rotor** este preponderent axială.

2) Din punct de vedere al numărului rotoarelor

b.1. - pompe **monoetajate**, adică având un singur rotor;

b.2. - pompe **multietajate**.

3) Din punct de vedere al aspirației

c.1. - pompe cu rotoare cu aspirație simplă (simplu flux);

c.2. - pompe cu rotoare cu **aspirație** dublă (dublu flux).

4) După natura fluidului

d.1. - pompe pentru apă;

d.2. - pompe pentru lichide **neagresive** (ulei, produse **petroliere**);

d.3. - pompe pentru lichide agresive (**acizi**, baze);

d.4. - **pompe** pentru lichide foarte vâscoase (nămol, diferite paste etc.)

5) După **poziția** axei

e.1. - cu axa orizontală;

e.2. - cu axa verticală;

e.3. - cu axa înclinată.

6) După procedeul de cuplare a axului rotorului cu axul mașinii de antrenare

f.1. - pompe cu axul comun cu al mașinii;

f.2. - **pompe** acționate prin **intermediul** unei transmisii.

7) După tipul statorului

g.1. - pompe cu stator cu palete **fixe**;

g.2. - **pompe** cu stator cu palete mobile;

g.3. - pompe cu stator **fără** palete;

g.4. - **pompe** fără stator

8) După mărimea presiunii de refulare

h.1. - pompe de joasă presiune: $H < 20$ mCA;

h.2. - **pompe** de medie presiune; $20 < H < 60$ raCA;

h.3. - **pompe** de **înaltă** presiune: $H > 60$ mCA.

9) După numărul caracteristic K , **turația** specifică n_1 sau turația caracteristică n_0 .

i.1. - pompe centrifuge cu rotoare lente; $n_1 < 80$; $n_0 < 20$; $K < 0.42$:

$D_2/D_0 = 2.2 \div 3.5$.

i.2. - **pompe** centrifuge cu rotoare normale; $n_1 = 80 \div 150$; $n_0 = 22 \div 41$; $K = 0.42 - 0.77$; $D_2/D_0 = 2.2 \div 1.8$.

i.3. - **pompe** centrifuge cu rotoare rapide: $n_1 = 150 \div 300$; $n_0 = 41 \div 82$; $K = 0.77 \div 1.55$;

$D_2/D_0 = 1.8 \div 1.3$.

i.4. - pompe diagonale : $n_1 = 300 \div 600$; $n_0 = 82 \div 164$; $K = 1.55 \div 3.0$;

$D_2/D_0 = 1.3 \div 1.1$.

i.5. - pompe axiale: $n_1 = 600 \div 1200$; $n_0 = 164 \div 330$; $K = 3 \div 6.22$; $D_2/D_0 = 1$.

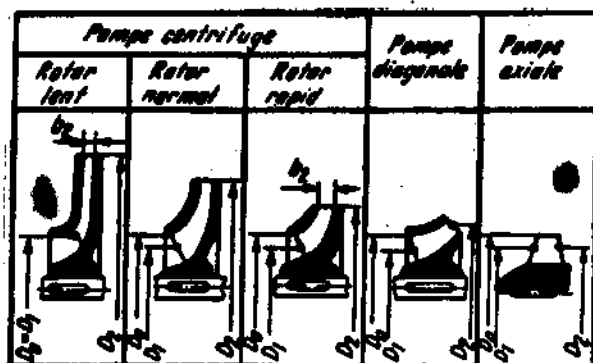


Fig.3.15. Clasificarea pompelor centrifuge după rapiditate (funcții caracteristice)

Numărul caracteristic K , turația specifică n , sau turația caracteristică n_0 sunt funcții caracteristice, obținute din condiții de similitudine, și fac legătura între o anumită geometrie a rotorului mașinii hidraulice și parametri săi energici (debit, înălțimea de pompare, turație).

Relația de calcul a numărului caracteristic:

$$K = 2\pi n \frac{V^{\frac{1}{2}}}{(gH)^{\frac{3}{4}}} \quad (3-66)$$

n [1/s] - turația; V [m³/s] - debitul; H [m] - înălțimea de pompare;
 g [m/s²] - accelerația gravitațională.

3.7.2. Construcție și funcționare

Rotorul 5 este fixat pe arborele 3 cu ajutorul unor pene. Arborele se sprijină pe batiul pompei cu ajutorul unor rulmenți.

Lichidul pătrunde prin conducta de aspirație. Pentru a putea porni, pompa și conducta de aspirație trebuie în prealabil umplute cu lichid. Prin învârtirea rotorului apa este centrifugată către periferia acesteia. La intrarea în rotor se crează vid. Pe suprafața liberă din bazinul de aspirație acționează presiunea atmosferică. Datorită acestei diferențe de presiune între bazinul de aspirație și intrarea în pompă este generat un flux lichid continuu. De la periferia rotorului apa trece prin carcasa statorică 6 în camera spirală 7 și pătrunde prin difuzorul 2 în conducta de refulare L în cămașa statorică, în camera spirală dar mai ales în difuzor, o parte din energia cinetică a lichidului se transformă în energie potențială.

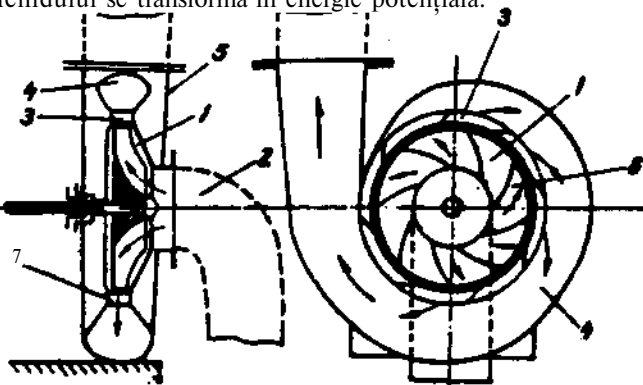


Fig.3.16. Schema unei pompe centrifuge:
 1- conductă de refulare; 2- difuzor; 3- arbore;
 4- intrare lichid; 5- rotor; 6- carcasă statorică;
 7- camera spirală (carcasa elicoidală).

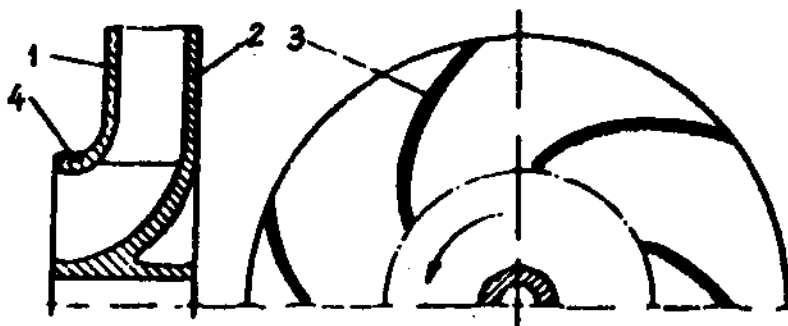


Fig.3.17. Rotorul unei pompe centrifuge

/ - inelul acoperitor; 2 - coroana*;
3 - paletă; 4 - inelul labirintului

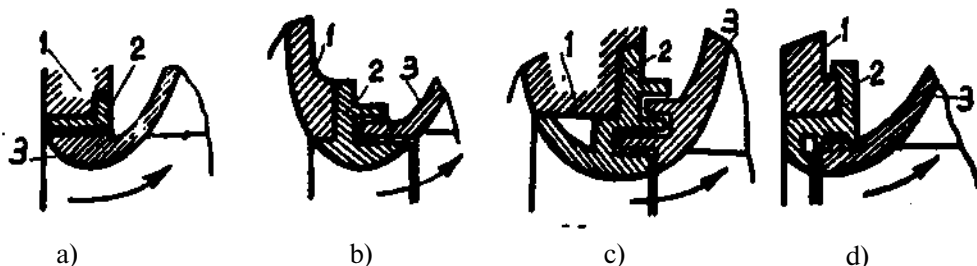


Fig. 3.18. Diferite tipuri de labirint

7 - capatul de aspirație; 2 - labirint; 3 - rotor.

Pentru a micșora pierderile prin curgerea lichidului din zona de presiune ridicată în zona de joasă presiune, se prevăd **labirinturi**, prezentați în fig.3.18.

3.7.3. Construcția etansărilor mobile utilizate la pompe

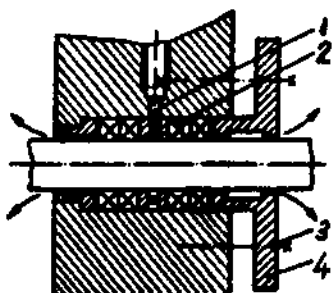


Fig.3.19

/ - conductă de alimentare cu apă;
2* - garnitură; J - șurub de strângere;
4 - capatul presetupei; 5 - inel distanțier

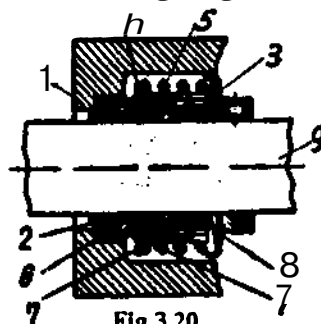


Fig.3.20

1** - inel metalic; 2*** - garnitură;
J - capatul presetupei; 4 - inel alunecător;
5 - arc elicoidal; 6 - garnitură alunecătoare;
7 - inele de cauciuc; 8 - inel de blocare;
9 - arbore.

Observație

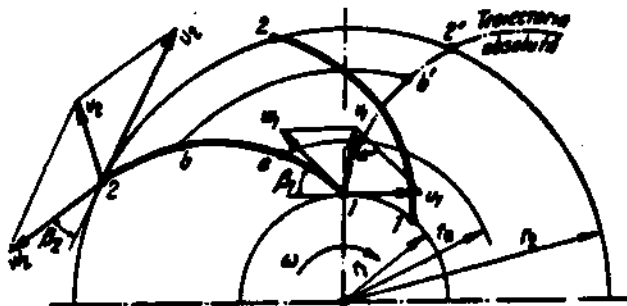
- * **Materialele folosite** pentru garnitură sunt:
bumbac moale îmbibat cu **grăsime**; împletitură din fire de azbest.
- ** Materialele **folosite** pentru **inelul** metalic sunt:
fontă; bronz; aliaje dure; **carburi**.
- *** Materialele folosite pentru garnitură sunt:
cauciuc; teflon.

3.7.4. Ecuațiile fundamentale ale pompelor hidrodinamice

Rotorul primește lucru mecanic de la arbore și transmite curentului lichid partea cea mai însemnată. Rotorul este un corp rigid care se rotește cu viteza unghiulară ω , constantă și prevăzut cu 6 - 12 palete care ghidează curentul fluid.

Dacă distanța dintre două palete consecutive ar fi infinit mică, pentru un observator ce **s-ar mișca împreună cu rotorul**, toate particulele fluide ar avea traiectorii ce ar coincide cu forma paletelor. La rotoarele reale, paletelor fiind dispuse destul de rar, particulele ce pătrund în zona mediană a canalului **interpaletar** pot avea traiectorii ce diferă de forma paletelor. Pentru simplificare, se neglijează atât aceste **diferențe** (se consideră deci un rotor cu număr infinit de palete, fiecare paletă fiind de grosime infinit mică) cât și pierderile hidraulice.

Cu aceste simplificări se obține **înălțimea** de pompare teoretică pentru un număr infinit de palete H_{∞} .

**Fig.3.21. Triunghiurile de viteză**

/ - a - b - 2 - traiectoria relativă; / - a' - b' - 2' - traiectoria absolută datorită unei mișcări de antrenare a rotorului,
w - viteză relativă; v - viteză absolută; u - viteză de antrenare.

În fiecare punct al traiectoriei trebuie satisfăcută relația:

$$\vec{v} = \vec{u} + \vec{w} \quad (3-67)$$

Deci cele trei viteze formează triunghiul vitezelor.

Sunt importante două triunghiuri de viteză: cel de intrare și cel de ieșire.

Paletelor **rotorice** deviază **curentul**, unghiul vitezelor relative trebuie să corespundă unghiului de înclinare al paletelor față de tangenta la cerc.

Așadar, paletelor obligă modificarea momentului **cantității** de mișcare între intrarea și ieșirea din rotor.

$$\vec{M} = \rho \cdot Q [\vec{r}_2 \cdot \vec{v}_2 - \vec{r}_1 \cdot \vec{v}_1] \quad (3-68)$$

în care:

ρ [kg/m³] - densitatea (masa specifică)

Q [m³/s] - debitul volumic de lichid

\vec{r}_1 - raza **vectoare** în punctul 1

\vec{v}_1 - viteza absolută în punctul 1

\bar{r}_2 - raza **vectoare** în punctul 2

\bar{v}_2 - viteza absolută în punctul 2

De reținut următoarele unghiuri:

γ_1 (v_1 ; prelungirea razei r_1) $< 90^\circ$

β_1 (w_1 ; tangenta în punctul 1 la cercul de rază r_1) $< 90^\circ$

α_1 (v_1 ; u_1)

T: (v_2 ; prelungirea razei r_2) $< 90^\circ$

β_2 (w_2 ; tangenta în punctul 2 la cercul de rază r_2) $< 90^\circ$

α_2 (v_2 ; u_2)

Produsul $|\bar{r}_2 \cdot \bar{v}_2|$ - aria paralelogramului care are ca laturi r_2 și v_2

Produsul $|\bar{r}_1 \cdot \bar{v}_1|$ - aria paralelogramului care are ca laturi r_1 și v_1

$$\begin{aligned} |\bar{r}_2 \cdot \bar{v}_2| &= r_2 \cdot v_2 \sin \gamma_2 \\ |\bar{r}_1 \cdot \bar{v}_1| &= r_1 \cdot v_1 \sin \gamma_1 \end{aligned} \quad (3-69)$$

Relația (3-68) devine:

$$M = \rho g (r_2 v_2 \sin \gamma_2 - r_1 v_1 \sin \gamma_1) \quad (3-70)$$

Facem următoarele notații:

$$v_{u_1} = v_1 \cos \alpha_1 \quad (3-71)$$

Componenta tangențială a vitezei absolute v_1

$$v_{m_1} = v_1 \sin \alpha_1 \quad (3-72)$$

Componenta meridională a vitezei absolute v_1 și similar

$$v_{u_2} = v_2 \cos \alpha_2 \quad (3-73)$$

$$v_{m_2} = v_2 \sin \alpha_2 \quad (3-74)$$

Cum unghiurile γ și α sunt complementare, rezultă egalitățile:

$$r_2 \cdot v_2 \sin \gamma_2 = r_2 \cdot v_2 \cos \alpha_2 = r_2 \cdot v_{u_2} \quad (3-75)$$

$$r_1 \cdot v_1 \sin \gamma_1 = r_1 \cdot v_1 \cos \alpha_1 = r_1 \cdot v_{u_1} \quad (3-76)$$

Cu aceste relații, momentul **cantității** de mișcare devine:

$$M = \rho \dot{V} v_{u_2} \cdot r_2 - \rho \dot{V} v_{u_1} \cdot r_1 \quad (3-77)$$

Acest moment trebuie transmis lichidului, deci arborele pompei trebuie să dispună de puterea:

$$P = M \cdot \omega \quad (3-78)$$

care se mai poate scrie:

$$P = \rho \dot{V} v_{u_2} \cdot r_2 \omega - \rho \dot{V} v_{u_1} \cdot r_1 \omega \quad (3-79)$$

sau

$$P = \rho \dot{V} v_{u_2} \cdot u_2 - \rho \dot{V} v_{u_1} \cdot u_1 \quad (3-80)$$

Puterea hidraulică furnizată de pompă se scrie cu relația:

$$P = \rho g \dot{V} H_{t\infty} \quad (3-81)$$

Scriind egalitatea ultimilor două relații se obține:

$$g H_{t\infty} = v_{u_2} \cdot u_2 - v_{u_1} \cdot u_1 \quad (3-82)$$

care reprezintă ecuația fundamentală a pompelor **hidrodinamice**, numită ecuație în unghiuri deoarece **conține** funcțiile trigonometrice ale unghiurilor α_1 și α_2 . Aplicând teorema cosinusului în triunghiurile de viteze la intrare și ieșire.

se obține:

$$w_1^2 = v_1^2 + u_1^2 - 2u_1 v_1 \cos \alpha_1 \quad (3-83)$$

$$w_2^2 = v_2^2 + u_2^2 - 2u_2 v_2 \cos \alpha_2 \quad (3-84)$$

De unde se obțin produsele:

$$u_1 v_1 \cos \alpha_1 = \frac{-w_1^2 + v_1^2 + u_1^2}{2} \quad (3-85)$$

$$u_2 v_2 \cos \alpha_2 = \frac{-w_2^2 + v_2^2 + u_2^2}{2} \quad (3-86)$$

care înlocuite în **relația** (3-84), rezultă:

$$gH_{\text{teo}} = \frac{w_1^2 - w_2^2}{2} + \frac{v_2^2 - v_1^2}{2} + \frac{u_2^2 - u_1^2}{2} \quad (3-87)$$

relație care poartă denumirea de ecuație fundamentală în viteze.

În cazul pompelor de fabricație **curentă**, $\alpha_1 = 90^\circ$, datorită faptului că nu există sator la intrare, în **firele** fluide execută o simplă întoarcere la 90° .

În acest **caz**, ecuația (3-82) devine:

$$gH_{\text{teo}} = v_{u_2} \cdot u_2 \quad (3-88)$$

3.7.5. Exploatarea turbopompelor

3.7.5.1. Pornirea și oprirea agregatelor

În cazul în care s-au efectuat intervenții la legăturile motorului electric, înainte de pornirea agregatului de pompare, trebuie să se verifice dacă sensul de rotație este cel corect.

Pentru amorsare, conducta de aspirație și pompa trebuie umplute cu lichid până la nivelul conductei de refulare.

Pompele centrifuge se pornesc cu vana de pe conducta de refulare **închisă**, iar pompele diagonale și axiale, dacă sunt prevăzute cu vane de refulare, se pornesc cu vana complet deschisă.

Pompele care au fost pornite cu vana de refulare **închisă** nu trebuie lăsate să funcționeze timp îndelungat cu vana **închisă**, deoarece se încălzesc. Pompele centrifuge nu trebuie să funcționeze fără lichid. După pornire, vana de refulare se deschide complet numai după atingerea turației de regim.

La pomparea lichidelor calde, înainte de punerea în **funcțiune**, pompa trebuie încălzită încet până la temperatura de regim.

În timpul funcționării pompei este necesar să se efectueze **următoarele** operații:

- să se verifice ca inelele de ungere să se rotească liber împreună cu arborele;
- să se observe ca temperatura lagărelor să nu depășească $60 - 70^\circ \text{C}$;
- se controlează nivelul de ulei;
- se controlează răcirea **pompei** în cazul pomparii lichidelor fierbinți.

Trebuie respectate cu strictețe normele de tehnica securității **muncii**, știind că organele în rotație și lichidul **pompă** prezintă pericol.

Pentru oprirea agregatului de **pompare** sunt necesare următoarele operații:

- închiderea progresivă a vanei de refulare, acolo **unde** există;
- oprirea motorului;
- închiderea robinetelor manometrului și a țevilor prin care se introduce apa în

presgarnitură și apa de răcire la lagăre.

În cazul unor temperaturi ambiante **scăzute**, după oprirea pompei se golesc de apă atât **pompa**, cât și conductele.

3.7.5.2. Defectele turbopompelor

În timpul punerii în funcțiune și a **exploatării pompelor**, pot **apărea** o serie de defecte care pot duce la avarierea și altor agregate și utilaje, în **afară** de agregatul de pompă **propriu-zis**. Principalele defecte cauzele care le produc și măsurile ce trebuie luate pentru înlăturarea lor sunt prezentate în tabelul 3.4.

Tabelul 3.4. **Defecte**, cauze și măsuri de remediere

Defecte	Cauze	Măsuri pentru înlăturare
Pompa nu aspiră /	Pompa și conducta de aspirație nu sunt pline cu lichid.	Se completează lichidul și se elimină bulele de aer.
	Pătrunde aer în conducta de aspirație.	Se determină locul neetanșeității și se etanșează .
	Aerul din pompă și conducta de aspirație nu este evacuat.	Se deschid robinetele de aerisire și se umple pompa cu lichid.
	Ventilul de reținere al sorbului nu se deschide suficient.	Se curăță ventilul de reținere al sorbului și se repara.
	Sita sorbului este înfundată.	Se curăță sita.
	Înălțimea de aspirație este prea mare.	Se montează pompa la înălțimea de aspirație corespunzătoare.
	Rotorul se rotește în sens invers.	Se schimbă legăturile electrice .
Pompa aspiră aer și nu refulează.	Vana de refluxare este închisă.	Se deschide vana.
	Rotorul sau aparatul director sunt înfundate.	Se demontează pompa și se curăță.
	Vana de refluxare nu este închisă.	Se închide vana și se deschide pe măsură ce crește turația.
	Rotoarele sunt montate greșit.	Se demontează pompa și se montează corect rotoarele .
Pompa necesită la pornire o putere mai mare decât cea normală.	Dispozitivul de echilibrare nu funcționează.	Se verifică dispozitivul de echilibrare.
	Presgarniturile sunt prea strânse.	Se slăbesc presgarniturile .
Debitul pompei este sub cel normal .	Pompa este înfundată.	Se curăță rotorul și aparatul director
	Vana de refluxare este înfundată.	Se controlează vana .
Pompa se încălzește.	Vana de refluxare era închisă.	Se deschide vana de refluxare.
	Presgarniturile sunt stânse prea mult.	Se slăbesc presgarniturile .
	Nu funcționează dispozitivul de răcire.	Se controlează conductele și robinetul dispozitivului de răcire.
	Fundația slabă.	Se consolidează fundația.
Pompa vibrează	Șuruburile de fixare nu sunt strânse .	Se strâng șuruburile de fixare.
	Conductele nu sunt bine fixate	Se consolidează conductele .
	Există pungi de aer în con-ducta de aspirație	Se înlătură acrul și se etanșează conducta .

3.7.5.3. Reglarea debitului

Funcție de condițiile de exploatare ale instalațiilor se impun **modificări** ale debitului **pompelor**, iar cele mai uzuale **moduri** de realizare sunt: închiderea parțială a unor **valvule**, **recircularea** unei **cantități** de fluid cu ajutorul conductelor de by- **pass**, modificarea turației și mai rar înclinarea paletelor **rotorice** sau **statorice**. În figura 3.22 sunt prezentate

caracteristicile pompelor și ale instalațiilor precum și modul de determinare al punctului de funcționare.

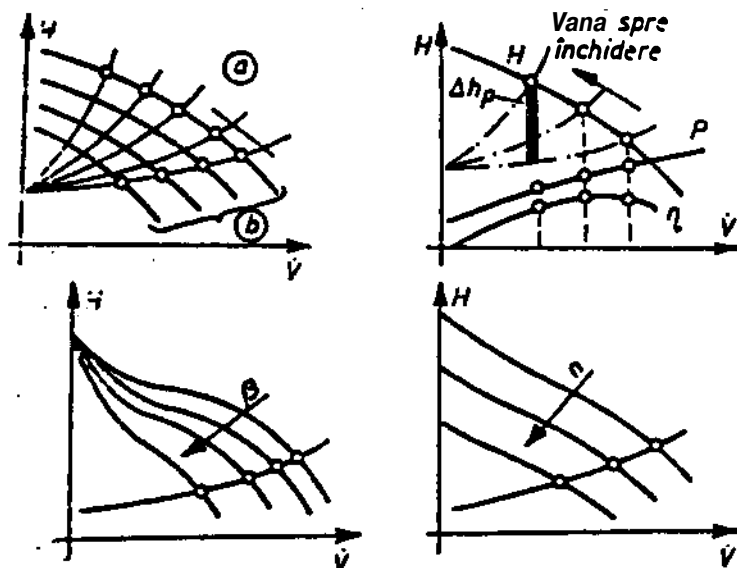


Fig. 3.22. Reglarea debitului pompelor

Închiderea parțială a unei valvule este un procedeu simplu de reglare a debitului modificând secțiunea de trecere a fluidului **printr-o** valvulă montată pe conducta de refulare. Se realizează o pierdere de sarcină hidraulică suplimentară **în** conducta de refulare astfel încât se modifică caracteristica exterioară. Deplasarea punctului de funcționare arată că la reducerea debitului apare și reducerea presiunii de refulare. Este o metodă care se aplică în principal la pompele centrifugale. Rezultate similare pot fi obținute și dacă valvulă este montată pe aspirația pompei cu condiția ca pompa să aibă rezervă de $NPSH_d$.

Recircularea unei cantități de fluid este un procedeu care constă în montarea pe refularea pompei a unei conducte de by-pass care permite întoarcerea fluidului în aspirația pompei sau în tancul de **aspirație**. Prin deschiderea **valvulei** de pe conducta de by-pass pompa va debita un debit pe conducta de refulare principală și un debit de by-pass. Acest procedeu se **aplică** pompelor volumice dar este utilizat și pentru instalațiile de pornire ale pompelor centrifugale, la care pornirea se va face cu valvulă de pe conducta de by-pass deschisă.

Modificarea turației pompei este o metodă utilizată atunci **când** motorul de antrenare al pompei permite modificarea turației.

3.7.5.4. Funcționarea pompelor în paralel

În cazul în care debitul unei singure pompe nu este **suficient** pentru satisfacerea **cerințelor** consumatorilor din **rețea**, se pot cupla în paralel două sau mai multe **pompe**. În mod obișnuit aspirația este independentă pentru fiecare **pompă**, refularea făcându-se într-o conductă comună. **Pompele** care se cuplează în paralel pot avea aceeași caracteristică (pompe identice) sau caracteristici diferite (pompe diferite). Pot **fi** cuplate în **paralel** pompe diferite cu **condiția** ca în punctul de racordare a celor două conducte de refulare să se poată realiza aceeași sarcină pentru arabele pompe. Pentru cazul cuplării în paralel a două pompe identice caracteristica **funcționării** în comun poate fi **urmărită** în figura 3.23a, în care **caracteristica este** determinată ca fiind dublul caracteristicii unei singure pompe.

3.7.5.5. Funcționarea pompelor în serie

În practică se **pot** ivi **situații** în care debitul livrat de pompă este **suficient** pentru alimentarea **consumatorilor**, în schimb înălțimea de pompare este prea mică. Uneori această problemă se poate rezolva cuplând în serie două sau mai multe pompe. În această situație prima pompă aspiră apa din magistrală sau din tanc și o **refulează** în aspirația pompei care urmează după ea. **Evident**, este posibil ca **fiecare** pompă din montajul în serie să fie **multietajată**. Caracteristica funcționării a două pompe identice montate în serie poate fi urmărită în figura 3.23 b. Dacă din punct de vedere hidraulic funcționarea în serie a unui număr oarecare de pompe este **posibilă**, condițiile de rezistență sunt adeseori prohibitive, impunând creșterea grosimilor pereților rotorului, camerei spiralei etc.

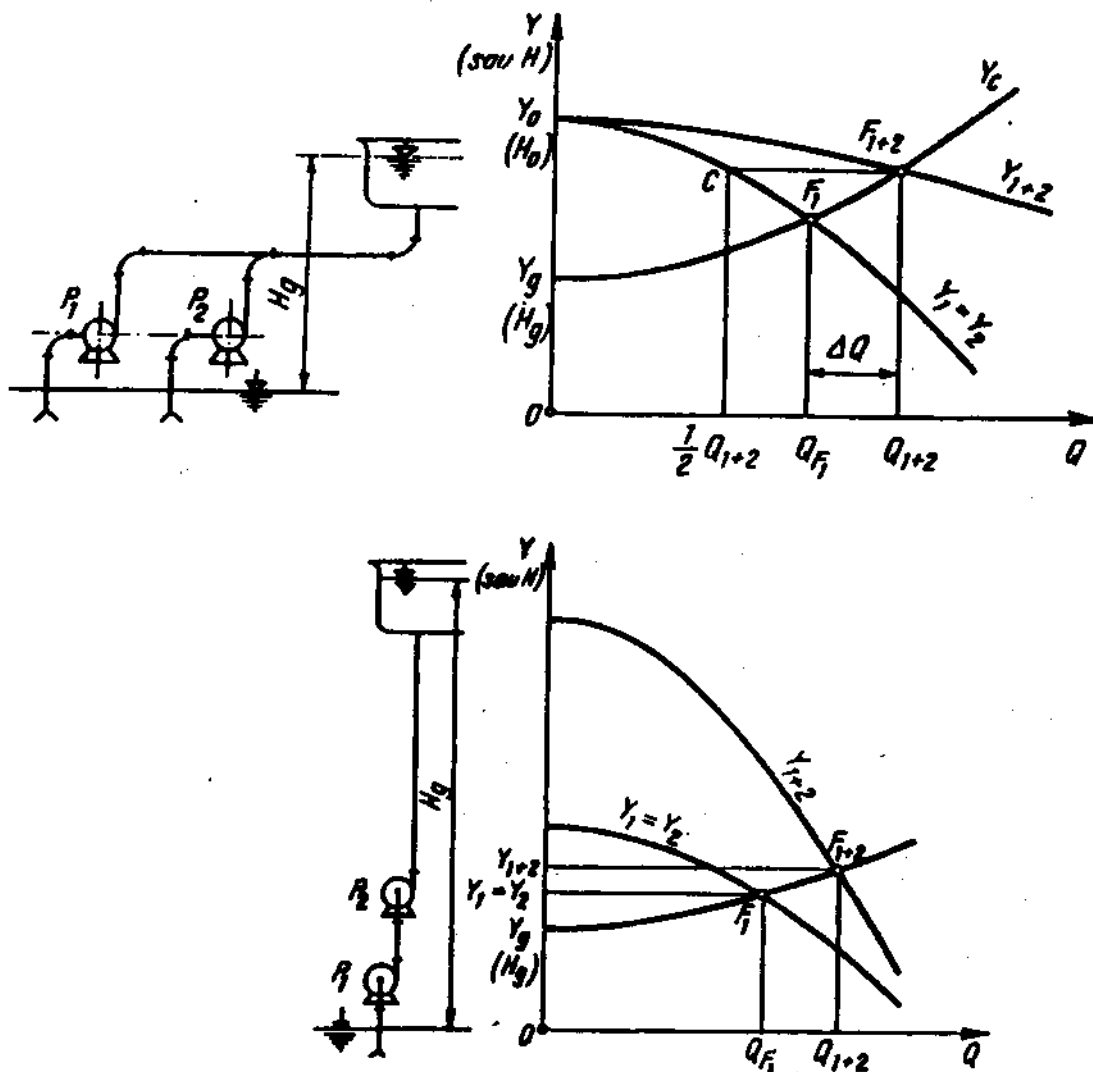


Fig.3.23. Funcționarea pompelor în: a) paralel; b) serie

3.8. Pompe cu inel de lichid

Sunt **utilizate** pentru **amorsarea** pompelor centrifuge din unele instalații (**balast, santină**, răcire pistoane etc.) precum și pentru crearea vidului necesar diverselor procese tehnologice.

Carcasa cilindrică / este prevăzută cu două capace frontale în care sunt practicate orificiile 2 și 3, în comunicare cu **conducta** de refulare, respectiv de aspirație.

Rotorul 4 este dispus excentric față de **carcasa**. Înainte de prima punere în funcțiune, pompa se umple parțial cu lichid auxiliar.

După pornire lichidul este obligat datorită forțelor centrifuge și de viscozitate să formeze un inel concentric cu carcasa.

Astfel între pațele rotorului se **formează** spații libere de diferite dimensiuni care sunt delimitate de butucul **rotorului**, pațele **învecinate**, inelul de lichid și capacele frontale.

Urmărind sensul de rotație se constată că pe porțiunea A(C) B volumul **interpaletar** crește ceea ce creează o depresiune pe conducta de aspirație, iar între punctele B(D)A volumul se **micșorează**, ceea ce provoacă evacuarea fluidului prin conducta de refulare.

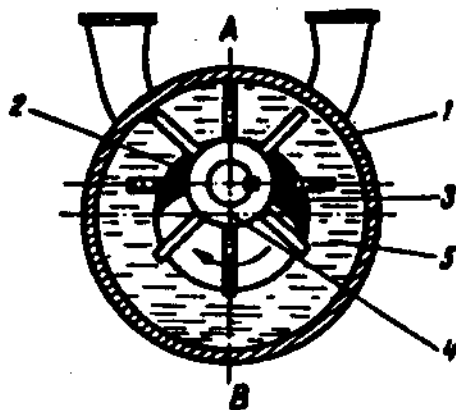
Vidul maxim care poate fi creat de către o pompă cu inel de lichid (apă) nu trebuie să scadă sub presiunea de **vaporizare** a lichidului auxiliar (apa).

În cazul apei (ca lichid auxiliar) la **temperatura** de 20° C ($p_v = 2,38 \text{ kNm}^2$) ceea ce corespunde la **cca 17,53 mm cHg**, vidul maxim va fi:

$$\eta_{\text{teoretic}} = \frac{760 - 17,53}{760} \cdot 100 = 97,69\%$$

Pompele cu un singur etaj pot atinge 95% din vidul **teoretic**, deci la temperatura de 20° C pentru apă se poate atinge un vid de 92,7 %. Dacă este necesară obținerea unui vid mai avansat se realizează pompe cu două etaje, iar **lichidul** auxiliar va fi puternic răcit.

În cazul antrenării cu ME, turația pompei poate fi reglată cu ajutorul unui **reostat** între 3000-13 000 rot / min.



Fi 3 24 Schema unei . de vid cu inel de lichid

1 - carcasa cilindrică; 2 - orificiu de refulare;
3 - orificiu de aspirație; 4 - rotor; 5 - inel de lichid.

3.9. Pompe cu membrană

Sunt utilizate pentru pomparea diverselor produse **care** de multe ori nu trebuie să vină în contact cu părțile instalației de pompare, să nu fie alterate de uleiul de ungere sau să nu se prelingă în cavitatea de lucru.

Funcție de natura fluidului **antrenat**, presiunea de lucru și destinație membranele pot fi confecționate din:

- a) Materiale moi: piele; cauciuc; mase plastice.
- b) Materiale metalice: **alpaca**;

bronz fosforos; oțel.

Pistonul **4** **acționat** printr-un mecanism bielă - manivelă de către motorul de antrenare, imprimă lichidului auxiliar **6** o mișcare **alternativă**, provocând deplasarea elastică a membranei și deci modificarea volumului camerei de lucru și în final **pomparea**.

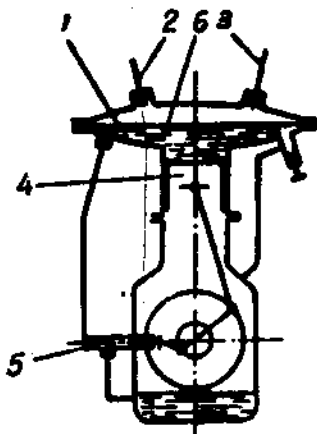


Fig. 3.25. Pompă cu membrană metalică
7 - membrana metalică; 2 - supapa de aspirație;
3 - supapa de refulare; 4 - piston; 5 - pompă cu
piston auxiliari; 6 - lichid auxiliar.

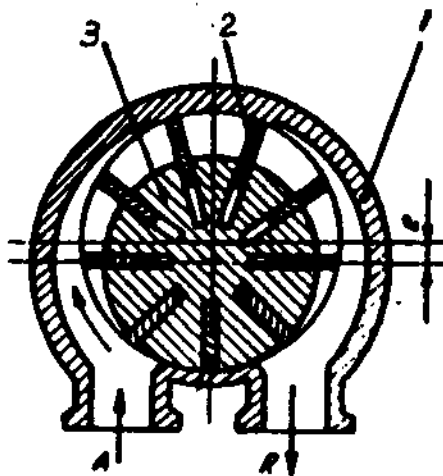


Fig. 3.26. Pompă cu paletе glisante
1 - carcasă; 2 - paletа glisantă; 3 - rotor.

Pompa de **compensatie** 5 este folosită pentru **completarea** lichidului auxiliar pierdut.

Dacă ΔV este variația de volum între cele două poziții extreme ale **membranei**, atunci debitul teoretic refulat de pompă pentru n **rot/min** turația motorului de antrenare va fi:

$$\dot{V}_t = \Delta V \cdot \frac{n}{60} \quad \text{ra}^3/\text{s} \quad (3-89)$$

3.10. Pompă cu paletе glisante

Acest tip de pompe sunt adesea utilizate la acționările **hidraulice**, deoarece prin variația excentricității permite **modificarea** debitului la turație constantă:

$$\begin{aligned} p_{\max} &= 140 \text{ bar;} \\ V &= 4 - 360 \text{ l/min} \\ \eta_m &= 0.95 \end{aligned}$$

$$\eta_v = 0.95$$

În timpul funcționării paletetele se **deplasează** în canale datorită forței centrifuge și **rămân** mereu în contact cu peretele interior al carcasei.

Dacă pompa cu palete glisante este construită pentru presiuni mai mari de 60 **bar**, construcția pompei trebuie să permită echilibrarea hidraulică a rotorului, ceea ce se obține adesea prin orificiu dublu de aspirație și refulare, dispuse la 180° unele față de altele.

3.11. Pompe **cu jet**

Principiu de funcționare:

Agentul de lucru **conține o mare** cantitate de energie. Agentul **pompat** primește o parte din energia agentului de lucru. Agentul de lucru este abur și **apă**, deci pompele se clasifică în pompe cu jet de abur și pompe cu jet de apă.

3.11.1. Pompe cu jet de abur

Aceste pompe folosesc energie cinetică a aburului pentru transportarea prin conductele **instalației** a fluidelor cu viscozitate mică.

Asemenea pompe cu o largă utilizare la navele în instalațiile de extracție a aerului din condensatoare în scopul **menținerii** unui vid optim, cât și în sistemul de **santină** în scopul deplasării diferitelor lichide prin **rețelele instalației** hidraulice.

H_{1H} - presiunea agentului de lucru la intrarea în ajutoraj 1:

H_2 - vacuumul format în camera de amestec 2:

Z_r - **înălțimea lichidului** în tancul de refulare.

P_0 - presiunea la suprafața lichidului în tancul de refulare:

l_r - **rezistențele** hidraulice pe conducta de refulare:

P_a - presiunea la **suprafața** lichidului în tancul de aspirație;

Z_a - **înălțimea** lichidului în tancul de **aspirație**;

l_a - **rezistențele** hidraulice pe conducta de aspirație

$$H_2 = Z_a + \frac{P_a}{\gamma} + h_a$$

$$H_2; Z_a; h_a \quad [\text{mCA}]$$

$$p. \quad [\text{kgf/m}^2]; \gamma \quad [\text{kgf/m}^3];$$

$$H_3 = Z_r + \frac{P_0}{\gamma} + h_r$$

$$H_3; Z_r; h_r \quad [\text{mCA}]$$

$$P_0 \quad [\text{kgf/m}^2]; \gamma \quad [\text{kgf/m}^3];$$

$$\text{Fie} \left\{ \begin{array}{l} V_1 \left[\frac{\text{m}^3}{\text{s}} \right] \text{debitul agentului de lucru;} \\ \dot{V}_2 \left[\frac{\text{m}^3}{\text{s}} \right] \text{debitul lichidului de transportat;} \\ \dot{V} \left[\frac{\text{m}^3}{\text{s}} \right] \text{debitul de amestec.} \\ \dot{V} = \dot{V}_1 + \dot{V}_2 \left[\frac{\text{m}^3}{\text{s}} \right] \end{array} \right.$$

Procesul care are loc în pompele cu jet de abur poate **Ω împărțit** în trei etape:

- scurgerea aburului prin ajutoraj;
- aspirația și amestecul cu agentul de lucru;
- comprimarea amestecului.

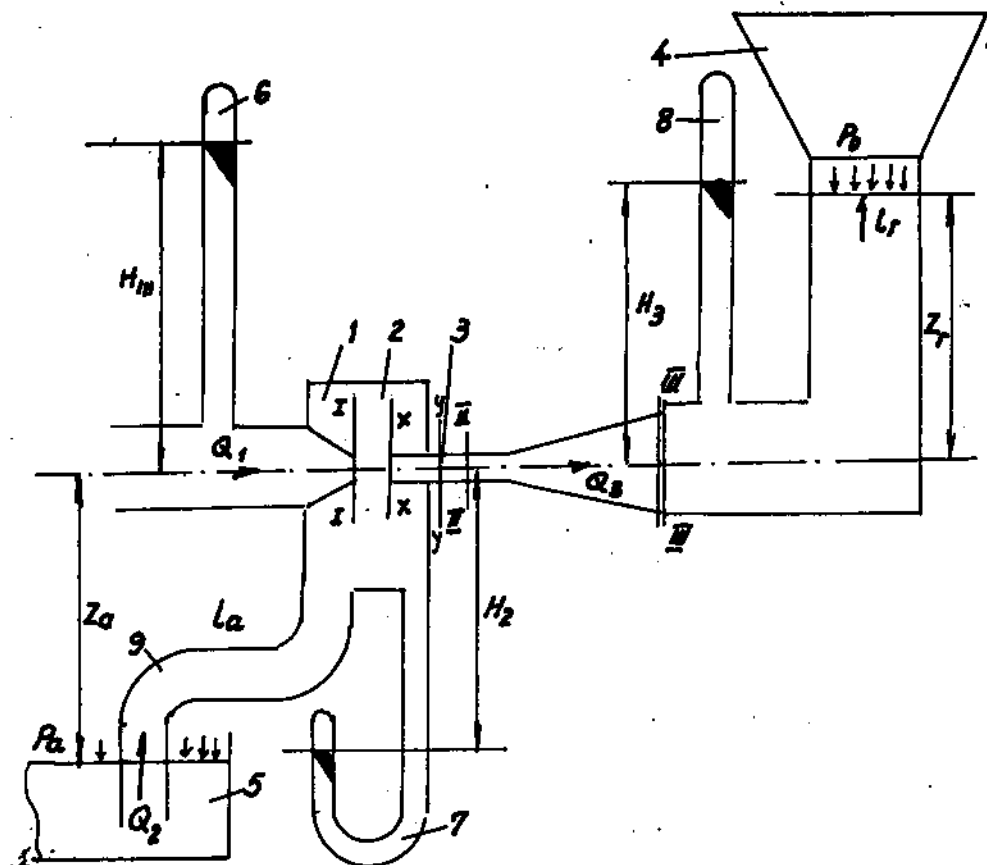


Fig.3.27. Pompă cu jet de abur

1 - ajutoraj (energia potențială de presiune se va transforma în energie cinetică);
 2 - camera de amestec; 3 - difuzor (energia cinetică a amestecului se transformă în energia potențială de presiune); 4 - tanc de refulare; 5 - tanc de aspirație; 6 - tub piezometric (indică presiunea agentului de lucru înainte de a intra în ajutorajul 1);
 7 - tub piezometric (indică vacuumul în camera de amestec 2); 8 - tub piezometric (indică presiunea de refulare la ieșirea din difuzorul 3); 9 - conducta de aspirație)

a) Scurgerea aburului prin ajutoraj

Fie p_0 - presiunea; t_0 - temperatura; i_0 - entalpia - parametrii aburului la intrarea în ajutoraj.

p_1 - presiunea; t_1 - temperatura; i_1 - entalpia - parametrii aburului la ieșirea din ajutoraj.

La scurgerea prin ajutoraj energia potențială a aburului se transformă în energie cinetică.

Fie c_1 - viteza aburului la ieșirea din ajutoraj,

$$c_1 = f(i_0, i_1) \text{ sau } c_1 = f(\Delta i)$$

$$c_1 = 91,53 \varphi \sqrt{i_0 - i_1}; \varphi = 0,88 - 0,92$$

(3-90)

b) Aspirația și amestecul cu agentul de lucru

Fie $m_{ab} = \frac{G_{ab}}{g}$ masa aburului;

c_1 - viteza aburului la ieșire;

$$m_{asp} = \frac{Q_{asp}}{g} \quad \text{masa lichidului aspirat;}$$

c_{as} - viteza fluidului aspirat la intrarea în camera de amestec;

c_x - viteza amestecului în secțiunea x - x

Conform teoremei impulsului putem scrie:

$$m_{as} \cdot c_1 + m_{asp} \cdot c_{asp} = (m_{as} + m_{asp}) c_x$$

Viteza obținută în camera de aspirație:

$$c_{asp} = 80 \div 130 \text{ m/s}$$

c) Comprimarea amestecului

în secțiunea x - x viteza amestecului atinge valoarea **maximă**, după care începe să **scadă**, permițând creșterea presiunii atât în **confuzor**, cât și în **difuzorul ejectorului**.

c₁) Comprimarea amestecului în confuzor

între două secțiuni x - x și y - y

$$\frac{\rho a c_x^2}{2} + I_x = \frac{\rho a c_y^2}{2} + I_y \quad \text{sau}$$

$$\frac{c_x^2}{2} + i_x = \frac{c_y^2}{2} + i_y \quad \text{sau} \quad (3-91)$$

$$\Delta i = \frac{1}{2} (c_x^2 - c_y^2) \quad \text{unde } \Delta i = i_y - i_x$$

Considerând comprimarea **adiabatică**:

$$i_y - i_x = \frac{k}{k-1} (p_y \cdot v_y - p_x \cdot v_x) \quad \text{sau}$$

$$\frac{1}{2} (c_x^2 - c_y^2) = \frac{k}{k-1} (p_y \cdot v_y - p_x \cdot v_x) \quad \text{deci}$$

$$c_y = \sqrt{c_x^2 - 2 \frac{k}{k-1} p_x \cdot v_x \left(\frac{p_y \cdot v_y}{p_x \cdot v_x} - 1 \right)} \quad (3-92)$$

$$p_x \cdot v_x^k = p_y \cdot v_y^k \Rightarrow \left(\frac{v_x}{v_y} \right)^k = \frac{p_y}{p_x} \Rightarrow \frac{v_x}{v_y} = \left(\frac{p_y}{p_x} \right)^{\frac{1}{k}}$$

$$\frac{v_y}{v_x} = \left(\frac{p_x}{p_y} \right)^{\frac{1}{k}}$$

$$\frac{p_y}{p_x} \cdot \left(\frac{p_x}{p_y} \right)^{\frac{1}{k}} = \left(\frac{p_y}{p_x} \right)^{1 - \frac{1}{k}} = \left(\frac{p_y}{p_x} \right)^{\frac{k-1}{k}} \quad (3-93)$$

$$c_y = \sqrt{c_x^2 - 2 \frac{k}{k-1} p_x \cdot v_x \left[\left(\frac{p_y}{p_x} \right)^{\frac{k-1}{k}} - 1 \right]} \quad \left[\frac{\text{m}}{\text{s}} \right]$$

$$v_x = \frac{V_x}{m}; \quad v_y = \frac{V_y}{m}; \quad V_y = m v_y = A_y \cdot c_y$$

$$m = \frac{A_y \cdot c_y}{v_y}; \quad \text{din transformarea adiabată:}$$

$$p_y v_y = p_x v_x \Rightarrow v_y = \left(\frac{p_x}{p_y} \right)^{\frac{1}{k}} \cdot v_x$$

$$\text{deci } \frac{A_y}{v_x \left(\frac{p_x}{p_y} \right)^{\frac{1}{k}}} \sqrt{c_x^2 - 2 \frac{k}{k-1} \left[\left(\frac{p_y}{p_x} \right)^{\frac{k-1}{k}} - 1 \right]} \quad [\text{kg}]$$

Dacă transformarea este **politropă** rezultă:

$$m = \frac{A_y}{v_x \left(\frac{p_x}{p_y} \right)^{\frac{1}{n}}} \sqrt{c_x^2 - 2 \frac{k}{k-1} p_x v_x \left[\left(\frac{p_y}{p_x} \right)^{\frac{n-1}{n}} - 1 \right]} \quad [\text{kg}] \quad (3-94)$$

c.) Comprimarea amestecului în difuzor

Amestecul continuă să-și piardă din **viteză, mărindu-și** în schimb presiunea.

Determinarea volumului specific al amestecului la ieșirea din **difuzor**:

$$v_{III}^k p_{III} = v_{II}^k p_{II} \Rightarrow v_{III} = \left(p_{II} / p_{III} \right)^{\frac{1}{k}} v_{II}$$

Cantitatea de abur necesară funcționării pompei cu jet este de **cca 5** ori mai mare decât cantitatea amestecului comprimat de pompă.

Viteza amestecului la ieșirea din ejector este de **cca 50 m/s**

Comprimarea se face de **cca 7** ori.

La montarea pompelor cu jet trebuie avut în vedere că axa difuzorului să coincidă cu axa **ajutajului**, iar între ajutaj și difuzor să **fie** o distanță optimă.

Avantaje ale **pompelor cu jet**:

- gabarite reduse;
- greutate mică;
- simple din punct de vedere constructiv și al exploatarei;
- ușor de pus în funcțiune;
- ieftine.

Dezavantaje - **consum** mare de abur.

3.11.2. Pompe cu jet de apă

Agentul de lucru - apa

Aceste pompe sunt folosite la stins **incendiu**, în sistemul de inundare a **compartimentelor**.

$$V = W + 400 m^3 / h; \quad H_{ga} = 6 [m]$$

Determinarea vitezei lichidului la ieșirea din ajutoraj:

Notatii:

p_1 - presiunea lichidului la intrarea în ajutoraj

p_2 - presiunea lichidului la ieșirea din ajutoraj

φ - coeficientul de pierderi

c_1 - viteza lichidului la intrarea în ajutoraj

c_2 - viteza lichidului la ieșirea din ajutoraj

Conform relației lui Bernoulli:

$$\frac{mc_1^2}{2} + \frac{p_1}{\gamma} + z_1 = \frac{mc_2^2}{2} + \frac{p_2}{\gamma} + z_2 \quad \text{dar } z_1 = z_2 = z_0 \quad (3-95)$$

sau dacă $m = l/g$; $m = l/kg$; l/kgf .

$$\frac{c_1^2}{2} + \frac{p_1}{\gamma} = \frac{c_2^2}{2g} + \frac{p_2}{\gamma} \quad \text{sau dacă } c_1 = 0 \Rightarrow \quad (3-96)$$

$$\frac{c_1^2}{2g} + \frac{p_1 - p_2}{\gamma} \Rightarrow c_2 = \varphi \sqrt{\frac{2g}{\gamma} (p_1 - p_2)} \quad [m/s]$$

$$\varphi = 0,97 - 0,99$$

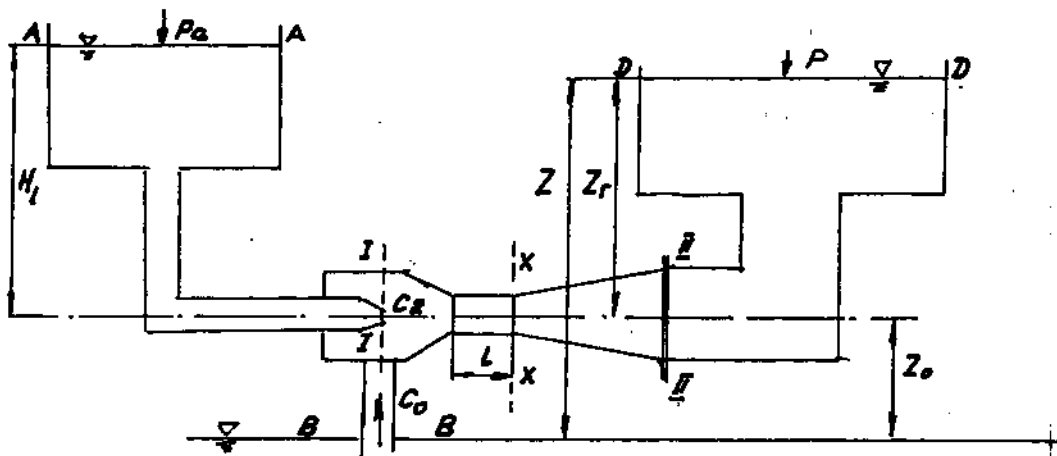


Fig. 3.28. Pompă cu jet de apă

Dacă masa unitară de fluid rămâne constantă atunci:

$$H_e + \frac{P_a}{\gamma} = \frac{P_2}{\gamma} + \frac{c_2^2}{2g} + h_d \quad (3-96)$$

P_2 - presiunea apei la ieșirea din ajutoraj; c_2 - viteza la ieșirea din ajutoraj; $h_a \approx 0$

h_d - pierderi hidraulice în ajutoraj; h - pierderi hidraulice pe conductă până la ajutoraj;

Cauzele principale care pot provoca funcționarea anormală a pompei cu jet de apă sunt

următoarele:

- axa difuzorului nu coincide cu axa ajutorajului
- distanța dintre ajutoraj și difuzor nu este cea optimă
- sita sorbului de aspirație este înfundată.

%

3.12. Conducte

3.12.1. Generalități

Conductele se folosesc la transportul și distribuția agenților de **lucru**, fiind părți distincte din instalațiile în care se **montează**. Conductele reprezintă totalitatea elementelor constructive asamblate etanș. Agentul de lucru reprezintă fluidul care este transportat prin sistemul de conducte. Caracteristicile fluidului sunt reprezentate de **natura, proprietățile** și parametrii acestuia determinând caracteristicile fizico - chimice. Caracteristicile fizico-**chimice** ale fiecărui fluid sunt analizate în scopul stabilirii compatibilității acestora cu diversele materiale utilizate în fabricarea conductelor. Acest lucru permite alegerea corectă a materialului conductei, asigurarea **integrității** și etanșeității **conduței** pe întreaga durată de utilizare precum și realizarea calității suprafeței conductei printr-o curățire și tratare corespunzătoare în perioada de montaj, **fie** printr-o protejare suplimentară. **Protecțiile** îndeplinesc rolul de a asigura și menține integritatea suprafețelor interioare și exterioare ale conductei și pot **fi** de natură mecanică chimică sau termică, **realizându-se** prin placare **interioară, căptușire** cu **elastomeri**, vopsire **exterioară, învelire anticorozivă** și prin izolare termică.

Parametrii specifici circulației fluidului (debitul, **presiunea**, temperatura) sunt mărimi care determină dimensiunile și structura traseului conductei și se folosesc în calculul hidraulic, termic și mecanic al conductei.

O conductă se caracterizează prin : diametru interior, diametru exterior, lungime.

Tabelul3.5. Valorile standardizate ale diametrului nominal

Diametrul nominal	Valori standardizate
Foarte mic	1: 1.2: 1.5: 2: 2.5: 3: 4: 5: 6: 8: 10: 15.
Mic	20: 25: 32: 40: 65: 80.
Mediu	100: 125: 150: 200: 250: 300: 350: 400.
Mare	500: 600: 700: 800: 900.
Foarte mare	1000: 1200: 1400: 1600: 1800: 2000....

Tabelul3.6. Corespondența diametrului exterior exprimat în milimetri și în inches.

Milimetri	1	2	3	4	5	6	7	8	9
Inches	3/16	5/64	1/8	5/32	13/64	15/64	9/32	5/16	23/64
Milimetri	10	11	12	13	14	15	16	17	18
Inches	25/64	7/16	15/32	33/64	35/64	19/32	5/8	43/64	45/64
Milimetri	19	20	21	22	23	24	25	25,39	
Inches	3/4	25/32	53/64	55/64	29/32	15/16	63/64	64/64	

Sunt utilizate la: **balast, santină** și drenaj, transport gaze sau lichide petroliere, agenți **otrăvitori**, apă pentru căldări și **caldarine, combustibil**, ulei, apă **răcire**, aer **comprimat**, gaze, ventilație, **supraplin, sonde, etc.**

Pot **fi** executate din: oțel, **fontă**, cupru, **alamă**, bronz, mase **plastice**, cauciuc, etc.

O conductă se identifică prin diametrul nominal și grosime (diametrul nominal-diametrul secțiunii de trecere \approx diametrul interior)

Din punct de vedere funcțional o conductă poate fi studiată funcție de presiunea nominală (presiunea **maximă** ce poate exista în instalație în timpul exploatarei).

La probe se ia $p_p = 1,5 p_n$, în cazul $p_n \leq 50$ bar.

Tabelul 3.7. Valorile standardizate ale presiunii nominale

Presiunea nominală	Valori standardizate
Joasă presiune	1; 2,5; 6; 10; 16.
Medie presiune	25; 40.
Înaltă presiune	64; 100; 160; 250; 320; 400; 640.
Foarte înaltă presiune	1000; 1600; 2500.....

În cazul circulației lichidelor sau gazelor fierbinți presiunea de lucru va fi **mai** scăzută funcție de temperatura fluidului de lucru.

Tabelul 3.8. Presiunea funcție de temperatură

Presiunea nominală P_n	Temperatura ° C					Presiunea de probă
	100	150	200	250	300	
25	25	22	20	18	17	40

Conform RNR conductele se împart în 3 clase funcție de natura fluidului **vehiculat**, de nivelul de presiune și temperatură:

Tabelul 3.9. Clasificarea conductelor

Destinația conductei	Clasa I		Clasa U		Clasa III	
	Presiune bar	Mediu temp.	Presiune bar	Mediu temp.	Presiune bar	Mediu temp.
Otrăvuri, fluide agresive, material inflamabil. $t_m < 60^\circ\text{C}$	-	.	-	-	-	.
Abur	> 16	sau > 300	≤ 16	și ≤ 300	17	și 1170
Combustibil	> 16	sau > 150	≤ 16	și 1150	17	și 160
Aer, gaz, apă, ulei.	> 40	sau > 300	≤ 16	și ≤ 300	≤ 16	și ≤ 200

3.12.2. Elemente de calcul de verificare

În cazul tubulaturilor standardizate nu se mai fac **verificări**, dar pentru anumite instalații este necesară verificarea **grosimii** conductei.

Se poate utiliza **relatia**:

$$\delta = \frac{P_p \cdot D_n}{2\sigma_a} \quad (3-97)$$

P_p N/mm² - presiunea de probă; D_n ram - **diametrul** nominal;

σ_a N/mm² - efortul unitar **admisibil** la tracțiune pentru materialul considerat.

Pentru conductele sudate (**sudură** pe o singură punte)

$$\delta = \frac{P_p \cdot D_n}{2 \cdot 0,7 \cdot \sigma_a} \quad (3-98)$$

$$\delta = \frac{P_p \cdot D_n}{2 \cdot 0,9 \cdot \sigma_a} \quad (\text{sudură pe ambele părți}) \quad (3-99)$$

Grosimea peretelui conductei **conf. RNR**

$$S = S_0 + b + c \quad \text{mm} \quad (3-100)$$

$$S_0 = \frac{d \cdot p}{20 \cdot \sigma_s \cdot \Phi} + p \quad \text{mm} \quad (3-101)$$

d mm - diametrul exterior al țevii

p bar - presiunea **maximă** de lucru

Φ - coeficient de **rezistență**

$\Phi \sim 1$

$b = \frac{1}{\lambda \cdot \kappa} \bar{u} S_0$ mm - coeficientul care ia în considerare sudura grosimii datorită

îndoirii:

R mm - raza medie a curbei;

c m - adaos pentru coroziune funcție de materialul conductei și de **destinație**.

σ_s N/mm² - efortul unitar admisibil la **tracțiune**;

$\sigma_s = \frac{\sigma}{1,1}$ - pentru **oțel** și aliaje de **oțel**.

în cazul în care nu există **prescripții** speciale

$\sigma_s = 0,35 \sigma_r$

σ_r N/mm² - efortul unitar la rupere.

3.12.3. Sistemele de îmbinare a conductelor

Traseele conductelor se **realizează** prin asamblarea elementelor **acestora**. Procedeele și tehnologiile aplicate la asamblarea diverselor elemente de conductă trebuie să asigure rezistența mecanică și o etanșeitate corespunzătoare. Asamblările trebuie să **mențină** integritatea față de **acțiunile** corozive și erozive ale fluidelor transportate prin conducte la temperaturile și presiunile de **funcționare**.

Îmbinările pot fi: - **nedemontabile**;

- demontabile: cu flanșă; cu filet; speciale.

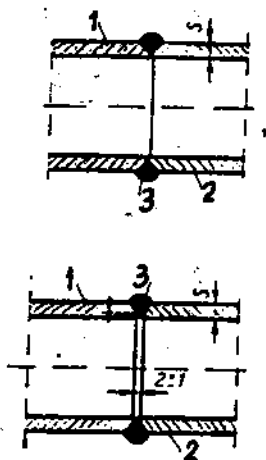


Fig. 3.29. Îmbinare **nedemontabilă**
1- traseu conductă; 2- traseu conductă
3- cordoane de sudură;

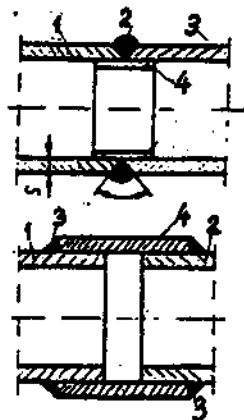


Fig. 3.30. Îmbinare nedemontabilă
1- traseu conductă; 2- cordon sudură;
3- traseu conductă; 4- traseu de
îmbinare

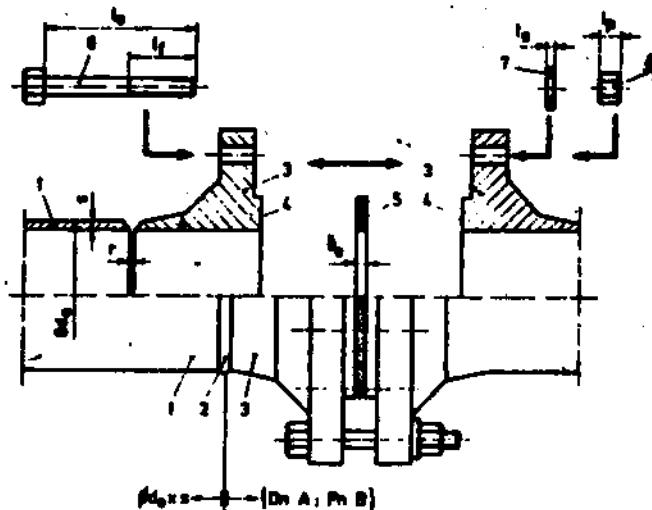


Fig.3.31. Reperle asamblării cu flanșe

1-element de conductă; 2- cordon de sudură;
3- flanșă; 4- suprafață de etanșare; 5- garnitură
de etanșare; 6- șurub; 7- șaibă; 8- piuliță; .

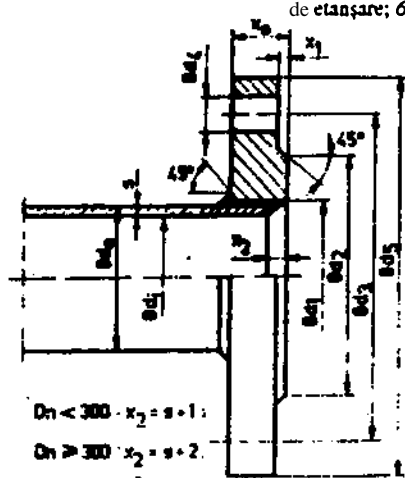


Fig.3.32. Îmbinare cu flanșă

1- traseu conductă; 2- flanșă pentru 1;
3- garnitură; 4- flanșă pentru 5; 5- traseu
conductă; 6- cordon de sudură.

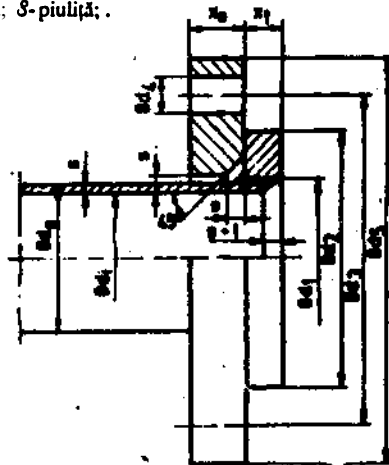


Fig.3.33. Îmbinare cu flanșă mobilă

1- traseu conductă; 2- flanșă mobilă;
3- flanșă sudată; 4- cordon de sudură.

Cuplări elastice

Au ca rol să nu transmită vibrațiile unui agregat la restul instalației.

Compensatori

Pot prelua deformațiile unei tubulaturi datorate fie:

- variațiilor de temperatură;
- deformațiilor corpului navei.

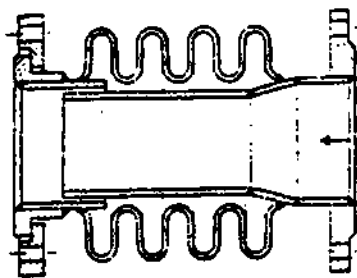


Fig.3.34. Compensator cu burduf
1 - traseu conductă; 2 - burduf;
3 - traseu conductă.



Fig.3.35. Compensator sub formă de Ură



Fig.3.36. Compensator sub formă de spiră

3.13. Armături

Armăturile **reprezintă elementele** de conductă prin **intermediul** cărora circulația fluidelor este **controlată**, dirijată și reglată **permanent**, corespunzător condițiilor de exploatare ale instalațiilor în **caresunt** montate. Prin armături se **înțelege**, în general, dispozitivele montate pe agregate, **pe** recipiente, conducte și pe alte instalații care conțin un fluid sub presiune și cu ajutorul lor se comandă: alimentarea instalației; distribuirea fluidului din instalație; stabilirea sau întreruperea legăturii între agregate și conducte, precum și între diferite porțiuni ale conductei; reglarea **debitului**, presiunii, nivelului și a **temperaturii**; descărcarea instalației.

În mod convențional sunt considerate armături și aparatele și dispozitivele de control și siguranță a **instalației** (**manometre**, aparate indicatoare de nivel, supape de **siguranță**).

3.13.1. Clasificarea armăturilor

a) După destinație:

- 1 - armături închidere - deschidere; au rolul de a izola o anumită parte a **instalației**;
- 2 - armături de distribuție; **modifică** circulația prin conducte;
- 3 - armături de reglaj; reglează un parametru de lucru: presiune, **temperatură**, viscozitate;
- 4 - **armături de siguranță**; nu permit creșterea unui parametru (**presiune**).
- 5 - armături de reținere; permit circulația într-un anumit sens.
- 6 - armături de blocaj, când se modifică parametrii față de cei adoptați (**considerați normali**).

- 7 - armături care schimbă starea de agregare a fluidului (oale de condens).

b) După organul de închidere:

- 1 - armături cu cep;
- 2 - **armături** cu ventil;
- 3 - **armături** cu sertar,
- 4 - armături cu clapete.

c) După direcția fluidului

- 1 - drepte;
- 2 - de colț;

3 - cu trei căi;

4 - cu patru căi.

d) După numărul de scaune la robinetele de reglare

1 - cu un scaun;

2 - cu două scaune.

e) După soluția constructivă determinată de caracteristicile fluidului

1 - execuție normală:

2 - execuție cu capac cu nervuri:

3 - execuție cu burduf de etanșare:

4 - execuție cu țevă intermediară:

5 - execuție cu manta de încălzire.

f) Din punct de vedere al acționării:

1 - cu acționare normală ;

2 - cu acționare mecanică (la armături comandate electric, hidraulic, pneumatic).

3 - cu funcționare automată (reglatoare de debit, presiune, nivel);

3.13.2. Elementele principale ale unei armături

* Organe active de execuție (**intră** direct în contact cu fluidul):

- corpul **armăturii**;

• scaunul;

- organul de închidere **propriu-zis**.

* Mecanismul de **acționare**.

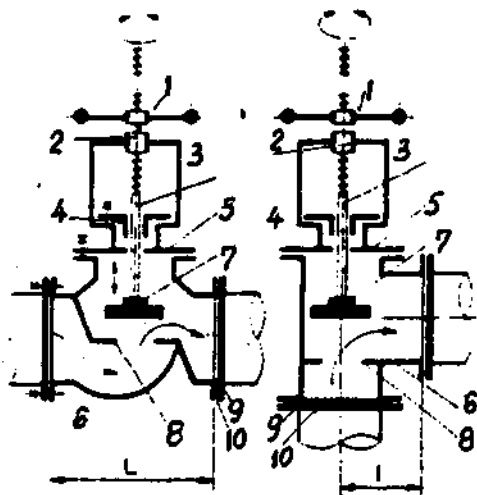


Fig. 3.37. Robinet cu ventیل drept

/ - roată de acționare; 2- piuliță fixă

3 - tijă filetată pe o porțiune:

4 - etanșare; 5 - capac; 6 - corpul robinetului; 7 - ventیل; 8 - scaunul ventilului;

9 - flanșă de fixare robinet; 10 - garnitură

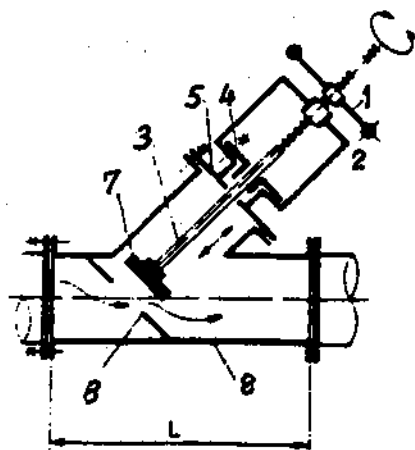


Fig.3.38. Robinet cu ventیل drept
cu tijă înclina U

/ - roată de acționare; 2- piuliță fixă

3 - tijă; 4 - etanșare; 6 - garnitură 7 - ventیل; 8 - scaun; 9 - corpul robinetului; 10 - flanșă.

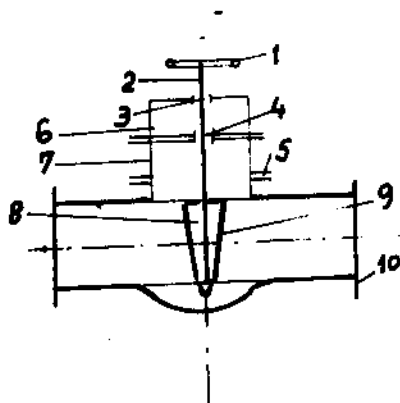


Fig. 3.39. **Robinet cu sertar pană**
/- roată de acționare; 2 - tijă filetată
pe o porțiune; 3 - piuliță; 4 - etanșare;
5 - garnitură; 6 - capac piuliță; 7 - capac
pentru etanșare; 8 - sertar pană; 9 - scaun
sertar pană; 10 - flanșă.

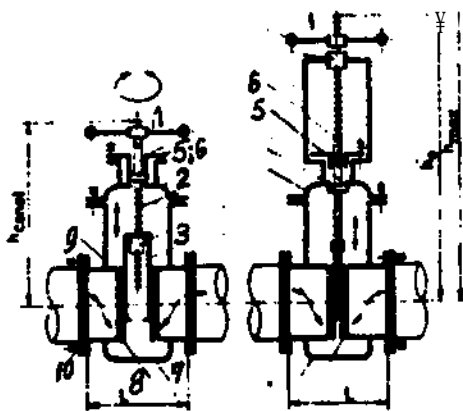


Fig. 3.40. **Robinet cu sertar paralel**
/- roată de etanșare; 2 - tijă; 3 - piuli-
ță fixă; 4 - capac fixare piuliță;
5 - etanșare; 6 - capac fixare etanșare;
7 - senar paralel; 8 - scaun; 9 - corp
robinet; 10 - flanșă.

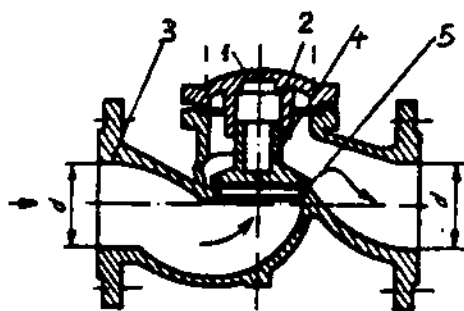


Fig. 3.41. **Clapeta cu ventil, dreaptă**
1 - capac; 2 - corp clapetă;
3 - flanșă; 4 - port - ventil;
5 - scaun.

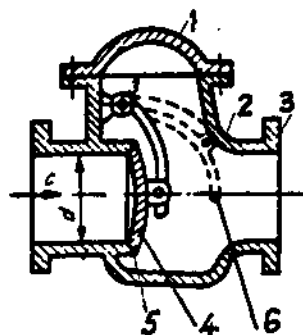


Fig. 3.42. **Clapeta cu valvă dreaptă din
oțel turnat**
1 - capac; 2 - corp; 3 - flanșă; 4 - valvă;
5 - scaun; 6 - pârghie.

Robinete cu cep

Au organul de închidere în forma unui cep conic cu orificiul central. Cepul se poate roti în jurul axei sale pe suprafața de etanșare. Axa orificiului cepului este perpendiculară pe axa cepului.

Robinetele cu cep se caracterizează prin: construcție simplă cost **redus**, manevră rapidă și **simplă**. Se folosesc numai în rețele cu fluide curate și **temperaturi** reduse.

Cepul se execută din fontă sau bronz cu o **conicitate** de $1/6...1/7$. Domeniul standardizat este Dn 15- Dn 150 pentru Pn 10; Pn 16. Robinetul se realizează cu sau fără **presgarnitură**, cu asamblare prin flanșe sau **mufe** filetate.

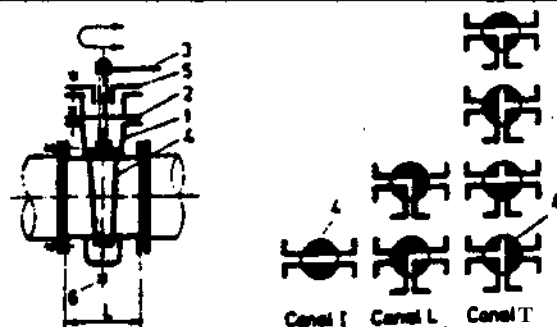


Fig. 3.43. Elemente componente ale robinetului cu cep și variante de circulație ale fluidului prin corp
1- corp; 2- capac; J- cheie de acționare; 4- cep;
5- presgarnitură; 6- șurub de presare.

Robinete de reținere

Aceste armături controlează circulația unidirecțională a fluidelor prin conducte. Robinetele sunt echipate cu dispozitive de reținere cinematice acționate din interior. **Poziția** dispozitivelor de reținere este normal- închisă: circulația fluidelor provoacă deplasarea acestor **dispozitive**, deschiderea robinetelor fiind posibilă numai dacă sensul de curgere corespunde celui normal.

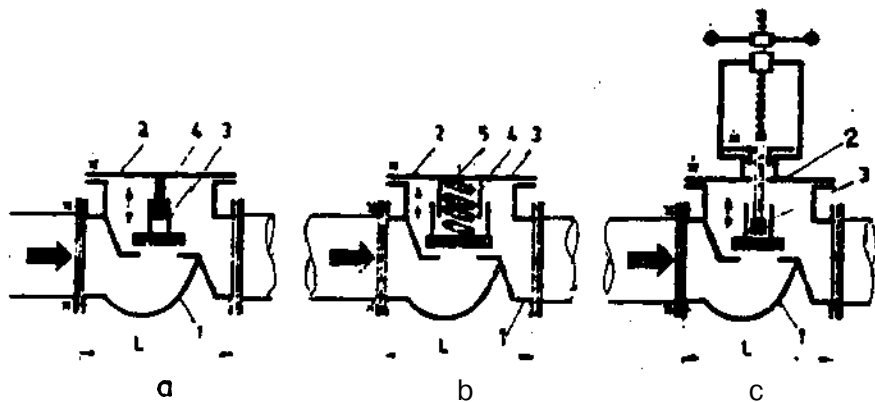


Fig. 3.44. Robinete de reținere cu ventil
a- ventil liber; b- ventil cu arc de închidere; c- ventil cu limitare a cursei.
/- corp; 2- capac; J- ventil de reținere; 4- ghidaj; 5- arc de închidere;
6 - tijă de limitare a cursei

Armături pentru eliminat condensul

Armăturile se deschid **automat**, intermitent, numai în prezența fazei lichide a amestecurilor **bifazice abur- condens**.

Oala cu plutitor. Nivelul variabil de condens basculează **plutitorul**, iar tijă acestuia antrenează organul de obturare al **orificiului de evacuare**(fig. 3.45).

Separatorul termodinamic. La această armătură orificiul de evacuare este obturat de o placă care este deplasată datorită diferenței de presiune care acționează pe **fețele** plăcii. Curgerea condensului permite ridicarea plăcii eliberând orificiul. Prezența aburului și curgerea acestuia cu viteză mare provoacă **laminarea** și acumularea aburului în partea **superioară**, conducând la închiderea orificiului (fig.3.45).

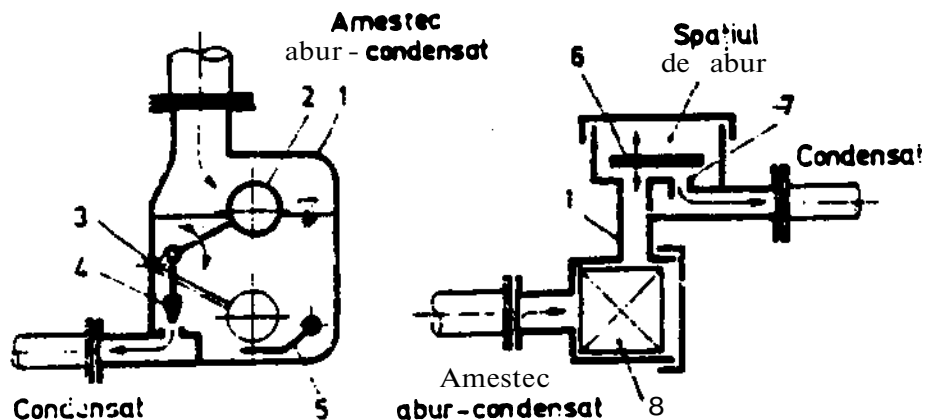


Fig. 3.45. Oaia de condens(a) și separatorul termodinamic(b)

/- corp; 2- pluitor; 3- bolt; 4- dispozitiv de evacuare; 5- pârghie acționare manuală; 6- placa de evacuare; 7- duză; 8- cartuș filtrant.

Armături de siguranță

Aceste armături protejează instalațiile contra creșterii accidentale a presiunii fluidelor de lucru peste o valoare de siguranță prestabilită. Dispozitivele de deschidere sunt **acționate** de Quid și pot **fi** comandate sau blocate cu mecanisme **reglabile** montate în exterior. Poziția dispozitivelor este normal **închisă**, cu obturarea etanșă a secțiunii de evacuare. Prin **deschidere**, armăturile de siguranță asigură o secțiune corespunzătoare pentru evacuarea fluidelor. Depresurizarea datorată evacuării fluidului **are** ca efect revenirea dispozitivelor în poziția lor inițială. Exemple de armături de siguranță **sunt** prezentate în **fig.3.46**.

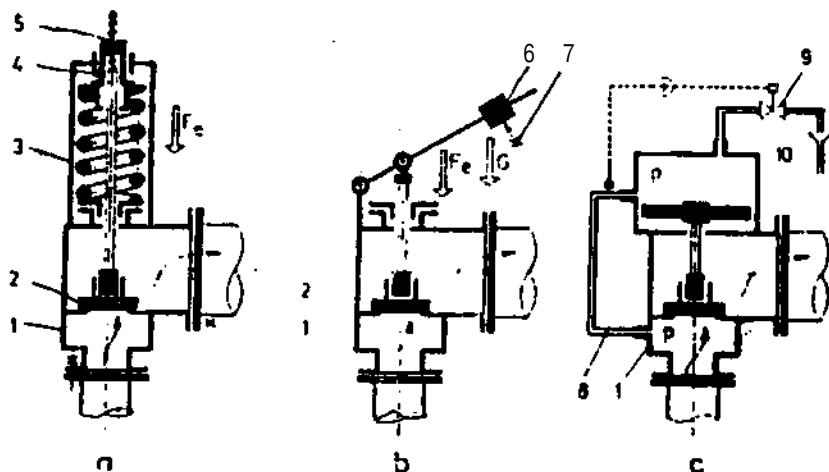


Fig. 3.46. Armături de siguranță

a - cu arc; b - cu contragreutate; c - cu impuls.

/- corp; 2- ventil; 3- arc; 4- dispozitiv de comprimare;

5- piuliță de reglare; 6 - contragreutate; 7- șurub de fixare;

8- conductă de impuls; 9- robinet de descărcare; 10- piston.

3.13.3. Materiale utilizate în construcția armăturilor

Se aleg **funcție** de natura fluidului, temperatura și presiunea de lucru.

Fonta cenușie (STAS 568- 67)	$p_a \leq 16 \text{ bar}$ $t < 300^\circ \text{ C}$	pentru corpul și capacul armăturii
Fonta nodulare (STAS 6071-70)	$p_a \leq 25 \text{ bar}$ $t \leq 300^\circ \text{ C}$	
Fonta maleabilă (STAS 569-70)	$p_a \leq 16 \text{ bar}$ $t \leq 400^\circ \text{ C}$	
Oțel	Se admite în condițiile prevăzute de STAS 1180-65; STAS i 181-66	pentru corpuri , capace , inele de etanșare , tije, șuruburi, piulițe.
Se pot executa prin turnare, sudare, matrițare .		
Aliaje pe bază de cupru	$p_a \leq 16 \text{ bar}$	Deoarece aliajele de cupru nu devin fragile la temperaturi joase, ele se folosesc la executarea armăturilor pentru fluide cu temperatură sub - 100°C.

3.13.4. Reguli principale pentru montarea si demontarea armăturilor

1. Orice armătură înainte de a fi montată trebuie să fie verificată cu atenție în ce privește execuția și calitatea.
2. Înainte de montare se curăță suprafețele flanșelor, se pregătesc garniturile și șuruburile
3. Garniturile pot fi îmbibate cu emulsie de grafit în ulei sau vor fi acoperite abundant cu grafit uscat. Este interzisă utilizarea substanțelor organice pentru etanșarea instalației care funcționează cu **fluide** oxidante.
4. La montare se introduc mai întâi șuruburile în partea inferioară a flanșelor, apoi flanșele se depărtează puțin se introduce garnitura de sus se introduc restul de șuruburi. Strângerea se **execută în cruce**.
5. **Înainte** de demontare trebuie să se constate că instalația nu mai este sub presiune:
6. Desfacerea piulițelor se face în cruce
7. Se marchează pe armătură locul de unde a fost scoasă.

3.14. Garnituri folosite în instalațiile navale

În scopul asigurării **îmbinărilor** etanșe între diferite **elemente** ale instalațiilor **hidro-pneumatice** navale se folosesc garnituri. Materialul din care se confecționează garnitura se alege funcție de natura fluidului de lucru, de temperatura și presiunea acestuia.

Tabelul 3.10. Garnituri **pentru** apă

Denumirea materialului	Temperatura max. °C	Presiunea max. bar	Grosimea mm	Observații
Tendă	50	1,5	-	Se folosește pânză de velă îmbibată cu ulei.
Câneapă, câlți	40	3,0	2 - 6	
Cauciuc simplu	40	3,0	4 - 6	Până la diametrul de 400 mm
Cauciuc cu tendă	60	6	3 - 4	
Cauciuc cu plasă metalică	80	10	3 - 4	Garnitură ondulată umplută cu grafit și azbest
Preșpan	100-200	16	3	
Cupru	-	35	1-3	
Oțel moale	nelimitat	60	-	
Clingherit	275	100	-	

Tabelul 3.11. Garnituri pentru produse petroliere

Denumirea materialului	Temperatura max. °C	Presiunea max. bar	Grosimea mm	Observații
Preșpan	30	10	2 - 4	Trebuie impregnată cu ulei
Hârtie desen	80	10	-	
Fibră	80	15	-	
Aluminiiu	300-400	60	2	

Tabelul 3.12. Garnituri pentru abur

Denumirea materialului	Temperatura max. °C	Presiunea max. bar	Grosimea mm	Observații
Azbest(foaie)	-	1,5	2 - 4	
Azbest (șnur)	-	1,5	-	
Oțel moale	200	20	2 - 3	
Cupru	425	35	•	
Clingherit	30	80	0,5 - 1,5	

Tabelul 3.13. Garnituri pentru gaze

Denumirea materialului	Temperatura max. °C	Presiunea max. bar	Grosimea garniturii	Observații
Azbest	650	1,5	2 - 4	

Materiale utilizate la garnituri

Prespan - carton dur, satinat cu luciu pe ambele fete:

Satinare - Operație prin care se dă luciu unei țesături sau unei foi de **hârtie**, prin presarea între doi cilindri sau uneori uneori, la **presă**.

Fibră vulcan - material obținut din **celuloză**, rezistent la acțiunea produselor petroliere;

Clingherit - material fabricat din fibre de azbest și cauciuc, care este rezistent la temperaturi și presiuni înalte.

Nu rezistă la acțiunea acizilor sau bazelor.

Azbest - silicat de calciu și magneziu, natural. Este un mineral fibros din ale cărei fibre, amestecate pentru legătură cu 10% bumbac se obține prin **cardare** și filare, fibre **reinfl** amabile.

Cardare - operație de destrămare a smocurilor de fibre textile în fibre individuale, de îndepărtarea impurităților și a fibrelor prea scurte, de orientare a fibrelor și de aranjarea sub forma unei pături subțiri.

Miniu de plumb (Pb_3O_4) - Varietate roșie de oxid de plumb. Poate fi întrebuințat ca grund pentru protejarea obiectelor feroase contra ruginii.

Grafit - Formă naturală alotropică a cărbunelui, reprezentând stadiul cel mai înaintat de carbonizare. Cristalizează în sistemul hexagonal, este unsuros la pipăit, **infuzibil**, rezistent la atacul acizilor. Poate fi întrebuințat și ca adaos la **lubrifianți**.

Bibliografie

- [1]. V. Anton, M. Popoviciu, L. Fitero
Hidraulică și mașini hidraulice
Editura Didactică și **Pedagogică**,
București 1978
- [2]. D. Ionescu, C. Ioniță, ș.a.
Mecanica fluidelor și mașini
hidraulice
Editura Didactică și **Pedagogică**,
București 1980
- [3]. Gh. Uzunov, L. Dragomir
Îndrumătorul **ofițerului** de navă
Editura **Tehnică**,
București 1983
- [4]. I. C. Ioniță, J. Apostolache
Instalații navale de bord
Editura **Tehnică**,
București 1986
- [5]. A. Leca, I. Prisecaru, ș.a.
Conducte pentru agenți termici
Editura **Tehnică**,
București 1986

COMPRESOARE

4.1. Generalități, clasificare, mărimi caracteristice

Compressoarele sunt mașini termice generatoare care comprimă **gazele** sau vaporii consumând energie mecanică. După principiul de **funcționare** se împart în două grupe:

- **Compressoare** cu comprimare **volumică** la care comprimarea se **realizează** prin micșorarea volumului ocupat de gaz cu ajutorul unui organ mobil cu **mișcare** rectilinie **alternativă**, la cele cu piston, sau mișcare rotativă la cele rotative.

- **Compressoare** cu comprimare cinetică la care un rotor transferă gazului energie mecanică sub formă de energie cinetică, transformată ulterior în energie potențială de presiune. Curgerea este **radială** la **compresoarele** centrifuge și axială la **compresoarele** axiale.

Compressoarele, indiferent de principiul de funcționare, natura și starea inițială a gazului, pot **fi** caracterizate prin două mărimi principale:

- **raportul de comprimare** $\pi_c = p_r/p_a$, p_r și p_a fiind presiunile de refulare și aspirație ale gazului;

- **debitul volumic aspirat** V' , raportat la presiunea și temperatura de aspirație p_a și t_a .

În figura 4.1 se prezintă domeniul de utilizare al diferitelor tipuri de **compresoare**.

4.2. Compressoare cu piston

4.2.0. Construcția compresoarelor cu piston

Constructiv aceste compresoare au, în general, aceleași părți ca ale unui motor cu ardere internă. În fig. 4.2 este redată o secțiune printr-un compresor vertical, unde se pot distinge toate părțile lui componente.

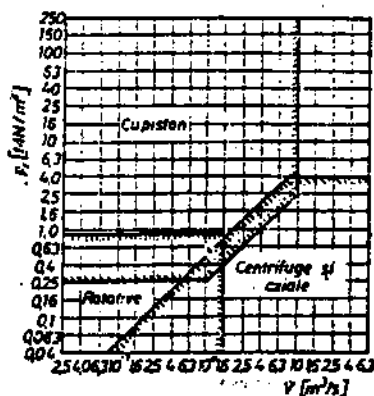


Fig. 4.1 Domeniul de utilizare al diferitelor tipuri de compresoare

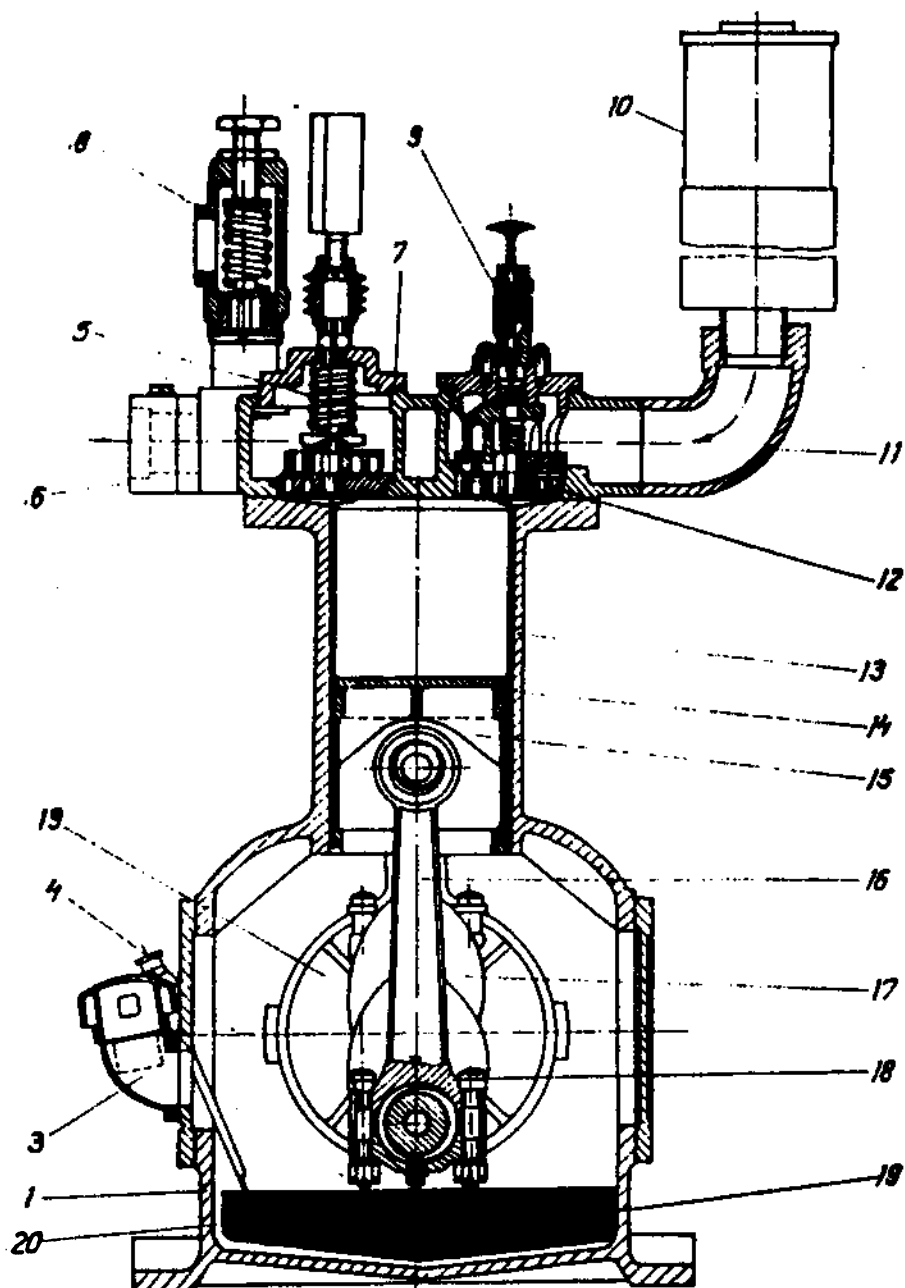


Fig. 4.2. Construcția unui compresor de aer cu piston

1- carterul compresorului; 2- baia de ulei; J- dispozitiv de aerisire a carterului; 4- sondă de ulei (jojă); 5- supapă de refulare; 6- coloana de refulare; 7- chiulăa compresorului; 8- supapi de siguranță; 9- dispozitiv de blocare a supapei de aspirație; 10- filtru de aer, cu amortizor de zgomot; U- coloană de aspirație; 12- supapă de aspirație; 13- cilindrul compresorului (bucșă); 14- segmenti de compresie; 15- pistonul compresorului; 16- biela; 17- manivelă; 18- șuruburi de bielă; 19- arborele cotit; 20- dispozitiv (lingură) de ungere prin blocaj.

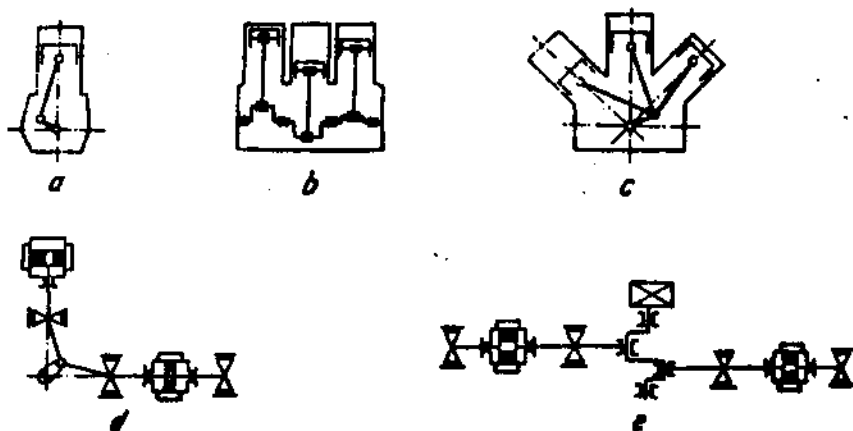


Fig. 4.3. Clasificarea compresoarelor de aer, după dispunerea cilindrilor:
a- raonocilindrice; b- cu cilindrii în linie; c- cu cilindrii în W; d- cu cilindrii în V la 90°; e- cu cilindrii opuși.

Clasificarea compresoarelor cu piston se poate face după mai multe criterii:

- după dispunerea cilindrilor (fig.4.3);
- după numărul de cilindri (monocilindrice și policilindrice);
- după numărul de etaje de comprimare (de la 1 până la 5 etaje);
- după debitul de comprimare:
 - cu debite mici, $Q < 500 \text{ l/min}$;
 - cu debite mijlocii, $Q = 0,5 - 10 \text{ m}^3/\text{min}$;
 - cu debite mari, $Q = 10 - 50 \text{ m}^3/\text{min}$;
- e) după presiunea maximă de refulare:
 - cu presiune joasă, $p \leq 10 \text{ daN/cm}^2$;
 - cu presiune medie, $p = 10 - 100 \text{ daN/cm}^2$;
 - cu presiune înaltă, $p = 100 - 1000 \text{ daN/cm}^2$;

Procese de lucru ale compresoarelor cu piston. Pentru explicarea funcționării proceselor de lucru dintr-un compresor cu piston se va reprezenta **diagrama** teoretică și reală a ciclului de funcționare pentru un **compresor** cu o singură treaptă de **comprimare** și pentru un compresor cu două trepte de **comprimare**. În fig.4.4 se prezintă procesele teoretice și reale din compresor. La compresorul cu piston procesele de aspirație, comprimare și refulare au loc pe parcursul unei **rotații** complete a arborelui **cotit**. În cadrul ciclului teoretic s-au admis următoarele ipoteze:

- nu există **schimb** de căldură între piesele compresorului și fluidul care se comprimă;
- nu se produc pierderi de aer prin **neetanșeități**;
- aerul este un gaz perfect.

Rezultă că fazele procesului teoretic se succed, urmărind fig.4.4. astfel: aspirația (1-2); comprimarea (2-3); **refularea** (3-4). Transformarea cuprinsă pe porțiunea (4-1) reprezintă destinderea aerului rămas în spațiul mort (volumul **vătămător**), de la presiunea de refulare până la presiunea de aspirație.

Diagrama reală reprezentată în fig.4.4 ia în considerare procesele reale din cilindrul **compresor**. Diferențele dintre cele două diagrame se explică astfel: presiunea de aspirație pentru procesul real este mai mică decât presiunea mediului ambiant, ceea ce permite de fapt încărcarea cilindrului cu aer, iar presiunea de refulare este mai mare decât presiunea din conducta de refulare, fiind necesară pentru învingerea rezistențelor aerodinamice din clapetii

de refulare și conducta de refulare. Pentru a mări presiunea de refulare a aerului, **fără** a ridica prea mult temperatura **s-a** recurs la soluția utilizării unui compresor **în** două sau mai multe trepte de comprimare cu răciri intermediare precum și răcire finală.

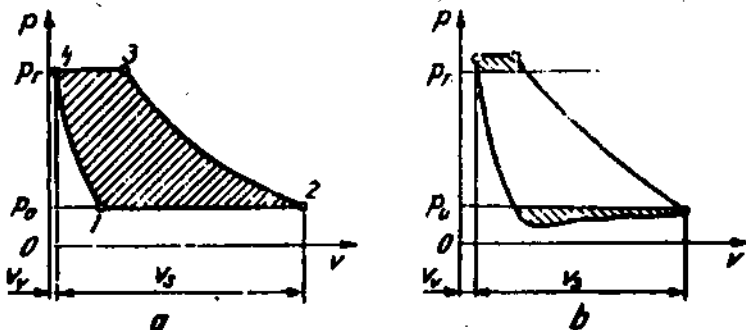


Fig. 4.4. Diagramele proceselor de lucru ale compresoarelor cu piston într-o treaptă de comprimare

a- diagrama teoretică; *b*- diagrama reală; 1-2 aspirația; 2-3 comprimarea; 3-4 refularea; 4-1 destinderea

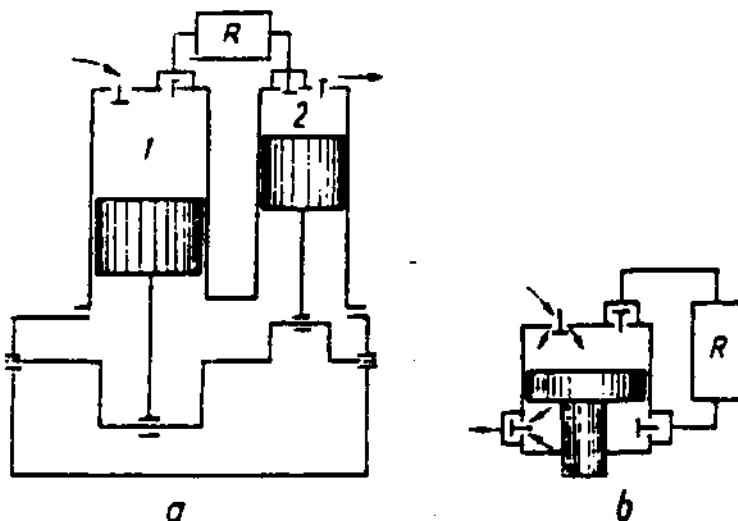


Fig.4.5. Secțiune prin compresoare în două trepte de comprimare
a- compresor în doi cilindri; *b*- compresor cu cilindru și piston diferențial.

Compresorul în două trepte de comprimare este prezentat în fig. 4.5.

Prin comparație s-au redat și diagramele ciclului de funcționare pentru un compresor în două trepte fig. 4.6.

Diagrama teoretică la un compresor în două trepte fig. 4.6a are următoarele faze: aspirația aerului la presiune atmosferică (1-2) și comprimarea (2-3) ultima fiind considerată o transformare **adiabată**. Aerul este apoi răcit în **răcitorul** intermediar 8, la presiune constantă p_i **reducându-se** volumul de la V_3 la V_4 și apoi este introdus în treapta a doua de comprimare unde presiunea crește până la **valoarea** p_i II punctul 5: refularea aerului (transformare izobară) (5-6); **destinderea** aerului rămas în spațiul **vătămător** (6-1).

În fig. 4.6b sunt reprezentate diagramele reale ale celor două trepte de comprimare a aerului. Se observă că presiunea de aspirație în treapta a doua punctul 5 este mai mică decât presiunea de refulare din treapta I (punctul 4), ca **urmare** a pierderilor de presiune și răcirii intermediare. În fig. 4.6c este redată diagrama indicată la ciclul real a compresorului de aer.

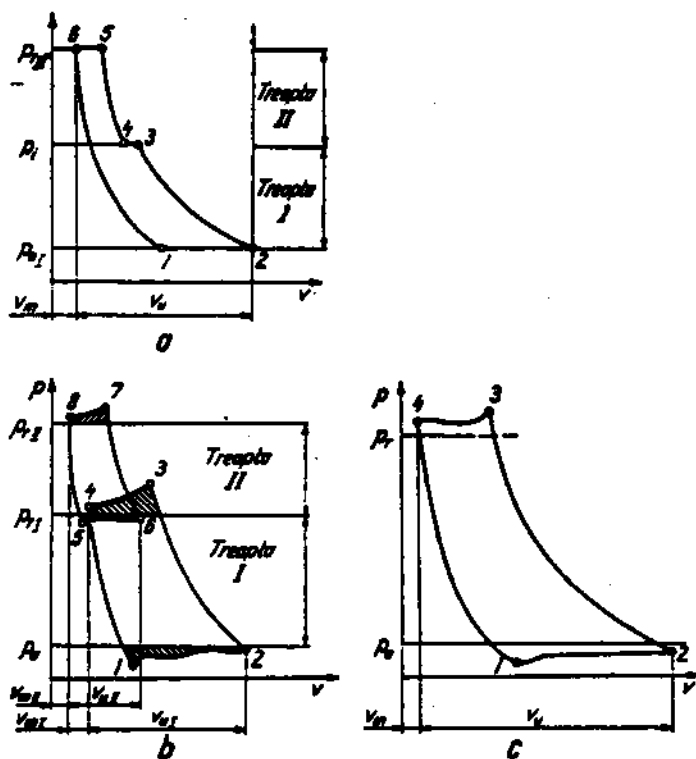


Fig. 4.6. Diagramele proceselor de lucru ale compresoarelor cu piston în două trepte de comprimare

a-diagrama teoretică; 1-2 aspirația; 2-3 comprimarea aerului în treapta I; 3-4 răcirea intermediară a aerului; 4-5 comprimarea în treapta a II; 5-6 refularea aerului din compresor. 6-1 destinderea aerului din spațiul mort; p_r - presiune intermediară între cele două trepte; *b*- diagrama reală; 1-2 aspirația aerului în treapta I; 2-3 comprimarea aerului în treapta I; 3-4 refularea aerului în treapta I spre aspirația treptei a II a; 4-5 răcirea intermediară a aerului; 5-6 aspirația în treapta a II a; 6-7 comprimarea în treapta a II a; 7-8 refularea aerului în treapta a II a; 8-5-1 destinderea aerului în spațiul mort; *c*- diagrama combinată a ciclului real; 1-2 aspirația; 2-3 comprimarea; 3-4 refularea; 4-1 destinderea aerului din spațiul mort.

4.2.1. Dimensiunile principale și debitul compresorului

Dimensiunile principale sunt:

D [m] - diametrul cilindrului; c [m] - cursa pistonului; $A_p = \pi \cdot D^2 / 4$ [m²] - suprafața pistonului; $V_c = A_p \cdot c$ [m³] - cilindrarea unui spațiu activ.

Debitul volumic \dot{V} [m³/s] este volumul de gaz refulat în unitatea de timp de către ultima treaptă, raportată la starea de aspirație.

$$\dot{V} = \lambda \cdot i \cdot n \cdot V_c \quad [\text{mVs}] \quad (4.1)$$

unde: λ este coeficientul global de debit; i - numărul de spații de lucru; n [s⁻¹] - turația.

Debitul masic m [kg/s] este cantitatea de gaz refulat în unitatea de timp de ultima treaptă:

$$\dot{m} = V' \cdot \rho_a = \lambda \cdot i \cdot n \cdot V_c \cdot \rho_a \quad [\text{kg/s}] \quad (4.2)$$

unde: $\rho_a [\text{kg/m}^3]$ este cantitatea de gaz în starea de aspirație.

4.2.2. Calculul coeficientului global de debit

În figura 4.7 se prezintă ciclul teoretic și real al **compresorului** raonoetajat cu spațiu mort având volumul V_M . În calcule preliminare, λ se poate estima pe baza datelor experimentale, din figura 4.8 sau cu relația:

$$\lambda \cong \lambda_u (1,01 \dots 0,022 \pi_c) \quad (4.3)$$

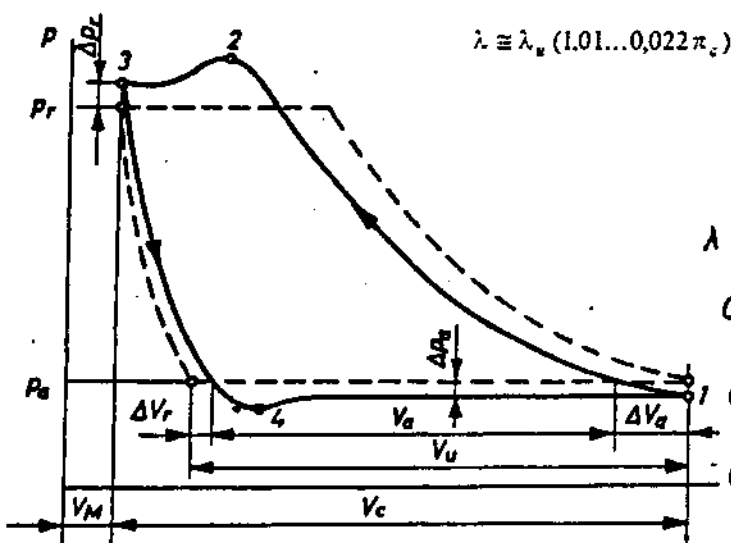


Fig. 4.7. Ciclul teoretic și real al compresorului monoetajat.

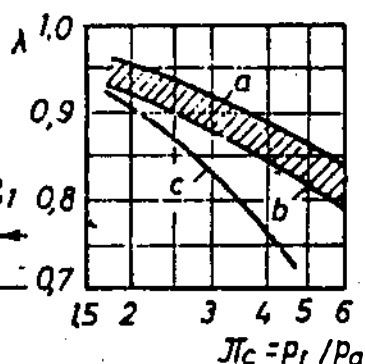


Fig. 4.8. Coeficientul de debit λ :

a, b - pentru o treaptă; c - limita inferioară pentru mai multe trepte

unde $\lambda_u = V_u / V_c$ este *gradul de umplere teoretic*:

$$\lambda_u = 1 - \varepsilon_M \left(\pi_c^{1/n_2} - 1 \right) \quad (4.4)$$

în care $\varepsilon_M = V_M / V_c = 0,03 \dots 0,12$ este spațiul mort relativ.

Pentru calcule mai exacte :

$$\lambda = \lambda_a \cdot \lambda_u \cdot \lambda_r \cdot \lambda_\varphi; \quad (4.5)$$

$$\lambda_a = V_a / V_c \text{ este gradul de umplere real; } \quad (4.6)$$

$$\lambda_u = \lambda_u - (1 + \varepsilon_M) \delta_a / n_1 - \varepsilon_M \cdot \delta_r \cdot \pi_c^{1/n_2} / n_2, \quad (4.7)$$

unde: n_1 este exponentul **politropic** mediu la **comprimare** (pentru aer $n_1 = 1,3 \dots 1,4$); n_2 este coeficientul **politropic** mediu la **destindere** (pentru aer $n_2 = 1,1 \dots 1,4$); n_1 și n_2 cresc cu creșterea turației și scad cu îmbunătățirea răcirii; δ_a , δ_r sunt căderile relative de presiune la aspirație și refulare. Obișnuit, $\delta_a \cong \delta_r = 0,02 \dots 0,10$, în funcție de rezistența hidraulică a supapelor și de viteza de curgere prin supape; λ_w este coeficientul de reducere al debitului datorită încălzirii gazului de aspirație (λ_w s 0,94...0,98);

λ_s este coeficientul de reducere al debitului datorită pierderilor prin neetanșietăți:
 $\lambda_s \approx 0,95 - 0,97$; λ_w și λ_e sunt cu atât mai mici cu cât π_c este mai mare.

în figura 4.9 se dau valorile orientative ale lui λ_w și ale produsului $\lambda_w \cdot \lambda_e$ în funcție de π_c ; λ_ϕ este coeficientul de reducere al debitului datorită umidității conținute în aerul aspirat; când umiditatea se condensează:

$$\lambda_\phi \geq 1 - \varphi_a \cdot p_s / p_a \approx 0,97 \dots 0,99, \quad (4.8)$$

φ_a fiind umiditatea relativă a gazului aspirat, iar p_s - presiunea parțială a vaporilor de apă la saturație; semnul egal corespunde condensării totale.

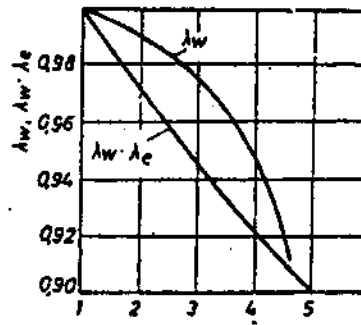


Fig. 4.9. Valori orientative ale lui λ_w și λ_e

4.2.3. Calculul dimensiunilor principale la compresoarele monoetajate

Datele inițiale pentru calcul sunt \dot{V} , p_a , t_a și p_r .

Pentru un compresor monoetajat cu i spații de lucru, acționat la turația n și având un coeficient de debit λ , diametrul cilindrului este:

$$D = \sqrt[3]{4\dot{V} / i \cdot \lambda \cdot n (c/D) \pi} \quad [\text{m}] \quad (4.9)$$

unde $c/D = 0.6 \dots 1.2$: valori mici duc la dimensiuni mari ale compresorului și la viteze medii reduse ale pistonului cu avantajul micșorării pierderilor de presiune în supape; valori mari duc la efecte contrarii. Dacă n și i nu se impun, se calculează mai multe variante cu turațiile sincrone.

Soluțiile se analizează cu următorii parametri de control:

- viteza medie a pistonului:

$$c_m = 2cn \quad [\text{m/s}] \quad (4.10)$$

$c_m = 1,8 \dots 3,5$ (max. 4) la compresoare orizontale cu dublă acțiune și $c_m = 2,5 \dots 5$ (max.

6) la compresoare verticale:

- parametrul de accelerație:

$$\mu_a = cn^2 \quad [\text{m/s}^2] \quad (4.11)$$

$\mu_a = 2,5 \dots 6 \text{ m/s}^2$, pentru compresoarele lente orizontale și $\mu_a = 4,5 \dots 20$ (max. 50) m/s^2 , pentru compresoarele verticale rapide:

- parametrul de încălzire:

$$\mu_i = F_{\max} n^2 \quad [\text{kN/s}^2] \quad (4.12)$$

F_{\max} fiind forța maximă exercitată asupra pistonului. Pentru lagăre de alunecare

$\mu_i \leq (5.5 \dots 23) \cdot 10^2 \text{ kN/s}^2$, iar pentru lagăre cu rulmenți $\mu_i \leq (137 \dots 275) \cdot 10^2 \text{ kN/s}^2$

4.2.4. Puteri și randamente

• **Puterea teoretică:**

$$P = n \cdot V_c \cdot l_v = n l'_c \cdot l_m \cdot \rho_a \quad [\text{W}] \quad (4.13)$$

unde l_v [J/m³] și l_m [J/kg] sunt lucrurile mecanice specifice **volumic** și **masic**. Puterea teoretică poate fi **izotermică** P_{iz} , **adiabatică** P_{ad} sau **politropică** P_{pol} , după cum se consideră procesul de comprimare teoretic:

$$l_{v_{iz}} = P_a \cdot l_n \pi_c \quad [\text{J/m}^3] \quad (4.14)$$

$$l_{v_{ad}} = \frac{N}{N-1} p_a \left[\pi_c^{\frac{N-1}{N}} - 1 \right] \quad [\text{J/m}^3] \quad (4.15)$$

$$l_{v_{pol}} = \frac{n_1}{n_1-1} p_a \left[\pi_c^{\frac{n_1-1}{n_1}} - 1 \right] \quad [\text{J/m}^3] \quad (4.16)$$

unde N și n_1 sunt exponenții adiabatic și respectiv **politropic**.

• **Puterea indicată:**

$$P_i = \dot{V} \cdot l_v / \eta_i \quad [\text{W}] \quad (4.17)$$

unde η_i este **randamentul indicat**. În funcție de procesul teoretic de **referință**, se disting:

randamentul indicat **izotermic** $\eta_{i,iz}$, **adiabatic** $\eta_{i,ad}$ și **politropic** $\eta_{i,pol}$

La **compresoarele** pentru aer și **gaze** procesul teoretic este cel **izotermic**, iar la **compresoarele** frigorifice, cel **adiabatic**. Ca valori, la compresorul **monoetajat** $\eta_{i,iz} = 0,62 \dots 0,76$, **funcție** de π_c , iar $\eta_{i,ad} = 0,90 \dots 0,97$.

Dacă se dispune de diagrama indicată:

$$P_i = n p_i V_c \quad [\text{W}] \quad (4.18)$$

p_i [N/m²] fiind **presiunea medie indicată** i , fiind numărul de spații de lucru la prima **treaptă**, iar λ - **coeficientul global de debit** al compresorului, calculat cu relația:

$$\lambda = \lambda_1 \cdot \prod_{j=2}^i \lambda_{aj} \quad (4.19)$$

λ_1 fiind coeficientul global de debit al primei trepte, calculat cu relația (4.3) și (4.5)

Cilindreele treptelor **următoare** se **calculează** cu relația:

$$V_{aj} = \lambda_{a(j-1)} \cdot V_{a(j-1)} \frac{i_{(j-1)}}{i_j} \frac{\lambda_{a(j-1)}}{\lambda_{aj}} \frac{T_{aj}}{T_{a(j-1)}} \frac{1}{\pi_{a(j-1)}} \quad [\text{m}^3] \quad (4.20)$$

Pentru aceeași cursă la toate spațiile de **lucru**, diametrele cilindrilor de comprimare la treptele următoare se calculează cu relația:

$$D_j = D_{(j-1)} \sqrt{\lambda_{a(j-1)} \cdot \frac{i_{(j-1)}}{i_j} \cdot \frac{\lambda_{a(j-1)}}{\lambda_{aj}} \cdot \frac{T_{aj}}{T_{a(j-1)}} \cdot \frac{1}{\pi_{a(j-1)}}} \quad [\text{m}^3] \quad (4.21)$$

Puterea indicată se poate calcula cu relația (4.17) în care se ia $l_{v,z}$ din relația (4.14); pentru $\pi_g \cdot \eta_{i,z}$ se ia din diagrame sau din tabele corespunzătoare lui z .

Observație: La presiuni mari, de peste 100 bar, relațiile (4.4), (4.14), (4.15), (4.16), (4.20) și (4.21), trebuie corectate, cu considerarea factorului de corecție al gazelor reale corespunzător fiecărei stări:

$$\zeta = p v / RT \quad (4.22)$$

Relațiile amintite devin:

$$\lambda_u = 1 - \varepsilon_M \left(\frac{\zeta_a}{\zeta_r} \pi_c^{1/\eta_c} - 1 \right) \quad (4.23)$$

$$l_{v,z} = \frac{p_a}{\zeta_a} \left[l_{\pi} \pi_c + (\zeta_r - \zeta_a) \right] \quad [\text{J/m}^3] \quad (4.24)$$

$$l_{v,pot} = \frac{p_a}{\zeta_a} \left[\frac{n_1}{n_1 - 1} \left(\pi_c^{\frac{n_1-1}{n_1}} - 1 \right) + (\zeta_r - \zeta_a) \right] \quad [\text{J/m}^3] \quad (4.25)$$

$$D_j = D_{(j-1)} \sqrt{\lambda_{a(j-1)} \cdot \frac{i_{(j-1)}}{i_j} \cdot \frac{\lambda_{a(j-1)}}{\lambda_{aj}} \cdot \frac{T_{aj}}{T_{a(j-1)}} \cdot \frac{1}{\pi_{a(j-1)}} \cdot \frac{\zeta_{a(j-1)}}{\zeta_{aj}}} \quad (4.26)$$

ζ_a și ζ_r referindu-se la starea de aspirație și la cea de refulare.

4.2.5. Răcirea compresoarelor

La compresoarele cu piston se face atât răcirea cilindrilor, cât și răcirea intermediară, și finală a gazului. Răcirea cilindrilor se impune pentru micșorarea solicitărilor termice, îmbunătățirea ungerii și reducerea consumului de ulei, iar cea intermediară, pentru răcirea gazului până aproape de temperatura inițială.

Cilindri se **nervurează** în exterior în cazul răcirii cu aer (la unități mici), sau sunt prevăzuți cu cămăși în cazul răcirii cu apă. Fluxul de căldură evacuat prin cilindru poate fi calculat **orientativ** pentru treptele de joasă și medie presiune cu relația:

$$\dot{Q}_{cl} \cong (0.45 \dots 0.20) P_i \quad [\text{W}] \quad (4.27)$$

iar pentru treptele de înaltă presiune:

$$\dot{Q}_{cl} \text{ s } (0.40 \dots 0.45) P_i \quad [\text{W}] \quad (4.28)$$

Răcirea intermediară și finală se face în **răcitoare** cu aer, la unitățile mici, sau cu apă, la cele mari. **Răcitoarele** cu apă se realizează cel mai frecvent cu fascicule de țevi în manta. Fluxul de căldură realizat se **estimează** cu relația:

$$\dot{Q}_{RI} = (0,8 \dots 0,9) P \Delta t / \Delta t_{\max} \quad [\text{W}] \quad (4.29)$$

PI fiind puterea indicată a treptei din amonte: Δt - căderea de temperatură efectivă; Δt - căderea de temperatură corespunzătoare readucerii gazului la temperatura de aspirație din prima treaptă. Pentru evitarea depunerii de piatră se recomandă ca temperatura apei de răcire la ieșirea din sistemul de răcire să nu depășească 40° C.

4.2.6. Distribuția compresoarelor cu piston

Obișnuit, pentru distribuție se utilizează supape automate, cel mai adesea cu plăci inelare (fig. 4.10). La pompele cu vid cu piston, se folosesc, uneori, sertare comandate la aspirație. Din motive tehnologice, supapele de aspirație și de refulare sunt, **adesea**, identice.

Secțiunea necesară de trecere prin scaunul supapei:

$$A_s = A_p \cdot c_m / c_s \quad [\text{m}^2] \quad (4.30)$$

unde c , este viteza medie prin scaun. Pentru **compresoarele** cu aer, c , se dă în tabelul 4.1.

Tabelul 4.1 Viteza admisibilă în supape

p_{\max} [bar]	10	30	100
c_s [m/s]	35-25	25-20	20-15

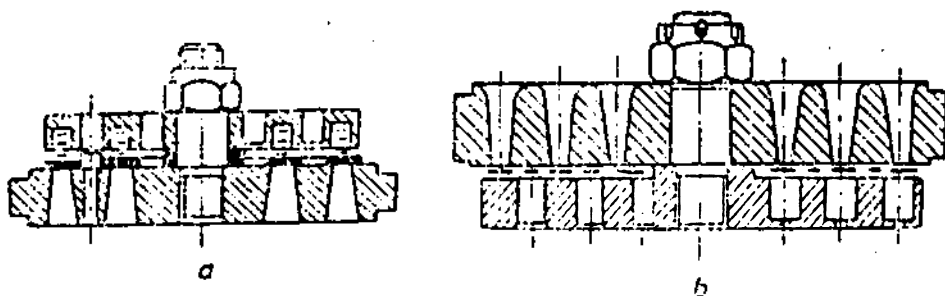


Fig. 4.10. Supape cu plăci inelare:

a - supapă de refulare cu **resoarte mari**; *b* - supapă de aspirație cu **resoarte mici**;

înălțimea de ridicare a plăcilor inelare sau bandă:

$$h_{\max} = (0,10 \dots 0,25) b_s \quad [\text{mm}] \quad (4.31)$$

b_s [ram] fiind lățimea canalului; obișnuit $b_s = 3 \dots 15$ mm și $h_{\max} = 1,5 \dots 3,5$ mm. în figura 4.11 se dă h_{\max} **recomandată**, în funcție de viteza unghiulară ω [rad s⁻¹] pentru diverse presiuni.

Forța în resort la ridicarea maximă a plăcii, raportată la A_p , se admite 10 - 30 kN/nr, iar la așezarea plăcii pe scaun 0,6 - 0,8 din valorile de mai sus. Viteza de așezare a plăcii pe scaun $c_p \leq 0,2$ m/s.

4.2.7. Rezervorul tampon

Se dispune între compresor și consumator în scopul amortizării pulsațiilor de presiune și al acumulării gazului comprimat. Servește și ca separator de ulei și umiditate. Se dimensionează pe baza relației:

$$V_R = K \cdot \dot{V} / \delta \quad [\text{m}^3] \quad (4-32)$$

unde $\delta = (p_{\max} - p_{\min}) / p_{\text{med}}$ este gradul de neregularitate al regulatorului: $K = 3,5 \dots 8,3$ pentru compresoare monoetajate și $K = 2,1 \dots 5,9$ pentru cele bietajate. Limitele inferioare sunt pentru cele cu dublă acțiune.

Orientativ, pentru compresoare cu aer:

$$V_R = (6 \dots 12) \cdot \dot{V} \quad [\text{m}^3] \quad (4.33)$$

Limita inferioară se ia pentru compresoare mari ($\dot{V} > 0,5$ m³/s). La reglarea debitului prin opriri periodice sau mers în gol:

$$V_R = 900 (1 + \Delta T Y T_a) p_a \cdot V / N \cdot \Delta p \quad [\text{m}^3] \quad (4.34)$$

unde ΔT [K] este creșterea medie a temperaturii gazului în rezervor față de aceea de aspirație T_a [K], Δp - variația maximă admisă a presiunii și N [h⁻¹] - numărul orar maxim de opriri sau de treceri la mers în gol. $N = 10 \div 15$ la pornire prin reostate; $N = 30$ la pornire prin comutare stea - triunghi și $N = 60$ în cazul reglării prin trecere la mers în gol.

Armături necesare: supapă de siguranță, flanșe pentru intrare, ieșire și pentru conducta spre regulator, robinet de închidere, robinet pentru evacuarea uleiului și condensului, manometru, termometru, gură de vizitare.

4.2.7.1. Dimensionarea buteliilor de aer de lansare motor principal

Notății:

V_{m^3} - volumul buteliei

P_i $\left[\frac{\text{kN}}{\text{m}^2} \right]$ - presiunea inițială în butelie; P_f $\left[\frac{\text{kN}}{\text{m}^2} \right]$ - presiunea finală în butelie

Z_{lan} - numărul de lansări impus de societatea de clasificare (RNR; LR; GL; BV; AR....)

M_{aer} $\left[\frac{\text{kg}}{\text{m}^3} \right]$ - masa de aer necesar pentru o lansare

$p_{\min_{\text{lan}}}$ $\left[\frac{\text{kN}}{\text{m}^2} \right]$ - presiunea minimă din butelie care mai asigură o lansare sigură.

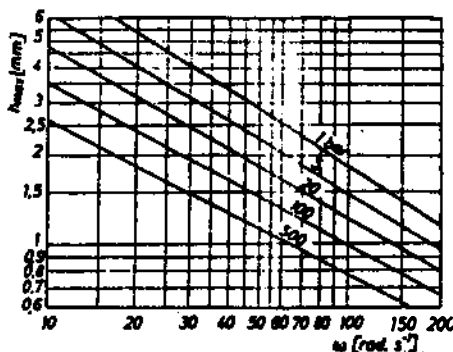


Fig. 4.11. Înălțimea maximă de ridicare a plăcii supapei.

Considerente:

$P_{\min, \text{Lan}} = P_F$; $Z_{\text{Lan}} = 12$ pentru motoare reversibile; $Z_{\text{Lan}} = 6$ pentru motoare nereversibile

Ecuatia caracteristică de stare:

$$pV = mRT \text{ sau } p_i V_i = m_{\text{lan}} R T$$

unde $p_i \left[\frac{kN}{m^2} \right]$ - presiunea din butelie; $V_i = i \cdot V_s$; $V_s = i \cdot \frac{\pi D^2}{4} S$ - cilindrul

totală a motorului; i - nr. de cilindri ai motorului; D [m] - diametrul cilindrului;

S [m] - cursa pistonului; V_s [m³] - volumul cursei pistonului; cilindrul:

$R \left[\frac{kJ}{kgK} \right]$ - constanta aerului; T [k] - temperatura aerului

Rezultă: $m_{\text{lan}} = \frac{p_f \cdot V_i}{RT}$; $p_i V_i = m_i \cdot RT$ - pentru începutul lansărilor

$p_f V = m_f \cdot RT$ - pentru finalul lansărilor

$$m_i - m_f = z_{\text{lan}} \cdot m_{\text{lan}}; \quad \frac{p_i \cdot V_i}{RT} - \frac{p_f \cdot V}{RT} = z_{\text{lan}} \cdot z_{\text{lan}}$$

$$\frac{V}{RT} (p_i - p_f) = z_{\text{lan}} \cdot \frac{p_f \cdot i \cdot \frac{\pi D^2}{4} \cdot S}{RT};$$

$$V = \left(\frac{p_f}{p_i - p_f} \right) \cdot z_{\text{lan}} \cdot i \cdot \frac{\pi \cdot D^2}{4} \cdot S$$

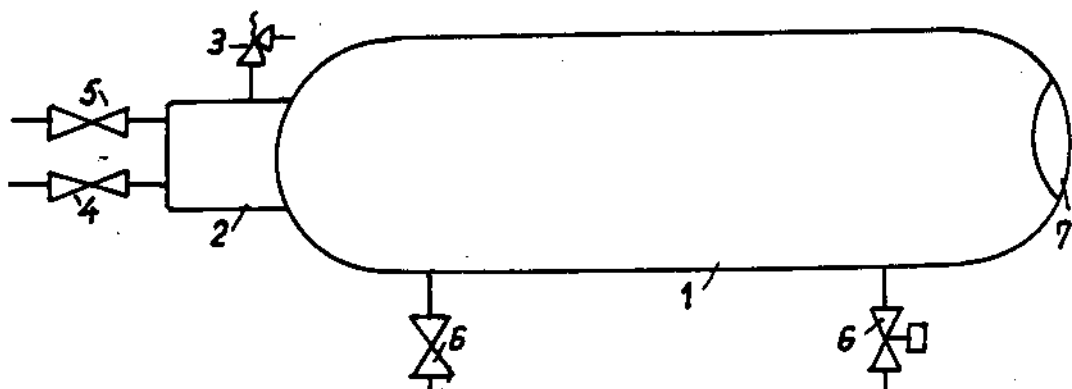


Fig. 4.12. Butelii de aer lansare motor principal

1- corpul buteliei; 2- capul buteliei; 3- supapă de siguranță;

4- valvulă de încărcare; 5- valvulă spre instalația de aer lansare

MP; 6- robineti de purjare; 7- guri de vizită.

4.2.8. Reglarea debitului.

• **Metode de debit nul:** a) opriri periodice (max. 15÷ 30 pe oră); se aplică numai în cazul unităților mici, acționate electric; b) mers în gol. Se realizează prin: deschiderea supapei de aspirație; conectarea unui spațiu mort suplimentar; descărcarea printr-un ventil așezat între supapa de refulare și un ventil de reținere montat pe conducta de refulare; închiderea completă a conductei de aspirație.

- *Metode de debit redus în trepte:* a) trecerea la mers în gol a unui **număr** variabil de spații de lucru; b) variația turației în trepte; c) conectarea succesivă a unor **spații** moarte suplimentare; d) ventile de descărcare plasate de-a lungul cursei pistonului.
- *Metode de debit redus, continuu:* a) variația turației; b) deschiderea comandată a supapei de aspirație prin fracțiuni variabile ale cursei de comprimare și refulare; c) **variația mărimii** spațiului mort **suplimentar**; variația **momentului** conectării spațiului mort suplimentar; e) **variația secțiunii orificiului** de conectare al **spațiului** mort suplimentar; f) strangularea parțială a **aspirației**.

Procedeele cele mai economice sunt: oprirea **periodică**, variația **turației**, conectarea unor spații moarte **suplimentare**, ridicarea supapei de **aspirație**.

4.2.9. Acționarea compresoarelor

Alegerea motorului de acționare depinde de situația energetică a locului unde se va **utiliza compresorul**. Se folosesc: a) *motoare termice* la **compresoarele** de avarie; b) *motoare electrice de curent continuu* pentru compresoarele unor vehicule; b) *motoare electrice de curent alternativ* pentru compresoarele principale și compresoarele auxiliare. Pentru puteri până la 100 kW, se folosesc **motoarele** asincrone în scurtcircuit sau **bobinat**. Înaintea pornirii, compresorul se descarcă prin unul din procedeele de trecere la mers în gol și se pune în funcțiune sistemul de răcire și de ungere (dacă este acționat independent). Pentru unele nave sunt prevăzute și **compresoare** de avarie **acționate** manual care sunt astfel dimensionate **încât** să permită umplerea buteliei de aer lansare motoare auxiliare în 45 min.

4.3. Compresoare, suflante și pompe de vid volumice rotative

4.3.1. Generalități

Cuprind o gamă de construcții la care, prin mișcarea de rotație a unui rotor sau a doi **rotori** cu o anumită **geometrie**, se realizează spații de lucru (camere, celule) având **volum** ce variază în timpul rotației. Creșterea volumului permite realizarea aspirației, iar micșorarea lui asigură **comprimarea** și **refularea**. La camerele de volum **constant**, **comprimarea** se produce practic **izocor** în timpul refulării (**comprimare** exterioară).

Se pot realiza astfel de spații de lucru prin următoarele sisteme:

- cu un singur motor excentric cu palete sau placă **culisantă**: **compresoare** și pompe de vid **multicelulare**, cu piston rostogolitor, cu inel de lichid etc,
- cu doi sau mai mulți rotori cu profile identice ce se rostogolesc în sens **contrar**: **suflanta** Roots etc.
- cu doi sau mai mulți rotori cu profile diferite, conjugate: **suflanta** Jaeger (cu rotor de distribuție), compresorul **Lisholm** (elicoïdal) etc.

Circulația gazului are loc într-un singur sens, ceea ce permite înlocuirea supapelor cu ferestre. Față de mașinile cu piston prezintă și avantajul eliminării forțelor de inerție, la masele cu mișcare de translație ceea ce permite turații mai ridicate cu reducerea dimensiunilor de gabarit și micșorarea fundațiilor. La mașinile **fără** atingere între rotori (cu interstiii), nu este necesară ungerea **interioară**, deci se obțin gaze curate.

Reglarea debitului: se face prin conducte și robinete de ocolire, prin strangularea aspirației sau variația turației.

Răcirea: se face cu aer în circulație forțată printre nervurile **carcasei**, sau cu apă prin **cămăși** de răcire; la raporturi de comprimare **mici** sunt nerăcite.

Acționarea: se face, de **regulă**, electric, direct prin cuplaje elastice, sau indirect prin transmisie cu curele **trapezoidale** sau cu roți dințate.

În continuare se prezintă câteva din construcțiile mai frecvent folosite, cu descrierea principiului de funcționare și menționarea principalelor mărimi **caracteristice** și utilizări.

4.3.2. Compresoare și pompe de vid multicelulare

Cea mai utilizată este construcția Wittig (fig. 4.13). În cilindrul 1 se rotește tamburul 2, prevăzut cu fante de ghidare 3 în care culisează lamelele 4, apăsate pe cilindru sub acțiunea forței centrifuge sau a unor resorturi. Lamelele se dispun radial sau înclinate în sensul de rotație (pentru micșorarea **solicitării**). Între tamburul 2 așezat excentric cu excentricitatea e și cilindrul 1 rămâne un spațiu de lucru, împărțit de lamele în tot atâtea celule de volum variabil. Aspirația și refularea se fac prin ferestre practicate în pereții cilindrului. Pentru micșorarea uzurii, forța centrifugă a lamelelor este de obicei preluată de două inele de descărcare.

Comprimarea aerului se realizează tot prin variația forțată a **volumului** ce formează spațiul de lucru datorită **pistoanelor** cu mișcare rotativă. Constructiv un astfel de **compresor** fig. 4.13 Este compus dintr-un stator 1, în care se rotește un rotor 2, montat excentric față de stator cu o excentricitate e . În rotor sunt practicate canalele 3 în care sunt montate lamelele elastice 4. Principiul de funcționare al compresorului cu lamele este următorul: datorită acționării rotorului în sensul **indicat**, forța centrifugă face ca lamelele să iasă din canalele 3 urmărind profilul statorului; când spațiul dintre **lamele** crește are loc o depresiune și aerul este aspirat prin racordul 5, iar în partea din dreapta unde **spațiul** se **micșorează** se realizează comprimarea și refularea aerului prin racordul 6. Acest tip de compresor are întotdeauna același grad de comprimare datorită construcției sale.

Raportul de comprimare interior depinde numai de dimensiunile geometrice și de poziția ferestrei de **refulare**. La unele construcții, pentru **egalarea** presiunii interioare de comprimare cu presiunea din conducta de refulare sunt prevăzute supape automate de refulare, dispuse pe cilindru înaintea ferestrei de refulare.

Se construiesc cu o treaptă sau cu două trepte de comprimare cu răcire cu aer, cu **apă**, cu ulei (la pompe de vid), sau fără răcire (la $\pi_c \leq 1,5$).

Necesită ungere abundentă.

Reglarea debitului: se face prin strangularea aspirației. Reglarea prin micșorarea turației se poate aplica numai pentru reduceri ale debitului până la 50%, deoarece forța centrifugă a lamelelor devine insuficientă.

Utilizări: comprimarea aerului sau gazelor, transporturi pneumatice, acționări pneumatice, **comresoare** frigorifice, pompe de vid.

Caracteristici: $V = 0,01 \dots 10 \text{ m}^3/\text{s}$;
 $\pi_{c_{\max}} = 4 \dots 5$ într-o treaptă și $8 \dots 15$ în două trepte, cu răcire **intermediară**; $n = 5 \dots 50 \text{ rot/s}$.

Viteza periferică a lamelelor $u_{\max} = (R + e)\omega = 2\pi(R + e)n = 8 \dots 13 \text{ m/s}$ la construcțiile fără

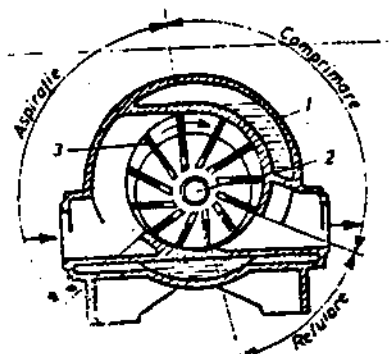


Fig. 4.13. Compresor multicelular

99% în două trepte: în **execuții** speciale $p_a = 10^{-5}$ mmHg.

Calculul debitului și puterii:

$$\dot{V} = \lambda \pi D^2 L \varepsilon \left(1 - \frac{zs}{\pi}\right) K_z n \quad [\text{m}^3/\text{s}] \quad (4.35)$$

unde $D = 2R$ este diametrul interior al cilindrilor; L - lungimea rotorului; $e = (D - d)/2$ - excentricitatea; s - grosimea lamelelor; $d = 2r$ - diametrul tamburului; z - numărul de lamele; $\varepsilon = e/R$ - excentricitatea relativă; n [rot/s] - turația; λ - coeficientul de debit; K_z - coeficientul de utilizare al dimensiunilor compresorului, funcție de z (tab. 4.3).

Tabelul 4.3 Coeficientul de utilizare al dimensiunilor compresorului A".

z	1	2	4	6	8	10	12	14	24
K_z	0.488	0.806	0.946	0.976	0.986	0.992	0.995	0.997	0.999... 1

$\lambda = 0,5 \dots 0,85$, se poate calcula cu relația:

$$\lambda = 1 - (0,062 - 0,025\dot{V})\pi_c \quad (4.36)$$

Puterea utilă se calculează cu relația:

$$P_u = \frac{n_1}{n_1 - 1} p_a \dot{V} \left[\frac{\pi_c^{1/n_1} - 1}{\pi_c^{1/n_1}} \right] \quad [\text{W}] \quad (4.37)$$

unde, pentru gaze biatomice, $n_1 = 1,5 \dots 1,6$.

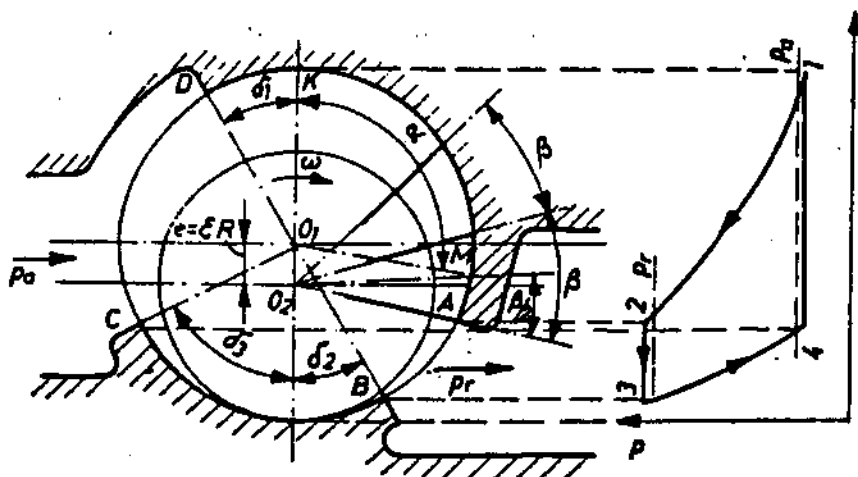


Fig. 4.14. Amplasarea ferestrelor și diagrama p, V

Puterea efectivă se calculează cu relația:

$$P_e = P_u / \eta_m \quad [\text{W}] \quad (4.38)$$

$$P_s = p_s \cdot \dot{V} \cdot \ln \pi_c / \eta_{eiz} \quad (4-39)$$

unde, $\eta_m = 0,85 \dots 0,92$, iar $\eta_{eiz} = 0,5 \dots 0,66$ (limitele superioare pentru V mare și π_c mic).

Amplasarea ferestrelor de aspirație și de refulare. Cu notațiile din figura 4.14 unghiul de compresie corespunzător raportului de presiuni π_c este dat de relația:

$$\cos \alpha = 2/\pi^{1/\eta} - 1 \quad \text{unde } \alpha = \angle KO_1M - \text{începutul ferestrei} \quad (4.40)$$

de refulare corespunde punctului A, cu $\angle MOA = \beta/2$. Punctele B, C și D sunt determinate de unghiurile $\delta_1 \cong \delta_2 \cong \beta$ și $\delta_2 = (2 \dots 2,5) \beta$ pentru $\pi_c \leq 4$ și $\delta_2 = 90^\circ$ pentru $\pi_c > 4$, unde $\beta = 360^\circ / z$.

Pentru aer și gaze cu densități apropiate, viteza de curgere prin fereastra de refulare se admite $c_r = 20 \div 40 \text{ m/s}$, iar prin cea de aspirație $10 \div 20 \text{ m/s}$.

Date constructive: $d = 0,03 \dots 0,5 \text{ m}$; $\varepsilon = 0,11 \dots 0,14$; $UD = 1,6 \dots 2,5$; înălțimea lamelelor $h = 1,9 (D - d)$; $s = 1 \dots 4 \text{ mm}$ pentru lamele din oțel și $2 - 12$ pentru lamele din mase plastice; $z = 4 \dots 32$. limita superioară pentru debite mari cu inele de descărcare; pentru debite mici și $\pi_c \leq 2,5$ $z = 4$ și chiar $z = 2$ (în cazul pompelor de vid)

Sunt compresoare care au pistoanele rotative monoaxiale, sub forma unor lamele.

4.3.3. Compresoare Roots

Sunt compresoare de aer cu pistoane rotative montate pe două axe denumite și corapresoare cu pinioane (compresoare de tip Roots). Acest tip de compresoare sunt compuse dintr-o carcasă 7 în care se găsesc două rotoare profilate 2, sub forma unor lobi. Rotoarele sunt acționate sincron de o pereche de roți dințate prin intermediul axelor 4.

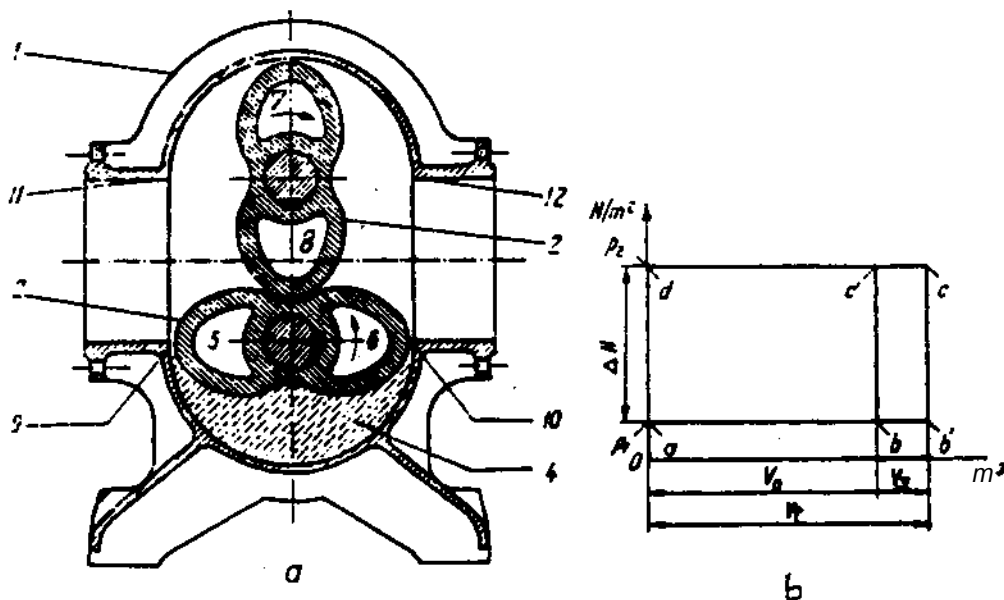


Fig. 4.15. Secțiune printr-un compresor cu lobi și diagrama teoretică

A - compresorul cu lobi; B - diagrama teoretică; 1 - carcasă; 2 - rotor profilat; 3 - axe de acționare; 4 - cantitate de aer supusă comprimării; 5, 6, 7, 8 - capetele rotoarelor; 9, 10, 11, 12 - muchiile carcasei; 13 - racord de aspirație; 14 - racord de refulare; 15 - suport compresor, p_a - presiune de aspirație; p_r - presiune de refulare; a, b - umplerea

La acest tip de **compresoare** nu se realizează de fapt o comprimare a aerului, neexistând spațiul de **compresie**, ci doar o împingere a aerului dintr-o parte în alta. Când unul dintre rotoare **efectuează** umplerea cu aer atmosferic, celălalt realizează pomparea la presiunea **finală**. În **fig. 4.15** este prezentat principiul de funcționare al acestor compresoare. Astfel în zona **hașurată 4**, de sub rotorul **inferior reprezintă** o cantitate de aer care se consideră aspirată de rotorul inferior. Pomparea aerului (refularea) începe când capul 6 trece de muchia 10 a carcasei. Refularea aerului se termină când capul 5 ajunge în dreptul muchiei 10. Un proces similar poate fi explicat și pentru rotorul superior.

Profilele rotorilor constau din arce de cerc în partea convexă și din epicloide, approximate prin arce de cerc. Necesită o precizie ridicată de execuție. Pentru mărirea uniformității refulării și pentru reducerea zgomotului, **rotorii** cu trei lobi se realizează cu **profile** răsucite de 60°.

Avantaje: construcție **simplică**, gabarit mic, întreținere ușoară.

Dezavantaje: debitare **pulsatorie**, funcționare cu **zgomot**, randament redus datorită comprimării practic **izocore**.

Utilizări: comprimarea aerului pentru spălarea sau **supraalimentarea** motoarelor; transporturi pneumatice: pompe de vid pentru depresiuni reduse (max 40 - 50% vid) etc.

Caracteristici: $K = 0,008 \dots 12$ mVs; $\pi_c = 1,05 \dots 1,2$; $n = 3 \dots 200$ rot/s; $u_2 = \pi \cdot D \cdot n = 8 \dots 40$ m/s; $c_a = C_r = 30$ m/s.

Calculul debitului și puterii:

$$\dot{V} = 2\lambda \left(\pi D^2 / 4 - A_p \right) L n = \lambda K_c \pi D^2 L n \quad [\text{mVs}] \quad (4.47)$$

unde D [m] este diametrul rotorului; A_p [m²] - aria profilului rotorului; L [m] - lungimea axială a **rotorilor**; n [rot/s] - turația; λ - coeficientul de debit; $K_c = 1 - 1,1 A_p / \pi \cdot D^3$ - coeficientul de utilizare al volumului carcasei.

$$P_{u,ad} = \dot{m} l_{m,ad} = \frac{\gamma}{\gamma - 1} p_a \dot{V} \left[\pi_c^{\frac{\gamma-1}{\gamma}} - 1 \right] \quad [\text{W}]; \quad (4.48)$$

$$P_i = P_{u,ad} / \eta_{i,ad} \cong p_a [\pi_c - 1] \dot{V} / \lambda \quad [\text{W}]; \quad (4.49)$$

$$t_c = P_i / \eta_m.$$

unde: $\eta_{i,ad} = 0,7 \dots 0,8$ pentru $\pi_c \leq 1,1$, coborând până la 0,5 pentru $\pi_c \approx 1,8$ și $\eta_m = 0,82 \dots 0,95$.

Date constructive: $D = 0,1 \dots 0,5$ m, $L/D = 0,8 \dots 1,5$; $K_c = 0,48 \dots 0,53$ pentru profile cu 3 lobi, respectiv 0,53 - 0,59 pentru cele cu doi lobi și $\lambda = 0,65 \dots 0,85$ [pentru **execuții** îngrijite cu interstiții minime de ordinul (0,001 - 0,003)a, a fiind distanța dintre axele **rotorilor**].

4.3.4. Compresoare elicoidale

Compresoarele cu șurub au pistoane rotative montate pe doua axe paralele. Sunt întâlnite și sub denumirea de compresoare cu pistoane axiale. Aceste compresoare **fig.4.16** sunt **formate** dintr-o carcasă / și două rotoare sub forma unor șuruburi care sunt rotite în sensuri contrare de două roți dințate de angrenare prin intermediul axelor 2. Rotoarele nu se **ating între ele**. Un rotor are **profilul convex** și un număr **de patru dinti**, iar celălalt rotor **4**,

Aerul pătrunde în **compresor** prin racordul 5 în spațiul de lucru 6, format din cavitatea dintelui rotorului 4, peretele carcasei / și proeminența dintelui rotorului 3. Prin rotire aerul este împins în **direcție axială producându-se** comprimarea până la capătul rotoarelor, după care se va evacua prin racordul 7.

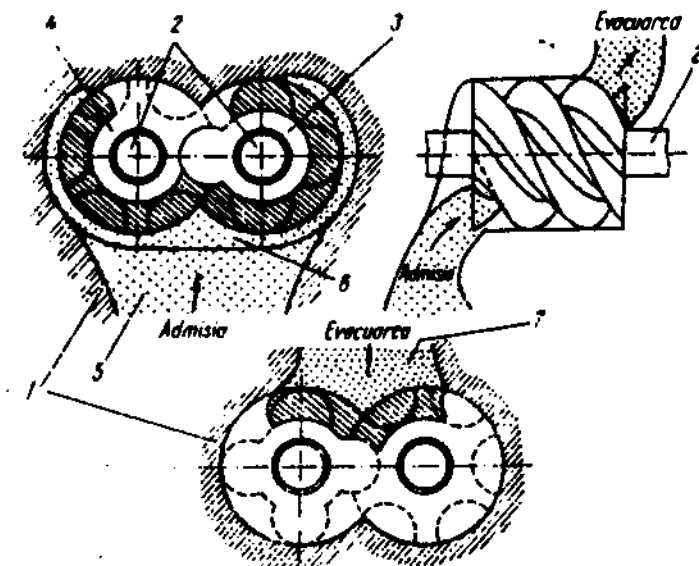


Fig. 4.16. Compresor elicoidal, principiul de funcționare.

1- carcasa compresorului; 2- axe de antrenare; 3- rotor principal cu profil convex; 4- rotor secundar cu profil concav; 5- racord de aspirație; 6- spațiu de lucru; 7- racord de evacuare.

Numărul lobilor este cuprins între 2 și 8, crescând cu raportul de comprimare, egal sau neegal la cei doi rotor. Adesea, $z_1 = 4$ și $z_2 = 6$. cei doi rotor se rotesc cu turații invers proporționale cu z , prin intermediul unui angrenaj de sincronizare.

Profilele utilizate mai frecvent sunt: cicloidal simetric, cicloidal asimetric și mai ales, circular simetric (din motive tehnologice). Aspirația și refularea se fac prin ferestrele practicate în pereții frontali sau laterali. Presiunea de comprimare interioară depinde de geometria rotorilor și amplasarea ferestrei de refulare. Funcționarea pe o rețea cu presiune diferită duce la salturi de presiune izocore, cu consum energetic suplimentar.

La raporturi mari de comprimare, carcasa este prevăzută cu cămăși se răcire cu apă, iar la unele construcții rotorii sunt încălziți în interior cu ulei. Se practică și răcirea gazului prin injectarea de ulei sau de apă în spațiul de lucru.

Avantaje: păstrează puritatea gazului (la mers uscat); siguranță mare în funcționare: dimensiuni de gabarit și mase foarte mici, comparabile cu cele ale turbocompresoarelor, având, însă, față de acestea avantajul unor caracteristici stabile (fără zonă de pompaj) față de suflantele Roots, la aceeași turație, dimensiunile sunt ceva mai mari. dar compresoarele elicoidale permit turații de 2 - 3 ori mai mari și pentru $\pi_c > 1,1 \dots 1.3$ au randamente adiabatic mai mari.

Dezavantaje: tehnologie complicată: zgomot în funcționare, care la turații înalte se atenuează prin filtre acustice și amortizoare.

Utilizări: comprimarea aerului: transporturi pneumatice; supraalimentarea motoarelor

Caracteristici: $f=0,007 \dots 12 \text{ m}^3/\text{s}$; $n = 25 \dots 250 \text{ rot/s}$ și chiar 500 rot/s la debite foarte mici: $\pi_{c_{\max}} = 4$ pentru o **treaptă**, la mers uscat și $\pi_{c_{\max}} = 8$ cu injectare de ulei. Pentru $\pi_c > 6$ se trece la două trepte: ca pompă de vid realizează vid de **90%**; $\eta_{red} = 0.5 \dots 0.82$; $u_1 = \pi \cdot d \cdot n = 75 \dots 125 \text{ m/s}$.

Calculul debitului:

$$V = \lambda L n_1 z_1 (A_1 + A_2) = \lambda L n_1 z_1 K_1 d_1^2 = \lambda n_1 z_1 K_1^f d_1^2 - d_1^3 \text{ [mVs]} \quad (4.50)$$

unde L [m] este lungimea axială a rotorului; A_1 și A_2 [m²] - ariile utile ale secțiunilor transversale ale canalelor active; z_1 - numărul de dinți ai rotorului conducător; n , [rot/s] - turația rotorului conducător; d_1 [m] - diametrul cercului primitiv al rotorului conducător; $K_1 = (A_1 + A_2)/d_1^2$ - coeficientul de utilizare raportat la același rotor, $\lambda = 0,85 \dots 0,92$ - coeficientul de debit (la $n > 250 \text{ rot/s}$ și $\pi_c < 2$, $\lambda = 1$); $z_1 = 2 \dots 6$, $z_2 = 2 \dots 8$; $L/d_1 = 1,4 \dots 3,5$; $K_1 = 0,2 \dots 0,5$, funcție de geometria profilelor și de numărul de dinți z_1 și z_2 (limita superioară pentru z_1 și z_2 mici și înălțimi relative ale dinților h_1/d_1 , respectiv h_2/d_2 mari: adesea $h_1/d_1 < 0,33$ și $h_2/d_2 = 0,02$).

Alte date constructive: unghiul de răsucire al profilelor extreme $217 - 240^\circ$; jocul dintre rotor și dintre rotor și carcasă: $j = (0,001 \dots 0,0015) d_1$ [mm].

4.3.5. Suflante cu rotor de distribuție

Pe arborele principal / (Fig. 4.17) se află la mijloc un disc cu două sau trei palete active 2, profilate pentru o angrenare cu interstiții minime cu gurile din rotorul de distribuție 3, care are rolul de separare a spațiului de refulare de cel de aspirație. Deplasarea gazului se face prin deplasarea paletelor 2 în spațiul inelar dintre tamburul interior 4 și carcasa 5. Rotorul distribuitor 5 se rotește în sens invers, fiira frecare.

Avantaje: Construcție simplă din materiale uzuale, exploatare și întreținere ușoară. **Neavând** ungere interioară, se obțin gaze curate.

Dezavantaje: ε_M mare și deci π_c realizabil mic, λ redus (0,6 - 0,7), randamente reduse datorită comprimării exterioare.

Mărimi caracteristici: $V = 0 \dots 5 \text{ mVs}$:

$\pi_c = 1 \dots 1,5$; $n = 5 \dots 80 \text{ rot/s}$.

Utilizări: Comprimarea sau transportul aerului sau gazelor neutre, **neexplosive**; transporturi pneumatice; asigurarea arderii sub presiune.

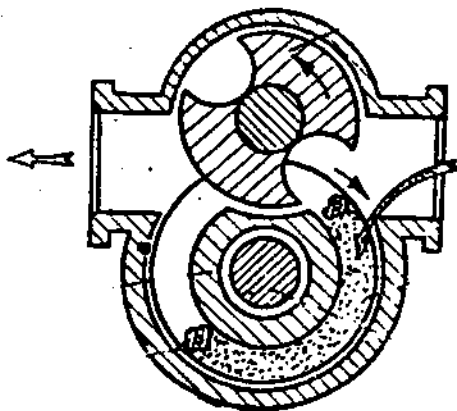


Fig. 4.17. Suflantă cu rotor de distribuție.

4.5. Ventilatoare

4.5.1 Generalități

Sistemul de ventilație poate fi tratat analog cu cel de pompare. Gradul de comprimare realizat de ventilator fiind foarte mic (sub 1,05), se utilizează modelul aerodinamic de calcul. Se consideră o comprimare **izotermică**, iar căldura evacuată se calculează prin pierderile aerodinamice (coeficienți locali și distribuți de pierdere). De regulă, se alege debitul de intrare sau cel recalculat pentru **condiții** normale. Dacă în sistemele de pompare **prezența** fazei groase reprezenta un pericol (fenomenul de cavitație), în instalațiile de ventilație deranjează prezența fazei lichide și solide. Pentru protecție, instalațiile se echipează cu filtre, cu separatoare de condens etc. în documentații tehnice mai vechi **s-a** practicat caracterizarea ventilatorului **printr-o** înălțime mm coloană de apă, ceea ce generează uneori confuzii. Astfel de date trebuie să fie interpretate prin presiunea corespunzătoare coloanei de apă. De **exemplu**, un ventilator de 720 mm H_2O înseamnă că realizează diferența de presiune **totală**:

$$\Delta p = (\gamma \cdot \Delta h)_{apa} = 9,81 \cdot 1000 \cdot 0,72 \text{ N/m}^2 = 7060 \text{ Pa} = 0,07060 \text{ bar}$$

Presiunea totală reprezintă puterea utilă realizată de ventilator raportată la debitul **volumic** (\dot{V}_a) la intrarea în ventilator (sau cel recalculat pentru condiții normale); 7060 J/m^3 .

Ea nu trebuie confundată cu diferența de presiune statică a ventilatorului, având în vedere că pe lângă aceasta conține și componenta dinamică:

$$\Delta p = p_r - p_a + \frac{\rho_r \cdot c_r^2}{2} - \frac{\rho_a \cdot c_a^2}{2} = \Delta p_{st} + \Delta p_{din} \quad (4.52)$$

Puterea ventilatorului rezultă astfel ca puterea absorbită:

$$P_{abs} = \frac{P_u}{\eta} = \frac{\Delta p \dot{V}}{\eta} \quad (4.53)$$

4.5.2 Ventilatoare centrifuge

Particularitățile de construcție ale ventilatoarelor centrifuge față de cele ale **pompelor** centrifuge derivă din densitatea mică a aerului ($\rho = 1 \div 1,36 \text{ kg/m}^3$) față de cea a apei (1000 kg/m^3). Astfel, energiile specifice **transferate** fluidului sunt mici și, în consecință, și puterile sunt mici, la fel și forțele care **acționează** asupra organelor **ventilatorului**. În criteriile de optimizare a construcțiilor, pe lângă criteriul energetic (randamente **mari**), capătă pondere consumul material. Astfel, se admit viteze mai mari ale fluidului decât la pompe ($10 - 15 \text{ m/s}$) și se acceptă frecvent simplificări constructive care încalcă criteriile de optim aerodinamic. Numai la ventilatoare speciale (ventilatoare de fum mari) se utilizează piese **turnate**. În scopul reducerii diametrului rotorului se utilizează, uneori, unghiuri de construcție la ieșire ale **paletajului** mari ($\beta_2 > 90^\circ$). Tot în scopul reducerii **gabaritului**, se **construiește** ventilatorul cu trecere dublă. Se aplică mai rar **etajarea** rotoarelor. Astfel, **ventilatoarele** centrifuge pot fi grupate în felul **următor**:

- ventilatoare normale ($\beta_2 < 90^\circ$), **radiale** și **radial-axiale**;
- ventilatoare în tambur ($\beta_2 > 90^\circ$) **radiale**;

Figura (4.19) prezintă schițe caracteristice pentru construcție, iar tabelul 4.4 date privind **performanțele**. Motorul de acționare poate fi cuplat direct cu ventilatorul, dar se utilizează și transmisia cu curele **trapezoidale** care are multe avantaje.

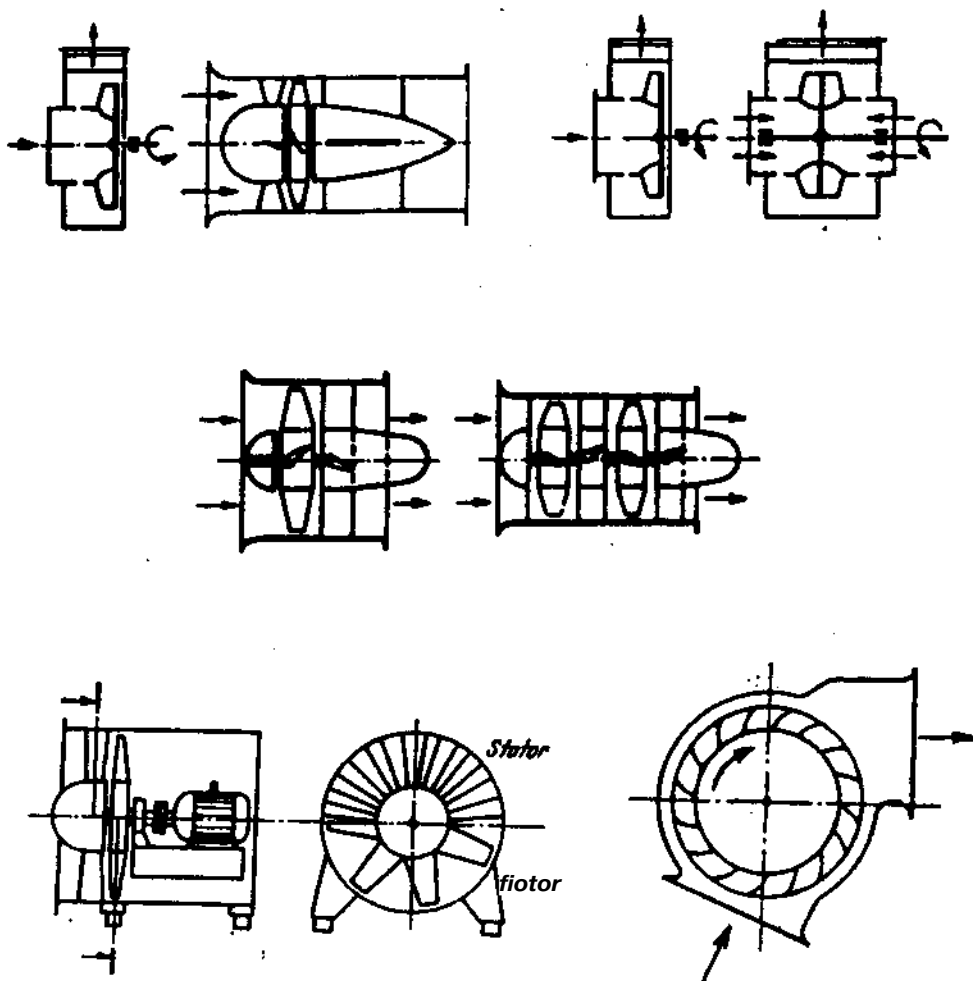


Fig. 4.19. Schițe ale unor ventilatoare.

Tabelul 4.4 Caracteristici ale ventilatoarelor centrifuge

$K = \omega \sqrt[0.75]{\frac{\Delta p}{P}}$		0.25	0.5	1	2
$\psi = \frac{\Delta p}{\rho u_2^2 / 2}$	Ventilatoare normale	1,6	1,4	1	0,6
	Ventilatoare tambur	-	-	2,3	1,9

η	Ventilatoare mari, îngrijit construite	0,55	0,70	0,85	0,90
	Ventilatoare mici, îngrijit construite	0,50	0,60	0,68	0,70
	Ventilatoare cu simplificări în construcție	0,45	0,50	0,56	0,53

4.5.3 Ventilatoare axiale

Construcția lor este înrudită cu cea a pompelor axiale. Utilizează rețele rare de profile aerodinamice. Ca și la ventilatoarele centrifuge, se admit viteze axiale de 10 - 15 m/s și se apelează frecvent la simplificări constructive. Astfel, în locul paletelor profilate realizate prin turnare, se folosesc plăci curbate realizate din tablă laminată. Ventilatoarele axiale se

construiesc la numere caracteristice $\left[K = \omega \sqrt{l^3} \left(\frac{\Delta p}{\rho} \right)^{-0.75} \right]$ de 2,5 - 6, realizând coeficienți de

presiune $\left(\psi = \Delta p / \rho \frac{u^2}{2} \right)$ de 0,6 - 0,3 și randamente de 0,9 - 0,8 la ventilatoarele mari

îngrijit executate și de 0,6 - 0,5 la ventilatoarele mici cu simplificări de construcție. Motorul de acționare se cuplează, de regulă, direct cu ventilatorul, dar poate fi folosită și transmisia cu curele. La ventilatoarele mari se interpune un reductor cu roți dințate.

4.5.4 Încercarea ventilatoarelor

Încercările energetice urmăresc determinarea curbelor $\Delta p = f(\dot{V}, \omega)$ și $P_{abs} = f(\dot{V}, \omega)$, rezultând și randamentul $\eta = f(\dot{V}, \omega)$. Uneori, se afișează ca informație suplimentară și curba $\Delta p_{st} = f(\dot{V}, \omega)$. Punctul de lucru al sistemului se realizează la intersecția curbelor de presiune totală a ventilatorului și a rețelei de conducte.

Necesitatea reducerii poluării sonore cere studierea ventilatoarelor și a instalațiilor ca surse sonore: ce putere sonoră se emite, cu ce frecvențe în ce direcție. Rezultă, astfel, măsurile tehnice de atenuare prin construcția ventilatorului, respectiv prin izolații fonice adecuate. Puterea sonoră emisă de ventilator se corelează strâns cu disipațiile aerodinamice. Deci, un ventilator corect construit din punct de vedere aerodinamic este mai silențios decât cel cu simplificări de construcție. Vitezele mici ale aerului și turațiile scăzute favorizează silențiozitatea. Pentru a evita rezonanțele, ventilatorul se izolează fonic atât față de fundație, cât și față de conductele atașate.

Puterile sonore, ca și în alte domenii, se exprimă în scări logaritmice și prin raportare la nivelul de referință convenit (de regulă: puterea de referință $P_0 = 10^{-12}$ W; intensitatea de referință: $I_0 = 10^{-12}$ W/m²; presiunea sonoră de referință: $p_0 = 2 \cdot 10^{-5}$ N/m²), rezultând nivele de zgomot în "decibeli":

$$n_p = 10 \lg \frac{P}{P_0}; \quad (4.54)$$

$$n_I = 10 \lg \frac{I}{I_0} : \quad (4.55)$$

$$n_p = 20 \lg \frac{p}{p_0} : \quad (4.56)$$

Deci, un nivel de intensitate de 60 **decibeli**, de exemplu, reprezintă 10^{-6} W/m^2 , respectiv un nivel de presiune sonoră de 60 decibeli $2 \cdot 10^{-2} \text{ Pa}$, Ventilatorul ca sursă de zgomot se caracterizează printr-un nivel de putere și prin spectrul zgomotului. El depinde de vibrațiile unor organe componente, excitate de forțe variabile în timp, date de alte organe sau de fluidul vehiculat, respective de oscilațiile de presiuni de fluid (mase neechilibrate, **rulmenți**, cuplaje, atingeri între piesele în rotație și cele fixe, **neuniformitatea** curgerii în rotor, interacțiuni între **paletaj** și alte organe, vârtejurile din dăre, turbulența curentului etc.).

Puterea sonoră totală emisă de ventilator (P_e) depinde de puterea disipată (P_d):

$$P_e = k_p P_d ; k_p \approx 10^{-5} . \quad (4.57)$$

Cu cât randamentul este mai mare ($P_p = P_{abs}(1 - \eta)$) și cu cât k_p este mai mic, ventilatorul este mai silențios. Puterea sonoră emisă depinde de viteza periferică a rotorului:

$$P_e = k u_2^m . \quad (4.58)$$

Exponentul depinde de **mecanismul** generării zgomotului (lagăr: $m = 2.3$; dăre: $m = 5,5$ 6; turbulență: $m = 5$). Figura 4.20 arată nivelurile de putere sonoră în funcție de viteza periferică și un spectru la o viteză constantă.

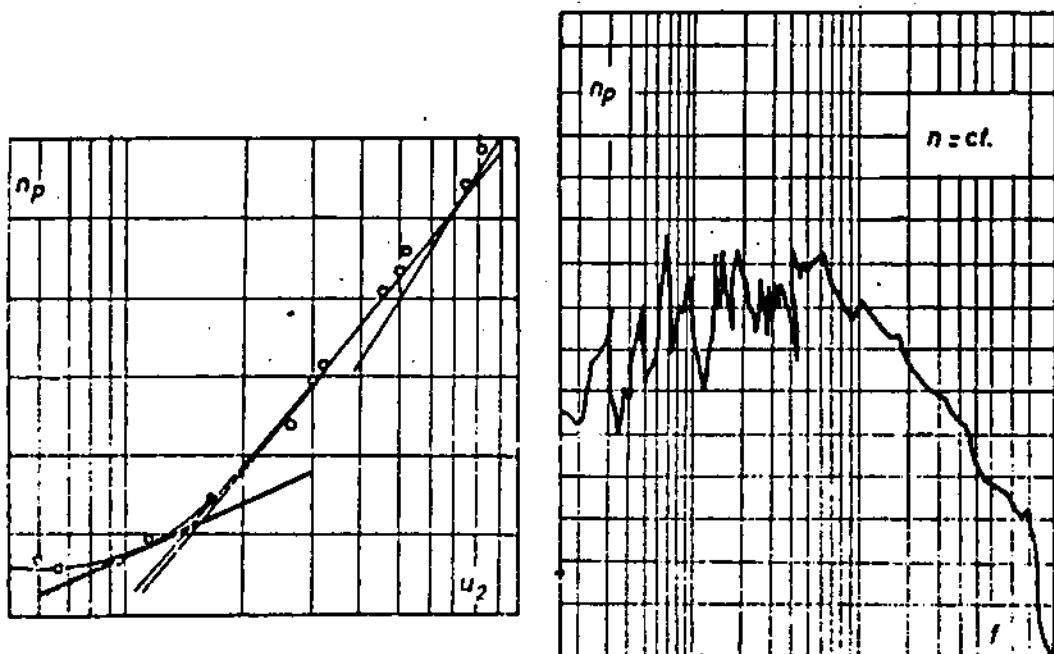


Fig. 4.20. Nivele de zgomot în funcție de:
a) viteza periferică ; b) spectru la viteză constantă

4.6. Analiza defecțiunilor compresoarelor, constatate în diagrama indicată

O diagramă reală a **funcționării** unui compresor într-o singură treaptă de funcționare se poate obține cu **ajutorul** unui aparat indicator de luat diagrame: aparatul indicator va avea **montajul** cerut de **parametrii** de funcționare ai compresoarelor. După alegerea corectă a pistonajului, a resortului și a riglei de măsurare, aparatul poate fi montat pe compresor.

O diagramă **reală**, ridicată corect, arată că în figura 4.21, în care sunt prezentate toate **fazele** ce au loc în procesul de lucru ai **compresorului**: *a-b* faza de compresie; *b-c* refularea; *c-d* destinderea; *d-a* aspirația. Defecțiunile observate pe diagrama ridicată cu ajutorul indicatorului pot fi defecțiuni datorate procesului de lucru din compresor sau defecțiuni datorate aparatului indicator. În **cele** ce urmează vor fi analizate doar defecțiunile datorate procesului de lucru.

Pentru interpretarea diagramelor prezentate, diagramele cu defecțiuni au fost trasate cu linii **continue**, iar diagramele indicate normale au fost trasate cu linii întrerupte. În figura 4.22. este reprezentată o diagramă indicată cu spațiul mort mărit. Datorită acestui volum mărit aerul comprimat se destinde în acest spațiu, iar aspirația începe mai târziu ducând la reducerea debitului.

Când supapa de refulare se **blochează**, diagrama ridicată arată ca în figura 4.23. Punctul *b* care indică sfârșitul compresiei se situează deasupra începutului refulării normale, rezultând o presiune mai mare la începutul refulării. Cursa de aspirație este mai redusă din cauza pătrunderii aerului comprimat din conducta de refulare în cilindru ceea ce duce la mărirea lucrului mecanic consumat și reducerea debitului de aer comprimat. Dacă supapa de aspirație se **blochează**, diagrama indicată arată ca în figura 4.24 în acest caz atât supapa de aspirație cât și cea de refulare se deschid cu întârziere fapt care face ca la începutul cursei de **comprimare** o parte din aerul aspirat să fie evacuat din cilindru înapoi în conducta de aspirație (deoarece supapa de aspirație este încă **deschisă**, punctul *a* se deplasează în punctul *b*), iar depresiunea la începutul aspirației se mărește: în consecință debitul de aer comprimat se reduce, iar temperatura aerului se **mărește**. În figura 4.25 este prezentată o diagramă indicată a unui compresor la care supapa de refulare este neetanșă. Aerul comprimat care se **găsește** în conducta de refulare pătrunde în cilindru, ceea ce are ca efect mărirea suprafeței **diagramei** prin curbarea liniei de comprimare în sus și reducerea cantității de aer aspirat.

În cazul **când** în coloana de aspirație a **compresorului** apare o anumită **rezistență**, diagrama arată ca în fig.4.26. Cauzele apariției acestei rezistențe pot fi: deschidere incompletă a supapei de aspirație; murdărirea filtrelor **înfundarea** răcitoarelor intermediare sau **înfundarea** parțială a conductelor de apă. În acest caz diagrama indică o depresiune mai mare.

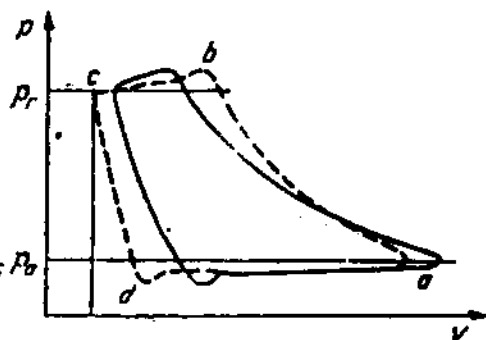
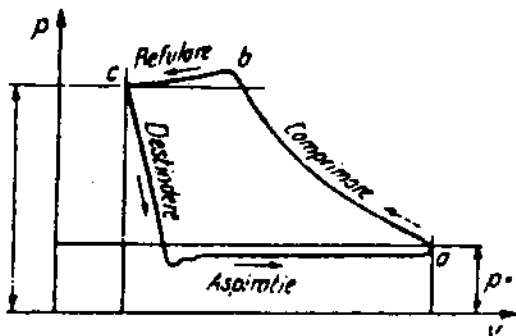


Fig. 4.21. Diagrama indicată normală a unui compresor

Fig. 4.22. Diagrama indicată a unui

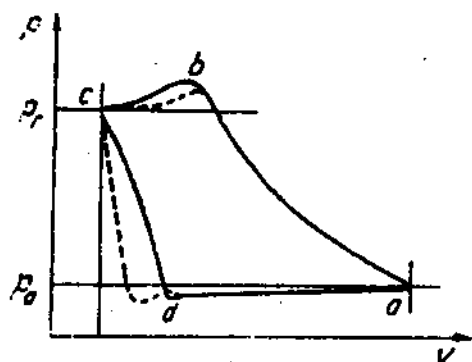


Fig. 4.23. Diagrama indicată a unui compresor la care supapa de refulare se blochează

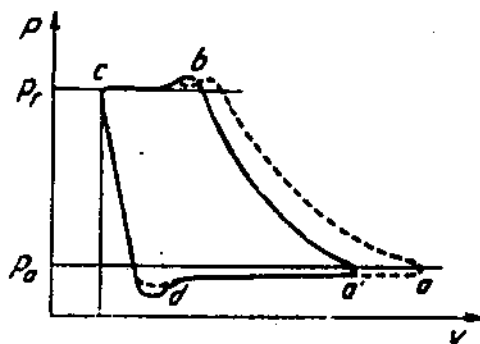


Fig. 4.24. Diagrama indicată a unui compresor la care supapa de aspirație se blochează

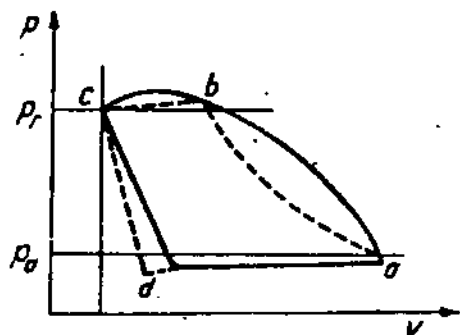


Fig. 4.25. Diagrama indicată a unui compresor cu supapa de refulare neetanșă

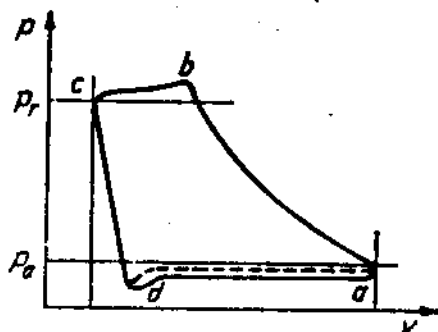


Fig. 4.26. Diagrama indicată a unui compresor cu rezistență prea mare la aspirație

Dacă rezistența apare pe coloana de refulare diagrama indicată arată ca în figura 4.27 unde apare mărită porțiunea de refulare. Cauzele apariției acestei rezistențe pot fi: deschiderea incompletă a supapei de refulare sau înfundarea răcitoarelor intermediare. În figura 4.28 este prezentată o diagramă indicată în cazul când resortul supapei de refulare este prea rigid, necesitând o forță prea mare pentru deschiderea supapelor.

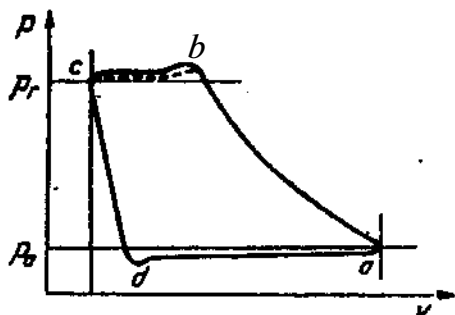


Fig. 4.27. Diagrama indicată a unui compresor cu rezistență prea mare la refulare

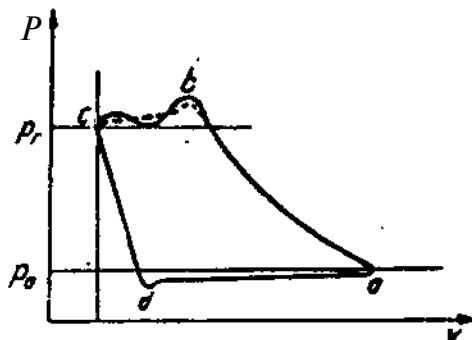


Fig. 4.23. Diagrama indicată unui compresor care necesită o forță prea mare la

În **diagramă**, valoarea presiunii de refulare crește peste valoarea normală. O diagramă aparte este redată în figura 4.29 în care atât arcurile supapelor de aspirație și de refulare nu sunt corespunzătoare sau sunt prea moi. În acest caz curbele de aspirație și de refulare prezintă forme **ondulatorii** care reprezintă variații de presiune **însoțite** de vibrații ale organului de etanșare. Specific acestor defecțiuni este faptul că **suprafața** diagramei este mărită rezultând un consum sporit de lucru mecanic.

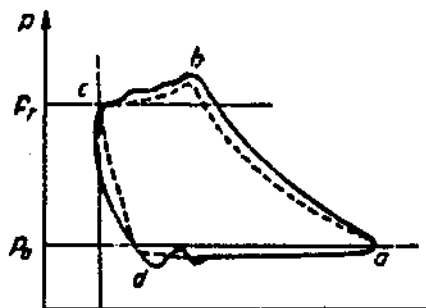


Fig. 4.29. Diagrama indicată a unui compresor cu arcurile supapelor alesi **necorespunzător**.

Bibliografie

[1] J. B. Popa, C. Vintilă

Termotehnică și mașini termice
Editura Didactică și Pedagogică,
 București, 1977

[2] J. B. Popa, I. Carabogdan

Manualul inginerului termotehnician, vol. II
 Editura Tehnică, București, 1986

[3] D. Ionescu, I. C. Ioniță, ș.a.

Mecanica fluidelor și mașini hidraulice
 Editura Didactică și Pedagogică
 București, 1980

[4] Gh. Uzunov, J. Dragomir

Îndrumătorul ofițerului de navă
 Editura Tehnică, București, 1983

5

INSTALAȚIA DE AER COMPRIMAT

5.1. Introducere

Întreținerea judicioasă a instalațiilor și elementelor pneumatice se referă nu numai la reparațiile necesare ale acestora, ci în primul **rând** la **menținerea** în stare de funcționare în vederea evitării pe cât posibil a cazurilor de avarie și a ridicării duratei de viață a fiecărui aparat în parte, în condițiile **de** lucru impuse.

O întreținere sistematică duce la economisiri de costuri care ar putea apărea în **cazul** pierderilor de aer, reparațiilor sau a timpilor de întrerupere a funcționării.

5.2. Instalația de producere a aerului comprimat

Instalația de aer comprimat permite alimentarea cu aer comprimat a **următoarelor** compartimente:

- compartimentul mașini;
- atelierul mecanic;
- atelierul electric;
- **chesoane** de apă de **mare**;
- filtre de - apă de mare;
- combustibil;
- ulei;
- separatoare;
- tefon.

Instalația de aer **comprimat** este astfel organizată încât fiecare din **compresoarele** principale poate încărca oricare din buteliile principale.

Buteliile principale sunt montate cu o **încălinare** de 3°.

Purjarea buteliilor se face prin partea inferioară prin ambele **extremități**, manual sau automat.

Butelia pentru lansarea motoarelor **auxiliare** poate fi umplută de la oricare din buteliile principale, de către oricare compresor principal sau de la compresorul de avarie.

Buteliile sunt prevăzute cu **manometre montate** la locuri vizibile.

Întrucât compresoarele pot fi de principii constructive diferite, pentru întreținerea acestora se vor respecta instrucțiunile de exploatare date de către furnizor.

Personalul de cart (CM) - personalul de exploatare **are** în grijă efectuarea în mod regulat a operațiilor de verificare, curățire și, după **caz**, revizie sau schimbare a **filtrelor** de **aspirație**, a instalației de ungere și a instalației de răcire.

Durata ciclului de curățire a filtrului de aspirație este în funcție de gradul de puritate al mediului înconjurător.

Schimbarea uleiului la **compresoare** se va face după numărul de ore de funcționare indicat de firmă.

Compresoarele de aer navale sunt prevăzute cu protecții pe instalația de ungere și pe instalația de răcire.

5.3. Rețeaua de conducte

O **problemă** foarte importantă referitoare la rețeaua de conducte de aer **comprimat**, presupunând că acestea au fost montate corect, o constituie **etanșietatea**.

Observație: Conform prevederilor RNR conductele de aer comprimat lansare MP trebuie să aibă o mică pantă (înclinare) către butelii și nu spre valvulă principală de lansare.

Pentru aceasta se va efectua un control general al **etanșietății**.

Purjarea buteliilor de aer și a conductelor trebuie să se facă periodic (la intervale regulate).

Tabelul 5.1 Cantitatea admisibilă de vapori de apă din aerul saturat în funcție de temperatura aerului.

Temperatura °C	-10	0	5	10	15	20	30	50	70	90
Vapori de apă [g / Nm ³]	2,1	4,9	7	9,5	13	17	30	83	198	424

Tabelul 5.2 Pierderile de aer comprimat datorate neetanșietăților, în funcție de dimensiunile acestora, la o presiune de lucru de ≈ 6 [bar].

Diametrul porțiunii neetanșe		Suprafața porțiunii neetanșe	Debitul de aer pierdut prin neetanșare	Energia necesară consumată pentru comprimare (completare)	
Mărime naturală	mm	[mm ²]	[Nm ³ /h]	Kwh	CPh
•	1	0,78	2,4	0,2	0,27
•	3	7,00	36,0	2,0	2,7
•	5	19,60	97,8	8,0	10,9

5.4. Măsurile generale pentru întreținerea instalațiilor pneumatice

5.4.1. Operații de întreținere zilnice:

- Se golește condensul adunat în filtre;
- Se controlează nivelul uleiului;
- Se efectuează operațiile speciale de întreținere a instalațiilor sau a diferitelor aparate.

5.4.2. Operații de întreținere săptămânale:

- Se verifică **etanșietatea** tubulaturilor,
- Se verifică **manometrele**;
- Se verifică **funcționarea** corectă a **ungătoarelor** de ulei;
- Se efectuează operațiile speciale de **întreținere** a instalațiilor sau a diferitelor aparate.

5.4.3. Operații de întreținere lunare:

- Se **cercetează** toate **racordurile**, îmbinările și dacă pe traseul conductor există pierderi de aer cauzate de **neetanșietăți**;
- Se cercetează dacă există pierderi de aer datorate **neetanșietăților** la ventile înainte de pornirea instalației;
- Se curăță **filtrele**, se spală cartușele filtrante;
- Se efectuează operațiile speciale de întreținere a instalațiilor sau a diferitelor aparate.

5.4.4. Operații de întreținere bianuale:

- Se verifică uzura diferitelor dispozitive și dacă este cazul se fac înlocuiri;
- Se verifică funcționarea mecanică a aparatelor și dispozitivelor;
- Se **efectuează** operațiile de întreținere speciale a instalației sau a diferitelor aparate.

Întreținerea instalației **pneumatice**, alături de instalațiile **electrice**, **hidraulice** și **mecanice** se încadrează în planul general de întreținere a navei.

Disponând de personal de întreținere **calificat**, se reduc costurile cu reparațiile și timpii morți de oprire.

5.5. Dimensionarea conductelor

Diametrul interior al acestora **rezultă** din relația:

$$d = \sqrt{\frac{4 \dot{V}}{\pi w}} \cdot 10^3 \quad [\text{mm}] \quad (5.1)$$

unde: $\frac{\dot{V} \left[\frac{\text{m}^3}{\text{s}} \right]}{\left[\frac{\text{m}^3}{\text{s}} \right]}$ - debitul volumic maxim ce alimentează hidromotorul prin conducta

respectivă;

$w \left[\frac{\text{m}}{\text{s}} \right]$ - viteza admisă a fluidului

Pierderile de presiune care au loc de-a lungul elementelor de legătură - canale în aparate, elemente de racordare, conducte și tuburi - pot fi calculate cu ajutorul formulei:

$$\Delta p_{st} = \frac{\rho}{2} \left(\frac{\dot{V}}{A} \right)^2 \left[\sum \xi + \sum \lambda \frac{l}{d} \right] \quad \left[\frac{\text{N}}{\text{m}^2} \right] \quad (5.2)$$

unde: $\rho \left[\frac{\text{kg}}{\text{m}^3} \right]$ - densitatea;

$\dot{V} \left[\frac{\text{m}^3}{\text{s}} \right]$ - debitul volumic;

$A \left[\text{m}^2 \right]$ - secțiunea oferită pentru curgere;

ξ - coeficient de rezistență locală;

λ - coeficient de rezistență liniară;

$l \left[\text{m} \right]$ - lungimea conductei de aer.

$d \left[\text{m} \right]$ - diametrul interior al conductei canalului.

Pentru determinarea mai rapidă a dimensiunilor conductelor și a pierderilor de presiune se pot folosi **nomograme**.

Viteze recomandate în conductele de aer

Conducte pentru compresoare

- la aspirație

$$w = 16 \div 20 \text{ m/s}$$

- la refulare

$$w = 25 \div 30 \text{ m/s}$$

Conducte pentru ventilatoare

- presiune joasă

$$w_{asp} = 10 \div 12 \text{ m/s}$$

$$w_{ref} = 12 \div 16 \text{ m/s}$$

- presiune medie

$$w_{asp} = 12 \div 16 \text{ m/s}$$

$$w_{ref} = 15 \div 20 \text{ m/s}$$

- presiune mare

$$w_{asp} = 12 \div 15 \text{ m/s}$$

$$w_{ref} = 20 \div 30 \text{ m/s}$$

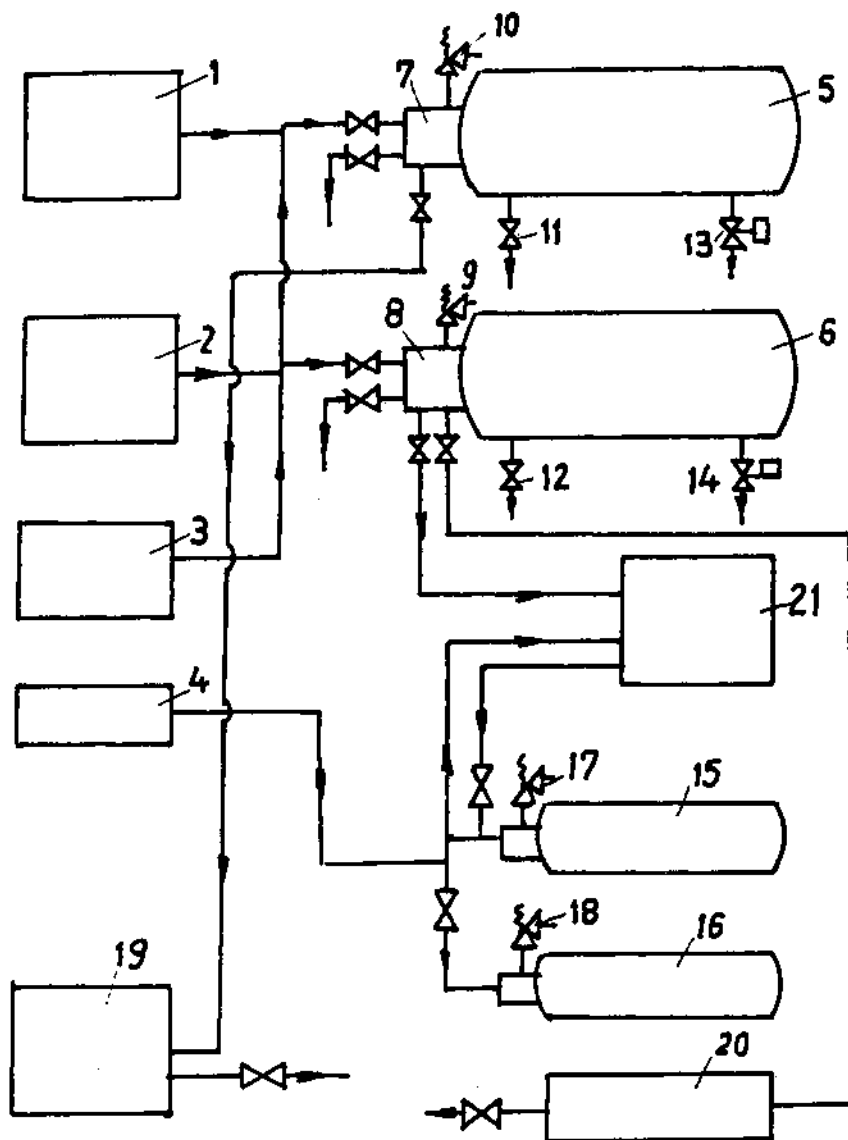


Fig. 5.1. Instalația de aer comprimat

1,2 — compresoare principale; 3- compresor auxiliar; 4- compresor de avarie;
 5,6- butelii de aer lansare motor principal; 7,8- capete de alimentare; 9,10- su-
 pape de siguranță; 11, 12- robineti de purjare cu acționare directă; 13,14- robineti
 de purjare automată; 15,16- butelii de aer lansare motoare auxiliare; 17,18- su-
 pape de siguranță; 19- utilizări gospodărești; 20- stație de aer instrumental.

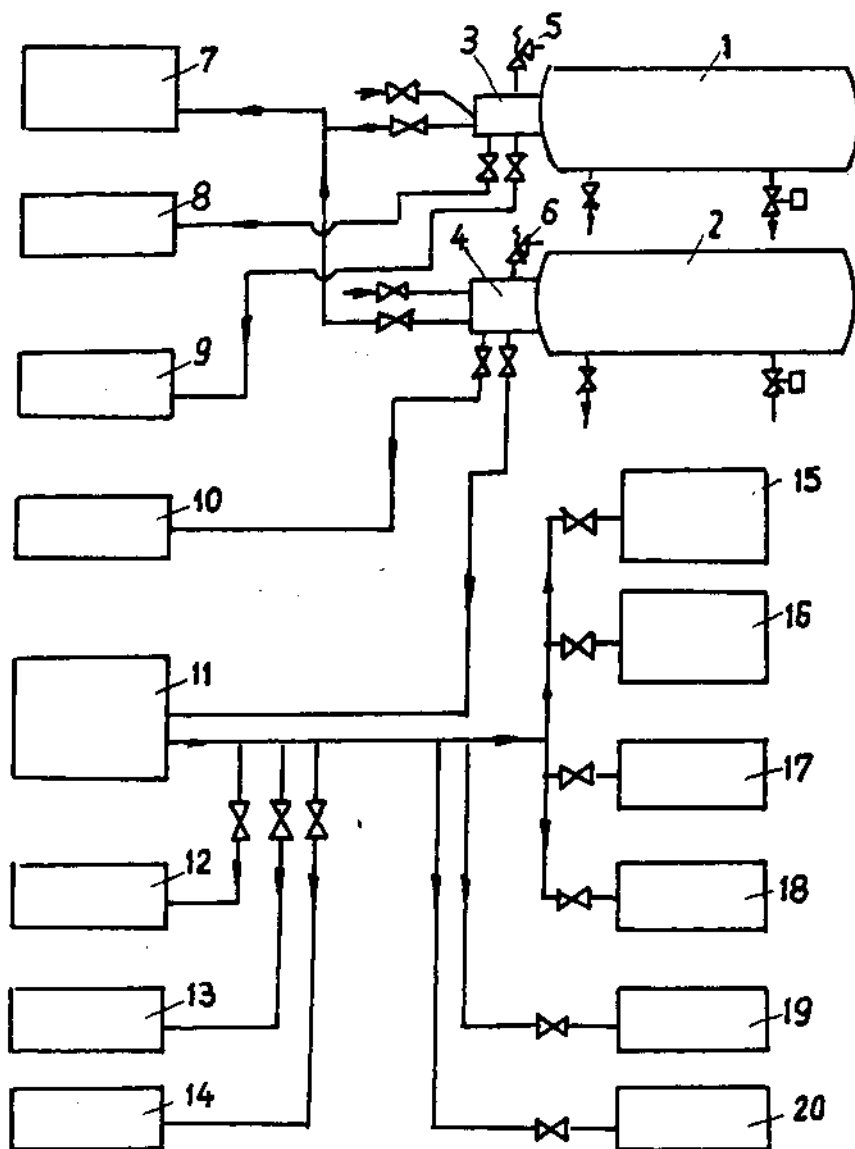


Fig. 5.2. Utilizarea aerului comprimat

7.2- butelii de aer lansare motor principal; 3,4- capete de butelii; 5,6- supape de siguranță; 7- aer lansare motor principal; 8- aer lansare motoare auxiliare; 9- stație de aer instrumental; 10- butelii tifon; 11- utilizări gospodărești; 12- suflare valvule de bordaj; 13- atelier mecanic; 14- acționări pneumatice; 15- filtru automat de cor. bui al motor principal; 16- filtru automat de ulei motor principal; 17- filtru automat de comb. ulei motoare auxiliare; 18- filtru automat de ulei motoare auxiliare; 19- vinci scară pilot; 20- vinci scară de bord.

5.6. Prepararea aerului instrumental

Agregatul pentru prepararea aerului instrumental este compus din două elemente filtrante:

- filtru treapta I pentru vapori, picături de ulei și impurități mecanice mari și mijlocii;
- filtru treapta II **pentu** impurități fine și foarte fine (grad de mărime $5 \mu\text{m}$).
- două corpuri pentru uscarea aerului care asigură la ieșire temperatura punctului de rouă de 35°C .

Aerul provenit de la buteliile de aer comprimat intră în filtru treapta I, în ordine prin masa de cărbune activ granulat unde este purificat de vapori și picături de ulei pe care le conține și apoi trece printr-un set de site în care se rețin **impuritățile** mecanice mari și mijlocii. Apoi aerul trece printr-un filtru de carton unde are loc purificarea aerului de particule mecanice fine. Aerul este trecut cu ajutorul unui distribuitor printr-un cilindru uscător I. Aici aerul străbate un strat de silicagel super, substanță puternic **higroscopică**.

Aerul purificat de vapori de aer în uscător, trece prin filtru treapta II care are un element filtrant de pânză fitru deasă ce reține particule mecanice foarte fine ce depășesc gradul de mărime de $5 \mu\text{m}$. în timpul funcționării **uscătorului I** (maxim de 4 ore), **uscătorul II** se află în perioada de regenerare a silicagelului. Regenerarea constă în ridicarea temperaturii de $130 \div 140^\circ \text{C}$ în interiorul uscătorului cu ajutorul rezistențelor electrice cu funcționare programată și a unui curent de aer în sens invers pentru eliminarea vaporilor de apă **formați**.

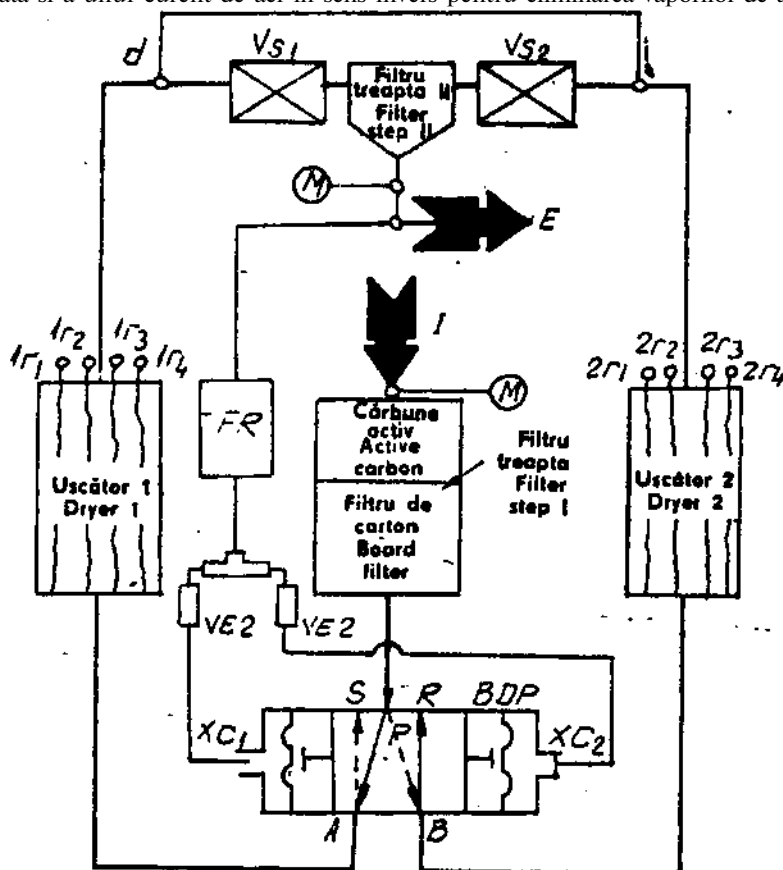


Fig.5.3. Stație de aer instrumental

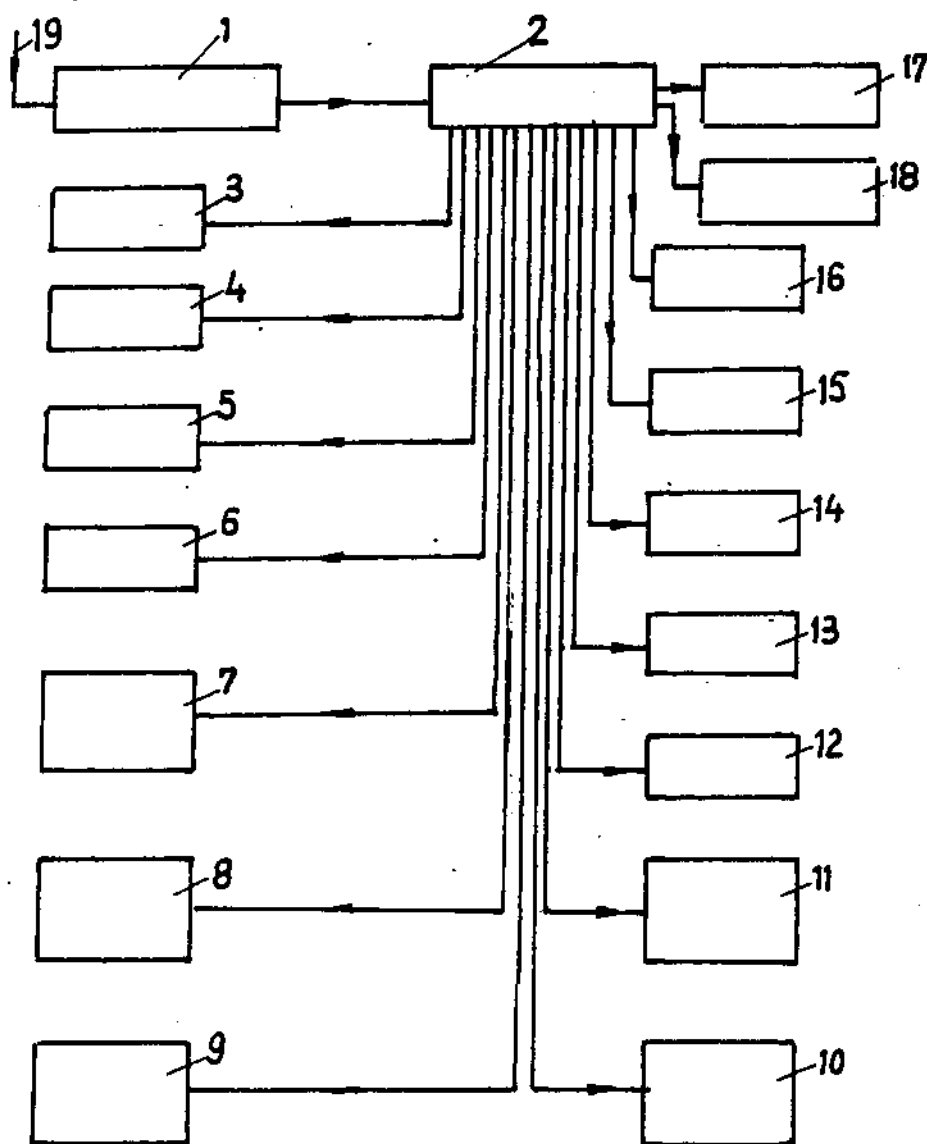


Fig. 5.4. Distribuția și utilizarea aerului instrumental

1-stație de aer instrumental; 2- distribuitor de aer instrumental; 3- VTR ulei DG1; 4- VTR ulei DG2; 5- VTR ulei DG3; 6- viscozimeu MP; 7- VTR apă cilindri MP; 8- VTR apă pistoane MP; 9- VTR ulei MP; 10, 11- VTR apă de mare; 12- VTR apă DG3; 13- VTR apă DG2; 14- VTR apă DG1; 15- caldarină recuperatoare; 16- separator de santină; 17- telecomandă MP; 18- generator auxiliar de gaz inert

Bibliografie

- [1]. B. Popa, C. Vintilă **Termotehnică** și mașini termice
Editura Didactică și **Pedagogică**,
București 1977
- [2]. B. Popa, I. Carabogdan Manualul inginerului **termotehnician**, vol. II
Editura **Tehnică**, București 1986
- [3]. D. Ionescu, I.C. Ioniță, ș.a. Mecanica fluidelor și **mașini** hidraulice
Editura Didactică și **Pedagogică**,
București 1980
- *** Agregat de preparat aer instrumental **SAI 03**
- *** Documentația instalației de aer comprimat
Bulk Carrier 65.000 tdw.

INSTALAȚII FRIGORIFICE

6.1. Introducere

Dezvoltarea rapidă a tehnicii frigului pe plan mondial și utilizarea pe scară largă a instalațiilor frigorifice se reflectă în preocupările susținute de folosire a acestei tehnici în **importante** domenii:

- construcția de mașini pentru obținerea oxigenului și gazelor inerte necesare proceselor tehnologice de prelucrare a metalelor la temperaturi joase etc;
- industria chimică pentru separarea amestecurilor de **gaze**, separarea **soluțiilor** complexe, păstrarea lichidelor **cu temperaturi joase de vaporizare** etc;
- industria farmaceutică pentru prelucrarea unor medicamente;
- industria minieră și de construcții pentru congelarea solurilor și consolidarea minelor;
- medicină pentru răcirea locală în scop de anestezie în intervențiile chirurgicale (**criochirurgie**) precum și pentru păstrarea unor organe de transplant;
- industria transporturilor feroviare, rutiere, fluviale și maritime pentru transportul produselor alimentare (cărni, peștelui, fructelor), a gazelor lichefiate etc;
- aviație și cosmonautică pentru **oxigenul** necesar oamenilor, pentru condiționarea aerului, pentru răcirea aparaturii electronice, asigurarea **carburantului** (hidrogen lichid) și **comburantului** (oxigen lichid);
- cercetare **științifică** pentru studierea influenței **temperaturii** joase asupra proprietăților fizice ale diferitelor substanțe.

Funcții de domeniul de utilizare a tehnicii frigului pot fi utilizate instalații frigorifice după cum urmează:

- instalații de comprimare care **utilizează** proprietățile **elastice** ale gazelor și vaporilor: La cele cu gaze starea de agregare a agentului nu se modifică în timp ce la cele cu vapori este necesară condensarea vaporilor comprimați și vaporizarea agentului destins;
- instalațiile cu sorbție al căror principiu de lucru este axat pe realizarea succesivă a reacțiilor **termochimice** de sorbție a agentului de lucru de către **sorbant** după care urmează desorbția **agentului** din **sorbant**: Instalațiile cu sorbție se clasifică în instalații cu absorbție și **adsorbție**. În cele cu absorbție procesul de sorbție are loc în masa absorbantului la frontiera care separă faza lichidă și de vapori, iar la instalațiile cu **adsorbție** procesul de sorbție **are** loc la suprafața **adsorbantului**, care se află, de **regulă**, în stare solidă;
- instalații cu jet care utilizează energia cinetică a unui jet de vapori sau gaz:

- instalații termoelectrice care au la bază efectul Peltier: permit obținerea frigului prin **utilizarea** directă a energiei electrice. La trecerea curentului electric **printr-un** ansamblu format din două materiale diferite se constată apariția unei diferențe de temperatură la cele două lipituri ale sistemului;
- instalații magnetice care permit **obținerea** efectului frigorific pe seama **magnetizării** adiabate axată pe proprietatea corpurilor **poromagnetice** de a-și mări temperatura la **magnetizare** și de a o reduce la **demagnetizare**.

În domeniul transporturilor navale se folosesc, până în momentul de **față**, instalații cu **comprimare mecanică** de vapori care s-au impus pentru următoarele avantaje:

- domeniul de temperaturi $[+2 + +10]^{\circ}\text{C}$ pentru fructe, legume, băuturi etc:
 $[-30 + -10]^{\circ}\text{C}$ pentru came, pește etc;
- gabarit minim pentru puterea frigorifică necesară;
- răcirea condensatorului cu apă;
- reglarea ușoară a temperaturii camerelor frigorifice, a presiunii de condensare etc.

În aceste instalații frigorifice agenții de lucru evoluează în domeniul vaporilor umezi ceea ce permite realizarea unor procese **izotermice** prin **vaporizare** la preluarea căldurii către mediul **ambiant**. În acest mod devine posibilă reducerea pierderilor datorită **ireversibilității transferului de căldură**, între agent și cele două surse de **căldură**, prin **menținerea diferențelor** de temperatură în limite acceptabile.

La aceasta se adaugă și faptul **că**, la schimbarea stării de agregare prin vaporizare și **condensare**, coeficienții de transfer de căldură au valori importante astfel că schimbătoarele de căldură pot fi dimensionate în **condiții** economice.

Instalațiile frigorifice cu comprimare mecanică de vapori **funcționează** pe baza **ciclului** de referință **Carnot** inversat. Ridicarea **potențialului** căldurii de la temperatura T_c a camerei frigorifice la temperatura T_a a mediului ambiant nu poate **avea loc** conform principiului al doilea al termodinamicii în mod **natural**, de la sine, ci numai cu consum de energie din exterior. Antrenarea **compresoarelor** frigorifice se face cu motoare termice sau cu motoare electrice. La instalațiile navale acționarea compresoarelor se face cu motoare electrice.

Ciclul Carnot inversat, ciclul de referință pentru **instalațiile** frigorifice cu vapori, în accepțiune clasică, este reversibil **atât** pe **plan** intern cât și extern. Aceasta **înseamnă** că procesele de comprimare și destindere sunt **izentropice**, iar schimburile de căldură cu sursele de căldură au loc la diferențe infinit mici ΔT de temperatură.

În cazul funcționării instalațiilor **frigorifice**, între sursele de căldură și agentul frigorific, se stabilesc diferențe finite de temperatură care se intercondiționează și care, așa cum se va **demonstra**, pot fi determinate pentru o funcționare **optimă** a **instalației**.

Am considerat funcționarea optimă cazul de funcționare în care se menține temperatura camerei frigorifice constantă ($T_c = \text{const.}$), la o putere frigorifică constantă $\dot{Q}_c = \text{const.}$, cu un consum minim de putere. P_{\min} sau o putere de condensare **minimă** $\dot{Q}_{c,\min}$ când se mențin constante coeficienții de transfer de căldură în condensator ($K_c = \text{const.}$) și în **vaporizator** ($K_v = \text{const.}$).

6.2. Termodinamica în timp finit a ciclurilor inversate

Instalațiile frigorifice cu comprimare mecanică de vapori funcționează pe baza **ciclului** de referință **Carnot inversat**. După cum este **cunoscut**, ridicarea potențialului **căldurii**, **adică** a nivelului de temperatură al acesteia de la temperatura spațiului frigorific 7} până la cea a mediului ambiant T_a nu poate avea loc conform principiului al doilea al **termodinamicii**, în mod **natural**, de la sine, ci numai cu consum de energie din exterior, în particular, lucru mecanic.

Ciclul Carnot inversat, ciclu de referință pentru **instalațiile** frigorifice cu vapori, în accepțiune clasici este reversibil atât pe plan intern cât și extern. Aceasta înseamnă că procesele de **comprimare** și destindere sunt **izentropice**, iar schimburile de căldură cu sursele de căldură au loc **izotermic** la **diferențe** infinit **mici** dT de temperatură.

Funcționarea reală a instalațiilor frigorifice antă existența unor diferențe finite de temperatură în procesele de transfer termic între agentul frigorific (amoniac, **freoni**) și sursele de căldură.

în acest capitol se va prezenta o metodologie de studiu a ciclului Carnot inversat, de **referință**, **ținând** cont de diferențele finite de temperatură între agentul frigorific și sursele de căldură.

în figura 6.1 este **reprezentat** ciclul Carnot inversat parcurs de agentul frigorific în domeniul vaporilor umezi.

Notății:

T_o - temperatura de **vaporizare** a agentului frigorific;

T_f - temperatura spațiului frigorific;

T_a - temperatura apei de răcire a condensatorului;

T_p (temperatura aerului de răcire a condensatorului)

\dot{Q}_o [kW] - fluxul termic în vaporizator;

\dot{Q}_c [kW] - fluxul termic în condensator,

P [kW] - puterea necesară pentru **comprimarea** agentului frigorific de la presiunea p_o până la p_c ;

1-2-3-4 vârfurile **ciclului** Carnot inversat;

ΔT_c - diferența finită de temperatură în **condensator**;

ΔT_o - diferența finită de temperatură în vaporizator;

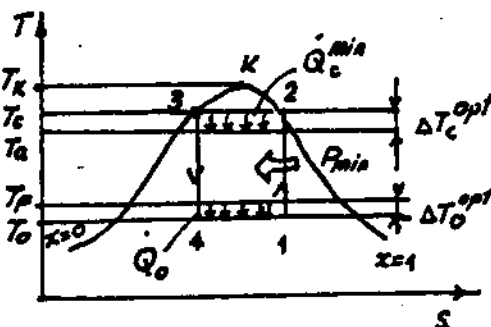


Fig. 6.1 Ciclul Carnot inversat.

6.2.1 Cazul instalațiilor frigorifice.

Vom utiliza următoarele relații:

Relațiabilanțuluienergetic:

$$P = \dot{Q}_c - \dot{Q}_o \quad [\text{kW}] \quad (6.1)$$

Fluxul termic în **condensator**:

$$\dot{Q}_c = K_c \cdot A_c \cdot \Delta T_c \quad [\text{kW}] \quad (6.2)$$

unde:

$K_c \left[\frac{\text{kW}}{\text{m}^2 \cdot \text{K}} \right]$ - coeficientul global de schimb de căldură în condensator;

$A_c [\text{m}^2]$ - suprafața condensatorului.

Fluxul termic în **vaporizator**:

$$\dot{Q}_o = K_o \cdot A_o \cdot \Delta T_o \quad [\text{kW}] \quad (6.3)$$

unde:

$K_o \left[\frac{\text{kW}}{\text{m}^2 \cdot \text{K}} \right]$ - coeficientul global de schimb de căldură în **vaporizator**;

$A_o [\text{m}^2]$ - suprafața vaporizatorului.

Bilantul fluxurilor de entropie:

$$\frac{\dot{Q}_c}{T_c} = \frac{\dot{Q}_o}{T_o} \quad \text{L K}^{\text{te}} \quad (6.4)$$

Suprafața totală de transfer termic:

$$A = A_o + A_c \quad [\text{m}^2] \quad (6.5)$$

Eficiența frigorifică:

$$\varepsilon_F = \frac{\dot{Q}_o}{P} \quad [-] \quad (6.6)$$

Temperatura de **vaporizare**:

$$T_o = T_f - \Delta T_o \quad [\text{K}] \quad (6.7)$$

Temperatura de condensare:

$$T_c = T_a + \Delta T_c \quad [\text{K}] \quad (6.8)$$

Ipoteze

a) Puterea frigorifică a instalației se **menține** constantă:

$$\dot{Q}_o = \text{const.}$$

b) Suprafața totală de transfer se consideră constantă:

$$A = A_c + A_o$$

deși A_o și A_c sunt variabile.

c) Coeficienții globali de transfer de căldură K_c și K_o se consideră constanți;

d) Temperatura spațiului frigorific T_f se menține constantă

Mărimi variabile

Relația (6.5) se poate scrie sub forma:

$$1 = \frac{A_o}{A} + \frac{A_c}{A}$$

sau

$$\frac{A_c}{A} = 1 - \frac{A_o}{A} \quad (6.9)$$

unde:

$\frac{A_o}{A} = \frac{A_o}{A}$ este un parametru variabil, reprezentând ponderea suprafeței vaporizatorului în suprafața totală.

Se introduc variabilele:

$$x = \frac{\Delta T_c}{T_a} \quad ; \quad y = \frac{\Delta T_o}{T_f}$$

Stabilirea condițiilor de **minimizare** a puterii P livrată **instalației** presupune alegerea **unei variabile** principale **care** poate fi în egală măsură „ x ”, y , \bar{A}_o .

Dacă **se ține seama** de **importanța vaporizatorului** în care se **realizează** puterea frigorifică $\bar{Q}_o = \text{const.}$, se alege **variabila** principală y deci (ΔT_o) .

în acest **sens**, relația (6.1) se împarte la produsul $K_o \cdot A \cdot T_f$:

$$\frac{P}{K_o \cdot A \cdot T_f} = \frac{\dot{Q}_c}{K_o \cdot A \cdot T_f} - \frac{\dot{Q}_o}{K_o \cdot A \cdot T_f} \quad (6.10)$$

și ținând cont de relațiile (6.2) și (6.3), se obține:

$$\bar{P} = \frac{1}{\bar{K}} \cdot \frac{A_c}{A} \cdot \frac{\Delta T_c}{T_f} - \frac{\bar{A}_o}{A} \cdot \frac{\Delta T_o}{T_f}$$

sau

$$\bar{P} = \frac{1}{\bar{K}} (1 - \bar{A}_o) \cdot x \cdot \theta - \bar{A}_o \cdot y \quad (6.11)$$

unde: $\theta = \frac{T_a}{T}$

Din **relația** (6.4) se obține:

$$\frac{K_c \cdot A_c \cdot \Delta T_c}{T_a \left(1 + \frac{\Delta T_c}{T_a}\right)} = \frac{K_o \cdot A_o \cdot \Delta T_o}{T_f \left(1 - \frac{\Delta T_o}{T_f}\right)}$$

sau

$$\frac{x}{1+x} = \bar{K} \cdot \frac{\bar{A}_o}{1-\bar{A}_o} \cdot \frac{y}{1-y} \quad (6.12)$$

și

$$x = \frac{\bar{K} \cdot \bar{A}_o \cdot y}{(1 - \bar{A}_o)(1 - y) - \bar{K} \cdot \bar{A}_o \cdot y} \quad (6.13)$$

Relația (6.11) devine:

$$\bar{P} = \theta \cdot \bar{Q}_o \frac{y - \bar{Q}_o}{(y - \bar{Q}_o)(1 - y) - \bar{K} \cdot \bar{Q}_o \cdot y} - \bar{Q}_o \quad (6.14)$$

unde:

$$\bar{P} = \frac{P}{K_o \cdot A \cdot T_f} \quad \text{și} \quad \bar{Q}_o = \frac{\dot{Q}_o}{K_o \cdot A \cdot T_f}$$

Pentru a **determina** valoarea variabilei y pentru care funcția $\bar{P}(y)$ devine **minimă**, punem condiția:

$$\frac{\partial \bar{P}}{\partial y} = 0 \quad (6.15)$$

Această condiție folosită în relația (6.14), conduce la:

$$y - \bar{Q}_o = \pm \bar{Q}_o \sqrt{\bar{K}} \quad (6.16)$$

deci:

$$y = \bar{Q}_o \left(1 \pm \sqrt{\bar{K}} \right) \quad (6.17)$$

$\bar{K} > 0$; $0 < \bar{K} < 1000$, iar valori practice

$$0.01 \leq \bar{K} \leq 100$$

$\bar{Q}_o > 0$ și $y > 0$, conduce la

$$y_{opt} = \bar{Q}_o \left(1 + \sqrt{\bar{K}} \right) \quad (6.18)$$

Rezulta:

$$\left(\frac{\Delta T_o}{T_f} \right)_{opt} = \bar{Q}_o \left(1 + \sqrt{\bar{K}} \right) \quad (6.19)$$

Valoarea optimă fiind:

$$\Delta T_{o_{opt}} = T_f \cdot \bar{Q}_o \cdot \left(1 + \sqrt{\bar{K}} \right) \quad (6.20)$$

sau

$$\Delta T_{o_{opt}} = T_f \cdot \frac{\dot{Q}_o}{K_o \cdot A \cdot T_f} \cdot \left(1 + \sqrt{\bar{K}} \right)$$

ceea ce conduce la

$$\Delta T_{o_{opt}} = \frac{\dot{Q}_o}{K_o \cdot A} \cdot \left(1 + \sqrt{\bar{K}} \right) \quad (6.21)$$

Valoarea optimă a variației x se obține introducând relația (6.18) în relația (6.13), considerând $\bar{Q}_o = y \cdot \bar{A}_o = \text{const.}$

$$x_{opt} = \frac{\sqrt{\bar{K}} \cdot y_{opt}}{1 - \left(1 + \sqrt{\bar{K}} \right) \cdot y_{opt}} \quad (6.22)$$

deci:

$$x_{opt} = \frac{\sqrt{\bar{K}} \cdot \bar{Q}_o \cdot \left(1 + \sqrt{\bar{K}} \right)}{1 - \bar{Q}_o \cdot \left(1 + \sqrt{\bar{K}} \right)^2} \quad (6.23)$$

iar:

$$\Delta T_{c_{opt}} = \theta \cdot T_f \cdot \frac{\sqrt{\bar{K}} \cdot \bar{Q}_o \cdot \left(1 + \sqrt{\bar{K}} \right)}{1 - \bar{Q}_o \cdot \left(1 + \sqrt{\bar{K}} \right)^2} \quad (6.24)$$

Pentru recalcularea puterii folosim relațiile (6.14) și (6.15):

$$\bar{P}_{min} = \frac{\theta \cdot \bar{Q}_o}{1 - \left(1 + \sqrt{\bar{K}} \right)^2 \cdot \bar{Q}_o} - \bar{Q}_o$$

sau:

$$\bar{P}_{min} = \bar{Q}_o \left[\frac{\theta}{1 - \bar{Q}_o \cdot (1 + \sqrt{K})^2} - 1 \right] \quad (6.25)$$

Eficiența frigorifică se determină ținând seama de relațiile (6.6) și (6.25):

$$\varepsilon_f = \bar{Q}_o \left[\frac{\theta}{1 - \bar{Q}_o \cdot (1 + \sqrt{K})^2} - 1 \right]^{(-1)} \quad (6.26)$$

Generarea de entropie

În condiții optime generarea entropiei datorată ireversibilității externe este:

Entropia generată în condensator se determină cu relația:

$$\begin{aligned} \dot{S}_{(\Delta T_c)_{opt}} &= \frac{\dot{Q}_c}{T_a} - \frac{\dot{Q}_c}{T_c} \\ \dot{S}_{(\Delta T_c)_{opt}} &= \dot{Q}_c \cdot \frac{\Delta T_c}{T_a \cdot T_c} > 0 \end{aligned} \quad (6.27)$$

$$\dot{S}_{(\Delta T_c)_{opt}} = K_c \cdot A_c \cdot \Delta T_c^2 \cdot \frac{1}{T_a \cdot T_c}$$

care devine:

$$\dot{S}_{(\Delta T_c)_{opt}} = K_c \cdot A \cdot (1 - \bar{A}_o) \cdot \frac{x_{opt}^2}{1 + x_{opt}} \quad (6.28)$$

Pentru **vaporizator**, entropia generală se determină cu relația:

$$\begin{aligned} \dot{S}_{(\Delta T_o)_{opt}} &= \frac{\dot{Q}_o}{T_o} - \frac{\dot{Q}_o}{T_f} \\ \dot{S}_{(\Delta T_o)_{opt}} &= \dot{Q}_o \cdot \frac{\Delta T_o}{T_f \cdot T_o} \end{aligned} \quad (6.29)$$

care devine:

$$\dot{S}_{(\Delta T_o)_{opt}} = K_o \cdot A_o \cdot \Delta T_o^2 \cdot \frac{1}{T_f \cdot T_o}$$

sau:

$$\dot{S}_{(\Delta T_o)_{opt}} = K_o \cdot \bar{A}_o \cdot A \cdot \frac{y_{opt}^2}{1 - y_{opt}} \quad (6.30)$$

Determinăm **fluxul** entropie total:

$$\dot{S}_{\Delta T} = \dot{S}_{(\Delta T_c)_{opt}} - \dot{S}_{(\Delta T_o)_{opt}} \quad (6.31)$$

$$\dot{S}_{\Delta T} = K_c \cdot A \cdot (1 - \bar{A}_o) \cdot \frac{x_{opt}^2}{1 + x_{opt}} + K_o \cdot A \cdot \bar{A}_o \cdot \frac{y_{opt}^2}{1 - y_{opt}} \quad (6.32)$$

sau:

$$\bar{S}_{ir \Delta T} = \frac{1}{K} \cdot (1 - \bar{A}_o) \cdot \frac{x_{opt}^2}{1 + x_{opt}} + \frac{y_{opt}^2}{1 - y_{opt}} \quad (6.33)$$

unde:

$$\bar{S}_{ir \Delta T} = \frac{\dot{S}_{ir \Delta T}}{A \cdot K_o}$$

Din relația (6.18), rezultă:

$$\bar{A}_{o_{opt}} = \frac{\bar{Q}_o}{y_{opt}}$$

sau

$$\bar{A}_{o_{opt}} = (1 + \sqrt{K})^{-1} \quad (6.34)$$

și

$$1 - \bar{A}_{o_{opt}} = \frac{\sqrt{K}}{1 + \sqrt{K}} \quad (6.35)$$

Introducând relațiile (6.34) și (6.35) în relația (6.33), se obține:

$$\bar{S}_{ir \Delta T} = \frac{1}{\sqrt{K} \cdot (1 + \sqrt{K})} \cdot \frac{x_{opt}^2}{1 + x_{opt}} + \frac{1}{1 + \sqrt{K}} \cdot \frac{y_{opt}^2}{1 - y_{opt}} \quad (6.36)$$

Deoarece:

$$x_{opt} = \frac{\sqrt{K} \cdot \bar{Q}_o \cdot (1 + \sqrt{K})}{1 - \bar{Q}_o \cdot (1 + \sqrt{K})^2} ; \quad y_{opt} = \bar{Q}_o \cdot (1 + \sqrt{K})$$

rezultă:

$$\begin{aligned} \bar{S}_{ir \Delta T} = & \frac{1}{\sqrt{K} \cdot (1 + \sqrt{K})} \cdot \left[\frac{\sqrt{K} \cdot \bar{Q}_o \cdot (1 + \sqrt{K})}{1 - \bar{Q}_o \cdot (1 + \sqrt{K})^2} \right]^2 \cdot \left[1 + \frac{\sqrt{K} \cdot \bar{Q}_o \cdot (1 + \sqrt{K})}{1 - \bar{Q}_o \cdot (1 + \sqrt{K})^2} \right]^{(-1)} + \\ & + \frac{1}{1 + \sqrt{K}} \cdot \left[\bar{Q}_o \cdot (1 + \sqrt{K}) \right]^2 \cdot \left[1 - \bar{Q}_o \cdot (1 + \sqrt{K}) \right]^{(-1)} \end{aligned} \quad (6.37)$$

6.3. Agenți frigorifici

6.3.1 Agenții frigorifici și presiuni de calcul (conf. RNR)

Agenții frigorifici se împart în următoarele grupe:

I - agenți frigorifici neinflamabili:

II - agenți frigorifici toxici și inflamabili cu limita inferioară de aprindere începând de la 3,5% sau mai mult, volume de agent frigorific în aer:

III - agenți frigorifici explozibili sau inflamabili cu o limită inferioară de aprindere sub 3,5% volume de agent frigorific în aer:

Agenții frigorifici din grupa a III-a sunt admiși de RNR numai pentru instalațiile frigorifice ale navelor ce transportă gaze lichefiate în vrac, la care însăși încărcătura servește drept agent frigorific.

La calculul de rezistență al elementelor care lucrează sub presiunea agentului frigorific, se va lua ca presiune de calcul o valoare cel puțin egală cu presiunea vaporilor saturați de agent frigorific la temperatura de 50° C, conform celor arătate în tabelul 6.1.

Tabelul 6.1 Agenți frigorifici și presiuni de calcul conform R.N.R.

Grupa agentului frigorific	Simbol	Formula chimică	Presiunea de calcul [MN/m ²]	Observații
I	R 12	CF ₂ Cl ₂	U	
	R 22	CHF ₂ Cl	2,0	
	R 502*	CHF ₂ Cl + C ₂ F ₂ Cl	2,0	
	R 134	C ₂ H ₂ F ₄		Înlocuiește R11 și R12 din 1996
	R 134 a	C ₂ H ₂ F ₄		Înlocuiește R12 din 1994
II	R717	NH ₃ (amoniac)	2,0	
III	R 290	C ₃ H ₈ (propan)	1,6	
	R 1270	C ₃ H ₆ (propilen)	2,0	

* R- 502 (amestec ozeotrop) R22+ R 115

6.3.2 Agenții frigorifici acceptați ecologic

Tabelul 6.2 Agenți frigorifici acceptați ecologic

Agent frigorific	Denumirea chimică	Formula	CAN	NOP
	Seriametanului			
R 22	Clor diflormetan	CHClF ₂	75-45-6	141

Tabelul 6.2. (continuare)

R23	Triflormetan	CHF_3	75-46-7	86
R 32	Diflormetan	CH_2F_2	75-10-5	21
	Seria tanului			
R 123		$\text{C}_2\text{HCl}_2\text{F}_3$	306-83-2	5
R 123 a		C_2HClF_3	354-23-4	3
R 124		C_2HClF_4	2837-89-0	8
R 125		C_2HF_5	354-33-6	2
R 134		$\text{C}_2\text{H}_2\text{F}_4$	359-35-3	1
R 134a		$\text{C}_2\text{H}_2\text{F}_4$	811-97-2	16
R 141 b		$\text{C}_2\text{H}_3\text{C}_2\text{F}$	1717-00-6	2
R 142 b		$\text{C}_2\text{H}_2\text{ClF}_2$	45-68-3	30
R 143 a		$\text{C}_2\text{H}_3\text{F}_3$	420-46-2	11
R 152 a		$\text{C}_2\text{H}_4\text{F}_2$	75-37-6	40

CAN- CHEMICAL ABSTRACTS REGISTER NUMBER

NOP - NUMBER OF PUBLICATIONS ON THERMOPHYSICAL PROPERTIES

6.3.3. Fluide frigorifice a căror producție este interzisă după 31.12.1994.R12 CCl_2F_2 DiclorodifluormetanR502(amestec azeotrop între R22 și R115) C_2ClF_3 PentafluoromonocloretanR13 CClF_3 MonoclortrifluormetanR11 CCl_3F TricloromonofluormetanR114 $\text{C}_2\text{Cl}_2\text{F}_4$ Tetrafluordicloretan**6.3.4. Fluide frigorifice a căror producție încetează în 2014**R22 CHClF_2 MonoclorodifluormetanR123 $\text{CHCl}_2\text{-CF}_3$ DiclortrifluoretanR124 $\text{CHClF}_2\text{-CF}_3$ MonoclorotetrafluoretanR141 b $\text{CH}_3\text{CCl}_2\text{F}$ DiclorfluoretanR142 b CH_3CClF_2 Clordifluoretan**6.3.5. Fluide frigorifice înlocuitoare**

R408A(FX10) amestec dintre R125, R143A, R22 înlocuiește R502

R409A(FX56) amestec dintre R142 b, R124, R22 înlocuiește R12

(FX57) amestec dintre R142 b, R124, R22 înlocuiește R500

R401A(MP39) amestec dintre R124, R152A, R22 înlocuiește R12

R401B(MP66) amestec dintre R124, R152A, R22 înlocuiește R500

R402 (HP80) amestec de propan, R125, R22 înlocuiește R502

6.4. Particularități de utilizare a agenților frigorifici

R 12 folosit pentru prima dată în 1930, este în prezent cel mai **utilizat** agent de lucru în instalațiile frigorifice. Este **ușor** de procurat, fiind utilizat la scară mondială, în condiții de puritate chimică, parametri de **îmbuteliere** și moduri de transportare unanim acceptate.

Se folosește, în special, în instalațiile cu **compresoare** volumice. Față de R 22, R 12 necesită în **aceleși condiții** de putere termică și temperaturi un **volum** al cursei pistonului **compresorului** cu circa **60% mai mare**.

R 12 prezintă **inerție** chimică deosebită față de uleiurile de ungere și față de garniturile de **etanșare**. În stare umedă este puțin agresiv; **totuși**, înaintea umplerii cu agent, instalațiile trebuie să fie bine uscate, **fiindcă**, datorită capacității reduse de captare a apei de către **agent**, există pericolul ca surplusul de apă să **înghețe** în ventilul de reglare.

Un dezavantaj important îl **constituie** nivelul ridicat al pierderilor de presiune care intervin în curgerea R 12 lichid sau sub formă de vapori, datorită densității de circa 5 - 6 ori mai mare decât pentru amoniac, dacă ne referim la vapori.

Ca urmare, pentru vaporii de R 12 se admit viteze de 2 - 2,5 ori mai mici decât pentru amoniac, atât în conductele de legătură dintre părțile componente ale **instalației** cât și în canalele din supape. Conductele din instalațiile cu R 12 au ca urmare, secțiuni de 4 - 5 ori mai mari decât **cele** ale instalațiilor care **funcționează** cu amoniac.

R 12 prezintă o **solubilitate** excesivă în uleiuri de ungere, care conduce la micșorarea **vâscozității** **acesteia**, în special la presiuni înalte și temperaturi joase.

R 12 prezintă o capacitate mare de trecere prin **neetanșietăți** și chiar prin porii **metalelor**, necesitând, deci, **etanșeri** deosebit de îngrijite și o calitate superioară de prelucrare a organelor de mașină componente.

Se transportă și se păstrează în stare lichidă, la 6 - 8 bar, în butelii de oțel vopsite în culoare argintie.

R 22 prezintă ca principal avantaj sarcina termică specifică mare, superioară valorilor corespunzătoare **celorlalți freoni** și apropiată de cea a amoniacului.

R 22 prezintă o capacitate mare de captare a apei și anume de 750 **mg·kg** la 0°C și 1000 **rag·kg** la **20°C** pentru starea lichidă. Se impun, deci, **măsuri** severe de evitare a unui conținut ridicat de apă în argint. Ca substanță de uscare se **folosește** sulfatul de calciu, implantat pe traseul conductelor de lichid.

Prezența unui atom de hidrogen în **formula** chimică a freonului (**CHCIF**) determină agresivitatea acestuia față de materialele de **natură** organică folosite în instalație: ulei de ungere, materiale de etanșare, izolația bobinajului motorului electric de antrenare. De **asemenea**, în amestecul agent de lucru - ulei de ungere intervin deseori lacune de **miscibilitate**, dăunătoare atât pentru ungerea **compresorului**, cât și pentru transferul de căldură în **vaporizator** și condensator.

R 502 **este** amestecul azeotrop dintre freonul R 22 (în proporție masică de **48,8%**) și freonul R 115 (în proporție masică de **51,2%**).

După cum se știe, **temperatura** de vaporizare a unui amestec azeotrop la o anumită presiune este superioară **temperaturii** de vaporizare a componentului mai puțin volatil sau inferioară celei a componentului mai volatil. Un astfel de amestec păstrează în stare de vapori aceeași compoziție ca și în stare lichidă; prin vaporizare la presiune constantă, **amestecul** azeotrop își păstrează o temperatură constantă, ca în cazul **vaporizării** unui agent pur. **Compoziția** amestecului **azeotrop** se poate totuși schimba atunci când presiunea de vaporizare și temperatura de vaporizare variază.

R 502 **se** caracterizează printr-o sarcină termică volumetrică practic egală cu cea a R 22, deci foarte mare. Temperatura sa normală de saturație este de **-45,6° C**.

Deosebit de avantajoase sunt **temperaturile coborâte** de lucru (ale uleiului de ungere, vaporilor comprimați, părților componente ale compresorului etc.), care influențează favorabil stabilitatea uleiului, **etanșărilor**, izolațiilor, precum și durabilitatea și fiabilitatea instalației. Se constată că puterea termică **specifică**, în cazul utilizării **freonului R 502**, este mult mai **mare** decât freonul R 12 în special la temperaturi de **vaporizare** scăzute.

Utilizarea acestui freon permite micșorarea consumului de energie **cca** 10 - 15 % în raport cu R 12, consecință a reducerii raportului de creștere a presiunii. Se recomandă ca ciclurile R 502 să fie cu regenerare: datorită temperaturilor de refulare relativ reduse nu se impun condiții restrictive în ceea ce privește gradul de supraîncălzire a vaporilor aspirați în compresor. Ca urmare, freonul R 502 poate fi utilizat la nivelul unor temperaturi de condensare $t = +40^{\circ}\text{C}$.

Amoniacul, NH₃, R 717

(R 717) este utilizat pe scară largă în **instalațiile** frigorifice cu **comprimare** de vaporii cu o treaptă și, respectiv cu **două** trepte, precum și în cele cu absorbție pentru **temperaturi** de vaporizare $t > -75^{\circ}\text{C}$; temperatura normală de vaporizare a amoniacului este $t = -33,35^{\circ}\text{C}$. Printre avantajele amoniacului se numără volumul specific mic la **temperaturile** de vaporizare uzuale, ușurința determinării scăpărilor de amoniac datorită mirosului, **solubilitatea** în ulei **redușă**, nu exercită acțiuni corosive asupra **oțelului** dar în **prezența** apei atacă zincul, cuprul, bronzul și alte aliaje pe bază de cupru cu excepția bronzului **fosforos**. Dintre dezavantaje se **menționează** faptul că este toxic, exploziv și inflamabil la **concentrații** de 16,5 ... 26,8 % amoniac în aer. La temperatura de 260°C amoniacul se descompune în azot și hidrogen.

Propan, CH₃, R 290

Al treilea termen din seria hidrocarburilor **parafinice** este un gaz inflamabil care se găsește în cantități mai mari în gazele de **sondă**, și care este întrebuințat ca materie **chimică** în industria chimică, la rafinarea uleiurilor minerale și amestecat cu butanul, drept combustibil menajer care se livrează **consumatorilor** sub formă de gaze lichefiate.

Propilena = Propenă = Propilen - CH₂ - CH = CH₂

Hidrocarbură **gazoasă**, nesaturată din clasa **alefinelor**, care se găsește în gazele de la cracarea țițeiului și care este întrebuințată ca materie primă pentru **obținerea** alcoolului izopropilic, a glicerinei sintetice etc.

6.5. Proprietățile termodinamice ale agenților frigorifici

6.5.1 Proprietățile termodinamice ale amoniacului R 717

Ecuția de stare pentru amoniac se prezintă sub forma:

$$v = \frac{RT}{p} \left[\frac{T}{100} \right]^{2,6975} \quad (6.38)$$

Valorile presiunii **agentului** pe curba limită a vaporilor saturați uscați se determină cu relația:

$$\lg p_s = 8,5904394 - \frac{1648,6088}{t} - 1,638646 \cdot 10^{-1} \cdot T + \\ + 0,2403267 \cdot 10^{-4} \cdot T^2 - 0,01168708 \cdot 10^{-6} \cdot T^3 \left[\text{MN/m}^2 \right] \quad (6.39)$$

Relația se aplică în domeniul de temperatură $T = 193 \div 343$ [K]. Valorile numerice, pentru domeniul $T = 250 \div 321$ [K], sunt prezentate în tabelul 6.3.

Tabelul 6.3. Presiunea, volumul specific și entalpia amoniacului

t °C	P × 10 ⁻⁵ Pa	v × 10 ³ m ³ /kg	v × 10 ³ m ³ /kg	h' kJ/kg	h'' kJ/kg	r kJ/kg
-75	0.07513	1,36797	12820	-209,417	1264,541	1473,958
-70	0.10938	1,37861	9015,8	-189,119	1274,273	1463,392
-60	0.21859	1,40076	4715,8	-147,938	1293,094	1441,032
-50	0.40762	1,42417	2633,4	-105,728	1310,943	1416,671
-40	0,71591	1,44898	1555,1	-62,325	1327,648	1389,973
-30	1.1936	1.47534	963,49	-17,770	1343,023	1360,793
-20	1.9015	1,50347	622,14	27,891	1356,861	1328,970
-10	2,9106	1,53358	416,32	74,484	1368,962	1294,478
0	4,3017	1,56596	287,31	121,761	1379,140	1257,379
10	6.1635	1.60097	203,65	169,431	1387,227	1217,796
20	8.5922	1.6392	147,72	217,196	1393,078	1175,882
30	11.690	1,68068	109,30	264,687	1396,562	1131,775
40	15.567	1,72665	82,266	312,008	1397,554	1085,546
50	20.338	1,77788	62,809	358,787	1395,918	1037,131

Entropia amoniacului în domeniul vaporilor supraîncărcăți, inclusiv pe curba limită a vaporilor saturați uscați se determină cu relația:

$$h'' = 1379,1737 + 2,056673(T - 273,15) + 0,075097 \cdot 10^{-2} (T - 273,15)^2 + \\ + 0,53081 \cdot 10^{-6} \cdot (T - 273,15)^3 - \frac{1,1776538 \cdot p}{\left(\frac{T}{100}\right)^{2,6975}} \left[\frac{\text{KJ}}{\text{Kg}} \right] \quad (6.40)$$

unde $p \left[\frac{\text{MN}}{\text{m}^2} \right]$

Entropia amoniacului în domeniul vaporilor supraîncălziți, inclusiv pe curba limită a vaporilor saturați uscați se determină cu relația:

$$S'' = 3,1664 + 0,4891 \cdot \ln \frac{0,43017}{p} - 0,589154 \cdot \frac{p}{T \cdot \left(\frac{T}{100}\right)^{2,6975}} + \\ + 1,76523 \cdot \ln \frac{T}{273,15} + 0,1066972 \cdot 10^{-2} \cdot (T - 273,15) + \\ + 0,796215 \cdot 10^{-6} \cdot (T - 273,15)^2 \left[\frac{\text{KJ}}{\text{Kg} \cdot \text{K}} \right] \quad (6.41)$$

unde $p \left[\frac{\text{MN}}{\text{m}^2} \right]$

Tabelul 6.4. Presiunea volumul specific și entropia amoniacului

t °C	P x 10 ⁵ Pa	v x 10 ³ m ³ /kg	v' x 10 ³ m ³ /kg	s' kJ/kg	s'' kJ/kg	r kJ/kg
-75	0,07513	1,36797	12820	-2,84516	4,59344	1473,958
-70	0,10938	1,37861	9015,8	-2,74401	4,45949	1463,392
-60	0,21859	1,40076	4715,8	-2,54622	4,21443	1441,032
-50	0,40762	1,42417	2633,4	-2,35283	3,99658	1416,671
-40	0,71591	1,44898	1555,1	-2,16277	3,79894	1389,973
-30	1,1936	1,47534	963,49	-1,97597	3,62055	1360,793
-20	1,9015	1,50347	622,14	-1,79237	3,45736	1328,970
-10	2,9106	1,53358	416,32	-1,61247	3,30670	1294,478
0	4,3017	1,56596	287,31	-1,43695	3,16631	1257,379
10	6,1635	1,60097	203,65	-1,26661	3,03428	1217,796
20	8,5922	1,6392	147,72	-1,10219	2,909	1175,882
30	11,690	1,68068	109,30	-0,94428	2,78910	1131,775
40	15,567	1,72665	82,266	-0,79316	2,67337	1085,546
50	20,338	1,77788	62,809	-0,64874	2,5607	1037,131

Valorile numerice sunt prezentate în tabelul 6.4. pentru T = 250 ÷ 344 [K]

Entropia amoniacului pe curba limită a lichidului saturat se determină cu relația:

$$h' = 510,044 - 3,135(T - 273,15) - 2,8458 \cdot 10^{-4} \cdot (T - 273,15)^2 - 33,668 \cdot [133 - (T - 273,15)]^{\frac{1}{2}} \left[\frac{\text{KJ}}{\text{Kg}} \right] \quad (6.42)$$

Entropia amoniacului pe curba limită a lichidului saturat se determină cu relația:

$$S' = 4,1258 \cdot \ln \frac{T}{273,15} - 5,6916 \cdot 10^{-4} \cdot (T - 273,15) - 1,43695 \left[\frac{\text{KJ}}{\text{Kg} \cdot \text{K}} \right] \quad (6.43)$$

6.5.2 Proprietățile termodinamice ale freonului R 12

Pentru stabilirea proprietăților termodinamice în domeniul vaporilor supraîncălziți inclusiv pe curba limită de vaporii saturați uscați se consideră ecuația termică de stare pentru R 12.

$$v = \frac{RT}{p} - \frac{0,015589}{\left[\frac{T}{100} \right]^{1,28134}} \quad (6.44)$$

$$R = \frac{R_M}{M} = \frac{8,315}{120,92}; \quad R = 0,068764 \left[\frac{\text{KJ}}{\text{Kg} \cdot \text{K}} \right]; \quad p \left[\frac{\text{KN}}{\text{m}^2} \right] = v \left[\frac{\text{m}^3}{\text{Kg}} \right]$$

Pentru curba limită a vaporilor saturați uscați, presiunea se determină funcție de temperatura conform relației:

$$\lg p_s = 41,13487 - \frac{2113,128231}{T} - 15,011285 \cdot \lg T + 0,9908 \cdot 10^{-2} \cdot T \left[\frac{\text{MN}}{\text{m}^2} \right] \quad (6.45)$$

pentru **domeniul** de temperatură $T = 203 \div 385$ [K].

În tabelul 6.5 sunt prezentate valorile obținute pentru domeniul de temperatură $250 \div 321$ [K].

Entalpia agentului în domeniul vaporilor supraîncălziți se determină cu relația:

$$h'' = 1000,833 + 0,546979 \cdot (T - 273,15) + 0,054195 \cdot 10^{-2} (T - 273,15)^2 -$$

$$-0,4092 \cdot 10^{-6} \cdot (T - 273,15)^3 - \frac{0,035564 \cdot p}{\left(\frac{T}{100}\right)^{1,28134}} \left[\frac{\text{H}}{\text{Kg}} \right] \quad (6.46)$$

$$p \left[\frac{\text{MN}}{\text{m}^2} \right]$$

Tabelul 6.5. Presiunea, volumul specific și entalpia fazei lichide a refrigerantului R12

t °C	P x10 ⁻⁵ Pa	v x10 ³ m ³ /kg	v x10 ³ m ³ /kg	h' kJ/kg	h'' kJ/kg	r kJ/kg
-75	0,08780	0,6198	1,540	333,21	517,20	183,98
-70	0,1226	0,6248	1,129	337,41	519,52	182,10
-60	0,2262	0,6355	0,6386	345,9	524,19	178,29
-50	0,3919	0,6468	0,3834	354,55	528,9	174,35
-40	0,6430	0,6588	0,2421	363,34	533,6	170,26
-30	1,006	0,6717	0,1595	372,29	538,3	166,00
-20	1,513	0,6854	0,1091	381,38	542,96	161,58
-10	2,196	0,7003	0,07689	390,63	547,55	156,92
0	3,091	0,7164	0,05566	400,00	552,06	152,06
10	4,235	0,734	0,04119	409,54	556,45	146,92
20	5,669	0,7533	0,03105	419,22	560,69	141,46
30	7,435	0,7748	0,02376	429,08	564,72	135,64
40	9,577	0,7989	0,01840	439,16	568,48	129,32
50	12,14	0,8264	0,01437	449,49	571,89	122,40

Entropia agentului frigorific în domeniul vaporilor supraîncălziți se determină cu relația:

$$s = 1,126433 + 0,068764 \cdot \ln \frac{0,3089}{p} - 19,9748 \cdot \frac{p}{T \cdot \left(\frac{T}{100}\right)^{1,28134}} +$$

$$+ 0,1593195 \cdot \ln \frac{T}{273,15} + 0,2089854 \cdot 10^{-2} \cdot (T - 273,15) +$$

$$+ 0,613799 \cdot 10^{-6} \cdot (T - 273,15)^2 \left[\frac{\text{KJ}}{\text{Kg} \cdot \text{K}} \right] \quad (6.47)$$

unde

$$p \left[\frac{\text{MN}}{\text{m}^2} \right]$$

Entropia agentului frigorific pe curba limită a lichidului saturat se determină cu relația:

$$h' = 848,289 + 0,9341 \cdot (T - 273,15) + 0,7324 \cdot 10^{-3} \cdot (T - 273,15)^2 \left[\frac{\text{KJ}}{\text{Kg}} \right] \quad (6.48)$$

Entropia agentului frigorific pe curba limită a lichidului saturat se determină cu relația:

$$S' = 0,5618 + 0,534 \cdot \ln \frac{T}{273,15} + 1,4648 \cdot 10^{-3} \cdot (T - 273,15) \quad \left[\frac{\text{KJ}}{\text{kg} \cdot \text{K}} \right] \quad (6.49)$$

Tabelul 6.6. Presiunea volumul specific și entropia freonului R12

t °C	P x 10 ⁻⁵ Pa	v x 10 ³ m ³ /kg	v'' x 10 ³ m ³ /kg	s' kJ/kg	s'' kJ/kg	r kJ/kg
-75	0.08780	0.6198	1.540	3.7159	4.6444	183.98
-70	0.1226	0.6248	1.129	3.7368	4.6332	182.10
-60	0.2262	0.6355	0.6386	3.7776	4.6140	178.29
-50	0.3919	0.6468	0.3834	3.8172	4.5985	174.35
-40	0.6430	0.6588	0.2421	3.8557	4.5859	170.26
-30	1.006	0.6717	0.1595	3.8932	4.5759	166.00
-20	1.513	0.6854	0.1091	3.9296	4.5679	161.58
-10	2.196	0.7003	0.07689	3.9653	4.5616	156.92
0	3.091	0.7164	0.05566	4.00	4.5567	152.06
10	4.235	0.734	0.04119	4.0340	4.5528	146.92
20	5.669	0.7533	0.03105	4.0672	4.5498	141.46
30	7.435	0.7748	0.02376	4.0998	4.5473	135.64
40	9.577	0.7989	0.01840	4.1320	4.5450	129.32
50	12.14	0.8264	0.01437	4.1638	4.5426	122.40

Pentru $T = 250 \div 321$ [K] sunt prezentate valorile numerice în tabelul 6.6.

6.5.3 Proprietățile termodinamice ale freonului R 22

Relația de legătură între p și T în domeniul bifazic poate fi de forma:

$$\ln \frac{p}{49,86} = \alpha_k \cdot \ln \frac{T}{369,28} - 0,0838 \cdot (\alpha_k - 3,75) \cdot \left[36 \cdot \left(\frac{T}{369,28} \right)^{-1} - 35 \cdot \left(\frac{T}{369,28} \right)^6 + 42 \cdot \ln \frac{T}{369,28} \right] \quad (6.50)$$

Valorile presiunii p funcție de $T = 250 \div 321$ [K] sunt prezentate în tabelul 6.7.

Pentru domeniul vaporilor saturați uscați și vaporii supraîncălziți, ecuația caracteristică se prezintă sub forma:

$$\frac{p \cdot v}{10 \cdot R \cdot T} = Z_0 + \omega \cdot Z_1 \quad (6.51)$$

în care:

$$R = 0,0961536 \left[\frac{\text{KJ}}{\text{Kg} \cdot \text{K}} \right]; \quad \omega = 0,216$$

$$Z_0 = 1 + \left[\frac{0,372}{\theta} - \frac{0,836 + 8,87 \cdot e^{-5\theta} - 1,483 \cdot e^{-2\theta}}{\theta^2} \right] \cdot \pi - 1,8 \cdot (0 - 1,3)^2 \cdot \pi^2 \quad (6.52)$$

$$Z_1 = \left[-\frac{0.735}{\theta} + \frac{1.472 - 5.934 \cdot e^{-2\theta}}{\theta^2} \right] \cdot \pi$$

$$\theta = \frac{T}{369.28} \quad ; \quad \pi = \frac{p}{49.86}$$

$$T \text{ [K]} \quad ; \quad p \text{ [bar]}$$

Entalpia agentului frigorific în domeniul vaporilor supraîncălziți poate fi determinată cu relația:

$$h = (h_o + 369,28 \cdot R \cdot F_1) \cdot 4,185 \quad (6.53)$$

în care:

$$F_1 = C_1 + \frac{\pi}{W_A \cdot \delta} + \left[\left(C_1 + 3 \cdot \frac{C_3}{\theta^2} + 5 \cdot \frac{C_4}{\theta^2} \right) \cdot \delta + \left(C_5 + 3 \cdot \frac{C_7}{\theta^2} \right) \cdot \frac{\delta^2}{2} + \right. \\ \left. + \left(3 \cdot \frac{C_8}{\theta^2} + 5 \cdot \frac{C_9}{\theta^4} \right) \cdot F + C_{11} \cdot \frac{\delta^5}{5} \right] \cdot \frac{1}{W_A} \quad (6.54)$$

$$C_1 = \left[(B_o - 1) \cdot T + B_1 \cdot \ln T - B_2 \cdot \frac{1}{T} - B_3 \cdot \frac{1}{2 \cdot T^2} - B_3 \cdot \frac{1}{3 \cdot T^3} \cdot \delta - \right. \\ \left. - B_5 \cdot \frac{1}{4 \cdot T^4} \right] \cdot \frac{1}{369,28} \quad (6.55)$$

Tabelul 6.7. Presiunea, volumul specific și entalpia freonului R 22

t °C	P x10 ⁻⁵ Pa	v x10 ³ m ³ /kg	v' x10 ³ m ³ /kg	h' kJ/kg	h'' kJ/kg	r kJ/kg
-75	0,1469	0,6659	1284	416,14	670,60	254,46
-70	0,2045	0,6713	945,5	421,58	673,04	251,46
-60	0,3752	0,6827	536,1	432,48	677,90	245,42
-50	0,6459	0,6952	323,2	443,43	682,69	239,26
-40	1,054	0,7089	204,7	454,46	686,38	232,92
-30	1,641	0,7239	135,1	465,60	691,92	226,32
-20	2,456	0,7404	92,41	476,88	696,28	219,40
-10	3,552	0,7586	65,08	488,34	700,42	212,08
0	4,983	0,7686	46,98	500,00	704,28	204,28
10	6,811	0,8005	34,62	511,89	707,81	195,92
20	9,097	0,8246	25,94	524,05	710,94	186,89
30	11,908	0,8515	19,70	536,51	713,57	177,06
40	15,315	0,8829	15,10	549,36	715,58	166,22
50	19,395	0,9213	11,63	562,75	716,78	154,03

$$F = \left[1 - \left(1 + 0,5 \cdot C_{10} \cdot \delta^2 \right) \cdot e^{-C_{10} \delta^2} \right] \cdot \frac{1}{C_{10}} \quad (6.56)$$

$$\delta = \frac{1.949}{V} \cdot v \left[\frac{\text{dm}^3}{\text{Kg}} \right]$$

Entropia agentului în domeniul vaporilor supraîncălziți se determină cu relația:

$$S = (S_o + R \cdot F_s) \cdot 4.185 \quad (6.57)$$

unde:

$$F_s = C_s + \ln \frac{v}{1000} \cdot \left[\left(2 \frac{C_3}{\theta^3} + 4 \frac{C_4}{\theta^5} - C_2 \right) \cdot \delta + \left(2 \frac{C_7}{\theta^3} - C_6 \right) \cdot \frac{\delta^2}{2} + \right. \\ \left. + 2 \cdot F \cdot \left(\frac{C_8}{\theta^3} + 2 \frac{C_9}{\theta^5} \right) \right] \cdot \frac{1}{W_A}$$

$$C_s - (B_0 - 1) \cdot \ln 7 \quad \frac{R_1}{1} - \frac{B_1}{2 \cdot T^2} - \frac{R_3}{3 \cdot T^3} - \frac{R_4}{4 \cdot T^4} - \frac{B_5}{5 \cdot T^5} \quad (6.58)$$

în care:

$$W_A = 3,65147098; \quad h_o = 1742,4604 \left[\frac{\text{KJ}}{\text{Kg}} \right]; \quad S_o = -2,7003066 \left[\frac{\text{KJ}}{\text{Kg K}} \right]$$

$$C_1 = 2.223632442$$

$$C_2 = -1.229719908$$

$$C_3 = -6.865517997$$

$$C_4 = 1.242927928$$

$$C_5 = -4.201939114$$

$$C_6 = 2.691441808$$

$$C_7 = 0.190141745$$

$$C_8 = 3.14654989$$

$$C_9 = 0,222916269$$

$$C_{10} = 0,5$$

$$C_{11} = 0,232035556$$

$$\theta = \frac{T}{369,28}$$

$$B_0 = 14.044544$$

$$B_1 = -27.304 \cdot 10^2$$

$$B_2 = -26.3412 \cdot 10^4$$

$$B_3 = 232,9938 \cdot 10^6$$

$$B_4 = -382.4919 \cdot 10^8$$

$$B_5 = 207.0414 \cdot 10^{10}$$

Tabelul 6.8. Presiunea volumul specific și entropia freonului R22

t °C	p x10 ⁻⁵ Pa	v x10 ³ m ³ /kg	v' x10 ³ m ³ /kg	s' kj/kg	s'' kj/kg	r kj/kg
-75	0,1469	0,6659	1284	0,6434	1,9276	254,46
-70	0,2045	0,6713	945,5	0,6705	1,9083	251,46
-60	0,3752	0,6827	536,1	0,7228	1,8742	245,42
-50	0,6459	0,6952	323,2	0,7729	1,8451	239,26
-40	1,054	0,7089	204,7	0,8211	1,8220	232,92
-30	1,641	0,7239	135,1	0,8677	1,7985	226,32
-20	2,456	0,7404	92,41	0,9129	1,7796	219,40
-10	3,552	0,7586	65,08	0,9569	1,7629	212,08
0	4,983	0,7686	46,98	1,00	1,7449	204,28
10	6,811	0,8005	34,62	1,0422	1,7341	195,92
20	9,097	0,8246	25,94	1,0838	1,7213	186,89
30	11,908	0,8515	19,70	1,1248	1,7089	177,06
40	15,315	0,8829	15,10	1,1656	1,6964	166,22
—	—	—	—	—	—	—

Pentru domeniul lichid saturat există următoarele ecuații:

$$\frac{1.949}{V'} = [1.413972 \cdot (1 - \theta) + (3.201133 \cdot \alpha_k - 20.313741)] \cdot (1 - \theta)^{1.3}$$

$$h' = h'' - T \left(\frac{1}{V'} - \frac{1}{V''} \right) \cdot \frac{dP}{dT} \cdot \frac{1}{10}$$

$$S' = S'' - T \left(\frac{1}{V''} - \frac{1}{V'} \right) \cdot \frac{dP}{dT} \cdot \frac{1}{10}$$

$$\begin{aligned} \text{unde: } \frac{P}{dT} = & p \cdot \frac{0.205481}{369.28} \left[\ln \theta - 0.0838 \cdot (36 \cdot \theta^{-1} - 35 - \theta^6 + 42 \ln \theta) \right] + \\ & + \frac{P}{369.28} \left[\alpha_k \cdot \theta^{-1} - 0.0838 \cdot (\alpha_k - 3.75) \cdot (-36 \cdot \theta^{-2} - 6 \cdot \theta^5 + 42 \cdot \theta^{-1}) \right] \end{aligned}$$

6.5.4 Proprietățile termodinamice ale freonului R 502

Relația de **legătură** între presiune și temperatură în domeniul bifazic:

$$\ln \pi = \alpha_k \cdot \ln \theta - 0.0838 \cdot (\alpha_k - 3.75) \cdot (-36 \cdot \theta^{-1} - 35 - \theta^6 + 42 \cdot \ln \theta) \quad (6.59)$$

unde

$$\begin{aligned} \alpha_k &= 6.448 + 0.7607 \cdot \theta \\ \theta &= \frac{T}{353.31}; \quad \pi = \frac{P}{40.698}; \end{aligned}$$

Valorile presiunii de saturație sunt redată în tabelul 6.9.

Pentru vapori saturați uscați și vapori supraîncălziți se pot folosi relații de forma:

$$\begin{aligned} \pi = W_A \cdot \theta \cdot \delta + (A_2 + B_2 \cdot \theta + \frac{C_2}{\theta^2} + \frac{D_2}{\theta^4} \cdot \delta^2 + (A_3 + B_3 \cdot \theta + \frac{C_3}{\theta^2}) \cdot \delta^3 + \\ + (\frac{A_4}{\theta^2} + \frac{A_5}{\theta^4}) \cdot \delta^4 (1 + A_7 \delta^2) \cdot e^{-A_7 \delta^2 \cdot A_6 \delta^6} \end{aligned} \quad (6.60)$$

$$\delta = \frac{1.784}{v}$$

Entalpia agentului în domeniul vaporilor supraîncălziți se determină cu relația;

$$h = (h_0 + 353.31 \cdot R \cdot F_i) \cdot 4.186$$

unde

$$F_i = C_i + \left[\left(A_2 + \frac{3 \cdot C_2}{\theta^2} + \frac{5 D_2}{\theta^4} \right) \cdot \delta + \left(A_3 + \frac{3 C_3}{\theta^2} \right) \cdot \frac{\delta^2}{2} + \left(\frac{3 \cdot A_4}{\theta^2} + \frac{5 \cdot A_5}{\theta^4} \right) \cdot F + \frac{A_6 \cdot \delta^5}{5} \right]$$

$$\frac{1}{W_A} + \frac{\pi}{W_A \cdot \delta} \quad (6.61)$$

$$C_i = \left[(A_{i1} - R) \cdot T + \frac{A_{i2} \cdot T^2}{2} + \frac{A_{i3} \cdot T^3}{3} + \frac{A_{i4} \cdot T^4}{4} \right] \cdot \frac{1}{353,31 \cdot R} \quad (6.62)$$

Tabelul 6.9. Presiunea ,volumul specific și entalpia freonului R 502

t °C	P × 10 ⁵ Pa	v × 10 ³ m ³ /kg	v' × 10 ³ m ³ /kg	h' kJ/kg	h'' kJ/kg	r kJ/kg
-75	0,2028	0,630	0,7202	347,62	532,14	184,51
-70	0,2767	0,636	0,5401	351,73	534,57	182,83
-60	0,4899	0,649	0,3179	360,23	539,46	179,23
-50	0,8190	0,663	0,1972	369,10	544,40	175,30
-40	1,3032	0,678	0,1279	378,40	549,26	170,86
-30	1,9866	0,693	0,08615	388,03	553,99	166,00
-20	2,9180	0,709	0,05989	397,95	558,60	160,64
-10	4,1493	0,7227	0,04276	408,17	562,99	154,82
0	5,7358	0,746	0,03122	418,67	567,10	148,42
10	7,7352	0,709	0,02320	429,35	570,82	141,47
20	10,2097	0,794	0,01749	440,20	574,09	133,89
30	13,2256	0,873	0,01331	451,16	576,73	125,56
40	16,8567	0,9	0,01018	462,34	578,53	116,22
50	21,1871	0,899	0,007766	473,69	579,097	105,38

$$F = \left[1 - e^{-A_1 \delta^2} \left(1 + \frac{A_7 \cdot \delta^2}{2} \right) \right] \cdot \frac{1}{A_7}$$

$$\delta = \frac{1,784}{v}$$

Entropia agentului în domeniul vaporilor supraîncălziți se determină cu relația:

$$s = (s_0 + R \cdot F_s) \cdot 4,185 \quad (6.63)$$

$$F_s = C_s + \ln \frac{v}{1000} + \left[\left(\frac{2 \cdot C_2}{\theta^3} + \frac{4 \cdot D_2}{\theta^3} - B_2 \right) \cdot \delta + \left(\frac{2 \cdot C_3}{\theta^3} - B_3 \right) \cdot \frac{\delta^2}{2} + 2 \cdot \left(\frac{A_s}{\theta^3} + \frac{2 \cdot A_5}{\theta^3} \right) \cdot F \right] \cdot \frac{1}{W_A} \quad (6.64)$$

$$C_s = \left[(A_{s1} - R) \ln T + A_{s2} \cdot T + \frac{A_{s3} \cdot T^2}{2} + \frac{A_{s4} \cdot T^3}{3} \right] \cdot \frac{1}{R}$$

$$W_A = 3,645823; R = 0,745 \left[\frac{k\bar{c}}{k_s \cdot k} \right]; h_0 = 543,284 \left[\frac{k\bar{c}}{k_s} \right]$$

$$S_0 = 0,67002 \left[\frac{k\bar{c}}{k_s \cdot k} \right]$$

$$\begin{aligned}
 A_1 &= 0 & A_6 &= 0.303679 & A_{11} &= 0.196576 \\
 A_2 &= -17.257233 & A_7 &= 0.46 & A_{12} &= 0.180517 \cdot 10^{-2} \\
 A_3 &= -1.416381 & A_8 &= 0 & A_{13} &= -0.855177 \cdot 10^{-6} \\
 A_4 &= 4.686822 & A_9 &= 0 & A_{14} &= -0.39338 \cdot 10^{-9} \\
 A_5 &= -0.158609 & A_{10} &= 0 & & \\
 B_2 &= 8.686893 & C_3 &= 7.165773 & D_3 &= 3.185786 \\
 B_3 &= 2.781855 & C_3 &= 0.868148 & &
 \end{aligned}$$

Pentru **domeniul** lichid **saturat** se folosesc următoarele relații:

$$\frac{1.784}{v'} = [1 + 1.0587(1 - \theta) + [1.8026 + 0.2(\alpha_k - 7)]] \cdot (1 - \theta)^{1.3} \quad (6.65)$$

$$h' = h'' - T(v'' - v') \cdot \frac{dp}{dT} \cdot \frac{1}{10} \quad (6.66)$$

$$s' = s'' - T(v'' - v') \cdot \frac{dp}{dT} \cdot \frac{1}{10} \quad (6.67)$$

unde:

$$\begin{aligned}
 \frac{dp}{dT} &= 0.7607 \cdot \frac{P}{353.31} \cdot [\ln \theta - 0.0838 \cdot (36 \cdot \theta^{-1} - 35 \cdot \theta^6 + 42 \cdot \ln \theta)] + \\
 &+ \frac{P}{353.31} \cdot [\alpha_k \cdot \theta^{-1} - 0.0838 \cdot (\alpha_k - 3.75) \cdot (35 \cdot \theta^{-2} - 6 \cdot \theta^5 + 42 \cdot \theta^{-1})]
 \end{aligned}$$

Tabelul 6. 10. Presiunea volumul specific și entropia freonului R 502

t °C	P x10 ⁻³ Pa	v x10 ³ m ³ /kg	v x10 ³ m ³ /kg	s' kJ/kg	s'' kJ/kg	r kJ/kg
-75	0,2028	0,630	0,7202	3,8861	4,8173	184,51
-70	0,2767	0,636	0,5401	3,9071	4,8068	182,83
-60	0,4899	0,649	0,3179	3,94,81	4,7888	179,23
-50	0,8190	0,663	0,1972	3,9896	4,7750	175,30
-40	1,3032	0,678	0,1279	4,0289	4,7616	170,86
-30	1,9866	0,693	0,08615	4,0687	4,7514	166,00
-20	2,9180	0,709	0,05989	4,1085	4,7432	160,64
-10	4,1493	0,727	0,04276	4,1482	4,7365	154,82
0	5,7358	0,746	0,03122	4,1867	4,7307	148,42
10	7,7352	0,709	0,02320	4,2248	4,7243	141,47
20	10,2097	0,794	0,01749	4,2613	4,7181	133,89
30	13,2256	0,823	0,01331	4,2977	4,7118	125,56
40	16,8567	0,861	0,01018	4,3329	4,7038	116,22
50	21,1871	0,899	0,007766	4,3672	4,6934	105,38

6.5.5 Proprietățile termodinamice ale freonului R 134a

Parametrii critici

	U.M.	Wilson/basu	I.C.I.	Hochst
p_k	$\frac{\text{KN}}{\text{m}^2}$	4067	4055	3220 *
T_k	K	374,25	374,15	379,25 *
ρ_k	Kg/m^3	512,2	491,5	490 *

* Valori calculate

Densitatea lichidului saturat (pe curba limită) se determină cu relația:

$$\frac{\rho'}{\rho_k} = 1 + D_1 \cdot (1 - \theta)^{\frac{1}{3}} + D_2 \cdot (1 - \theta)^{\frac{2}{3}} + D_3 \cdot (1 - \theta) + D_4 \cdot (1 - \theta)^{\frac{4}{3}} \quad (6.6S)$$

$$\text{unde: } \theta = \frac{T}{T_k}$$

$$D_1 = 2,102971; \quad D_2 = -0,8405061; \quad D_3 = 2,913414; \quad D_4 = -1,527264$$

Relația se aplică pentru domeniul de temperatură

$$243,2 \leq T \leq 338,1 [\text{K}]$$

Presiunea vaporilor saturați uscați se determină cu relația:

$$\ln p = A + \frac{B}{T} + C \cdot T + D \cdot T^2 + E \cdot (F - T) \cdot \frac{\ln(F - T)}{T} \quad (6.69)$$

$$T [\text{K}] ; \quad p \left[\frac{\text{KN}}{\text{m}^2} \right]$$

$$A = 19,95785; \quad B [\text{K}] = -3203,074; \quad C [\text{K}^1] = -118566,7 \cdot 10^{-7}$$

$$D [\text{K}^2] = 9341,86 \cdot 10^{-9}; \quad E [\text{K}] = -1561564 \cdot 10^{-12}; \quad F [\text{K}] = 374,9$$

Relația se folosește pentru domeniul de temperatură

$$218 \text{ K} \leq T \leq 358,2 \text{ K}$$

Ecuția caracteristică de stare este de forma:

$$\begin{aligned} p = & \frac{R \cdot T}{v - b} + \frac{A_1 + B_2 \cdot T + C_2 \cdot \exp(-K \cdot \theta)}{(v - b)^2} + \\ & + \frac{A_3 + B_3 \cdot T + C_3 \cdot \exp(-K \cdot \theta)}{(v - b)^3} + \frac{A_4}{(v - b)^4} + \\ & + \frac{A_5 + B_5 \cdot T + C_5 \cdot \exp(-K \cdot \theta)}{(v - b)^5} \end{aligned} \quad (6.70)$$

$$\text{unde: } \theta = \frac{T}{T_k}; \quad v \left[\frac{\text{m}^3}{\text{Kg}} \right]; \quad p \left[\frac{\text{KN}}{\text{m}^2} \right]$$

Relația este aplicată pentru:

$$72 \leq p \leq 3474 \left[\frac{\text{KN}}{\text{m}^2} \right]; \quad 3,72 \leq p \leq 232,49 \left[\frac{\text{Kg}}{\text{m}^3} \right];$$

$$247,9 \leq p \leq 368,2 \quad [\text{K}]$$

$$p_k = 4067 \left[\frac{\text{KN}}{\text{m}^2} \right]; \quad v_k = 0,00195236 \left[\frac{\text{Kg}}{\text{m}^3} \right]; \quad T_k = 374,25 \quad [\text{K}]$$

$$A_2 = 1,64517703 \cdot 10^{-1}$$

$$A_3 = -0,04911267 \cdot 10^{-4}$$

$$B_2 = -5,49575296 \cdot 10^{-4}$$

$$B_3 = 119,57514332 \cdot 10^{-7}$$

$$C_2 = -102,38565956 \cdot 10^{-1}$$

$$C_3 = 1646,72791180 \cdot 10^{-4}$$

$$A_4 = 2,33729897 \cdot 10^{-7}$$

$$A_5 = 7,94502058 \cdot 10^{-4}$$

$$R = 0,814817 \cdot 10^{-1} \left[\frac{\text{KJ}}{\text{Kg} \cdot \text{K}} \right]$$

$$B_5 = -19,84070682 \cdot 10^{-11}$$

$$C_5 = -152,65170509 \cdot 10^{-8}$$

$$b = 0,06496818 \cdot 10^0 \left[\frac{\text{m}^3}{\text{Kg}} \right]$$

Studiile experimentale pentru freonul R 134a prezintă următoarele rezultate:

Presiunea de vapori

Autori	Temperatura [K]	Presiunea [MN/m ²]
Wilson & Basu 1988	210 ÷ 370	0,01 ÷ 3,66
Kubota 1989	253 ÷ 373	0,13 ÷ 3,96
Weber 1989	313 ÷ 373	1,02 ÷ 3,97
Barocini și Giuliani 1990	243 ÷ 358	0,08 * 3

Ecuția caracteristică de stare (p, v, T)

Autori	Temperatura [K]	Presiunea [MN/m ²]	Volum specific [dm ³ /Kg]
Wilson & Basu 1988	317 ÷ 447	1,06 ÷ 6,67	1,92 ÷ 19,4
Weber 1989	321 ÷ 423	1,08 ÷ 3,97	1,63 ÷ 4,2
Piao 1989	310 ÷ 425	0,70 ÷ 12,0	0,87 ÷ 27,2
Barocini și Giuliani 1990	263 ÷ 358	0,20 ÷ 1,95	11,1 ÷ ill
Rubinski și Lavrencenco 1990	80 ÷ 400	0,05 ÷ 7	0,72306 ÷ 38

Pentru presiunea de vapori, Barocini și Giuliani propun ecuația:

$$\ln p = A + \frac{B}{T} + C \cdot T + D \cdot T^2 + \frac{E \cdot (F - T)}{1} \cdot \ln(F - T) \quad (6.71)$$

în care $p \left[\frac{\text{KN}}{\text{m}^2} \right]$; $T \text{ [K]}$

$$A = 24,8033988$$

$$B = -0,3980408 \cdot 10^4$$

$$C = -0,2405332 \cdot 10^{-1}$$

$$D = 0,2245211 \cdot 10^{-4}$$

$$E = -0,1995548$$

$$F = 0,3748473 \cdot 10^3$$

Barocini și Giuliani propun ecuația caracteristică:

$$p = \frac{R \cdot T}{(v-b)} + \frac{A_2 + B_2 \cdot T + C_2 \cdot e^{-K \cdot \theta}}{(v-b)^2} + \frac{A_3 + B_3 \cdot T + C_3 \cdot e^{-K \cdot \theta}}{(v-b)^3} + \frac{A_4}{(v-b)^4} + \frac{A_5 + B_5 \cdot T + C_5 \cdot e^{-K \cdot \theta}}{(v-b)^5} + \quad (6.72)$$

unde: $p \text{ [KN} \cdot \text{m}^{-2}\text{]}; T \text{ [K]}; v \text{ [m}^3 \cdot \text{Kg}^{-1}\text{]}; \theta = \frac{T}{T_k}; T_k = 374,25 \text{ [K]}$

$$b = 0,3455467 \cdot 10^{-6}$$

$$K = 5,475$$

$$A_2 = -0,1195051$$

$$B_1 = 0,8942552 \cdot 10^{-7}$$

$$C_1 = 0,6469248 \cdot 10^{-2}$$

$$A_4 = -1,049005 \cdot 10^{-7}$$

$$B_2 = 0,113759 \cdot 10^{-6}$$

$$A_5 = -6,953904 \cdot 10^{-12}$$

$$C_2 = -3,531592$$

$$B_3 = 1,269806 \cdot 10^{-13}$$

$$A_3 = 0,11447797 \cdot 10^{-3}$$

$$C_3 = -2,051369 \cdot 10^{-9}$$

$$R = 81,4881629 \cdot 10^4 \left[\frac{\text{KJ}}{\text{Kg} \cdot \text{K}} \right]$$

Tabelul 6.11. Proprietățile termodinamice ale freonului R 134a după Rubinski și Lavrencenco

t °C	P [bar]	ρ' Kg/m ³	P'' Kg/m ³	h' KJ/Kg	h'' KJ/Kg	r KJ/Kg	$\frac{S'}{\text{Kg} \cdot \text{K}}$	$\frac{S''}{\text{Kg} \cdot \text{K}}$
-30	0,81	1396,9	4,35	356,7	577,1	220,4	3,8423	4,7487
-20	1,29	1363,2	6,71	371,5	585,2	213,7	3,8983	4,7424
-15	1,60	1347,3	8,21	378,4	589,2	2110,8	3,9237	4,7403
-10	1,96	1331,3	9,97	385,4	593,2	207,8	3,9489	4,7386
-5	2,39	1315,2	12,02	392,6	597,2	204,6	3,9743	4,7372
0	2,89	1298,7	14,39	400	601,0	201	4	4,7358
5	3,46	1281,8	17,13	407,6	604,7	197	4,0261	4,7344

Tabelul 6.11(continuare)

10	4.12	1264,6	20,28	415,5	608,2	192,7	4,0523	4,7330
20	5,71	1228,4	27,96	431,5	614,7	183,2	4,1045	4,7295
30	7,72	1190,1	37,89	447,5	620,3	172,8	4,1551	4,7250
40	10,19	1149,0	50,64	463,3	624,9	161,6	4,203	4,719
50	13,21	1104,5	67,05	478,7	628,4	149,7	4,248	4,7114
60	16,84	1055,3	88,48	493,9	630,8	136,9	4,2907	4,7017
70	21,18	998,8	117,25	509,3	631,6	122,3	4,3328	4,6891
80	26,35	930,0	158,06	526,0	630,3	104,3	4,3768	4,6722
90	32,48	835,8	223,23	545,6	625,1	79,5	4,4273	4,6463
100	39,76	633,8	393,85	576,4	605	28,6	4,506	4,5825

Tensiunea superficială a freonului R 134a

$$\sigma = \sigma_0 \left(1 - \frac{T}{T_c} \right)^{1,22} \quad \sigma = 55,44 \left(1 - \frac{T}{374,3} \right)^{1,22}$$

T - temperatura; T_c - temperatura critică; $n = 1,22$; $T_c = 374,3[K]$;

$$\sigma_0 = 55,44 \left[\frac{mN}{m} \right]; \quad \sigma = 0,05544 \left(1 - \frac{T}{374,3} \right)^{1,22} \left[\frac{N}{m} \right]$$

Conductivitatea termică a freonului R 134a pentru lichid pe curba de saturație

T [K]	$\lambda \left[\frac{mW}{m \cdot K} \right]$
243,15	109
258,15	102
278,15	92,8
310,15	80,9
337,15	68,5
363,15	58,5

Tabelul 6.12. Conductivitatea termică a freonului R 134a pentru vapori pe curba de saturație

T [K]	p [MPa]	$\lambda \left[\frac{mW}{m \cdot K} \right]$
240,84	0,0048	8,778
240,84	0,0048	8,807

Tabelul 6.12.fcontinuare)

259,45	0,169	10,37
272,01	0,188	11,71
272,02	0,188	11,62
309,02	0,701	15,16
310,44	0,736	14,88
333,23	1,067	17,58
336,80	1,094	17,11
337,11	1,094	17,33
360,43	1,680	20,33
361,36	2,914	28,94
370,93	4,397	25,77
373,13	4,583	55,34

Pentru faza lichidă

$$\lambda_L = 210,7 - 0,42061 \cdot T; \left[\frac{\text{mW}}{\text{m} \cdot \text{K}} \right] \quad 240 < T \leq 363 \text{ [K]}$$

Pentru faza gazoasă

$$\lambda_G = -13,6162 + 0,09273 \cdot T; \left[\frac{\text{mW}}{\text{m} \cdot \text{K}} \right] \quad 240 < T < 361 \text{ [K]}$$

6.5.6, Proprietățile termodinamice ale freonului R408 A

Tabelul 6.13. Presiunea , densitatea și entalpia freonului R408 A

t °C	P x10 ⁻³ Pa	ρ' x10 ³ kg/m ³	ρ'' x10 ³ kg/m ³	h' kJ/kg	h'' kJ/kg	r kJ/kg
-50	0,7743	1309,7	3,598	139,9	369,6	229,6
-40	1,2389	1280,8	5,601	151,2	375,5	224,4
-30	1,9001	1251	8,392	162,7	381,4	218,7
-20	2,8092	1220,03	12,176	174,7	387,1	212,4
-10	4,0231	1188,3	17,201	187,1	392,6	205,5
0	5,6033	1154,9	23,769	200	397,8	197,8
10	7,6164	1119,5	32,265	213,5	402,5	189
20	10,1332	1081,7	43,9193	227,8	406,8	179,1
30	13,2292	1040,7	57,254	242,9	410,4	167,5
40	16,9844	995,4	75,478	259	413,1	154
50	21,4841	943,9	99,516	276,7	414,5	137,8

Tabelul 6.14. Presiunea, densitatea și entropia freonului R408 A

TC	$P \times 10^5$ Pa	$\rho' \times 10^3$ kg/m ³	$\rho'' \times 10^3$ kg/m ³	s' kJ/kg K	s'' kJ/kg K	r kJ/kg
-50	0.7743	1309.7	3.598	0.76	1.79	229.6
-40	1.2389	1280.8	5.601	0.809	1.772	224.4
-30	1.9001	1251	8.392	0.857	1.757	218.7
-20	2.8092	1220.03	12.176	0.905	1.745	212.4
-10	4.0231	1188.3	17.201	0.952	1.734	205.5
0	5.6033	1154.9	23.769	1	1.725	197.8
10	7.6164	1119.5	32.265	1.048	1.716	189
20	10.1332	1081.7	43.9193	1.096	1.708	179.1
30	13.2292	1040.7	57.254	1.146	1.699	167.5
40	16.9844	995.4	75.478	1.197	1.689	154
50	21.4841	943.9	99.516	1.251	1.677	137.8

6.5.7. Proprietățile termodinamice ale freonului R409 A

Tabelul 6.15. Presiunea, densitatea și entalpia freonului R409 A

TC	$P \times 10^5$ Pa	$\rho' \times 10^3$ kg/m ³	$\rho'' \times 10^3$ kg/m ³	h' kJ/kg	h'' kJ/kg	r kJ/kg
-50	0.4771	1448.6	1.596	147.2	372.3	225.1
-40	0.7811	1421.8	2.632	157.2	377.9	220.7
-30	1.2224	1394.2	4.142	167.5	383.6	218.4
-20	1.8396	1365.7	6.262	178	389.1	211.1
-10	2.6756	1336.3	9.165	188.8	394.7	205.8
0	3.7764	1305.8	13.032	200	400	200
10	5.1912	1273.9	18.094	211.5	405.2	193.7
20	6.9713	1240.5	24.626	223.5	410.2	186.7
30	9.1696	1205.2	32.974	235.9	414.8	178.9
40	11.8405	1167.6	43.585	248.9	419.1	170.1
50	15.0393	1127.1	57.057	262.6	422.8	160.1

Tabelul 6.16. Presiunea, densitatea și entropia freonului R409

TC	$P \times 10^5$ Pa	$\rho' \times 10^3$ kg/m ³	$\rho'' \times 10^3$ kg/m ³	s' kJ/kg K	s'' kJ/kg K	r kJ/kg
-50	0.7743	1309.7	3.598	0.788	1.819	229.6
-40	1.2389	1280.8	5.601	0.832	1.798	224.4
-30	1.9001	1251	8.392	0.875	1.781	218.7
-20	2.8092	1220.03	12.176	0.917	1.767	212.4
-10	4.0231	1188.3	17.201	0.959	1.755	205.5
0	5.6033	1154.9	23.769	1	1.745	197.8
10	7.6164	1119.5	32.265	1.041	1.736	189
20	10.1332	1080.7	43.9193	1.082	1.729	179.1
30	13.2292	1040.7	57.254	1.123	1.722	167.5
40	16.9844	995.4	75.478	1.164	1.715	154
50	21.4841	943.9	99.516	1.206	1.708	137.8

6.6. Funcționarea reală a instalațiilor frigorifice.

Coeficienți de lucru

6.6.1 Funcționarea reală a instalațiilor frigorifice cu compresie mecanică de vapori

Performanțele **compresorului** se definesc în principal prin două mărimi:

- debitul de vapori de agent frigorific aspirat;
- puterea consumată în vederea comprimării acestuia pe un interval de presiuni:

Compresorul real se caracterizează prin:

- existența unui spațiu vătămător ;
- pierderi cantitative volumetrice:
- pierderi cantitative energetice:
- abaterea comportării vaporilor de la legile gazelor perfecte:

6.6.1.1 Influența spațiului vătămător

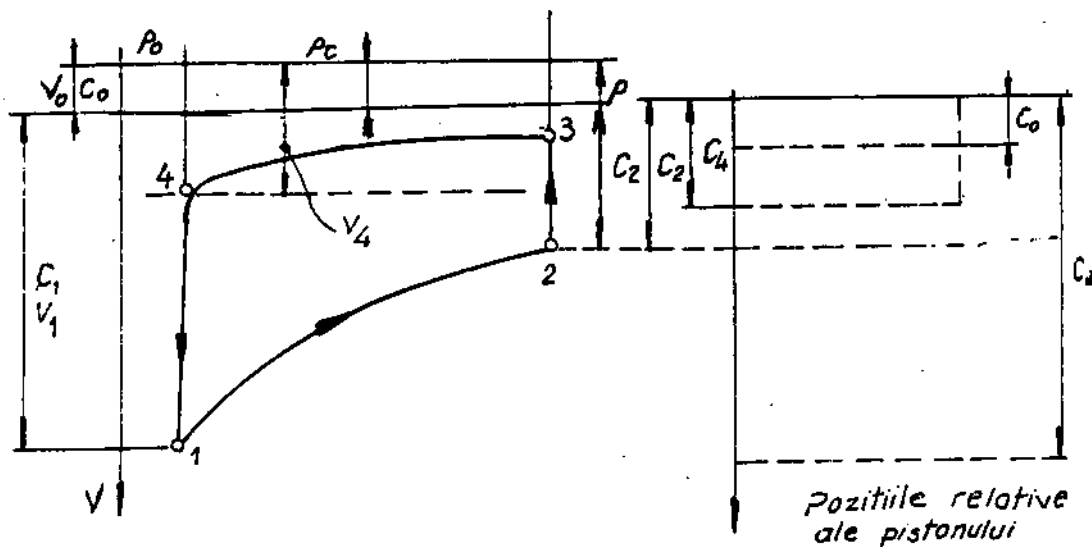


Fig. 6.2. Procesul de comprimare a unui gaz în compresorul cu spațiu vătămător.

$C_0 \equiv C_3$ volumul spațiului vătămător

C cilindree

C_2 volumul cilindrului la începutul admisiei agentului frigorific

C_1 volumul total al cilindrului

C_2 volumul cilindrului la începutul refulării agentului frigorific

Transformările **termodinamice** care compun ciclul sunt:

1 - 2 : comprimarea vaporilor

2 - 3 : refularea vaporilor ($p_0 \approx \text{const.}$)

3 - 4 : destinderea vaporilor din spațiul **vătămător**

4 - 1 : **aspirația** de vapor ($p_0 \cdot \text{const.}$)

Fie S - cursa pistonului; D - diametrul cilindrului

Rezultă:

$$C = \frac{\pi D^2}{4} \cdot S \quad \text{H} \quad \text{cilindreea:}$$

$$C_1 = C_0 + C \quad \text{H} \quad \text{volumul total al cilindrului;}$$

$$c_0 = \frac{C_0}{C} \quad \text{coeficientul relativ al spațiului vătămător;}$$

$$c_0 = \frac{V_0}{V_S} = \frac{V_{vm}}{V_S}$$

$$\text{deci: } V_0 = c_0 \cdot V_S \Rightarrow V_{vm} = c_{vm} \cdot V_S$$

Tabelul 6.17. Parametrii agentului în vârfurile ciclului de funcționare

Starea	Presiunea [N/m ²]	Volumul H	Temperatura [K]
1	P_0	$V_1 = V_S(1 + c_{vm})$	$T_1 = T_0$
2	P_C	$V_2 = V_S(1 + c_{vm}) \cdot \left(\frac{P_0}{P_C}\right)^{\frac{1}{m}}$	$T_0 \cdot \left(\frac{P_C}{P_0}\right)^{\frac{m-1}{m}}$
3	P_C	$V_3 = V_{vm} = c_{vm} \cdot V_S$	$\frac{c_{vm}}{1 + c_{vm}} T_0 \frac{P_C}{P_0}$
4	P_0	$V_4 = c_{vm} \cdot V_S \cdot \left(\frac{P_C}{P_0}\right)^{\frac{1}{m}}$	

Obs. Deschiderea și închiderea supapelor (clapeților) se face datorită diferenței de presiune (Δp) dintre cilindrul compresorului și colectorul de **admisie** și, respectiv, de evacuare.

Fie m - exponentul **politropic** de comprimare.

(1 - 2) Evoluție **politropică**

$$P_2 V_2^m = P_1 V_1^m \quad (6.73)$$

în care:

$$P_C V_2^m = P_0 V_1^m$$

$$(6.74) \quad \text{și}$$

$$V_2 = V_1 \cdot \left(\frac{P_0}{P_C}\right)^{\frac{1}{m}} \quad (6.75)$$

sau

$$V_2 = (V_0 + V_s) \cdot \left(\frac{p_0}{p_c} \right)^{\frac{1}{m}} \quad (6.76) \quad ; \quad V_2 = (V_s \cdot c_0 + V_s) \cdot \left(\frac{p_0}{p_c} \right)^{\frac{1}{m}} \quad (6.77)$$

$$V_2 = V_s (1 + c_0) \cdot \left(\frac{p_0}{p_c} \right)^{\frac{1}{m}} \quad (6.78) \quad ; \quad T_2 V_2^{m-1} = T_1 V_1^{m-1} \quad (6.79)$$

$$\frac{T_2}{p_2^{\frac{m-1}{m}}} = \frac{T_1}{p_1^{\frac{m-1}{m}}} \quad (6.80) \quad ; \quad T_2 = T_1 \cdot \left(\frac{p_c}{p_0} \right)^{\frac{m-1}{m}} \quad (6.81)$$

Pentru starea 3

$$p_3 = p_c; \quad V_3 = V_{vm} = V_s \cdot c_{vm}; \quad \frac{V_3}{T_3} = \frac{V_2}{T_2} = \text{const.} \quad (6.90)$$

$$T_3 = T_2 \cdot \frac{V_3}{V_2} \quad T_3 = T_2 \cdot \frac{V_{vm}}{V_s (1 + c_0) \left(\frac{p_0}{p_c} \right)^{\frac{1}{m}}}$$

$$\text{Rezultă} \quad T_3 = \frac{c_{vm}}{1 + c_{vm}} \cdot T_0 \cdot \frac{p_c}{p_0} \quad (6.91)$$

Pentru starea 4, $p_4 = p_0$

(3 - 4) Evoluție politropică de destindere

$$p_4 V_4^{m_4} = p_3 V_3^{m_4} \quad (6.92) \quad ; \quad V_4 = V_3 \cdot \left(\frac{p_3}{p_4} \right)^{\frac{1}{m_4}} \quad (6.93)$$

$$V_4 = V_{vm} \cdot \left(\frac{p_c}{p_0} \right)^{\frac{1}{m_4}} \quad (6.94) \quad ; \quad V_4 = V_{sm} \cdot c_{vm} \cdot \left(\frac{p_c}{p_0} \right)^{\frac{1}{m_4}} \quad (6.95)$$

$$\text{Dacă } m_4 = m \quad V_4 = V_s \cdot c_{vm} \cdot \left(\frac{p_c}{p_0} \right)^{\frac{1}{m}} \quad (6.96)$$

De la starea 4 la starea 1 are loc aspirația propriu-zisă de agent frigorific vapori:
Deci volumul aspirat:

$$V_{asp} = V_1 - V_4 \quad (6.97)$$

$$V_{asp} = V_s (1 + c_{vm}) - V_s \cdot c_{vm} \cdot \left(\frac{p_c}{p_0} \right)^{\frac{1}{m}} \quad V_{asp} = V_s \left[(1 + c_{vm}) - c_{vm} \cdot \left(\frac{p_c}{p_0} \right)^{\frac{1}{m}} \right] \quad (6.98)$$

$$\lambda_v = \frac{V_{asp}}{V_s} = 1 + c_{vm} - c_{vm} \cdot \left(\frac{p_c}{p_0} \right)^{\frac{1}{m}} \quad \lambda_v = 1 + c_{vm} \left[1 - \left(\frac{p_c}{p_0} \right)^{\frac{1}{m}} \right] \quad (6.99)$$

$$\lambda_v = 1 - c_{vm} \left[\left(\frac{p_c}{p_0} \right)^{\frac{1}{m}} - 1 \right] \quad (6.100)$$

$$C_{vm} = 0,01; \quad m = 1,1 \Rightarrow \lambda_v = 1 - 0,01 \left[\left(\frac{p_c}{p_0} \right)^{\frac{1}{1,1}} - 1 \right]$$

Pc/Po	1	2	3	4	5	6	7	8	9	10
λ_v	1	0,99122	0,98255	0,97473	0,9668	0,9590	0,95135	0,043779	0,93629	0,92888

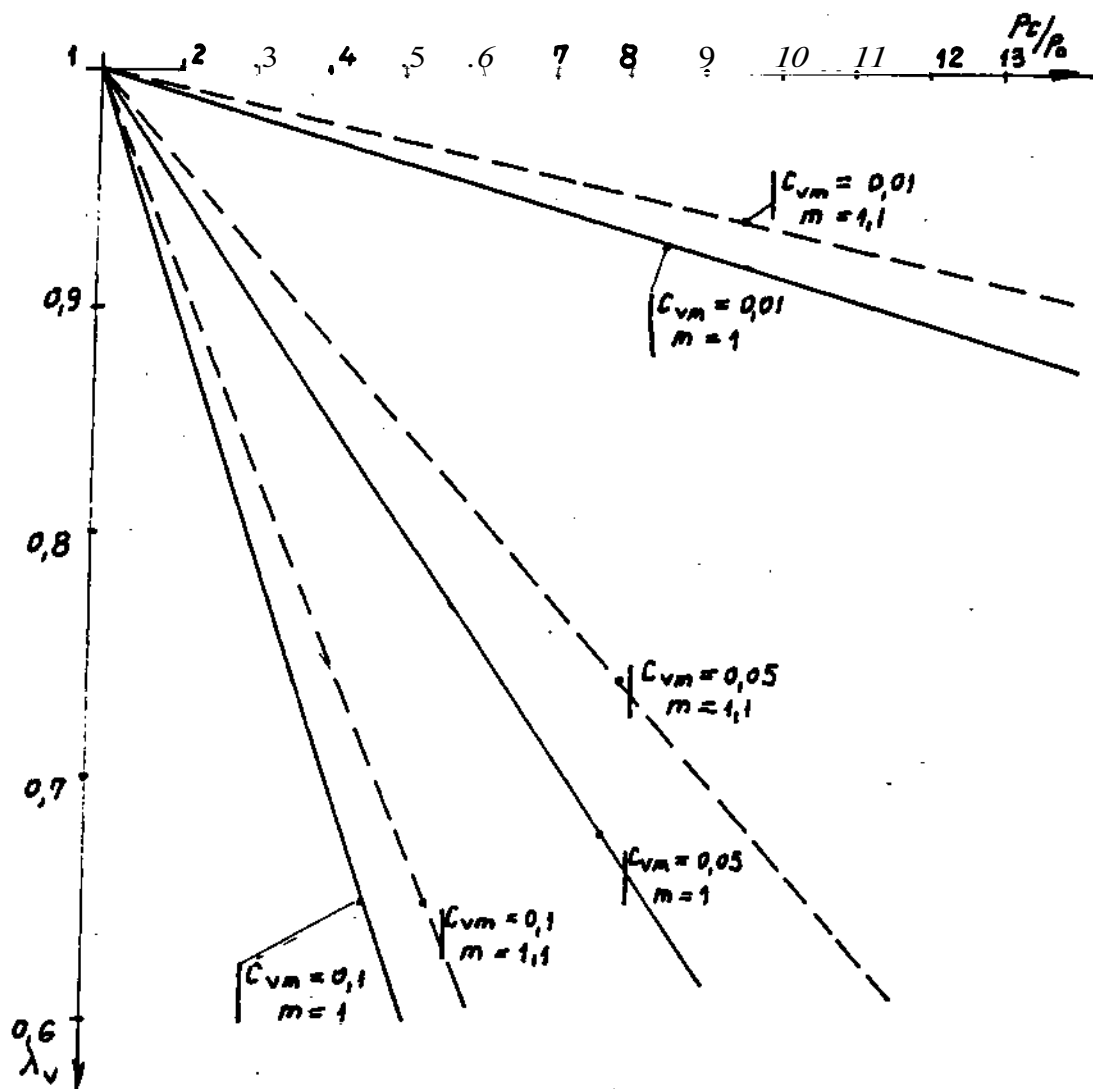
$$C_{vm} = 0,05; \quad m = 1,1 \Rightarrow \lambda_v = 1 - 0,05 \left[\left(\frac{p_c}{p_0} \right)^{\frac{1}{1,1}} - 1 \right]$$

$$C_{vm} = 0,1; \quad m = 1,1 \Rightarrow \lambda_v = 1 - 0,1 \left[\left(\frac{p_c}{p_0} \right)^{\frac{1}{1,1}} - 1 \right]$$

$$C_{vm} = 0,01; \quad m = 1 \Rightarrow \lambda_v = 1 - 0,01 \left[\left(\frac{p_c}{p_0} \right)^1 - 1 \right]$$

$$C_{vm} = 0,05; \quad m = 1 \Rightarrow \lambda_v = 1 - 0,05 \left[\left(\frac{p_c}{p_0} \right)^1 - 1 \right]$$

$$C_{vm} = 0,1; \quad m = 1 \Rightarrow \lambda_v = 1 - 0,1 \left[\left(\frac{p_c}{p_0} \right)^1 - 1 \right]$$

Fig. 6.3 Diagrama de determinare a lui λ_v funcție de p/p_0 .

6.6.1.2 Influența laminării vaporilor prin supape

Laminarea prin supape reprezintă procesul de reducere a presiunii vaporilor la trecerea prin supape.

p_0 - presiunea vaporilor în conducta de aspirație;

p'_0 - presiunea în cilindru:

$$\Delta p_s = p_0 - p'_0 \quad (6.101)$$

Această diferență de presiune trebuie să acopere următoarele rezistențe hidraulice:

$$\Delta p_s = \Delta p_1 + \Delta p_2 + \Delta p_3 + \Delta p_4 \quad (6.102)$$

Δp_1 -rezistența hidraulică în canalele racordurilor și supapelor de aspirație;

Δp_2 - rezistența hidraulică dată de inerția masei de vaporii ce curge în cilindru;

Δp_3 - rezistența hidraulică necesară învingerii forței elastice a resortului supapei;

Δp_4 - rezistența hidraulică necesară învingerii inerției maselor mobile ale supapei la deschidere.

Observație

În supapele de evacuare sunt pierderi de sarcină **similare**, care necesită o **suprapresiune** a vaporilor, la refulare din compresor față de presiunea în condensator:

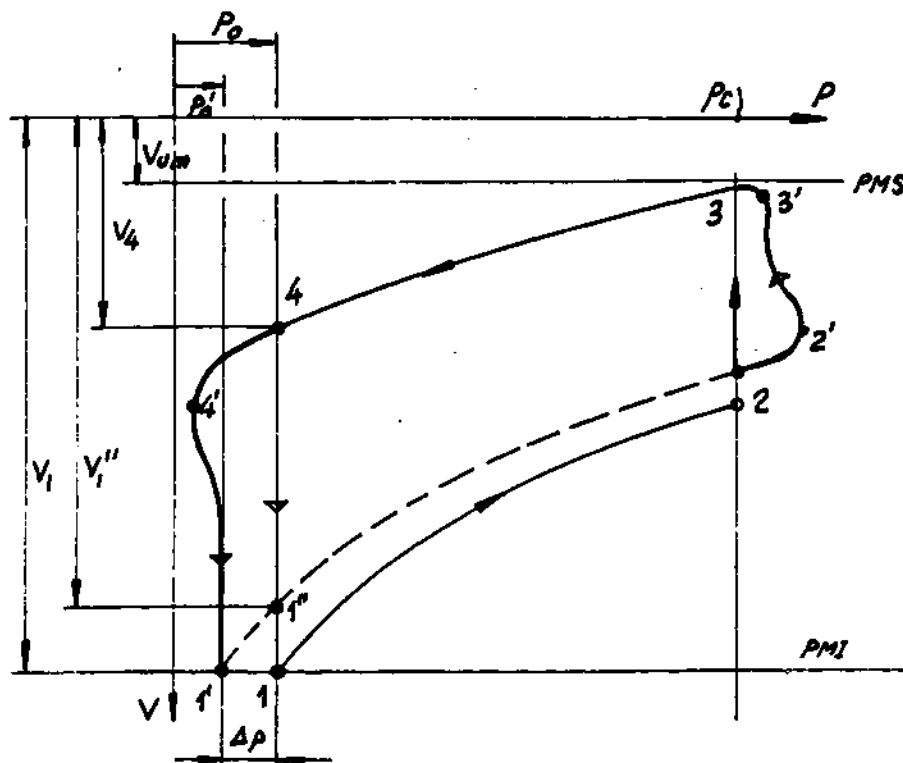


Fig. 6.4. Procesul de comprimare a unui gaz în compresorul cu spațiu vătămător, cu laminarea în supape.

$$I'_{asp} = I'_1 - I'_4 \quad (6.103)$$

iar în cazul în care nu se ține seama de laminare:

$$I_{asp} = I_1 - I_4 \quad (6.104)$$

$$V_{asp} = V_1' - V_2'$$

Notăm:

$$\lambda_I = \frac{V_{asp}'}{V_1'} \quad (6.105)$$

Coeficientul de laminare, care se determină ținând **cont** de faptul că evoluția (IM") este considerată izotermă:

$$V_1' \cdot p_0' = V_1'' \cdot p_0 \quad (6.106) \quad V_1'' = V_1' \cdot \frac{p_0'}{p_0} \quad (6.107)$$

$$V_1' = V_s' (1 + \alpha) \quad V_1'' = V_s' \cdot (1 + c_{vm}) \cdot \frac{p_0'}{p_0} \quad (6.108)$$

$$\lambda_I = \frac{V_s' \cdot (1 + c_{vm}) \cdot \frac{p_0'}{p_0} - V_s' \cdot c_{vm} \left(\frac{p_c}{p_0}\right)^{\frac{1}{m}}}{V_s' \cdot (1 + c_{vm}) - V_s' \cdot c_{vm} \left(\frac{p_c}{p_0}\right)^{\frac{1}{m}}} \Rightarrow \ln[4] \quad \lambda_I = \frac{p_0'}{p_0} \cdot \Delta H \quad (6.109)$$

Cum $p_0' < p_0$, rezultă:

$$(1 + c_{vm}) \cdot \frac{p_0'}{p_0} - c_{vm} \left(\frac{p_c}{p_0}\right)^{\frac{1}{m}} < (1 + c_{vm}) - c_{vm} \left(\frac{p_c}{p_0}\right)^{\frac{1}{m}}$$

Deci: $\lambda_I < 1 \quad \Delta H$

Pierderile prin **laminare** sunt mai **mari** la agenții frigorifici cu masă moleculară mai mare, **că** este cazul **freonilor**, în **comparație** cu amoniacul.

	$\frac{p_0 - p_0'}{p_0}$
R-717	100
R-12	711
R-22	478

Cu creșterea temperaturii vaporilor la aspirație scad pierderile prin laminare

Determinările s-au făcut la același compresor și în **aceleași** condiții **funcționale**:

Consecință:

Dimensionarea mai largă a supapelor la **compresoarele** pentru **freoni**.

Literatura rusă de specialitate recomandă pentru temperaturi de **vaporizare** până la -30°

C, valori

$$\lambda = 0.93 \dots 0.97$$

Observație

Coefficienții λ_v și λ_i se pot stabili cu ajutorul diagramei indicate trasată pentru **fiecare compresor** la bancul de încercare și sunt prezentați sub forma:

$$\lambda_i = \lambda_{i1} \cdot \lambda_{i2} \quad (6.110)$$

numit *randament volumetric* sau *coeficient indicat al aspirației*.

$$\lambda_v = f \left(c_{vm}; \frac{p_c}{p_0}; \text{natura agentului, ...} \right)$$

6.7. Analiza exergetică a proceselor din compresorul frigorific cu piston.

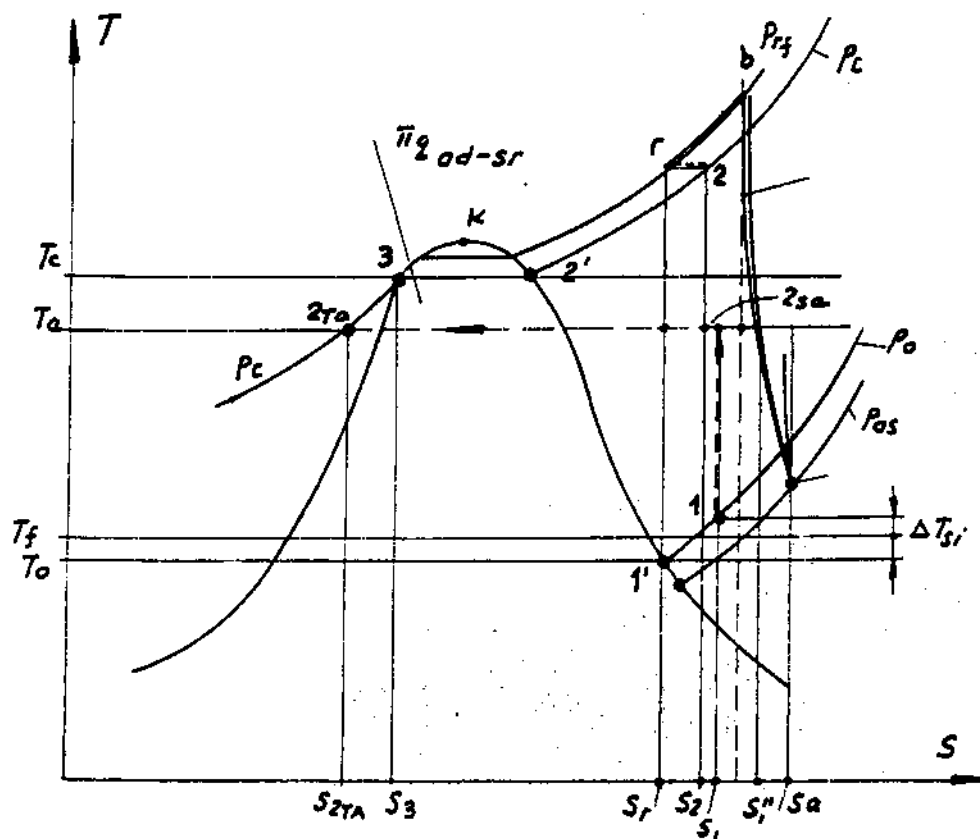


Fig. 6.5. Schema de precizare în diagrama T - S, a evoluției unui Kg de agent prin cilindrul compresorului frigorific cu piston și a pierderilor cauzate de ireversibilitate.

Etapele evoluției:

(1 - D: laminarea vaporilor în supapa de aspirație care determină scăderea presiunii de la p_0 la p_{a1} ;

$$p_{as} = p_0 - \Delta p_s$$

- (1" - a): definește **încălzirea izobară** la p_{as} a vaporilor în procesul de aspirație datorită căldurii preluată de la pereți precum și ca **urmare a influenței** gazului destins din spațiul mort;
- (a - c): comprimarea **politropică** de exponent $1 < n_c < k$ de la p_{as} la p_r în care agentul **cedează global**, căldură pereților **cilindrului**;
- (b - r): caracterizează **răcirea izobară** la p_r a agentului în procesul de refulare;
- (r - 2): laminarea vaporilor în supapa de refulare însoțită de scăderea presiunii de la p_r la p_c cu Δp_r ;

Procesul ideal de **referință**, pentru evoluția prezentată anterior comportă două etape:

- (1 - 2_u): comprimare **izotropică** la care temperatura crește de la T_1 până la cea a mediului ambiant T_a ;
- (2_u - 2_τ): comprimare **izotermică** la temperatura T_a până la presiunea de condensare p_c ; starea finală 2_τ se **afă** în domeniul lichid la parametrii $(p_c; T_a)$.

Ecuția generală:

$$\sum e_q = \Delta e + \Delta l_t + \sum \pi_{ir}^{int} \quad (6.111)$$

aplicată între secțiunea 1 din **amonte**le compresorului și secțiunea 2 din avalul acestuia:

Rezultă:

$$e_{qa} + e_{qc} + v = e_2 - e_1 + \pi_{ls} + \pi_{lr} \quad (6.112)$$

în care:

- e_{qa} - energia căldurii schimbată de agent în procesul de **aspirație**;
- e_{qc} - energia căldurii schimbată de agent în procesul de comprimare;
- e_{qr} - energia căldurii schimbată de agent în procesul de refulare;
- $e, - e_1$ - creșterea exergiei agentului în compresor;
- l_c - lucru mecanic tehnic de comprimare;
- π_{ls} - pierderi provocate de ireversibilitatea procesului de laminare în aspirație;
- π_{lr} - pierderi provocate de ireversibilitatea procesului de laminare în refulare;

Considerând că agentul se comportă ca un gaz perfect și observând că $l_c < 0$ se constată că relația (6.112) poate fi scrisă sub forma:

$$|l_c| = e_2 - e_1 - (e_{qa} + e_{qc} + e_{qr}) + \pi_{ls} + \pi_{lr} \quad (6.113)$$

în care:

$$\begin{aligned} -e_{qa} &= (q_a - T_a \cdot \Delta s_{qa}) = T_a \cdot \Delta s_{qa} - q_a = |e_{qa}| = \\ &= T_a \cdot c_p \ln \frac{T_{as}}{T_1} - c_p \cdot (T_{as} - T_1) = \pi_{qa} \end{aligned} \quad (6.114)$$

reprezintă pierderea de exergie datorită încălzirii vaporilor în procesul de aspirație.

$$\begin{aligned} -e_{qc} &= -(q_c - T_a \cdot \Delta s_{qc}) = |q_c| - T_a \cdot |\Delta s_{qc}| = |e_{qc}| = \\ &= |c_{nc}| \cdot (T_c - T_{as}) - T_a |c_{nc}| \ln \frac{T_c}{T_{as}} = \pi_{qc} \end{aligned} \quad (6.115)$$

precizează pierderea de exergie cu căldura evacuată în procesul de comprimare în care.

$c_{nc} = c_v \frac{n_c - k}{n_c - 1} < 0$ reprezintă căldura specifică **politropică** a comprimării:

$$\begin{aligned} -e_{qr} &= -(q_r - T_a \cdot \Delta s_{qr}) = |q_r| - T_a \cdot |\Delta s_{qr}| = |e_{qr}| = \\ &= c_p \cdot (T_b - T_r) - T_a \cdot c_p \cdot \ln \frac{T_b}{T_r} = \pi_{qr} \end{aligned} \quad (6.116)$$

definește pierderea de exergie cu căldura cedată în refulare:

$$\begin{aligned} \pi_{la} &= T_a \cdot \Delta s_{la} = T_a \cdot (S_{1''} - S_1) = R \cdot T_a \cdot \ln \frac{p_0}{p_{as}} = \\ &= R \cdot T_a \cdot \ln \frac{1}{1 - \psi_a} \approx R \cdot T_a \cdot \psi_a \end{aligned} \quad (6.117)$$

reprezintă pierderea datorată **ireversibilității** interne a procesului de laminare în supapa de aspirație:

$$\begin{aligned} \pi_{lr} &= T_a \cdot \Delta s_{lr} = T_a \cdot (S_2 - S_r) = R \cdot T_a \cdot \ln \frac{p_{rf}}{p_c} = \\ &= R \cdot T_a \cdot \ln \frac{1}{1 - \psi_c} \approx R \cdot T_a \cdot \psi_c \end{aligned} \quad (6.118)$$

reprezintă pierderea **datorată ireversibilității** interne a procesului de laminare în supapa de refulare:

$$\text{Rezultă:} \quad |l_c| = e_2 - e_1 + \pi_{qa} + \pi_{qc} + \pi_{qr} + \pi_{la} + \pi_r, \quad (6.119)$$

Determinarea lucrului mecanic de comprimare:

$$\begin{aligned} |l_c| &= c_p (T_{rf} - T_{as}) & |l_c| &= \frac{n_c}{n_c - 1} R \cdot T_{as} \left[\left(\frac{p_{rf}}{p_{as}} \right)^{\frac{n_c - 1}{n_c}} - 1 \right] \\ T_{rf} &= T_{as} \cdot \left(\frac{p_{rf}}{p_{as}} \right)^{\frac{n_c - 1}{n_c}} \\ c_p &= \frac{n_c}{n_c - 1} R & |l_c| &= \frac{n_c}{n_c - 1} R \cdot T_{as} \left[H_c^{\frac{n_c - 1}{n_c}} - 1 \right] \\ |l_c| &= \frac{n_c}{n_c - 1} R \cdot T_{as} \left[\left(\frac{H}{\psi} \right)^{\frac{n_c - 1}{n_c}} - 1 \right] \end{aligned} \quad (6.120)$$

$$|l_c| = \frac{n_c}{n_c - 1} R \cdot \frac{T_{as}}{T_l} \cdot T_l \cdot \left[\left(\frac{H}{\psi} \right)^{\frac{n_c - 1}{n_c}} - 1 \right] \quad (6.121)$$

unde:

$$\frac{T_{as}}{T_1} = \theta_a \cdot \frac{1 - \varepsilon_0 \left[\theta_r \cdot \left(\frac{H}{\psi} \right)^{\frac{1}{n_r}} - 1 \right]}{1 - \varepsilon_0 \left[\theta_a \cdot \left(\frac{H}{\psi} \right)^{\frac{1}{n_r}} - 1 \right]}$$

Se dezvoltă diferența:

$$e_2 - e_1 = (e_2 - e_{2Ta}) + (e_{2Ta} - e_{2sa}) + (e_{2sa} - e_1)$$

în care:

$$e_{2sa} - e_1 = i_{2sa} - i_1 - T_a (s_{2sa} - s_1) = i_{2sa} - i_1 = |i_{1-2sa}|$$

reprezintă valoarea absolută a lucrului mecanic tehnic specific izentropic de comprimare în etapa 1 - 2_{sa}:

$$e_{2Ta} - e_{2sa} = i_{2Ta} - i_{2sa} - T_a (s_{2Ta} - s_{2sa}) = |i_{2sa-2Ta}|$$

definește valoarea absolută a lucrului mecanic specific izotermic de comprimare în etapa 2_{Ta} - 2_{sa}:

$$e_2 - e_{2Ta} = i_2 - i_{2Ta} - T_a (s_2 - s_{2Ta}) = q_{cd-sr} - T_a \cdot \left| \frac{\Delta s_{q_{cd-sr}}}{T_a} \right| = e_{q_{cd-sr}} = \pi_{q_{cd-sr}}$$

caracterizează energia căldurii care ar trebui cedată de către vaporii refuși de compresor într-un proces de condensare - subrăcire, 2 - 2' - 3 - 2_{Ta} până la atingerea temperaturii T_a a mediului ambiant;

Ecuatia de bilanț energetic a compresorului frigorific cu piston devine:

$$|l_c| = |l_{min}| + \pi_{qa} + \pi_{rl} + \pi_{cd-sr} + \pi_{ls} + \pi_{lr} \quad (6.122)$$

unde:

$$|l_{min}| = |i_{4-2sa}| + |i_{2sa-2Ta}| = T_a (s_{a1} - s_{2Ta}) = (i_1 - i_{2Ta}) \quad (6.123)$$

reprezintă consumul minim de lucru mecanic necesar pentru aducerea agentului din starea 1 în starea 2_{Ta} de lichid subrăcit la temperatura T_a :

Notăm:

$$\sum \pi_i = \pi_{ls} + \pi_{lr}$$

suma pierderilor datorate ireversibilităților interne,

$$\sum \pi_e = \pi_{qa} + \pi_{qc} + \pi_{q_{cd-sr}}$$

suma pierderilor datorate ireversibilităților externe.

Ecuatia (6.122) devine:

$$|l_c| = |l_{min}| + \sum \pi_i + \sum \pi_e = |l_{min}| + \sum \pi_{i,e} \quad (6.124)$$

Pe această bază se definește randamentul exergetic al compresorului frigorific cu piston:

$$\eta_{Ec} = \frac{|l_{min}|}{|l_c|} = 1 - \frac{\sum \pi_{i,e}}{|l_c|} = 1 - \sum \bar{\pi}_{i,e} \quad (6.125)$$

6. 8. Exploatarea instalațiilor frigorifice

6.8.1. Vaporizatoare

Vaporizatoarele sunt schimbătoare de căldură care nu necesita o întreținere deosebită. Defecțiunile ce pot apare în timpul exploatarei pot **fi remediate cu ușurință**. Întreținerea **vaporizatoarelor** constă în: **îndepărtarea** depunerilor de gheață sau de zăpadă de pe suprafața **vaporizatorului** și asigurarea circulației corecte a agentului răcit (**aer**) peste suprafața de schimb de **căldură**

Brumarea și efectele ei

Vaporii de apă din aer condensează pe suprafețele reci ale vaporizatorului ai căror temperatură este egală sau mai mică decât temperatura punctului de **rouă**. (temperatura **punctului** de rouă este temperatura la care aerul **umed** răcit devine saturat, adică are umiditatea relativă egală cu 100%).

Dacă temperatura scade sub 0°C umiditatea condensată va congela. Se va produce un proces de condensare și **solidificare** continuă sub formă de brumă și creșterea stratului de brumă pe suprafețele **vaporizatorilor**. Influenta depunerii de brumă **asupra** fluxului termic schimbat de **vaporizatoare** poate fi urmărită în figura 6.6. Din analiza curbei prezentate rezultă că **inițial**, datorită suprafeței mari a cristalelor de gheață **puterea** frigorifică a vaporizatorului crește. Odată cu creșterea grosimii stratului de brumă **puterea** frigorifică scade **simțitor**.

Principalele efecte ale depunerii brumei pe suprafața vaporizatorului sunt:

- Reducerea temperaturii de **vaporizare** a agentului frigorific;
- Ridicarea umidității relative a spațiului răcit.

Diferența de temperatură între spațiul rece și suprafața exterioară a brumei de pe **vaporizator** scade treptat având ca rezultat modificarea condițiilor de conservare a produselor depozitate. Pentru evitarea acestor efecte se impune decongelarea periodică a suprafețelor vaporizatorilor.

Decongelarea suprafeței vaporizatoarelor

Procedee externe - topirea brumei începe de la exteriorul stratului de brumă.

Procedee interne - topirea brumei începe de la suprafața brumei în contact cu țevile vaporizatorului.

Decongelare prin procedee externe

- oprirea instalației și încălzirea naturală a vaporizatoarelor;
 - stropirea sau pulverizarea cu apă fig. 6.7;
 - cu **ajutorul aerului** cald exterior fig. 6.8;
 - prin încălzirea electrică a aerului care circulă peste vaporizator fig. 6.9;
- e) Decongelarea prin procedee interne**
- încălzirea vaporizatoarelor cu rezistențe electrice fig. 6.10;
 - introducerea gazelor calde de la refularea compresorului fig. 6.11;
 - prin inversarea ciclului fig. 6.12.

Decongelarea prin folosirea gazelor calde de la refularea compresorului.

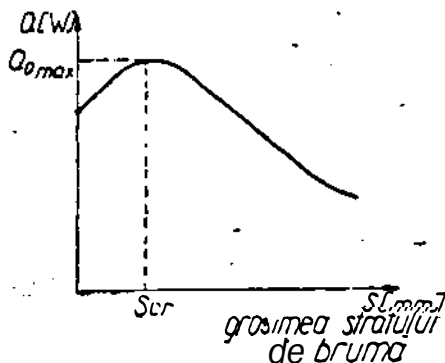


Fig. 6. 6. **Influența** depunerii de brumă asupra puterii termice a vaporizatorului

Pentru topirea brumei de pe **vaporizator** se folosește energia termică cedată de agentul frigorific la condensare. Principala **problemă** care apare este readucerea în stare de vapori a agentului frigorific condensat pentru a putea fi **aspirat**. În **fig. 6.13** este prezentată schema pentru utilizarea acestei metode. **Gazele** calde refulate direct în **vaporizatori** prin deschiderea unui ventil electromagnetic, condensează topind bruma. Agentul frigorific lichid va fi laminat în ventilul de reglare și apoi **vaporizat** în **vaporizatorul auxiliar**. În timpul decongelării un ventil electromagnetic închide conducta principală de aspirație.

Decongelarea prin inversare de ciclu

Procedeul constă în inversarea ciclului frigorific cu ajutorul unui ventil cu patru treceri **fig. 6.12**.

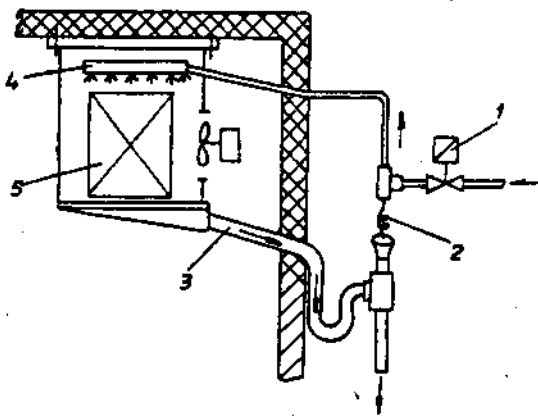


Fig. 6.7. Decongelarea vaporizatorului

prin pulverizarea apei

- 1- ventil electromagnetic pe circuitul de apă;
2- țeava de scurgere; 3- racord de scurgere;
4- pulverizator; 5- vaporizator.

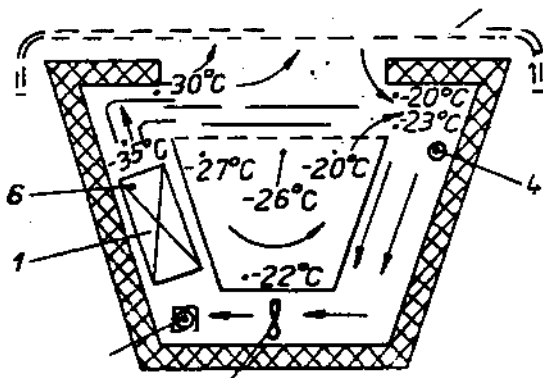


Fig. 6.9. Decongelarea vaporizatorului

încălzirea acruului cu rezistențe electrice
/- vaporizator; 2- rezistență electrică în rub; 3- ven-
tilator; 4- bulbul termostatic; 5- capac; 6- bulbul
termosensibil de oprire a decongelării

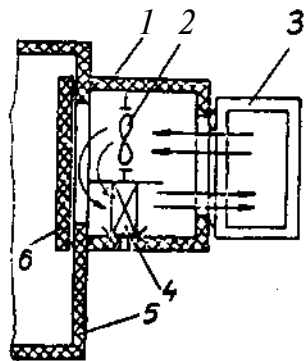


Fig. 6.3. Decongelarea vaporizatorului

prin circulația forțată de aer

- /- carcasa vaporizatorului; 2 - ventilator;
3- ușă de legătură cu exteriorul; 4- vapor-
izator; 5- izolație termică; 6- ușă de legă-
tură cu spațiul răcii.

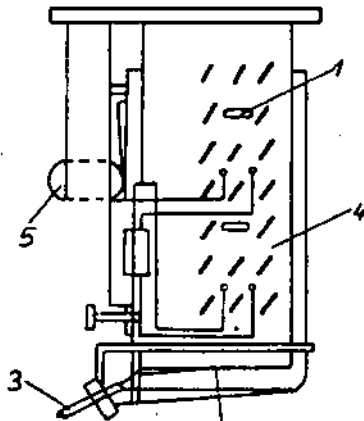


Fig. 6.10. Decongelarea vaporizatorului prin

cu rezistențe electrice

- /- rezistență de vaporizator. 2- rezistență din
tavă; 3- rezistență pe ștuțul de curgere;
4- vaporizator, 5- ventilator.

Comutarea de pe circuitul de răcire pe cel de **decongelare** este comandat automat. La comanda de inversarea ciclului vaporii supraîncălziți sunt refuși în **vaporizator** unde se condensează cedând căldură stratului de brumă care începe să se topească. Condensul se scurge în rezervorul de lichid printr-un ventil de reținere, montat în paralel cu **ventilul** de reglare. **Lichidul** este trimis spre condensator **printr-un** ventil de reglare. Procesul de funcționare în ciclul inversat continuă până ce stratul de brumă s-a topit de pe vaporizator. Un **termostat** al cărui bulb se află între aripioarele **vaporizatorului** comandă comutarea **ventilului inversor** pe ciclul de răcire.

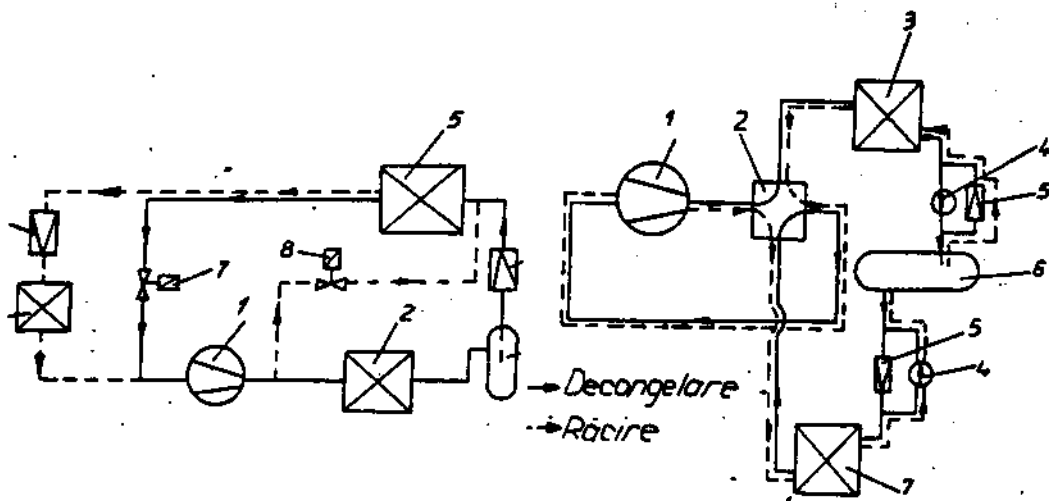


Fig. 6.11. Decongelarea cu gaze calde folosind un vaporizator auxiliar
1- compresor; 2- condensator; 3- rezervor; 4-ventil de reglare; 5- vaporizator; 6- vaporizator auxiliar; 7- ventilul electromagnetic pe aspirație; 8- ventilul electromagnetic pe refulare.

Fig. 6.12. Decongelare prin inversare de ciclu
1- compresor; 2- ventil inversor cu patru treceri; 3- rezervor; 4- ventil de reținere; 5- ventil de reglare; 6- rezervor; 7- condensator.

6.8.2. Defecțiuni ce pot apare în exploatarea instalațiilor frigorifice

Tabelul 6.18. Defecțiuni ale compresoarelor. Cauze. Mod de remediere

Defecțiunea	Cauze	Mod de remediere
Zgomot puternic în timpul funcționării compresorului	Biela este ruptă	Se demontează compresorul; se verifică toate piesele componente; se înlocuiește biela.
	Bolțul unui piston ieșit din locașul său	Se demontează compresorul; se verifică pistonul și bolțul.
	Cămașa de cilindru deplasată	Se va rigidiza cămașa în limita cotelor prevăzute
	Supape sparte	Se înlocuiesc supapele
	Lagăr deplasat în locașul său	Se va schimba lagărul uzat
	Segmenti rupți	Se vor schimba segmentii
	Contragreutate ruptă sau nefixată pe arbore	Se fixează sau se schimbă contragreutatea
	Pistonul lovește placa cu supape	Se va regla jocul ambielajului

Tabelul 6. 18(continuare)

încălzire excesivă în locurile unde sunt suprafețe în mișcare	Lipsa uleiului de ungere sau defectarea dispozitivului de realizare a presiunii de ulei; Supapele nu închid perfect ; Supapele sunt sparte.	Se completează uleiul până la nivelul indicat; se repară dispozitivul de realizare a presiunii de ulei; Se rectifică plan scaunul supapei; Se înlocuiesc supapele .
Vibrații puternice în timpul funcționării	Mecanismul bielă- manivelă nu este echilibrat dinamic; Contragreutatea de echilibrare ruptă sau desprinsă; Arcurile de amortizare sunt rupte	Se echilibrează mecanismul bielă- manivelă ; Se înlocuiește sau se fixează contragreutatea; Se desface capsula și se înlocuiesc arcurile
Compresorul nu realizează puterea frigorifică nominală	Placa cu supape este defectă; Supape rupte sau imperfect etanșe; Turația arborelui compresorului nu este cea nominală deoarece curelele patinează; Segmentii sunt uzați.	Se remediază defecțiunea sau se înlocuiește placa cu supape; Se schimbă supapele și se asigură planeitatea scaunelor; Se asigură o întindere corespunzătoare a curelelor sau se înlocuiesc curelele; Se înlocuiesc segmentii ;
Compresorul nu pornește	Este întreruptă alimentarea cu curent electric; Pistonul este blocat în cilindru; Lagărele sunt gripate.	Se asigură alimentarea cu curent electric; Se deblochează pistonul, eliminând și cauza care a provocat blocajul; Se înlătură gripajul înlocuind lagărele sau prin recondiționare .
Compresorul nu funcționează	Întrerupătorul electric este în poziție- deschis; Siguranțe arse; Releu termic declanșat; Termostatul sau presostatul de comandă sunt defecte; Presiunea de refulare prea ridicată (când în instalație este montat un presostat de înaltă presiune).	Se reconectează întrerupătorul ; Se înlocuiesc siguranțele și se verifică instalația electrică; Se reanclanșează releul termic ; Se repară sau se înlocuiesc aparatele defecte; Se elimină cauzele ce conduc la creșterea presiunii: apa sau aerul de răcire au temperaturi prea ridicate sau debit insuficient, condensor murdar, exces de agent frigorific, aer în instalație , etc.
Compresorul funcționează un timp prea lung sau funcționează continuu	Termostatul sau presostatul de comandă sunt defecte; Lipsă de agent frigorific în instalație ; La condensatorul răcit cu apă: apa lipsește, e prea caldă sau are debit insuficient; Condensatorul răcit cu aer este murdar ; Condensatorul răcit cu aer este insuficient ventilat; Aer în instalație (presiunea de condensare va fi mai ridicată).	Se repară dacă este posibil, dacă nu se înlocuiesc aparatele defecte ; Se reîncarcă instalația după ce s-au eliminat neetanșeitățile ; Se verifică temperatura de intrare și ieșire a apei din condensator ; și se modifică debitul de apă ; Se curăță condensatorul ; Se plasează grupul într-un loc unde circulația aerului este asigurată; Se scoate aerul sau se golește complet și se face o nouă încărcare.

Tabelul 6. 18.(continuare)

<p>Compresorul funcționează un timp prea lung sau funcționează continuu</p>	<p>Randament scăzut al compresorului;</p> <p>Vaporizator prea mic (presiunea de aspirație prea coborâtă);</p> <p>Filtrul sau ventilul obturat (în instalațiile comandate prin termostat);</p> <p>Vaporizator complet blocat cu zăpadă;</p> <p>Compresor de capacitate mică;</p> <p>Izolație defectă;</p> <p>Etanșare defectuoasă a ușii;</p> <p>Trafic de mărfuri peste capacitatea utilajului;</p>	<p>Se controlează supapele ; cele defecte se înlocuiesc, eventual se înlocuiesc segmentii și pistonul;</p> <p>Se înlocuiește cu un vaporizator mai mare sau se montează un vaporizator adițional;</p> <p>Se curăță sau se înlocuiește filtrul sau ventilul de reglaj. Dacă ventilul de reglaj este blocat cu gheață se montează un deshidrator în circuitul agentului frigorific;</p> <p>Se decongelează vaporizatorul sau se reglează degivrarea automată;</p> <p>Se montează un compresor corespunzător;</p> <p>Se reface izolația;</p> <p>Se înlocuiesc garniturile și se repară închizătorul ca ușa să fie etanșă;</p> <p>Reducerea traficului de mărfuri în spațiul răcit;</p>
<p>Compresorul are perioadă de funcționare scurtă</p>	<p>Compresor de capacitate prea mare;</p> <p>Diferențialul presostatului sau termostatului reglat prea mic;</p> <p>Presostatul de înaltă presiune întrerupte;</p> <p>Lipsă de agent frigorific (în instalația comandată de presostat de joasă presiune);</p> <p>Prea mult agent frigorific (în instalația cu presostat de înaltă presiune);</p>	<p>Se reduce turația compresorului sau se înlocuiește compresorul cu unul corespunzător;</p> <p>Se mărește diferențialul; se plasează bulbul termostatului într-un loc în care variațiile de temperatură sunt mai mici;</p> <p>Se verifică partea de înaltă presiune a instalației (temperatura apei sau aerului, curățirea condensatorului etc.</p> <p>După recuperarea locului neetanș, se reîncarcă instalația cu cantitatea de agent frigorific necesară;</p> <p>Se purjează excesul de agent din instalație;</p>
<p>Presiunea din condensator prea ridicată</p>	<p>Prea mult agent ;</p> <p>Aer în instalație;</p> <p>Condensatorul răcit cu aer, insuficient ventilat;</p> <p>Condensator răcit cu debit insuficient de apă;</p> <p>Condensatorul răcit cu aer are suprafața blocată cu praf și impurități;</p>	<p>Se evacuează o parte din încărcătura de agent ;</p> <p>Se scoate aerul sau se face o încărcare completă;</p> <p>Se asigură circulația ușoară a aerului de la și spre condensator;</p> <p>Se verifică alimentarea cu apă și presiunea apei de alimentare;</p> <p>Se curăță condensatorul;</p>
<p>Presiunea de condensare redusă</p>	<p>Agent frigorific insuficient;</p> <p>Supapele de refulare nu închid bine;</p> <p>Răcire insuficientă a condensatorului;</p>	<p>Se elimină neetanșeitățile și se completează cu agent;</p> <p>Se repară sau se înlocuiesc supapele;</p> <p>Se curăță condensatorul și se verifică debitul agentului de răcire;</p>

Tabelul 6. 18(continuare)

<p>Cantitatea de ulei din carterul compresorului scade continuu</p>	<p>Pierdere de agent frigorific ce nu permite revenirea uleiului în compresor; Vaporizator amplasat necorespunzător din punct de vedere al circulației uleiului;</p> <p>încălcătura inițială de ulei insuficientă;</p> <p>Segmentși uzați;</p>	<p>Se remediază neetanșeitățile și se reîncarcă instalația cu ulei și agent;</p> <p>Se reproiectează instalația; se asigură viteza minimă de 6 m/sec. în conducte pentru antrenarea uleiului;</p> <p>Se completează cantitatea de ulei ținând cont de cea dizolvată în agentul frigorific; Se înlocuiesc segmentii;</p>
<p>Zgomote puternice în compresor sau în imediata apropiere</p>	<p>Montajul greșit al compresorului;</p> <p>Amortizoarele compresorului prea moi și compresorul atinge obiectele din jur;</p> <p>Conductele de aspirație și refulare se lovesc între ele sau ating obiecte;</p> <p>Curelele fac zgomot;</p> <p>Compresorul aspiră lichid și ulei (se produc lovituri hidraulice în compresor);</p> <p>Lagărele compresorului sau motorului electric sunt uzate;</p> <p>Zgomotele din interiorul compresorului de supape spâne, joc în bolțurile pistoanelor, excentrici slăbiți;</p>	<p>Se plasează compresorul pe un cadru adevărat și rigidizat;</p> <p>Se reduc oscilațiile compresorului; se îndepărtează obiectele din imediata apropiere a compresorului;</p> <p>Se fixează conductele;</p> <p>Se înlocuiesc curelele și se asigură întinderea necesară;</p> <p>Se verifică nivelul de ulei în carter și se purjează dacă este în exces;</p> <p>Se demontează compresorul și motorul și se repara;</p> <p>Se demontează compresorul se verifică piesele ce se pot deteriora și produce zgomot; se repară sau se înlocuiește;</p>
<p>Instalația nu realizează temperatura dorită în spațiul răcit</p>	<p>Ventil de reglaj de capacitate prea mică față de capacitatea compresorului;</p> <p>Secțiunea țevii de alimentare cu lichid sau a țevii de aspirație prea mică ;</p> <p>Suprafața vaporizatoarelor este insuficientă;</p> <p>Termostatul sau presostatul de comandă sunt reglate necorespunzător;</p> <p>Ventilul de reglaj este obturat;</p> <p>Lipsă de agent frigorific (vapori circulă cu viteză mare prin ventilul de reglaj);</p> <p>Randament scăzut al compresorului;</p> <p>Vaporizator blocat cu zăpadă;</p> <p>Nefuncționarea ventilatoarelor care suflă aer poate vaporiza-tor.</p>	<p>Se înlocuiește ventilul de reglare cu unul de capacitate corespunzătoare capacității compresorului;</p> <p>Se reproiectează instalația;</p> <p>Se montează un vaporizator corespunzător;</p> <p>Se reglează termostatul și presostatul corespunzător temperaturii dorite;</p> <p>Se elimină apa din circuit sau se înlocuiește ventilul de reglaj;</p> <p>Se elimină neetanșeitățile;</p> <p>Se verifică compresorul; și se înlocuiesc piesele defecte;</p> <p>Se decongelează vaporizatorul sau se reglează decongelarea automată;</p> <p>Se repun în funcțiune ventilatoarele;</p>

Tabelul 6.18(continuare)

Instalația nu realizează temperatura dorită în spațiul răcit.	Pătrunderi de aer cald în spațiul răcit; Izolații degradate: Încărcare excesivă a spațiului răcit cu produse nerăcite .	Se verifică etanșeitatea ușilor , recondiționând sau înlocuind garnitura; Se refac izolațiile ; Se va atenționa personalul privind respectarea instrucțiunilor de exploatare.
încălzirea cilindrilor compresorului	Clapeții de refulare spărți.	Se înlocuiesc clapeții.
Încălzirea excesivă a lagărelor și cilindrilor.	Nivelul de ulei este necorespunzător.	Se completează nivelul de ulei.

Tabelul 6.19. Detectarea scăpărilor de agent frigorific.

AGENTUL FRIGORIFIC	METODE DE VERIFICARE		
	Lampă cu halogeni	Traductor electronic pentru fluor	Injectie de trasori in circuit
R 12	X		
R 22	X		
R 502	X		
R 23		X	X
R 134 A		X	X
R 408 A	X	X	X
R 409 A	X	X	X

6.8.3. Deranjamente provocate de prezenta umidității în instalația frigorifică

Principalele consecințe ale prezenței **umidității** în circuitul frigorific sunt: blocarea ventilului de reglare, **coroziunea**, formarea **hidraților** și deprecierea uleiului.

Blocarea ventilului de reglaj. Lichidul frigorific ce pleacă **din** condensator spre **vaporizator** se laminează în ventilul de reglaj până la temperatura de **vaporizare**. **Dacă**, la o anumită temperatură conținutul critic în umiditate este depășit, apa se evaporă și îngheață în acel loc, provocând blocarea acului **poantou** de la ventilul de reglaj. Secțiunea de trecere în ventilul de reglaj este mică astfel că sunt necesare doar câteva picături de apă pentru a bloca parțial sau total trecerea fluidului spre vaporizator.

Coroziunea, formarea hidraților și deprecierea uleiului. În prezența apei, având fierul și alumiuniul drept catalizator ce accelerează **reacția**, toți agenții **halogenați** formează **acizi**(clorhidric sau florhidric). Acești acizi sunt agresivi și atacă elementele din cupru ale instalației, corodează lagărele, fuserile și **manetoanele** compresorului și distrug presetupa.

Sărurile metalice și oxizii ce iau naștere ca urmare a **acțiunii** acizilor asupra **elementelor** metalice ale instalației se depun pe suprafețele interioare ale schimbătoarelor de căldură diminuând schimbul de căldură. Blocarea filtrelor, **griparea pistoanelor** și **neetansarea** supapelor sunt defecțiuni ce apar ca urmare a depunerilor de astfel de săruri.

Posibilități de eliminare a umidității din circuitul agentului frigorific

Deshidratarea prin acțiune chimică. Constă în folosirea de **substanță** care adsorb apa din circuitul agentului frigorific cum ar fi sulfatul de calciu și **clorura** de calciu.

Sulfatul de calciu se folosește sub formă de piese **turnate** la dimensiunea aparatului **deshidratator**. **Timpul** de **absorbție** al apei este foarte lung, nu **formează** praf care să fie antrenat în **instalație** și nu este **coroziv**. **Este** un material deshidratant foarte eficient și prezintă avantajul că nu eliberează apa pe care a **absorbit-o**.

Clorura de calciu prezintă dezavantajul că în prezența unei cantități mari de apă din circuit se transformă într-o soluție foarte **corozivă**. De obicei e bine să se evite utilizarea **clorurii** de calciu.

Deshidratarea prin acțiune fizică. Constă în folosirea de **substanțe** care adsorb **apa**, **fără** a-și modifica **compoziția** chimică. **Substanțele deshidratatoare** de acest gen eliberează apa **adsorbită** când sunt încălzite, capacitatea de adsorbție fiind invers proporțională cu **temperatura adsorbantului**. Cele mai **utilizate** substanțe deshidratatoare care funcționează pe acțiune fizică sunt silicagelul și sita moleculară.

Silicagelul (dioxidul de siliciu) este un **adsorbant** puternic având o **rețea** capilară internă cu pori **ultramicroscopici**. Silicagelul are o **porozitate** mare, volumul porilor reprezentând circa **40%** din **volumul** total al granulelor. Silicagelul este un deshidratant foarte eficient, însă odată cu creșterea temperaturii eliberează apa reținută prin adsorbție. **Din** această cauză este necesar ca **deshidratatorul** instalației să fie plasat într-o ambianță de temperatură cât mai scăzută și constantă. Diminuarea puterii de adsorbție a silicagelului scade cu temperatura și poate provoca defecțiuni grave la creșterea bruscă a **temperaturii** în cazul răcirii insuficiente a **condensatorului**, deoarece poate elibera apa care va îngheța în ventilul de reglaj.

Sita moleculară este un deshidratant a cărui parte activă este formată din **alumino-silicați** care printr-o tehnologie **specifică** capătă o porozitate uniformă. Pentru reținerea apei din amestecul de agent halogenat se folosește sita moleculară cu pori de 4×10^{-10} m. Sita moleculară se regenerează prin **insuflare** de aer sau de azot uscat încălzit la temperaturilor de 250....300°C.

Bibliografie

- | | |
|--|---|
| [1]. V. Radcenco, A. Dobrovicescu
S. Porneală | Procese și instalații frigorifice
Editura Didactică și Pedagogică
București, 1983 |
| [2]. B. Popa, I. Carabogdan | Manualul inginerului termotehnician
Editura Tehnici București, 1986 |
| [3]. Pierre Rapin, Patrick Jacquard | Formulaire du froid
Dunod, Paris, 1996 |
| [4]. John P. Kay, Richard L. Mansmann | Impact of CFC/HCFC regulations on
the marine industry
Ashland Chemical , U.S.A., 1994 |
| [5]. N. Purice, V. Honciuc | Exploatarea și întreținerea utilajelor
frigorifice comerciale
Editura Tehnici București , 1980 |
| [6]. Fl. Chiriac | Instalații frigorifice
Editura Didactică și Pedagogică
București, 1981 |
| [7]. C. Stamatescu | Tehnica Frigului , vol. I și vol. II
Editura Tehnici București, 1972 |

INSTALAȚIA DE AMBARCARE ȘI DE TRANSFER COMBUSTIBIL

7.1. Stabilirea cantităților de combustibil necesare

Cantitățile de combustibil care trebuie **ambarcate** depind de autonomia navei A [Mm], de viteza navei [Nd] și de consumul de combustibil al motoarelor auxiliare și al generatoarelor de abur cu arzător (căldărilor).

Se notează:

$C_{h_{MP}} \left[\frac{\text{kg}}{\text{h}} \right]$ - consumul orar de combustibil al motorului principal (MP);

$C_{h_{MA}} \left[\frac{\text{kg}}{\text{h}} \right]$ - consumul orar de combustibil al motorului auxiliar (MA);

$C_{h_{GA}} \left[\frac{\text{kg}}{\text{h}} \right]$ - consumul orar de combustibil al generatorului de abur cu arzător (GA);

$\tau_{MP} \text{ [h]}$ - timpul de funcționare al MP pe durata unui voiaj;

$\tau_{MA} \text{ [h]}$ - timpul de funcționare al MA pe durata unui voiaj;

$\tau_{GA} \text{ [h]}$ - timpul de funcționare al GA cu arzător pe durata unui voiaj;

În desfășurarea voiajului există perioade de marș și perioade de staționare în care nava poate fi în operațiuni de încărcare - descărcare sau în așteptare.

Necesarul de combustibil pentru MP se determină cu relația:

$$m_{CPM} = C_{h_{MP}} \cdot \tau_{MP} \quad [\text{Kg}] \quad (7.1)$$

sau

$$m_{CPM} = C_{h_{MP}} \cdot \frac{A}{V_N} \quad [\text{Kg}] \quad (7.1')$$

unde V_N [Nd] - viteza navei

Necesarul de combustibil pentru MA se determină astfel:

$$m_{CPA} = C_{h_{MA}} \cdot (\tau_{MA_M} + \tau_{MA_{STA}} + \tau_{MA_{STID}}) \quad [\text{Kg}] \quad (7.2)$$

unde:

- τ_{MA} [h] " timpul de funcționare pe durata marșului;
- $\tau_{MA_{așteptare}}$ [h] • timpul de funcționare pe durata staționărilor în așteptare;
- $\tau_{MA_{STID}}$ [h] " **timpul** de funcționare pe durata staționărilor pentru încărcare-descărcare;

Necesarul de combustibil pentru GA cu arzător se determină cu relația:

$$m_{CGA} = C_{hGA} \cdot (\tau_{GA_M} + \tau_{GA_{ST_A}} + \tau_{GA_{STID}}) \quad [\text{Kg}] \quad (7.3)$$

unde:

- τ_{GA_M} [h] - timpul de funcționare pe durata marșului;
- $\tau_{GA_{așteptare}}$ [h] - timpul de funcționare pe durata **staționărilor** în așteptare;
- $\tau_{GA_{STID}}$ [h] - timpul de funcționare pe durata staționărilor pentru **încărcare-descărcare**;

Observații: Necesarul de combustibil se **determină** în următoarele cazuri:

1. MP **funcționează** pe motorină la pornire, la manevre și la oprire
MP **funcționează** pe combustibil greu pe timpul marșului
MA funcționează pe motorină
GA cu arzător **funcționează** pe combustibil greu
2. MP funcționează pe **combustibil** greu la pornire, la **manevre**, la oprire și pe timpul marșului
MA funcționează pe **combustibil** greu
GA cu arzător funcționează pe combustibil greu

Pentru cazurile prezentate, funcție de destinația și dotările tehnice **ale** navei, se va stabili necesarul total de combustibil.

Determinarea volumului tancurilor se va face funcție de sortul de combustibil ce va fi depozitat.

Pentru combustibil greu:

$$V_{TKCG} = C_1 \cdot C_2 \cdot \frac{m_{CG}}{\rho_{CG}} \quad [\text{m}^3] \quad (7.4)$$

unde:

$C_1 = 1.15 \div 1.20$ coeficient prin care se admite un surplus de combustibil pentru situații neprevăzute:

$C_2 = 1.07 \div 1.1$ coeficient prin care se **ține seama** de reducerea volumului tancurilor datorită combustibilului reziduu, aderent pe pereții tancurilor de depozitare:

$\rho_{CG} \left[\frac{\text{Kg}}{\text{m}^3} \right]$ densitatea combustibilului greu la temperatura de referință de 50° C.

Pentru operația de **ambarcare** combustibil greu trebuie să se țină seama de:

- durata **ambarcării**, care funcție de tipul și **mărimea navei** este între 1 ÷ 10 h;
- **temperatura** combustibilului în momentul pomparii;
- viteza combustibilului în conductă $W_{cg} = 0.8 \div 1.5 \text{ m/s}$.

Temperatura combustibilului greu impune **modificarea** densității **acestuia**.

Densitatea se calculează cu formula:

$$\rho'_{cg} = \frac{\rho_{cg}}{1 + \beta \Delta / \left[\frac{K_g}{m^3} \right]} \quad (7.5)$$

unde:

t_p - **temperatura** la care se face pomparea combustibilului greu

t_r - temperatura de referință la care se cunoaște densitatea **combustibilului** greu

Temperatura de referință poate fi:

$100^\circ \text{ F} = 38.8^\circ \text{ C}$; 50° C

$\beta = 684 \cdot 10^{-6} \text{ } ^\circ \text{C}^{-1}$ coeficientul de dilatare termică al combustibilului greu

$\Delta / = t_p - t_r$ diferența de temperatură.

Folosind relația continuității:

$$\dot{m} = \rho \cdot \frac{\pi d^2}{4} \cdot W \cdot \left[\frac{\text{Kg}}{\text{s}} \right] \quad (7.6)$$

unde:

$\dot{m} \left[\frac{\text{Kg}}{\text{s}} \right]$ reprezintă debitul **masic** de combustibil greu:

$\frac{\pi d^2}{4} \left[\text{m}^2 \right]$ secțiunea de curgere **printr-o** țeava de diametru interior d [m]

$\rho \left[\frac{\text{Kg}}{\text{m}^3} \right]$ densitatea combustibilului greu,

$W \left[\frac{\text{m}}{\text{s}} \right]$ viteza de curgere a combustibilului greu.

Din relația (7.6) se determină diametrul interior al **conductelor** din instalația de **ambarcare** și transfer de combustibil.

7.2. Componenta instalației de ambarcare și transfer combustibil

În componența instalației de ambarcare și transfer **combustibil** sunt următoarele elemente:

- prize care fac legătura între instalația navei și instalația de livrare combustibil (montată pe un tanc sau la cheu);
- tubulaturi;
- **filtre**;
- **valvule** de distribuție
- grupuri sau casete de valvule;
- **pompe de transfer**;
- tancuri de depozitare combustibil;
- tancuri de decantare;
- tancuri de consum combustibil;
- separatoare;
- încălzitoare de combustibil;
- aparate de măsură și control;

- tubulaturi de aerisire:
- sonde etc.

Prizele de **ambarcare combustibil** sunt montate în ambele borduri ale navei, pe puntea principală. Numărul prizelor de ambarcare poate fi de $2 \div 6$ funcție de mărimea navei. Diametrul nominal al prizelor este standardizat, ceea ce **permite** cuplarea cu instalațiile de livrare combustibil indiferent de zona de navigație în care se află.

Tubulaturile din instalația de ambarcare și transfer combustibil permit circulația combustibilului către tancurile de depozitare, către tancurile de decantare **etc.**, cu ajutorul valvulelor de distribuție etc.

Tubulaturile sunt standardizate, având diametrul nominal în conformitate cu prescripțiile societăților de clasificare ceea ce permite tipizarea tubulaturilor și armăturilor:

Filtrele sunt utilizate pentru reținerea impurităților din **combustibil**, **atât** pe timpul **ambarcării** dar și pe durata transferului eliminând posibilitatea pătrunderii acestora în pompe și în alte elemente din instalație. Funcție de gradul de filtrare (dimensiunea **ochiurilor** sitei), fitele pot fi grosiere și fine.

Filtrele grosiere se montează pe intrarea în casetele cu **valvule** de distribuție, pe tubulatura de ambarcare combustibil precum și pe aspirația pompelor de transfer.

Filtrele fine se montează pe instalația de alimentare cu combustibil MP, MA, GA cu arzător.

Pompele folosite pentru transferul combustibilului pot fi **pompe** cu roți dințate sau pompe cu șurub.

Pompele cu roți dințate sunt construcții simple, sigure în funcționare, exploatare ușoară, cu masă și gabarit redus. Pompele cu roți dințate utilizate la transferul **combustibilului** au debite cuprinse între $20 \div 200 \text{ m}^3/\text{h}$ și presiunea de refulare între $(4 \div 10)$ bar. randamentul acestor pompe este de $(50 \div 74) \%$. Acționarea acestor pompe se face cu motoare electrice.

Pompele cu șurub utilizate în transferul combustibilului au debite cuprinse între $20 \div 200 \text{ m}^3/\text{h}$ la presiuni de refulare de $(5 \div 10)$ bar. Construcția acestor pompe este considerată mai complexă față de **pompele** cu roți dințate, motiv care impune un preț mai ridicat pentru pompele cu șurub.

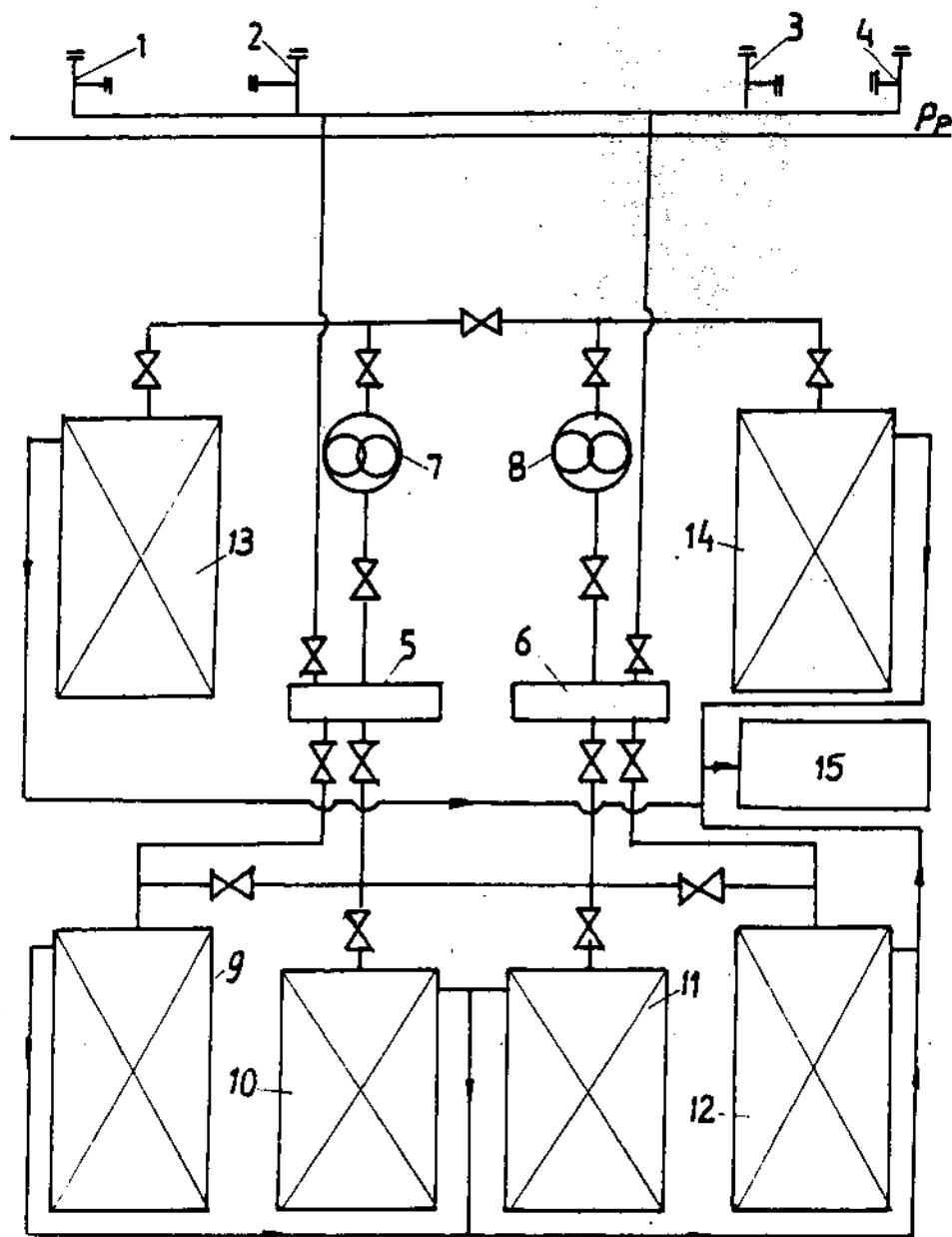


Fig.7.1. Instalația de ambarcare si transfer combustibil

1,2, 3,4- guri de ambarcare; 5, 6- casete cu valvule de distribuție; 7, 8- pompe de transfer combustibil; 9- tanc de depozit motorină; 10,11,12- tanc de depozit combustibil marin greu; 13- tanc de decantare motorină; 14- tanc de decantare combustibil marin greu; 15- tanc de colectare prea-plin din tancurile de combustibil. P_p - puntea principală.

Bibliografie

- [1]. Costică Alexandru Mașini și instalații navale de propulsie
Editura **Tehnică**, București, 1991
- [2] Costică Alexandru Mașini și instalații navale de propulsie **vol.I**
Universitatea din **Galați** , 1976
- [3] C.A. Vasilescu ș.a. Corelațiile dintre combustibilul lichid și motorul
cu ardere internă
Editura Academiei, București, 1972
- [4] Gh. Dumitru Motoare cu ardere internă vol. I
Universitatea din Galați , 1987
- [5] Gh. **Uzunov, I. Dragomir** îndrumătorul ofițerului de navă
Editura **Tehnică**, București, 1983
- [6] *** Documentația instalațiilor de la bordul
navelor **BK 65.000 tdw**
- [7] *** Documentația **instalațiilor** de la bordul
navelor TK 150.000 tdw

SEPARATOARE CENTRIFUGALE

8.1. Generalități

Pentru pregătirea unor cantități importante de combustibil greu necesar consumului zilnic al motoarelor principale, consum ce poate atinge valori de 20 ÷ 100 t sau mai mult, la motoarele principale ale tancurilor petroliere, sunt necesare instalații corespunzătoare acestui scop.

Instalațiile de pregătire a combustibilului greu la bord, pe lângă celelate elemente componente cum sunt tancurile de combustibil, tancurile de decantare, serviciu, pompele de transfer, încălzitoarele ș.a. au ca element component principal separatorul centrifugal.

Scopul operației de separare centrifugală este de a îndepărta din masa amestecului eterogen - combustibil sau ulei - acele faze a căror prezență periclitează buna funcționare a instalațiilor de forță cura sunt motoarele și căldările de la bord. Se urmărește în principiu îndepărtarea apei și a diferitelor impurități existente într-un amestec eterogen.

8.2. Principii de funcționare

Separarea centrifugală se realizează prin intermediul unui câmp de forțe create la nivelul camerei de separare a separatorului. Aceasta are forma unui vas florentin - folosit la decantarea gravitațională continuă - dar rabatat la 90° și care se află în mișcare de rotație în jurul axei verticale X - X (fig.8.1).

Separarea amestecului eterogen în fazele sale componente apare ca urmare a diferențelor de greutatea specifice sau pe baza forțelor de frecare apar la nivelul spațiilor interstițiale dintre talerele separatorului.

Suprafața de separație dintre fazele

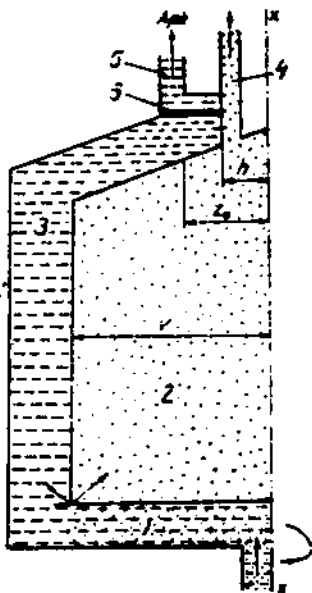


Fig. 8.1. Camera de separare a separatorului:

- 1 - intrare amestec eterogen; 2 - fază ușoară separată; 3 - fază grea (apă, impurități); 4 - evacuare fază ușoară (ulei, combustibil separat); 5 - calea de evacuare a fazei grele; 6 - diafragma de reglare (disc gravitațional).

componente aflate la distanța r față de axa $X \cdot X$ va oscila **apropiindu-se** sau **depărtându-se** de aceasta - după cum raportul dintre greutatea specifică a fazei grele (apa) și a fazei ușoare (combustibilul separat) crește sau se micșorează. De aceea pentru o bună separare trebuie ca valoarea z_0 să corespundă liniei de demarcație dintre cele două componente.

Pentru asigurarea unei bune separări în cazul combustibilului greu sunt aplicate două operații distincte și anume: purificarea și clarificarea.

Purificarea este operația ce constă în separarea integrală a apei și a particulelor de impurități mecanice groșiere ce se separă pe baza diferențelor de greutate specifică a amestecului eterogen introdus sub acțiunea **forțelor** centrifuge.

Clarificarea este operația de purificare a restului de impurități - acelor de dimensiuni reduse - aflate în **camp** centrifugal, pe baza forțelor de frecare ce apar între talere.

Purificarea și clarificarea constituie două operații ale procesului unic de separare centrifugală și pentru aceasta se folosesc de regulă două separatoare cuplate în serie. După ce combustibilul greu a fost supus **operației** de separare el este introdus într-un al doilea separator **având** rol de clarificator.

Se poate realiza și numai operația de purificare - **fără** o clarificare ulterioară - dar rezultatele sunt calitativ inferioare: în combustibilul separat se vor mai afla acele impurități de dimensiuni reduse care nu s-au desprins pe baza diferențelor de greutate specifică.

8.3. Alegerea corectă a discului gravitațional

O separare corectă se poate realiza prin adaptarea unei valori corespunzătoare a discului gravitațional (diafragmei de reglare) la caracteristicile combustibilului ce urmează a fi separat și la valoarea temperaturii de separare. Prin alegerea corectă a diametrului interior al discului gravitațional se asigură ca linia de demarcație dintre cele două faze - apă și combustibil - sub forma unei suprafețe cilindrice, să corespundă zonei găurilor practicate în talerele de separare. Pentru aceasta orice agregat de separare este livrat cu un set de discuri gravitaționale având aceeași valoare a diametrului exterior și valori diferite ale diametrului interior, stanțate pe fiecare disc în parte.

Determinarea valorii corecte a a diametrului interior al discului gravitațional se poate face analitic, din tabele, din diagrame sau prin încercări succesive.

8.3.1 Determinarea analitică

Asupra zonei de separare între lichide acționează două forțe și anume: - o forță centrifugă datorită masei de ulei - F_u și o forță centrifugă datorită masei de apă - F_a (fig. 8.2).

Modul de acțiune al celor două forțe poate fi asimilat cu acțiunea a două forțe care se exercită într-un sistem de vase comunicante (fig. 8.3).

Ecuția de echilibru a celor două forțe pe suprafața laterală a cilindrului de separare este $F_u = F_a$.

Dar.

$$F_u = m_u \omega^2 R_{um} = \rho_u V_u \omega^2 R_{um} = \rho_u \frac{\pi}{4} (d_s^2 - d_u^2) h_u \frac{\omega^2}{2} \quad (8.1)$$

Și

$$F_a = m_a \omega^2 R_{am} = \rho_a V_a \omega^2 R_{am} = \rho_a \frac{\pi}{4} (d_s^2 - d_a^2) h_a \frac{\omega^2}{2} \quad (8.2)$$

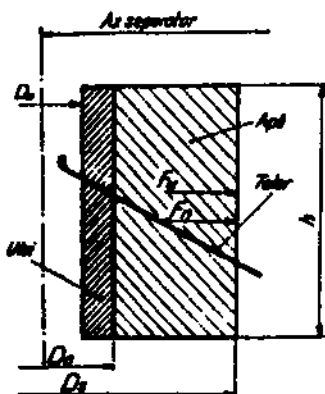


Fig. 8.2. Acțiunea forțelor centrifugale asupra zonei de separație între lichide

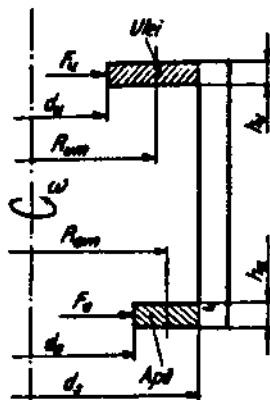


Fig. 8.3. Acțiunea forțelor centrifugale create de masa apei și a uleiului.

Din egalitatea celor două forțe rezultă, după simplificări:

$$\rho_u h_u (d_s^2 - d_u^2) K - d_u = \rho_a h_a (d_s^2 - d_a^2) (d_s - d_a) \quad (8.3)$$

Deoarece $d_s \gg d_a$, $d_s \gg d_u$, $d_u \approx d_a$ se poate considera cu o bună aproximație:

$$d_s - d_u \approx d_s - d_a$$

De asemenea se poate considera $h_u = h_a$ deci relația (8.3) devine:

$$\rho_u (d_s^2 - d_u^2) = \rho_a (d_s^2 - d_a^2) \quad (8.4)$$

Singurul element care variază în această formulă este d_a (diametrul discului gravitațional).

Explicitând valoarea lui d_a din relația (8.4) se obține:

$$d_a = \sqrt{d_s^2 - \frac{\rho_u}{\rho_a} (d_s^2 - d_u^2)} \quad \text{sau} \quad d_a = \sqrt{d_s^2 - \frac{\gamma_u}{\gamma_a} (d_s^2 - d_u^2)} \quad (8.5)$$

Cu ajutorul formulei anterioare se poate determina diametrul discului gravitațional cunoscând parametrii constructivi ai separatorului (d_u ; d_s) și greutatea specifice ale combustibilului și apei la temperatura de separație.

Având în vedere că temperatura optimă de separație este cuprinsă între 40° C și 70° C se poate considera $\rho_a = \text{const}$; densitatea uleiului (combustibilului) se calculează cu ajutorul formulei (8.6).

$$\rho' = \frac{\rho^{15}}{1 + \beta \Delta t} \quad (8.6)$$

unde:

ρ' - densitatea combustibilului la temperatura de încălzire /;

ρ^{15} - densitatea combustibilului la temperatura de 15° C;

β - coeficient de dilatare al combustibilului, $\beta = 684 \cdot 10^{-6} \text{ grad}^{-1}$;

$\Delta t = t_s - 15^\circ$ diferența de temperatură dintre temperatura de încălzire și temperatura de 15°C .

8.3.2 Alegerea discului gravitațional cu ajutorul diagramelor.

Firmele constructoare livrează în instrucțiunile de exploatare și diagrame care permit personalului care lucrează cu agregatul, o alegere corectă a discului **gravitațional** adecvat. Astfel, firma DeLaval pune la dispoziție diagrama din figura 8.4.

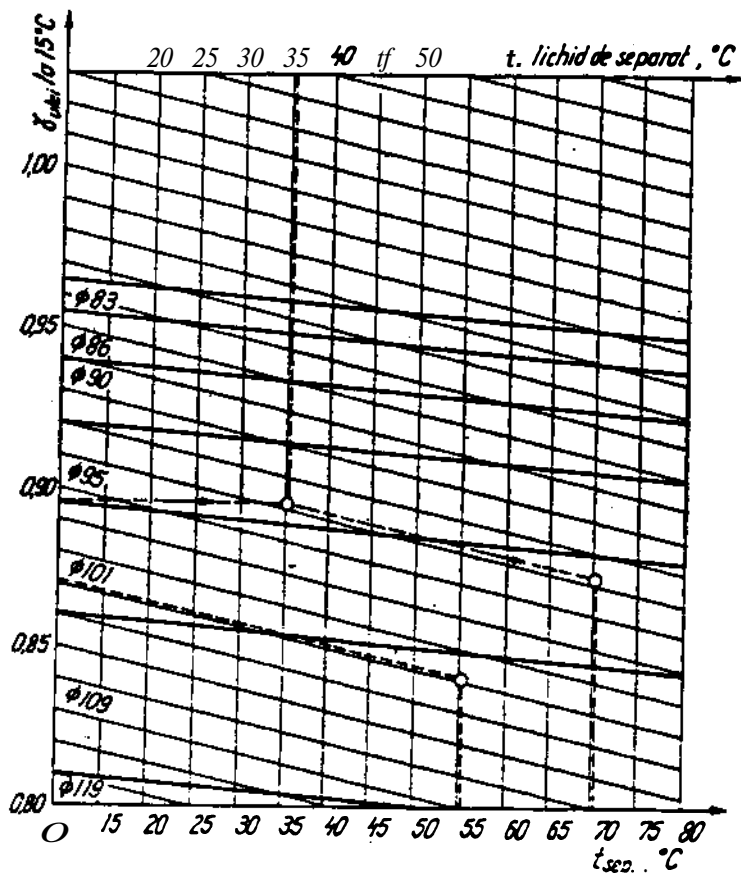


Fig. 8.4. Diagrama pentru alegerea discurilor gravitaționale.

Folosirea acestei diagrame este foarte simplă și poate fi prezentată prin două exemple:

a. Se cunosc: $\gamma_{ulei} = 0.87$ la 15°C ; $t_{sp} = 130^\circ \text{F}$ (55°C).

Se introduc în diagramă cele două date cunoscute și la intersecția liniilor punctate se obține un punct. Acest punct cade în zona marcată 109. Acest lucru înseamnă că trebuie să se folosească discul stanțat cu 109.

b. Se cunosc: $\gamma_{ulei} = 0.895$ la 35°C ; $t_{sp} = 158^\circ \text{F}$ (70°C).

Modul de lucru în acest caz se poate observa tot în fig. 8.4. pe liniile întrerupte. Se observă că, în această situație, trebuie folosit un alt disc și anume cel stanțat cu 101.

Metoda diagramelor este rapidă și comodă, însă rezultatele cele mai bune se obțin cu metoda prezentată în continuare.

8.3.3 Selectarea prin încercări succesive.

Deoarece în practică în condițiile bordului nu se poate determina exact greutatea specifică a amestecului de apă, ulei, sedimente, necunoscând nici proporția componentelor din amestec și nici greutatea lor specifică, se recurge la metoda încercărilor succesive. Prin această **metodă** se fac teste separate folosind dimensiuni din ce în ce mai mari, până ce apare ulei sau combustibil în racordul de evacuare a reziduurilor.

În acest moment, se oprește **separarea** și se revine înapoi cu o dimensiune. De **exemplu**, folosind discurile 109, a apărut ulei la evacuarea reziduurilor. Discul adecvat este deci cel marcat 101. Evident, în cursul acestor teste, toți ceilalți parametri care influențează procesul de separare (temperatura amestecului, temperatura apei de spălare, cantitatea apei de spălare) trebuie menținuți constanți pentru a nu influența rezultatele.

Metoda descrisă **mai** sus este cea mai bună, deoarece reușește, așa cum s-a arătat, să țină **seama** de toți factorii aleatori care apar în procesul separării.

Indiferent de modalitatea separării diametrului discului gravitațional se va alege din **setul** existent valoarea cea mai apropiată.

Se recomandă ca verificarea corectitudinii alegerii discului gravitațional să **fie** realizată experimental prin demontarea separatorului și analiza **poziției** cilindrului de separație față de găurile din talerele separatorului (**fig. 8.5**).

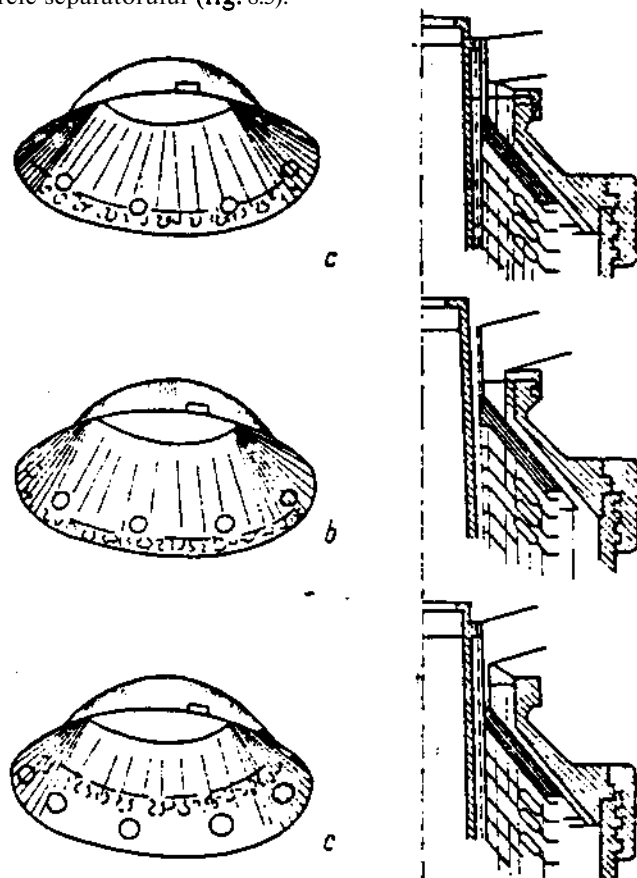


Fig. 8.5. Verificarea practică a discului gravitațional:

a - disc corect ales; b - disc larg; linia de separație trece în afara găurilor.
c - disc înalt; linia de separație trece în interiorul găurilor.

Dacă diametrul cilindrului de separație este mai mic ca diametrul de **bază** al **găurilor**, se va **alege** un disc gravitațional cu diametrul mai mare sau se va micșora temperatura de separație.

Dacă diametrul cilindrului de separație este mai mare ca diametrul de **bază** al găurilor, se va alege un disc mai mic sau se va mări temperatura de separație. Dacă nu se poate obține o poziție corectă a diametrului de separație, ca regulă **generală**, este preferabilă prima situație pentru a elimina pierderile nedorite de ulei (**combustibil**), apa fiind eliminată prin reciclarea un timp mai îndelungat a uleiului (**combustibilului**) prin separator.

8.4. Elementele componente ale unui separator

Un separator este alcătuit din următoarele părți componente:

- carcasa cu **postamentul** ei;
- sistemul mecanic de antrenare (angrenaj **melc-roată melcată**);
- motorul electric de antrenare;
- cupa de separare cu anexe sale, discurile gravitaționale;
- **sistemul** de distribuție al apei de lucru;
- sistemul de distribuție al **fuidului** de lucru, inclusiv pompa sau pompele aferente;
- aparatura de măsură și de control (**manometre**, **vacuometre**, **tahometre**, termometre).

În **figura 8.6** este **prezentată**, în mod schematic, instalația aferentă a unui separator de combustibil. Se pot observa pe această **figură**, sistemele care asigură buna funcționare a procesului de separare cum sunt: încălzitoarele de apă, încălzitoarele de ulei sau de combustibil, filtrele mecanice, tancurile de reziduuri, tubulatura aferentă împreună cu **valvule**, **robineți** etc.

Din punct de vedere constructiv un separator este fabricat din materiale de bună calitate, în general din oțeluri aliate cu procent mare de Ni și Cr, adică oțeluri inoxidabile.

Astfel, discurile gravitaționale, sunt executate prin **ambutisare** din tablă de oțel inoxidabil 18Cr 8Ni. Discurile sunt livrate în seturi, în funcție de greutatea specifică ale lichidelor de tratat. Ele sunt prelucrate cu precizie mare, suprafețele lor fiind finisate îngrijit. Calitatea suprafețelor, unghiul de înclinare, precum și dimensiunile găurilor practicate în ele sunt parametrii determinanți ai procesului de separare.

Partea superioară și cea inferioară a cupei de separare este executată din oțel inoxidabil de bună calitate supus unui tratament termic de călire în ulei, urmat de o revenire și răcire în aer.

Celelalte părți expuse coroziunii sunt executate din oțel de bună calitate placat cu

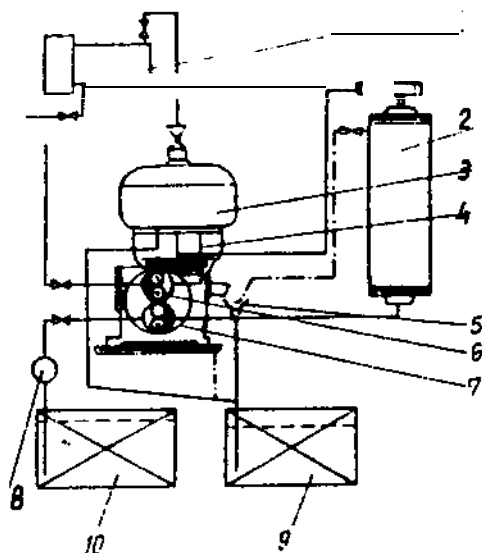


Fig. 8.6. Componenta unei instalații de separare:

- 1 - încălzitor apă; 2 - încălzitor ulei; 3 - separator,
4 - refulare ulei separat; 5 - refulare **reziduuri** și apă;
6 - pompă refulare ulei separat; 7 - **pompă circulație**
ulei murdar, 8 - **filtu** mecanic; 9 - **tanc** reziduuri
și apă murdară; 10 - **tanc** ulei murdar.

oțel inoxidabil **18Cr 10Ni 2Mo**. Restul părților **componente** sunt protejate prin **stanare** sau **plumbuire** în băi calde. Carcasa și postamentul sunt executate din **fontă**, iar capacul din aliaj ușor.

Datorită **condițiilor** grele de lucru, vibrații, șocuri la pornire și în timpul funcționării normale, centre de greutate care își modifică **poziția**, în special în condițiile severe ale unei mări montate, axul principal de antrenare este montat într-un sistem de lagăre care are posibilitatea de a oscila liber. Acest sistem de lagăre este compus din rulmenți de precizie, dispuși astfel:

- la partea superioară a axului, un lagăr radial **fixat** într-o **montură** specială, prevăzută cu arcuri spirale din oțel; rulmentul preia eforturile **radiale**, în timp ce arcurile au rolul de **amortizare** a șocurilor și a vibrațiilor pe direcție **radială**;

- la partea inferioară două lagăre, un rulment axial și un rulment axial-radial, de tip **oscilant**, cu două rânduri de bile. Pentru a preveni și amortiza oscilațiile pe direcția **axială**, **rulmentul** axial se sprijină la partea sa **inferioară**, pe un sistem de amortizare cu arc. Tot acest **sistem**, de suspendare a axului principal de antrenare, conferă sistemului un înalt grad de fiabilitate.

Pe axul principal de angrenare se află melcul angrenajului de tip **melc-roată melcată**, în funcție de tipul separatorului, acest melc poate să facă corp comun cu **axul** separatorului sau poate fi sub forma unei piese separate, montate pe axa și solidarizată cu acesta prin intermediul unui **știft** elastic. **Evident**, a doua soluție constructivă este mai **comodă**, din **punctul** de vedere al **întreținerii**. În fig. 8.7 este prezentat sistemul de lagăre al axului **principal**. La partea superioară a axului este prevăzut un sistem de etanșare foarte eficace, sub formă de labirint. Această etanșare previne **pătrunderea** apei sau a reziduurilor în baia de ulei care asigură ungerea angrenajului mecanic.

Baia de ulei o constituie chiar partea inferioară a carcasei. Nivelul de **ulei**, **menținut** la cota **stabilită** de către constructor, asigură o bună ungere a angrenajului **melc-roată melcată**, prin imersia **roții** melcate circa 1/3 în ulei. De asemenea lagărul inferior, fiind complet scufundat în baia de ulei, beneficiază de o ungere și o răcire eficientă. Lagărul superior, mai puțin încărcat, este uns prin împrăscare cu ulei de către roata melcată. Baia de ulei este prevăzută cu o sticlă de nivel, pentru controlul operativ al nivelului de ulei în baie precum și o gură de umplere.

Tot în baia de **ulei** este montat și angrenajul **tabomentrului**, indicatorul **acestuia**, sub **forma** unui disc rotitor sau a unui **turometru**, fiind plasat în exteriorul carcasei.

Așa cum s-a **arătat**, **separatorul** este antrenat de un motor electric. De remarcat că la alegerea puterii motorului electric de antrenare se ține cont de faptul că perioada de pornire presupune un consum sporit de putere. După ce separatorul a atins turația de regim, **consumul** de putere scade cu circa 1/3. Dacă motorul electric se alege de o putere corespunzătoare puterii consumată în perioada de start, se asigură o mare fiabilitate, deoarece în timpul funcționării normale, va fi încărcat doar la **2/3** din capacitatea sa.

Transmiterea mișcării de la motorul electric la roata melcată se face prin intermediul unui cuplaj cu fricțiune. Această soluție constructivă asigură o pornire lină a separatorului și oferă o protecție eficientă contra suprasarcinilor în angrenajul mecanic al motorului electric sau în rețeaua electrică.

Pompele de **combustibil** sunt de tipul cu roți dințate și, în funcție de rolul pe care îl au, pot fi folosite pentru alimentarea sau pentru descărcarea separatorului.

Separatoarele pot fi echipate cu una sau două pompe. Aceste pompe **sunt agrenate** de motorul electric al separatorului și evident la dimensionarea motorului electric trebuie ținut seama de puterea consumată de ele. Încălzitoarele de combustibil și apă sunt folosite ca elemente auxiliare ale instalației de separare. Pentru o separare eficientă prezintă o importanță deosebită dimensiunile discurilor gravitaționale și temperatura fluidelor de lucru.

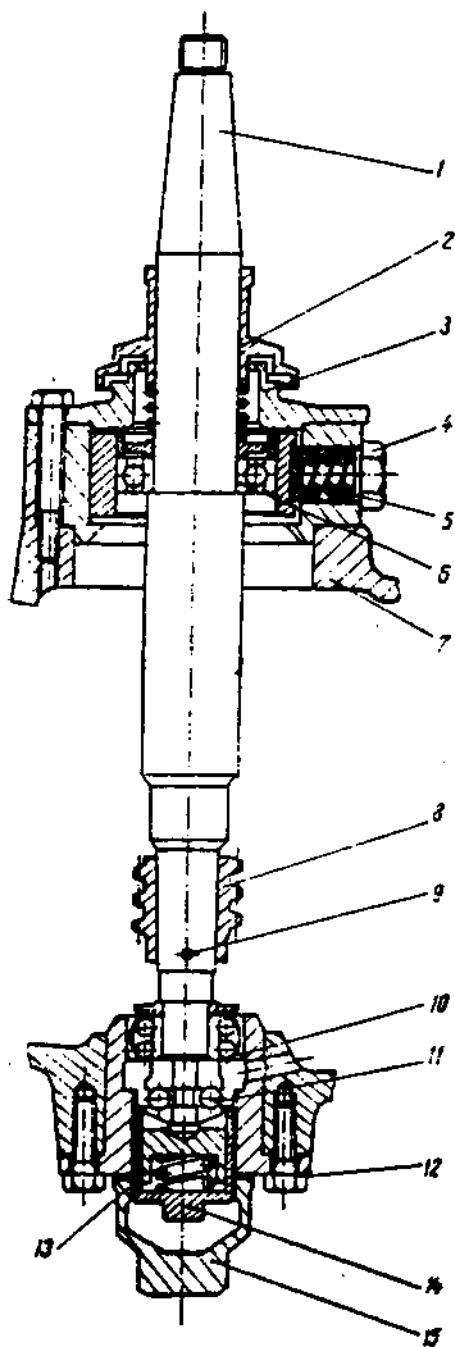


Fig. 8.7 Axul vertical al separatorului:
 / • zona talerelor; 2,3 - piese etanșe; 4 - șurub
 de reglaj al tensionării resortului; 5,6 - rulment;
 7 - carcasa separatorului; 8 - manșon melcat;
 9 - știft; 10,11 - rulmenți; 12 - resort; 13,14 - ele-
 mente pentru reglajul tensionării; 15 - capac
 de siguranță.

Pentru a aduce la valori optime **temperatura** apei și a fluidului de separat se folosesc încălzitoarele. Din punct de vedere **constructiv, încălzitoarele** nu prezintă particularități deosebite putând fi **electrice**, sau cu aburi.

Întregul **subansamblu** vertical - ax, tambur (cupă, oală) **cu** set de **talere, distribuitor** etc. este echilibrat **dinamic**, iar deplasarea centrului de greutate al acestuia duce la apariția vibrațiilor în ansamblul separatorului.

Pentru a se păstra echilibrul dinamic, după o demontare a separatorului este necesar ca remontarea să se facă cu respectarea tuturor marcajelor făcute de constructor pe elementele **subansamblului** vertical.

8.5. Purificarea și clarificarea la un separator fără autodescărcare

Pentru înțelegerea proceselor reale care au loc într-un **separator**, se fac referiri în continuare la fig. 8.8, care reprezintă o secțiune axială schematică printr-un tambur de separare. Fig. 8.9, prezintă, la o scară **mărită**, zona discurilor de separare. Pe această schemă au fost trasate și direcțiile de curgere ale diferitelor lichide în zona de separare.

După ce separatorul a fost pornit și a ajuns la turația de **regim**, **tamburul** de separare este umplut cu apă. Acest aport de **apă**, la începutul **separării**, este necesar deoarece funcționarea corectă a tamburului în procesul de purificare necesită existența unui lichid de etanșare în spațiul de reziduuri, înainte de **admiterea** uleiului de tratat; dacă nu **s-ar** introduce apă în interiorul cupei, uleiul admis ar fi refulat, în exterior, prin spațiile prevăzute pentru evacuarea apei murdare. După ce tamburul s-a **umplut** cu **apă**, preferabil la aceeași temperatura cu cea a uleiului, se începe introducerea uleiului pe la partea superioară a tamburului.

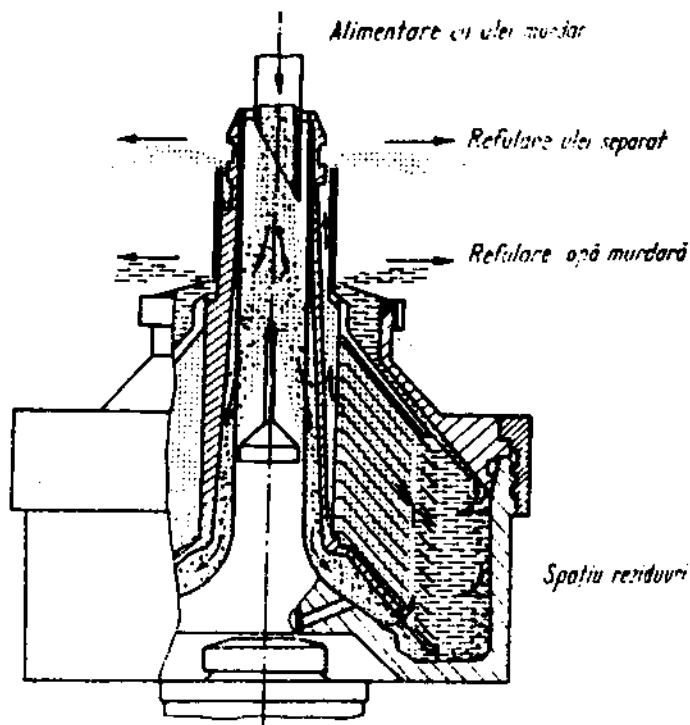


Fig. 8.8 Secțiune prin tamburul separatorului.

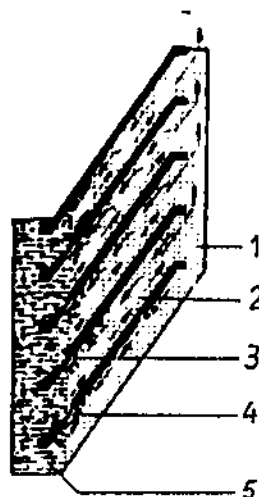


Fig. 8.9 Curgerea lichidului între talerele separatorului.

1- curgere ulei curat; 2- zonă ulei curat; 3- curgere apă și reziduuri; 4- găuri practicate în discuri în zona de separare; 5- apă murdă și reziduuri solide.

Uleiul **dislocuiește** o cantitate de apă din cupă, până ce se stabilește un anumit nivel și o anumită zonă de separație între apă și ulei. S-a arătat că acesta zonă este verticală, iar poziția ei față de axa de rotație este dată de raportul greutateilor specifice ale lichidelor prezente în tambur. Este esențial, pentru procesul de separare, ca acesta zonă să fie în dreptul **găurilor** existente pe discurile de separare. Forța centrifugă divide amestecul într-o componentă ușoară, purificată, care se mișcă de-a lungul suprafeței inferioare a discurilor, către spațiul de **reziduuri**. Unghiul corect de înclinare a discurilor și suprafața lor bine **șlefuită**, permit reziduurilor solide să se miște ușor către spațiul de reziduuri. Această mișcare produce simultan și o **autocurățire** a discurilor.

Uleiul purificat precum și apa scoasă din ulei sunt descărcate, în mod separat, prin tubulaturi independente, în tancurile respective. Reziduurile solide rămân în spațiul de reziduuri al cupei, sub forma unor depuneri pe pereții verticali ai acesteia.

În procesul de purificare, este recomandat adaosul de apă **curată**, la aceeași temperatură cu cea a uleiului. Prin adaosul de apă, particulele ușoare, precum și urmele acide foarte dăunătoare, sunt spălate și evacuate din separator, odată cu apa murdă. Acest mod de **lucru**, permite o mărire a intervalului de timp între două spălări și două demontări succesive ale separatorului, precum și scăderea riscului de coroziune.

Procesul de clarificare se deosebește de cel de purificare prin faptul că majoritatea impurităților care trebuie separate sunt **solide**. În acest scop, se folosește același tambur și același set de discuri ca la purificare. Singura deosebire este aceea că la partea superioară a tamburului se montează un inel de etanșare care închide orificiul de evacuare a apei murdare (fig. 8.10); de asemenea nu mai este necesară introducerea apei de etanșare a tamburului la începutul operațiunii de separare, de data aceasta etanșarea fiind executată mecanic prin inelul **amintit**. În rest, procesul de clarificare decurge în mod identic cu cel de purificare,

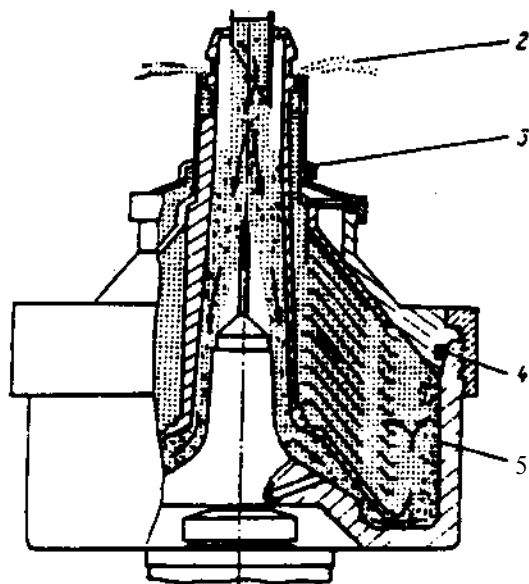


Fig. 8.10 Circulația fluidului în tamburul clarificator:

1 - alimentarea cu amestec eterogen; 2 - refulare fazi (ulei, combustibil) separată; 3 - inel de etanșare a cupei; 4 - garnitură de etanșare a cupei; f - spațiu de reziduuri.

reziduurile solide fiind adunate în spațiul de reziduuri, iar uleiul clarificat fiind refulat în exterior.

În fig. 8.10, se prezintă schematic direcțiile de mișcare a componentelor separate în interiorul tamburului (oalei) separatorului.

8.6. Separatorul cu autodescărcare

Separatoarele **fără** autodescărcare, la care curățirea camerei de separare se face manual, sunt eficiente în cazul în care conținutul de impurități solide al lichidului de separat este relativ mic. În cazul în care acest conținut este **mare**, separatoarele simple nu mai sunt eficiente deoarece spațiul de reziduuri se umple foarte repede și **instalație** trebuie oprită în **mod** frecvent pentru **curățire**. Separatorul cu auto **descărcare** oferă o exploatare

continuă, deoarece principiul său de construcție **permite** descărcarea reziduurilor în mod periodic în timp ce tamburul (cupa) se rotește cu **turația** sa **nominală**. În acest mod, timpii morți, necesari spălării manuale a separatorului sunt eliminați. Acest aspect al economiei de timp este deosebit de important în cazul exploatării separatoarelor la bordul navei.

8.6.1. Principiul de funcționare

Din punctul de vedere al procesului de separare, **funcționarea** separatoarelor cu autodescărcare, este similară cu a separatoarelor **simple**. Aceste separatoare pot **fi** folosite atât pentru purificare, cât și pentru clarificare, putând fi adaptate prin schimbarea setului de discuri, pentru tratarea lichidelor cu greutatea specifică diferite.

Diferențe mari apar în modul de construcție al tamburului (**cupei**), **mod** care este adaptat de această dată descărcării semiautomate a **reziduurilor**. În fig. 8.11 este prezentată o secțiune axială schematică printr-un tambur (cupă) cu descărcare semiautomată.

Se observă că la acest tip de separator semicupa inferioară este executată din mai multe repere: /, 2 și 3. Reperul 1 este fix, solidarizat cu semicupa superioară 4 cu ajutorul **piuliței** 5. Reperul 3 închide, la partea **inferioară**, spațiul în care are loc procesul de **separare**. Între reperele 1 și 3 este plasat un piston 2, de o formă adecvată. Acest piston are posibilitatea de a se deplasa în sus sau în jos, în funcție de poziția pe care o ocupă, putând etanșa sau nu spațiul de separare față de exterior. Arunci când este în poziția **inferioară**, el deschide ferestrele 6 practicate în semicupa inferioară 1; prin deschiderea acestor ferestre, spațiul de separare comunică cu **exteriorul**, toate reziduurile solide fiind expulzate datorită forței centrifuge în exteriorul **cupei**. În acest mod se obține o curățire eficientă și operativă a spațiului de reziduuri. **Acționarea** pistonului 2 se face pe cale hidraulică cu ajutorul apei.

8.6.2. Acționarea hidraulică a descărcării.

În cele ce urmează, cu ajutorul fig. 8.12 *a, b, c*, se va explica modul de acționare hidraulică a procesului de descărcare.

În fig. 8.12 *a* se observă cupa în procesul de separare. Pistonul mobil 2 este în poziția ridicată, etanșând, în acest fel, spațiul de lucru. Pistonul este menținut în această poziție, pe o pernă de apă, introdusă la partea sa inferioară. Datorită forței centrifuge, această pernă de apă exercită o forță asupra pereților camerei în care se află. Componenta pe direcția axială a acestei forțe, menține pistonul 2 în poziția sa superioară.

În momentul în care spațiul de reziduuri s-a umplut și este necesară evacuarea sa, se oprește admisia lichidului de separat din separator. Cu ajutorul valvei de operație se introduce apă în spațiul aflat între piston și reperul 3. Apa, care pătrunde în acest spațiu, forțează deplasarea în jos a pistonului și astfel se deschid ferestrele de evacuare 6.

În acest moment, datorită forței centrifuge, întreg conținutul din spațiul de separare este expulzat în afară. Cu aceasta procesul de curățire a tamburului (cupei) este terminat. Evacuarea tamburului (cupei) are loc în 5 - 10 s. Acest proces de evacuare poate fi controlat manual sau automat cu ajutorul unei unități de timp.

În timpul procesului de evacuare se pierde circa 4 litri de apă. Apa necesară acționării pistonului trebuie să fie la o presiune de circa 2 at. Această presiune se realizează în mod diferit în funcție de tipul de separator. Astfel, separatoarele Westfalia, folosesc apă sub presiune de la un hidrofor, în timp ce separatoarele DeLaval au o mică pompă centrifugă montată sub tambur (cupă) și acționată de acesta.

După ce tamburul (cupa) a fost golit se reia ciclul obișnuit de separare, adică:

- se închide admisia apei de comandă;
- se reface pernă de apă care asigură etanșarea tamburului (cupei);
- se introduce apă în tambur (cupă) pentru a reface etanșarea cu lichid al acesteia (numai în cursul purificării);
- se începe admisia în tambur (cupă) a lichidului de tratat;
- se continuă procesul de separare până în momentul unei noi spălări a separatorului.

Tipul de separator descris mai sus este deosebit de convenabil exploatarei la bordul navelor maritime datorită avantajelor pe care le prezintă:

- continuitatea procesului de separare; datorită faptului că separatorul nu necesită perioade de oprire, afectate curățirii manuale, el poate lucra, practic, fără oprire;
- volumul de muncă afectat întreținerii este mult diminuat;
- modul de construcție se pretează perfect unei automatizări a întregului proces.

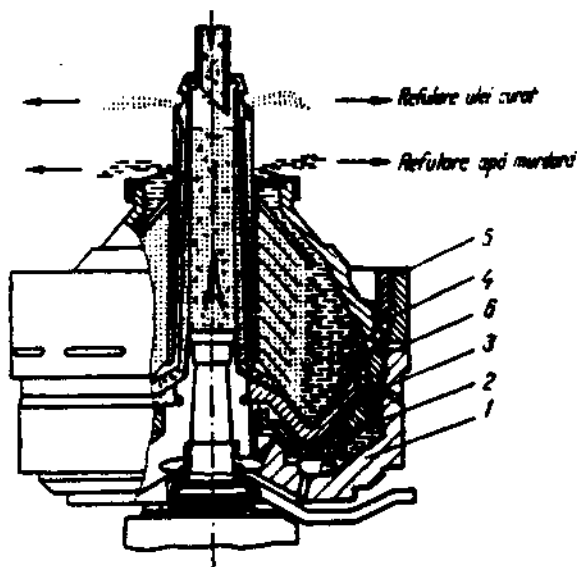


Fig. 8.11 Tamburul separatorului cu autodescărcare:

- / - semicupă inferioară; 2 - piston mobil;
- 3 - fundul cupei de separare; 4 - semicupă superioară; 5 - inel de asamblare;
- 6 - canale de descărcare.

8.7. Automatizarea procesului de separare

8.7.1 Posibilități de automatizare.

Datorită modului de construcție, separatoarele de combustibil cu **autodescărcare** se pretează la montarea într-o instalație automată. S-a arătat anterior **modul** de lucru cu un separator cu **autodescărcare**. S-a putut observa că toate operațiunile de pornire, spălare, oprire, se **efectuează** prin manevrarea unor valvule. Dacă în locul acestor valvule se plasează valvule **electro-magnetice**, există posibilitatea ca aceste operațiuni să fie efectuate prin impulsuri electrice. Dacă în această instalație se plasează un aparat capabil să **furnizeze** impulsurile electrice de comandă în funcție de un program prestabilit, se poate realiza o automatizare completă a procesului. Succesiunea **operațiilor**, într-o instalație automată de separare a **combustibilului**, este următoarea:

- a) pornirea motorului electric;
- b) etanșarea cupei cu ajutorul apei;
- c) umplerea cupei cu apă (pentru purificare);
- d) admisia combustibilului;
- e) oprirea intrării combustibilului în separator;
- f) evacuarea combustibilului din cupă;
- g) descărcarea și evacuarea reziduurilor;
- h) așteptarea (50 secunde pentru descărcarea completă).

Din acest moment ciclul operațiunilor se reia cu începere de la punctul **b**. în cazul în care datorită cantității mari de impurități este necesară spălarea de două ori consecutiv a tamburului (cupei), atunci după punctul **h** se repetă operațiunile **b**, **c**, **g**, **h** după care ciclul se reia cu operațiunea **b**.

8.7.2 Instalația de automatizare a proceselor de separare.

Pentru asigurarea funcționării continue îndelungate a separatoarelor și **autodescărcarea** (**autocurățirea**) depunerilor din camera de separare (spațiul de separare al cupei), acestea sunt dotate cu instalații automate ce se compun din următoarele elemente principale: un releu de timp (timer) cu programul său, valvule automate comandate electric sau pneumatic, aparatură de avertizare (fig. 8.13).

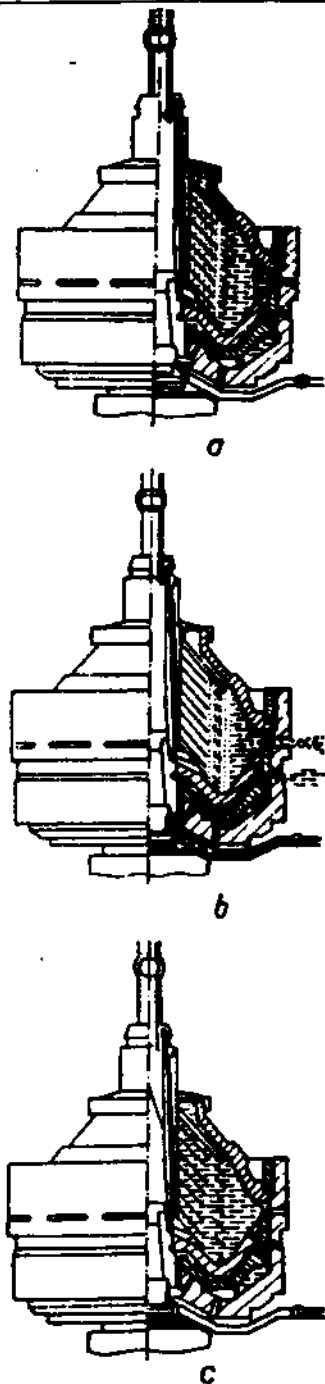


Fig. 8.12 Acționarea hidraulică asupra camerei de separare:

a - admisia ulei (combustibil) este oprită; **b** - deschiderea ferestrelor de evacuare prin coborârea semicupei glisante și începutul procesului de evacuare; **c** - etanșarea camerei de separare și începutul admisei uleiului (combustibil de separat).

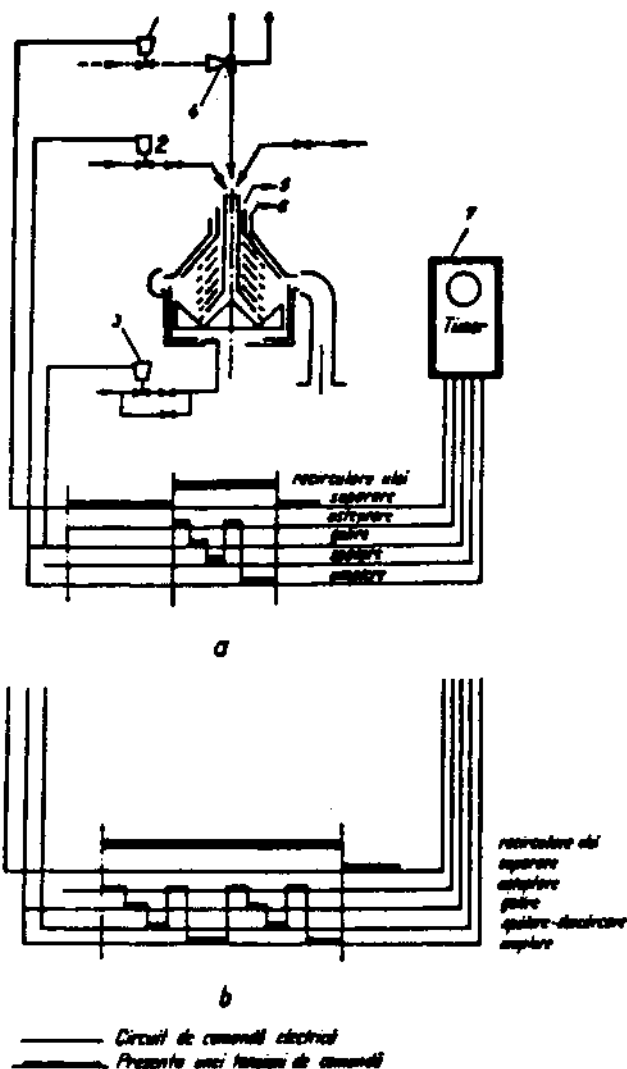


Fig. 8.13 Ciclul automat de separare:

a - spălare simplă; *b* - spălare dublă; 1, 2, 3 - valvule electromagnetice;
4 - robinet cu 3 căi; 5 • tubulatură evacuare ulei; 6 - tubulatură descărcare
reziduuri; 7 - releu de timp.

Funcționarea instalației este următoarea: după un interval de timp **prestabilit** în care separatorul a lucrat, cupa trebuie golită de reziduuri. Valvă electromagnetică 1 comandată de **releu** de timp deschide aerul comprimat către robinetul cu trei căi. Acest robinet comandat de aer joacă rolul de by-pass al pompei de alimentare cu ulei a separatorului. Prin deschiderea lui, combustibilul neseplat este **recirculat** în pompă pe toată perioada de spălare a separatorului. În continuare, releu de timp 7 transmite o **comandă** către valvă electromagnetică 2, plasată pe tubulatură de umplere cu apă a cupei. Menținând deschisă pentru un scurt timp această **valvă**, apa umple cupa evacuând pe tubulatură 5 uleiul din cupă. În acest fel se face economie de ulei, deoarece în momentul descărcării în cupă nu se vor afla decât apă și reziduuri. După **închiderea** acestei valvule, releu de timp comandă

deschiderea valvei 3 care furnizează separatorului apa de comandă a deschiderii **cupei**. Cupa este deschisă, reziduurile și apa fiind **ejectate** în afară pe tubulatura 6 m tancul de reziduuri. Valvulă 3 este menținută deschisă 10 s, timp suficient golirii separatorului.

Urmează o perioadă de așteptare în care are loc atât **etanșarea**, cât și atingerea **turației** nominale de lucru de către cupa de separare.

În continuare, valvulă 2 este deschisă din nou, cupa este umplută cu apă pentru a reface etanșarea cu lichid a acesteia. Când ciclul este complet, releul de timp comandă închiderea valvei 2 și a by-pass-ului 4 și astfel combustibilul nese separat este din nou admis în separator.

Sucesiunea operațiunilor care formează programul de automatizare se poate vedea în fig. 8.13 a.

Dacă din motivele arătate anterior, este necesară spălarea dublă a separatorului, arunci programul de lucru este cel arătat în fig. 8.13 b.

Când separatorul **lucrează**, orice anomalie apărută în funcționarea **sa**, ca de exemplu pierderea etanșării și descărcarea combustibilului pe tubulatura de refulare a apei murdare, este semnalizată de către o alarmă luminoasă și **sonoră**. În același timp cu alarma **orice** anomalie sesizată de senzorul 1 (fig. 8.14) are ca efect deschiderea by-pass-ului 4. În acest mod, pe lângă **alarmă**, instalația de automatizare asigură și o măsură operativă de oprire a admisiei lichidului de separat în separator, împiedicând pierderi nedorite.

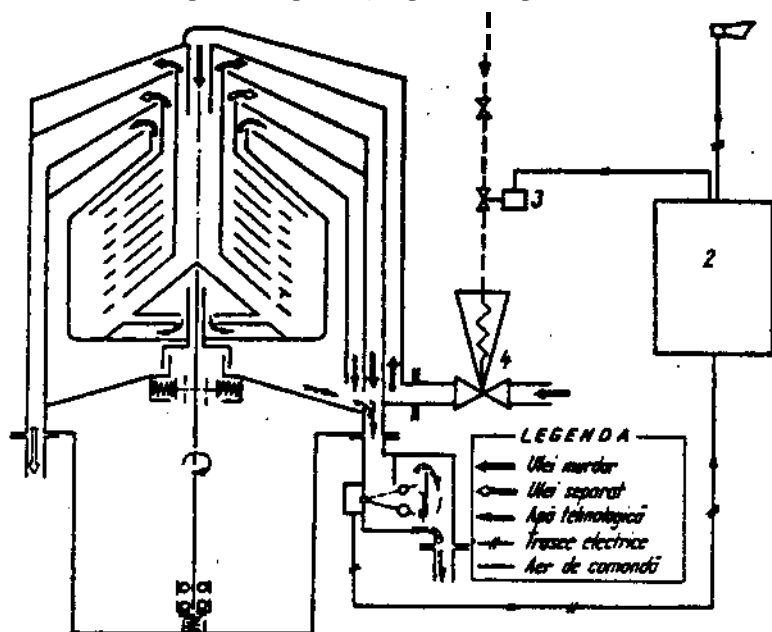


Fig. 8.14 Sistemul de avertizare și blocare a separatorului în cazul unei avarii:

1 - senzor; 2 - tablou electric; 3 - electrovalvă; 4 - by-pass.

8.8. Reguli de exploatare.

Defecțiuni, cauze și remedierea lor

Pentru punerea în funcțiune a separatorului se execută un control prealabil al stării acestuia, se verifică poziția saboților de frână și nivelul uleiului în baza de ulei, după care se pornește motorul electric de antrenare. Se așteaptă un timp până la atingerea regimului turăției nominale a tamburului vertical, după care se execută succesiv o serie de operații.

Se manevrează robinetul cu 4 căi, 5 din fig. 8.15, astfel încât apa să curgă pe țeava de preaplin 12.

Prin această operațiune apa din tancul 1 este admisă pe la partea inferioară a semicupei și o ridică asigurându-se astfel închiderea camerei de separare. În momentul în care sub semicupa inferioară s-a stabilit nivelul optim de apă, surplusul se scurge afară prin țeava de preaplin.

Se trece apoi valvulă de control - robinetul cu 4 căi în poziția 4 și se deschide valvulă 14 prin care apa pătrunde prin racordul flexibil 3 în cupa și o umple. În momentul umplerii, atunci când apa în surplus apare în tubul de evacuare 7 a reziduurilor se închide valvulă 15. În acest moment separatorul este gata de lucru, camera de separare fiind așezată față de exterior și în același timp plină cu apă necesară procesului de separare.

Acum se poate acționa robinetul by-pass 9 și motorina, combustibilul greu sau uleiul este admis în separator pentru separare.

După o anumită perioadă de lucru (pentru a descărca reziduurile apărute în urma separării și pentru a spăla separatorul) se manevrează robinetul by-pass 9 pe poziția de by-passare separator, amestecul de separat fiind trimis în aspirația pompei 6.

Odată oprită intrarea amestecului de separat în separator, se acționează asupra valvulei de separație 5 manevrând-o pe poziția 1 în care se întrerupe legătura hidrostatică cu tancul 7, semicupa coboară și se deschid ferestrele de evacuare a reziduurilor din camera de separare. Acest moment este sesizat sub forma unui zgomot înfundat de scurtă durată în care reziduurile sunt centrifugate în interiorul camerei de separare spre tancul de reziduuri.

Se manevrează valvulă de operație pe poziția 2 și se așteaptă 5 - 10 s pentru a se evacua toate depunerile din camera de separare.

După această operațiune se trece valvulă J pe poziția 3 și ciclul se reia.

Pentru oprirea definitivă a separatorului se efectuează operația de descărcare-spălare, valvulă 5 rămânând în poziția 2, după care se oprește motorul și se frânează tamburul.

Intervalul de timp între două descărcări consecutive ale separatorului depinde de conținutul procentual de reziduuri din amestecul de separat. Valoarea acestui conținut procentual fiind greu de stabilit, se procedează la testarea reziduurilor. Dacă reziduul

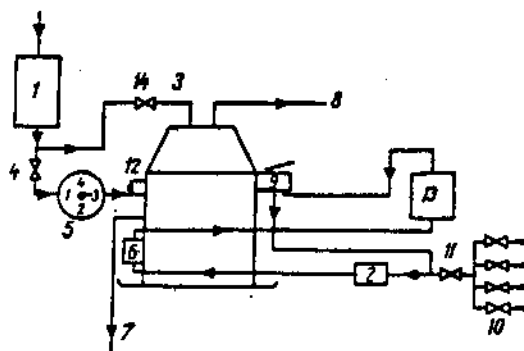


Fig. 8.15 Schema de lucru a instalației de separare:

1 - tanc pentru apă de lucru; 2 - filtru de combustibil;
3 - racord de apă pentru etanșarea cupei; 4 - valvulă de apă pentru robinetul cu patru căi; 5 - robinet cu patru căi; 6 - pompă de aspirație; 7 - evacuare reziduuri; 8 - refulare combustibil separai; 9 - robinet by-pass combustibil; 10 - baterie de valvule-aspirație motorină; 11 - valvulă aspirație motorină în separator; 12 - țeava de prea plin; 13 - încălzitor motorină; 14 - valvulă de umplere.

evacuat este prea fluid, timpul între două descărcări va fi mărit și invers. Se recomandă ca timpul între două **autodescărcări** să nu fie prea mare, pentru a evita creșterea spațiului ocupat de reziduuri în camera de separare ceea ce ar afecta calitatea separării.

La separatoarele **fără autodescărcare**, la care îndepărtarea depunerilor se face manual este necesar ca, cel puțin o dată la 24 ore de funcționare, separatorul să fie oprit și curățat.

În cazul separării uleiului, **temperatura** acestuia la intrare în separator trebuie să aibe o valoare cuprinsă între (75 - 82) ° C. Temperatura apei de spălare trebuie să fie cu câteva grade **mai** mare decât temperatura uleiului.

Uleiurile aditivate nu se **recomandă** a fi spălate cu apă, deoarece pot fi îndepărtați aditivii și se pot forma **emulsii** stabile.

Pentru asigurarea unei bune calități a separării este preferabil ca separatorul să lucreze la o valoare de (50 - 60) % din debitul nominal și să asigure funcționarea în serie a două separatoare: primul **funcționând** ca separator, iar al doilea ca clarificator.

Experiența practică a arătat că se impune obligatoriu stabilirea corectă a discului gravitațional pentru fiecare nou sort de combustibil **ambarcat** (în general pentru fiecare amestec eterogen de separat) prin metoda încercărilor succesive.

În tabelul 8.1 sunt **date** incidentele în funcționarea separatoarelor și remedierea lor.

Tabelul 8.1 Incidente în funcționarea separatoarelor și remedierea lor

Nr. crt.	Cauze	Remedieri
----------	-------	-----------

1. Tamburul (ansamblul **vertical**) nu atinge turația **prescrisă** sau o atinge după un timp prea **lung** de la pornire

1	Frânele sunt strânse	Se vor slăbi frânele.
2	Șuruburile pentru fixarea tamburului sunt strânse	Vor fi deșurubate șuruburile
3	Motorul nu este racordat bine	Va fi verificată schema de de conectare
4	Suprafețele de frecare ale saboților cuplajului sunt murdare (îmbibate cu ulei)	Se va curăța suprafața de frecare
5	Numărul saboților este mic	Se va mări numărul saboților
6	Tamburul se afla prea sus și intră în atingere cu capacul	Se va regla înălțimea tamburului
7	La partea superioară a carcasei batiului s-a acumulat lichid sau impurități , datorită cărui fapt tamburul este frânat.	Se va controla: - golirea instalației ; - lichidul care trebuie să se scurgă; - se va verifica etanșarea organului de închidere pe aspirație; - se va curăți partea superioară a carcasei batiului.

2. Turația separatorului **decrește** în timpul funcționării

8	Suprafețele de lucru ale saboților s-au îmbăcsit cu ulei	Se vor curăța suprafețele de lucru
9	Scade tensiunea de alimentare de la rețea	Se va controla valoarea tensiunii rețelei
10	Scade turația electromotorului de antrenare	Se va verifica motorul

3. Tamburul atinge prea **repede** ($< 3'$) turația prescrisă; valoarea curentului de pornire este foarte mare

11	Au fost montați prea mulți saboți de cuplaj (se va avea în vedere că saboții noi antrenează mai bine după mai multe porniri)	Numărul saboților se va reduce la 2 sau 3, ținând cont de o repartizare uniformă a saboților
----	---	--

4. Separatorul funcționează cu trepidații

12	Impuritățile îndepărtate prin centrifugare s-au depus în mod neuniform în tambur	Se va demonta și curăți tamburul
13	Tamburul este asamblat incorect sau asamblat cu elemente provenind de la tamburi diferiți	Tamburul va fi asamblat corect: - se va controla numărul talercilor ; - se va adăuga la nevoie un taler de rezervă.
14	Lagărele cu bile (rulmenți) sau elemente de angrenare uzate	Elementele deteriorate vor fi înlocuite
15	Tamburul dezechilibrat din cauza avarierii	Tamburul va fi expediat firmei furnizoare pentru reparație . Nu se admite nici o reparație la tambur cu mijloace proprii ; nu se admit lucrări de sudare sau lipire fiind vorba de oțeluri speciale cu grad mare de aliere

5. Sistemul de operație funcționează **nesatisfăcător** (**închiderea și deschiderea cupei**). Semicupa glisantă **închide** fără acționarea valvulei de operație pe poziția 3 - 4 sau nu **închide**, deși a fost acționată valvă de operație

16	Cupa nu se închide (semicupa glisantă)	Verificarea garniturii circulare laterale: - verificarea canalelor de pătrundere a apei de operație; - verificarea tancului presiunii hidrostatice; - starea de curățire a canalelor apei de operație; - dacă garniturile sunt în perfectă stare.
----	--	--

6. Rezultatele separării nu sunt normale (la nivelul celor standard)

17	Viteza de rotație prea mică	Verificarea stării ferodourilor : - verificarea frânei (să fie slăbită); - verificarea valvei presiunii constante; - reducerea timpului între două descărcări succesive.
18	Spațiul de reziduuri din oala este plin	Se golește spațiul de reziduuri

7. Combustibilul este deversat odată cu apa.

19	S-a întrerupt coloana de lichid de amorsare	- Se verifică cantitatea apei; - se verifică garnitura discului gravitațional.
20	S-a schimbat temperatura de separare	Garnitura de etanșare a oalei inferioare sau muchia oalei inferioare deteriorate.

Bibliografie

- [1] Gh. Uzunov, L. Dragomir îndrumătorul **ofițerului** de navă
Editura **Tehnică**, București, 1983
- [2] *** Documentația instalațiilor de la bordul
navelor BK 65.000 tdw
- [3] *** Documentația instalațiilor de la bordul
navelor TK 150.000 tdw
- [4] *** MOPX 205 and 207 Separation Systems
Alfa Laval Marine & Power
Sweden, 1991
- [5] *** Supplement- MOPX Separations Systems
for mineral oils
Alfa Laval Marine & Power
Sweden, 1993

9

INSTALAȚII DE STINGERE A INCENDIILOR

9.1. Generalități

Apariția incendiului la bordul navei **este** una din cele mai frecvente avarii ce poate apare pe marc. De altfel un incendiu poate apare:

- în timpul construcției navei;
- în timpul staționării la cheu;
- în timpul reparațiilor;
- în timpul marșului.

Apariția unui incendiu este **cauzată** de **existența** simultană a trei elemente, care se încadrează în așa numitul triunghi al focului. Acestea sunt:

- materialele** combustibile;
- temperatura de aprindere;
- oxigenul.

Este suficient ca unul din elemente să lipsească pentru ca **incendiul** să nu mai apară.

Din triunghiul focului rezultă și posibilitatea de a **înlătura** incendiul, adică:

-înlăturarea materialelor combustibile conținute în corpul navei sau cele ce constituie marfa de transportat (acest lucru se face prin **aplicarea** normelor ce interzic folosirea anumitor materiale la construcția **navei**);

-modificarea temperaturii de aprindere, numai că, din păcate, acest lucru nu poate fi **făcut**: temperatura de aprindere este **caracteristică** fiecărui combustibil și nu se poate **face altceva** decât menținerea temperaturii materialelor combustibile sub valoarea temperaturii de **aprindere**, iar la corpurile aprinse răcirea acestora;

-eliminarea **oxigenului**, aceasta este singura soluție utilă și eficientă atât în prevenirea, cât și în **stingerea** incendiilor; în cazul **prevenirii** substanțele combustibile sunt păstrate într-un mediu lipsit de oxigen ce nu permite apariția focului și nici extinderea acestuia în **spațiile** respective.

Atâta timp cât sunt în **exploatare**, navele trebuie să fie **dotate** cu mijloace de **prevenire** și **stingere** a **incendiilor**. După modul de stingere a incendiilor, **acestea** pot fi:

- de suprafață;
- volumice.

Instalațiile de stins incendiu de suprafață **trimit**, la suprafața focarului de **incendiu**, substanțe stingătoare care răcesc sau opresc alimentarea cu oxigenul din aer a zonei de **ardere** (ex. instalații de stins incendiu cu apă, cu spumă, etc.).

În grupa **instalațiilor** volumice de stingere a incendiilor intră acele instalații care umplu volumul liber al încăperii cu substanțe (abur, gaz **inert** sau **spume** foarte ușoare) ce **înlocuiesc** substanțele ce întrețin arderea.

9.1.1. Cerințe ale instalațiilor de stins incendiu

Instalațiile de stins incendiu trebuie să corespundă următoarelor **cerințe** principale:

- să **fie oricând** gata de **funcționare**, indiferent dacă nava se **afă** în **staționare** sau în marș;
- să nu intensifice prin funcționarea lor arderea;
- să **fie sigure** în **funcționare** și să aibă propria **vitalitate**;
- să acționeze asupra focarului **de incendiu** astfel încât să **excludă** posibilitatea **reapinderii**;
- să aibă mijloace **de acționare** locală și de la distanță **precum** și posibilități de control;
- să nu fie **periculoase** pentru oameni;
- substanțele** stingătoare să nu **provoace** corodarea instalațiilor și a construcțiilor aferente;
- să nu fie **deficitare** și să-și **mențină proprietățile** stingătoare după o **depozitare** îndelungată.

În afară de aceste **cerințe**, instalațiile de stins incendiu de la bordul navei sunt **dublate** întotdeauna cu sisteme **de prevenire** (avertizare) a **incendiilor**.

9.1.2. Mijloacele de prevenire (avertizare) a incendiilor la bordul navei

Mijloacele de prevenire (avertizare) a incendiilor la bordul navei sunt clasificate în: pasive și active.

Mijloacele pasive de prevenirea apariției și **extinderii** incendiilor la **bordul** navei sunt folosite **încă** din faza de **proiectare** și construcție a **navei** și sunt:

- măsurile luate din proiectarea navei pentru a se **evita** apariția incendiului;
- amenajările** interioare să fie realizate din materiale **ignifuge**;
- stabilirea** traseelor de tubulaturi cu temperatură ridicată să fie **flcută** astfel încât acestea să **treacă** departe de materialele combustibile;
- izolarea elementelor din **instalațiile** navale cu **temperaturi** ridicate;
- stabilirea** unor măsuri de prevenire a **incendiilor** în cazul **apariției** unor **scurtcircuite** electrice la diferitele **instalații electrice de bord**;
- măsurile ce prevăd stoparea **ventilării** sau a altor clemente ce ar întreține **arderea** (incendiu) într-un compartiment.

Utilizarea mijloacelor active de **prevenire** și **extindere** a incendiilor la bordul navei se **referă** la:

- răcirea materialelor combustibile sau izolarea lor de mediul ambiant printr-un strat **de** gaz inert;

-eliminarea oxigenului din compartimentele ce conțin materiale combustibile prin introducerea gazelor inerte;

-avertizarea echipajului asupra apariției unui incendiu.

Ultimele sisteme menționate sunt obligatorii pentru **toate** tipurile de nave cu zonă nelimitată de navigație și constă din utilizarea unor **traductori** care sesizează apariția incendiului, apoi transmite informația la postul central de comandă, acolo unde **există**, sau la postul central de comandă al instalației de **incendiu**. În general elementele de avertizare **privoare** la apariția incendiilor se află în compartimentele unde nu există cart **permanent** și se folosesc pentru aceasta mai multe tipuri de **traductoare**.

Cele mai utilizate traductoare pentru **instalațiile** de avertizare incendiu sunt: de **temperatură**, de fum.

Traductoarele de temperatură sunt realizate în două variante constructive:

-maximale - care declanșează la o **temperatură** maximă;

-**diferențiale** - care declanșează la o anumită **viteză de creștere a temperaturii**.

Întrucât temperatura în sine nu **este** un **criteriu** suficient de sigur în **prevenirea** incendiilor, se **folosește** în **unele** cazuri traductorul de fum **care sesizează** apariția incendiului încă din faza când acesta nu atinge o temperatură prea mare.

În acest caz se utilizează **celulele fotoelectrice** instalate în tubulaturi de **diametru** 20-30 mm (adesea se folosesc aceleași tubulaturi în **care se** introduce CO_2) prin care **se** aspiră amestec de aer și fîm din compartimentul navei.

Elementele de avertizare a incendiilor se montează **pe** navă în **compartimentele interesate** fiind dispuse în serie, paralel sau mixt.

Cuplarea în serie are dezavantajul că în momentul în care un avertizor sesizează un incendiu, se cuplează **alarma**, dar nu se poate identifica compartimentul unde a apărut incendiul.

Cuplarea în paralel are avantajul că se poate identifica compartimentul **unde** a apărut incendiul dar sunt mai **complexe**. În general schema sinoptică a unei asemenea instalații se montează în cabina de **comandă**. În cazul apariției unui **incendiu**, pe tablou se va aprinde lampa ce simbolizează avertizorul din compartimentul avariat.

Mijloacele de stins incendiu sunt construite având la bază mai multe modalități de acțiune:

A - instalații de stins incendiu în care stingerea se face prin răcirea obiectelor incendiate (de ex. instalații de stins incendiu cu apă);

B - instalații de stins incendiu în care stingerea se face prin înlăturarea oxigenului din compartimentul etanș unde se află materiale sau **marfă** incendiată (de ex. instalațiile de stins incendiu cu gaze inerte - diferențiate **funcție** de tipul gazului **utilizat**, instalații de stins incendiu cu CO_2 , instalații de stins incendiu cu lichide volatile - **haloni**, instalații de stins incendiu cu pulberi care la temperaturi mari se **vaporizează** formând o atmosferă inertă);

C - instalații de stins incendiu în care stingerea se **face** prin izolarea **suprafețelor** incendiate cu un strat protector de spumă (de ex. instalațiile **de** stins incendiu cu spumă **aeromecanică** sau chimică).

9.2. Instalații de stins incendiu cu apă

Instalațiile de stins incendiu cu apă se întâlnesc sub două **forme**:

- instalații de stins incendiu cu jet de apă:
- instalații de stins incendiu cu apă pulverizată.

9.2.1. Instalația de stins incendiu cu jet de apă

Instalația de stins incendiu cu jet de apă este prezentată în figura nr. 9.1.

Pompele 1 aspiră din magistrala de apă de mare a navei. Pompa de avarie se cuplează la circuitul pompelor principale iar debitul ei trebuie să fie suficient de mare pentru a alimenta simultan două guri de incendiu cu diametrul maxim stabilit pentru nava respectivă, dar nu mai puțin de $25 \text{ m}^3/\text{h}$, la presiunea corespunzătoare a instalației.

Împrăștierea apei se face cu ajutorul unor duze cu diametrul standard.

Pompa de incendiu de avarie nu este necesară dacă pompele de incendiu și sursele de energie pentru acționarea lor se găsesc în compartimente diferite, astfel încât la izbucnirea incendiului în unul din compartimente, pompele dintr-un alt compartiment vor asigura alimentarea cu apă a magistralci.

Pompele de incendiu, prizele de fiind și sursele de energie vor fi astfel amplasate încât un incendiu izbucnit într-unul din compartimentele etanșe la apă să nu cauzeze ieșirea simultană din funcțiune a tuturor pompelor de incendiu.

Pompele de incendiu staționare vor fi. puse în funcțiune de la o sursă independentă de energie mecanică nefiind admisă transmisia cu curele de la mecanismul de acționare la pompă.

Pompele de incendiu pot fi adaptate și pentru alte nevoi ale navei cu condiția ca nava să fie dotată cu cel puțin două pompe acționate independent, una dintre ele fiind în permanență gata de intrare în funcțiune conform destinației avute.

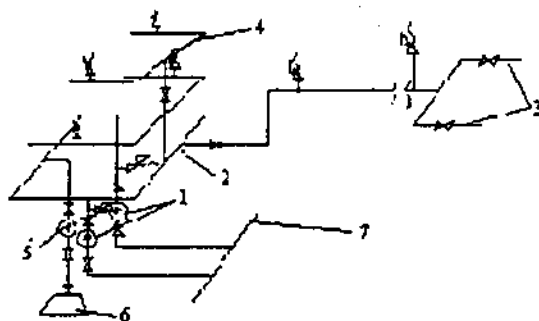


Fig. 9.1. Instalația de stins incendiu cu jet de apă

1-pompe de incendiu; 2-tubulatura înelară a instalației de stins incendiu; 3-tubulaturi de spălare a nărilor, 4-ramificațiile suprastructurii; 5-pompa de avarie; 6-priză Kingston independentă; 7- magistrala principală de apă de mare.

Pompa de avarie este legată la o priză Kingston independentă și la o sursă de alimentare cu energie de asemenea independentă (adică nu depinde de sursa de energie generată din compartimentul mașini).

Dacă **sc** montează o singură pompă, **sc** admite folosirea ei **pentru** alte **necesități**. Însă numai pentru o durată scurtă (de ex. pentru spălarea tancurilor, pentru spălarea nărilor **de ancoră**, etc.).

Pompele sanitare, de balast, de santină și alte pompe de apă de mare pot fi folosite ca pompe de incendiu dacă debitul și presiunea lor corespund datelor rezultate din calculele instalației de stins **incendiu** și dacă sunt acționate independent și nu sunt folosite pentru pomparea produselor **petroliere**, a uleiurilor sau a altor lichide inflamabile.

Pompele de incendiu **vor** fi prevăzute pe partea de refulare cu manometre. Pompele de incendiu pot avea în tubulatura principală de incendiu o presiune mai mare decât cea **admisibilă**, dar vor fi prevăzute cu supape de siguranță reglate la o presiune mai mare cu **10%** decât presiunea de regim din tubulatura principală de incendiu, având pentru scurgerea apei racorduri la tubulatura de **aspirație**.

Pompele de incendiu și prizele lor de fund vor fi instalate sub linia de **plutire** a navei goale. **Toate** pompele de incendiu, inclusiv cele de avarie trebuie **amplasate** în compartimente cu **temperaturi** peste **0°C**.

Instalația de stins incendiu cu apă poate fi în permanență sub presiune sau **poate** fi acționată atunci când **sc** declanșează un incendiu, caz în **care** instalația trebuie să fie prevăzută cu **acționare** de la **distanță** a pompelor de incendiu.

Pentru **acționarea** pompei de avarie se va folosi ori un motor cu **ardere internă**, ori o turbină cu **gaze**, ori un electromotor alimentat de la o sursă **de energie** electrică de avarie. Pompa de avarie, sursele de energie pentru acționarea ei și **prizele** de fund trebuie astfel amplasate încât ele să nu iasă din funcțiune în cazul izbucnirii **incendium** în **încăperile** unde **sc** găsesc pompele de **incendiu** principale.

Dacă pompa de avarie se instalează deasupra celei mai joase linii de plutire **posibile** în condițiile de **exploatare** ale navei, trebuie prevăzute instalații sigure de **autoamorsare**.

Intrarea în încăperea unde este montată pompa de avarie trebuie să fie independentă **de** încăperile unde sunt montate pompele de incendiu principale.

Pompa de avarie nu se va monta în prova peretelui de coliziune.

9.2.1.1. Tubulaturile

Pe navele cu **TRB** > 1000 tubulatura instalației de stins incendiu cu apă se va calcula pentru o presiune de regim de minim 10 bar. **Fiecare pompă** de incendiu va avea pe țevile **de** aspirație și de refulare **valvule** de închidere (pe țevile de aspirație se admite montarea valvulelor cu sertar).

Când există două sau mai multe pompe **centrifuge**, **valvulele** de pe tubulatura de refulare a fiecăreia dintre acestea trebuie să fie de tipul cu închidere și reținere.

Pe toate navele cu **TRB** > 1000 magistrala de apă trebuie să **aibe** pe puntea **deschisă**. În fiecare **bord**, mijloace pentru cuplarea racordului internațional de legătură cu **uscatul**.

9.2.1.2. Hidranții

Fiecare hidrant **de** incendiu va fi prevăzut cu o valvă de închidere și racord standard cu **cuplare** rapidă. Hidranții montați pe punțile deschise vor fi prevăzuți cu **capace** **de** închidere cu cuplare rapidă.

Amplasarea **hidranților** trebuie să permită racordarea rapidă și ușoară a furtunurilor **de** incendiu, iar numărul lor trebuie să asigure **alimentarea** cu două jeturi **de** apă în orice parte a fiecărei **încăperi**, punți sau magazii de mărfuri (magazia fiind goală). Unul din jeturi va fi

debitat printr-un **furtun** de lungime standardizată, iar alt jet poate fi debitat prin două furtunuri de același fel cuplate între ele. Lungimea furtunurilor va fi de 15-20 m pentru **hidranții** instalați pe punțile deschise și 10 m pentru **hidranții** instalați în încăperile navei sau pe punți deschise pentru nave cu **TRB** < 500.

Pe punțile deschise destinate transportului de containere pentru fiecare parte verticală accesibilă a containerelor trebuie să se asigure două jeturi de apă prin furtunuri **de** lungime **standardizată**.

Dacă pe navă există un hangar pentru elicopter amplasarea și numărul de **hidranți** vor fi alese astfel încât să se asigure emiterea a **trei** jeturi de apă în orice parte a hangarului.

Hidranții se montează în încăperi la maximum 20 m distanță între ei, iar în exterior ia maximum 40 m.

La fiecare pompă de incendiu se va monta un hidrant de incendiu direct pe tubulatura de refulare, între pompă și valvulă de închidere.

Furtunurile de incendiu ansamblate cu **țevile** de refulare **trebuie** amplasate în imediata apropiere a **hidranților** și păstrați pe **tamburi** sau în cutii.

Țevile de refulare de mână vor fi prevăzute cu ajutaje ale căror **diametre** de **ieșire** vor fi de 12, 16 sau 19 mm, sau cat mai aproape posibil de aceste **dimensiuni**.

9.2.1.3. Calculul instalației

Mai întâi se determină debitul însumat al pompelor de stins **incendiu**, conform normelor **registrului de clasificare**.

Se trasează tubulatura de stins incendiu de-a lungul navei astfel încât să se realizeze **alimentarea** cu apă a oricărui loc de pe navă de la cel puțin două puncte **de** alimentare.

Se face calculul sarcinii pompei, având în vedere prescripțiile privind sarcina minimă de activare.

Se calculează debitul unei pompe, se alege pompa și se face **verificarea** pompelor **în** paralel.

Calculul debitului pompelor după R.N.R.:

$$\Sigma Q > K m^3 [m^3/h] \quad (9.1)$$

în care: :

$$m = 1,68 \sqrt{L(B+H)+25} \quad (9.2)$$

L = lungimea navei [m];

B = lățimea maximă a navei [m];

H = înălțimea bordului până la puntea pereților în secțiune [m];

K = **coeficient**, care este funcție de criteriul de **servici** sau de indicele **de** compartimentare A:

$$C_i = 72 \frac{M + 2P_1}{V + P_1 - P} \quad (9.3)$$

C **se** calculează numai pentru **navele de pasageri**, în care:

M - volumul compartimentelor de mașini la care se adaugă volumele tancurilor de combustibil din afara **dublului** fund dispuse în prova sau în pupa **spațiului** de mașini [m³];

P = volumul total al spațiilor pentru pasageri sub linia limită de imersiune [m³];

V = volumul total al navei sub linia limită de imersiune [m³];

$$P_1 = 0.056 L N \quad (9.4)$$

N - numărul de pasageri pentru care **este certificată** nava.

Dacă

$$P_1 > P + p$$

unde *p* este volumul total al spațiilor pentru pasageri de la bordul navei **situate** mai sus **de** linia limită de imersiune, calculat **fără** a ține seama de spațiile **destinate** pentru cazarea și servirea **echipajului**, atunci

$$P_1 = \max [(P+p); 0.037 + L \cdot N]$$

ține seama de spațiile **destinate** pentru **cazarea** și **servirea** echipajului.

Dacă $P_1 < P$, **C**, **se** va calcula cu **relația**:

$$C_1 = 72 \frac{N_1 + IP}{V} \quad (9.5)$$

Factorul de compartimentare *A* este aplicabil în special navelor **destinate** transportului de mărfuri și se determină cu **relația**:

$$A = \frac{58.2}{L - 60} + 0.18 \quad (9.6)$$

pentru $L = 131$ m și mai mult, iar *B* reprezintă factorul de compartimentare aplicabil în primul **rând** navelor angajate pentru transportul de pasageri și se determină cu **relația**:

$$B = \frac{30.3}{L - 42} + 0.18 \quad (9.6a)$$

pentru $L = 79$ m și mai mult.

Deci.

$k = 0.016$ pentru navele de pasageri cu $C_1 > 30$ sau $A \geq 0.5$;

$k = 0.012$ pentru navele de pasageri cu $C < 0.5$;

$k = 0.008$ pentru toate celelalte nave.

Pe toate navele, cu excepția pasagerilor, debitul total al pompelor de incendiu poate să nu depășească 180 m³/h dacă asigurarea funcționării concomitente a altor instalații consumatoare de apă nu impune un debit mai mare. La stabilirea debitului total al pompelor de incendiu nu se ia în calcul debitul pompelor staționare montate pe petroliere la prova și nici debitul pompei de avarie.

Debitul fiecărei pompe staționare de incendiu cu excepția celei de avarie va fi de minimum 80% din debitul total necesar, împărțit la numărul necesar de pompe de incendiu.

Calculul sarcinii se face cu condiția ca fiecare jet să **aibe** o anumită bătaie. Această bătaie este proporțională cu presiunea de la intrarea în jet. Din acest **motiv**, regulile R.N.R. impun valoarea minimă pentru presiunea la intrarea în jet conform **tabelului nr. 9.1**:

Tabelul 9.1. Valori minime ale presiunii apei la hidrant

Tonajul brut al navei (TRB)	Nave de pasageri		Celelalte nave	
	Număr de pompe	Presiune minimă (fără pompă de avarie)	Număr de pompe (fără pompa de avarie)	Presiune minimă U hidrant (bar)
Până la 300	1	2.0	1	2.0
300-1.000	2	2.8	1	2.6
1.000-4.000	2	2.8	2	2.6
>4.000	3	3,2	2	2.X

Alegerea distribuției, presiunii și a numărului de **pompe** de incendiu pentru **docrurile** plutitoare se va face după nava de mărfuri cea mai mare care poate fi **andocată**, pornind de la consumul de apă **necesar** funcționării instalației de **stingere** a incendiului cu apă.

Dacă nava **este prevăzută** și cu alte instalații de stingere a **incendiului**, care consumă apă de la pompele de incendiu, atunci debitul pompelor de **incendiu trebuie** să fie **suficient** de mare pentru a asigura funcționarea instalației de stins incendiu cu apă cu debitul de **cel puțin** 50% din debitul determinat cu relația (9.1) **pentru funcționarea** în paralel și a **celeilalte** instalații de stins incendiu, care consumă cea mai mare **cantitate de** apă. În acest caz cantitatea de apă pentru instalația de stins **incendiu** cu apă **trebuie** să fie **suficientă** pentru a asigura consumul de apă pentru cel puțin două **jeturi** de la ajutoarele țevilor **de refulare** cu diametrul cel mai mare, **utilizate** la bordul navei, însă nu vor fi mai mult de **șase jeturi**, iar la navele de **marfă** este necesar un debit de apă nu mai mare **de** 90 m³/s.

9.2.1.4. Parametrii funcționali ai instalației

Pentru o funcționare normală se pune condiția ca sarcina pompei să fie egală cu sarcina instalației. Sarcina instalației este dată de relația:

$$H_i = \frac{V_2^2 - V_1^2}{2} \rho + p_2 - p_1 + \rho g z + h \quad (9.7)$$

unde:

$\frac{V_2^2 - V_1^2}{2} \rho$ - componenta dinamică, **care poate** fi neglijată:

$p_2 - p_1$ - sarcina **piezometrică**, care poate fi considerată ca **diferența** dintre $p_2 = p_h$ (presiunea la ieșirea din hidrant) și $p_1 = p_0$; rezultă $p_2 - p_1 = p_h - p_0$;

$\rho g z$ - componenta geodezică, care se va alege **funcție** de amplasarea gurilor de incendiu considerând z ca fiind **înălțimea** față de linia de plutire a gurii de incendiu amplasate **cel** mai sus;

h - pierderile de sarcină pe **tubulaturi**, care **se** calculează în conformitate cu **traseul stabilit pentru** alimentarea **gurilor** de incendiu.

Pentru a **determina** traseul cu **pierderile** maxime de sarcină, se aleg mai multe trasee susceptibile în acest sens. Aceste trasee se aleg astfel încât prin ele să circule debitul prevăzut de R.N.R. și calculat cu **relația** (9.1). Pentru aceasta este necesar să determinăm numărul gurilor de incendiu ce trebuie deschise simultan pentru a consuma împreună întreg debitul ΣQ .

Presupunem ajutorul de diametru d prin care curge un jet de apă cu **viteza** v la o presiune recomandată de R.N.R. așa cum se vede în tabelul 9.1.

$$v = \sqrt{\frac{2 \cdot p_k}{\rho}} \quad (9.8)$$

de unde rezultă debitul de apă ce iese prin ajutor.

$$q = (\pi d^2 / 4) v \mu \quad (9.9)$$

unde:

μ - coeficient de debit.

Numărul de ajutoare ce trebuie să lucreze **simultan** pentru a consuma debitul ΣQ este:

$$n = \frac{\Sigma Q}{q} \quad (9.10)$$

Pentru traseul **ales**, cu n guri de incendiu deschise, **se stabilește** caracteristica rezultantă a instalației.

Se adoptă apoi un alt traseu unde sarcina geodezică este suspectă a fi maximă și se trasează caracteristica rezultantă a instalației. Din cele două caracteristici se alege pentru studiul instalației caracteristica cea mai apropiată de axa OH (vezi figura 9.2.)

Se determină caracteristica echivalentă a pompelor ce se cuplează în instalație (în general pompele se cuplează în paralel). Se suprapun cele două caracteristici ale **instalației** și a pompei echivalente și se determină **punctul** echivalent de lucru în instalație (figura 9.3).

Sarcina determinată H_l este de altfel chiar sarcina pompei de incendiu.

Debitul unei pompei de incendiu se **determină** cu:

$$Q_i = \frac{\Sigma Q}{N \cdot K_1} \quad (9.11)$$

unde:

N - numărul total de pompe;

$k_1 = 0.8 \div 0.85$.

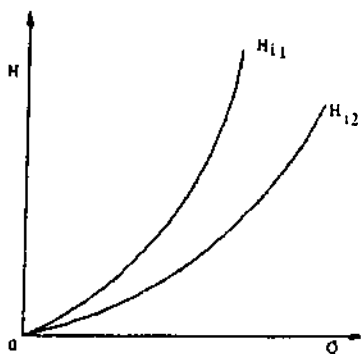


Fig. 9.2. Caracteristica hidraulică

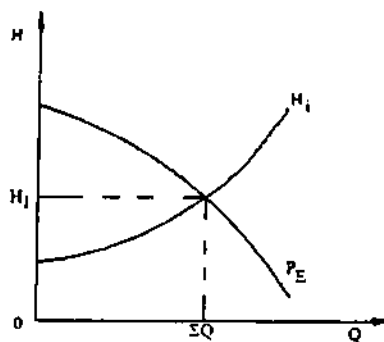


Fig. 9.3. Determinarea punctului de funcționare al pompei

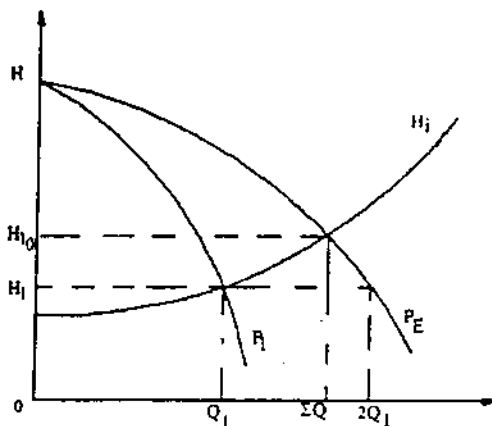


Fig. 9.4. Verificarea calculului pompelor de incendiu

Cu valorile H_I și Q_I se determină caracteristica pompei P_I .

Apoi se verifică dacă pompa aleasă satisface condițiile de funcționare ale instalației de stins incendiu.

Pentru aceasta se calculează caracteristica pompei echivalente și apoi se suprapune pe caracteristica instalației. Caracteristica trebuie să treacă prin punctul $P(H_{I0}, \Sigma Q)$.

Dacă debitul total al celor două pompe ce lucrează în instalație este mai mic (vezi figura 9.4) decât debitul celor două pompe cuplate la aceeași sarcină, și care lucrează singular în instalație, înseamnă că s-a efectuat un calcul corect.

Adică $\Sigma Q < 2Q_I$.

9.2.2. Instalațiile de stins incendiu cu apă pulverizată

Instalațiile de stins incendiu cu apă pulverizată sunt mai eficiente întrucât apa pulverizată are o influență mai mare asupra focarului de incendiu - în afara răcirii propriu-zise se creează și un strat protector de vapori de apă ce **întreține** alimentarea cu oxigen a suprafeței incendiate.

Aceste instalații **sunt** de două tipuri:

- cu **sprinklere**;
- cu **drencere**.

Tubulatura instalațiilor cu **sprinklere** trebuie să fie în permanență plină cu apă. Butelia de aer **hidroforul**, pompa și tubulatura **instalațiilor** cu sprinklere (cu **excepția** tubulaturii, care face **legătura instalației** de stins incendiu cu sprinklere cu instalația de stingere a incendiului cu apă) vor fi independente de alte **instalații**.

Pompa instalației de stins incendiu cu sprinklere **trebuie** să pornească automat în caz de scădere a presiunii în instalație. **Sprinklerelor** sunt dispozitive care declanșează automat atunci când într-un compartiment **temperatura** depășește o anumită **valoare**, permițând pulverizarea apei în spațiul incendiat.

Temperaturile de deschidere a **sprinklerelor** pentru încăperile de locuit și de serviciu sunt: **61°C** pentru zonele cu climă moderată și **79°C** pentru **zonele** tropicale iar pentru **uscătorii** și bucătării, indiferent de zonă, cu **30°C** peste temperatura maximă a plafonului acestor încăperi.

Sprinklerelor (figura nr. 9.6) se folosesc în încăperi în **care** se păstrează materiale inflamabile și nu există prezența continuă a personalului navigant. Sunt montate în partea superioară a încăperii astfel încât să fie asigurat un consum mediu de apă de cel puțin **5 l/min** pentru fiecare metru pătrat al suprafeței încăperii protejate.

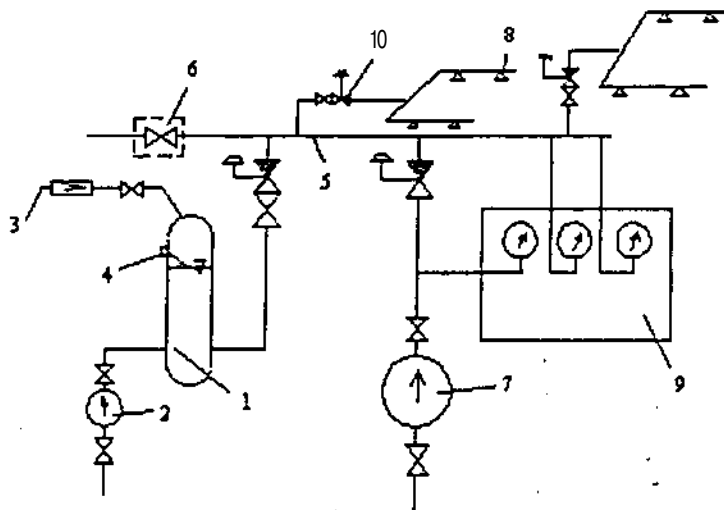


Fig. 9.5. Instalația de stins incendiu cu sprinklere

Funcționarea instalației: hidroforul (1) este alimentat de o pompă (2) cu apă tehnică; funcționarea **hidroforului** este automatizată prin intermediul unui relee flotor (4) care **menține** în **instalație** o cantitate de apă între valorile minimă și maximă **ale** presiunii. Prin conducta (3) din partea superioară a hidroforului este **introdus** aer sub presiune care menține în **hidrofor** presiunea cerută de instalație. Hidroforul este cuplat la magistrala (5) prin intermediul **valvulei** (6) și la **instalația de stins incendiu** cu apă. Când **se** constată un **incendiu**, pus în evidență prin declanșarea **sprinklerelor**, pompa **propriu-zisă** a instalației (7) va trimite apă în **compartimentul** incendiat. Atunci când pompa principală nu face **față**, instalația **se** cuplează în paralel cu pompa de incendiu prin magistrala (5), prin deschiderea **valvulei** (6).

Hidroforul (1) cât și pompa (7) se cuplează cu magistrala instalației prin armături speciale formate **dintr-o valvă** obișnuită și una de reținere și semnalizare a circulației apei prin instalație.

De la magistrala (5) se ramifică **tubulaturi** ce alimentează **sprinklerele** (8). Cuplarea **sprinklerelor** (8) la magistrală se face printr-un ansamblu de armături (10) ce permit închiderea și semnalizarea scurgerii apei.

În mod normal în timpul marșului instalația de stins **incendiu** cu sprinklere este umplută cu apă sub presiune.

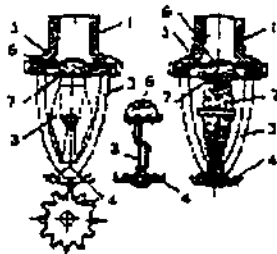


Fig. 9.6. Schemă sprinkler

1-racord filetat; 2-capsulă; 3-ramă; 4-deflector; 5-diafragmă; 6-ventil; 7-suport ventil; 8-obturator metalic.

Dacă într-un compartiment se declanșează un incendiu atunci acolo **se** deschide automat un sprinkler sau mai multe **realizându-se împrăștierea** apei.

Hidroforul (1) se calculează astfel încât să asigure alimentarea celui mai mare compartiment dotat cu sprinklere timp de un minut. După **declanșarea** sprinklerelor, prin **dispozitivul** (10) care sesizează circulația apei pe conducte, se comandă **pornirea** pompei (7).

În figura 9.6 **este reprezentat** schematic un sprinkler. Sprinklerele **se** declanșează atunci când temperatura mediului din compartimentul în care sunt montate **se situează** în intervalul de $60 \pm 70^\circ \text{C}$.

9.2.2.1. Calculul instalației

Calculul debitului necesar se face plecând de la debitul minim impus de R.N.R., adică $q > 5 \text{ l/min}$.

Cu acest debit și volumul **încăperilor** în care se montează **sprinklerele**, putem calcula debitele necesare alimentării acestor încăperi. Astfel avem:

$$\begin{aligned} Q_1 &= s_1 \cdot q \\ Q_2 &= s_2 \cdot q \\ Q_n &= s_n \cdot q \end{aligned} \quad (9.12)$$

unde:

s_n - suprafața compartimentelor, $[\text{m}^2]$

Dimensionarea pompei (7) se face astfel încât aceasta să asigure alimentarea încăperii cu numărul cel mai mare de sprinklere sau a încăperii cu **suprafața cea** mai mare la **care se** asigură supravegherea.

Deci.

$$Q_p = \max (Q_1, Q_2 \dots Q_n) \quad (9.13)$$

Calculul sarcinii pompei se face punând **condiția** ca la punctul de **intrare** în **sprinkler** presiunea să fie p_s . Aceasta ar fi condiția de cuplare ținând cont **de** sarcina **piezometrică**:

$$H_p = H_i = \frac{v_2^2 - v_1^2}{2} \rho + p_s + \rho g z + h \quad (9.14)$$

unde:

$\frac{v_2^2 - v_1^2}{2} \rho$ - componenta dinamică care se neglijează;

p_s - componenta **piezometrică**;

$\rho g z$ - componenta **geodezică**.

Sarcina pompei depinde de z și h care sunt funcție de tronsonul și amplasarea încăperii unde se montează **sprinklerele**.

Pentru calcul se consideră tronsonul ce implică pierderile cele mai mari, care sunt de fapt pierderile de sarcină ale pompei.

Calculul numărului de **sprinklere** se face ținându-se cont de curbele $Q_i = f(p_s, d)$, unde d sunt diametrele duzelor **sprinklerelor**.

Considerăm o duză aleasă a funcționa pentru diametrul d_2 și la presiunea determinată p_s :

$$p_s = H_p - (\rho g z + h) \quad (9.15)$$

de unde se determină Q_1 .

În acest fel în încăperea luată în discuție vom avea un număr de **sprinklere** determinat după relația:

$$n = Q / Q_1 \quad (9.16)$$

unde:

$$Q = \max (Q_1, Q_2, \dots, Q_n) \quad (9.17)$$

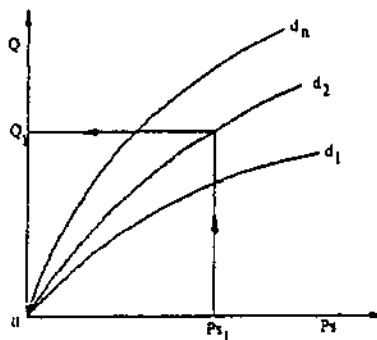


Fig. 9.7. Determinarea debitului prin duză

Instalația cu **drencere** se calculează în mod similar. Se deosebește de instalația cu **sprinklere** prin aceea că se declanșează manual, de aceea se și montează în încăperi cu cart permanent.

9.3. Instalații de stins incendiu cu lichide volatile

Vaporii lichidelor volatile duc la micșorarea procentului de oxigen din mediul înconjurător.

Substanțele folosite pentru stingerea incendiului se păstrează la presiuni mici. În acest caz pierderile de manipulare fiind mici.

Substanțele utilizate pentru stingerea incendiului cu o astfel de instalație sunt numeroase. Una dintre aceste substanțe este **tetraclorura de carbon** (CCl_4). Dar s-a dovedit că la temperaturi mari, vaporii inerti de CCl_4 devin explozivi, de aceea în ultimul timp CCl_4 s-a

înlocuit cu hidrocarburi halogenate. Aceste substanțe au proprietăți frigorifice foarte bune și se întâlnesc sub numele de **haloni**. **Aceștia**, la presiunea **atmosferică**, sunt în stare **gazoasă**, în stare lichidă la temperatura mediului ambiant se obține o presiune de 5-6 bar. **Împrăștiate** pe suprafețele **incendiate**, hidrocarburile halogenate trec în stare **gazoasă**, vaporii asigurând stingerea focului. Pentru stingerea incendiilor se admite utilizarea hidrocarburilor halogenate - **halon 1301** (CF_3Br) și **halon 2402** ($\text{CF}_2\text{Br}-\text{CF}_2\text{Br}$). Aceste substanțe se **păstrează** în

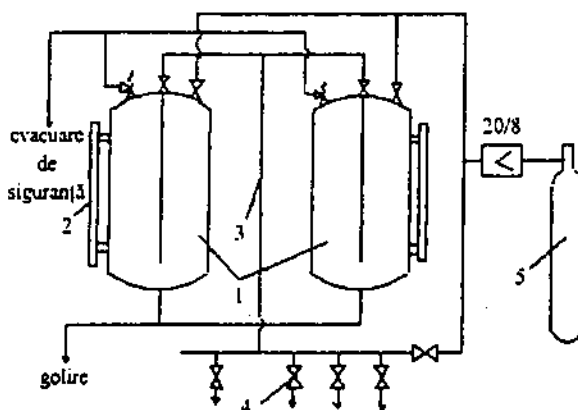


Fig. 9.8. Instalația de stios incendiu cu lichide volatile

1-rezervor, 2-sticlă de nivel, 3-magistrală, 4-valvule de zonă, 5-butelie,

rezervoare speciale. O astfel de instalație este prezentată în figura nr. 9.8:

În caz de incendiu se deschide valvulă pe zona respectivă și tot lichidul este dirijat spre compartimentul incendiat. Substanța volatilă este deplasată cu ajutorul aerului sau dioxidului de carbon din butelia (5), umplută la presiunea de 20 bar.

Calculul instalației se face în scopul determinării cantității de gaz sau lichid utilizat:

$$G = q \cdot V \text{ [Kg]} \quad (9.18)$$

în care:

v - volumul de calcul al celei mai mari încăperi protejate [m^3];

q - consumul specific al substanței de stins incendiu [kg/m^3].

Pentru halon 1301

$$q = \frac{\Psi}{100\gamma} \left[\frac{\text{kg}}{\text{m}^3} \right] \quad (9.19)$$

Ψ - norma de consum pentru stingerea incendiului, în [%] raportată la volumul încăperii:

$\Psi=4.25$ pentru compartimentul mașini și cele similare acestuia;

$\Psi=5.0$ pentru magazine de **mărfuri**, destinate numai pentru **transbordarea autovehiculelor** care nu transportă **marfă** de nici un fel;

$\gamma = 0.16 \text{ m}^3/\text{kg}$ - volumul specific al halonilor 1301 la temperatura $t = 20^\circ\text{C}$ și presiune atmosferică:

Pentru **halon 2402**, $q = 0.2 \text{ kg/m}^3$ - pentru compartimentul mașini și cele similare acestora; $q = 0.23 \text{ kg/m}^3$ - pentru încăperi de mărfuri destinate numai pentru **transportarea autovehiculelor** care nu transportă marfa de nici un fel.

Pentru determinarea capacității recipientului pentru **păstrarea substanței** de stins incendiu se vor adopta următoarele densități de umplere:

-pentru halon 1301 - cel mult 1,1 l de halon lichefiat **pe** un litru al capacității recipientului;

-pentru halon 2402 - cel mult 0,9 l lichid pe un litru al capacității **recipientului**.

Debitarea cantității necesare a **substanței de stins incendiul**, în fază lichidă, **trebuie** să fie asigurată în timp de 20 sec sau mai puțin. Numărul de duze **se** ia în funcție **de**:

$$G = Q_d \cdot n \cdot \tau \cdot \rho \quad (9.20)$$

unde:

Q_d - debitul duzei, $[\text{m}^3/\text{s}]$;

n - numărul de duze;

τ - timp de evacuare (umplere), $[\text{s}]$.

Deci:

$$n = \frac{G}{Q_d \cdot \tau \cdot \rho} \quad (9.21)$$

$$Q_{d1} = f(p_d) \quad (9.22)$$

este debitul prin duza de diametru d_1 ; iar p_d este presiunea la ieșirea lichidului volatil prin duză:

$$p_d = p_b - \Delta p \quad (9.23)$$

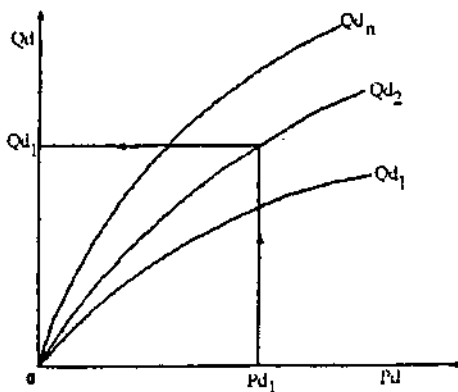


Fig. 9.9. Determinarea debitului prin duză

se ia din regulile societăților de clasificare (pentru R.N.R., $\tau = 20 \text{ s}$)

9.4. Instalații de stins incendiu cu pulberi

Instalația de stins incendiu cu pulberi constă în:

-stații pentru amplasarea rezervoarelor cu praf (pulberi), având gradul de umplere de cel mult 0.95 a buteliilor cu gaz de antrenare (CO_2 sau N_2) și a colectorului de distribuție;

-**posturi** de stingere, formate din dispozitiv de **împrăștiere** cuplat cu un **furtun** solid ce nu se poate răsuci, lung cel mult de 33 m și o butelie de declanșare umplută cu aer la presiunea de 25 bar:

-tubulaturi și armături pentru pornirea instalației și pentru transmiterea pulberilor spre posturile de stingere.

Pornirea trebuie asigurată de la distanță din orice post de stingere. **Instalația** trebuie să fie pusă în funcțiune în cel mult 30 sec după deschiderea buteliei de pornire din postul de stingere cel mai îndepărtat, conectat la stație. Raza de îndoire a tubului de praf trebuie să fie cel puțin 10 **diametre** de tubulatură.

Pentru o cinetică bună, **fără** depuneri de **pulberi**, tubulatura trebuie să aibă raze de curbura cât mai mari, armăturile trebuie să evite schimbarea direcției curgerii gazului. Pentru aceasta se utilizează armături cu cap sferic care lasă nemodificată secțiunea de **trecere**. Stația de stingere cu pulberi trebuie să fie amplasată deasupra punții principale.

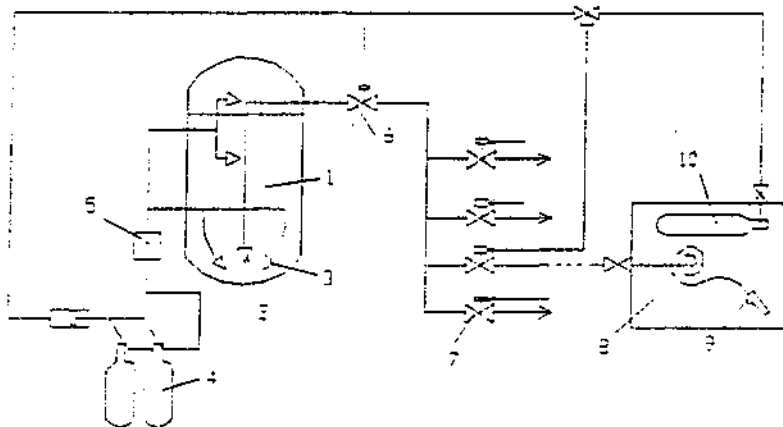


Fig. 9.10. Instalația de stins incendiu cu pulberi

1-rezervor cu pulberi; 2-tubulatură; 3-tubulaturi de **afinare**; 4-butelii cu **agent de antrenare**; 5-reductor de presiune; 6-valvă de cuplare la magistrala instalației; 7-valvă de zonă; 8-post de stingere; 9-dispozitiv de **împrăștiere**; 10-butelie de declanșare.

O instalație de stins incendiu cu pulberi trebuie să fie prevăzută cu cel puțin două stații independente (excepție navele LPG cu capacitatea < 1000 m³).

La navele LPG prevăzute la prova sau pupa cu colector de **încărcare/descărcare**, pentru protecția acestuia trebuie să se prevadă o stație suplimentară de stingere cu praf dotată cu cel puțin un tun de refulare și o țeava de refulare de mână. Stația trebuie să asigure funcționarea separată și simultană a **tururilor** posturilor conectate la ea.

Echipamentul postului de stingere se va păstra **într-o** cutie sau dulap etanșe la apă. Țeava sau dispozitivul de **împrăștiere** trebuie să fie prevăzut cu un mecanism de **declanșare/pornire** a debitării prafului.

Construcția **pulverizatoarelor**, numărul și amplasarea lor trebuie să asigure pulverizarea uniformă a **prafului** în întregul volum al încăperii. Presiunea la cel mai îndepărtat **pulverizator** se va lua cel puțin egală cu presiunea minimă **necesară** pentru pulverizarea efectivă a prafului.

9.4.1. Calculul instalației

În fiecare rezervor **trebuie** să se afle o cantitate de praf determinată din condiția asigurării funcționării **continue**, timp de cel puțin 45 **secunde**, a tuturor țevilor de **refulare**.

Cantitatea de pulberi se determină **astfel**:

$$G_p = a S \quad (9.24)$$

unde:

S - suprafața **celui** mai mare compartiment;

a - cantitatea de pulberi **necesară pe m²**, se **consideră** următoarele valori:

- **pentru** compartimentul **de mărfuri**, $a = 1,25$;

- **pentru** compartimentul în care sunt **produse petroliere**, $a = 1,50$.

Volumul buteliei va Ω :

$$V_b = \frac{G_p}{p} \alpha \quad [m^3] \quad (9.25)$$

în care:

α - **coeficient** ce ține cont **de** volumul rămas liber în butelie;

p - **densitatea pulberilor**, $[kg/m^3]$.

Calculul tubulaturilor **instalațiilor** se face **considerându-se**: că prin tubulatură circulă gaze în **viteze** de 10-15 **m/s**. Admițând că pulberile au o anumită concentrație, se poate **determina** debitul necesar **pentru evacuarea** întregii **cantități de pulberi** într-un timp τ prevăzut de normele **societăților de clasificare**:

$$Q = \frac{c \cdot G_p}{\tau} = \frac{\pi d^2}{4} \cdot v \quad (9.26)$$

rezultă că:

$$d = 2 \sqrt{\frac{c \cdot G_p}{\pi \tau \cdot v}} \quad (9.27)$$

unde:

c • concentrația pulberii.

9.5. Instalația de stins incendiu cu spumă

Instalațiile de stins **incendiu** cu spumă sunt de două tipuri: mobile și **staționare**.

Realizează stingerea prin acoperirea suprafeței incendiate cu un strat de **spumă**, întrerupând **admisia** oxigenului la suprafața incendiată. Există două tipuri de spumă:

–**spumă** chimică: care se obține prin reacția dintre un acid și o bază (caracterizate prin indicele de spumare);

–**spuma aeromecanică**: reprezintă un amestec între apă dulce sau apă de mare, **substanță spumogenă** și aer.

La bordul navei întâlnim instalații de stingere a incendiului portabile cu spumă chimică și **instalații** de stins incendiu fixe (**staționare**) cu spumă **aeromecanică**.

Instalațiile staționare sunt amplasate deasupra **punții** principale. Spuma formată în stingătoare se îndreaptă prin tubulaturi rigide spre încăperea protejată unde prin racorduri cu țevi perforate se scurge la suprafața **substanțelor arzânde**. Pentru a nu distruge spuma la ieșirea ei prin orificiile **țevii** perforate, acestea trebuie să **aibă diametre** de minimum **20÷30mm** și pasul **100÷150 mm**.

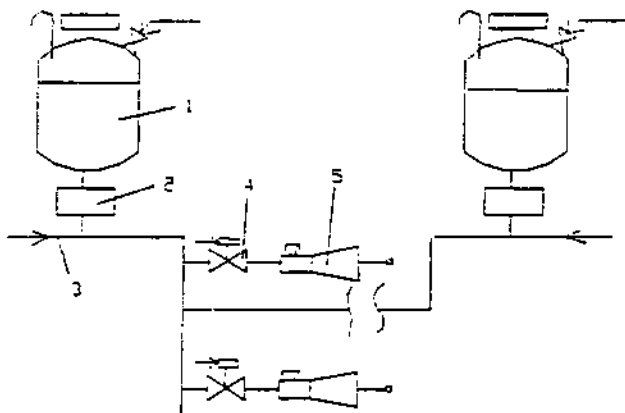


Fig. 9.11. **Instalația** de stins incendiu cu spuma chimica

1-rezervor cu **substanță** spumogenă; 2-dozator; 3-de la magistrala de stins incendiu cu apă; 4-armătură acționată de la **distanță**; 5-amestecătoare.

De asemenea pentru evitarea distrugerii spumei, tubulatura trebuie să fie cu cât mai **puține coturi** sau variații bruște de secțiune și în general trebuie reduse cât mai mult **rezistențele locale**.

În scopul măririi vitalității **instalației**, între **suprastructuri**, magistrala este **subîmpărțită** în tronsoane de **30÷40 m**. Armăturile de izolare se **montează, de asemenea**, în dreptul pereților transversali pupa și prova ai castelului **central**. Între două armături de izolare se montează **hidranți** dubli pentru cuplarea stingătoarelor **acrospumă** portative, astfel încât **distribuția** lor să fie **uniformă**, iar **distanța dintre ele** să nu depășească 20 m.

Dacă pe navă există două **stații** de stingere cu spumă, tubulatura magistrală trebuie să fie racordată la ambele **stații**.

9.5. L Calculul instalației

Debitul instalațiilor fixe de stingere cu spumă se determină pornind de la **suprafețele** de calcul, pe care **trebuie** să fie repartizată **spuma**. În calcul se consideră **acea încăperc**, care necesită pentru protecție cea mai mare cantitate de substanță **spumogenă**.

În calcul se iau următoarele arii:

-pentru tancurile de **marfă** - aria compartimentului **cel** mai mare sau aria **punții** tancului de marfa și de scurgere, determinate prin înmulțirea lățimii **maxime** a navei cu **lungimea** punții de încărcare sau aria punții protejate cu tunul de refulare;

-pentru compartimentul **mașini**, încăperi de producție și **alte** încăperi **similare** - aria maximă a secțiunii orizontale a încăperii protejate;

-pentru magazine de mărfuri uscate și **alte** încăperi similare cu **acestea** - aria secțiunii orizontale maxima a magazinei de mărfuri **fără** încărcătură

Debitul specific care se ia în calcul **este funcție** de **coeficientul** de **spumare** și de tipul **încăperii**, astfel:

Tabelul 9.2. Debitul specific al instalației de stins incendiu cu spuma chimica

	q l/min/m ²			τ
	10:1	100:1	1000:1	min
Tancurile de marfă ale petrolierelor și punțile lor	6;0.6:3	6	•	30
Tancuri cu produse petroliere cu t_{med} ≥ 60°C și tancuri de combustibil	6	4.5	-	20
Magazii de mărfuri uscate	-	4	-	45
Compartimentul mașini și alte încăperi unde lucrează mașini ce folosesc combustibili lichizi	-	-	1	•
Magazii pituri, magazine lichide inflamabile , magazine gaze lichefiate	-	4.5	-	20
Hangare elicoptere , garaje închise	-	-	•	45

I - se adoptă **pentru** calcul valoarea cea mai mare a debitului instalației de stingere cu spumă astfel:

-pentru fiecare m² al ariei secțiunii orizontale a celui mai mare compartiment, 6 l/min;

-pentru punțile tancului de marfă, 0,6 l/min/m²;

-pentru punțile protejate cu tunuri de refulare, 3,0 l/min/m²;

τ - timp de calcul de funcționare continuă;

II - se **alege** timpul de funcționare a **instalației** astfel încât să **se** facă **umplerea** de 5 ori a încăperii protejate;

III - q este ales astfel încât să **se** **umple** încăperea în 10 minute.

Astfel, debitul instalației este dat de:

$$Q_s = q \cdot S_c, [l/min.] \quad (9.28)$$

unde:

S_c - suprafața de calcul: $[m^2]$ $S_c = \max. (S_i)$

Cantitatea totală de spumă este dată de:

$$V_s = Q_s \cdot \tau, [l] \quad (9.29)$$

τ - recomandat de societatea de clasificare.

Volumul de lichid spumogen:

$$V_{s1} = \frac{V_s}{i} \quad (9.30)$$

unde:

i - număr de rezervoare.

$$V_{t_{am}} = \alpha \cdot V_{s1} \quad (9.31)$$

α - coeficient: $\alpha = 1.2 \div 1.3$.

9.6. Instalații de stins incendiu cu dioxid de carbon

Instalațiile de stins incendiu cu dioxid de carbon sunt instalații volumice. Folosirea acestor instalații **duce** la reducerea conținutului de oxigen din **încăperea protejată**, înlocuindu-l **parțial** cu dioxid de carbon, care este inert la ardere.

Se folosesc pentru stingerea incendiilor în:

- **încăperea D.G.-urilor;**
- **magazii de substanțe** explozive sau ușor **inflamabile;**
- **lampisterii;**
- **magazii de pituri;**
- **magazii de marfă;**
- **compartiment mașina;**
- **tobe de eșapament, etc.**

Nu se recomandă la tancuri petroliere întrucât în cazul exploziilor tuburilor aflate sub **presiune**, instalația poate fi avariată și scoasă din funcțiune.

Instalațiile de stins incendiu cu CO: sunt realizate în următoarele forme constructive: de **întă** **presiune** și de joasă presiune.

Instalațiile de stins incendiu cu CO: de **întă** **presiune**, care utilizează butelii de 40 l cu $p_{min} = 125$ bar, pentru un grad de umplere de max. 0,675 **kg/l** sau la $p_{min} = 150$ bar, pentru un grad de umplere de maximum 0,75 **kg/l**. Depozitarea buteliilor se face în încăperi izolate, ventilate și chiar stropite cu apă. pentru ca temperatura în **interiorul lor** să nu depășească **+45°C**.

Tubulatura care leagă butelia de colector va fi din cupru tras bră cusătură sau tuburi flexibile **confecționate** din materiale aprobate de societatea **de clasificare**. **Pe tubulatură se** va monta o **valvă de reținere**.

Spațiile de stins incendiu cu CO: vor fi prevăzute cu un dispozitiv de cântărire a **buteliilor** sau **pentru** măsurarea nivelului de lichid din **ele**.

Datorită **presiunilor mari**, **acest** tip de instalații, au **dezavantajul** că există posibilitatea **scăpărilor de CO**.

Instalațiile de stins **incendiu** cu CO: de joasă **presiune**, **păstrează** cantitatea de CO: într-un singur rezervor cu o **presiune** $p \approx 20$ bar, prin menținerea temperaturii la circa -18°C , **gradul de umplere** va fi de 0,9 kg/l. **Rezervorul** va fi deservit de două instalații frigorifice automatizate **și independente**, fiecare **dintre ele** compuse din compresor, **condensator** și o **baterie de răcire**. **Fiecare instalație** trebuie să asigure o temperatură constantă la o **funcționare neîntreruptă** timp de 24 ore în condițiile **mediului ambiant**. La **defectarea instalației** frigorifice aflate în funcțiune **trebuie** să **se conecteze** automat **cea** de-a doua instalație frigorifică.

Stația de CO: este amplasată în afara **încăperilor de locuit**.

În cazuri bine **justificate** pentru unele încăperi **protejate** poate fi admisă **amenajarea stațiilor locale** **prevăzute** cu maximum 5 butelii.

În compartimentul mașini se permite **instalarea** buteliilor cu CO: destinate stingerii **incendiului în carter**, în **tobele** de eșapament ale motorului cu combustie internă, în **coșurile de fum** și în alte volume **închise** din **încăperea** protejată.

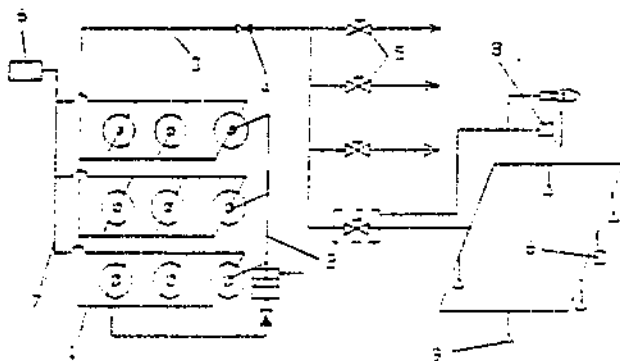


Fig. 9.12. Instalația de stins incendiu cu dioxid de carbon

1-butelii cu CO₂; 2-dispozitiv pentru punerea în funcțiune a instalației; 3-magistrala instalației; 4-armături de reținere; 5-valvă de zonă; 6-fluier de semnalizare; 7-tubulatura de siguranță; 8-avertizarea sonoră și; 9-duze.

9.6. K Calculul instalației

Calculul necesarului de gaz pentru un compartiment se face presupunând că pentru un volum de un **metru cub** dintr-un **compartiment**, **trebuie** introdus un volum de dioxid de carbon astfel **încât** acesta să fie în procent de 15% din volum pentru ca focul să se stingă. Se consideră **că** la un procent de dioxid **de** carbon de 8% din volumul **compartimentului**, focul **se stinge** complet.

Astfel într-un volum de un metru cub de aer avem. în mod **normal**, aproximativ **21%** oxigen și 79% azot. Pentru ca incendiul să fie **înăbușit**, concentrația de oxigen (sau gaze **ce întrețin** arderea) să fie sub 15% din volumul compartimentului. Aceasta **înseamnă** că va trebui introdus x% dioxid de carbon în volumul unde s-a **dezvoltat incendiul**, astfel încât să avem maxim 15% gaze ce întrețin arderea. Adică:

$$(1-x)0,21 = 0,15 \quad (9.32)$$

Deci cantitatea de CO_2 introdusă va fi:

$$x = \frac{0,06}{0,21} = 0,30 \frac{\text{m}^3 \text{CO}_2}{\text{m}^3 \text{aer}} \quad (9.33)$$

Pentru un volum V a unui compartiment și cu $x=0,30 \frac{\text{m}^3 \text{CO}_2}{\text{m}^3 \text{aer}}$ - vom avea:

$$V_g = \mu V \quad (9.34)$$

în calcul se ia volumul efectiv de aer din încăpere și nu volumul teoretic.

$$V = \mu V_t \quad (9.35)$$

unde:

μ - gradul de umplere al compartimentului.

Cantitatea de gaz introdusă în compartiment rezultă:

$$G_g = \rho V_g \quad (9.36)$$

și **cunoscând** masa de CO_2 ce intră într-o butelie G_l :

$$G_l = C_m \rho_{\text{CO}_2 \text{ lichid}} V_b \quad (9.37)$$

în care:

C_m - coeficient de umplere.

Rezultă numărul **necesar** de butelii de CO_2 :

$$n = G_g / G_l \quad (9.38)$$

Pe de altă parte după normele de R.N.R.. masa gazului necesar pentru un compartiment este dată de:

$$G_g = \rho_{\text{CO}_2} \cdot \mu V_t [\text{kg}] \quad (9.39)$$

unde:

V_t - volumul de calcul al celei mai mari încăperi protejate [m^3]

ρ_{CO_2} - densitatea CO_2 în condiții normale de presiune. [kg/m^3];

φ - coeficient, care este :

-pentru magazine de **mărfuri** uscate și alte încăperi (cu excepția celor de mai jos), $\varphi = 0,30$ [$\approx v$];

-pentru compartimentul **mașini**, luând în considerare volumul **șautului** în determinarea volumului de calcul. $\varphi = 0,35$;

-pentru compartimentul mașini, nu se ia în **considerație** volumul șautului. $\varphi = 0,40$;

-pentru încăperi în care se transportă automobile cu combustibil în rezervoare, $\varphi = 0,45$.

Din cele două **valori**, pentru compartimentul mașini se ia **valoarea** cea mai mare. Calculul se face tabelar, astfel:

Tabelul 9.3. Calculul instalației de stins incendii cu dioxid de carbon

Nr.crt.	Comp.	Volum[m ³]	φ	$G_g = \rho v_i \varphi$	$n = G_g / G_1$
1.	M ₁	V ₁	φ_1	G _{g1}	n ₁
2.	M ₂	V ₂	φ_2
3.	CM	V _{CM}	φ_1

Cantitatea totală de gaz **se** va lua:

$$G_g = \max (G_{g_i}) \quad (9.40)$$

$$n = \max (n_i) \quad (9.41)$$

Dacă tubulatura instalației pentru stingerea incendiului cu **CO₂** este folosită și ca tubulatură pentru instalația de semnalizare a **fumului**, se admite instalarea colectorului de distribuție a instalației de **CO₂** împreună cu dispozitivele de lansare a **dioxidului** de carbon în fiecare din încăperile protejate prin instalația de semnalizare a **fumului**.

Aria secțiunilor de trecere ale tubulaturilor **de** distribuție pentru fiecare încăpere protejată nu trebuie să fie mai mare decât aria totală a secțiunilor **de trecere** ale **valvulelor buteliilor** care se deschid simultan pentru **încăperea** respectivă (instalații de înaltă presiune) sau să nu fie mai mare decât aria secțiunii **valvulei** de evacuare din rezervor (**instalația** de joasă presiune).

Aria secțiunii tubulaturii, în sensul de curgere a **CO₂**, nu trebuie să fie **crescătoare**, aceasta datorită faptului că la trecerea de la o **secțiune** mică la o **secțiune** mare, lichidul se destinde, ducând la vaporizarea lui, cu o puternică absorbție de căldură ce face posibilă **apariția** dopurilor de **gheață** care **opturează** tubulatura **instalației**.

Instalația trebuie să permită introducerea în încăperea protejată a 85% din cantitatea calculată de **CO₂** în timp de cel mult:

-2 minute pentru compartimentul mașini, **D.G.** de avarie, compartimentul pompe incendiu;

-10 minute pentru încăperi cu autovehicule și alte **încăperi**.

Grosimea **pereților** tubulaturilor se determină prin calcul cu **relația**:

$$S = S_0 + b + c \quad [\text{mm}] \quad (9.42)$$

$$S_o = \frac{d \cdot p}{20 \cdot \tau \varphi \cdot p} \quad (9.43)$$

în care:

d - diametrul exterior al țevii, [mm];

p - **presiunea** de calcul [bar], este egală cu presiunea de calcul a buteliilor sau rezervoarelor;

φ - coeficient de **rezistență** care este 1 pentru țevi trase, sau sudate, sau echivalente cu cele trase;

b - adaos care ține seama de subțierea reală a țevii la îndoire, [mm];

$$b = \frac{1}{2.5} \cdot \frac{d}{r} \cdot S_o \quad (9.44)$$

r - raza medie de îndoire a țevii, [mm];

σ - tensiunea admisibilă. [N/mm²]

$$\sigma = \min \left(\frac{R_r}{2.7}, \frac{R_{mc}}{1.8}, \frac{R_t}{1.8}, \frac{R_f}{1.0} \right) \quad (9.45)$$

R_r - **rezistența** de rupere [N/mm²];

R_{mc} - limite minime de curgere [N/mm²];

R_t - limita de rezistență de lungă durată pentru 100.000 h ;

R_f - 1% din limita de fluaj pentru 100.000 h.

c = adaos pentru coroziune, [mm]; care prezintă valori diferite pentru:

-• țevi din **cupru**, alamă, aliaje similare, c = 0,2;

-• aliaje Cu-Ni (cu conținut de 10% Ni), c = 0,5.

Bibliografie

- [1]. L Ioniță, J. Apostolache Instalații navale de bord. **Elemente** de calcul și exploatare.
Editura Tehnică. București, 1986
- [2]. V. Creangă Instalații navale de bord
Universitatea "Dunărea de Jos", Galați, 1993
- [3]. V. V. Loskitov, G. S. Hordas **Gidrauliceskie rasciot sudovih sistem**
Sudostroenic, Leningrad, 1972
- [4]. C. Iamandi, ș.a. Hidraulica instalațiilor - Elemente de **calcul** și aplicații
Editura Tehnică, București, 1988
- [5]. * * * Reguli pentru **clasificarea** și construcția navelor **maritime**
R.N.R., București. 1995

10

INSTALAȚIA DE SPĂLARE TANCURI DE MARFĂ

10.1. Generalități privind spălarea tancurilor petroliere

Spălarea cargotancurilor la navele **petroliere** este o operație **necesară**, ce se execută în mod curent după descărcarea fiecărei partide de marfă, în special pentru **degazarea** navei - în vederea obținerii **certificatului** de GAS FREE.

De asemeni în vederea încărcării unui nou produs petrolier este necesară spălarea tancurilor petroliere precum și uscarea acestora, operațiuni care sunt precedate de **inertarea** tancurilor petroliere.

Spălarea tancurilor se **face** sub îndrumarea unui ofițer **responsabil**, ofițer care în prealabil a înștiințat echipajul de începerea operațiunilor de spălare și a luat toate măsurile de siguranță ce se impun a **fi** asigurate în cazul unei **atmosfere** inflamabile.

Dacă operațiunea de spălare se execută **într-o** dană a unui terminal este necesar și acordul acestuia.

Din motive de siguranță, se evită pe cât posibil spălarea tancurilor concomitent cu descărcarea. Dacă timpul nu permite este **totuși** permisă spălarea tancurilor în paralel cu finalul descărcării dar pentru aceasta se **recomandă**, de la caz la caz, spălarea **tancurilor** prin metoda "**spălării** cu **șitei**" sau "Crude Oil Washing" (C.O.W).

Spălarea tancurilor petroliere se poate face prin două metode:

- spălarea cu apă;
- spălarea cu șitei. C.O.W (Crude Oil Washing).

La **spălarea** tancurilor cu apă se va **avea** în vedere tipul atmosferei existente în tancul petrolier.

Aceste atmosfere pot fi conform I.S.G.O.T.T. (International Safety Guide For Oil Tankers & Terminals) de genul:

-*atmosfera de tip "A "* - atmosferă care nu poate fi controlată **situându-se** între cele două limite de **inflamabilitate**;

-*atmosfera de tip "B "* - atmosferă incapabilă de a iniția sau propaga arderea **sau** explozia prin reducerea deliberată a procentului de gaze sub limita de inflamabilitate inferioară;

–**atmosfera de tip "C"** - atmosferă care nu poate iniția sau întreține arderea sau explozia ca urmare a reducerii concentrației de oxigen sub limita de 8%, prin introducerea gazului inert;

–**atmosfera de tip "D"** - atmosferă incapabilă să asigure arderea prin mărirea concentrației de gaze peste limita superioară de inflamabilitate.

10.1.1. Spălarea tancurilor într-o atmosferă de tip "A"

Pentru evitarea **eventualelor** accidente se vor lua următoarele măsuri:

–**evitarea** existenței surselor de aprindere în **cargo-tancuri**;

–numărul **mașinilor** fixe sau mobile nu va **depăși patru**, în cazul mașinilor de spălat cu un debit de cel mult **35m³/h**, sau trei în cazul mașinilor de spălare cu un debit de **35+60 m³/h**.

Mașinile de spălare cu un debit mai mare de **65m³/h** se recomandă a nu fi folosite în cazul atmosferei de tip "A".

–se va evita folosirea apei **recirculate** și de asemeni folosirea aditivilor chimici.

–nu se va folosi apă încălzită peste 60°C respectiv **140°F**. în cazul folosirii unei ape încălzite peste această valoare se va transforma **atmosfera** de tip "A" într-o atmosferă **controlată** de tip "B", "C" sau "D".

–se interzice introducerea aburului în tanc precum și sondarea sau introducerea altui echipament în tanc fără o **împământare** corespunzătoare.

–în cazul sondării prin alte locuri decât gurile de sondă se recomandă ca **operațiunea** de sondare să se facă cu o **împământare** corectă și să se asigure **împământarea** pentru **cel puțin** încă cinci ore după terminarea operațiunii de spălare sau pentru încă o oră în cazul când este asigurată o **ventilație** mecanică corespunzătoare a **cargotancurilor**.

10.1.2. Spălarea într-o atmosferă de tip "B"

În cazul atmosferei de tip "B" se impun ca măsuri de siguranță:

–izolarea sistemului de ventilație a **cargotancului** în vederea prevenirii pătrunderii gazelor din tancurile adiacente;

–se va spăla și **stripii** fundul tancului și tubulaturile ce includ magistralele de **marfă**;

–se va asigura o ventilație continuă și controlul concentrat al **gazelor**.

–se va întrerupe spălarea când concentrația gazelor va ajunge la 50% **din** limita inferioară de inflamabilitate;

–spălarea se poate relua când concentrația gazelor va scădea la 20% din limita inferioară de inflamabilitate;

–cuplarea și decuplarea mașinilor de spălat portative va fi făcută înainte de introducerea respectiv după scoaterea acestora din tanc;

–se va asigura pe **tot** timpul spălării un drenaj continuu a apei de spălare;

–nu se va introduce abur în tanc și se va evita folosirea apei recirculate;

–se va urmări ca sondarea să se facă în aceleași condiții ca la atmosfera de tip "A";

–temperatura apei de spălare poate fi mai mare de 60°C (**140°F**) și se permite folosirea aditivilor chimici.

10.1.3. Spălarea în atmosferă inertă de tip “C”

În cazul realizării în **cargotanc** a unei atmosfere cu un conținut procentual de 5÷6% **oxigen**, spălarea tancurilor petroliere se poate face în orice condiții **neimpunându-se** nici o măsură de restricție.

Singura condiție necesară și obligatorie o constituie menținerea **concentrației** oxigenului sub limita de 8%.

10.1.4. Spălarea în atmosferă suprasaturată de tip “D”

Ca și în cazul atmosferei de tip “C”, aici nu se impune respectarea nici uneia din măsurile luate în cazurile “A” sau “B” cu condiția **ca**, concentrația de gaze să depășească **15%** din volumul **cargo-tancurilor**.

Se va urmări însă ca pe timpul spălării să se mențină un nivel de **suprasaturație** constant și ridicat. Spălarea tancului se va face ținând cont de natura și proprietățile mărfii ce a fost transportată cât și de **caracteristicile** constructive ale tancului.

10.2. Spălarea tancurilor de marfa cu apă de mare rece

Spălarea cu apă de mare rece trebuie făcută atunci când urmează să efectueze **degazarea** navei (Gas Free) pentru încărcarea unei noi partide de **marfă**, sau să se introducă balast în unul din tancurile de balast curat.

Se execută prin instalația de spălare cu petrol, după golirea completă a instalației.

Apa rece este **furnizată** de una din pompele de **marfă** sau de o altă pompă.

Spălarea cu apă de mare rece mai trebuie făcută când urmează să se execute degazarea în vederea intrării omului în tancurile de mărfi pentru executarea lucrului la rece sau la cald.

Spălarea cu apă a tancurilor se realizează cu ajutorul mașinilor de spălare portabile **cuplate**, prin **furtune**, la sistem. De regulă mașinile de spălat portabile tip **Butterworth** (vezi figura 10.1) sunt mașini cu două duze ce **lucrează** cu un consum de apă de 25÷30 m³/h la o presiune de 6÷10 bar.

Mașina se compune din corpul fix (4), corpul mobil (3) și un tub (7) cu **două duze** (8). În interiorul corpului fix (4) al mașinii, se **afă** o **hidroturbină înșurubată** pe furtunul de **aducțiune** a apei de spălare, compusă din rotorul (5) și aparatul de dirijare (6). **Hidroturbina**, prin axul (2), **reductorul** cu două trepte (1) și transmisia prin **roți** cilindrice (9) **pune** în mișcare de rotație corpul mobil (3), care antrenează roata conică a corpului de lucru (7) cu cele două duze (8), pe **dantura** corpului fix (4).

Folosirea reductorului cu mai multe trepte dă posibilitatea corpului de lucru să se rotească în plan **vertical** cu 1,8÷2,5 rot/min.

Timpul ciclului de spălare este de 20÷25 minute. Timpul de spălare depinde pentru fiecare **cargotanc** de dimensiunile acestuia, de calitatea mărfii ce a fost depozitată anterior în tanc, de debitul **pompeilor** precum și de presiunea și temperatura apei jetului de **spălare**.

În general spălarea cu apă a unui cargotanc durează între una și patru ore.

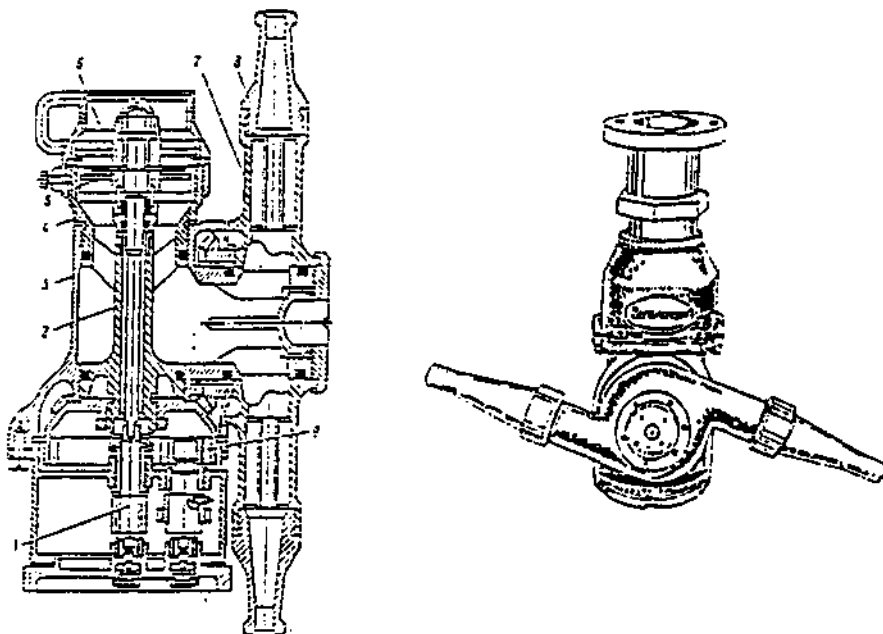


Fig. 10.1. Mașina de spălat portabila tip Butterworth

10.3. Instalația de spălare a tancurilor de marfă cu apă de mare caldă

Instalația de spălare cu apă de mare caldă este destinată spălării tancurilor de marfă pentru cazul când urmează a se efectua degazarea pentru intrarea navei în șantier. Apa caldă este furnizată de un încălzitor abur-apă cu debitul de 300 m³/h, amplasat în compartimentul pompelor de mană.

Apa de mare este adusă în încălzitor de o pompă centrifugă, verticală sau orizontală, pentru apa de spălare, cu caracteristicile ce depind de mărimea navei și a tancurilor de marfă. Pompa poate fi amplasată în compartimentul pompelor sau compartimentul mașini și este acționată de un electromotor sau o turbină cu abur așlată pe platforma turbinelor din compartimentul mașinilor.

Apa de mare, aspirată din magistrala Kingston și încălzită în încălzitor, este trimisă la magistrala de spălare cu apă caldă.

Spălarea cu apă caldă se va putea realiza, în circuit închis, cu utilizarea tancurilor de decantare.

Încălzitorul utilizează abur la presiune de 7-10 bar luat din magistrala de abur pentru încălzirea tancurilor de marfă.

Încălzitorul este prevăzut cu aparatura de automatizare pentru menținerea apei încălzite la o temperatură de maxim 70°C. Partea de automatizare închide sau deschide admisia

aburului în **funcție** de temperatura apei **încălzite** și semnalizează temperatura **maximă** sau minimă a apei în PCC din compartimentul mașini și în camera de control pompe marfă.

Condensul rezultat este **returnat** prin **magistrala** de retur la condensor.

Spălarea tancurilor de marfă cu **apă** de mare caldă se face cu **mașinile** portabile de spălare care se cuplează la ramificațiile **instalației** prin furtunuri flexibile. Aparatele portabile ce vor fi folosite la spălare au debite diferite - ce trebuie alese în funcție de natura atmosferei din tanc. Astfel în cazul **atmosferelor** necontrolabile de tip "A" - vor fi folosite maxim patru aparate cu debite mai mici cel mult egale cu **35m³/h** pentru fiecare tanc în **parte** sau un număr de maxim trei aparate de spălare cu debite cuprinse între 35 și **60m³/h**.

Furtunurile sunt depozitate în magazinele de pe punte. **Introducerea** lor în tancuri se face prin guri special executate în punte.

Furtunurile, în număr de până la 12 **bucăți**, sunt înfășurate pe șase cărucioare depozitate împreună cu aparatele portabile în magazinele de pe puntea principală. **Coborârea** furtunurilor în tancuri se face prin alunecarea pe piese speciale de ghidare.

Instalația de spălare cu apă de mare caldă este dotată cu o magistrală de spălare și cu **ramificații** prevăzute cu **valvule** pentru izolare și cuplaje pentru furtunuri.

Furtunurile sunt prevăzute cu benzi de **inox** incorporate pentru legarea la pământ.

Magistrala de spălare cu **apă** caldă este cuplată cu magistrala de spălare cu petrol prin doua valvule cu sertar **inseriate**, normal închise și sigilate, care se deschid numai **când** se cere spălarea cu apă caldă prin aparatele fixe de spălare. Pentru spălarea cu apă caldă vor **funcționa** maxim **trei** aparate fixe de spălare.

Spălarea cu petrol este un proces de curățare a tancurilor în care este utilizat ca agent de spălare petrolul transportat și nu apa sau substanțele chimice. Reziduurile de **petrol**, sunt **spălate** cu ajutorul mașinilor fixe de spălare cu petrol și prin acest procedeu, aceste reziduuri și depuneri se dizolvă în suspensia de lichid fiind descărcate ca marfă și nu la final ca balast. Prin acest procedeu se evită lipsurile din marfă la descărcarea navei. **Alte avantaje** prin utilizarea spălării cu petrol sunt: reducerea coroziunii tancurilor, pregătirea **mai rapidă** pentru intrarea în reparații sau **andocare**, se poate instala în exploatare **fără a necesita** schimbări de **structură**, se reduce cantitatea de balast murdar **livrată** la instalațiile de recepție de **la cheu**.

Acest procedeu are și anumite dezavantaje cum ar fi: spălarea nu este **posibilă** cu anumite **tipuri/sorturi** de **petrol**; poate crește conținutul de emisii de hidrocarburi cu un risc sporit de aprindere; crește timpul de descărcare în terminal; cresc costurile pentru achiziționarea **echipajului**, instalarea și **utilizarea** acestuia; **necesită** un personal cu înalta calificare și foarte bine pregătit teoretic și practic.

În general este cea mai economică alternativă pentru adaptarea la cerințele Convenției Maritime pentru Prevenirea Poluării - MARPOL - ce a fost adoptată de majoritatea armatorilor și operatorilor de tancuri petroliere existente. **Datorită** programului de descărcare în terminal și a costurilor **contrastabile**, **spălarea** cu petrol a tancurilor de **marfă** nu este totdeauna posibilă în proporție de 100%. Aceasta necesită o întoarcere la spălarea cu apă și substanțe chimice în special atunci când este necesară obținerea de **gass free**, pentru reparații și întreținerea **navei**, sau la schimbarea mărfii transportate.

Spălarea cu apă este **efectuată** cu mașinile fixe de spălare (COW). Aceste mașini au de regulă o mai mare capacitate de spălare în tone/oră decât mașinile de spălare **portabile**, și prin **construcție** nu au încălzitor în componență.

După adoptarea din rațiuni comerciale a spălării cu petrol prin **mânrea** cantității de petrol predată în **terminal**, sistemul de gaz inert a căpătat o și mai mare importanță pentru siguranța exploatarei tancurilor petroliere. Inițial sistemul de gaz inert a fost folosit pentru prevenirea exploziilor la navele cu tancuri parțial încărcate cu hidrocarburi pentru a **anula** o

latură a triunghiului focului - **combustibil, oxigen** și sursa de aprindere - dar apoi a devenit o măsură majoră de prevenire a incendiului și exploziilor la tancurile petroliere atunci **când** sunt spălate cu apă.

Spălarea cu apă a tancurilor **produce** o puternică **încărcare** electrostatică în tancuri dar prin folosirea instalației de gaz inert se previne apariția incendiilor. Evident, spălarea cu petrol produce cantități mult mai mari de vapori de hidrocarburi iar utilizarea gazului inert devine și mai importantă.

Spălarea cu petrol a fost inițial adoptată de către armatori la **începutul** anilor 1970 din rațiuni comerciale pentru mărirea cantității de marfă predată la destinație și reducerea cantității de petrol rămasă la bord după descărcare, eliminând reziduurile care se acumula în tancuri și reducând coroziunea. Prin adoptarea convențiilor **IMCO, MARPOL** și **TSP** (tanker Safety and **Pollution Prevention**), spălarea cu petrol a devenit o soluție acceptabilă ca alternativă la spălarea tancurilor de balast **segregat** (SBT) și ca parte a efortului de a **reduce** poluarea datorată tancurilor petroliere, fiind deja obligatorie în U.K., U.S.A și Olanda.

Separat de cerințele specifice pentru instalația de spălare cu petrol incluzând **mașini** de spălat **adevrate** poziționate corespunzător în tancuri și cu un sistem eficient de **stripare**, sistemul de gaz inert este esențial pentru a reduce conținutul de oxigen din tancuri pentru eliminarea riscului exploziilor. Utilizarea sistemului de spălare cu petrol nu este permisă flără ca instalația de gaz **inert** să fie în funcțiune. Pentru fiecare nava sunt **intocmite** proceduri specifice **pentru** spălarea cu petrol și deservirea instalației este făcută de personal cu calificare și experiență în programele de spălare cu petrol, cunoscând în totalitate sistemele din dotarea navei și capabil să le **folosească**.

10.4. Spălarea cu petrol (COW)

Tancuri petroliere au fost în mod tradițional curățate prin spălarea cu jet de apă. Această metodă de spălare produce însă o mare cantitate de hidrocarburi în apă, care trebuie separate. Procesul de separare este îngreunat de emulsia de hidrocarburi în apă care rezultă din **procesul** de spălare. Aceasta conduce la reținerea la bord a acestor cantități alături de reziduurile din tancuri, mărin d cantitatea rămasă după descărcare. Prin procedeul de încărcare peste reziduurile anterioare (Load On Top) marfa nou încărcată se amestecă cu **slop-ul** existent și cu emulsia de hidrocarburi în amestec cu apa din **tancuri**, iar acest produs **combinat** este descărcat ca marfă în portul de destinație.

La o navă care a transportat **țiței**, după **terminarea** descărcării **mărfii**, rămân depozite de sedimente pe fundul tancurilor și pe alte suprafețe orizontale. Aceste depuneri **care** au rezultat din marfă conțin **gudroane** și substanțe **asfáltice**. După **voiaje** consecutive aceste depuneri devin **consistente**, micșorând capacitatea de **încărcare** a navei, fiind **necesară** curățarea tancurilor pentru a fi folosite pentru balast curat.

În spălarea cu **petrol**, o **parte** din mărfi, conținând toate elementele **volatile**, este circulată prin tancurile ce se spăla, și cu ajutorul **instalației de spălare** cu petrol se **îndepartează** reziduurile de gudroane asfáltice. Această operațiune se **desfășoară** în mod normal în timpul **descărcării**, spălarea cu petrol s-a dovedit mult mai eficientă decât spălarea cu apă, în îndepărtarea depunerilor, deoarece **țițeiul** dizolvă și antrenează **sedimentele**, fluidizându-le, favorizând în **acest** fel descărcarea mărfii așa cum a fost încărcată. Dacă, datorită unei rate scăzute de descărcare sau a unor zone **greu** accesibile, spălarea cu **țiței** nu poate fi efectuată **corespunzător**, se poate **folosi** de exemplu AMERGY 222 care va dizolva și

antrena depunerile de **gudroane asfaltice**. Dacă nava întâmpină dificultăți în obținerea de rezultate bune prin spălarea cu petrol este recomandat ca aditivul să fie adăugat înaintea pompării țiteiului la cheu pentru a dizolva depunerile de gudroane. Aditivul **AMERGY 222** trebuie să fie adăugat în proporție de 1 litru de aditiv la 10 tone marfa rămasă la bord la începutul spălării cu **petrol**. Înainte de a adăuga aditivul sau orice alt produs chimic în încărcătura de țitei, trebuie stabilit dacă rafinăria poate să prelucreze amestecul rezultat. După spălarea cu petrol este necesară **spălarea** cu apă atât a fundurilor tancurilor cât și a tubulaturilor de descărcare în cazul în care în tancuri se va **ambarca** balast curat sau gas free.

Fără spălarea cu petrol, este necesară o mare cantitate de apă pentru spălarea tancurilor de **marfă**, **rezultând** un amestec uleios și o emulsie de apă împreună cu balastul **murdar**, cantitate care trebuie păstrată la bord până când se decantează și se separă. Acest proces este mult simplificat atunci când tancurile de **marfă** au fost mai întâi spălate cu **petrol**. Conținutul de petrol al balastului murdar este mult redus ca urmare a acestui procedeu. Tancurile de **marfă** care trebuie să fie utilizate pentru balast curent necesită numai o scurtă clătire cu apă după spălarea cu petrol. Oricum pompele și tubulaturile trebuie spălate cu apă. Tancurile de **marfă** care nu sunt necesare pentru **balastare** nu trebuie **spălate** cu apă deoarece depunerile de gudroane asfaltice se pot **fluidifica**, descărca și ține sub control prin spălarea cu petrol.

Tancurile de marfă ale navelor cu balast **segregat** intră în această categorie. Prin această metodă nu numai că se reduce mult cantitatea de reziduuri și depuneri, dar și cantitatea de amestec **petrol-apă** produsă este mult mai mică și deci operațiunea în sine este mult scurtată. Acești factori reduc important riscul poluării.

Spălarea cu petrol se efectuează prin instalații și tubulaturi proprii montate pe mașinile fixe de curățare a tancurilor. Toate aceste mașini de spălat cu petrol fixe, sunt de mare capacitate, cu un debit de $60 \text{ m}^3/\text{h}$ sau mai mult. Spălarea cu petrol se efectuează **pe** timpul descărcării mărfii sau limitat **pe** mare între porturile de descărcare. Nu se efectuează balastarea tancurilor până când acestea nu au fost spălate cu petrol acolo unde sistemul este disponibil. Balastul curat va fi încărcat numai în tancurile care au fost clătite cu apă după spălarea cu petrol. Cei mai mulți producători de echipamente de spălat cu petrol fabrică instalații cu o singură duză sau tunuri care sunt programabile să se rotească ciclic pe acele suprafețe care în mod normal sunt mult mai afectate de **reziduuri**. Oricum, pentru a efectua această procedură de spălare fiecare panou de **comandă** al **mașinii** trebuie să fie manevrat odată, sau de două ori, în timpul ciclului de spălare.

Un alt **sistem** de spălare folosește **mașini** cu duze duble (vezi figura nr. 10.1) care, per **total**, micșorează la jumătate numărul de operații manuale ce trebuie îndeplinite într-un program de spălare și face o spălare dublă pe **rotăție**.

Esențial pentru ca sistemul de spălare cu petrol să fie eficient este nevoie de proiectarea și **instalarea** unui sistem de stripping care să fie capabil să păstreze fundul tancurilor liber de **depuneri** asfaltice în timpul operațiunilor de spălare.

Ejectoarele hidraulice de stripping au fost găsite ca fiind cele **mai** bune echipamente pentru a efectua acest **serviciu**. Pentru a asigura o continuă și stabilă performanță fără o **întreținere laborioasă**, corpul ejectoarelor este turnat din aliaj de nichel - aluminiu - bronz iar duzele sunt dintr-un **metal** special.

10.5. Instalația de spălare cu țitei a tancurilor de marfa

Instalația este destinată să deservească tancurile de marfă și tancurile de slop.

Spălarea cu petrol se execută numai dacă:

- tancurile de marfă sunt **inertate** la presiune mai mare de 800 mmCA;
- este asigurat controlul atmosferei în tancurile de **marfă** pe tot timpul spălării.

La controlul atmosferei, **înainte** de începerea **spălării**, aparatura de analiză și control din camera de control și camera pompe marfă trebuie să indice:

- concentrația** de oxigen <8%;
- concentrația de hidrocarburi >14%;
- presiune **pozitivă**, dar mai mică de 1400 mmCA.

Operațiunile de spălare cu petrol se vor executa de personal calificat și special instruit.

Agentul de spălare este petrolul brut, furnizat de instalația de marfă; balast și stripping prin pompe de marfă.

Când petrolierul va transporta petrol brut cu greutatea **specifică** mai mare de $0,92 \text{ t/m}^3$, se va **ambarca** petrol cu greutatea specifică mai mică de $0,92 \text{ t/m}^3$ pentru a putea realiza spălarea.

Spălarea începe în timpul descărcării mărfii, jeturile aparatelor spălând cerul tancului și o parte din pereți, **executându-se** agitarea și **barbotare** a mărfii în scopul omogenizării cu sedimentele depuse în timpul transportului (vezi figura 10.2).

După terminarea descărcării unui tanc se continuă spălarea completă a fundului tancului.

Cuplarea instalației de spălare cu petrol la instalația de marfă, balast și stripping se va face în zona **manifoldului**.

Cantitatea de petrol necesară spălării este asigurată de una din pompe de mărfi.

Spălarea tancurilor de **marfă** se realizează cu aparate de spălare fixe, în număr de două până la șase mașini pentru fiecare tanc de marfă.

Obținerea presiunii minime de alimentare a mașinilor fixe se face cu ajutorul **valvulelor** de reglaj **presiune-debit** montate pe magistrala de mărfi ce dirijează petrolul pe linia de spălare.

Se pot spăla două tancuri de **marfă simultan**, dar începutul și sfârșitul **spălării** se va realiza decalat în timp, **astfel** încât spălarea fundului unuia dintre tancuri să se facă concomitent cu începutul spălării sau cu **spălarea** porțiunii de mijloc a celuilalt. Acest lucru este necesar din condiția acoperirii debitului de spălare cu **ejectoarele** de **marfă** care intră în funcțiune la spălarea fundului.

Instalația de spălare este **alcătuită** din:

- partea** fixă de primire a fluidului de spălare, montată pe **punte**, inclusiv prelungitorul de sub punte cu mecanismul de spălare cu o duză:

- dispozitivul de programare fix sau portabil care se montează pe partea fixă care poate fi acționat Se cu aer la 6 **barr**, fie **mecanic-hidraulic** prin programă: asigură mișcarea elicoidală a mecanismului în domeniul 0-145° și **poziționarea** pe verticală.

Parametrii **instalației** de spălare pot avea valori de **până** la $100-130 \text{ m}^3/\text{h}$ la o presiune de 10-12 **barr**.

Construcția dispozitivelor de programare permite urmărirea și coordonarea de pe punte a rotației duzei atât în plan orizontal cât și vertical.

Dispozitivele de programare portabile se vor păstra în magaziiile de pe puntea principală și vor fi montate pe poziție, în funcție de programul de spălare.

Fiecare tanc de **marfă**, cu excepția tancurilor de **slop**, este deservit de o ramificație și o valvă **fluture** cu acționare hidraulică.

Aparatul pentru spălarea tancurilor de **slop** este izolat de restul instalației **printr-o** **valvă** normală închisă și **sigilată**.

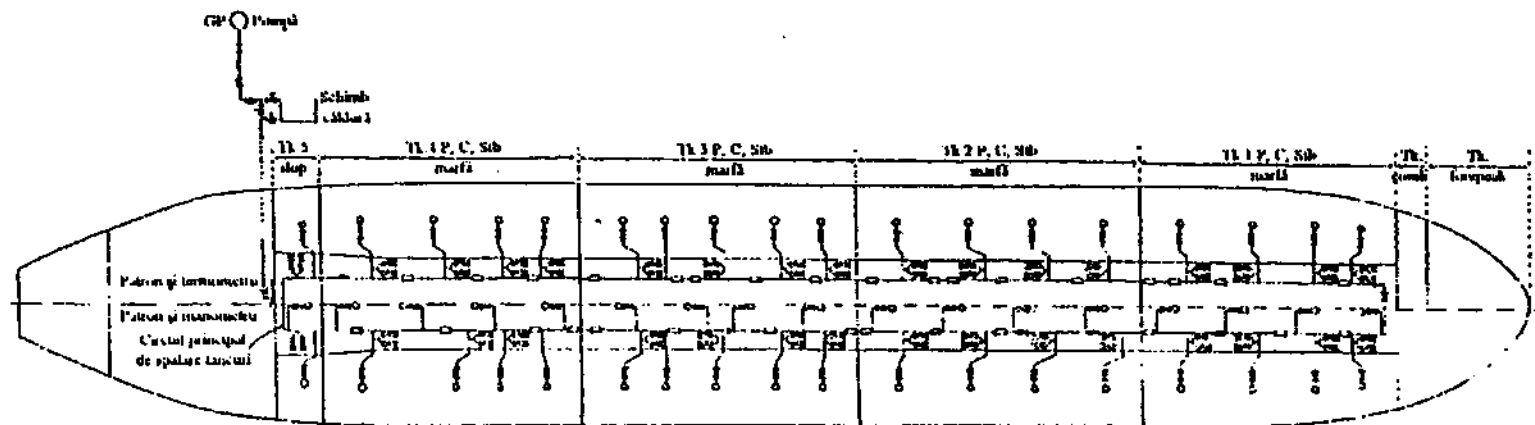


Fig. 10.2. Instalația de spălare cu țigeli.

Fiecare aparat de **spălare** este izolat de restul instalației prin **valvule** cu sertar montate la intrarea tubulaturii în tancul de marfă.

Instalația poate fi cuplată și la instalația de spălare cu apă caldă de mare și este **izolată de aceasta** prin două valvule cu sertar **inseriate**, normal închise și sigilate (vezi figura 10.3).

Tubulatura de spălare se confecționează din **oțel** și se protejează prin zincare. Valvulele cu sertar au **corpul** din oțel cu organe de închidere din oțel inoxidabil și sunt testate la presiune de 16 **barri**.

Fixarea tubulaturii pe punte se face prin puncte fixe și prin puncte **mobile** intermediare.

Preluarea **deformațiilor** este realizată de către compensatorii **de dilatație**.

Întreaga instalație este prevăzută cu legătura la masă.

10.6. Drenarea cargotancurilor

În operațiunile de spălare cu țitei a cargotancurilor unui petrolier, de marc **importanță** este **drenarea** cargotancurilor de țiteiul acumulat pe fiind în urma spălării. Capacitatea pompelor de strip trebuie să fie de 125% din totalul capacității de spălare când toate mașinile de spălare sunt folosite simultan pentru spălarea fundului cargotancurilor.

Unele nave pot fi echipate cu sistem propriu de amorsare **“vac-strip”**, sistem ce face posibilă drenarea și uscarea cargotancurilor cu una din **turbopompele** de marfă. La aceste nave pompa **automată** de vacuum extrage gazele de hidrocarburi și închide valvă de descărcare până când concentrația de gaze din tanc scade.

Drenarea cargotancurilor se desfășoară concomitent cu spălarea și este foarte important să nu se depășească o limită a nivelului de **țitei** în tanc. Astfel limita maximă este de un metru când se spală mai multe tancuri în același timp este foarte **important** deci să nu se depășească nivelul de un metru, sistemul este pus în operare de **drenare** și când nivelul scade sub $\frac{1}{2}$ metru se închide aspirația din tancul respectiv, **deschizându-se** tancul următor; în felul acesta **trecându-se** succesiv de la un tanc la altul are loc drenarea țiteiului rezultat în **urma** spălării, iar când nivelul în ultimul tanc spălat ajunge și aici la jumătate de metru, presiunea aburului la **turbopompa** va fi redusă până ce se ajunge la 800 **rpm** și va începe **stăpuirea** timp în care aspirația va fi închisă ușor, gradual. Tancurile vor fi drenate și uscate.

Când pentru drenarea tancurilor de marfă se **folosesc ejectoare** este bine ca dacă un tanc este **golit**, vacuumul indicat în camera de comandă să fie în continuă scădere.

Când din anumite cauze presiunea **ejectorului** scade sub 6 **kgf/cm²** atunci este necesar ca valvă de aspirație a ejectorului să fie imediat **închisă** pentru a **împiedica revenirea conținutului** din tancul de **slop** în tancul spălat.

Dacă debitul țiteiului de spălare este mai mare decât posibilitatea de **drenare**, mașinile de spălare vor fi oprite la timp pentru **desfășurarea** în **bunc condițiuni** a spălării și **drenării** tancului. O acumulare prea mare de țitei pe fundul tancului face imposibilă curățarea și îndepărtarea depunerilor și sedimentelor.

10.7. Metode și proceduri pentru drenare

Instalația de la bordul navei **este** de asemenea manieră încdt magistralele superioara și inferioară sunt în legătură directă cu tancurile laterale de slop, tancurile de marfă și camera pompelor.

Magistrala din babord se continuă cu magistrala **nr.1** și corespunde tancului **de** slop din **babord**, iar cea din **tribord** corespunde tancului de slop din **babord**, ambele corespunzând cu aspirația **stripuirii**.

Încă înainte de începerea spălării și **drenarii** tancurilor, cât și pe toată perioada **efectuării operațiilor**, nava va menține un contact permanent cu terminalul **care** va fi anunțat și **ținut** la curent cu mersul operațiilor de spălare și **drenare**. Astfel la terminarea operațiunilor de drenare, terminalul va fi anunțat că începe operațiunea de **stipuire**; **by-pass-ul** magistralei fiecărei **turbopante** va fi deschis și pompa de strip va începe uscarea tancurilor pe tubulaturi separate ce conduce spre tancul de slop.

Stripuirea tancurilor se face prin tubulaturi speciale cu valori ale **diametrelor până** la 250mm.

10.8. Inspectarea și întreținerea echipamentului

Înainte de începerea operațiunii de spălare și drenare se va avea în vedere:

- starea funcțională α sistemului de spălare: diametrul **duzelor**, presiunea disponibilă;
- asigurarea protecției aparatelor de **măsură** și **flotoarelor**;
- starea normală de funcționare a sistemului de gaz inert;
- sistemul tubulaturilor fixe pentru spălarea cu țigeti să fie izolat de încălzitorul pentru spălarea cu apă și față de compartimentul mașini;
- valvulele de izolare a mașinilor de spălare să fie închise;
- magistrala pentru spălarea cu țigeti să fie pusă sub **presiune**, testată și toate defectele remediate;
- sistemul de **spălare** și drenare să fie bine **izolat** pentru a se evita riscul poluării;
- sistemul de gaz inert și alarmele să funcționeze corect;
- cargotancurile** să fie izolate față de atmosferă;
- liniile de spălare să fie etanșe.

Echipamentul portabil pentru spălare este format din: mijloace de susținere a **tuburilor**, **tuburi** de spălare și **mașinile** de **spălare** care pot avea 2 sau 3 duze de **spălare**.

- mijloacele de susținere sunt în general **socare**;
- mașinile** de spălare să fie manipulate cu grijă pentru α nu fi lovite duzele, garniturile **de** cuplare și să nu producă scurgeri;
- se folosește un furtun de spălare cu o lungime apropiată de înălțimea de **construcție** a tancului;
- înainte** de folosire furtunul se verifică **pentru** continuitate electrică, **rezistența** citită pentru un singur tub. nu trebuie să **depășească valoarea** de 6 ohmi pe metru de lungime sau 100 ohmi pe întreaga lungime;
- nu se folosesc furtunuri flră **împământare**.

Sistemul fix de **spălare constă** din mașini de **spălare** montate permanent in tancuri și din tubulaturi fixate pe punte sau in interiorul tancurilor.

-**adesea** mașinile au o singură duză;

-**mașinile** inferioare pot fi cu două **duze**;

-**diametrul** duzei determină **presiunea**, volumul și viteza;

-**ansamblul mecanismului** de control și comandă este programabil pentru controlul **poziției** duzei:

-**duza** poate fi ridicată sau **coborâtă** pe o zonă de **150°** și poate fi rotită cu 360°.

Mașini le montate la fundul tancului - întreținerea lor constă în asigurarea că au filtrul curat și că valvulă de stop este **strânsă**. **Corecta** utilizare a **mașinilor**, nivelul uleiului de **ungere**, și jetul corect al duzei pot fi confirmate **de observația** că în **tanc** sunt condiții de gas free, dar inspecțiile vor trebui să fie **făcute** după nu mai mult **de** șase folosiri sau la intervale **de** 12 luni sau chiar **mai** des.

Bibliografie

- | | |
|---------------------------------|--|
| [1]. I. C. S. | International Safety Guide for Oil Tankers & Terminals
3-rd Edition, Witherby Marine Publishing, London , 1990 |
| [2]. C. Baptist | Tanker hand book for deck officers
London , 1989 |
| [3]. G. A. B. King | Tanker practice
Stanford Maritime Ltd., London, 1974 |
| [4]. D. Rutherford | Tanker cargo handling
Ch. Griffin & Co Ltd., London . 1980 |
| [5]. * * * | R. O. B. - Procedure
A complement to "Ocean Sea Guid for Tankers"
Witherby & Co Ltd., London , 1973 |
| [6]. I. M. O. | Crude Oil Washing Sistem
L M. O., London . 1990 |
| [7]. Drew Ameroid Marine | Tank Cleaning Manual
Drew Ameroid Marine. U. S. A., 1985 |

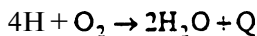
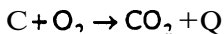
11

INSTALAȚIA DE GAZ INERT

11.1. Introducere

11.1.1. Reducerea riscurilor de foc și explozie pe tancurile petroliere și de produse chimice

Principalul risc pe care îl **prezintă tancurile** care **transportă** lichide inflamabile în vrac - **țitei**, produse **petroliere**, solvenți sau alte produse chimice, gaze lichefiate - îl **constitue** focul și **explozia**, deoarece în atmosfera din tancurile de marfă se vor găsi întotdeauna **substanțe combustibile**, în stare **gazoasă**, provenite din mărfi. Substanțele combustibile sunt în general hidrocarburi sau derivate ale acestora. Ele conțin deci carbon (C) și hidrogen (H) care în procesul de ardere suferă reacțiile:



Căldura degajată (**Q**) este destul de mare pentru a permite formarea unei flăcări vizibile ce traversează tot amestecul gazos. Atunci când arderea are loc la suprafața unui **lichid**, căldura produsă este în mod normal suficientă pentru a produce noi cantități de **vapori**, care îi vor **înlocui** pe cei consumați în reacția de oxidare și lichidul continuă să ardă,

Arderea poate **avea** loc dacă se îndeplinesc concomitent **trei condiții**, considerate a fi vârful unui **triunghi**, denumit triunghiul focului; existența unui material **combustibil**, a oxigenului (**O₂**) în cantități suficiente **pentru a întreține** arderea și prezența unei surse de aprindere. O sursă de aprindere poate iniția arderea numai în cazul în care concentrația amestecului gazos se **situează** între anumite limite, numite limite de **inflamabilitate** sau de explozie. **Rezultatul** arderii este o creștere bruscă a temperaturii și presiunii.

Presiunea finală **într-un** container închis în care arde un amestec inflamabil hidrocarburi-aer este de aproximativ 9 **atmosfere**. Este evident că **punțile** și pereții **etanși** ai

tancurilor, care se testează la o presiune pozitivă de 0,24 atm. se vor rupe **încă** din faza de început a exploziei.

Pentru eliminarea riscului de foc și explozie la bordul tancurilor este deci necesar să se înlăture posibilitatea ca un amestec inflamabil și o sursă de aprindere să se găsească în același timp în același loc.

Eforturile pentru prevenirea accidentelor determinate de foc sau explozii s-au îndreptat în două **direcții**:

- eliminarea **surselor** de aprindere;
- reducerea la minimum a perioadelor în care concentrația gazelor combustibile din atmosfera tancului se **situează** între limitele de explozie.

În ceea ce privește primul obiectiv, s-au **făcut** progrese importante în identificarea de noi surse de aprindere, care în trecut erau necunoscute sau inexplicabile. Totuși aceste surse nu pot fi controlate în totalitate de proiectant sau de către personalul de exploatare. Se impune astfel prevenirea formării amestecurilor explozive în atmosfera **cargotancurilor**, adică situarea **concentrației** gazelor combustibile în afara limitelor de explozie.

O cale de realizare a acestui deziderat **il** constituie menținerea în tanc a unei atmosfere inerte prin înlocuirea **aerului**, ce **conține** oxigenul necesar arderii, cu un gaz ce nu **întreține arderea**. În acest scop se **folosesc** **sisteme de gaz inert**.

Sistemele de gaz inert au fost folosite pentru prima dată pe nave petroliere în 1925, în SUA. Metoda a fost privită cu neîncredere și în anii următori a fost abandonată. Abia după 1932 o serie de companii ("**SANOIL**" - SUA și mai târziu "**BRITISH PETROLEUM**" - Anglia) dotează navele lor cu sisteme de gaz inert. Începând cu 1963 **majoritatea** navelor petroliere nou construite încep să fie doate cu astfel de sisteme, care devin tot **mai** sigure. Obligatorietatea dotării navelor petroliere, de un anumit tonaj, cu sisteme de gaz inert apare după 25 mai 1980, când intră în vigoare Convenția SOLAS 1974.

Prin Protocolul SOLAS 1978 și apoi prin Amendamentele din 1981 și 1983 se aduc noi precizări privind proiectarea, **funcționarea**, **întreținerea**, verificarea, **etc.**, **sistemelor** de gaz inert destinate atât tancurilor petroliere, cât și tancurilor de produse chimice în **vrac**.

11.1.2. Definiții

Termenii folosiți în acest capitol au următoarele semnificații:

Combustibil sau **inflamabil** (referitor la un **lichid**, amestec gazos sau alt material) - capabil de a se aprinde sau arde. În cazul tancurilor ce transportă produse petroliere, **substanțele** inflamabile sunt hidrocarburi.

Domeniu de explozie sinonim cu **domeniu (interval) de inflamabilitate** - domeniu de concentrații ale substanțelor inflamabile în amestecul format **de** acestea (dacă sunt gaze) sau vaporii acestora cu **aerul**, **domeniu** situat între limita inferioară de **inflamabilitate** (explozie) și limita superioară de **inflamabilitate** (explozie). Acest amestec gazos este inflamabil.

Limita inferioară de inflamabilitate sau **de explozie** (Lower flammable limit. **LFL** sau Lower explosive limit. **LEL**) - concentrația gazelor inflamabile în **amestecul** format de acestea cu **aerul**, concentrație sub care substanța **inflamabilă** (care arde) este în cantitate insuficientă pentru a putea **întreține** sau propaga arderea.

Limita superioară de inflamabilitate sau **de explozie** (Upper flammable limit. **UFL** sau Upper explosive limit, **UEL**) - concentrația gazelor inflamabile în amestecul format de acestea

cu aerul. concentrație peste care există insuficient aer (deci insuficient oxigen. O_2) pentru a întreține sau propaga arderea.

Condiții inerte (Inert Conditions) referitoare la atmosfera din tancuri - situație în care în atmosfera tancului concentrația oxigenului este egală sau mai mică de 8% vol. condiții realizate prin introducerea unui gaz inert; în aceste condiții amestecul gazos nu poate întreține sau propaga arderea.

Gaz inert (Inert Gas) - un gaz care este chimic inactiv și care este incapabil de a reacționa cu alte substanțe sau de a permite desfășurarea oricărei reacții chimice. Gazul inert folosit pentru prevenirea incendiilor în tancuri este o substanță gazoasă sau un amestec de gaze, cum ar fi gazele de evacuare (ardere), care conțin insuficient oxigen pentru a întține arderea substanțelor inflamabile (hidrocarburilor).

Sistem de gaz inert (Inert Gas System) - o instalație de gaz inert împreună cu sistemul de distribuție al gazului inert, mijloacele de prevenire a pătrunderii gazelor din cargotancuri în sala mașinilor, instrumentele de măsură fixe și portabile și aparatele de control.

Instalație de gaz inert (Inert Gas Plant) - toate echipamentele special instalate pentru producerea, răcirea, comprimarea, supravegherea și controlul debitării gazului inert spre cargotancuri.

Sistem de distribuție al gazului inert (Inert Gas Distribution System) - toate conductele, valvulele și armăturile ce folosesc la distribuția gazului inert în cargotancuri și la evacuarea gazului în atmosferă, pentru a proteja tancurile de suprapresiune sau vid excesiv.

Gaz petrolier (Petroleum Gas) - amestecul de substanțe gazoase degajate de țiței sau produsele petroliere obținute din țiței. Este format în principal din hidrocarburi dar poate conține și alte gaze ca: hidrogen sulfurat, alchil-Pb, etc.

Presiune de vapori reală (True Vapour Pressure, TVP) - presiunea absolută exercitată de gazele produse prin evaporarea unui lichid atunci când se atinge, la temperatura respectivă, starea de echilibru și raportul gaz/lichid este efectiv zero. Este presiunea maximă a vaporilor ce poate fi atinsă la temperatura respectivă.

Presiunea de vapori Reid (Reid Vapour Pressure, RVP) - presiunea vaporilor în echilibru cu lichidul, determinată în condiții standard, cu aparatul Reid, la temperatura de $37,8^{\circ}\text{C}$ (100°F) și la un raport volumetric gaz/lichid 4:1.

Temperatura (punct) de inflamabilitate (Flashpoint) - temperatura cea mai scăzută la care, în condiții determinate și la presiune de 760 torri, lichidul eliberează suficienți vapori pentru a forma un amestec cu aerul ce se aprinde de la o flacără deschisă. Pentru determinarea în laborator a temperaturii de inflamabilitate se folosesc aparate cu vas închis (closed cup) sau cu vas deschis (open cup). Este obligatorie, la exprimarea temperaturii de inflamabilitate, precizarea tipului de aparat cu care se face determinarea.

Produse petroliere volatile (Volatile Petroleum) - țiței sau produse obținute din țiței ce au un punct de inflamabilitate sub 60°C . determinat cu aparatul cu vas închis. Din această categorie fac parte cele mai multe sortimente de țiței, combustibili pentru turboreactoare, benzinele).

Produse petroliere nevolatile (Non-volatile Petroleum) - țiței sau derivate ale acestuia ce au punct de inflamabilitate mai mare de 60°C , determinat cu aparatul cu vas închis. Aceste lichide produc, la echilibru, la temperaturile obișnuite de depozitare, transport și manipulare, concentrații ale amestecurilor gazoase ce se situează sub limitele lor inferioare de inflamabilitate, în această categorie intră combustibili reziduali și combustibili distilați folosiți în motoarele diesel. Presiunea de vapori Reid a acestor produse este sub 0,007 bar și din acest motiv nu este uzual măsurată și evidențiată în buletinul de analiză.

11.2. Noțiuni generale

11.2.1. Compoziția și caracteristicile amestecului gazos hidrocarburi-aer

Produsele petroliere - **țițeiul** și produsele petroliere **uzuale** - sunt în general amestecuri de hidrocarburi, adică **substanțe** formate din hidrogen (H) și carbon (C). În țiței se găsesc hidrocarburi cu puncte de fierbere cuprinse între **-162°C** (metanul) și peste **400°C**.

Volatilitatea acestor produse, adică tendința acestora de a **produce** vapori la suprafața lichidului, măsurată prin presiunea de vapori, depinde de concentrația componentelor celor mai volatile, adică cu **punctele** de fierbere **cele** mai scăzute. Cu **aproximație**, hidrocarburile care intră în compoziția amestecului gazos de la suprafața produselor petroliere volatile sunt: **propanul** (C_3H_8), **butanul** (C_4H_{10}) și **pentanul** (C_5H_{12}); acest amestec de **hidrocarburi**, în stare de vapori (gaz), îl vom nota în continuare **HC_{gaz}**.

Densitatea **relativă**, în raport cu aerul, a acestor hidrocarburi, în stare pură, este mai mare decât 1 (tabelul nr.11.1). Densitatea relativă a amestecului acestor hidrocarburi cu aerul este dependentă de concentrație; ea este mai mare decât 1 pentru amestecurile aflate peste LFL, existând pericolul **stratificării**, concentrația cea **mai mare** a hidrocarburilor fiind în apropierea suprafeței lichidului. La **diluție** cu aer sub LFL acest pericol dispare, densitatea amestecului fiind practic egală cu α aerului.

Limitele de **inflamabilitate** ale amestecurilor formate din hidrocarburile pure **gazoase** cu aerul sunt prezentate în tabelul nr. 11.1. Limitele de inflamabilitate ale **amestecurilor HC_{gaz} - aer** provenite din diverse produse petroliere lichide vor diferi de cele ale amestecurilor hidrocarburi pure - aer. În practică, pentru tancurile ce **transportă** țiței și derivate ale acestuia ușor volatile, aceste limite sunt considerate: 1% vol - limita inferioară de inflamabilitate (LFL), 10% vol - limita superioară de inflamabilitate (UFL).

Tabelul 11.1. Caracteristicile amestecurilor gazoase hidrocarburi-aer

Hidrocarbura	Limite de inflamabilitate, % vol hidrocarburi în aer		Densitate relativă fa. U de aer		
	Inferioară (LFL)	Superioară (UFL)	Hidrocarburi pură	Amestec 50% vol hidrocarburi - 50% vol aer	Amestec la LFL
Propan	2.2	9.5	1.55	1.25	1.0
Butan	1.9	8.5	1.0	1.5	1.0
Pentan	1.5	7.3	2.5	1.3	1.0

11.2.2. Inflamabilitatea amestecurilor HC_{gaz} - aer - gaz inert

Influența gazului inert, **adăugat** unui amestec **HC_{gaz} - aer**, asupra limitelor de inflamabilitate este ilustrată în figura nr. 11.1.

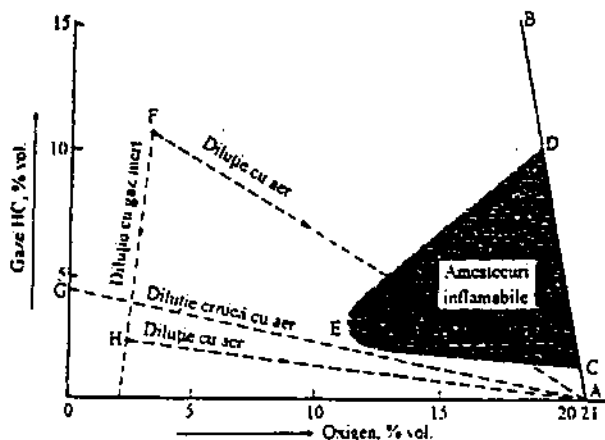


Fig. 11.1. Inflamabilitatea amestecurilor HC_{gaz} - aer - gaz inert

situat în stânga liniei AB, corespunde unui amestec HC_{gaz} - aer - gaz inert; cu cât se adaugă mai mult gaz inert, cu atât concentrația oxigenului în amestec va fi mai mică și punctul va fi situat mai spre stânga.

La adăugarea gazului inert unui amestec HC_{gaz} - aer, limitele de inflamabilitate se modifică după liniile CE respectiv DE, intervalul de inflamabilitate se îngustează, iar în punctul E cele două limite LFL și UFL, coincid. Acest punct corespunde unui conținut de oxigen de aproximativ 11% vol. Orice amestec aflat în afara suprafeței CED nu poate arde. Sub 11% vol O_2 nici un amestec HC_{gaz} - aer nu poate arde. Pentru mai multă siguranță concentrația maximă admisibilă a oxigenului, în astfel de amestecuri, s-a stabilit la 8% vol: orice amestec HC_{gaz} - aer ce conține sub 8% vol O_2 nu poate arde în nici o circumstanță.

Punctul F de pe diagramă corespunde unui amestec neinflamabil. Dacă unui astfel de amestec i se adaugă fie aer, fie gaz inert, compoziția sa se va modifica după liniile FA respectiv FH.

La diluția cu aer (ca de exemplu în operațiile de degazare) orice amestec situat deasupra liniei GA va traversa și domeniul de inflamabilitate, adică va forma amestecuri explozive. Numai punctele situate sub linia GA, ce corespund unor amestecuri foarte sărace în hidrocarburi, nu pot deveni inflamabile în nici o situație. Trecerea de la o situație nesigură, corespunzătoare punctului F, la una sigură, corespunzătoare punctului H, este posibilă prin purjare cu gaz inert.

11.2.3. Gaze inerte folosite în prevenirea și stingerea incendiilor

Pentru prevenirea și stingerea incendiilor drept gaze ce nu întrețin arderea pot fi folosite:

-gazele rare (inerte): heliu (He), neon (Ne), argon (Ar), cripton (Kr); ele fiind scumpe se folosesc pentru prevenirea incendiilor în operațiile de sudură;

Diagrama prezintă relația dintre concentrația hidrocarburilor gazoase și concentrația oxigenului în amestecul gazos. Linia AB arată această corelație în amestecul HC_{gaz} -aer, fără gaz inert; panta liniei este determinată de reducerea cantității de aer din amestec, pe măsura creșterii concentrației hidrocarburilor. Punctele C și D de pe această linie corespund limitelor de inflamabilitate a vaporilor de țigăie, respectiv 1% vol (LFL) și 10% vol (UFL). Orice punct de pe diagramă.

-azotul pur, N_2 , folosit, din motive economice, în special la inertarea cargonavelor ce transportă gaze lichefiate;

-dioxidul de carbon, CO_2 , folosit în instalațiile de sursă incendiu de la bordul navelor,

-amestec de N_2 , CO și O_2 , în care concentrația oxigenului nu depășește 5% vol.

11.2.4. Producerea gazelor inerte

Gazele rare se obțin de obicei din aer, prin distilarea aerului lichid

Azotul poate fi obținut din aer:

-prin distilarea aerului lichid;

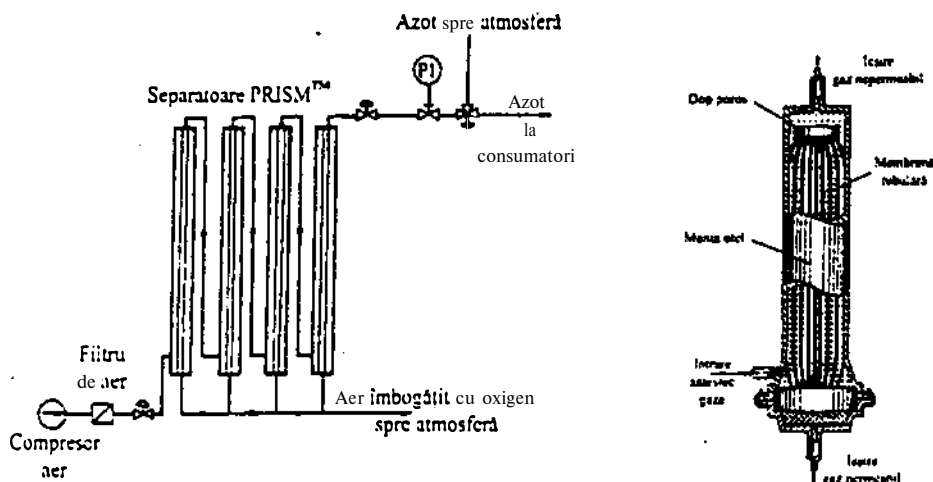
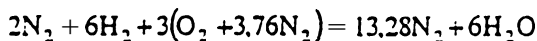
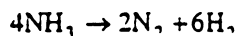


Fig. 11.2. Instalație de producere a azotului din aer

-prin absorbția oxigenului din aer cu ajutorul unui reactiv regenerabil;

-prin trecerea aerului prin separatoare prevăzute cu membrane semipermeabile sub forma de tuburi cu diametru foarte mic; gazele din componența aerului (N_2 , O_2 , CO și H_2O) au viteze diferite de deplasare prin membrane, permițând separarea lor. Azotul, având cea mai mică viteză de deplasare, se acumulează în partea superioară a separatorului obținându-se un azot cu puritate până la 99,95% vol. în figura nr. 11.2 este prezentată o instalație de producere a azotului ce folosește separatoare PrismTM ale firmei Monsanto.

O altă cale de obținere a azotului este prin descompunerea amoniacului (NH_3) și arderea hidrogenului rezultat:



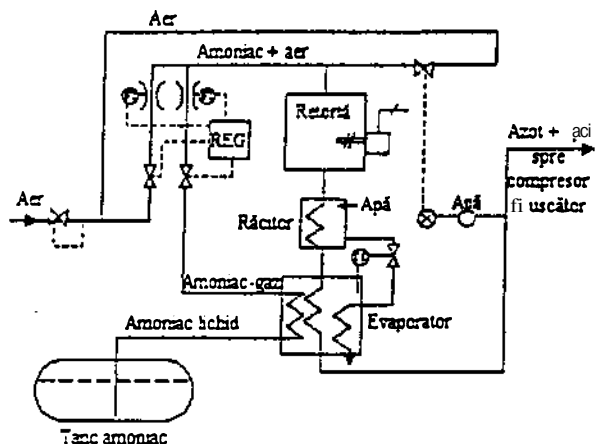


Fig. 11.3. Instalație de producere a azotului din amoniac

maxim 5% vol O_2 este limitată de necesitatea reducerii concentrației oxigenului în cargoneturi la maxim 8% vol, lucru ce poate fi obținut doar prin folosirea unui gaz inert cu conținut cât mai mic de oxigen. Ideal ar fi ca acesta să nu conțină oxigen, ceea ce este imposibil din punct de vedere practic, gazul inert rezultând în urma arderii unui combustibil într-o anumită instalație.

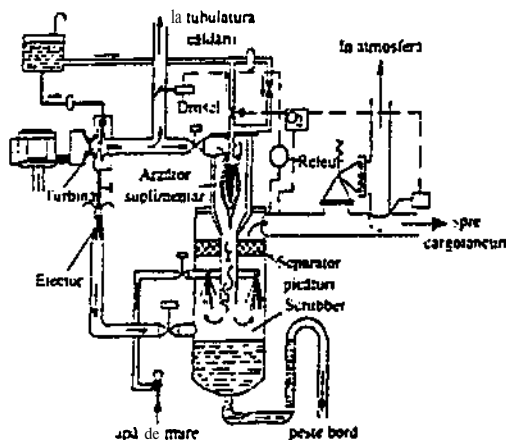


Fig. 11.6. Instalație de gaz inert ce folosește gazele de ardere de la turbina

Din patru kilomoli de amoniac (61 kg amoniac) se obțin teoretic aproape 295 Nm^3 azot; schema unei instalații de producere a azotului este prezentată în figura nr. 11.3.

Dioxidul de carbon se obține din carbonați prin descompunerea termică a acestora sau descompunere cu acizi. Se păstrează în butelii sub presiune.

Amestecul de N_2 , CO_2 și O_2 , acesta din urmă nedeșăvîșind 5% vol, este cel mai utilizat la bordul navelor petroliere, fapt pentru care i s-a atribuit denumirea generică de gaz inert. Concentrația de

Instalațiile de gaz inert de la bordul navelor pot folosi gaze de ardere provenite de la:

- eșapamentul căldărilor principale sau auxiliare (figura nr. 11.4);
- un generator independent de gaz inert (figura nr. 11.5);
- o turbină cu gaz, atunci când gazele de ardere sunt trecute printr-un arzător suplimentar (figura nr. 11.6).

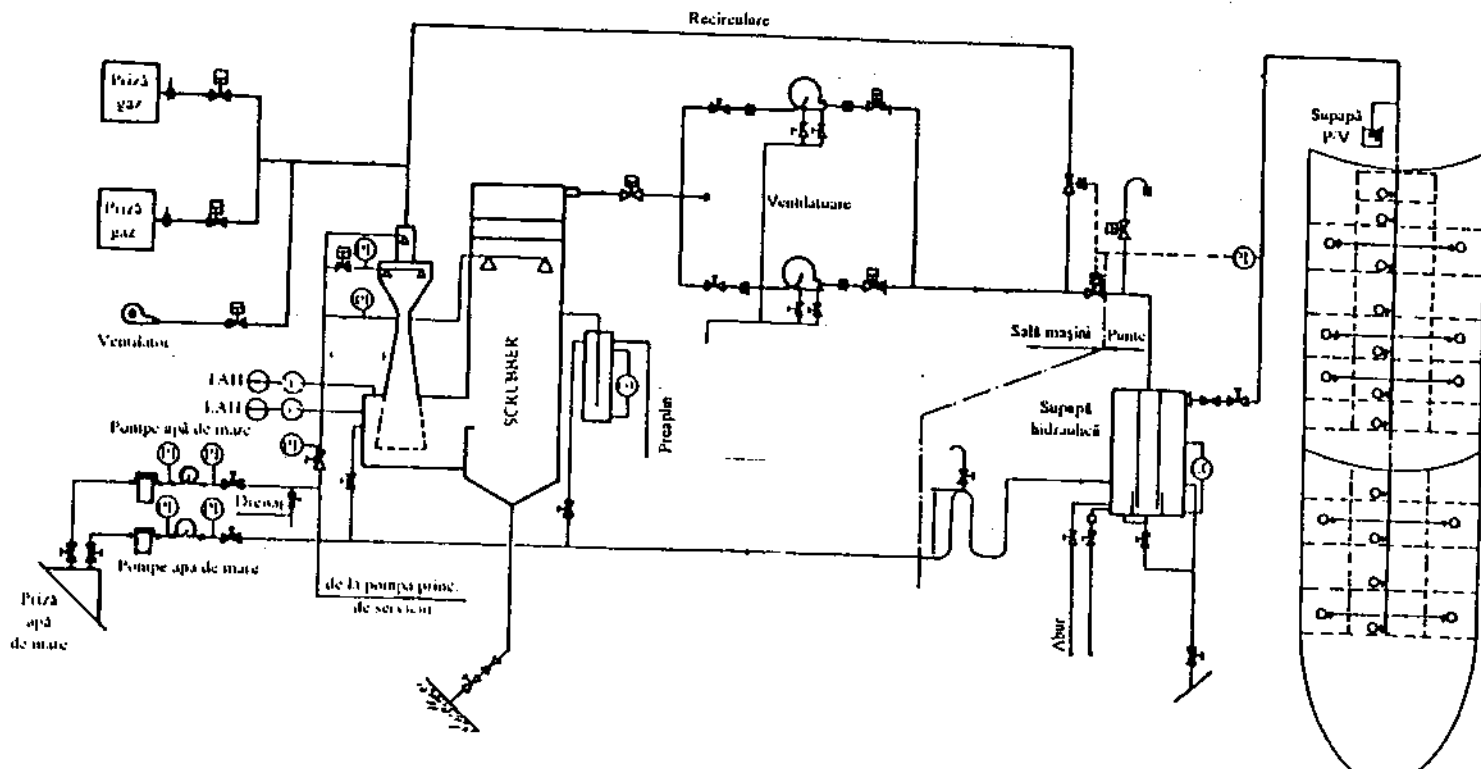


Fig. 11.4. Sistem de gaz inert ce folosește gazele de ardere de la căldare.

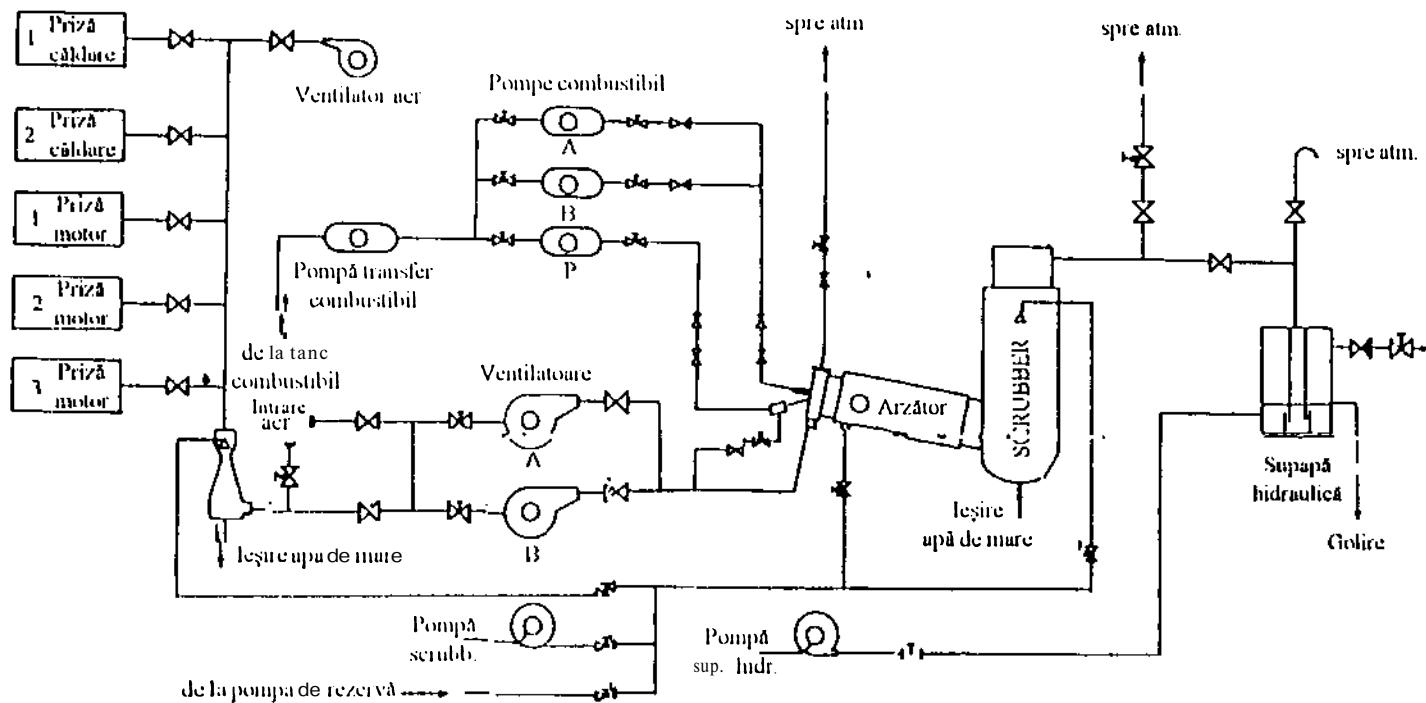


Fig. 11.5. Sistem de gaz inert cu generator independent de gaz.

11.2.5. Calitatea gazului inert obținut din gaze de ardere

În toate cazurile de obținere a **gazului inert**, acesta **rezultă** prin arderea unui **combustibil**. Calitatea **gazului** va depinde atât de **natura** combustibilului, cât și de condițiile de ardere.

Când se folosesc gazele de **evacuare** de la căldările principale sau auxiliare se poate **obține**, în **general**, un gaz inert cu un conținut de oxigen sub 5% **vol**, depinde de modul cum este controlată arderea și de gradul de încărcare **al** căldărilor. Pentru celelalte două surse de gaz inert conținutul de oxigen poate fi controlat automat și **menținut** strict între anumite **limite**, în mod uzual între 1,5 și 2,5% **vol** și în mod normal nu va depăși niciodată limita de 5% **vol**.

Arderea combustibililor marini și în special a celor reziduali are loc cu tendință de formare de funingine, de aceea pentru a obține o ardere cât mai bună trebuie să se asigure:

- o pulverizare cât mai fină, pentru a avea o suprafață de evaporare și ardere cât mai mare; **pentru** a realiza acest lucru **viscozitatea** combustibilului trebuie să fie suficient de redusă;

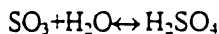
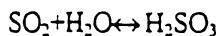
- uri amestec cât mai omogen aer/combustibil;

- o **vaporizare** cât mai eficientă **obținută** prin **recircularea** gazelor fierbinți în zona conului de pulverizare și prin **preîncălzirea** aerului introdus în focar;

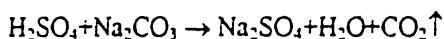
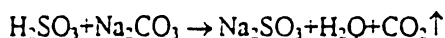
- un exces de aer de 10 până la 20%, menținut la valoarea cea mai mică la care arderea are loc fără **fum**.

Combustibilii marini conțin pe lângă hidrocarburi și compuși cu alte elemente: compuși cu sulf, **compuși** cu azot, substanțe minerale și compuși **organo-metalici**. Prin oxidarea acestora se formează **dioxid** de sulf (SO_2) și în mică măsură **trioxid** de sulf (SO_3), oxizi de azot (NO și NO_2), cenușă.

Oxizi **sulfurii** reacționează cu apa rezultând acid sulfuros și **sulfuric**, acizi puternici care atacă metalele producând coroziunea severă a instalațiilor. Eliminarea lor se face prin dizolvare în apă de **mare**, proces ce are loc în absorber (scrubber):



Eliminarea lor se **face** prin dizolvare în apă de mare, proces ce are loc în absorber (scrubber). La temperatura de 15°C se poate elimina până la 99% din cantitatea de oxizi de sulf conținută în gazele de ardere. Pentru eliminarea avansată a **oxizilor** sulfurii, cât și pentru neutralizarea apelor de **spălare**, ce devin puternic acide producând coroziune și poluarea mediului la deversarea lor peste **bord**, în uncie instalații se folosesc pentru absorbție și soluții de carbonat de sodiu; în urma reacțiilor de neutralizare se formează **sulfizi** și sulfizi de **sodiu**, **neutilizabili** pentru mediu:



La temperatura de **15°C** se poate elimina până la 99% din cantitatea de **oxizi** de sulf conținută în gazele de ardere.

Monoxidul de azot (NO) și **dioxidul de azot** (NO₂) nu se pot elimina din **gazul inert**. Ele sunt în concentrație mică dar sunt toxice. Din fericire ponderea cea mai mare o are NO care este cel mai puțin toxic.

La un exces mic de aer se formează și **monoxid de carbon** (CO); este un gaz toxic care la o concentrație de 1500-2000 **ppm** produce intoxicații iar la 4000 ppm provoacă moartea. CO nu poate fi redus sub 1000 ppm.

Solidele, sub formă de cenușă sau funingine, sunt nedorite deoarece se pot depune în conducte sau ventilatoare. Ele acumulează umiditate și devin **corozive**. Impuritățile solide pot fi în proporție de 500 **mg/m³** dar peste 98,5% din ele pot fi **eliminate**, dacă dimensiunile lor sunt **mai** mari de 1 **μm**.

Pentru a putea fi trimise în sistemul de distribuție, gazele inerte, după spălare, vor fi uscate și răcite. Temperatura gazului nu trebuie să depășească cu mai mult de 5°C temperatura apei de mare folosită în scrubber.

Compoziția aproximativă a unui gaz inert obținut din gaze de ardere **este**:

- O₂, în concentrație de 3 până la 4% voi ,**pentru** gazele provenite de la **căldări** și poate ajunge până la 0,5% pentru celelalte surse de gaz inert;
- CO₂, între 13,5% **vol** și 15% **vol**;
- SO₂, mai puțin de 150 ppm, după scrubber,
- N₂, diferența.

11.2.6. Metode de înlocuire a gazelor din tancurile de marfă

Există trei operații în care se impune înlocuirea gazelor existente în tancurile de **marfă** cu altele:

-**inertarea**, adică introducerea de gaz inert în tanc în scopul obținerii condițiilor inerte;

-**purjarea**, adică introducerea de gaz inert într-un tanc în care atmosfera este deja inertă în scopul reducerii în continuare a conținutului de oxigen **și/sau** reducerii **concentrației** hidrocarburilor gazoase la un **nivel** la care, dacă urmează o **diluție** cu aer, **amestecul** să nu poată întreține arderea;

-**degazarea** (operația de gas-free), adică introducerea într-un tanc, compartiment sau container a aerului proaspăt până la o concentrație la care să nu mai existe în acesta gaz **inflamabil**, toxic sau inert, condiții cerute de intrarea în tanc, lucru cu foc etc.

În toate aceste situații înlocuirea gazului existent în tanc se poate realiza prin una din următoarele metode:

1. **diluția**, care este un proces de amestecare (figura **nr. 11.7 a,b,c**);
2. **dislocuirea**, care este un proces în care apare stratificarea **amestecului** gazos din tanc (figura nr. 11.7 d).

Concentrația **gazelor**, în diverse puncte ale tancului, **este, diferită** în cazul folosirii uneia sau alteia **dintre** metode pentru înlocuirea atmosferei din tanc. Cele două metode au un efect marcant asupra metodei de supraveghere a **atmosferei**, fiind necesară o interpretare corectă a indicațiilor aparatelor de măsură folosite (vezi diagramele din figura nr. 11.3).

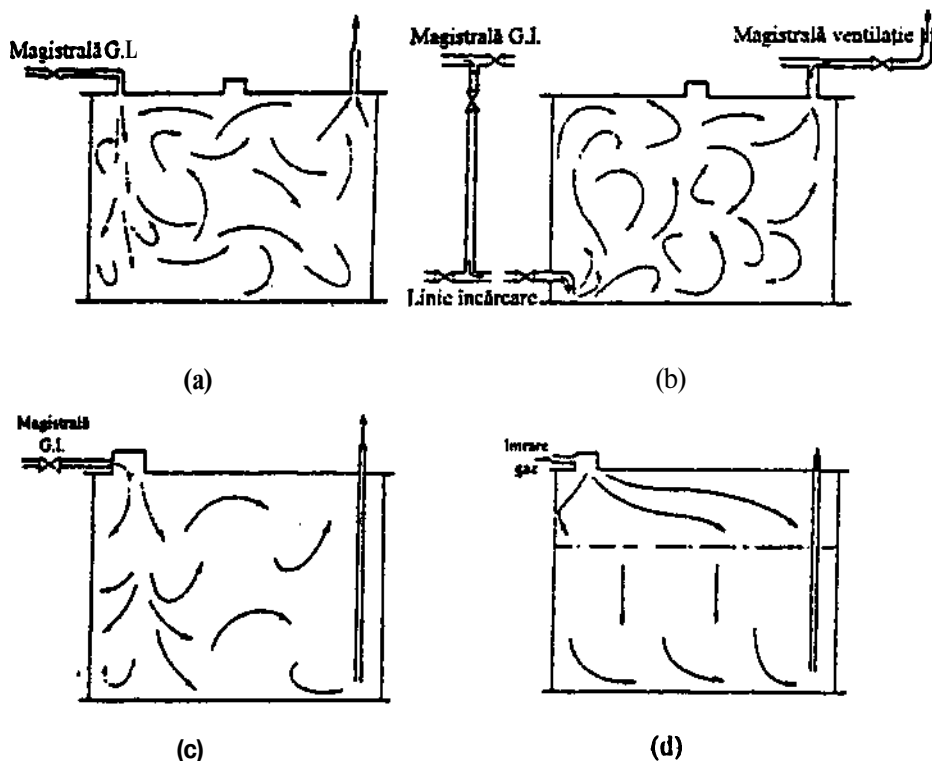


Fig. 11.7. Operații de înlocuire a gazelor din cargonțancuri:
a), b), c) diluție; d) disiocuire

Din punct de vedere teoretic două gaze formează un amestec omogen. În cazul introducerii unui gaz G peste unul preexistent în tanc, G_0 , în cazul diluției, concentrația gazului original, G_0 , scade exponențial. Din punct de vedere practic viteza de înlocuire a

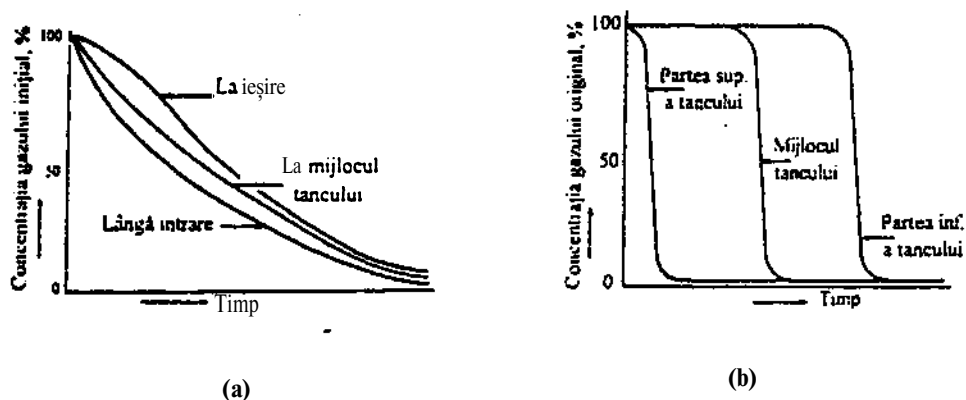


Fig. 11.8. Evoluția concentrației gazelor din tancurile de marfă în timpul operațiilor de:
a) diluție; b) disiocuire

gazului original depinde de fluxul de **gaz G**. viteza cu care acesta intră în tanc. **dimensiunile** tancului. Pentru a se obține o înlocuire completă a gazului este important ca viteza gazului ce intră în tanc să fie suficient de mare pentru a atinge partea inferioară a tancului și a provoca o mișcare turbulentă a gazelor și deci un amestec cât mai omogen.

În cazul **dislocuirii**, ideal ar fi ca între gazul mai ușor ce intră în tanc. **G**. și cel mai greu, original din tanc, **Go**, să se realizeze o interfață orizontală stabilă; de aceea viteza de intrare a gazului **G** trebuie să fie relativ mică. În practică **această** interfață nu este netă și pentru a **obține** un grad avansat de **dislocuire** este necesar un volum de gaz de intrare mai mare **decât** cel pe care trebuie **să-l** înlocuiască.

Folosirea uneia sau alteia dintre metode depinde de mai mulți factori și pentru punerea în practică a acestor metode sunt posibile mai multe aranjamente.

Aranjamentul 1 (figura nr. 11.7a.) - gazele sunt introduse pe la partea superioară a tancului astfel încât să se obțină o **penetrabilitate** maximă și o amestecare cât mai bună în tanc. Metoda folosită este **diluția**. Gazele înlocuite ies tot pe la partea superioară prin conductele de aerisire ale fiecărui tanc și apoi prin magistrala de aerisire.

Aranjamentul 2 (figura nr. 11.7b.) - gazele se introduc pe la partea inferioară a tancului și sunt eliminate pe la partea superioară, fie prin conducta individuală de ventilație, fie, dacă tancul este prevăzut cu **valvule** de izolare, prin magistrala de gaz inert spre coșul de aerisire. Metoda folosită este diluția.

Aranjamentul 3 (figura nr. 11.7c, d.) - gazele se introduc pe la partea superioară a tancului și ies pe la partea inferioară. Metoda folosită este **dislocuirea** dacă diferența de densitate între gazul care intră și cel existent este mare dar poate fi și **diluție** dacă această diferență este mică și gazul intră cu viteză mare. Pentru captarea gazelor care ies se folosesc conducte de **purjare**; punctul de absorbție al gazelor este situat la un metru de baza tancului iar partea de deasupra punții are o **înălțime** de doi metri, pentru a reduce cantitatea de vapori periculoși pe punte.

11.2.7. Cerințe impuse instalațiilor de gaz inert

Destinația principală a instalației de gaz inert o constituie protecția tancurilor de **marfă** ale petrolierelor împotriva incendiilor și **exploziilor**. În plus ea asigură și o reducere a coroziunii și o creștere a capacității de pompare.

Navele echipate cu instalații de gaz inert trebuie să aibă **cargotancurile** menținute tot timpul în condiții de neinflamabilitate, adică:

-tancurile trebuie să fie în condiții inerte tot **timpul**, cu excepția situației când este necesar să fie gas-free pentru inspecție sau lucru; oxigenul trebuie să fie sub 8% vol iar presiunea în tanc pozitivă;

-trecerea de la atmosfera inertă la condițiile de gas-free trebuie să se facă Ω ă a se traversa domeniul de **inflamabilitate**; aceasta înseamnă că înainte de a se trece la introducerea aerului, atmosfera din tanc trebuie **diluată**, prin puijare cu gaz inert, până când concentrația hidrocarburilor ajunge sub linia de diluție critică cu aer (linia GA din figura nr. 11. i);

-dacă o navă este în condiții de gas-free, înainte de a se ajunge în portul de încărcare, tancurile trebuie **inertate**.

Pentru a menține tancurile în condiții de neinflamabilitate, instalației de gaz inert i se impun următoarele cerințe:

- a) să fie capabilă să **inerteze** toate tancurile goale;
- b) să funcționeze în timpul **descărcării, debalastării**, spălării cu **țitei** a tancurilor, curățării tancurilor;
- c) să **purjeze** tancurile înainte de operația de gas-free;
- d) să mărească presiunea în **tancuri**, atunci **când** pe timpul voiajului apare această necesitate.

Instalațiilor de gaz inert destinate tancurilor ce transportă țiței li se impun aceleași **cerințe** ca și celor destinate tancurilor ce transportă produse petroliere diverse sau **vrachierelor combinate**. În cazul ultimelor tipuri de nave există doar unele diferențe de operare legate în **special** de temperatura de **inflamabilitate** a produselor transportate.

11.3. Componenta sistemului de gaz inert obținut din gaze de ardere

În principiu, sistemul de gaz inert este constituit din: instalația de producere a gazului inert, sistem de blocare a pătrunderii **gazelor** din tancuri spre instalația de gaz inert, sistem de distribuție a gazului inert (figura nr. 11.9).

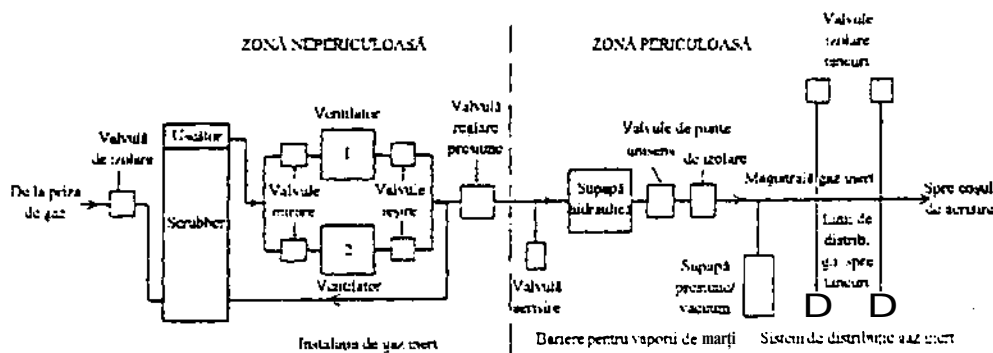


Fig. 11.9. Schema de principiu a unui sistem de gaz inert

Sistemul cuprinde valvulă de gaze (1), plasată la 1-2 m de eșapamentul căldării, prin care **trec** gazele fierbinți spre scrubber (2). Aici gazele sunt **răcite**, curățate de impuritățile solide, oxizii de sulf și picăturile de apă. Gazele curate sunt trimise spre ventilatoarele (3) ce trimit gazul prin supapa hidrolică (5), valvă unisens (6) și valvă izolatoare (7) spre tancurile de marfă. Presiunea gazului trimis spre tancuri este reglată de valvă de reglare a presiunii (4) plasată imediat după ventilatoare. După valvă izolatoare, pe magistrala de gaz inert, se montează un **înterupător de presiune/vacuum** ce are rolul de a proteja cargotancurile de vid sau **suprapresiune** cauzate de defecțiuni în instalație.

De la valvă izolatoare pornește magistrala de gaz inert, ce se întinde de-a lungul punții și prezintă ramificații spre fiecare **tanc**, gazul inert fiind debitat pe la partea **superioară** a tancurilor.

11.3.1. Priza de gaze de ardere

Punctul de **prelevare** al gazelor de ardere trebuie astfel ales încât gazul să nu fie prea fierbinte la intrarea în scrubber și să nu formeze depuneri dense pe valvulele de izolare.

Debitele de gaz din instalația de gaz inert sunt mari iar presiunile de lucru mici. Din acest motiv **instalația** trebuie să prezinte rezistențe de curgere cât mai mici. Ca urmare **tubulaturile** vor avea **diametre** mari, rezultând viteze de curgere mici, iar valvulele de pe traseul de gaz vor avea coeficienți de curgere cât mai mari (numim *coeficient de curgere* cantitatea de gaz ce trece prin **valvula** deschisă provocând o cădere de presiune de o atmosferă). Ca **valvulă** de izolare se va folosi o **valvulă** tip fluture.

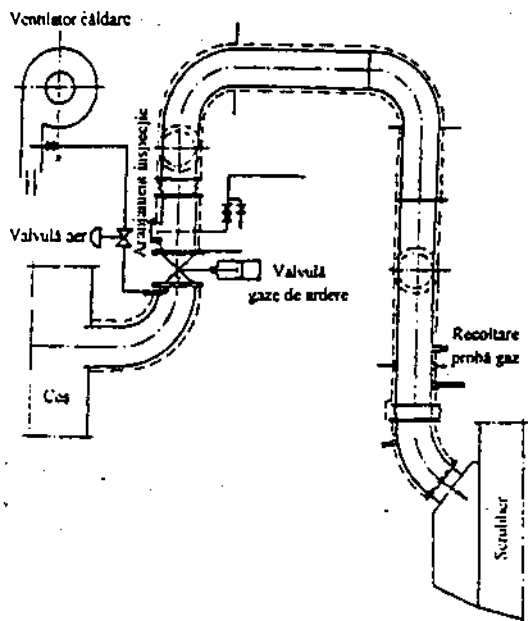


Fig. 11.10. Priză de gaz inert

folosi fonia obișnuită, dar la temperaturi mai mari se vor folosi materiale nu numai rezistente la temperatură ci și la acțiunea **corozivă** a **gazelor**, având în vedere faptul că, atunci când **valvula** este **închisă**, gazele stagnante **se** vor răci și acidul sulfuric poate condensa. Conducta dintre valvulă izolatoare și scrubber **trebuie** să fie confecționată din oțel foarte rezistent la acizi; ea trebuie să prezinte cât mai puține îmbinări pentru a preveni acumularea de produse solide **corozive**.

Dacă se consideră **necesară** o porțiune de dilatare pe conducta de gaz, aceasta se va monta după valvulă de izolare, astfel încât fluxul de gaz prin ea să fie vertical: pentru construcția ei se vor folosi materiale foarte rezistente la funinginea îmbibată cu acidul provenit din condens, iar suprafața **interioară** va fi cât mai netedă.

Când priza de gaz va fi închisă, **gazele** se vor răci permițând acidului sulfuric să condenseze pe metal și să producă puternice corozii. Pentru a preveni acest lucru, s-a prevăzut un dispozitiv care, atunci când valvulă este închisă, injectează aer preluat de la **sufanta** arzătorului căldării (figura nr.11.10).

Îndepărtarea depunerilor solide de pe **scaunul valvulei** și de pe fluture se **realizează** cu un dispozitiv de suflare. Pe tubulatură, în partea superioară a **valvulei**, **se montează** o gură de inspecție, pentru ca operația să se efectueze fără demontarea capacului valvulei.

Materialul folosit la confecționarea valvulelor izolatoare trebuie adaptat la temperatura gazelor ce trec prin ea: pentru temperaturi sub 220°C **se** poate

11.3.2. Absorberul (scrubberul)

Absorberul, sau **scrubberul** cum este denumit în mod uzual; are, pe lângă țolul său principal de a absorbi **dioxidul** de sulf din gazele de **ardere**, și rolul de răcire a **gazelor** și de a elimina **majoritatea** impurităților solide (**funingine**, cenușă).

Absorbția este operația de difuziune (transfer de masă) **între o fază** gazoasă și o fază **lichidă**, bazată pe **solubilitatea** gazului în lichid. Prin absorbție unul sau **mai mulți** dintre componenții unui amestec gazos se separă prin dizolvarea într-un lichid. **Gazul** se va dizolva până la **atingerea** unui echilibru, concentrația la **echilibru** fiind funcție de temperatură și presiune.

La temperatură constantă, **corelația** dintre concentrația gazului în lichid și presiune este dată de **legea** lui Henry;

$$p = H \cdot X \text{ sau } X = p/H$$

în care:

p = presiunea gazului, în **atm**;

X = **concentrația** gazului dizolvat, sub formă de fracție molară, în **mol/mol soluție**;

H – constanta Henry, în **atm** (constantă H are dimensiunile unei presiuni).

Legea lui Henry **se** aplică și când gazul are mai mulți componenți sub forma:

$$X_A = p_A/H_A$$

în care:

p_A = **presiunea** parțială a componentului A în faza gazoasă, în **atm**;

X_A = fracția molară a **componentului** A în lichid în **mol/mol soluție**;

H_A – constanta **Henry** pentru componentul A, în **atm**.

Ținând cont de legea lui **Dalton**, presiunea parțială a **componentului** A este:

$$p_A = Y_A \cdot p$$

în care:

Y_A = fracția molară a componentului A în amestecul gazos, în **mol/mol gaz**;

p = **presiunea totală** a amestecului de gaze, în **atm**.

Legea lui Henry devine:

$$p \cdot Y_A = H_A \cdot X_A \text{ sau } X_A = p \cdot Y_A/H_A$$

Constanta Henry depinde de natura **gazului**, a lichidului în **care** se face absorbția și de temperatură. Sub **această formă**, în care **constantă** H este independentă de presiune, legea lui Henry se aplică **sistemelor** reale numai în intervale restrânse de presiune, de aproximativ 1 atm. în tabelul **nr. 11.2** este **dată** constantă H pentru **SO₂** în apă.

Tabelul 11.2. Constanta Henry, H (atm), pentru dioxid de sulf, în apă

Temp. J	0°C	10°C	20°C	30°C	40°C	50°C	60°C	80°C	100°C
H	16.45	24.2	35.0	47.9	65.2	86.0	11.0	168	-

Constanta Henry este cu atât mai mică cu cât solubilitatea **gazului** este mai **mare**, de aceea ea scade cu creșterea temperaturii.

Alte două condiții necesare și avantajoase absorbției sunt:

-suprafața cât mai **mare** de contact între gaz și **lichid**, realizată prin divizarea fluidelor în filme **subțiri**, stropi sau bule;

-viteze **mari** ale fluidelor (debit mare al lichidului absorbant).

În instalațiile de gaz inert de la bordul navelor lichidul absorbant uzual este apa de **mare**, care este disponibilă în **cantități** mari, dar pot fi folosite și alte lichide **absorbante**, care implică cheltuieli mai mari.

Înainte de intrarea gazelor în turnul de **absorbție** ele sunt răcite fie prin trecere **printr-o** ploaie de **apă**, fie prin **barbotare** printr-un dispozitiv de **etanșare** cu apă. Un astfel de dispozitiv poate servi și pentru prevenirea oricăror scurgeri de gaz. atunci **când scrubberul** este deschis pentru întreținere și inspecție.

Soluțiile constructive pentru absorbere, adoptate de firmele **producătoare**, diferă **considerabil**, **absorberul** trebuie să fie proiectat în corelație cu tipul de navă, natura mărfii, natura combustibilului ars și tipul de echipament de ardere, cantitatea de gaz inert ce **trebuie obținută** și calitatea **acestuia**. **Toate** tipurile constructive **urmăresc** un contact cât mai bun între gaze și lichidul **absorbant**; din acest punct de vedere se disting patru tipuri de absorbere: cu talere, cu umplutură, cu pulverizarea apei, absorbere combinate.

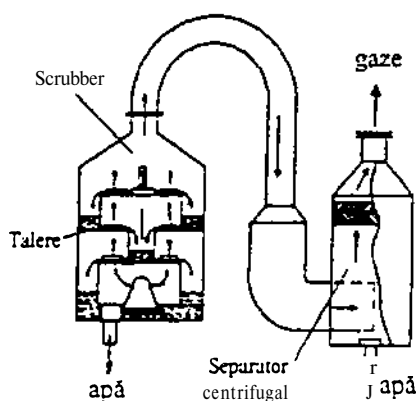


Fig. 11.11. Scrubber cu talere

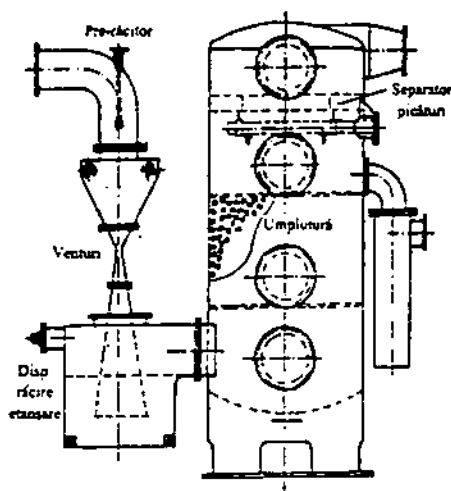


Fig. 11.12. Scrubber cu umplutura

Absorberele (scrubberele) cu talere (figura nr.11.11). în acest tip de absorber **gazele** care circulă de jos în sus prin clopote sunt obligate să **barboteze** prin lichid, pe fiecare taler având loc absorbția **oxizilor de sulf** și antrenarea, de către lichid, a particulelor **solide**.

Absorberele (scrubberle) cu umplutură (figura nr. 11.12). La **absorberele** cu umplutură **talerele** sunt **înlocuite** cu unul sau mai multe straturi de umplutură, calculate ca talere echivalente. Umplutura poate fi **piatră cuarț** sau materiale plastice. Filmul de lichid de la suprafața umpluturii este fin oferind o suprafață de contact mare, o viteză **de difuzie** și un timp de contact **gaz-lichid** mari.

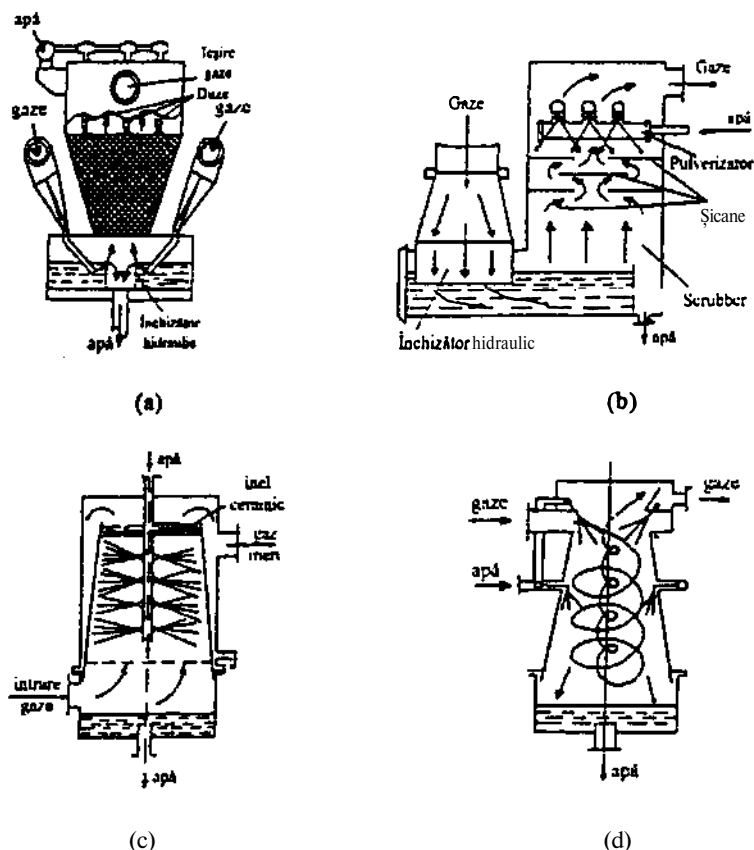


Fig. 11.13. Scrubere cu pulverizarea apei: a - cu duze; b, c - fără duze; d - centrifugal

Absorberele (scrubberule) cu pulverizarea apei. La acest tip de absorbere se disting două variante constructive: cele ce folosesc duze pentru pulverizarea apei (figura nr. 11.13a) și cele ce folosesc plăci sau conducte perforate (figura nr. 11.13b.c). În general aceste absorbere au o eficiență scăzută la îndepărtarea particulelor solide. O mai bună separare a acestora se obține în scrubberul centrifugal (construit de firma JAKO). Mișcarea gazelor în camera în care se pulverizează apa are o traiectorie elicoidală, forțele centrifuge ce acționează asupra particulelor solide acționând favorabil separării lor (figura nr. 11.13d).

Absorberle (scrubberule) combinate. Absorberele combinate folosesc două sau mai multe trepte de prelucrare a gazelor (figura nr. 11.14). Ele au eficiență sporită atât în eliminarea oxizilor de sulf, cât și a impurităților solide.

La partea superioară a absorberului se prevăd unul sau mai multe filtre separatoare de picături, pentru reținerea picăturilor de apă antrenate de gaze, fie sub forma unor pături de polietilenă, fie uscătoare tip ciclon.

Scrubberul trebuie să fie proiectat în corelație cu tipul de navă, natura mărfii, natura combustibilului ars și tipul de echipament de ardere, cantitatea de gaz inert ce trebuie obținută și calitatea acestuia.

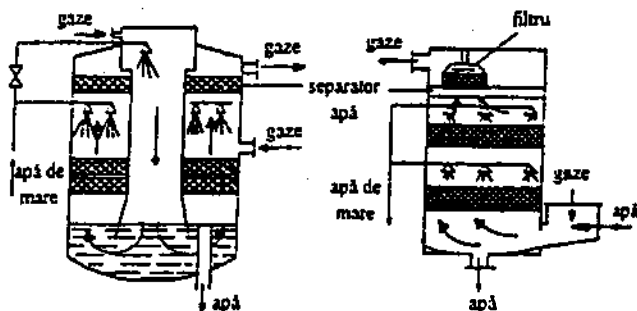


Fig. 11.14. Scrubbere combinate

să nu scadă, atunci când nava balansează, sub trei procente iar temperatura gazelor la ieșire să nu depășească cu mai mult de 3°C pe cea luată în calcul.

Alimentarea cu apă trebuie să se facă de la o pompă independentă dar să existe posibilitatea de a folosi o altă pompă (de la instalațiile de incendiu, de balast, de santină, sanitară) fără însă a perturba funcționarea altor instalații. Pompele trebuie să nu producă înecarea scrubberului.

În partea inferioară a scrubberului se prevăd conducte pentru drenare precum și sistem de încălzire pentru prevenirea înghețării.

Montarea scrubberului trebuie făcută deasupra liniei de plutire pentru a nu apare probleme de drenare, atunci când nava este încărcată.

Pe mantaua scrubberului se prevăd guri de vizitare și vizoare de sticlă pentru a permite curățarea, inspectarea și supravegherea funcționării. Vizoarele trebuie prevăzute cu sticlă dublă și să prezinte o bună rezistență mecanică.

Scrubberul trebuie prevăzut cu aparatură de măsură, comandă și alarmă pentru:

- controlul presiunii apei de răcire;
- controlul nivelului apei în absorber;
- controlul temperaturii gazelor.

Materialele din care este construit scrubberul trebuie să fie rezistente la coroziune; se folosesc aliaje metalice rezistente în apă de marc (aliaj Ni-Cr-Fe, oțeluri rezistente la acizi) sau oțel-carbon căptușit cu cauciuc, rășini epoxidice armate cu fibră de sticlă sau alte asemenea materiale cu rezistență chimică mare. În cazul folosirii acestor căptușeli, gazele trebuie bine răcite înainte de a veni în contact cu acestea.

Plăcile perforate, părțile metalice din componența filtrelor umede și a separatorului de picături sunt realizate din oțel rezistent la acizi.

Toate aparatele de măsură, flotorii și senzorii din sistemul de măsură, control și siguranță al scrubberului ce vin în contact fie cu apa, fie cu gazele, trebuie să fie realizate din materiale rezistente la acizi.

11.3.3. Grupul de ventilatoare

Ventilatoarele au rolul de a prelua gazul inert de la scrubber și de a-l trimite spre tancurile de marfă.

Pentru navele ce transportă țiței, scrubberul trebuie proiectat astfel încât să elimine cel puțin 90% din SO_2 și efectiv toate impuritățile solide din gazele de ardere. Pentru navele ce transportă produse petroliere condițiile de calitate sunt mai severe.

La proiectarea aparatului trebuie să se aibă în vedere ca eficiența acestuia

Regula 62 paragraful **3.1.** din Amendamentul **din 1981** la Convenția SOLAS 1974 prevede ca instalația de **gaz inert** să **poată** trimite spre tancurile de **marfă** gaz inert cu un debit care să fie cel **puțin** 125% din debitul maxim de descărcare.

În acest scop instalațiile de gaz inert pot fi dotate cu:

-două ventilatoare, al căror debit împreună să satisfacă cerința de mai sus; de obicei un ventilator este **acționat** de o turbină cu abur iar celălalt **ventilator**, care are capacitate mai mici este acționat de un motor electric și folosește la menținerea presiunii în tancuri pe timpul voiajului;

-două **ventilatoare**, fiecare din ele având debitul necesar satisfacerii cerinței din Convenția SOLAS.

Numai în cazuri speciale se admite un singur **ventilator**, cu condiția existenței siguranței că sistemul de antrenare poate fi imediat remediat cu mijloacele bordului.

Caracteristicile **presiune/volum** ale ventilatoarelor sunt determinate de **cerințele** maxime ale sistemului astfel încât, în orice situație de descărcare și cu toate pierderile de presiune din întregul sistem de gaz **inert**, să se mențină în tancuri o presiune minimă de 200 mm col. apă.

Ventilatoarele sunt prevăzute cu:

-sistem de spălare cu apă dulce a părților interioare;

-scurgeri, pentru fiecare cameră, conectate la tubulatura de **efluent** a **scrubberului**;

-guri de **inspecție**;

-**valvule** de **recirculare** a gazului inert spre scrubber, atunci când lucrează la presiuni **scăzute**, pentru evitarea **suprîncălzirii** sau pentru reglarea debitului, când ambele ventilatoare **funcționează**.

Carcasele ventilatoarelor sunt construite din oțel carbon căptușit cu rășini **sintetice**, cauciuc sau alt **material** organic rezistent la coroziune. Rotorul se construiește din aliaje rezistente la **coroziune**, **bronz-aluminiu** cu ax din **oțel** rezistent la acizi. Lagărele folosite vor fi cu **bile** sau lagăre de **alunecare**. Între axul **ventilatorului** și al sistemului de antrenare (atunci când nu este comun) se prevede un cuplaj elastic.

11.3.4. Vavula pentru reglarea presiunii

Valvă automată pentru reglarea presiunii are următoarele roluri:

-de a preveni reîntoarcerea gazelor din tancuri, în situația în care ar apărea o defecțiune la ventilatoare, pompa scrubberului. **etc.**, dar și în situația în care instalația de gaz inert **funcționează** corect dar au apărut defecțiuni la supapa hidraulică **și/sau** valvă **unisens** și presiunea **gazului** în tanc depășește presiunea de ieșire a ventilatoarelor (cum **este** cazul operațiunilor simultane de **stripare și balastare**);

-de a regla debitul de gaz în magistrala de gaz **inert**, în funcție de cerințe.

Pentru **îndeplinirea** celui de-al doilea rol pot fi folosite mai multe **metode**, una dintre **acestea** fiind reprezentată în figura **nr. 11.15**.

În acest aranjament presiunea din sistem se reglează **fără** modificarea vitezei **ventilatoarelor**, excesul de gaz inert fiind **returnat** în scrubber sau eliminat în atmosferă.

Valvă pentru reglarea presiunii este o **valvă** tip fluture; ea reglează debitul de gaz prin modificarea unghiului de deschidere al fluturelui și deci prin modificarea secțiunii de trecere a gazelor. **Valvula** este de tip "normal **închis**", iar reglarea debitului **se** face prin intermediul unui **transmițător** și unui regulator de presiune legat la **poziționerul valvulei**.

Valvă poate fi acționată și manual. Ea trebuie să fie dotată cu mijloace de indicare a poziției valvei: "închis" sau "deschis".

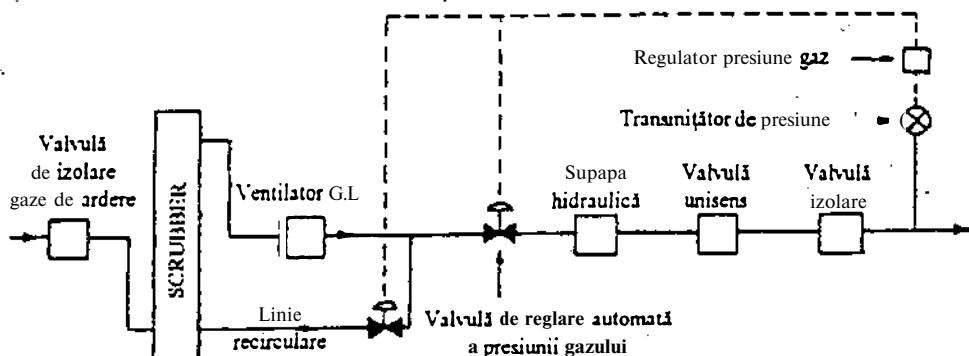


Fig. 11.15. Sistem de control automat a presiunii gazului în sistem

11.3.5. Supapă hidraulică (blocajul hidraulic)

Supapă hidraulică împreună cu valvă mecanică unisens acționează ca sisteme automate de prevenire a curgerii inverse a gazelor dinspre tancurile de marfă (ce conțin hidrocarburi) spre ventilatoare, scrubber sau spre orice altă zonă a instalației de gaz inert care este considerată sigură din punct de vedere al riscului de explozie.

Supapă hidraulică blochează întoarcerea gazelor din tancuri chiar și atunci când instalația de gaz inert nu funcționează, de aceea este esențial ca aceasta să fie continuu alimentată cu apă și în mod special atunci când nu se livrează gaz inert în sistem. Deși există mai multe soluții constructive, în toate cazurile înălțimea coloanei de apă ce se formează în situația curgerii gazelor dinspre tancuri trebuie să fie suficientă pentru a nu le permite acestora trecerea spre ventilatoare.

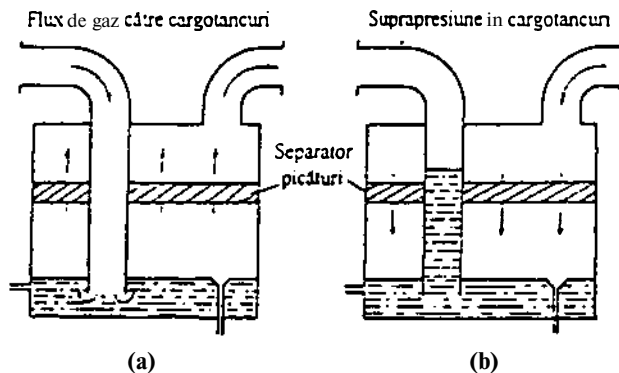


Fig. 11.16. Principiul de funcționare al supapei hidraulice de tip umed

Există trei tipuri de supape hidraulice, diferențiate prin cantitatea de apă ce există în camera de etanșare în timpul curgerii normale a gazului inert spre tancuri.

a. *Supapă hidraulică de tip umed.* Principiul de funcționare al acestei supape este ilustrat în figura nr. 11.16. În camera de etanșare apa are un nivel constant, menținut de un preaplin. La debitarea de gaz inert, acesta

Supapa este prevăzută cu un tanc **de** apă gravitațional, **construit** în corpul supapei, prevăzut cu **valvule** de **umplere** și de golire. Umplerea și **drenarea** camerei supapei **se face** automat, valvulele de golire a tancului gravitațional și de **drenare** a camerei supapei fiind

controlate de nivelul apei în tancul **gravitațional** și în camera supapei și de presiunea gazului în π la ieșirea din ventilatoare. Umplerea tancului gravitațional se face **printr-o valvă** cu **comandă** pneumatică acționată de un senzor de nivel.

În figura nr. 11.18. este prezentată schematic o supapă **hidraulică** de tip uscat.

Supapele hidraulice trebuie astfel dimensionate încât presiunea coloanei de lichid să nu fie mai mică decât presiunea de deschidere a **valvulei presiune/vacuum**.

Alimentarea cu apă a **su-papei** trebuie să se facă dintr-un rezervor izolat hidraulic prin intermediul a două pompe.

Supapele trebuie prevăzute cu guri de vizitare și vizoare rezistente la șoc. **pentru** observarea nivelului apei în timpul funcționării (figura nr. 11.19)

Orice conductă de **drenare** ce vine de la supapa hidraulică trebuie prevăzută cu un opritor **hidraulic** în formă de U, de **înălțime** cel puțin 2 m. Acesta va fi plasat în afara sălii mașinii și prevăzut cu sistem de împiedicare a înghețării.

Materialele folosite în construcția supapelor hidraulice trebuie să fie rezistente la foc și la **acțiunea corozivă** a acizilor pe **care** gazul îl formează cu apa. Se folosesc aliaje rezistente la coroziune acidă dar se poate folosi și **oțel-carbon** acoperit cu folii **de elastomeri**, rășini **epoxidice** armate cu fibră de sticlă sau cu orice altă acoperire rezistentă în acest mediu.

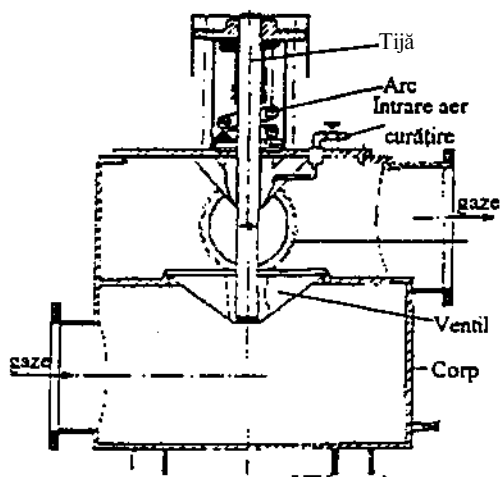


Fig. 11.20. Valvă unisens (de reținere)

11.3.6. Valvă unisens (de reținere)

Valvula unisens este primul dispozitiv automat care împiedică circulația inversă a gazelor, dinspre **cargotancuri** spre ventilatoare. Închiderea automată arc ca scop împiedicarea circulației inverse a gazelor ce conțin **hidrocarburi**, în situația în care **ventilatoarele s-au oprit** și supapa hidraulică **nu** are destul timp pentru umplerea cu apă.

Presiunea din **instalație** fiind **scăzută**, valvă trebuie să opună o rezistență mică. Din acest motiv părțile mobile **trebuie** să fie **ușoare** iar **secțiunea** de trecere a gazelor cât mai mare.

Partea principală a **valvulei** este ventilul sub formă de disc ce **se** sprijină pe un scaun din **oțel** inoxidabil; etanșarea este **realizată** de un inel montat **într-un** canal al discului (figura nr. 11.20). Pentru deschiderea supapei este necesară comprimarea arcului ce menține valvă în poziția **închis**, de **către** gazul în π .

În partea superioară a valvulei este prevăzută o **diuză** de spălare.

Materialele folosite în construcția valvulei trebuie să fie metale **rezistente** la **coroziune**; pentru carcasa valvulei se poate folosi și **oțelul-carbon** căptușit cu acoperiri organice rezistente la acizi.

11.3.7. Supapa de presiune/vacuum

Rolul acestui dispozitiv este de a proteja cãrgotãncurile în cazul în care în acestea apare presiune excesivã sau se creeazã vid. **Construcția** supapei este foarte **simplã**, principiul de funcționare al unei astfel de supape este prezentat în figura nr. 11.21.

Magistrala de gaz inert

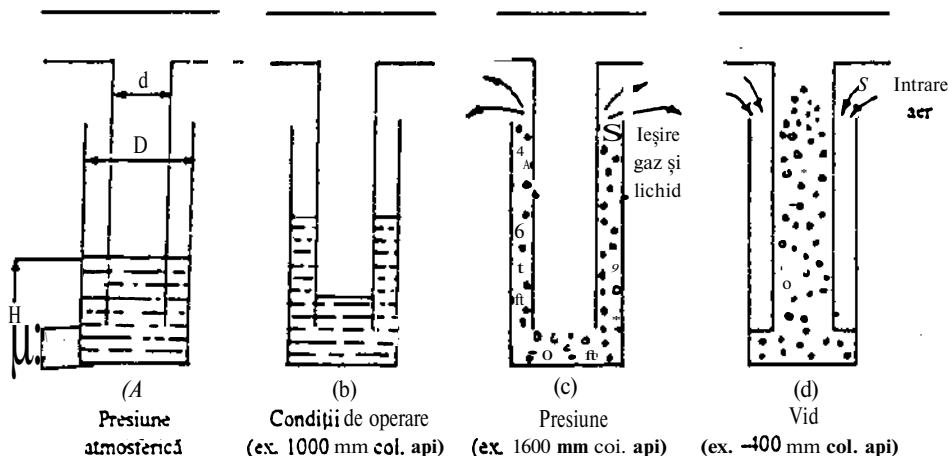


Fig. 11.21. Principiul de funcționare al supapei de presiune/vacuum

Supapa este **constituită** din doi cilindri concentrați cu diametrele D și d . Volumul total de lichid V_t , corespunzător înălțimii H , este constituit din volumul **mort**, V_m , corespunzător înălțimii h_m , ce rămâne în cilindrul **exterior** în orice situație de funcționare și volumul circulant V_c , care ocupă ambii cilindri - în condiții normale de funcționare, numai cilindrul exterior - dacă în tãncuri apare vid sau numai **cilindrul** interior - dacă în tãncuri se creazã **suprapresiune**. În caz de scădere a presiunii în **tãncuri**, aerul este aspirat în tubul **interior**, **barbotează** prin lichid și intră în **instalație**. În cazul **creșterii** presiunii peste cea **prevăzută**, gazul **inert** intră în cilindrul **exterior**, barbotează prin lichid și iese în afară prin cilindrul interior.

În proiectarea supapei de presiune/vacuum se iau în considerare:

- o suprapresiune de 2000 mm col H_2O ;
- un vid de 700 mm col H_2O .

Debitul posibil de deversat prin supapã **trebuie** sã fie cel puțin egal cu debitul maxim al ventilatoarelor instalației de gaz inert.

Volumul de lichid necesar se calculeazã în funcție de condițiile de **presiune** impuse și de densitatea **lichidului**. Lichidul folosit **poate** fi un ulei mineral sau un amestec apã **dulce/glicol**, cu punct de congelare foarte **scãzut**, acesta fiind folosit mai ales pe vreme rece. Pentru prevenirea pierderii lichidului prin deschiderea **bruscã** a supapei cãtre **atmosfera**, în partea superioarã se prevede o camerã de colectare din **care** lichidul **recuperat** este **returnat** în supapã.

Supapa **este** prevăzută cu **sticlă** de nivel și robinet de **drenare**.

Materialele folosite în construcția supapei pot fi: **oțel-carbon galvanizat**, oțel protejat cu acoperiri **epoxi-gudron**.

11.3.8. Valvule de presiune/vacuum

Aceste **valvule** sunt proiectate să acționeze în cazul variațiilor mici de volum în atmosfera tancurilor, provocate de variațiile de temperatură din tanc. Ele vor acționa **înainte** întrerupătorului (supapei) de **presiune/vacuum**. Valvulele trebuie inspectate și curățate regulat pentru a le menține în perfectă stare și a **preîntâmpina** astfel funcționarea întrerupătorului de **presiune/vacuum**, atunci **când** nu este neapărat necesară.

11.4. Dispozitive de măsură, reglaj și siguranță

Pentru buna **funcționare** a sistemului de gaz inert acesta este dotat cu dispozitive de măsură, reglaj și **siguranță**. **Toate** aparatele **folosite**, fixe sau portabile, trebuie să fie gradate într-un sistem unitar de unități și să **aibe** instrucțiuni clare pentru folosire, **calibrare** și verificare. Toate dispozitivele de măsură și alarmare cerute de Regula 62 a Convenției SOLAS trebuie să fie stabile la variații ale tensiunii de **alimentare**, variații de **presiune**, la vibrații, **umiditate**, șocuri și **coroziune**, factori care se întâlnesc în mod normal la bordul navelor.

Scrubberul trebuie să fie dotat cu instrumente de **măsură** și alarmă pentru:

-debitul de intrare al apei în scrubber; acesta trebuie înregistrat continuu fie cu ajutorul unui **debitmetru**, fie prin măsurarea presiunii cu un manometru. Dacă apare o scădere de **debit** sub valoarea indicată atunci se activează o alarmă, iar la o scădere în continuare a debitului **se** opresc **ventilatoarele**. Limitele la care se activează alarma sau se opresc ventilatoarele se stabilesc în funcție de caracteristicile constructive ale **scrubberului**;

-nivelul apei în scrubber; când apa în scrubber atinge un nivel prestabilit se declanșează o alarmă iar la **depășirea** limitei prescrise pompa de alimentare cu apă se va opri.

Grupul de ventilatoare este prevăzut, pe partea de refulare, cu aparate de măsurare a temperaturii gazelor. Când temperatura atinge **65°C** se activează o alarmă, iar la temperatura de **75°C** ventilatoarele se opresc **automat**. În cazul **generatoarelor de gaz inert** la **care gazele** trec printr-un **răcitor** înainte de intrarea în scrubber, răcire necesară **protecției** materialelor de acoperire folosite la **scrubber**, reglarea temperaturii **gazelor**, în modul arătat mai **înainte**, se va face la ieșirea din răcitor și înainte de scrubber.

Supapa hidraulică este prevăzută cu alarmă pentru cazul în care **nivelul** apei scade sub o valoare **prestabilită**, dar **înainte** ca supapa să devină **neoperativă**. Pentru cazul supapelor de tip uscat alarma pentru nivelul apei **este** dezactivată când gazul inert trece spre sistemul de distribuție. Atunci când presiunea apei de **alimentare** a supapei scade sub o valoare **prestabilită**, sistemul de gaz inert este oprit **automat**.

Presiunea gazelor în magistrala de gaz inert trebuie să fie **supravegheată** continuu. Pentru controlul presiunii se **realizează** un circuit de **recirculare** (figura nr. 11.22).

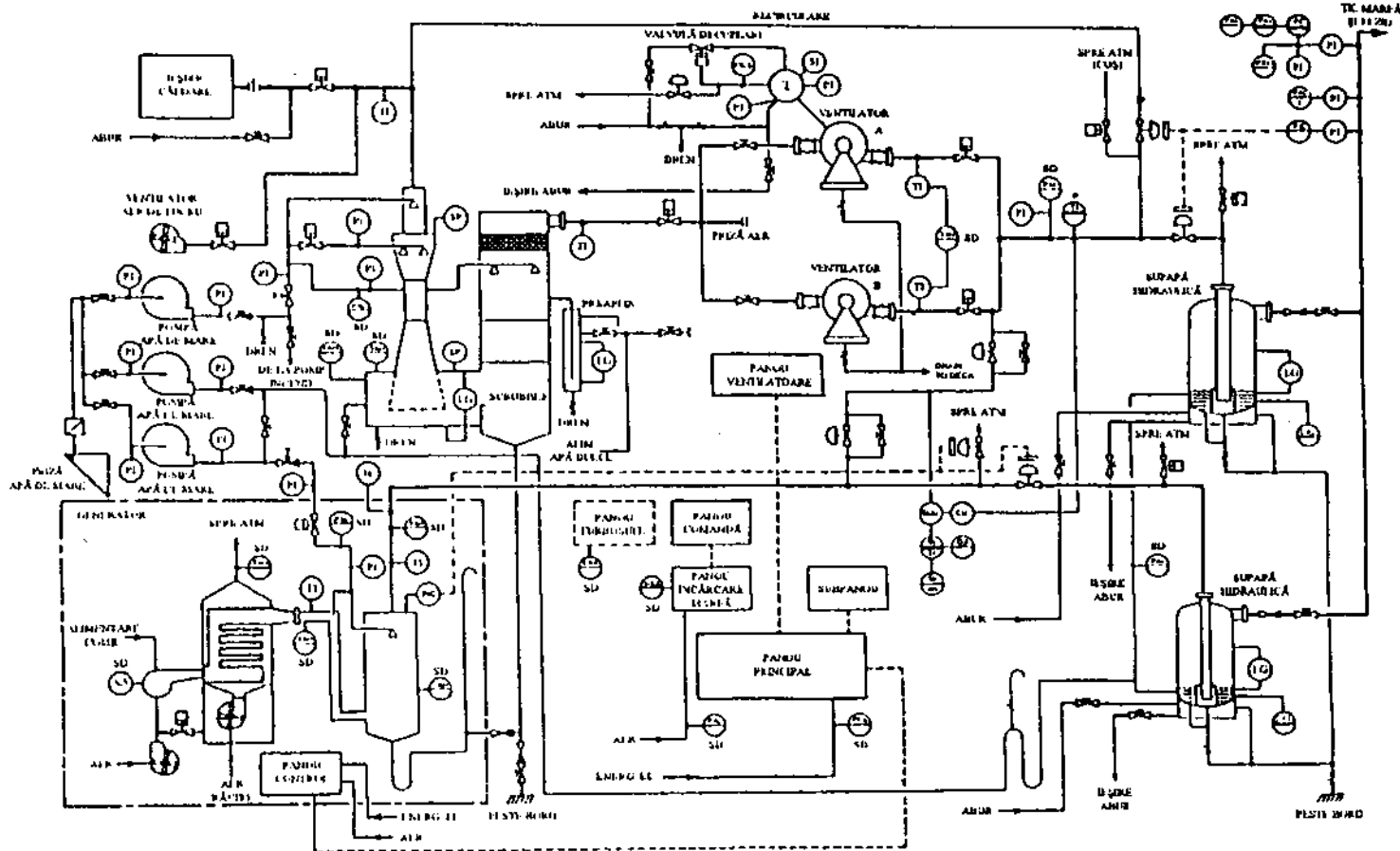


Fig. 11.22. Sistem de gaz inert cu control automat al presiunii ȋta/ului.

Reglarea presiunii în magistrala de gaz inert se **realizează** cu ajutorul valvulelor pentru reglarea **presiunii**, una montată pe magistrala de gaz inert iar cealaltă în circuitul de **recirculare**. Sistemul de reglare **constă** dintr-un **transmițător de presiune**, montat pe magistrala de gaz inert după **valvula** de izolare și înainte de valvulă **unisens**, ce transmite un semnal **proporțional** cu presiunea gazelor. **Alimentarea** cu aer a **transmițătorului** va fi menținută constantă. Cum valvulă de reglare a presiunii este de tip "**normal închis**", semnalul de la **transmițătorul** de presiune este inversat de către un controler de presiune și transmis **poziționarului valvulei**.

Concentrația oxigenului în gazul inert **este determinată** cu ajutorul **analizoarelor** de oxigen. Se impun **următoarele** puncte de prelevare a probelor:

-un punct în conducta de gaz inert situat după ventilatoare și înainte de valvulă pentru reglarea presiunii; în acest aranjament se vor folosi aparate fixe de determinarea **concentrației oxigenului**, aparate indicatoare și aparate înregistratoare pentru urmărirea continuă a concentrației oxigenului în magistrala de gaz inert;

-un punct între valvulă pentru reglarea automată a presiunii și supapa **hidraulică**, pentru folosirea unui aparat portabil.

Aparatele indicatoare și înregistratoare sunt plasate de preferință în camera de control **încărcare-descărcare**, pe puntea **navigației** sau în alt loc care este ușor **accesibil** ofițerului ce urmărește **operațiile de încărcare/descărcare**. Atunci **când** concentrația oxigenului depășește valoarea de **5% vol**, se **declanșează** o alarmă.

Comanda diferitelor funcțiuni ale instalației de gaz inert se face de la pupitrul de comandă din compartimentul mașini. Anumite instrumente, dispozitive de alarmare și comandă sunt dublate și amenajate pe **subpanouri** amplasate în camera de control **încărcare-descărcare** și pe puntea navigației.

Pentru controlul atmosferei în tancuri se prevăd aranjamente speciale **pentru** recoltarea probelor și determinarea concentrației oxigenului și hidrocarburilor cu aparate portabile.

11.4.1. Controlul concentrației gazelor

Corecta măsurare a **concentrației** gazelor depinde de:

-folosirea aparatelor potrivite naturii și concentrației gazelor **analizate**, respectarea întocmai a instrucțiunilor de **calibrare** și folosire a aparatelor puse la dispoziție de firmele producătoare ale acestora;

-obținerea de probe reprezentative prin folosirea unor aranjamente corecte de recoltare a probelor și respectarea procedurilor de recoltare.

Măsurarea concentrației oxigenului și a hidrocarburilor gazoase în atmosfere **inertate** sau **neinertate** se poate **efectua** cu aparate fixe și/sau portabile.

11.4.1.1. Analizoare de oxigen

Principalele tipuri de analizoare de oxigen sunt cele care folosesc: senzori **paramagnetici**, senzori electrolitici și lichide cu absorbție chimică selectivă.

Analizorul cu senzori paramagnetici se bazează pe faptul că oxigenul este puternic paramagnetic pe **când** celelalte gaze nu. Analizorul are o **celulă** de probă în care există un corp ușor, suspendat într-un câmp magnetic. Când gazul de analizat este introdus în **celulă**, în funcție de susceptibilitatea magnetică a **acestuia**, corpul suspendat prezintă o răsucire; un

curent electric ce trece **printr-o** bobină va produce un moment de răsucire egal și de sens opus **compensând** răsucirea corpului suspendat. Curentul **electric** egalizator va fi proporțional cu intensitatea câmpului magnetic și deci cu susceptibilitatea magnetică a probei, **adică** va fi proporțional cu **conținutul** de oxigen.

Analizorul cu senzor electrochimic este construit **dintr-o** celulă electrochimică în care oxigenul **difuzează printr-o** membrană ce separă doi electrozi scufundați într-un electrolit lichid sau sub formă de gel. Viteza de difuzie, proporțională cu **concentrația** oxigenului din **probă**, determină vitezele reacțiilor de **electrod** (măsurate sub forma densității de curent electric) și **diferența** de potențial la bornele celulei.

Analizorul cu lichide absorbante se bazează pe **folosirea** unui lichid ce absoarbe oxigenul dintr-un amestec gazos. În analizor pătrunde un volum de gaz cunoscut, din care se absoarbe oxigenul provocând o variație de volum a lichidului. Această **variație** de volum va fi proporțională cu cantitatea de oxigen absorbită.

Înregistratoarele de oxigen pot măsura continuu concentrația oxigenului în anumite spații și pot declanșa un semnal acustic și o alarmă vizuală în cazul **apariției** unei **concentrații** reduse de oxigen și să avertizeze în caz de atmosferă periculoasă. Aceste instalații folosesc un senzor electrochimic.

11.4.1.2. Indicatoare de hidrocarburi

În **funcție** de **concentrația** oxigenului în atmosfera în care **se** găsesc **hidrocarburi** gazoase se folosesc trei tipuri de indicatoare: indicator cu filament metalic **ce** constituie catalizator de ardere a **hidrocarburilor**, folosite doar la concentrații ale hidrocarburilor sub limita inferioară de **inflamabilitate** (LFL) și care nu pot fi folosite în atmosferă inertă; indicator cu filament metalic **necatalitic**, folosit peste LFL; indicator **ce măsoară** indicele de refracție.

Indicatorul cu filament catalizator de ardere conține un element sensibil format fie **dintr-un** filament dintr-un catalizator metalic, încălzit **electric**, fie **dintr-o** pastilă ceramică cu catalizator de ardere. Atunci **când** amestecul gazos - hidrocarburi și aer - **trece** peste catalizatorul încălzit are loc arderea hidrocarburilor și modificarea temperaturii filamentului. Acest fapt are ca urmare modificarea rezistenței filamentului, modificare proporțională cu concentrația hidrocarburilor în amestecul gazos. Scala indicatorului este gradată în procente din limita inferioară de explozie (0% - 100% LFL și uneori are și o scală fină, 0% - 10% LFL).

Instrumentul are și un circuit **compensator**, format dintr-un filament în contact direct cu aer **curat, pentru** a permite compensarea variațiilor de temperatură.

Indicatorul cu filament încălzit, necatalitic are ca element sensibil tot un filament **încălzit**, dar **care** nu este **catalizator** de ardere și un filament compensator. **Aducerea** la zero a indicatorului se face cu aer sau gaz inert ce nu conține hidrocarburi. La trecerea amestecului cu **hidrocarburi**, acestea din urmă **provoacă** o variație a rezistenței filamentului proporțională cu **concentrația** hidrocarburilor. Deoarece **variațiile** de presiune modifică semnificativ indicațiile este necesar ca proba de gaz să fie adusă la presiune atmosferică.

Indicatorul cu măsurarea indicelui de refracție este un aparat optic bazat pe diferența dintre indicii de refracție al aerului și al probei de gaz. O **rază** incidentă este **divizată** în **două**, una trecând prin camera cu gaz și alta **printr-o** cameră cu aer. Razele se recombina în ocular dând o imagine formată **dintr-o** rețea de **linii închise** la **culoare**. **Aparatul** este inițial **reglat** cu ambele camere umplute cu aer iar imaginea din ocular este **reglată** astfel ca o linie închisă să coincidă cu indicația "O" a aparatului. Când în camera de **probă** se introduce gazul cu hidrocarburi liniile se deplasează proporțional cu modificarea **indicelui de refracție** și deci

cu **concentrația** hidrocarburilor. Se măsoară această deplasare prin noua **poziție** a **liniei** care a fost inițial zero. Scala poate fi gradată în unități de concentrație sau în alte gradații arbitrare, care prin intermediul unui grafic de **calibrare** poate indica această **concentrație**.

Instalațiile fixe pentru detectarea gazelor inflamabile sunt folosite numai în mică măsură la bordul unor tancuri petroliere pentru a înregistra concentrația gazelor inflamabile în unele spații precum dublul fund sau tunelul **conductelor**. Măsurarea concentrațiilor gazelor în diverse puncte ale **atmosferei** se face fie prin plasarea unor senzori în punctele respective, fie prin recoltarea periodică de probe din aceste **puncte** și aducerea lor într-un sistem central de măsurarea **concentrației** gazelor. În ambele situații rezultatele sunt transmise unui sistem central de control.

Materialele din care sunt **confecționate** liniile de recoltare poate influența acuratețea **măsurătorilor**. **Tuburile** metalice sunt de cele mai multe ori **nepotrivite**, de aceea se folosesc tuburi flexibile. Pentru recoltarea gazelor **emanate** de țigări, care sunt în general hidrocarburi **parafinice**, se pot folosi tuburi confecționate din multe materiale ce sunt rezistente la aceste hidrocarburi, dar atunci **când** se transportă alte produse petroliere ce emană hidrocarburi **aromatice**, trebuie să se folosească tuburi pentru care firma producătoare recomandă folosirea lor în aceste cazuri. Tuburile trebuie să fie, **de** asemenea, rezistente la apă, să nu fie fisurate sau blocate. Ele trebuie să aibă o lungime suficientă pentru a se putea recolta probe și din **"spațiile moarte"** aflate de obicei la partea inferioară a tancurilor. Diferența de concentrație dintre diferitele puncte din atmosfera tancurilor depinde de metoda de înlocuire a gazelor folosită și de operația executată, punctele de recoltare fiind alese în funcție de acestea.

Pentru recoltarea probelor în vederea determinării concentrației de hidrocarburi, pentru ca vaporii de apă să nu ajungă la filament, aparatele de măsură sunt dotate cu filtre de bumbac; este necesară montarea unor filtre suplimentare pe linia de recoltare a probei numai în cazul unei umidități excesive, cum ar fi la spălarea **tancurilor**. În acest caz se folosesc granule de **clorură** sau sulfat de calciu **anhidre** care rețin apa dar nu afectează conținutul de hidrocarburi.

Măsurarea concentrației hidrocarburilor în **amestec** cu gaz inert poate fi afectată de prezența **dioxidului** de **carbon**; în acest caz este recomandat să se folosească, pentru reținerea acestuia, calce sodată (un amestec de **hidroxid** de sodiu și oxid de calciu).

Reținerea apei este esențială și în cazul măsurării concentrației **oxigenului**, mai ales cu senzori **paramagnetici**, deoarece prezența vaporilor de apă poate conduce la deteriorarea celulei, de aceea și **analizoarele** de oxigen au pe tubulatura de recoltare a probelor filtre pentru reținerea apei. Filtrele trebuie să fie curățate periodic și **înlocuite** atunci când este **necesar**.

11.5. Pornirea și oprirea instalației de gaz inert

Funcționarea sistemelor de gaz inert se bazează pe aceleași principii de bază, deși **ele** **diferă** din punct de vedere al realizării unor detalii. Procedurile ce trebuie respectate la efectuarea operațiilor de:

-pornire;

-oprire;

precum și măsurile de siguranță ce se iau în **cazul** în care instalația de gaz inert este oprită sunt aceleași pentru toate sistemele de gaz inert și **ele** sunt prezentate în **tabelul nr. 11.3**.

Tabelul 11.3. Proceduri de respectat la **utilizarea** sistemului de gaz inert

Nr. crt.	Situația de lucru	Ordinea executării operațiilor
0	1	2
1.	Pornirea instalației de gaz inert	<ul style="list-style-type: none"> - se verifică concentrația oxigenului în gazele de ardere de la căldare pentru a ne asigura ci nu este mai mare de 5% vol; - se verifică punerea sub sarcină a tuturor sistemelor automate de control, alarmă și întrerupere a operațiilor. - se verifică dacă pompele ce alimentează scrubberul și supapa hidraulică asigură nivelul necesar al apei în acestea; - se testează funcționarea dispozitivelor de alarma și întreruperea sistemului determinate de variația nivelului apei în scrubber și supapa hidraulică peste cel indicat; - se verifică să fie închise valvulele de intrare a aerului proaspăt, acolo unde există și ci flanșele oarbe sunt bine montate; - se întrerupe circulația aerului spre valvula izolatoare pentru gaze de ardere; - se deschide valvula izolatoare pentru gaze de ardere; - se deschide valvula de aspirație pentru ventilatorul ce urmează a funcționa; valvulele de aspirație și cea de refulare ale celuilalt ventilator trebuie să fie închise dacă acesta nu va fi folosit concomitent cu celălalt; - se poartă ventilatorul și se verifică funcționarea alarmei de defecțiune la ventilator. - se deschide valvula de refulare a ventilatorului; - se deschide valvula de recirculare pentru a permite instalației să se stabilizeze; - se deschide valvula reguloare de presiune; - se determină concentrația oxigenului* și dacă aceasta este maxim 5% vol (pentru navele mai vechi 3% vol sau, dacă este posibil, mai puțin) atunci se închid aerisirile spre atmosfera dintre valvula reguloare de presiune și valvula izolatoare de pe punte. <p>Sistemul de gaz inert este pregătit și livreze gaz inert spre tancurile de mărți</p>
2.	Oprirea instalației de gaz inert	<ul style="list-style-type: none"> - se închide valvula izolatoare unisens de pe punte atunci când în tancurile de mărți - concentrația oxigenului este maxim 8% vol și presiunea este cea prevăzută; - se deschid aerisirile dintre valvula reguloare de presiune și valvula izolatoare unisens de pe punte; - se închide valvula reguloare de presiune; - se oprește ventilatorul de gaz inert; - se închid valvulele de aspirație și refulare ale ventilatorului; se curăță ventilatorul adică: se verifică și fie curățată conducta de drenare, se deschide sistemul de spălare cu apă când ventilatorul încă se mai rotește dar cu motorul de antrenare oprit (dacă nu există altă recomandare din partea constructorului); se oprește alimentarea cu apă după perioada necesară spălării; - se închide valvula izolatoare de gaz și se deschide sistemul de clanșare cu aer; - se menține alimentarea cu apă a scrubberului după indicațiile constructorului; - se verifică dacă nivelul apei în supapa hidraulică este cel necesar, dacă pompa ce o alimentează funcționează corespunzător și ca sistemul de alarmare al acestora să funcționeze.
3.	Instalația de gaz inert oprită	<ul style="list-style-type: none"> - se verifică, cel puțin o dată pe zi, în funcție de vreme, nivelul apei în supapa hidraulică de pe punte; - se verifică nivelul apei în buclele de apă instalate în conductele de gaz, circuitele traductoarelor de presiune, pentru a preveni pătrunderea hidrocarburilor gazoase în spațiile sigure; - pe timp rece se verifică funcționarea sistemelor de prevenire a înghețării ale supapei hidraulice, întrerupătorului de presiune-vacuum, etc.; - dacă presiunea în tancurile de mărți scade, înainte de a atinge 100 mm se represurizează.

Atenție: unele analizoare de oxigen au nevoie de mai mult de două ore să se stabilizeze!

Tabelul 1.1 Starea componentelor sistemului degaz inert în diverse

Componenta		Denumirea operației										
Poz.	Denumirea	Inertare								Degazarea		
		Tancuri goale	Încăuire sau balastare	Încărcare și balastare simultană	Tancuri pline	La descărcare	Descărcare și balastare simultană	Spălare tancuri	U balastare	Utilizând ventilatoarele sistemului de gaz incit	Pentru inspecție sau reparații	Utilizând ventilatorul de pe punte
1.1	Valvă gaze ardere 1	D	I	D,I	D,I	I	D	D,I	D,I	I	I	I
1.2	Valvă gaze ardere 2	D	I	I,D	I,D	D	I	I,D	I,D	I	I	I
2	Scrubber	F	NF	F	F	F	F	F	F	NF	NF	NF
3.1	Valvă aspirație 1	D	I	I	I	D	D	I	I	I	I	I
3.2	Valvă aspirație 2	I	I	D	D	I	I	D	D	I	I	I
4.1	Valvă aspirație aer 1	I	I	I	I	I	I	I	I	D	I	I
4.2	Valvă aspirație aer 2	I	I	I	I	I	I	I	I	D	I	I
5.1	Ventilator 1	F	NF	NF	NF	F	F	NF	NF	F	NF	NF
5.2	Ventilator 2	NF	NF	F	F	NF	NF	F	F	F	NF	NF
6.1	Valvă refluxare 1	I)	I	I	I	I	D	I	I	I)	I	I
6.2	Valvă refluxare 2	I	I	I)	D	I	I	D	D	D	I	I
7	Valvă reglare debit	F	I	F	F	F	F	F	F	F	I	I
7a	Controlor de presiune	F*	F**	F	P	F*	F	F***	F*	F	I	Sist. gaz incit NF
8	Supapă hidraulică	(i	IM.	G	G	(I	G	G	(I	O	PL	
8a	Valvă unisens	I)	I	D	I)	O	D	I)	D	I)	I	
9	Valvă izolatoare	D	I	I)	D	D	D	I)	D	D	I	
10	Supapă press/vacuum	IM.	IM.	IM.	IM.	IM.	IM.	PL	PL	IM.	IM.	
U	Valvă press/vacuum	O	O	O	O	O	O	O	O	O	O	Sist. gaz incit NF
12	Valvă by pass	I	D	I	I	I	D	I	I	I	I	
13	Intrare gaz incit	I)	I)	D	I)	D	D	I)	D	I)	I	
14	Capace puț tanc	I	I	I	I	I	I	I	I	I	D	
15	Conducte de purjare	I)	I	I	I	I	I	I	I	D	D	
16	Disp măsurare tanc	Kx	O	O	Kx	O	O	Ex	Kx	Kx	Kx	I

Notă: 1) - deschis; I - închis; F - funcționează; NF - nu funcționează; F* - funcționează fixat la 700 mm col H₂O; F** = semnalul de aer pentru (7) închis; F*** - funcționează fixat la 200 mm col H₂O; H. - plin cu lichid; O - operativ; Ex - extras pe punte

11.6. Folosirea gazului inert la operații efectuate în tancurile de marfa

Sistemul de gaz inert va fi folosit la întreaga gamă de operații cuprinsă în tabelul nr. 11.4. Starea componentelor sistemului (figura nr. 11.23) pe durata acestor operații este cea prezentată în tabel.

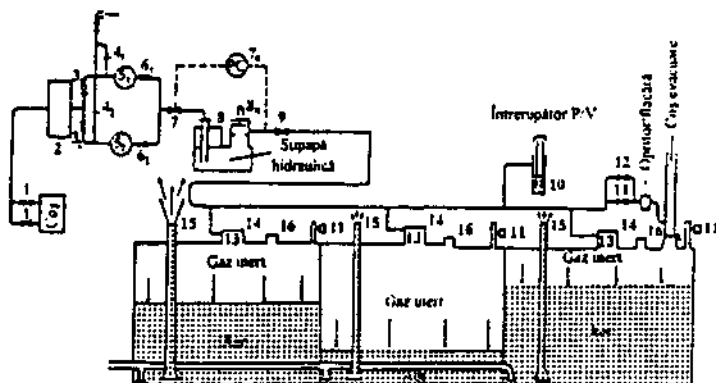


Fig. 11.23. Operarea cu sistemul de gaz inert

Inertarea tancurilor goale este preferabil să se execute în timpul marșului în balast. La **sfârșitul operației** conductele de **purjare/ventilare** vor fi închise și tancurile vor fi **presurizate**, în magistrala de gaz inert **menținându-se** o presiune pozitivă de 100 mm col. apă. Aceeași presiune se va menține și în tancurile **încărcate** cu marfă.

Atunci când trebuie să se efectueze operații de măsurare manuală sau de recoltare a **probelor**, se vor **întrerupe** operațiile de încărcare sau **balastare**, se vor deschide cât mai puține capace și pentru timp cât mai **scurt**, după care **imediat** se vor presuriza din nou tancurile. Măsurarea sau recoltarea probelor se execută: în portul de încărcare - înainte și după **încărcare**, în portul de descărcare - înainte și după **descărcare**.

Intrarea persoanelor în tancuri trebuie să se facă cu respectarea nomelor naționale și/sau a celor **internaționale**, personalul fiind obligatoriu avertizat asupra pericolelor ce le implică această **operație**.

11.7. Întreținerea și verificarea sistemului de gaz inert

Prevenirea, depistarea și repararea oricăror defecțiuni asigură funcționarea în siguranță a **sistemului** de gaz inert. Acestea se pot **reliza** printr-un program **de** întreținere periodică a tuturor componentelor **sistemului**. În tabelul nr. 11.5 se prezintă operațiile de **întreținere** ce trebuie executate și recomandări privind intervalul la care ele se execută.

Tabelul 11.5. Recomandări privind întreținerea sistemului de gaz inert

Componenta	Operații de întreținere	Interval de efectuare
0	1	2
Priza de gaz (valvula de izolare)	Se verifică funcționarea . Curățare cu aer comprimat sau abur. Deschidere pentru inspecție și curățare.	Înainte de pornire și săptămânal . Înainte de punere în funcțiune și la fiecare două luni. În timp ce este oprită încălzirea.
Scrubber	Spălarea scrubberului cu curent de apă dulce . Spălarea conductelor de drenare și a valvulelor cu curent de apă cu ajutorul pompei scrubberului timp de aproximativ o oră. Spălarea separatorului de picături. Demontarea reguletoarelor de nivel și a sesizoarelor de temperatură pentru inspecție . Deschiderea scrubberului pentru inspecție internă; se urmărește aparitia coroziunilor , depunerilor și defecțiunilor pe: pereți și fundul scrubberului, conductele și diuzele de apă , senzorii de nivel și de temperatură , coșurile și suportii filtrelor etc. Demontarea valvulelor pentru inspecția lor și a conductelor de drenare.	După folosire . După folosire. La trei luni . La șase luni . La căcare pe doc* . La urcare pe doc și în perioadele de reparații .
Ventilatoarele	Depistarea vibrațiilor . Verificarea aliniamentului. Spălare cu apă. Inspecție internă prin deschiderea capacelor. Se verifică aparitia semnelor de coroziune , a depunerilor , se examinează sistemul de spălare cu apă și de drenare. Demontare pentru revizia generală a lagărelor și a danșărilor , a rotoarelor.	În timpul funcționării . La șase luni . După oprire . La șase luni și după spălare . La doi ani sau mai des dacă este necesar și la urcare pe doc.
Valvulă reguloare de presiune	Se demontează și se verifică: inelul de danșare , apariția urmelor de coroziune , formarea de depozite ; se curăță și se remediază defecțiunile. Se verifică indicarea corectă a poziției clapetului . Se ung lagărele , se acționează manual valvulă.	La urcare pe doc sau când este posibil. La șase luni . La fiecare voiaj .
Supapa hidrolică	Se deschide pentru inspecție generală; se verifică aparitia coroziunii la punctele de intrare , serpentinele de încălzire , sistemele de drenare a apei; se verifică liniile venturi la supapele de tip semiuscat . Se testează funcționarea sistemului automat de umplere și drenare . Se verifică perzența apei antrenată pe timpul operării . Revizia generală a valvulelor. Demontarea reguletoarelor de nivel și a flotoarelor.	Anual . Anual . La șase luni .
Valvulă unisens	Deschidere pentru inspecție internă urmărindu-se aparitia coroziunilor și starea suprafeței de danșare . Punerea în funcțiune și gresarea , dacă este necesar.	Anual sau cel mult la 18 luni. Săptămânal sau înainte de pornire.
Valvulă de izolare de pe punte	Deschidere pentru revizie generală.	Anual .
Supapa hidrolică de presiune / vacuum	Se verifică nivelul lichidului când sistemul este la presiune atmosferică.	Când situația o permite și la fiecare șase luni .
Valvulele de presiune / vacuum	Se deschid pentru revizie totală și inspecție. Se gresează și se pun în funcțiune .	Anual . La șase luni .

Tabelul 11.5. (continuare)

0	1	2
Sisteme de reglare a presiunii gazului	Se elimină condensul din instrumente , se alimentează cu aer. Se inspectează valvulele reglatoare de presiune.	Înainte de pornire. De câte ori este posibil.
Alte operații de întreținere și testare	Se verifică scăpările de gaze la conducele din sistem mai vechi de patru ani. Se verifică funcționarea sistemelor de alarmă . Se verifică echipamentul fix și portabil de măsurare a concentrației oxigenului și se calibrează corespunzător .	 De câte ori este posibil.

• **Atenție:** În timpul inspecției se vor monta flanșe oarbe pe intrarea gazelor iar interiorul se va ventila continuu.

Bibliografie

- [1]. L. C. S. International Safety Guide for Oil Tankers & Terminals
3-rd Edition, **Witherby Marine Publishing, London, 1990**
- [2]. I. C. S. Tanker Safety Guide (Chemicals)
3-rd Edition Witherby Marine **Publishing, London, 1988**
- [3]. I. M. O. Inert Gas Systems
I. M. O. Publication. London, 1990
- [4]. Em. Bratu Operații și utilaje în industria **chimică**. Vol. 2
Editura **tehnică**, București, 1970
- [5]. Maritime Protection Nitrogen Generation at Sea - at Site
Maritime Protection **A/S, Norway, 1986**
- [6]. Maritime Protection Inert Gas Systems
Maritime Protection **A/S, Norway. 1986**
- [7]. Maritime Protection Inert Gas Systems - **Flexinert**
Maritime Protection **A/S, Norway, 1986**

CODUL TEHNIC PRIVIND EMANAȚIA DE OXIZI DE AZOT DE LA MOTOARELE DIESEL NAVALE

12.1. Introducere

La 26 septembrie 1997, Conferința părților la Convenția internațională din 1973 privind poluarea de către nave, așa cum a fost modificată de Protocolul din 1978 referitor la aceasta (MARPOL 73/78), a adoptat, prin rezoluția MP/CONF.3/ 1997, Codul tehnic privind emanația de oxizi de azot de la motoarele diesel navale. Conform prevederilor din MARPOL 73/78, Anexa VI - Reguli de prevenire a poluării aerului de către nave, cu ulterioara intrare în vigoare a Anexei VI, fiecare motor diesel naval la care se aplică Regula 13 din această anexă trebuie să corespundă prevederilor din acest Cod.

În principiu, elementele premergătoare formării oxizilor de azot în timpul procesului de ardere sunt azotul și oxigenul. Acești compuși formează împreună 99% din amestecul de admisie. Oxigenul va fi consumat în timpul procesului de ardere, surplusul de oxigen disponibil fiind în funcție de raportul dintre cantitatea de aer și cantitatea de combustibil (coeficientul de exces de aer) conform căruia funcționează motorul. În cea mai mare parte azotul nu intră în reacție în cadrul procesului de ardere, totuși, un mic procent va fi oxidat pentru a forma diferiți oxizi de azot. Oxizii de azot (NO_x) care se pot forma includ NO și NO_2 , care sunt în primul rând în funcție de temperatura de ardere, și, dacă este prezentă, cantitatea de azot organic disponibil din combustibil. De asemenea, este și funcție de timpul în care azotul și surplusul de oxigen sunt expuse la temperaturi înalte corespunzătoare procesului de ardere al motorului diesel. Cu alte cuvinte, cu cât temperatura de ardere este mai mare (presiune de ardere ridicată, presiune de comprimare ridicată, cantitatea mare de combustibil injectat), cu atât este mai mare cantitatea de NO_x format. În general, o turație mică a motorului diesel duce la formarea mai multor NO_x decât o turație mare. NO_x are un efect dăunător asupra mediului înconjurător determinând acidularea și contribuie, în general, la apariția efectelor dăunătoare sănătății.

Conform acestui Cod trebuie stabilite procedeele obligatorii pentru încercarea, inspectarea și certificarea motoarelor diesel navale care vor da posibilitatea producătorilor de motoare, armatorilor, Administrațiilor să se asigure că toate motoarele diesel navale corespund valorilor limită corespunzătoare de emanație a NO_x așa cum se arată în Regula 13 a Anexei VI din MARPOL 73/78. Dificultățile în stabilirea precisă a mediei actuale de emanație de NO de la motoarele diesel navale în funcțiune de pe nave au fost recunoscute în formularea unui set simplu și practic de cerințe în care sunt fixate mijloacele de asigurare a domeniului pentru emanațiile de NO admisibile.

Administrațiile sunt încurajate să facă o evaluare a emanațiilor de la motoarele diesel **auxiliare** și de propulsie prin verificări experimentale pe standuri de probe unde se pot efectua încercări **precise** în condiții corespunzător controlate. Stabilirea în acest stadiu inițial a conformității cu Regula 13 a Anexei VI **este** o condiție esențială a prezentului Cod. Încercarea ulterioară la bordul navei este inevitabil limitată în **ceea** ce privește scopul și **precizia**, scopul sau emanația **putând fi** deduse și **confirmându-se** astfel că motoarele sunt instalate, funcționează și sunt întreținute în conformitate cu **specificațiile** producătorului și că orice reglări sau modificări nu se abat de la normele de emanații stabilite de către producător la încercarea inițială și **certificare**.

12.2. Generalități

12.2.1. Scopul

Scopul acestui Cod tehnic privind emanația de oxizi de azot de la motoarele diesel **navale**, denumit în continuare Cod, este de a specifica **cerințele** referitoare la **încercarea**, inspectarea și certificarea motoarelor diesel navale în vederea asigurării **conformității** lor cu limitele de emanație de oxizi de azot **menționate** în Regula 13 din Anexa VI a **MARPOL 73/78**.

12.2.2. Aplicarea

12.2.2.1 Prezentul Cod se aplică tuturor motoarelor diesel cu o putere efectivă de peste 130 kW care sunt instalate **sau** urmează a fi instalate la bordul oricărei nave conform Anexei VI, cu excepția acelor nave menționate în paragraful 1(b) din Regula 13. Cu privire la cerințele de inspectare și certificare a navei, care se aplică navelor cu un tonaj brut **mai** mare sau egal cu 400 t sau a căror putere totală instalată este mai mare de 1500 kW (Regula 5 din Anexa VI), acest Cod include doar acele cerințe aplicabile pentru conformitatea motorului cu limitele de emanație de **NO_x**.

12.2.2.2 În scopul aplicării acestui Cod, Administrațiile au dreptul să **împun** cerințe, cu toate funcțiile cerute unei Administrații prin acest Cod, o organizație autorizată să acționeze în numele Administrației.

12.2.2.3 Conform acestui Cod, un **motor** se consideră că funcționează în conformitate cu limitele **NO_x** din Regula 13 a Anexei VI dacă se poate demonstra că emanația specifică de **NO_x** de la motoarele diesel navale se încadrează în acele limite cerute ale inspecției inițiale de certificare, **inspecțiilor** intermediare și ale altor inspecții asemănătoare

12.2.3. Definiții

12.2.3.1 **Emanațiile de oxid de azot (NO_x)** reprezintă emanația totală de oxizi de **azot**, calculată ca emanație medie totală de **NO_x**, și determinată folosind **ciclurile** de încercare corespunzătoare și metodele de măsurare specificate în acest Cod.

12.2.3.2 **Modificare substanțială** a unui **motor** diesel naval:

1. Pentru motoarele instalate pe nave construite până la sau după 1 ianuarie 2000, **modificare substanțială** înseamnă orice modificare la un motor care poate realmente determina **motorul** să depășească normele de emanație menționate în Regula 13 din Anexa VI. Înlocuirea curentă a componentelor motorului cu piesele specificate în Fișa tehnică care

nu pot **modifica** parametrii de emanație indicați mai sus, nu este considerată "o modificare **substanțială**" indiferent dacă se înlocuiește o parte sau sunt înlocuite mai multe.

2. La motoarele instalate pe nave construite înainte de 1 ianuarie 2000, **modificare substanțială** înseamnă orice modificare **făcută** la un motor în scopul măririi peste limitele admisibile menționate la 12.7.3.11 a caracteristicilor sale reale de emanație, stabilite prin metoda simplificată de măsurare descrisă la 12.7.3. Aceste modificări **inclusiv schimbarea** unor piese dar și reglaje (de ex. **modificarea** arborelui de distribuție, instalației de injecție cu combustibil, instalației de **supraalimentare**, configurației camerei de ardere sau reglarea momentului de injecție în cilindrul motorului).

12.2.3.3 *Componente* sunt acele piese interschimbabile care influențează emanația de NO_x , identificate prin numărul lor din proiect.

12.2.3.4 *Punere la punct* înseamnă ajustarea unui parametru reglabil care influențează emanația de NO_x , a unui motor.

12.2.3.5 *Valori de operare* sunt date ale motorului, cum ar fi presiunea maximă din cilindrul, temperatura gazelor de evacuare **etc.**, înregistrate la funcționarea motorului și care influențează emanația de NO_x . Aceste date sunt dependente de sarcină.

12.2.3.6 *Certificatul EIAPP* este Certificatul internațional al motorului cu privire la prevenirea poluării aerului care se referă la emanațiile de NO_x .

12.2.3.7 *Certificatul IAPP* este Certificatul internațional de prevenire a poluării aerului.

12.2.3.8 *Administrație* înseamnă Guvernul **statului** al cărui pavilion nava este autorizată să-l arboreze.

12.2.3.9 *Un mijloc rapid de verificare* înseamnă cerința pentru o procedură sau echipament ce va fi folosit la verificarea conformității cu oricare din cerințele acestui Cod așa cum se specifică de către producătorul motorului și este aprobat de către Administrație.

12.2.3.10 *Motor diesel naval* înseamnă orice motor cu ardere internă cu piston cu mișcare alternativă care funcționează pe bază de combustibil lichid sau mixt, la care se aplică Regulile 5, 6 și 13 din Anexa VI, inclusiv instalațiile auxiliare motorului (**alimentarea** cu combustibil; ungere **răcire**...).

12.2.3.11 *Puterea nominală* înseamnă **puterea** nominală continuă maximă efectivă așa cum se specifică pe placa de timbru și în Fișa tehnică a motorului diesel naval la care se aplică Regula 13 din Anexa VI și Codul tehnic NO_x .

12.2.3.12 *Turația nominală* înseamnă numărul de rotații pe minut ale arborelui cotit corespunzător puterii nominale, așa cum se specifică pe placa de timbru și în Fișa **tehnică** a motorului diesel naval.

12.2.3.13 *Puterea totală instalată* înseamnă totalul puterii nominale continue maxime, așa cum se specifică pe placa de timbru și în Fișele tehnice ale tuturor motoarelor diesel navale **instalate** la bordul navelor la care se aplica Regula 13 din Anexa VI și Codul tehnic NO_x .

12.2.3.14 *Forța de frânare* este puterea calculată măsurată la **frâna** hidraulică, cu motorul echipat doar cu piesele auxiliare standard necesare pentru funcționarea **sa** pe standul de încercare.

12.2.3.15 *Condiții la bordul navei* înseamnă că un motor:

- este instalat la bordul navei și cuplat la respectivul echipament acționat de motor; și
- funcționează în vederea îndeplinirii scopului pentru care este destinat echipamentul.

12. 3. Inspecții și certificare

12.3.1. Generalități

12.3.1.1 Fiecare motor diesel naval specificat la 12.2.2, cu excepția cazului în care Codul prevede în alt fel, se va supune următoarelor inspecții:

1. Inspecție de **precertificare** care se va efectua astfel încât să se asigure că **motorul, așa cum a fost proiectat și echipat**, corespunde limitelor de emanație de NO_x prevăzute de Regula 13 din Anexa VI. Dacă această inspecție dovedește **conformitatea**, Administrația va elibera un Certificat internațional al motorului cu privire la prevenirea poluării aerului (**EIAPP**).
2. Inspecție inițială de certificare care trebuie efectuată la bordul navei după instalarea motorului, dar înaintea punerii sale în funcțiune. Această inspecție va fi efectuată în scopul asigurării că motorul, așa cum a fost el instalat la bordul navei, inclusiv orice modificare sau reglări efectuate după precertificare, dacă este cazul, corespund limitelor de **emanație** de NO_x prevăzute de Regula 13 din Anexa VI. Această inspecție, ca parte a **inspecției** navei, poate duce fie la eliberarea unui Certificat inițial internațional de prevenire a poluării aerului (**IAPP**), fie la amendarea unui Certificat IAPP valabil care poate impune instalarea unui nou motor.
3. Inspecțiile periodice și intermediare, care vor fi efectuate la nave ca parte a inspecțiilor prevăzute de Regula 5 din Anexa VI, având ca scop asigurarea că **motorul** continuă să corespundă în întregime prevederilor prezentului Cod.
4. Inspecție inițială de certificare a motorului care va fi efectuată la bordul unei nave ori de câte ori se face o modificare substanțială la un motor având ca scop asigurarea că motorul modificat corespunde limitelor de emanație de NO_x , prevăzute de Regula 13 din Anexa VI.

12.3.1.2 Pentru conformitatea cu cerințele de **inspecție** și certificare descrise la 12.2.1.1., există cinci metode alternative incluse în prezentul Cod pe care producătorul, constructorul de nave sau armatorul, după caz, le poate alege în vederea **măsurării**, calculării sau **încercării** unui motor în ceea ce privește emanațiile de NO_x după cum urmează:

1. standul de încercare pentru inspecția de precertificare în conformitate cu **capitolul 12.6**;
2. încercarea la bordul navei pentru un motor care nu a fost **precertificat** în vederea efectuării unei inspecții combinate de precertificare și certificare inițială în conformitate cu toate cerințele standului de încercare din capitolul 12.6;
3. **metoda** de verificare a parametrilor motorului de la bordul navei în vederea dovedirii conformității în cadrul inspecțiilor periodice și intermediare a motoarelor **precertificate** sau a celor care au fost supuse modificărilor și reglărilor în ceea ce privește componentele proiectate și caracteristicile reglabile de la ultima inspecție **efectuată**, în conformitate cu 12.7.2;
4. metoda de măsurare **simplificată** la bordul navei în vederea dovedirii conformității în cadrul inspecțiilor periodice și intermediare sau a confirmării motoarelor precertificate pentru inspecțiile inițiale de certificare, în conformitate cu 12.7.3; sau
5. măsurarea și supravegherea direct la bordul navei în vederea dovedirii conformității doar în cadrul inspecțiilor periodice și intermediare, în conformitate cu 12.3.3.4, 12.3.3.5, 12.3.3.7, 12.3.3.8, **12.3.3.11**, 12.3.4.4 și 12.6.5.

12.3.2. Procedee pentru precertificarea unui motor

12.3.2.1 Înaintea instalării la bordul navei, orice motor diesel naval, cu excepția celor permise la 2.2.2 și 2.2.4, trebuie:

1. să **fie** reglat pentru a respecta limitele **corespunzătoare** de emanație de NO_x .
2. să aibă emanațiile sale de NO_x măsurate pe un stand de încercare în conformitate cu procedurile specificate în capitolul 12.6 al prezentului Cod.
3. să fie **precertificat** de către **Administrație**, așa cum se prevede în documente la eliberarea unui Certificat **EIAPP**.

12.3.2.2 La precertificarea motoarelor fabricate în serie, în funcție de aprobarea Administrației, se poate aplica conceptul de familie de **motoare** sau cel de grup de motoare (vezi capitolul 12.5). În acest caz, încercarea specificată la 12.3.2.1.2 se cere doar pentru **motorul** (motoarele) originale ale unui grup sau familiei de motoare.

12.3.2.3 În ceea ce privește **Administrația**, metoda de obținere a **precertificării** pentru un motor este:

1. certificarea unei încercări a motorului pe un stand de încercare;
2. verificarea că toate motoarele încercate, inclusiv, dacă este cazul, a acelor care urmează să **fie** livrate în cadrul unei familii sau grup de motoare, corespund limitelor NO_x ; și
3. dacă este **aplicabilă**, verificarea că motorul original selectat este (sunt) reprezentative pentru o familie sau un grup de motoare.

12.3.2.4 Există **motoare** care datorită **mărimii** lor, **construcției** și planificării livrării nu pot fi **precertificate** pe un stand de **încercare**. În acest caz, producătorul de motoare, armatorul sau constructorul de nave va face o cerere către Administrație pentru a solicita efectuarea încercării la bordul navei (vezi 12.3.1.2.2). Solicitantul trebuie să demonstreze Administrației că încercarea efectuată la bordul navei respectă în întregime toate cerințele în legătura cu procedura standului de încercare, așa cum se specifică în capitolul 12.6 al prezentului Cod. O astfel de inspecție poate fi acceptată pentru un motor sau un grup de **motoare** reprezentate doar de motorul original, dar nu se **va** accepta pentru o certificare a familiei de **motoare**. În nici un caz nu se permite acordarea de posibile abateri de la **măsurători** dacă o inspecție inițială se efectuează la bordul unei nave fără vreo încercare de precertificare valabilă.

12.3.2.5 Dacă rezultatele unei încercări de precertificare arată că un motor nu respectă limitele de emanație NO_x așa cum se cere în regula 13 a Anexei VI, se poate **instala** un dispozitiv de reducere a NO_x . Acest dispozitiv, în cazul în care este instalat la motor, trebuie recunoscut ca fiind o componentă esențială a motorului și existența sa va fi consemnată în Fișa tehnică a motorului. Pentru primirea unui Certificat EIAPP pentru acest ansamblu, motorul, inclusiv dispozitivul de reducere a NO_x , **asa** cum a fost el **instalat**, trebuie să fie încercat din nou pentru a dovedi conformitatea cu limitele de **emanație** de NO_x . Totuși, în acest caz ansamblul poate fi încercat din nou, în conformitate cu metoda de măsurare simplificată **menționată** la 12.7.3. Dispozitivul de reducere NO_x va fi inclus în Certificatul EIAPP împreună cu toate celelalte consemnări **cerute** de Administrație. Fișa tehnică a motorului va mai conține și mijloacele de verificare pentru dispozitiv în scopul funcționării sale corecte.

12.3.2.6 Pentru o precertificare a motoarelor din cadrul unei familii sau grup de motoare, trebuie eliberat un Certificat EIAPP în conformitate cu procedurile stabilite de **către** Administrație referitor la motoarele originale și la fiecare motor **component** produs conform acestei certificări pentru a însoți motoarele de-a lungul duratei de funcționare pe navă.

12.3.2.7. Dacă un motor este produs în afara țării statului de pavilion al navei pe care va fi **el instalat**, Administrația statului de pavilion poate solicita Administrației țării în care este produs motorul să încerce acest motor și să elibereze certificatul

12.3.2.8 O copie a certificatului (certificatelor) și o copie a raportului de inspecție trebuie transmise cât de curând posibil la Administrația solicitantă.

12.3.2.9 Un certificat astfel eliberat va conține o confirmare a faptului că el a fost eliberat la cererea Administrației.

12.3.2.10 în figura 12.3 a anexei 12.8.2 al prezentului Cod este dată o diagramă a fluxului, în care se arată opțiunile și procesul ce trebuie să corespundă cerințelor unei inspecții de **precertificare** a motoarelor diesel navale destinate instalării la bordul navei.

12.3.2.11 în anexa 12.8.1 al prezentului Cod este dat un model de certificat **EIAPP**.

12.3.3. Procedee pentru certificarea unui motor

12.3.3.1 Pentru acele motoare care nu au fost reglate sau modificate în ceea ce privește specificația originală a producătorului, prevederea unui Certificat EIAPP valabil trebuie să **fie** în măsura de a demonstra conformitatea cu limitele corespunzătoare de NO_x .

12.3.3.2 După instalarea la bordul navei, se va determina în ce măsură un motor a fost supus reglărilor ulterioare sau a modificărilor care puteau afecta emanația de NO_x . Deci, după instalarea la bordul navei, motorul trebuie să **fie** inspectat în ceea ce privește modificările și aprobat folosind mijloacele de verificare cerute în paragraful 4 al regulii 13 din Anexa VI și una din metodele descrise la 12.3.1.2.

12.3.3.3 Există motoare care după precertificare necesită reglarea sau modificarea finală în vederea optimizării **funcționării** lor. În acest caz, conceptul de grup de motoare poate fi utilizat pentru asigurarea că motorul corespunde limitelor cerute.

12.3.3.4 Armatorul trebuie să opteze pentru o măsurătoare directă a emanațiilor de NO_x în timpul funcționării motorului. Astfel de date au la bază verificări curente preluate în mod obișnuit din datele de funcționare ale altui motor și pe întreg domeniul de funcționare a motorului sau pot rezulta dintr-o supraveghere și stocare continuă de date. Datele vor fi de **asemenea**, corectate în ceea ce privește condițiile mediului înconjurător și specificația de combustibil, și echipamentul de măsurare trebuie verificat în vederea **calibrării** și funcționării corecte, în conformitate cu procedurile specificate de producătorul echipamentului de măsurare în Fișa tehnică a motorului. Dacă dispozitivele de evacuare a gazelor tratate suplimentar corespund influenței **emanațiilor** de NO_x , punctul (**punctele**) de măsurare trebuie localizate la baza unor astfel de dispozitive.

12.3.3.5 Pentru a demonstra conformitatea cu metoda de măsurare **directă**, trebuie adunate date suficiente pentru calcularea mediei de emanații de NO_x în conformitate cu prezentul Cod.

12.3.3.6 Fiecare motor diesel naval instalat la bordul unei nave trebuie să aibă o Fișa tehnică. Fișa tehnică trebuie întocmită de către producătorul motorului și aprobată de către Administrație, și se cere ca ea să însoțească motorul pe întreaga durată de funcționare la navă. Fișa tehnică va conține informații, așa cum se specifică la 12.3.4.1.

12.3.3.7 Dacă este instalat un dispozitiv de tratare suplimentară și el trebuie să **conformității** cu regula 13 din Anexa VI este măsurarea directă de NO_x și supravegherea în corespundă limitelor, NO_x , una din opțiunile prevăzute pentru mijloacele de verificare a conformitate cu 12.3.3.4. Totuși, în funcție de posibilitățile tehnice ale dispozitivului **utilizat**, conform aprobării Administrației, pot fi supravegheați alți parametri relevanți.

12.3.3.8 Dacă în scopul realizării conformității cu NO_x , se introduce o **substanță**, cum ar fi: **amoniacul**, **ureea**, aburul, **apa**, aditivi de combustibil, **etc.**, trebuie prevăzut un mijloc pentru controlul consumului unei astfel de substanțe. Fișa tehnică **trebuie** să conțină suficiente informații asupra mijloacelor care demonstrează că **consumul** de astfel de substanțe suplimentare este consistent în ceea ce privește conformitatea cu limita corespunzătoare de NO_x .

12.3.3.9 Dacă se face vreo reglare sau modificare la vreun motor după **precertificarea sa**, în registrul de evidență a motorului trebuie efectuată o consemnare completă a modificărilor și a parametrilor motorului.

12.3.3.10 Dacă toate motoarele instalate la bordul navei sunt **verificate** în vederea menținerii în cadrul **parametrilor**, componentelor și caracteristicilor reglabile consemnate în Fișa tehnici **motoarele** trebuie acceptate în sensul respectării limitelor de NO_x , specificate în regula 13 din Anexa VI. în acest **caz** și referitor la prezentul Cod, trebuie eliberat navei un Certificat **IAPP**.

12.3.3.11 Dacă se face vreo reglare sau modificare în afara limitelor aprobate, **consemnată** cu acte doveditoare în Fișa **tehnică**, Certificatul IAPP poate fi eliberat doar dacă s-a verificat în **totalitate** că emanația de NO_x se încadrează în limitele cerute. Această verificare se realizează prin supravegherea directă la bordul navei a NO_x , **asa** cum s-a aprobat de către Administrație; măsurarea **simplificată** de NO_x la bordul navei; sau încercarea pe standul de încercări pentru aprobarea grupului respectiv de motoare care demonstrează că reglările sau modificările nu **depășesc** limitele de emanații de NO_x .

12.3.3.12 Administrația poate, la latitudinea sa, să prescurteze sau să reducă toate părțile din inspecția la bordul **navei**, în conformitate cu **prezentul** Cod, la un motor căruia i-a fost eliberat un Certificat **EIAPP**. Totuși, întreaga **inspecție** la bordul navei trebuie efectuată la cel puțin un cilindru și / sau un motor dintr-o familie sau un grup de motoare, sau la părțile componente, **dacă** este cazul, și prescurtările se pot face doar dacă toți ceilalți cilindrii sau motoare sau părți componente urmează să se inspecteze în același mod în care s-au inspectat motorul sau cilindrul sau piesele componente.

12.3.3.13 În **fig. 12.4 și 12.5** sunt prezentate fluxurile care arată opțiunile și procesele corespunzătoare cerințelor unei inspecții inițiale, periodice și intermediare de certificare a motoarelor diesel navale instalate la bordul navelor.

12.3.4. Fișa tehnică și mijloacele de verificare

12.3.4.1 Pentru a împuternici o **Administrație** sau o organizație autorizată să acționeze în numele Administrației să efectueze inspecții ale motorului conform descrierii din **12.3.1**, Fișa tehnică cerută de **12.3.3.6** va conține cel puțin următoarele informații:

1. identificarea acelor componente, montaje și valori ale parametrilor funcționali ai motorului care au influență asupra produselor de ardere;
2. identificarea întregului domeniu de reglaje admisibile sau alternative pentru componentele motorului;
3. consemnarea randamentului respectiv al motorului, inclusiv turația și puterea efectivă nominală a **motorului**;
4. **sistemul** de mijloace de verificare în scopul verificării conformității cu limitele de emanații de NO_x pe durata efectuării inspecțiilor de verificare la bordul navei conform capitolului 12.7;
5. o copie a raportului de încercare cerut conform **12.6.10**;
6. dacă este cazul, denumirea și restricțiile unui motor care face parte dintr-un grup sau familie de **motoare**;
7. Fișa tehnică va identifica și acele părți / componente **care** trebuie să respecte specificația curentă a producătorului motorului dată de către producător sau producătorul de motoare care are licența de producție, pentru asigurarea conformității.

12.3.4.2 Pentru a se asigura că motoarele se află într-o **stare** corespunzătoare după instalarea lor la bordul navei, fiecare motor necertificat va fi verificat în vederea stabilirii conformității cu regula **13** din Anexa VI prin metoda de încercare la bordul navei descrisă în

secțiunea 12.3.1.2.2 și cu mijloacele de verificare care vor fi specificate de către producător și aprobate de către Administrație în conformitate cu prezentul Cod, cu excepția cazului când reprezentantul armatorului nu dorește verificarea cu mijloacele de verificare specificate. Cel puțin o inspecție va avea loc înaintea eliberării Certificatului LAPP.

12.3.4.3 în general, mijloacele de verificare trebuie să dea posibilitatea inspectorului să determine **usor** dacă motorul a rămas în conformitate cu regula 13 din Anexa VI. în același timp, acest lucru nu trebuie să devină atât de presant încât să se întârzie exagerat nava sau să se ceară date amănunțite privind caracteristicile **unui** anumit motor sau dispozitive speciale de măsurare care nu sunt disponibile la bordul navei.

12.3.4.4 Mijloacele de verificare trebuie determinate în funcție de utilizarea uneia din următoarele metode:

1. verificarea parametrilor motorului în conformitate cu 12.7.2 în scopul verificării că montajele, componentele **motorului** și valorile sale de **funcționare** nu au deviat de la specificațiile din Fișa tehnică a motorului;
2. metoda **simplificată** de măsurare în conformitate cu 12.7.3 în scopul verificării că montajele, componentele **motorului** și valorile sale de funcționare nu au deviat de la specificațiile din Fișa tehnică a motorului: sau
3. metoda de măsurare și supraveghere directă în conformitate cu 12.3.3.4, 12.3.3.5, 12.3.3.7, 12.3.3.8, 12.3.3.11 și 12.6.5.

12.3.4.5 Dacă un dispozitiv de supraveghere și înregistrare a **NO_x** este menționat ca mijloc de verificare, atunci un astfel de dispozitiv trebuie aprobat de către Administrație pe baza liniilor directe elaborate de Organizație. Aceste linii directe trebuie să **incluadă**, dar nu să se limiteze la **următoarele** puncte:

1. o definiție a supravegherii continue de **NO_x**, **ținând** seama de arabele stadii de **funcționare** ale motorului: cel constant și cel de **tranziție**;
2. **înregistrarea**, prelucrarea și reținerea datelor;
3. o specificație pentru echipamentul în care se prevede că fiabilitatea sa se menține pe durata exploatării;
4. o **specificație** pentru încercarea dispozitivului în condițiile mediului ambiant de la bordul navei (atmosfera **marină**, zgomotul vibrații);
5. o specificație pentru încercarea echipamentului în scopul **demonstrării** că are o precizie, repetabilitate și **sensitivitate** comparabilă cu secțiunile corespunzătoare din prezentul Cod;
6. **modelul** certificatului de aprobare va fi eliberat de către Administrație.

12.3.4.6 Dacă se consideră că mijloacele de verificare trebuie să fie incluse în Fișa tehnică a motorului în vederea verificării conformității unui motor cu limitele de emanații de **NO_x**, pe durata oricărei inspecției de verificare cerută la bordul navei, producătorul de motoare sau armatorul poate alege pe oricare din cele trei metode pentru mijloacele de verificare specificate în 12.7.1.

12.4. Norme privind emanația de NO_x

12.4.1. Limite maxime admisibile pentru emanațiile de NO_x de la motoarele navale

12.4.1.1 Graficul din figura 12.1 reprezintă valorile limitelor maxime admisibile pentru motoarele diesel navale bazate pe formulele incluse în paragraful 3(a) din regula 13 a Anexei VI. Emanațiile totale de NO_x , așa cum sunt măsurate și calculate în conformitate cu

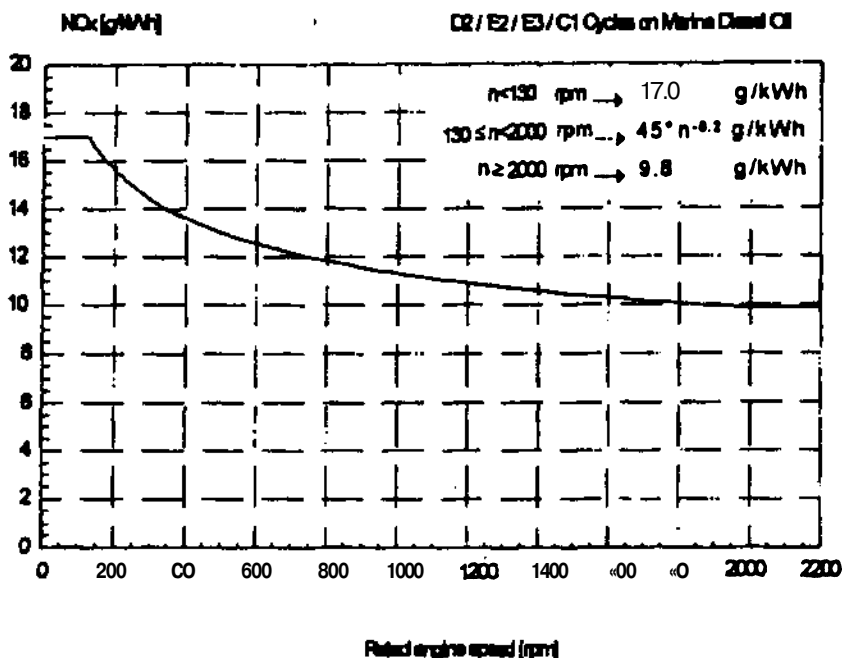


Fig.12.1. Graficul emanațiilor de NO_x admisibile

procedurile din prezentul Cod, trebuie să fie egale cu sau mai mici decât valorile respective din graficul corespunzător turației nominale a motorului.

12.4.1.2 Dacă motorul funcționează cu combustibil diesel marin în conformitate cu 12.6.3, emanația totală de NO_x (calculată ca emanații totale de NO_x) trebuie determinată utilizând ciclurile de încercare corespunzătoare și metodele de măsurare specificate în prezentul Cod.

12.4.1.3 Valoarea limitei emanațiilor de ardere corespunzătoare motorului conform fig.12.1 și valoarea reală calculată a emanațiilor de ardere trebuie menționată în Certificatul EIAPP.

12.4.2. Ciclurile de încercare și factorii de presiune ce trebuie aplicați

12.4.2.1 Separat pentru fiecare motor sau motor-bază al unui grup sau familii de motoare, trebuie să se aplice unul din ciclurile de încercare specificate la 12.4.2.2, a și b.

12.4.2.6 pentru verificarea **conformității** cu limitele emansiunilor de NO_x prevăzute în regula 13 din Anexa VI.

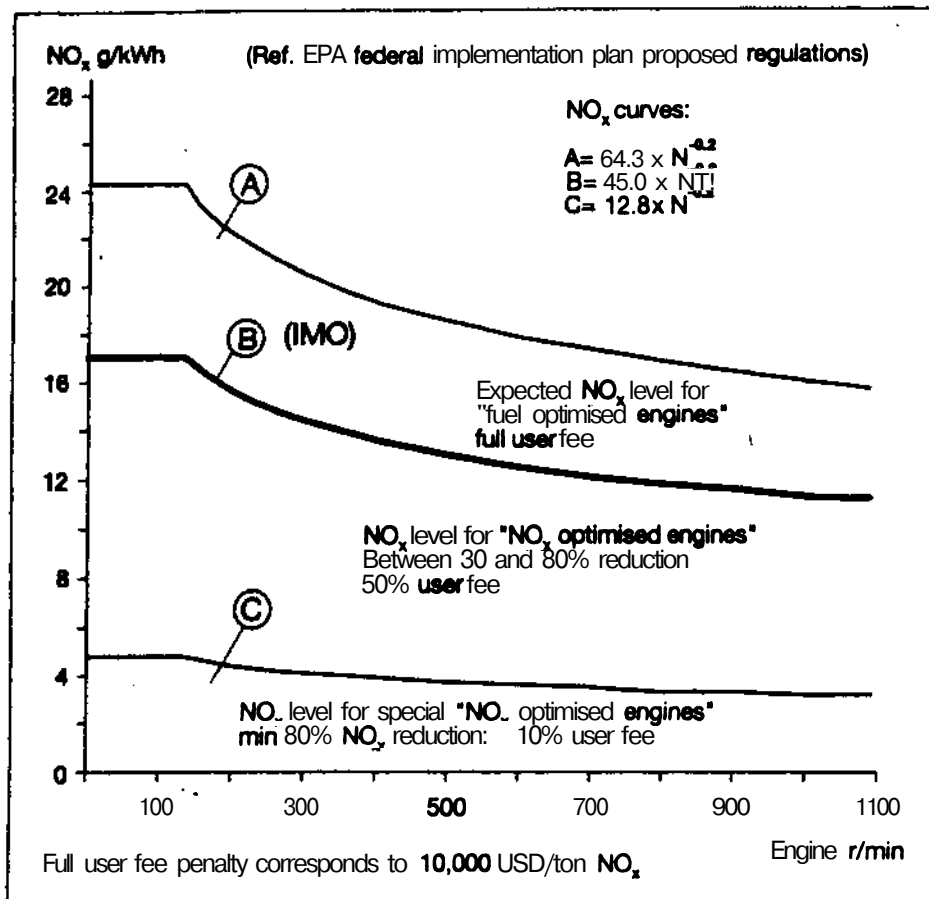


Fig. 12.2. Limitele emisiilor propuse de LVIO și de California EPA.

12.4.2.2 Pentru motoarele navale cu turație **constantă**, pentru propulsia principală a navei, inclusiv acționarea diesel **electrică**, ciclul de încercare E2 trebuie aplicat în conformitate cu tabelul 12.1.

12.4.2.3 Pentru instalațiile elicei cu pas reglabil, ciclul de încercare E2 trebuie aplicat în conformitate cu tabelul 12.1.

Tabelul 12.1 Ciclul de **încercare** la **motorul** principal cu propulsie cu turație constantă (inclusiv instalația de acționare diesel electrică și **cea** a elicei cu pas variabil)

Tip de ciclu de încercare E2	Turație	100%	100%	100%	100%
	Putere	100%	75%	50%	25%
	Factor de încărcare	(U	0.5	0.15	0.15

12.4.2.4 Pentru motorul principal și cel auxiliar ce funcționează după legea de funcționare a elicei, ciclul de încercare E3 trebuie aplicat în conformitate cu tabelul 12.2

Tabelul 12.2 Ciclul de încercare al "Motorului principal și a celui auxiliar după legea de funcționare a elicei"

Tip de ciclu de încercare E3	Turație	100%	100%	100%	100%
	Putere	100%	75%	50%	25%
	Factor de încărcare	0,2	0,5	0,15	0,15

12.4.2.5 Pentru motoarele auxiliare cu turație constantă, ciclul de încercare D2 se aplică în conformitate cu tabelul 12.3

Tabelul 12.3 Ciclul de încercare pentru motorul auxiliar cu **turație** constantă

Tip de ciclu de încercare E3	Turație	100%	100%	100%	100%
	Putere	100%	75%	25%	10%
	Factor de încărcare	0,05	0,25	0,3	0,1

12.4.2.6 Referitor la turația variabilă a motoarelor auxiliare cu sarcină variabilă, care nu sunt incluse mai sus, ciclul de încercare C1 trebuie aplicat în conformitate cu tabelul 12.4.

Tabelul 12.4 Ciclul de încercare pentru motorul **auxiliar** cu turație **constantă**

Tip de ciclu de încercare C1	Turație	Nominală				Intermediară			de mers în gol
	Momentul de torsiune	100%	75%	50%	10%	10%	75%	50%	10%
	Factor de încărcare	0,15	0,15	0,15	0,1	0,1	0,1	0,1	0,15

12.4.2.7 Cifrele date pentru momentul de torsiune din ciclul de încercare C1, sunt valori procentuale care pentru modul de încercare dat reprezintă media momentului de torsiune cerut față de momentul de torsiune maxim posibil la această turație dată.

12.4.2.8. Turația intermediară pentru ciclul de încercare C1, trebuie declarată de producător, având în vedere următoarele cerințe:

1. Pentru motoarele care sunt destinate să funcționeze peste domeniul de **turație** de pe curba de încărcare **maximă**, turația intermediară trebuie să fie turația momentului de torsiune maximă **declarată**, dacă aceasta se află între 60% și 70% din turația nominală.
2. Dacă turația momentului de torsiune maximă declarată este mai mică de 60% din turația **nominală**, atunci turația intermediară va fi 60% din turația nominală.
3. Dacă turația momentului de torsiune **maximă** declarată este mai mare de 75% din turația **nominală**, atunci turația **intermediară** va fi 75% din turația nominală.
4. Pentru motoarele care nu sunt destinate să funcționeze peste un **anumit** domeniu de turație de pe curba de încărcare maximă în condiții constante, turația intermediară se va situa în mod **obișnuit** între 60% și 70% din turația **maximă** nominală.

12.4.2.9 Dacă un producător de motoare utilizează o nouă aplicație a ciclului de **încercare** pe un motor deja certificat conform unuia din ciclurile de încercare specificate la 12.4.2.2 până la 12.4.2.6, nu este necesar pentru noua aplicație ca acel motor să fie supus unui proces complet de **certificare**. În acest **caz**, producătorul motorului poate demonstra conformitatea prin recalculare, prin aplicarea rezultatelor măsurătorii de la anumite moduri ale primei încercări de certificare față de calculul emanațiilor maxime de **încărcare** în vederea aplicării noului ciclu de încercare, folosind factorii de încărcare de la noul ciclu de încercare.

12.5. Aprobarea privind fabricarea în serie a motoarelor; conceptele de familie și grup de motoare

12.5.1. Generalități

12.5.1.1 Pentru evitarea încercării de certificare a fiecărui motor referitor la conformitatea cu limitele de emanație **NO_x**, se pot adopta unu sau două **concepte** de aprobare, și anume conceptele de familie sau grup de motoare.

12.5.1.2 Conceptul de familie de motoare se poate aplica la orice serie de motoare care, prin construcția lor au caracteristici similare în ceea ce privește emanația gazelor arse de evacuare, sunt utilizate ca produse, pe durata instalării la bordul navei, nu necesită reglări sau modificări ce pot afecta în sens nefavorabil emanațiile de **NO_x**.

12.5.1.3 Conceptul de grup de **motoare** poate fi aplicat la o serie mai mică de motoare fabricate pentru aplicații similare de motoare și care necesită reglări și modificări pe durata instalării sau exploatării la bordul navei. Aceste motoare sunt, în mod normal, motoare de mare putere pentru propulsia principală.

12.5.1.4 în primul rând, producătorul de motoare poate, la latitudinea **sa**, să determine dacă motoarele ar putea fi incluse în conceptul de familie sau grup de **motoare**. în general, tipul de aplicație trebuie stabilit în baza modificărilor ce se vor efectua la motoare și a volumului acestor modificări, după încercarea pe un stand de încercare.

12.5.2. Documentație

12.5.2.1 Toată documentația pentru certificare trebuie să fie completată și în mod corespunzător, ștampilată de o autoritate de certificare care este recunoscută de către Administrație. Această documentație **trebuie** să **includă**, de **asemenea**, toți termenii și condițiile, inclusiv înlocuirea pieselor componente, pentru asigurarea că motoarele sunt într-o stare corespunzătoare standardelor de emanație cerute.

12.5.2.2 Pentru un motor din cadrul unui grup de motoare, documentația necesară cerută pentru metoda de verificarea a parametrului motorului este specificată la 12.7.2.3.6.

12.5.3. Aplicația privind conceptul de familie de motoare

12.5.3.1 Conceptul de familie de motoare dă posibilitatea reducerii numărului de motoare care trebuie **prezentat** la încercarea de aprobare prezentând garanții că toate motoarele din cadrul familiei corespund cu cerințele de **aprobare**. În conceptul de familie de

motoare, motoarele cu proiectare și caracteristici similare de emanație sunt reprezentate de un **motor-variantă** de bază din cadrul familiei.

12.5.3.2 Motoarele care sunt produse în serie și nu se intenționează a fi modificate se pot include în cadrul conceptului de familie de motoare.

12.5.3.3 Alegerea procedurii pentru **motorul-variantă** de bază este de așa natură încât motorul ales să includă acele caracteristici care pot afecta cel mai mult, în sensul nefavorabil, nivelul de emanații de NO_x . În general, acest motor trebuie să aibă cel mai mare nivel de emanații dintre toate motoarele din familie.

12.5.3.4 Pe baza **încercărilor** și deciziilor **experților**, producătorul va propune care motoare să aparțină unei familii de motoare, care motoare produc cele mai mari emanații de NO_x și, care motor (**motoare**) trebuie alese pentru încercarea de **certificare**.

12.5.3.5 În vederea **certificării**, Administrația trebuie să revizuiască alegerea **motorului-variantă** de bază din cadrul familiei și să aibă o opțiune de alegere a unui alt motor, fie pentru aprobare, fie pentru încercarea privind conformitatea de fabricație, pentru a avea încredere în faptul că întreaga familie de motoare corespunde limitelor de emanație de NO_x .

12.5.3.6 Conceptul de familie de motoare permite reglări minore la motoare prin caracteristicile lor de reglare. Motoarele navale care au caracteristici de reglare trebuie să corespundă tuturor cerințelor pentru orice reglare din cadrul domeniului fizic disponibil. O caracteristică **nu** se consideră că este de reglare dacă este în continuu confirmată sau dacă nu este accesibilă în mod obișnuit. Administrația poate cere ca parametrii (caracteristicile) de reglare să fie menționați în orice specificație din cadrul domeniului său de reglare pentru certificare sau încercare în vederea determinării conformității cu cerințele.

12.5.3.7 Înaintea unei aprobări de familie de **motoare**, Administrația trebuie să ia măsurile necesare **pentru** a verifica dacă au fost luate măsurile corespunzătoare pentru asigurarea controlului efectiv al conformității cu fabricația.

12.5.4. Linii directoare pentru alegerea familiei de motoare

12.5.4.1. Familia de motoare se va defini prin caracteristicile de bază care trebuie să fie comune pentru toate motoarele din cadrul **familiei**. În unele cazuri poate exista o interferență de parametrii; aceste efecte trebuie avute în vedere pentru a se asigura că doar motoarele cu caracteristici similare în ceea ce privește emanațiile de gaze arse de evacuare sunt incluse în cadrul unei familii de motoare, de exemplu, numărul de cilindrii poate deveni un parametru relevant pentru unele motoare datorită aspirației sau instalației de combustibil folosite, iar pentru cele cu altă construcție, caracteristicile referitoare la emanațiile de gaze arse de evacuare pot fi independente față de numărul de cilindrii sau configurație.

12.5.4.2. Producătorul de motoare răspunde de alegerea dintre diferitele modele de motoare a acelor care urmează a fi incluse într-o familie. Următoarele caracteristici de **bază**, dar nu specificațiile, trebuie să fie comune tuturor motoarelor din cadrul unei familii de motoare:

1. ciclul de ardere
 - în 2 timpi
 - în 4 timpi
2. mediul de răcire
 - aerul
 - apa
 - uleiul
3. cilindree
4. numărul de cilindrii și configurația lor

- se **aplică** doar în unele cazuri, de exemplu în combinație cu galeriile de **admisie** și evaluare a gazelor.
- 5. metoda de aspirație a aerului
 - aspirație naturală
 - **supraalimentate**
- 6. tipul de combustibil
 - combustibil diesel marin / combustibil marin greu
 - **combustibil** mixt
- 7. **camera** de ardere
 - cameră directă
 - cameră separată
- 8. supape și ferestre, configurație, mărime și număr
 - **chiulasa**
 - cămașa cilindrului
- 9. tipul instalației de combustibil
 - **pompă** de injecție pentru fiecare injector
 - în linie
 - cu distribuitor
 - cu un singur element
 - ansamblul **injectorului**
 - supapa de gaz (pentru motoare cu **combustibil** mixt)
- 10. caracteristici diverse
 - **recircularea** gazelor de evacuare
 - pompare de apă / emulsie
 - pompare de aer
 - **instalație** de răcire a **turbosufletei**
 - tratare după evacuarea din motor:
 - catalizator de reducere
 - catalizator de **oxidare**
 - reactiv termic
 - trapă de particule

12.5.4.3 Dacă există **motoare** care includ alte caracteristici ce se pot considera că afectează emanațiile de NO_x de ardere, aceste caracteristici trebuie identificate și luate în considerare la alegerea motoarelor ce urmează să fie incluse în familie.

12.5.5. Linii **directoare** pentru alegerea motorului varianta de bază dintr-o **familie** de motoare

12.5.5.1. Metoda de **alegere** a **motorului-variantă** de bază pentru măsurarea NO_x va fi convenită și aprobată de către Administrație. Metoda se va baza pe alegerea unui motor care include particularități de construcție ale motorului și caracteristicile care, din practică, se cunosc că produc cele mai mari emanații de NO_x exprimate în grame per kilowatt oră (**g/kWh**). Aceasta necesită cunoștințe detaliate asupra motoarelor din cadrul unei familii. În **condiții speciale**. Administrația poate trage concluzia că cel mai rău caz privind media de **emanație** a unei familii poate fi cel mai bine caracterizat prin încercarea unui al doilea motor. Deci, Administrația poate alege un motor suplimentar pentru încercare **bazându-se** pe particularitățile de construcție care arată că acesta poate avea nivelele **cele** mai mari de **emanații** de NO_x din **cadrul** acelei familii. Dacă motoarele din cadrul unei familii includ alte

particularități de construcție variabile care se consideră că pot influența emanațiile de NO_x , acestor **particularități** trebuie, **de asemenea**, identificate și luate în considerare la **alegerea** motorului - variantă de bază.

12.5.5.2 Următoarele criterii de alegere a motorului - **variantă de bază** pentru controlul emanației de NO_x trebuie luate în considerare, iar procesul de alegere trebuie să țină seama de combinația caracteristicilor motorului din **specificație**:

1. criteriul de alegere principal
 - cantitatea maximă de combustibil **injecată** pe ciclu
2. criteriul de alegere suplimentar
 - presiunea medie efectivă
 - presiunea **maximă** din cilindru
 - **raportul maxim** între presiunea aerului și presiunea de aprindere
 - dp/dn , înclinarea curbei de creștere a presiunii
 - presiunea **superioară** a aerului de **supraalimentare**
 - temperatura superioară a aerului de supraalimentare

12.5.5.3 Dacă motoarele din cadrul familiei includ alte particularități variabile de construcție care pot afecta emanațiile de NO_x , aceste particularități trebuie și ele identificate și luate în considerare la alegerea motorului - variantă de bază.

12.5.6. Certificarea familiei de motoare

12.5.6.1 Certificarea va include o listă, care urmează să fie pregătită și **păstrată** de către **producătorul** motorului și aprobată de către Administrație, cu toate motoarele și specificațiile lor acceptate în cadrul aceleiași familii de motoare, limitele condițiilor lor de operare și detalii și limite ale reglărilor permise la motor.

12.5.6.2 Un **precertificat** sau un Certificat EIAPP, trebuie eliberat pentru un motor care face parte dintr-o familie în conformitate cu prezentul Cod care certifică că motorul - variantă de bază respectă nivelele de NO_x specificate în Regula 13 din Anexa VI.

12.5.6.3 Dacă un motor-variantă de bază al unei familii de motoare este **încercat/măsurat** în condițiile cele mai nefavorabile specificate în prezentul Cod și se confirmă că respectă limitele de emanații maxime admisibile rezultatele încercării și măsurătorii NO_x trebuie menționate în Certificatul EIAPP eliberat pentru motorul-varianta de bază în particular și pentru toate motoarele care fac parte din aceeași familie de motoare.

12.5.6.4 Dacă, două sau mai multe Administrații sunt de acord să **accepte** alte Certificate EIAPP, atunci o familie întreagă de motoare, certificată de una din aceste Administrații, trebuie acceptată de către cealaltă Administrație participantă la acea convenție **alături de** Administrația respectivă care efectuează **certificarea**. Certificatele eliberate conform acestor convenții trebuie **acceptate** ca dovezi incontestabile că toate motoarele incluse în certificare care fac parte din familia de motoare corespund cerințelor de emanații specifice de NO_x . Nu este necesară o dovadă ulterioară a conformității cu Regula 13 din **Anexa VI** dacă se verifică că motorul instalat nu a fost modificat și reglările motorului sunt în domeniul permis în cadrul certificării familiei de motoare.

12.5.6.5 Dacă motorul-variantă de bază al unei familii de motoare trebuie certificat în conformitate cu un standard la alegere sau un ciclu de încercare diferit decât cel permis de prezentul Cod, producătorul trebuie să dovedească Administrației că media de emanații de NO_x pentru respectivele cicluri de încercare se încadrează la valori de limită, relevante conform regulii 13 din Anexa VI și prezentul Cod înainte ca Administrația să poată elibera un Certificat EIAPP.

12.5.6.6 Înaintea acordării unui grup de motoare a aprobării pentru producerea noilor motoare în **serie**, Administrația va lua măsurile necesare pentru verificarea planurilor

corespunzătoare făcute în scopul asigurării controlului efectiv al **conformității** cu producția. Această **cerință** poate să nu fie necesară pentru grupurile stabilite pentru **modificări** la motor la bordul navei ci **după** ce a fost eliberat un Certificat **EIAPP**

12.5.7. Aplicarea conceptului de grup de motoare

12.5.7.1 Aceste motoare sunt utilizate în primul **rând** ca motoare principale de propulsie. Ele necesita în mod normal o reglare sau modificare pentru a corespunde condițiilor de funcționare la bordul navei, dar rezultatul lor să nu fie acela al depășirii limitelor de emanații de NO_x din prezentul Cod.

12.5.7.2 Conceptul de grup de motoare prevede, de asemenea, posibilitatea de reducere în cadrul încercării pentru aprobare a modificărilor la motoarele din producție sau din exploatare.

12.5.7.3 În general, conceptul de grup de motoare poate fi aplicat la orice tip de motor care are aceleași particularități de construcție cum se specifică la 12.5.4.5 și se permite reglarea sau modificarea individuală a motorului după efectuarea **măsurătorii** pe stand. Gama de motoare din cadrul unui grup de motoare și alegerea **motorului-variantă** de bază trebuie convenită și aprobată de către Administrație.

12.5.7.4 Aplicația conceptului de grup de motoare, dacă se cere de către producătorul de motoare sau altă parte, trebuie avută în vedere de către Administrație la aprobarea de certificare. Dacă posesorul de motor, cu sau fără suport tehnic de la producătorul de motoare, decide să efectueze **modificări** la un număr de motoare similare din flota **armatorului**, **acesta** poate aplica **certificarea** la un grup de motoare. Grupul de motoare poate include o încercare a motorului pe standul de încercare. Aplicații tipice sunt modificările similare ale motoarelor similare în **exploatare** sau motoarele similare în condiții similare de funcționare.

12.5.8 Linii directoare pentru alegerea unui grup de motoare

12.5.8.1 Grupul de motoare poate fi definit prin caracteristicile de baza și specificațiile suplimentare față de parametrii definiți la 12.5.3.8 pentru o familie de motoare.

12.5.3.2 Următorii parametrii și specificații trebuie să fie comune motoarelor din cadrul unui grup de motoare:

1. dimensiunile cursei și **diametrului**,
2. metoda și caracteristicile de construcție referitoare la presiunea de **supraalimentare** și instalația gazelor arse de evacuare;
 - presiunea constantă
 - c u sistempulsatoriu
3. metoda de supraalimentare și» instalația de răcire a aerului
 - **cu/fără răcitor** de aer
4. particularități de construcție **ale camerei** de ardere care **afectuează** emanația de NO_x ,
5. particularități de construcție ale instalației de injecție **cu combustibil**, al pistonului și camei de injecție care pot influența caracteristicile de baza ale emanației de NO_x și
6. puterea nominală maximă per cilindru la **turația nominală maximă**. Domeniul permis de abatere de la această **medie** în **cadrul unui grup de motoare** trebuie declarată de către producător și aprobată de către Administrație.

12.5.8.3 În general, dacă parametrii ceruți la 12.5.4.5.2 nu sunt comuni tuturor motoarelor din cadrul unui grup de motoare experimentat, **aceste** motoare nu pot fi considerate ca grup de motoare. Totuși, un grup de motoare poate fi acceptat dacă numai unul din acești parametrii sau specificații nu este comun pentru toate motoarele din cadrul

grupului de motoare experimentate cu condiția ca producătorul de motoare sau armatorul **să** poată dovedi **Administrației**, prin Fișa **tehnică**, că o **violare** a unui parametru sau a unei **specificații** se va extinde asupra tuturor motoarelor din cadrul unui grup de motoare ce corespund limitelor de emanații de NO_x .

12.5.9. Linii directe privind reglările sau modificările din cadrul unui grup de motoare

12.5.9.1 Reglările sau modificările minore în conformitate cu conceptul de grup de motoare sunt permise după **precertificare** sau măsurarea finală pe standul de încercare în cadrul unui grup de motoare cu acordul părților respective și aprobarea Administrației, dacă:

1. o inspecție a parametrilor relevanți ai motorului în legătură cu emanația sau prevederile pentru mijloacele de verificare ale motorului sau datele prevăzute de către producătorul **motoarelor** confirmă că motorul reglat sau modificat corespunde limitelor respective de **emanații** de NO_x . **Rezultatele** obținute pe standul de încercare a motorului cu privire la **emanațiile** de NO_x trebuie acceptate ca o opțiune de verificare a reglărilor și modificărilor motorului efectuate la bordul navei în cadrul unui grup de motoare,
2. măsurarea la bordul navei confirmă că motorul reglat sau modificat corespunde limitelor **corespunzătoare** de **emanații** de NO_x .

12.5.9.2 În continuare sunt date câteva exemple de reglări și modificări permise a se efectua în cadrul unui grup de **motoare**, dar fără a se limita totuși la acestea:

1. în condiții la bordul navei, reglarea:
 - temporizarea injectiei pentru compensarea **diferențelor** de proprietate a combustibilului,
 - temporizarea injectiei pentru optimizarea presiunii **maxime** a cilindrului,
 - diferențe de alimentare cu combustibil între cilindrii.
2. Pentru realizarea optimizării, modificarea:
 - **turbosufletei**,
 - componentelor pompei de injecție,
 - specificație piston
 - specificație supapă de alimentare
 - duze de injecție,
 - profile de came,
 - supape de **admisie** și de evacuare
 - came de injecție
 - camera de ardere.

12.5.9.3 **Exemplele** de mai sus de modificări după probele de încercare pe stand au în vedere **îmbunătățiri esențiale** ale componentelor sau **performanței** motorului pe perioada de funcționare a unui motor. Acesta este unul din principalele motive de existență a conceptului de grup de motoare. La **cerere**, **Administrația**, poate accepta rezultatele de la o încercare de demonstrație efectuată pe un singur motor, posibil și un motor de încercare, care arată efectele modificărilor asupra nivelului de NO_x care poate fi acceptată pentru toate **motoarele** din cadrul unui grup de **motoare fără** a fi nevoie de măsurători în vederea certificării pe fiecare motor al grupului.

12.5.10. Linii directe privind alegerea motorului - variantă de bază dintr-un grup de motoare

12.5.10.1. Alegerea **motorului-variantă** de bază trebuie făcută în conformitate cu criteriul 12.3.9, după caz. Nu este întotdeauna posibil să se aleagă un **motor-variantă** de bază dintr-un volum mic de motoare fabricate în același fel ca dintr-o masă de motoare fabricate (familie de motoare). Primul motor comandat poate fi înregistrat ca **motor-variantă** de bază. Metoda utilizată la alegerea **motorului-variantă** de bază pentru reprezentarea grupului de motoare trebuie convenit și aprobat de către Administrație.

12.5.10.2. Înaintea acordării unui grup inițial de motoare a aprobării pentru producerea motoarelor în **serie**, Administrația va lua măsurile necesare pentru verificarea planurilor corespunzătoare făcute în scopul asigurării controlului efectiv al conformității cu producția. Această cerință poate să nu fie necesară pentru grupurile **stabile** pentru modificări la motor efectuate la bordul navei după ce a fost eliberat un Certificat **ELAPP**.

12.6. Procedee cu privire la măsurătorile de emanații de NO_x efectuate pe un stand de încercare

12.6.1. Generalități

12.6.1.1 Această procedură trebuie aplicată la fiecare încercare de aprobare inițială a unui motor naval indiferent de locul unde se **efectuează** această încercare

12.6.1.2 Acest capitol specifică metodele de calcul și măsurare în legătură cu emansiile de gaze arse de la motoarele cu ardere internă în regim de stabilizare, necesare la determinarea valorii medii specifice pentru emansiia de gaze arse de evacuare cu NO_x

12.6.1.3 Multe din procedeele descrise mai jos sunt considerații detaliate ale metodelor de laborator, deoarece determinarea unei **valori** de emansiia necesită mai degrabă realizarea unui set complex de măsurători individuale decât obținerea unei singure valori măsurate. De aceea, rezultatele obținute depind mai mult de procesul de realizare a măsurătorilor decât de motor și metoda de încercare.

12.6.1.4 Acest capitol include metodele de încercare și măsurare, desfășurarea și raportul încercării ca procedeu pentru o măsurare efectuată pe **standul** de încercare.

12.6.1.5 În principiu, pe perioada încercărilor privind **emansiia**, un motor trebuie să fie echipat cu toate piesele sale auxiliare în același mod în care va fi utilizat la bordul navei.

12.6.1.6. în sensul **acestui** capitol, pentru **multe** din tipurile de motoare se permite ca piesele auxiliare, care pot fi montate la motorul în exploatare, să nu fie cunoscute în momentul fabricării sau certificării. Aceasta din cauza că emansiile sunt relevate pe baza forței de frânare.

12.6.1.7. Dacă nu este cazul să se efectueze încercarea motorului conform condițiilor definite la 12.6.2.3. de exemplu dacă motorul și transmisia formează o singură unitate, motorul poate să fie încercat doar cu celelalte piese auxiliare montate. În acest caz, reglajele **dinamometrice** trebuie determinate în conformitate cu 12.6.2.3 și 12.6.9. Pierderile de suplimentare nu trebuie să depășească 5% din puterea maximă înregistrată. Pierderile ce depășesc 5% trebuie aprobate de către **Administrația** respectiv înaintea efectuării încercării.

12.6.1.8. **Toate** volumele și media debitului volumetric trebuie să se încadreze între 273 K (0°C) și 101,3 kPa.

12.6.1.9. Dacă nu se specifică altfel, toate rezultatele măsurătorilor, datele încercării sau calculele cerute în acest capitol trebuie consemnate în raportul de încercare a motorului în conformitate cu 5.10.

12.6.1.10. Tabelele I, 2, 3 și 4 din anexa 12.8.3 al prezentului Cod conțin abrevierile, indicii și simbolurile folosite în acest Cod, inclusiv specificațiile pentru aparatele analitice din anexa 12.8.5, cerințele de calibrare pentru aparatele analitice incluse în anexa 12.8.6 și formulele de calcul privind debitul de gaze incluse în capitolul 12.6 și anexa 12.8.7 din prezentul Cod.

12.6.2. Condiții de încercare

12.6.2.1 Parametrul de încercare și valabilitatea încercării pentru aprobarea familiei de motoare

Parametrul f_a trebuie determinat conform următoarelor prevederi:

1. motoare cu aspirație normală și suflante acționate de motor:

$$f_a = \left(\frac{99}{p_s} \right) \cdot \left(\frac{T_a}{298} \right)^{0.7} \quad (12.1)$$

2. motorul cu supraalimentare cu turbosuflantă cu sau fără răcirea aerului de admisie:

$$f_a = \left(\frac{99}{p_s} \right)^{0.7} \cdot \left(\frac{T_a}{298} \right)^{1.5} \quad (12.2)$$

și, pentru ca o încercare să fie recunoscută ca valabilă, parametrul f_a trebuie să fie astfel încât:

$$0,98 \leq f_a \leq 1,02 \quad (12.3)$$

12.6.2.2. Motoare cu răcirea aerului de supraalimentare

12.6.2.2.1. Temperatura mediului de răcire și temperatura aerului trebuie înregistrate. Instalația de răcire trebuie reglată cu motorul funcționând la turația și sarcina de referință. Temperatura aerului de încărcare și reducerea presiunii răcitorului trebuie reglată între ± 4 K și, respectiv, ± 2 kPa, ca în specificația producătorului.

12.6.2.2.2. Motoarele răcite cu apă trebuie să poată funcționa la nivelele admisibile de emanații de NO_x așa cum se prevede în regula 13 din Anexa VI, la temperatura ambiantă a apei de mare de 25 °C. O creștere suplimentară a temperaturii datorată schimbătoarelor de căldură, de exemplu, pentru scăderea temperaturii la instalația de răcire cu apă, trebuie imediat luată în considerare.

12.6.2.3. Puterea

12.6.2.3.1. Măsurarea emanațiilor specifice are la bază puterea necorectată de frânare.

12.6.2.3.2. Piese auxiliare care nu sunt necesare la funcționarea motorului și care pot fi montate pe motor pot fi eliminate din cadrul încercării.

12.6.2.3.3. Dacă piesele auxiliare neesențiale nu au fost eliminate, puterea absorbită de ele la turația de încercare trebuie determinată pentru a calcula forța necorectată de frânare.

12.6.2.4. Instalația de admisie a aerului la motor

Motorul supus încercării trebuie să aibă o instalație de admisie a aerului care să prevadă o restricție a admisiei aerului, așa cum se specifică de către producător, înlocuind un dispozitiv de purificare a aerului în condiții de funcționare a motorului, așa cum se specifică

de către producător, și al cărui rezultat constă într-un debit maxim de aer pentru respectiva utilizare a motorului.

12.6.2.5. Instalația de evacuare a gazelor arse de la motor

Motorul încercat trebuie să aibă o instalație de **evacuare** a gazelor arse prevăzută cu o **contrapresiune** a gazelor arse de evacuare, așa cum se specifică de către producător **în** condiții de funcționare a motorului și al cărui rezultat constă într-o putere maximă declarată pentru respectiva utilizare a motorului.

12.6.2.6. Instalația de răcire

Trebuie utilizată o instalație de răcire a motorului care are un debit suficient pentru a menține **motorul** la temperatura normală de funcționare așa cum se specifică de către producător.

12.6.2.7. Ulei de ungere

Specificațiile privind uleiul de ungere folosit la încercare trebuie înregistrat.

12.6.3. Combustibili de încercare

12.6.3.1 Caracteristicile combustibilului pot influența emanația de gaze arse de la motor. Deci, caracteristicile combustibilului utilizat la încercare trebuie determinate și notate. Dacă se face referire la combustibili, trebuie indicate specificațiile sau codul de **referință**, precum și analiza combustibilului.

12.6.3.2 Alegerea combustibilului pentru încercare depinde de scopul încercării. Dacă nu se convine altfel de către Administrație și dacă nu este disponibilă o referire corespunzătoare la combustibil, arunci se va folosi **combustibilul** diesel marin - gradul DM, specificat în ISO 8217, 1996, cu proprietăți corespunzătoare tipului de motor.

12.6.3.3 Temperatura combustibilului trebuie să corespundă recomandărilor producătorului. Temperatura combustibilului trebuie să fie măsurată de la **admisia** în pompa de injecție cu combustibil sau așa cum se specifică de către producător, iar temperatura și locul **măsurării** trebuie notate.

12.6.4. Echipament de măsurare

12.6.4.1 Emanația componentelor gazoase de la motorul supus încercării trebuie măsurată prin metodele menționate în anexa 12.8.5 din prezentul Cod, care descrie instalația analitică recomandată pentru emanațiile gazoase.

12.6.4.2 Se pot accepta alte instalații sau analizoare, conform aprobării Administrației, dacă cu ele se obțin rezultate echivalente acelor obținute cu echipamentul menționat **la** 12.6.4.1.

12.6.4.3 Acest Cod nu conține detalii asupra echipamentului de măsurare a debitului, temperaturii și **presiunii**. În **schimb**, la 12.2.3.1 din anexa 12.8.6 al acestui Cod sunt indicate cerințele exacte referitoare la echipamentul necesar efectuării unei încercări privind emanațiile.

12.6.4.4 Specificația pentru frâna hidraulică

12.6.4.4.1 Se va utiliza **frâna** hidraulică cu caracteristici corespunzătoare realizării ciclului **respectiv** de încercare descris la 12.4.2.

12.6.4.4.2 Aparatele pentru măsurarea momentului de torsiune și a turației vor permite **masurarea** puterii arborelui peste limitele de funcționare pe standul de încercare, așa cum se specifică de către **producător**. În **caz** contrar, se impun calcule suplimentare care vor fi înregistrate.

12.6.4.4.3 Precizia echipamentului de măsurare va fi astfel încât **să** nu se **depășească** abaterile maxime ale valorilor date la 12.8.6.2.3. din anexa 12.8.6 al **acestui** Cod.

12.6.5. Determinarea debitului de gaze arse de evacuare

Debitul gazelor arse de evacuare trebuie determinat prin una din metodele **specificate** la 12.6.5.1, 12.6.5.2 sau 12.6.5.3.

12.6.5.1 Metoda măsurării directe

Această metodă implică măsurarea directă a debitului de gaze arse de evacuare prin duza de debit sau instalația echivalentă de măsurare și va corespunde unui standard internațional recunoscut.

Notă: Măsurarea debitului de gaze este o sarcină dificilă. Trebuie luate măsuri de precauție pentru **evitarea** erorilor de măsurare care vor influența erorile privind valoarea emanației.

12.6.5.2 Metoda de măsurare a debitului de aer și a debitului de combustibil.

12.6.5.2.1 Metoda de determinare **a debitului** de emanații de gaze arse de evacuare trebuie aplicată în conformitate cu un standard internațional recunoscut.

12.6.5.2.2 Se vor utiliza **debitmetrele** de aer și cele de combustibil cu precizia indicată în apendicele 6 din acest Cod.

buie calculat astfel:

$$G_{EXHW} = G_{AIRW} + G_{FUEL} \quad (\text{masă umedă de evacuare}) \quad (12.4)$$

sau

$$V_{EXHD} = V_{AIRD} + F_{FD} \cdot G_{FUEL} \quad (\text{volum uscat de evacuare}) \quad (12.5)$$

sau

$$V_{EXHW} = V_{AIRW} + F_{FW} \cdot G_{FUEL} \quad (\text{masă umedă de evacuare}) \quad (12.6)$$

Notă: Valorile pentru F_{FD} și F_{FW} variază în funcție de tipul de combustibil

12.6.5.3 Metoda de compensare cu carbon

Aceasta metoda implica calcularea debitului masei de gaze arse de evacuare din consumul de combustibil și concentrațiile de gaze arse de evacuare prin utilizarea **metodei** de compensare cu carbon și oxigen **așa** cum se specifică în anexa 12.8.7 din acest Cod.

12.6.6. Abaterile admisibile ale dispozitivelor de măsurare a parametrilor caracteristici ai motorului si a altor parametri esențiali

Calibrarea tuturor aparatelor de **măsurare** trebuie efectuată **conform** standardelor internaționale recunoscute și trebuie să corespundă cerințelor menționate în acest Cod.

12.6.7. Analizoare pentru determinarea componentelor gazoase

Analizările pentru determinarea componentelor **gazoase** trebuie să respecte specificațiile menționate în anexa 12.8.5 din acest Cod.

12.6.8. Calibrarea aparatelor analitice

Fiecare analizor utilizat la măsurarea **parametrilor** unui motor, așa cum se prevede în apendicele 5 din acest Cod, trebuie calibrat oricât de des este necesar **asa** cum se menționează în apendicele 6 din acest Cod.

12.6.9. Încercarea în funcționare

12.6.9.1 Generalități.

12.6.9.1.1 Descrieri detaliate privind instalațiile de analiză și luare de probe sunt date la întrucât diferite configurații pot produce rezultate echivalente, nu se impune conformitatea exactă cu aceste cifre. **Componente** suplimentare, cum ar **fi** aparatele de măsură, **valvule**, solenoizi, pompe și întrerupătoare se pot folosi pentru furnizarea informațiilor suplimentare și coordonarea funcțiilor instalațiilor componente.

12.6.9.1.2 Instalațiile cu restricție a admisiei și cu **contrapresiune** la gazele arse de evacuare trebuie reglate la **limitele** superioare așa cum se specifică de către producător în conformitate cu 12.6.2.4 și 12.6.2.5.

12.6.9.2 Principalele componente ale gazelor arse de evacuare

12.6.9.2.1 O instalație de măsurare analitică pentru determinarea emanațiilor gazoase din gazele arse de evacuare impure trebuie să se bazeze pe utilizarea următoarelor analizoare:

1. analizorul HRD pentru măsurarea **hidrocarbuilor**;
2. analizorul NDIR pentru măsurarea monoxidului și dioxidului de carbon;
3. analizorul HCLD sau altul echivalent acestuia pentru măsurarea oxizilor de azot;
4. **PMD**, **ECS** sau **ZRDO** pentru măsurarea oxigenului.

12.6.9.2.2 Pentru gazele arse de evacuare impure, mostra pentru toate componentele se poate lua printr-o singură probă de **șantionaj** sau două din apropierea unei extremități și separate apoi în interior la diferitele analizoare. Trebuie avut grijă ca în nici un punct al instalației analitice să nu se producă condens de la **componentele** gazelor.

12.6.9.2.3 Specificațiile și **calibrarea** cu privire la aceste analizoare sunt menționate în apendicii 5 și 6 din acest Cod.

12.6.9.3 Extragerea de probe din emanațiile gazoase

12.6.9.3.1 Probele de **șantioane** pentru emanațiile gazoase trebuie să **fie** la o distanță cu cel puțin 0.5 m sau de 3 ori diametrul **țevii** de evacuare a gazelor arse - care dintre acestea este mai mare - la partea de sus a ieșirii de la instalația pentru evacuarea gazelor arse, pe cât este posibil, dar suficient de aproape de motor astfel încât să se asigure o temperatură de evacuare a gazelor arse de cel puțin 343 K (70 °C) pe probă.

12.6.9.3.2 În cazul unui motor cu mai mulți cilindrii cu un distribuitor ramificat de evacuare a gazelor arse, orificiul de **admisie** al probei trebuie să **fie** situat destul de departe de partea **inferioară**, astfel încât să se asigure că **șantionul** este reprezentativ pentru media emanațiilor de gaze arse de evacuare din toți cilindrii. La motoarele cu mai mulți cilindrii care au grupuri distincte de distribuitoare, cum ar **fi** cele cu o configurație de motor **"V"**, se permite obținerea unui **șantion** din fiecare grup și calcularea unei medii a emanațiilor de gaze arse de evacuare. Se pot utiliza și alte metode indicate pentru corelarea cu metodele de mai sus. Pentru calcularea emanațiilor de gaze arse de evacuare trebuie utilizat debitul total de emanații de gaze arse de evacuare.

12.6.9.3.3 Dacă compoziția gazelor arse de evacuare este influențată de vreo instalație de evacuare a gazelor arse după tratare, **șantionul** de gaze arse de evacuare trebuie luat din partea de jos a acestui dispozitiv.

12.6.9.4 Verificarea **analizoarelor**

Analizoarele de emanații trebuie fixate pe zero și apoi acționate

5.9.5 Ciclurile de încercare

Toate motoarele trebuie încercate în conformitate cu ciclurile de încercare definite la

3.2. Acesta ține seama și de variațiile din utilizarea motorului.

12.6.9.6 **Desfășurarea** încercării

12.6.9.6.1 După terminarea procedurilor de la 12.6.9.1 până la 12.6.9.5, trebuie să înceapă **desfășurarea** încercării. Motorul trebuie să funcționeze în fiecare caz în conformitate cu ciclurile corespunzătoare de încercare definite la 12.4.2.

12.6.9.6.2 Pe durata fiecărui caz al ciclului de încercare după perioada de tranziție **inițială**, turația specificată trebuie menținută în domeniul $\pm 1\%$ din turația **nominală** sau $\pm 3 \text{ min}^{-1}$, care dintre acestea este mai mare, cu excepția **mersului** în gol care va fi în cadrul toleranțelor declarate de către producător. Momentul de torsiune specific va fi menținut astfel încât **media**, peste perioada de timp în care urmează să se facă măsurătorile, este în domeniul $\pm 2\%$ din **momentul maxim** de torsiune la turația de încercare.

12.6.9.7 Sensibilitatea analizoarelor

Parametrii de ieșire de la analizoare trebuie înregistrați, atât în timpul încercării cât și pe perioada tuturor verificărilor de sensibilitate (zero și acționare rapidă), pe un înregistrator cu bandă de înregistrare sau măsurată cu o instalație echivalentă de achiziție de date cu trecerea gazelor arse de evacuare prin analizoare la cel puțin zece minute în fiecare caz.

12.6.9.8 Condiții ale motorului

Turația și sarcina motorului, temperatura aerului de admisie și debitul combustibilului trebuie măsurate în fiecare caz imediat după ce funcționarea motorului s-a stabilizat. Debitul gazelor arse de evacuare trebuie măsurat sau calculat și înregistrat

12.6.9.9 **Reverificarea** analizoarelor

După încercarea la emanații, **calibrarea** analizoarelor trebuie **reverificată** fixând mai întâi pe indicarea valorii zero a gazului și apoi rotind rapid așa cum s-a procedat înaintea efectuării **măsurătorilor**. Încercarea trebuie considerată acceptată dacă diferența dintre cele două **calibrări** este mai mică de 2% .

12.6.10. Raportul încercării

12.6.10.1 Pentru fiecare motor încercat în vederea **precertificării** sau certificării inițiale la bordul navei **fără precertificare**, producătorul motorului trebuie să pregătească un raport de încercare care să **conțină**, cel puțin, datele menționate în anexa 12.8.4 din acest Cod. Originalul raportului de încercare trebuie păstrat în dosarul producătorului motorului și o copie legalizată la dosarul Administrației.

12.6.10.2. Raportul încercării, fie originalul fie copia **legalizată**, trebuie anexat la Fișa **tehnică**, făcând permanent parte din ea.

12.6.11. Evaluarea datelor privind emanațiile gazoase

Pentru evaluarea emanațiilor de gazoase, trebuie făcută o medie a citirii diagramei în ultimele 60 de secunde ale fiecărui caz și determinată media concentrațiilor de CO , CO_2 , HC , NO_x și O_2 pe durata fiecărui caz din media citirilor diagramei și datele corespunzătoare de **calibrare**.

12.6.12. Calcularea emanațiilor gazoase

Rezultatele finale pentru raportul de încercare trebuie determinate prin parcurgerea etapelor de la 12.6.12.1 până la 12.6.12.4.

12.6.12.1 Determinarea debitului gazelor arse de evacuare

Debitul gazelor arse de evacuare (G_{EXHW} , V_{EXHW} sau V_{EXHD}) trebuie determinat pentru fiecare caz în conformitate cu una din metodele descrise la 12.6.5.1 până la 12.6.5.3.

12.6.12.2 Corecția raportului uscat / umed

Dacă se aplică G_{EXHW} , V_{EXHW} , G_{TOTW} sau V_{TOTW} , concentrația măsurată, dacă nu este deja măsurată pe o bază umedă, trebuie convertită într-o bază umedă după următoarea formulă:

$$conc(umed) = K_w \cdot conc(uscat) \quad (12.7)$$

5.12.2.1 Pentru gazele arse brute (impure) de evacuare:

$$K_{w,r} = \left(1 - F_{FH} \cdot \frac{G_{FUEL}}{G_{AURD}} \right) - K_{w2} \quad (12.8)$$

$$K_{w2} = \left(\frac{1,608 \cdot H_a}{1000 + (1,608 \cdot H_a)} \right) \quad (12.9)$$

$$H_a = \frac{6,220 \cdot R_a \cdot p_a}{p_B - p_a \cdot R_a \cdot 10^3} \quad (12.10)$$

cu:

H_a, H_d = g apă per kg aer uscat

R_a = umiditatea relativă a aerului de admisie, %

p_a = presiunea de saturație a vaporilor din aerul de admisie, kPa

p_B = presiunea **barometrică** totală, kPa

Notă: Formulele ce utilizează F_{FH} sunt versiuni simplificate ale celor menționate în acest Cod

12.6.12.2.2 Alternativ:

$$K_{w,r} = \frac{1}{1 + H_{TCRAT} \cdot 0,005 \cdot (\%CO(uscat) + \%CO_2(uscat))} \quad (12.11)$$

12.6.12.2.3 Pentru aerul de admisie:

$$K_{w,a} = 1 - K_{w2} \quad (12.12)$$

12.6.12.2.4 Formula (12.8) trebuie acceptată ca **definiție** a factorului specific de combustibil F_{FH} . Definit în acest fel F_{FH} este o valoare pentru conținutul în apă al gazelor arse de evacuare din relația raportului **aer-combustibil**.

12.6.12.2.5 Valorile tipice pentru F_{FH} pot fi găsite în tabelul 12.24 al anexa 12.8.7 din acest Cod, care conține o listă a valorilor F_{FH} pentru diferiți combustibili. F_{FH} nu depinde doar

specificațiile pentru **combustibil**, ci depinde, într-o **mai** mică măsură, și de raportul aer - **combustibil** al motorului.

12.6.12.2.6 Anexa 12.8.7 din acest Cod conține formule pentru calcularea F. din conținutul de hidrogen al combustibilului și raportul aer - combustibil.

5.12.2.7 Formula (12.8) consideră conținutul de apă din procesul de ardere și din aerul de admisie independent unul față de celalalt și suplimentar.

5.12.2.8 12.6.12.3 **Corecția NO_x** pentru umiditate și temperatură

12.6.12.3.1 Deoarece emanația de **NO_x** depinde de condițiile mediului înconjurător, concentrația de **NO_x** trebuie corectată în ceea ce privește temperatura și umiditatea mediului înconjurător cu factorii dați în formulele (12.13) și (12.14).

12.6.12.3.2 Valoarea standard de 10,71 **g/kg** la temperatura standard de referință de 25° C trebuie **utilizată** la toate calculele ce implică corectarea umidității în cadrul acestui Cod. Nu trebuie folosite alte valori de referință pentru umiditate în locul celei de 10,71 **g/kg**.

12.6.12.3.3 Se pot utiliza alte formule de corecție dacă pot **fi justificate** sau validate în cadrul unui acord **al părților** respective și dacă se aprobă de către Administrație.

12.6.12.3.4 Apa sau aburul injectat în **turbosuflantă** (**umidificarea** aerului) este considerată o emanație a dispozitivului de control și, de aceea, nu se va ține cont de ele la corectarea umidității. Apa care se condensează în **răcitor** poate modifica umiditatea aerului de **supraalimentare** și, deci, acest fapt trebuie luat în considerare la corectarea umidității.

12.6.12.3.5 Generalități cu privire la motoarele diesel

în general, pentru motoarele diesel trebuie utilizată următoarea formulă pentru calcularea **K_{HDES}**

$$K_{DIES} = \frac{1}{1 + A \cdot (H_a - 10,71) + B \cdot (T_a - 298)} \quad (12.13)$$

unde:

A = 0,309 **G_{FUEL}** / **G_{AIRD}** - 0,0266 ;

B = - 0,209 **G_{FUEL}** / **G_{AIRD}** - 0,00954 ;

T = temperatura aerului în K ;

H_a = umiditatea aerului de admisie, g apă per kg uscat (**așa** cum se determină din formula 12.10)

12.6.12.3.6 Motoare diesel cu răcitoare intermediare de aer

Pentru motoarele diesel cu răcitoare intermediare de aer trebuie utilizată următoarea formulă alternativă (12.14):

1. Pentru luarea în considerare a umidității din aerul **încărcat**, mai trebuie avute în vedere și următoarele:

H_{sc} = umiditatea aerului de supraalimentare, g apa per kg de aer uscat în care:

$$H_{sc} = 6.220 \cdot P_{sc} \cdot 100 / (P_C - P_{sc})$$

unde:

P_{sc} = presiunea de saturație de vapori din aerul de supraalimentare, kPa

P_C = presiunea aerului de supraalimentare. kPa

2. Dacă **H_a > H_{sc}**, atunci **H_{sc}** trebuie utilizat în locul **H_a** din formula (12.14). În acest caz, **G_{EXTW}** din 12.6.5.2.3 trebuie corectat astfel:

3. Dacă **H_a < H_{sc}**, atunci **H_a** din formula (12.14) trebuie utilizat ca atare.

$$K_{HDIES} = \frac{1}{1 - 0,012 \cdot (H_a - 10,71) - 0,0275 \cdot (T_a - 298) + 0,00285(T_{SC} - T_{SCRef})} \quad (12.14)$$

unde:

T_{SC} = temperatura aerului **interrăcit**

T_{SCRef} = temperatura de referință a aerului refrigerent corespunzător unei temperaturi a apei de mare de 25° C. T_{SCRef} . trebuie specificat de către producător

Notă: Pentru explicarea altor variabile vezi formula (12.13).

12.6.12.4 Calcularea ratelor debitului gazelor arse de evacuare

12.6.12.4.1 Ratele **debitului** de gaze arse de evacuare pentru fiecare mod trebuie calculate după cum urmează (pentru gazele arse brute de evacuare):

$$Gas\ mass = u\ conc\ G_{EXHW} \quad (12.15)$$

sau

$$Gas\ niass = v\ conc\ G_{EXH} \quad (12.16)$$

sau

$$Gas\ mass = w\ conc\ G_{EXHW} \quad (12.17)$$

12.6.12.4.2 Coeficienții u - umed, v - uscat și w - umed trebuie utilizați așa cum se **specifică** m tabelul 12.5.

Tabelul 12.5 Coeficienții u, v, w

Gaz	u	v	w	conc
NO _x	0,001587	0,002053	0,002053	ppm
CO	0,000966	0,00125	0,00125	ppm
HC	0.000479	-	0,000619	ppm
CO ₂	15,19	19,64	19,64	procente
O ₂	11,05	14,29	14,29	procente

Notă: Coeficienții pentru u dat în tabelul 12.5 sunt valorile corecte pentru o densitate a gazelor arse de evacuare de aproximativ 1.293; pentru o densitate a gazelor arse de evacuare $\neq 1.293$, $u = w / \text{densitate}$.

12.6.12.5 Calcularea emanațiilor specifice

12.6.12.5.1 Emanația trebuie calculată pentru toate componentele individuale în felul următor:

$$GAS_x = \frac{\sum_{i=1}^{i=n} M_{GAS_i} \cdot W_{F_i}}{\sum_{i=1}^{i=n} P_i \cdot W_{F_i}} ; \quad (12.18)$$

$$P_i = P_{Mi} + P_{ALXi} \quad (12.19)$$

12.6.12.5.2 Factorii de încărcare și numărul de moduri (n) utilizate la calculele de mai sus corespund prevederilor de la 12.4.2.

12.6.12.5.3 **Media** rezultată a valorii emanației specifice de NO_x pentru **motor** așa cum se determină prin formula (12.18) trebuie apoi comparată cu figura 12.1 de la 12.4.1 pentru a vedea dacă motorul corespunde Regulii 13 din anexa VI.

12.7. Proceduri privind demonstrarea conformității cu limitele de emanații de NO_x la bordul navelor

12.7.1. Generalități

După instalarea unui motor **precertificat** la bordul unei nave, fiecare motor diesel naval va fi supus inspecțiilor de verificare la bord efectuate, **asa** cum se specifică la 12.3.1.1.2 până la 2.1.1.4, pentru a verifica că motoarele **continuă să** corespundă limitelor de emanații de gaze arse de evacuare cu NO_x menționate în Regula 13 din Anexa VI. O astfel de verificare a conformității trebuie determinată prin **folosirea uneia** din următoarele metode:

1. metoda de verificare a parametrului motorului în conformitate cu 12.7.2 pentru verificarea că o componentă a motorului, reglajele și valorile de funcționare nu au deviat de la **specificațiile** date în Fișa tehnică a motorului;
2. metoda măsurătorii simplificate în conformitate cu 12.2.7.3: metoda controlului și a măsurătorii directe în conformitate cu 12.3.3.4, 12.3.3.5, 12.3.3.7, 12.3.3.11, 12.3.4.4 și 12.6.5.

12.7.2. Metoda de verificare a parametrilor motorului

12.7.2.1 Generalități

12.7.2.1.1 Motoarele care îndeplinesc următoarele condiții pot fi alese spre a fi supuse aplicării uneia din metodele de verificare a parametrilor motorului:

1. motoarele care au primit un precertificat (Certificat EIAPP) după încercarea pe stand și **acelea** care au primit un certificat (Certificat IAPP) în urma efectuării unei inspecții inițiale de certificare;
2. motoarele care de la data ultimei **inspecții**, au suferit modificări sau reglaje la componentele motorului și la caracteristicile reglabile.

12.7.2.1.2 O metodă de verificare a parametrilor unui motor **trebuie** aplicată motoarelor, conform 12.7.2.1.1, atunci **când** există o modificare a componentelor sau caracteristicilor reglabile ale motorului ce afectează nivelul de emanații de NO_x . Motoarele instalate pe nave vor fi pregătite în prealabil pentru ușurința verificării componentelor, și caracteristicilor reglabile și parametrilor **motorului** care afectează nivelul de emanații de NO_x .

12.7.2.1.3 Suplimentar, dacă un motor diesel este destinat să funcționeze în cadrul limitelor de emanații de NO_x prevăzute, este foarte probabil ca pe **durata** de funcționare a motorului la bordul navei limitele de emanații de NO_x să fie respectate. Totuși, reglările sau modificările efectuate la motor pot să **contravină** limitelor prevăzute pentru emanațiile de NO_x . De **aceea**, metoda de verificare a parametrului unui motor va fi utilizată la verificarea respectării de către motor a limitelor prevăzute pentru emanațiile de NO_x .

12.7.2.1.4 Metoda de verificare a componentelor motorului, inclusiv verificările reglajelor și a valorilor de funcționare a motorului, sunt destinate oferirii unor mijloace imediate de deducere a performanței **motorului** în ceea ce privește emanațiile, iar scopul verificării este conformitatea **motorului**, care nu a suferit modificări sau reglaje sau are modificări sau reglări minore, cu limitele prevăzute pentru emanațiile de NO_x .

12.7.2.1.5 Scopul unor astfel de verificări este de a oferi mijloacele imediate de determinare că motorul este corect reglat conform specificației producătorului și rămâne în starea de reglare **corespunzătoare** cu certificarea inițială făcută de **Administrație** în conformitate cu Regula 13 din Anexa VI.

12.7.2.1.6 Dacă este implicată o instalație electronică de comandă a motorului, aceasta va fi evaluată comparativ cu reglajele inițiale pentru a se asigura că parametrii respectivi funcționează în cadrul limitelor **"pentru care a fost construit motorul"**.

12.7.2.1.7 în scopul evaluării conformității cu Regula 13 din Anexa VI, nu este întotdeauna necesar să se măsoare nivelul de NO_x pentru a ști dacă un motor, care nu are **montat** un dispozitiv de tratare a gazelor arse, este foarte probabil să corespundă limitelor de emanații de NO_x . Este suficient de știut că starea motorului din momentul respectiv corespunde **componentelor specificate, calibrării** sau reglării parametrilor din momentul certificării inițiale. Dacă rezultatele metodei de verificare a parametrului unui motor indică faptul că motorul corespunde limitelor de emanații de NO_x , motorul poate fi **recertificat fără** măsurarea directă a NO_x .

12.7.2.1.8 Pentru motoarele echipate cu dispozitive de tratare a gazelor arse, va fi necesar să se verifice funcționarea dispozitivului după tratarea gazelor arse, aceasta făcând parte din verificarea **parametrilor**.

12.7.2.2 Procedee ale metodei de verificare a parametrilor motorului

12.7.2.2.1 O metodă de verificare a parametrilor unui **motor trebuie** aplicată prin folosirea a două procedee, astfel:

1. o inspecție a **documentației** privind parametrii motorului trebuie efectuată suplimentar față de alte inspecții și să includă inspecția Jurnalului de mașini care cuprinde parametrii motorului și o verificare a **faptului** că acești parametri se află în domeniul **admisibil** specificat în Fișa tehnică a motorului;
2. o inspecție a componentelor motorului și parametrilor reglabili trebuie efectuată suplimentar față de inspecția documentației, după caz. Apoi, referitor la rezultatele inspecției documentației, se va verifica dacă parametrii reglabili ai motorului se află în domeniul admisibil specificat în Fișa tehnică.

12.7.2.2.2 Inspectorul trebuie să poată face o alegere în ceea ce privește verificarea unei singure componente identificate, a reglajelor sau valorilor de funcționare sau a **tuturor componentelor**, pentru a se asigura că motorul, care nu a suferit modificări sau reglaje sau **are** modificări sau reglări minore, corespunde limitelor aplicabile de emanații și că sunt utilizate doar componentele din specificația curentă. Dacă în Fișa tehnică sunt făcute referiri la reglajele sau modificările dintr-o specificație, **ele** trebuie să se încadreze în domeniul recomandat de producător și aprobat de către Administrație.

12.7.2.3 Documentația pentru metoda de verificare a parametrilor motorului

12.7.2.3.1 Fiecare motor diesel naval va avea o Fișa tehnică ce identifică componentele motorului, reglajele sau valorile de funcționare care influențează emanațiile de gaze arse de evacuare și trebuie să **fie** verificate pentru **asigurarea** conformității.

12.7.2.3.2 Armatorii sau persoanele care răspund de navele echipate cu motoare diesel supuse aplicării metodei de **verificare** a parametrilor săi, trebuie și să păstreze la bordul navei **următoarea** documentație referitoare la mijloacele **imediate** de verificare:

1. un Jurnal de mașini al parametrilor motorului pentru înregistrarea tuturor modificărilor **făcute** cu privire la componentele sau reglajele unui motor;
2. o listă cu parametrii motorului corespunzători componentelor și reglajelor respective ale motorului sau documentația unor valori de funcționare dependentă de sarcină a motorului, prezentate de către producătorul unui motor și aprobate de către Administrație;
3. **Documentația** tehnică a unei modificări de componente ale motorului, dacă o astfel de modificare este **făcută** la motor la vreuna din componentele sale.

12.7.2.3.3 **Registru** de evidență **pentru** parametrii motorului

Descrierile oricăror **modificări** care afectează parametrii de construcție ai motorului, inclusiv reglajele, înlocuirile sau **modificările** la piese din **acesta**, vor fi înregistrate în ordine cronologică în Jurnalul de mașini al parametrilor motorului. Aceste descrieri trebuie suplimentate cu orice alte date folosite la evaluarea nivelelor de NO_x ale motorului.

12.7.2.3.4 Lista parametrilor care se pot modifica la bordul navei și care **influențează** **emanațiile** de NO_x

12.7.2.3.4.1 în funcție de construcția specifică a unui anumit motor, sunt posibile și normale diferite modificări și reglaje care influențează NO_x . Acestea includ parametrii motorului astfel:

1. temporizarea injectării,
2. duza de injectare,
3. pompa de **injectie**,
4. came pentru combustibil,
5. presiunea de **injectie**
6. **camera** de ardere,
7. presiunea de compresie,
8. tipul și **construcția turbosuflantei**.
9. **răcitorul** de aer **supraalimentarea** precum și încălzitorul de aer de **supraalimentare**
10. supapa de temporizare,
11. echipament de reducere a NO_x prin "injectare de apă"
12. echipament de reducere a NO_x prin "**emulsionat** de combustibil"
13. echipament de reducere a NO_x prin "**recircularea** gazelor arse de **evacuare**"
14. echipament de reducere a NO_x prin "reducerea catalizatoare selectivă" sau
15. alți parametri specificați de Administrație.

12.7.2.3.4.2 Actuala Fișă tehnică a unui **motor**, bazată pe recomandările producătorului de motoare și aprobarea Administrației, poate include mai puțin componente sau parametri decât cele discutate mai sus funcție de motor și construcția specifică.

12.7.2.3.5 Lista de verificare pentru **metoda** de verificare a parametrilor motorului

Pentru unii parametri există diferite posibilități de **inspecție**. în funcție de aprobarea Administrației și în conformitate cu instrucțiunile producătorului de motoare, armatorul navei poate **alege** metoda care este aplicabilă. Oricare din metodele enumerate în appendicele 8 din acest Cod este suficientă pentru a **demonstra** conformitatea.

12.7.2.3.6 Documentația tehnică având **modificarea** componentelor motorului

Documentația tehnică trebuie să includă detalii asupra modificărilor și **influenței** emanațiilor de NO_x , și ea trebuie furnizată în momentul în care se efectuează modificările. Se pot accepta datele obținute pe standul de încercare pentru un motor ulterior, dar **ele** trebuie să se încadreze în domeniul aplicabil al conceptului de grup de motoare.

12.7.2.3.7 Starea inițială a componentelor motorului, caracteristici și parametrii reglabili

Fișa tehnică a unui motor trebuie să conțină toate informațiile aplicabile referitoare la emanațiile de NO_x ale **motorului**. Ia componentele de construcție ale motorului, caracteristicile și parametrii reglabili în momentul **precertificării motorului** (**Certificatul ELAPP**) sau certificării inițiale (Certificatul LAPP), care din acestea este primul.

12.7.3. Metoda de măsurare simplificată

12.7.3.1 Generalități

12.7.3.1.1 Când se cere doar confirmarea efectuării încercărilor și inspecțiilor periodice și **intermediare** de la bordul navei, și doar pentru acest scop, trebuie aplicată următoarea metodă simplificată de încercare și măsurare specificată în acest **paragraf**. Fiecare prima încercare a motorului pe un stand de încercare trebuie efectuată în conformitate cu procedeul specificat în capitolul 12.6 cu utilizarea de combustibil diesel marin, **grad-DM**. Corecțiile privind temperatura și umiditatea mediului înconjurător în conformitate cu **12.6.1.2.3** sunt esențiale deoarece navele navighează în ape reci / tropicale și cu clima uscată / **umedă**, ceea ce poate determina o diferență în **emanațiile** de NO_x .

12.7.3.1.2 Pentru a obține rezultate concludente în legătură cu încercările efectuate la bordul navei în vederea confirmării și cu inspecțiile periodice și intermediare de la bordul navei, ca minim **absolut**, concentrațiile de emanații gazoase de NO_x , împreună cu O_2 și CO_2 și CO , trebuie ca măsurătorile să fie fluate conform ciclului respectiv de încercare. Factorii de încărcare (W_F) și turația cazuri utilizat la calcule trebuie și fie în **conformitate** cu 12.4.2.

12.7.3.1.3 **Momentul** de torsiune al motorului și turația **motorului** trebuie măsurate dar, pentru a simplifica **procedura**, abaterile admisibile ale aparaturii la măsurarea parametrilor motorului respectiv în scopul verificării la bordul navei sunt diferite de cele permise care se admit la metoda de încercare pe standul de încercare. Dacă este dificil să se măsoare direct momentul de **torsiune**, forța de frânare poate fi estimată prin orice alt mijloc recomandat de către producătorul de motoare și aprobat de către Administrație.

12.7.3.1.4 în cazuri practice, deseori este imposibil să se măsoare consumul de combustibil odată ce motorul a fost **instalat** la bordul navei. Pentru a simplifica procedeul la **bord**, se pot accepta rezultatele măsurătorii consumului de combustibil la un motor încercat pe standul de încercare în vederea **precertificării**, în astfel de cazuri, în special cele care au în vedere **funcționarea** cu combustibil greu, trebuie făcută o evaluare cu eroarea corespunzătoare de **evaluare**, întrucât rata debitului de combustibil utilizat în calcul (G_{FUEL}) trebuie să se raporteze la **compoziția** combustibilului determinată în urma probei de **combustibil** luată pe timpul încercării, măsurătoarea de G_{FUEL} la încercarea pe standul de încercare trebuie corectată în ceea ce privește orice diferență în cadrul valorilor nete calorice între combustibilul utilizat la standul de încercare și cel experimental. Consecințele unei astfel de erori la emanațiile finale trebuie calculate și raportate cu rezultatele măsurătorii de emanații.

12.7.3.1.5 Dacă nu se specifică altfel, toate rezultatele măsurătorilor, datele de încercare sau motorului **conform** calculele cerute de acest capitol trebuie înregistrate în raportul de încercare a motorului conform **12.6.10**.

12.7.3.2 Parametrii motorului ce urmează a fi mășurați și înregistrați

Tabelul 12.6 enumera **parametrii** motorului care **urmează** să fie mășurați și înregistrați pe durata procedurilor de verificare la bord.

12.7.3.3 Puterea de exploatare

12.7.3.1.1 Punctul referitor la posibilitatea obținerii datelor cerute pe timpul încercării NO_x la bordul navei este în mod special relevant pentru puterea de exploatare. Deși cazul de cuplare directă a **reductoarelor** este menționat în capitolul 12.6, motoarele **asa** cum se prezintă ele la bord ar putea ca în multe aplicații să fie instalate astfel încât măsurătorile **momentului** de torsiune (așa cum **s-a** obținut cu ajutorul unui aparat special instalat) să nu fie posibile din cauza **absenței** unui arbore **liber**. Mai importante în acest grup ar fi generatoarele, dar motoarele pot fi și ele cuplate la pompe, instalațiile hidraulice, **compresoare** etc.

Tabelul 12.6 Parametrii motorului CQ urmează a fi măsurati și înregistrați

Simbol	Parametru	U.M.
b_{ci}	consumul specific de combustibil (dacă este posibil) (în al "i" - lea caz pe durata ciclului de încercare)	kg/kWh
H_a	umiditatea absolută (masa conținutului în apă a aerului de admisie comparativ cu masa de aer uscat)	g/kg
n_{di}	turația motorului (în al "i" - lea caz pe durata ciclului de încercare)	min ⁻¹
$n_{turb, i}$	turația turbosuflantei (dacă este cazul)	min ⁻¹
p_B	presiunea totală barometrică (în ISO 3046-1, 1995: $p_a = p_x$ = presiunea totală a mediului ambiant)	kPa
$p_{be, i}$	presiunea aerului măsurată după răcitorul de aer de încărcare (în al "i" - lea caz pe durata ciclului de încercare)	kPa
P_i	forța de frânare (în al "i" - lea caz pe durata ciclului de încercare)	kW
S_i	poziția cremalierei pentru combustibil (pentru fiecare cilindru, dacă este cazul) (în al "i" - lea caz pe durata ciclului)	
T_i	temperatura la admisia aerului (la ISO 3046-1, 1995: $T_a = T_{tx}$ = temperatura termodinamică a aerului în mediul ambiant)	K
$T_{ba, i}$	temperatura aerului la ieșirea din răcitorul de aer de încărcare (dacă este cazul) (în al "i" - lea caz pe durata ciclului de încercare)	K
T_{al}	temperatura agentului de răcire la intrare	K
T_{cloar}	temperatura agentului de răcire la ieșire	K
$T_{Ext. i}$	temperatura gazelor arse de evacuare în punctul de luare a probelor (în al "i" - lea caz pe durata ciclului)	K
T_{Faci}	temperatura motorinei înaintea intrării ei în motor	K
T_{Sca}	temperatura apei de marc	K
$T_{oil out/in}$	temperatura uleiului de ungere, ieșire / intrare	K

12.7.3.3.2 La instalarea la bord, motoarele care acționează astfel de **mașini** ar trebui ca în stadiul de fabricare să fie încercate în mod normal cu o frână **hidraulică**, înaintea cuplării permanente la **consumator**. Pentru generatoare aceasta nu ridică probleme în ceea ce privește utilizarea măsurătorilor de voltaj și **amperaj** împreună cu randamentul generatorului declarată de producător. Pentru echipamentul **funcționând** după curba de elice, o curbă declarată a puterii funcție de turație poate fi aplicată împreună cu posibilitatea asigurată de a măsura turația motorului, **fi**e la capătul liber, **fi**e, de exemplu, prin raportarea la turația arborelui cu came.

12.7.3.4 Combustibil de încercare

12.7.3.4.1 în **general**, toate măsurătorile de emanații trebuie efectuate cu motorul funcționând cu combustibil diesel marin **conf.** ISO 8217, 1996.

12.7.3.4.2 Pentru a evita o împovărare a armatorului, măsurătorile pentru încercările de confirmare sau **reinspectare**, bazate pe recomandarea producătorului de motoare și aprobarea Administrației, se permit a se efectua cu motorul funcționând cu combustibil greu ISO 8217, 1996, grad - R.M. într-un astfel de caz, azotul conținut de combustibil și calitatea aprinderii combustibilului pot influența emanațiile de NO_x de la motor.

12.7.3.5 Luarea de probe privind emanațiile gazoase

12.7.3.5.1 Cerințele generale menționate la 12.6.9.3 trebuie aplicate de asemenea la măsurătorile efectuate la bord.

12.7.3.5.2 Instalarea la bord a tuturor motoarelor trebuie **făcută** astfel încât aceste încercări să poată fi efectuate în siguranță fără a influența motorul. La bordul navei vor fi prevăzute dispozitive corespunzătoare pentru extragerea de probe de gaze arse de evacuare și posibilitatea de a obține datele cerute. Tubulaturile de evacuare ale tuturor motoarelor trebuie prevăzute cu un punct standard accesibil de extragere a probelor.

12.7.3.6 Echipament de măsurare și date ce urmează a fi măsurate

Emanația de poluanți gazoși trebuie măsurată prin metodele descrise în capitolul 12.6.

12.7.3.7 Abaterile permise a aparatelor pentru **parametrii** respectivi ai motorului și alți parametri esențiali

Tabelele 12.3. și 12.4 din paragraful 12.2.3.2 din anexa 12.6 al acestui Cod menționează abaterile permise ale aparatelor ce urmează a fi utilizate la măsurarea parametrilor respectivi ai motorului și la alți **parametrii esențiali** pe timpul procedurilor de verificare la bord.

12.7.3.8 Determinarea componentelor gazoase

Trebuie aplicate echipamentul de măsurare analitică și metodele descrise în capitolul 12.6.

12.7.3.9 Cicluri de încercare

12.7.3.9.1 Ciclurile de încercare utilizate la bord trebuie să corespundă ciclurilor de încercare aplicabile menționate la 12.4.2.

12.7.3.9.2 Funcționarea motorului la bord conform unui ciclu de încercare specificat la 3.2 nu poate fi întotdeauna posibil, dar procedeul de încercare trebuie, în funcție de recomandarea producătorului de motoare și aprobarea Administrației, să fie cât mai apropiată de procedeul descris la 12.4.2. Deci, valorile măsurate în acest caz nu pot fi direct **comparate** cu rezultatele obținute pe standul de încercări din cauză că valorile măsurate sunt foarte mult **dependente** de ciclurile de încercare.

12.7.3.9.3 Dacă un număr de puncte de măsurare la bord este diferit de **cele de pe** standul de încercare, punctele de măsurare și factorii de încărcare vor fi în conformitate cu recomandările producătorului de motoare și aprobate de către Administrație.

12.7.3.10 Calculul emanațiilor gazoase

Procedeul de calculare specificat în capitolul 12.6 trebuie aplicat având în vedere **cerințele speciale ale acestui procedeu simplificat de măsurare**

12.7.3.11 Toleranțe

12.7.3.11.1 Datorită posibilelor deviații în cadrul aplicării la bordul navei a procedeelelor **simplificate** de măsurare din acest capitol, doar la încercările de confirmare și la **inspecțiile** periodice și intermediare se poate accepta o toleranță de 10% din valoarea limită aplicabilă.

12.7.3.11.2 Emanația de **NO_x** la un motor poate varia funcție de calitatea aprinderii combustibilului și azotul latent din combustibil. Dacă nu există suficiente informații disponibile cu privire la influența calității aprinderii la formarea de **NO_x** pe durata procesului de ardere și asupra ratei de transformare a azotului în stare latentă din combustibil care, de **asemenea**, depinde de eficiența motorului, se poate acorda o toleranță de 10% pentru o încercare la bord efectuată cu un combustibil grad - **RM** (ISO 8217, 1996) cu rezerva că la încercarea de **precertificare** la bord nu va exista nici o toleranță. Motorina folosită va fi analizată în ceea ce privește compoziția de carbon, hidrogen, **azot**, sulf și, în volumul menționat în ISO 8217, 1996, de componente suplimentare necesare pentru o **specificație** clară a combustibilului.

12.7.3.11.3 În nici un caz toleranța maximă permisă atât pentru simplificarea măsurătorilor la bord cât și pentru utilizarea combustibilului greu conform ISO **8217**, 19%, grad - **RM**, nu trebuie să depășească 15% din valoarea limită aplicabilă.

12.8. Anexe

ANEXA 12.8.1. – Model de Certificat **EIAPP**

ANEXA 12.8.2.- Scheme logice privind inspecțiile și certificarea **motoarelor** diesel navale

ANEXA 12.8.3 - Prescurtări de termeni, indici și simboluri

ANEXA 12.8.4 - Raport de încercare privind luarea de probe

ANEXA 12.8.5 - Specificații pentru **analizoarele** utilizate la determinarea componentelor

din gazele emenate de motoarele diesel navale

ANEXA 12.8.6- **Calibrarea** aparatelor analitice

ANEXA 12.8.7 - Calcularea debitului masic al gazelor arse de evacuare (Metoda de compensare cu carbon)

ANEXA 12.8.8 - Lista de verificare pentru metoda de verificare a parametrilor motorului

12.8.1. Supliment la Certificatul Internațional al motorului privind prevenirea poluării aerului (Certificat EIAPP)

Date privind **construcția**, fișa tehnică și mijloacele de **verificare**

Referitor la prevederile Anexei VI din Convenția internațională din 1973 pentru prevenirea poluării de către **nave**, așa cum a fost modificată prin Protocolul din 1978 referitor la aceasta (denumită în continuare "**Convenție**") și la cele **ale** Codului tehnic privind **emanațiile** de oxizi de **azot** de la motoarele diesel navale (denumit în continuare Codul tehnic **NO_x**).

Observații:

1. Această consemnare împreună cu anexele sale va fi permanent atașată **Certificatului EIAPP**. Certificatul EIAPP va însoți motorul pe durata funcționării la bordul navei și va fi oricând pus la dispoziție la bordul navei.

2. Dacă limba Consemnării originale nu este nici engleza nici franceza, textul va **include o traducere în una din aceste limbi.**
3. Dacă nu se prevede **altfel**, regulile menționate **în** prezentul Cod se referă la regulile din Anexa VI a Convenției și cerințele din Fișa tehnică a motorului și a mijloacelor sale de **verificare** menționate ca cerințe obligatorii în Codul tehnic **NO_x**.

12.8.1.1 Caracteristicile motorului

- 1.1 Denumirea și adresa producătorului.....
 - 1.2 Locul de construcție a motorului.....
 - 1.3 Data de construcție a motorului.....
 - 1.4 Locul efectuării **inspecției de precertificare**
 - 1.5 Data efectuării **inspecției de precertificare**.....
 - 1.6 Tipul motorului și numărul modelului.....
 - 1.7 Seria de fabricație a motorului.....
 - 1.8 Dacă este cazul, **motorul** este unul **original** ... sau face parte ... dintr-o familie ... sau grup ... de motoare.....
 - 1.9 Ciclul (ciclurile) de încercare (vezi capitolul 3 din Codul tehnic **NO_x**
 - 1.10 Puterea nominală (kW) și turația (RPM).....
 - 1.11 Numărul de aprobare al motorului.....
 - 1.12 Specificația privind combustibilul de încercare.....
 - 1.13 Numărul de aprobare destinat dispozitivului de reducere a **NO_x**, (dacă este **instalat**).....
 - 1.14 Limita emanației de **NO_x** (g/kWh) (Regula 13 a Anexei VI).....
 - 1.15 Valoarea reală a emanației de **NO_x** a motorului.....
- ### 12.8.1.2 Caracteristici din Fișa tehnică
- 2.1 Numărul de **identificare/aprobare** din Fișa tehnică.....
 - 2.2 Data de aprobare a Fișei tehnice.....

2.3 Fișa **tehnică**, așa cum se cere în capitolul 12.3 din Codul tehnic privind emanația de **NO_x** este o parte esențială din Certificatul **EIAPP** și trebuie întotdeauna să însoțească un

motor pe perioada funcționării sale la bordul navei și să fie întotdeauna disponibil la **bordul** navei.

12.8.1.3. **Specificații privind mijloacele de verificare pentru inspecția parametrilor motorului**

3.1 Numărul de **identificare/aprobare** a mijloacelor de verificare.....

3.2 Data aprobării mijloacelor de verificare.....

3.3 Specificațiile privind mijloacele de verificare, așa cum se cere în capitolul 12.7 din Codul tehnic privind emanația de NO_x este o parte esențială din Certificatul **EIAPP** și trebuie întotdeauna să însoțească un motor pe perioada funcționării sale la bordul navei și să fie întotdeauna disponibil la bordul navei.

PRIN PREZENTA SE CERTIFICĂ că această consemnare este corectă din toate punctele de vedere.

Eliberat la
(*Locul de eliberare a consemnării*)

.....
(*semnătura reprezentantului legal autorizat
cu eliberarea certificatului*)

(*Sigiliul sau ștampila autorității, după caz*)

12.8.2. **Scheme logice privind inspecțiile și certificarea motoarelor diesel navale**

Opțiunile și procesele privind conformitatea inspecției și certificării motoarelor diesel navale, așa cum s-a menționat în **capitolul 12.3** din **prezentul** Cod,

Etapa I - Inspecția de **precertificare** la întreprinderea **producătorului**, Fig. 12.3

Etapa II - Inspecția inițială la bordul **navei**, Fig. 12.4

Etapa III - Inspecția periodică la bordul **navei**, Fig. 12.5

12.8.3. **Abrevieri, indici și simboluri**

Acest appendice enumera toate abrevierile, indicii, simbolurile și descrierile de termeni și variabile folosiți în cadrul **prezentului** Cod, astfel:

1. Tabelul 12.7. Simboluri utilizate pentru reprezentarea componentelor chimice din emanațiile de gaze ale motorului diesel care se regăsesc în întreg Codul;
2. Tabelul 12.8. Abrevieri pentru **analizoarele** folosite la măsurarea emanațiilor de gaze de la motoarele diesel, așa cum se specifică în anexa 12.8.5 din prezentul Cod;
3. Tabelul 12.9. Simboluri și indici de termeni și variabile utilizate în toate formulele de calcul a debitului masic ai gazelor arse de evacuare în cadrul metodelor de măsurare pe standul de încercare, așa cum se specifică în capitolul 12.6 din prezentul Cod;
4. Tabelul 12.10. Indici și descrieri de termeni și variabile utilizate în toate formulele de calcul a debitului gazelor de evacuare din cadrul metodei de compensare cu **carbon**, așa cum se specifică în anexa 12.8.7 din acest Cod.

Tabelul 12.7. Simboluri pentru componentele chimice ale emanațiilor motorului diesel naval

Simbol	Componentă chimică	Simbol	Componentă chimică
C_3H_8	Propan	NO	Oxid nitric
CO	Monoxid de carbon	NO ₂	Dioxid de azot
CO ₂	Dioxid de carbon	NO _x	Oxizi de azot
HC	Hidrocarburi	O ₂	Oxygen
H ₂ O	Apă		

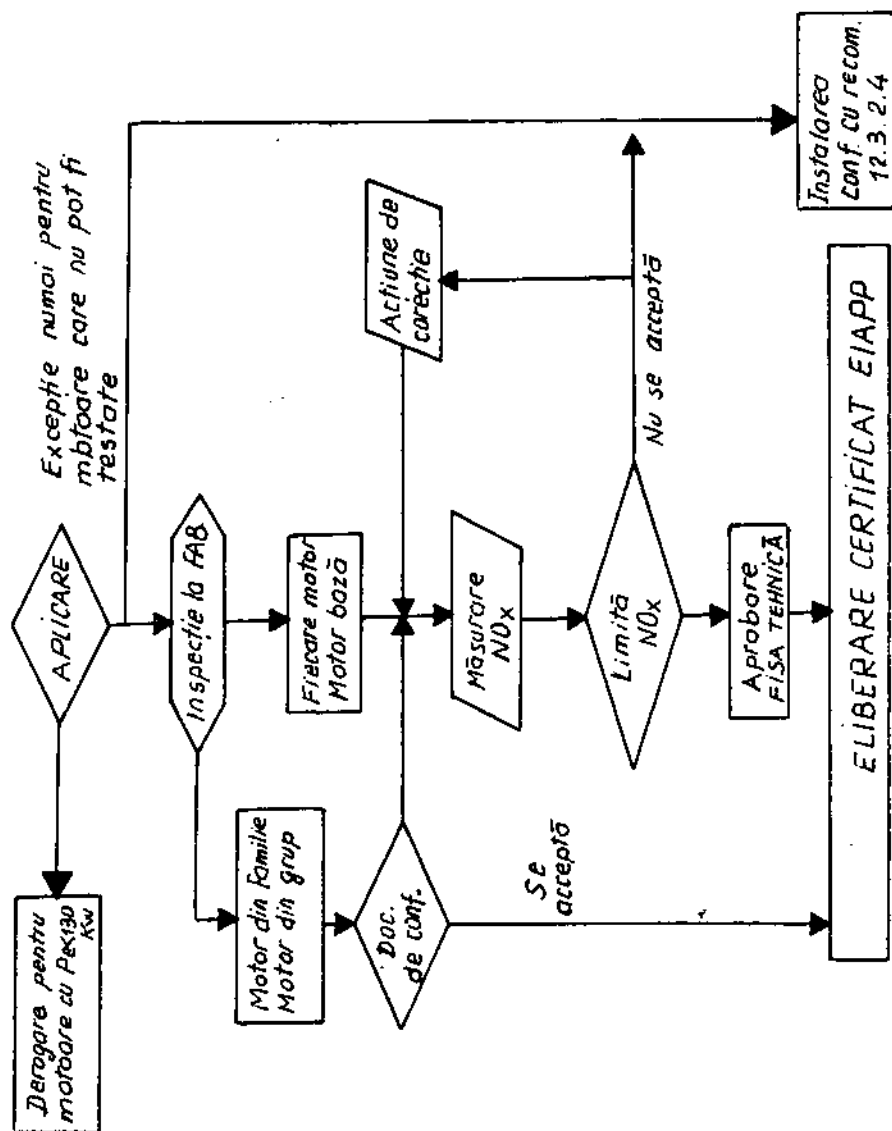


Fig. 12.3. Supravegherea pentru precertificare în uzina constructoare

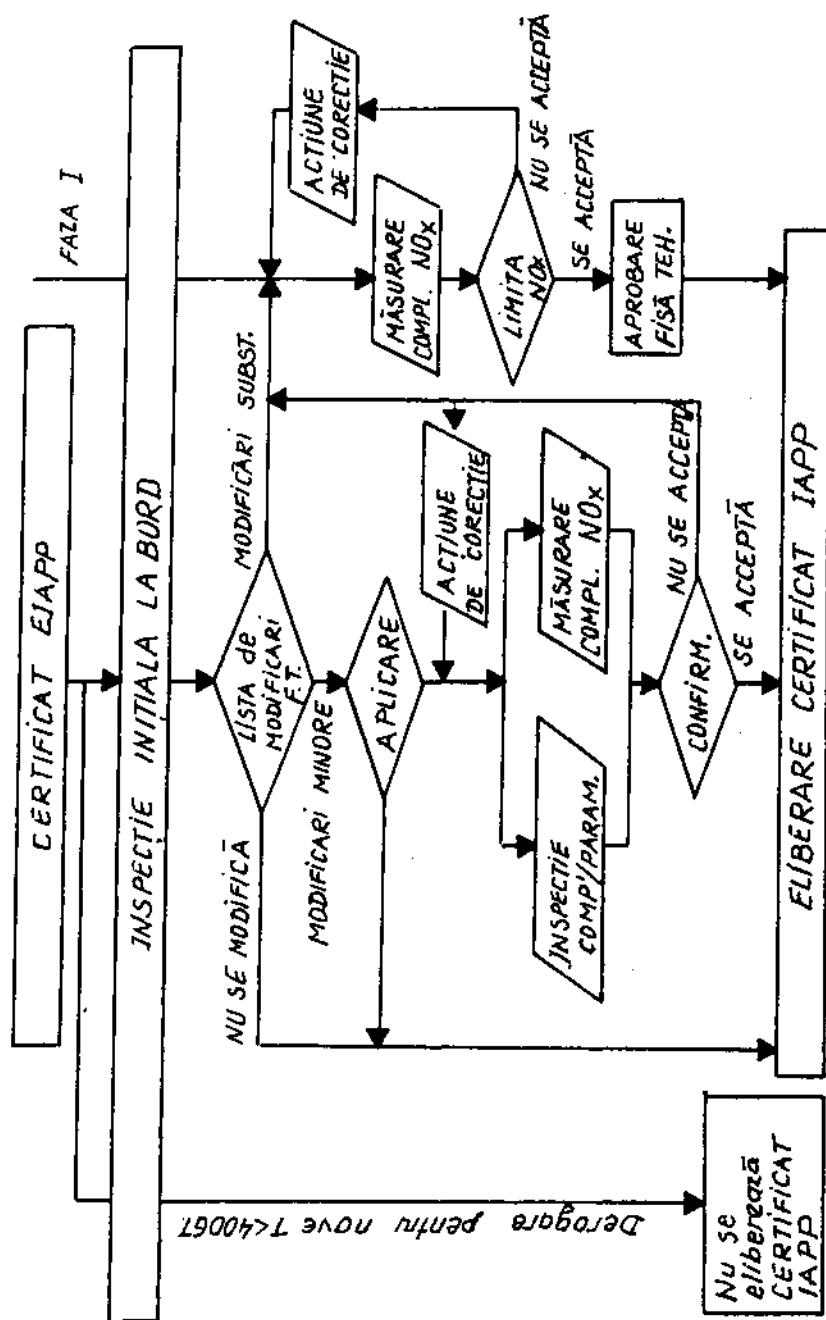


Fig. 12.4. Supravegherea inițială la bordul navei

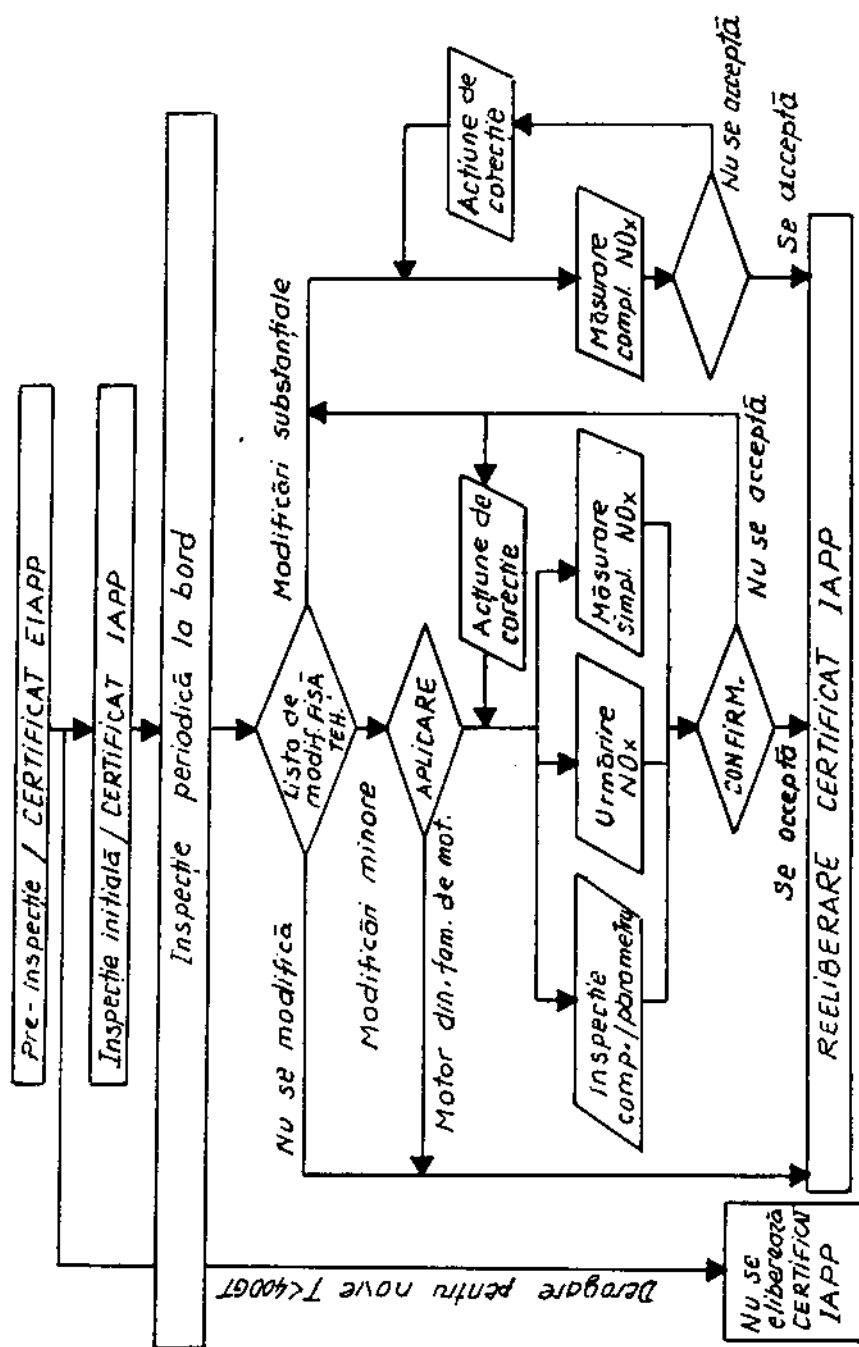


Fig. 12.5. Supravegherea periodică la bordul navei

Tabelul 12.8. Abrevieri pentru **analizoarele** folosite la **măsurarea** emanațiilor de gaze de la motoarele **diesel**

Abreviere	Termen	Abreviere	Termen
CFV	Debit critic Venturi	HFID	Detector de ionizare a flăcării la căldură
CLD	Detector chemiluminiscent	NDIR	Analizor nedispersiv cu radiații (infraroșii)
ECS	Senzor electrochimic	PDP	Pompă cu piston plonjor
FID	Detector de ionizare flacăra	PMD	Detector paramagnetic
FTIR	Analizor de transformare Fourier în infraroșu	UVD	Detector de ultraviolete
HCLD	Detector chemiluminiscent de căldură	ZRDO	Senzor de dioxid de zirconium

Tabelul 12.9. Simboluri și indici pentru **termenii** și variabilele folosite în **formulele** metodelor **de** măsurare pe standul **de** încercare (vezi capitolul 5 din acest Cod)

Simbol	Termen	Dimensiune
A_T	Suprafața secțiunii țevii de evacuare a gazelor arse	m^2
Cl	Hidrocarbură echivalentă de carbon 1	-
$conc$	Concentrație	ppm sau Vol%
$conc_c$	Concentrație de bază corectată	ppm sau Vol%
EAF	Factor al excesului de aer (k aer uscat/k combustibil)	kg/kg
EAF_{ref}	Factor al excesului de aer (k aer uscat/k combustibil) condiții de referință	fcs/fcg
I	Factor atmosferic de laborator (aplicabil numai La familia de motoare)	-
F_{FCB}	Factor specific de combustibil pentru calcularea compensării cu carbon	-
F_{FD}	Factor specific de combustibil pentru calcularea debitului gazelor arse de evacuare pe bază uscată	-
F_{FH}	Factor specific de combustibil utilizat în calculele concentrațiilor umede din concentrațiile uscate	-
F_{FW}	Factor specific de combustibil pentru calcularea debitului gazelor arse de evacuare pe bază umedă	-
G_{AIRW}	Debitul raasic de aer de admisie pe bază umedă	kg/h
G_{AIRD}	Debitul raasic de aer de admisie pe bază uscată	kg/h

Simbol	Termen	Dimensiune
G_{EXH}	Debitul masic al gazelor arse de evacuare pe bază umedă	kg/h
G_{FUEL}	Debitul masic de combustibil	kg/h
GAS_i	Valoarea medie a emanației specifice de NO_i	g/kWh
H_{REF}	Valoarea de referință a umidității absolute (10,71 g/kg; pentru calcularea de NO_i și a anumitor factori de corecție a umidității)	g/kg
H_a	Umiditatea absolută a aerului de admisie	g/kg
$HTCRAT$	Raportul Hidrogen-Carbon	mol/mol
i	Indice ce denotă un caz specific	-
$KHDIES$	Factorul de corecție a umidității pentru NO_i de la motoarele diesel navale	-
$K_{W,a}$	Factor de corecție al raportului uscat-umed pentru aerul de admisie	-
$K_{W,g}$	Factor de corecție al raportului uscat-umed pentru gazele arse de evacuare brute (impure)	-
L	Momentul de torsiune în procente față de momentul maxim de torsiune pentru turapa de încercare a motorului	%
$mass$	Debitul masic al emanațiilor	g/h
p_a	Presiunea de saturație cu vapori a aerului de admisie al motorului (din ISO 3046-1, 1995: $p_y = PSY$, presiunea totală a mediului înconjurător)	kPa
P_i	Presiunea barometrică totală (din ISO 3046-1, 1996: $p_i = PX$, presiunea totală a mediului înconjurător, $p_y = PY$, presiunea totală de încercare a mediului înconjurător)	kPa
p_i	Presiunea atmosferică uscată	kPa
P	Puterea, frână necorectată	kW
P_{ALT}	Puterea totală declarată absorbită de piesele auxiliare montate doar pentru încercare, dar care nu se cer la bordul navei	kW
P_{ϕ}	Puterea maximă declarată sau măsurată la turapa de încercare a motorului conform condițiilor de încercare	kW
r	r Raportul suprafețelor secțiunii din proba isokinetică și conducta de evacuare a gazelor arse	-
R_a	Umiditatea relativă a aerului de admisie	%
R_f	Factorul de răspuns FID	-
$R_{f,M}$	Factorul de răspuns FID pentru metanol	-
S	Instalație dinamometru	kW
T_a	Temperatura absolută a aerului de admisie	K

Simbol	Termen	Dimensiune
T_{Da}	Temperatura absolută a punctului de condensare	K
T_{Sc}	Temperatura aerului de răcire	K
T_{ref}	Temperatura de referință (aer de ardere: 29S K)	K
T_{SCRd}	Temperatura de referință a aerului de răcire	K
V_{AURD}	Debitul aerului de admisie pe baza uscată	m ³ /h
V_{AURA}	Debitul aerului de admisie pe bază umedă	ra ³ /h
V_{EXHD}	Debitul gazelor arse de evacuare pe bază uscată	ra ³ /h
VW	Debitul gazelor arse de evacuare pe bază umedă	ra ³ /h
W_F	Factor de încărcare	-
W_{FE}	Factor real de încărcare	-

Tabelul 12.10. Simboluri și descrieri de termeni și variabile utilizate în formulele pentru metoda de compensare cu carbon.

Simbol	Descriere	Dimensiune	Observații
ALF	Conținutul de H din combustibil	% m/m	
A_{WC}	Masa atomică a C		
A_{WH}	Masa atomică a H		
A_{WN}	Masa atomică a N		
A_{WO}	Masa atomică a O		
A_{WS}	Masa atomică a S		
BET	Conținutul de C din combustibil	% ra/ra	
$CO2D$	Concentrația de CO ₂	% V/V	la evacuare uscată
$CO2V$	Concentrația de CO ₂	% V/V(umed)	la evacuare umedă
COD	Concentrația de CO	ppm	la evacuare uscată
COW	Concentrația de CO	ppm	b evacuare umedă
CW	Funingine	mg/m ³	b evacuare umedă
DEL	Conținutul de N din combustibil	% m/m	

Simbol	Descriere	Dimensiune	Observații
EAFCO	Factorul de exces de aer bazat pe arderea completă și concentrația de CO_2 , I_{XCO_2}	kg/kg	
EAFEXH	Factorul de exces de aer bazat pe concentrația de carbon din gazele arse de evacuare conținute de componente I_x	kg/kg	
EPS	Conținutul de O din combustibil	% m/m	
ETA	Conținutul de N din aerul de ardere umed	% m/m	
EXHCPN	Raportul componentelor cu carbon din gazele arse de evacuare . c	V/V	
EXHDENS	Densitatea evacuării umede	kg/m ³	
FFCB	Factor specific de combustibil pentru calcularea compensării cu carbon		
FFD	Factor specific de combustibil pentru calcularea debitului gazelor arse de evacuare pe bază uscată		bază uscată
FFH	Factor specific de combustibil utilizat la calcularea concentrației umede din concentrația uscată		
FFV	Factor specific de combustibil pentru calcularea debitului gazelor arse de evacuare pe bază umedă		bază umedă
GAIRD	Masa de aer de ardere	kg/h	aer de ardere uscat
GAIRW	Masa de aer de ardere	kg/h	aer de ardere umed
CAM	Conținutul de S din combustibil	% m/m	
GCO	Emanație de CO	g/h	
GC02	Emanație de CO_2	g/h	
GEXHD	Debitul masic al oazelor arse de evacuare	kg/h	evacuare uscată
gexhw	Debitul masic al gazelor arse de evacuare calculată prin metoda compensării cu carbon, G_{FAIRW}	kg/h	
GEXHW	Debitul masic al oazelor arse de evacuare	kg/h	evacuare umedă
GFUEL	Debitul raasic al combustibilului	kg/h	
GHC	Emanații de HC	g/h	hidrocarburi
GH2O	Emanații de H_2O	g/h	
GN2	Emanații de N_2	g/h	

Simbol	Descriere	Dimensiune	Observații
<i>GNO</i>	Emanații de NO	g/h	
<i>GNO₂</i>	Emanații de NO ₂	g/h	
<i>GO₂</i>	Emanații de O ₂	g/h	
<i>GSO₂</i>	Emanații de SO ₂	g/h	
<i>HCD</i>	Hidrocarburi	ppm Cl	la evacuare uscată
<i>HCW</i>	Hidrocarburi	ppm Cl	la evacuare umedă
<i>HTCRAFT</i>	Media Hidrogen-Carbon din combustibil, a	mol/mol	
<i>MV...</i>	Volum molecular al ...	l/mol	gas individual
<i>MW...</i>	Masa moleculară a ...	g/mol	gas individual
<i>NO₂W</i>	Concentrația de NO ₂	ppm	la evacuare umedă
<i>NOW</i>	Concentrația de NO	ppm	la evacuare umedă
<i>NUE</i>	Conținutul de apă din aerul de ardere	% m/m	
<i>O₂D</i>	Concentrația de O ₂	% V/V	la evacuare uscată
<i>O₂D</i>	Concentrația de O ₂	% V/V (umed)	la evacuare umedă
<i>STOIAR</i>	Solicitare stochiometrică de aer pentru arderea unui litru de combustibil	kg/kg	
<i>TAU</i>	Conținutul de oxigen din aerul de ardere umed	% m/m	aer umed
<i>TAU1</i>	Conținutul de oxigen din aerul de ardere umed care este evacuat	% m/m	aer umed
<i>TAU2</i>	Conținutul de oxigen din aerul de ardere umed care este ars	% m/m	aer umed
<i>VCO</i>	Debitul de CO	ra ³ /h	(conținut de evacuare)
<i>VC02</i>	Debitul de CO ₂	ra'/h	(conținut de evacuare)
<i>VH₂O</i>	Debitul de H ₂ O	ra ³ /h	(conținut de evacuare)
<i>VHC</i>	Debitul de HC	raVh	(conținut de evacuare)

Simbol	Descriere	Dimensiune	Observații
VN_2	Debitul de N_2	ra^3/h	(conținut de evacuare)
VNO	Debitul de NO	m^3/h	(conținut de evacuare)
VNO_2	Debitul de NO_2	ra'/h	(conținut de evacuare)
VO_2	Debitul de O_2	ra'/h	(conținut de evacuare)
VSO_2	Debitul de SO_2	ra'/h	(conținut de evacuare)

Note: - Pentru m^3 STANDARD sau litru STANDARD, sunt utilizate dimensiunile std. m^3 și l. m^3 STANDARD ai unui gaz se situează între 273,15 K și 101,3 kPa.

12.8.4. Raport de încercare privind luarea de probe

Raport de încercare privind emansiile Nr. Informații asupra motorului

Tabelul 12.11. Date privind încercarea motorului

Motor	
Producător	
Tip motor	
Identificare grup sau familie	
Număr de fabricație	
Turața nominală	rpm
Puterea nominală	kW
Turața intermediară	rpm
Momentul maxim de torsiune la turața intermediară	Nm
Temporizarea injectiei statice	deg. CABTDC
Reglarea injectiei electronice	no: yes:
Sincronizarea injectiei variabile	no: yes:
Geometria variabilă a turbosufletiei	no: yes:
Diametrul interior al cilindrului	m
Cursa pistonului	m

Raportul de compresie nominală			
Presiunea medie reală, la turația nominală		kPa	
Presiunea maximă a cilindrilor, la puterea nominală		kPa	
Numărul și configurația cilindrilor		Număr:	V: Paralel:
Auxiliare			
Condiții specifice ale mediului:			
Temperatura maximă a apei de mare		°C	
Temperatura maximă a aerului de alimentare, dacă este cazul		°C	
Instalație de răcire cu agent intermediar spec.			
Instalație de răcire cu stadii de alimentare spec. cu aer			
Temperatură scăzută/ridică a punctelor fixate ale instalației de răcire		°C	
Scădere maximă a admisiei		kPa	
Contrapresiunea maximă a gazelor arse de evacuare		kPa	
Specificație combustibil lichid			
Temperatură combustibil lichid		°C	
Specificație ulei de ungere			
Aplicare/Destinat pentru:			
Client			
Utilizare/instalare finală, navă			
Utilizare/instalare finală, motor		Principal:	Auxiliar:
Rezultatele încercării privind emansiile:			
Cielu			
NO _x			g/kWh
Identificare încercare			
Data/ora			
Loc de încercare			
Numărul încercării			
Inspector			
Data și locul raportului			

Semnătura	
-----------	--

Raport de încercare privind emanațiile Nr. Informații asupra motorului

Tabelul 12.12. date privind familia de motoare

Date privind familia/grupul de motoare (Specificații obișnuite)	
Ciclul de ardere	ciclu în 2 timpi/ciclu în 4 timpi
Agent de răcire	aer/apă
Configurația cilindrilor	Se cere să fie scris, doar dacă se utilizează dispozitivele de purificare a aerului
Metoda de aspirație	cu aspirație naturală/sub presiune
Tipul de combustibil ce urmează să fie utilizat la bord	Combustibil distilat/ distilat sau greu/mixt
Camera de ardere	Cameră deschisă/cameră compartimentată
Configurația canalului de supapă	Peretele chiulasei/cilindrului
Dimensiunea și numărul canalelor de supapă	
Tipul instalației de combustibil	

Tabelul 12.13. Diverse caracteristici

Recircularea gazelor arse de evacuare	no/yes
Injectie de apă/emulsie	no/yes
Injectie de aer	no/yes
Instalație de răcire de alimentare	no/yes
Tratarea gazelor arse după evacuare	no/yes
Tipul de tratare a gazelor arse după evacuare	
Combustibil mixt	no/yes

Tabelul 12.14. Date privind familia (grupul) de motoare

Date privind familia/grupul de motoare (Alegerea motorului variantă de bază pentru încercarea pe stand)	
Identificare familie/grup	
Metoda alimentării sub presiune	
Instalație de răcire de alimentare cu aer	

Criteriul de alegere (se specifică)	Viteza maximă de alimentare cu combustibil / altă metodă (se specifică)				
Numărul de cilindri					
Puterea max. nominală pe cilindru					
Turația nominală					
Sincronizarea (domeniul) injectiei					
Motor-variantă de bază cu max. combustibil					
Motor • variantă de bază ales					Variantă de bază
Utilizare					

Raport de încercare privind **emanațiile** Nr.....Dale tabelare privind încercarea

Tabelul 12.15. Date privind emanația de gaze

Țevi de evacuare a gazelor arse	
Diametrul	mm
Lungimea	m
Izolația	no: yes:
Localizarea eșantionului	
Observații	

Tabelul 12.16. Dale privind echipamentul de măsurare

Echipament de măsurare					
	Producător	Model	Domenii de măsurare	Calibrare	
				Conc. interval gaze	Abatere
Analizor					
Analizor de NO _x			ppm		‰
Analizor de CO			ppm		‰
Analizor de CO ₂			‰		‰
Analizor de O ₂			‰		‰
Analizor HC			ppm		‰
Turație			rpm		‰
Moment de torsiune			Nm		‰

Puterea, dacă este cazul			kW		%
Debitul combustibilului					%
Debitul aerului					%
Debitul gazelor arse de evacuare					%
Temperaturi					
Agent de răcire			°C		°C
Lubrifiant			°C		°C
Gaze arse de evacuare			°C		°C
Aer de admisie			°C		°C
Aer intermediar de răcire			°C		°C
Combustibil			°C		°C
Presiuni					
Gaze arse de evacuare			kPa		%
Colector de admisie			kPa		%
Atmosferică			kPa		%
Presiunea vaporilor					
Aer de admisie			kPa		%
Umiditatea					
Aer de admisie			kPa		%

Tabelul 12.17. Caracteristici ale combustibilului

Tipul combustibilului				
Proprietăți combustibil:			Analiza elementelor componente ale combustibilului	
Densitate	ISO 3675	kg/l	Carbon	% masă
Vâscozitate	ISO 3104	mm ² /s	Hidrogen	% masă
			Azot	% masă
			Oxygen	% roasi
			Sulf	% masă
			LHV/Hu	% masă

Tabelul 12.8. Datele din raportul de încercare privind emanațiile de gaze

Modul		1	2	3
Puterea/Momentul de torsiune	%			
Turația	%			
Ora la începerea modului				

Date asupra mediului			
Presiunea atmosferică	kPa		
Temperatura aerului de admisie	°C		
Umiditatea aerului de admisie	g/kg		
Factor atmosferic (fa)			

Date privind emanațiile gazoase			
Concentrație de NO _x uscat/umed	ppm		
Concentrație de CO uscat/umed	ppm		
Concentrație de CO ₂ uscat/umed	%		
Concentrație de O ₂ uscat/umed	%		
Concentrație de HC uscat/umed	ppm		
Factor de corecție a umidității NO _x			
Factor de specificatie de combustibil (FFH)			
Factor de corecție uscat/umed			
Debit NO _x	kg/h		
Debit CO	kg/h		
Debit CO ₂	kg/h		
Debit O ₂	kg/h		
Debit HC	kg/h		
Debit SO _x	kg/h		
NO _x specific	g/kWh		

Modul		1	2	3
Puterea/Momentul de torsiune	%			
Turația	%			
Ora la începerea modului				

Date asupra motorului			
Turația	rpm		
Puterea auxiliari	kW		
Reglarea dinamometrică	kW		
Puterea	kW		
Presiunea medie reala	bar		
Poziție cremalieră	mm		
Consum spec. necorectat de comb.	g/kWh		
Debit combustibil	kg/h		
Debit aer	kg/h		
Debit gaze arse de evacuare	kg/h		

Temperatura gazelor arse de evacuare	°C			
Contrapresiune gaze arse de evac.	mbar			
Temperatura agentului de răcire la ieșirea din cilindru	°C	-		
Temperatura agentului de răcire la intrarea în cilindru	°C			
Presiunea agentului de răcire în cilindru	bar			
Temperatura aerului de răcire intermediar	°C			
Temperatura lubrifiantului	°C			
Presiunea lubrifiantului	bar			
Decomprimare la intrare	rabar			

12.8.5. Specificații pentru **analizoarele** ce urmează a fi utilizate la determinarea componentelor gazoase din emanațiile de la motoarele diesel

12.8.5.1. Generalități

1. **Analizoarele** vor avea un domeniu de măsurare corespunzător pentru precizia cerută la măsurarea concentrațiilor componentelor din gazele arse de evacuare. Toate analizoarele trebuie să poată face măsurători continue ale fluxului de gaze și să dea o indicație continuă de ieșire care să poată fi înregistrată. Se recomandă ca analizoarele să funcționeze astfel încât concentrația măsurată să se situeze între 15% și 100% din valoarea întregii scale a aparatului.

2. Dacă se utilizează dispozitive de citire (computere, înregistratoare automate de date etc.) care au suficientă precizie și o rezoluție sub 15% la scara maximă, se pot accepta concentrații sub 15% din scala **maximă**. În acest caz, trebuie efectuate **calibrări** suplimentare pentru a asigura precizia curbelor de **etalonare**.

3. Compatibilitatea electromagnetică (EMC) a echipamentului trebuie să fie astfel încât să reducă la minim erorile suplimentare.

4. Definiții

4.1. **Repetabilitatea** unui analizor este definită ca fiind de 2,5 ori abaterea standard a 10 indicații repetate la un gaz de **calibrare** dat.

4.2. Indicația de **referință** a unui analizor este definită ca fiind indicația medie, inclusiv paraziții, la un gaz de referință într-un interval de timp de 30 secunde.

4.3. **Intervalul de măsurare** este definit ca fiind diferența dintre indicația de calibrare și cea de zero.

4.4. **Indicația de calibrare** este definită ca fiind o indicație medie, inclusiv paraziții, a unui gaz de calibrare într-un **interval** de timp de 30 secunde.

5. Eroarea de măsurare

Eroarea totală de măsurare a unui analizor, inclusiv sensibilitatea la alte gaze (vezi secțiunea 12.8.6.8 din anexa 12.8.6 al acestui Cod), nu trebuie să fie **mai mare** de $\pm 5\%$ din citire sau $\pm 3,5\%$ din întreaga **scală**, care dintre acestea este **mai mică**. Pentru concentrațiile sub 100 ppm, eroarea de măsurare nu trebuie să depășească ± 4 ppm.

6. Repetabilitatea

Repetabilitatea unui **analizor** nu trebuie să fie mai mare de $\pm 1\%$ din concentrația întregii scale pentru fiecare domeniu utilizat peste 155 ppm (sau ppm C) sau $\pm 2\%$ din fiecare domeniu utilizat sub 155 ppm (sau ppm C).

7. Paraziți

Indicația **maximă** a analizorului la un **gaz**, zero sau un gaz de **calibrare** pe orice perioada de 10 secunde nu trebuie să depășească 2% din întreaga scală în toate domeniile utilizate.

S. Deplasarea punctului zero

Deplasarea punctului zero într-o perioadă de o oră trebuie să fie mai mică de **2%** din întreaga scală în domeniul cel mai mic utilizat.

9. Deplasarea calibrării

Deplasarea calibrării în decurs de o oră trebuie să **fie** mai mică cu 2% din întreaga scală în domeniul cel mai mic utilizat.

12.8.5.2. Uscarea gazelor

Uscătorul opțional de gaze trebuie să aibă un efect minim asupra concentrației din gazele măsurate. **Uscătorii** chimici nu sunt o metodă acceptată de scoatere a apei din probă.

12.8.5.3. Analizoare

Gazele ce urmează a **fi** măsurate trebuie analizate cu următoarele aparate. Pentru **analizoarele** neliniare se permite utilizarea circuitelor liniare.

1. Analiza monoxidului de carbon (CO)

Analizorul monoxidului de carbon trebuie de tip absorbție **nedisersiva** în infraroșu (NDIR).

2. Analiza dioxidului de carbon (CO₂)

Analizorul dioxidului de carbon trebuie să **fie** de tip cu absorbție nedisersiva în infraroșu (NDIR).

3. Analiza oxigenului (O₂)

Analizoarele de oxigen trebuie să **fie** de tip cu senzor detector paramagnetic (**PMD**), DiOxid de **ZiRconiu** (ZRDO) sau electrochimie.

Notă: Senzorii **electrochimici** trebuie compensați la perturbarea cu CO₂ și NO_x.

4. Analiza oxizilor de azot (NO₂)

Analizorul oxizilor de azot trebuie de tip cu detector chimiluminiscent (CLD) sau detector chimiluminiscent încălzit (HCLD) cu un convertizor NO₂, și NO_x, dacă se măsoară pe o bază uscată. Dacă se măsoară pe o bază umedă, trebuie utilizat un HCLD cu convertizor menținut la peste 333 K (60 °C) cu condiția ca verificarea efectului de atenuare al apei să **fie** îndeplinită (vezi 12.8.6.8.2.2 din anexa 12.8.6 al acestui Cod).

12.8.6. Calibrarea aparatelor de măsurare analitica

12.8.6. 1 Introducere

12.8.6. 1.1 Fiecare analizor utilizat la măsurarea parametrilor unui motor trebuie calibrat oricât de des este necesar în conformitate cu cerințele **acestui** apendice.

12.8.6. 1.2 Dacă nu se specifică **altfel**, toate rezultatele măsurătorii, datele încercării sau calculele cerute de acest apendice trebuie înregistrate în raportul de încercare a motorului în conformitate cu secțiunea 12.8.5.10 din acest Cod.

12.8.6. 1.3 Precizia aparatelor de măsurare analitică

12.8.6. 1.3.1 Abaterea permisă a aparatelor la măsurătorile efectuate pe standul de încercare

Calibrarea tuturor aparatelor de **măsură** trebuie alese pe baza standardelor naționale (internaționale) și trebuie să corespundă cerințelor menționate în tabelele 12.19 și 12.20.

Tabelul 12.19. Abateri permise în legătură cu motorul la măsurătorile efectuate pe standul de încercare

Nr.	Caracteristică	Abatere permisă (valori $\pm\%$ bazate pe valorile maxime ale motorului)	Intervale de calibrare
1	Turația motorului	2%	3
2	Momentul de torsiune	2%	3
3	Puterea	2%	
4	Consumul de combustibil	1%	6
5	Consumul de aer	2%	6
6	Debitul gazelor arse de evacuare	4%	5

Tabelul 12.20 Abateri permise ale parametrilor esențiali măsurați în cadrul măsurătorilor pe standul de încercare

Nr.	Caracteristică	Abatere permisă (valori absolute \pm)	Intervale de calibrare
1	Temperatura de răcire	2 K	3
2	Temperatura de ungere	2 K	3
3	Presiunea gazelor arse de evacuare	5% din maxim	3
4	Decompresiuni colector de admisie	5% din maxim	3
5	Temperatura gazelor arse de evacuare	15 K	3
6	Temperatura aerului de admisie (aer pentru ardere)	2 K	3
7	Presiunea atmosferică	5 % din citire	3
8	Umiditatea relativă a aerului	3%	1
9	temperatura combustibilului	2 K	3

12.8.6. 1.3.2 Abateri permise ale aparatelor destinate măsurării efectuate la bordul navei în scopul verificării

Calibrarea tuturor aparatelor de măsură trebuie aleasă din standardele naționale (internaționale) și trebuie să corespundă cu cerințele menționate în *tabelele* 12.21 și 12.22.

Tabelul 12.21. Abateri permise ale aparatelor destinate măsurării parametrilor motorului la bordul navei

Nr.	Caracteristică	Abatere permisă ($\pm\%$ bazat pe valorile maxime ale motorului))	Intervale de calibrare (lună)
1	Turația motorului	2%	3

Nr.	Caracteristica	Abatere permisă (\pm % bazat pe valorile maxime ale motorului))	Intervale de calibrare (lună)
2	Momentul de torsiune		3
3	Puterea		nu se aplică
4	Consum de combustibil	4%/6% diesel / rezidual K	6
5	Consum specific de combustibil	nu se aplică	nu se aplică
6	Consum de aer	5%	6
7	Debit gaze arse de evacuare	5% calculat	6

Tabelul 12.22. Abateri permise ale aparatelor destinate măsurării altor parametri ai motorului la **bordul** navei

Nr.	Caracteristica	Abatere permisă (\pm % valori absolute sau "din citire")	Intervale de calibrare (luni)
1	Temperatura de răcire	2K	3
2	Temperatura uleiului de ungere	5K	3
3	Presiunea gazelor arse de evacuare	5% din maximum	3
4	Decompresiuni ale colectorului de admisie	5% din maximum	3
5	Temperatura gazelor ane de evacuare	15K	3
6	Temperatura aerului de admisie	2K	3
7	Presiunea atmosferici	0.5 % din citire	3
3	Umiditatea (relativi) a aerului de admisie	3%	1
9	Temperatura combustibilului	2K	3

12. 8.6.2. Gaze de etalonare

Stabilitatea tuturor gazelor de etalonare. **așa** cum se recomandă de către producător, nu trebuie depășită. Expirarea datei gazelor de etalonare menționată de către producător trebuie să fie înregistrată.

12.8.6.2.1 Gaze pure

12.8.6.2.1.1 Puritatea cerută a gazelor este definită de limitele de contaminare date în continuare. Următoarele gaze sunt disponibile pentru funcționarea **procedeelor** de măsurare pe standul de încercare:

1. azot purificat (contaminare < 1 ppm C, < 1 ppm CO, < 400 ppm CO-, ≤ 0.1 ppm NO);
2. oxigen purificat (puritate $< 99,5$ % volum O₂);
3. **mixtură** de **hidrogen-heliu** ($40 \pm 2\%$ hidrogen, heliu de compensare), (contaminare ≤ 1 ppm C, ≤ 400 ppm CO);

4. aer sintetic purificat (contaminare ≤ 1 ppm C, ≤ 1 ppm CO, < 400 ppm CO₂, $\leq 0,1$ ppma NO_x), (conținut de oxigen între 18-21% volum).

12.8.6.2.2 Gaze de calibrare

12.8.6.2.2.1 Amestecurile de gaze care au următoarele compoziții chimice trebuie să fie disponibile:

1. CO și azot purificat;
2. NO_x și azot purificat (cantitatea de NO₂, conținută în acest gaz de calibrare nu trebuie să depășească 5% din conținutul de NO);
3. O₂ și azot purificat; și
4. CO₂ și azot purificat.

Notă: Alte combinații de gaze sunt permise cu condiția ca gazele să nu reacționeze unele cu altele.

12.8.6.2.2.2 Concentrația reală a unui gaz de etalonare trebuie să fie între $\pm 2\%$ din valoarea nominală. Toate concentrațiile gazului de etalonare trebuie date pe bază de volum (procent din volum sau ppm din volum).

12.8.6.2.2.3 Gazele utilizate la etalonare se pot obține cu ajutorul unui separator de gaze diluat cu N₂ purificat sau aer sintetic purificat. Precizia dispozitivului de amestec trebuie să fie astfel încât concentrația gazelor diluate de etalonare să poată fi determinată cu o precizie de $\pm 2\%$.

12.8.6.3 Procedul de funcționare la analizoare sau instalația de extragere de probe

Procedul de funcționare la analizoare trebuie să respecte instrucțiunile de pornire și funcționare specificate de către producătorul aparatului.

12.8.6.4 Încercarea de detectare a scurgerilor

12.8.6.4.1 Trebuie efectuată o încercare a instalației pentru detectarea scurgerilor. Sonda va fi deconectată de la instalația de evacuare a gazelor arse și capătul ei astupat. Pompa analizorului va fi conectată. După o perioadă de stabilizare inițială toate debitmetrele vor indica zero; în caz contrar, circuitele de extragere a probelor vor fi verificate și eroarea corectată.

12.8.6.4.2 Media maximă a scurgerilor permise la partea de admisie trebuie să fie egală cu 0,5 % din debitul utilizat pentru partea din instalație care s-a verificat. Debitele analizorului și bypass - ului se pot folosi pentru a estima debitul ce se utilizează.

12.8.6.4.3 Altă metoda care se poate utiliza este introducerea unei noi concentrații la începutul circuitului de extragere a probelor înlocuind gazul zero cu un gaz de etalonare. După o perioadă corespunzătoare de timp, dacă citirea arată o concentrație scăzută comparativ cu concentrația introdusă; această indică probleme de etalonare sau de scurgere.

12.8.6.5 Procedul de etalonare

12.8.6.5.1 Aparatură

Aparatura trebuie calibrată și curbele de etalonare verificate în raport cu gazul standard. Aceleași debite ale gazului trebuie utilizate ca și la extragerea probelor din gazele arse de evacuare.

12.8.6.5.2 Timpul de încălzire

Timpul de încălzire trebuie să fie conform recomandărilor producătorului analizorului. Dacă nu se specifică, se recomandă o perioadă de minim 2 ore pentru încălzirea analizoarelor.

12.8.6.5.3 Analizor NDIR și HFID

Analizorul NDIR trebuie reglat dacă este necesar.

12.8.6.5.4 Etalonarea

12.8.6.5.4.1 Trebuie calibrată fiecare domeniu utilizat în mod normal.

12.8.6.5.4.2 Analizoarele de CO, CO₂, NO₂ și O₂ trebuie fixate pe zero în cazul folosirii aerului sintetic (sau azotului).

12.8.6.5.4.3 Gazele respective de etalonare trebuie introduse în analizoare, valoarea înregistrată și curba de **etalonare** stabilită conform 12.8.6.5.5 de mai jos.

12.8.6.5.4.4 Punerea la zero va fi **reverificată** și procedura de etalonare repetată dacă este necesar.

12.8.6.5.5 Stabilirea curbei de etalonare

12.8.6.5.5.1 Directive **generale**

12.8.6.5.5.1.1 Curba de etalonare a analizorului trebuie stabilită în cel puțin cinci puncte de etalonare (exclusiv zero) distanțate pe cât posibil uniform unul față de celălalt.

12.8.6.5.5.1.2 Curba de etalonare este **calculată** prin metoda celor mai mici pătrate. Dacă, gradul **polinomului** rezultat este mai mare de 3, numărul punctelor de etalonare (inclusiv zero) va fi cel puțin egal cu acest grad de **polinom** plus 2.

12.8.6.5.5.1.3 Curba de etalonare nu va diferi cu mai mult de $\pm 2\%$ din valoarea nominală a fiecărui punct de etalonare și cu **mai** mult de ± 1 din întreaga scală la punctul 0.

12.8.6.5.5.1.4 De la curba de etalonare și punctele de etalonare este posibil de verificat dacă această **etalonare** s-a efectuat corect. Diferenții parametrilor caracteristici ai **analizorului** trebuie indicați, în special:

1. domeniul de **măsurare**,
2. **sensibilitatea**, și
3. data efectuării **etalonării**.

12.8.6.5.5.2 Etalonarea sub 15% din întreaga scală

12.8.6.5.5.2.1 Curba de etalonare a analizorului **trebuie** stabilită prin cel puțin 10 puncte de etalonare (exclusiv zero) distanțate astfel încât 50% din punctele de etalonare să fie sub 10% din întreaga scală.

12.8.6.5.5.2.2 Curba de etalonare trebuie **calculată** prin metoda celor mai mici pătrate.

12.8.6.5.5.2.3 Curba de etalonare nu trebuie să difere cu mai mult de $\pm 4\%$ din **valoarea** nominală a fiecărui punct de etalonare și cu mai mult de $\pm 1\%$ din întreaga scală din punctul 0.

12.8.6.5.5.3 Metode alternative

Dacă se poate demonstra că alte tehnologii (de ex. computer, comutator electronic de domeniu etc.) permit obținerea unei precizii echivalente, atunci aceste tehnologii pot fi utilizate.

12.8.6.6 Verificarea **calibrării**

Fiecare domeniu de funcționare utilizat în mod normal trebuie să fie verificat înaintea fiecărei **analize** în conformitate cu următoarea procedură:

1. **etalonarea** trebuie verificată prin **utilizarea** unui gaz zero și a unui gaz de etalonare a **cărui** **valoare** nominală trebuie să fie de peste 80% din întreaga scală a domeniului de măsurare:
2. **daci** pentru doua puncte considerate, **valoarea** găsită nu diferă cu mai mult de $\pm 4\%$ din **întreaga** scală de la valoarea de referință **declarată**, parametrii de reglare pot fi modificați. Dacă nu, trebuie stabilită o **nouă** etalonare în conformitate cu 12.8.5.5 de mai sus.

12.8.6.7 Încercarea privind eficiența **convertizorului** de NO_x

Eficiența convertizorului utilizat la conversia de NO_2 în NO trebuie încercată așa cum se prevede în prezentul Cod.

12.8.6.7.1 Montajul pentru încercare

Utilizarea montajului de încercare așa cum se arată în fig. 12.6 de mai și procedeul de mai jos, eficiența convertizoarelor trebuie încercată cu ajutorul unui ozonizor.

12.8.6.7.2 Etalonarea CLD și HCLD trebuie calibrate în domeniul de funcționare cel mai comun urmând **specificațiile** producătorului de utilizare a gazului zero și gazului de etalonare (conținutul de NO care se poate stabili la 80% din **domeniul** de funcționare și concentrația de NO_2 , a amestecului de gaz la 5% din concentrația de NO . Analizorul NO_x

trebuie să fie în modul NO astfel încât gazul de etalonare să nu poată trece prin convertizor. Concentrația indicată va fi înregistrată.

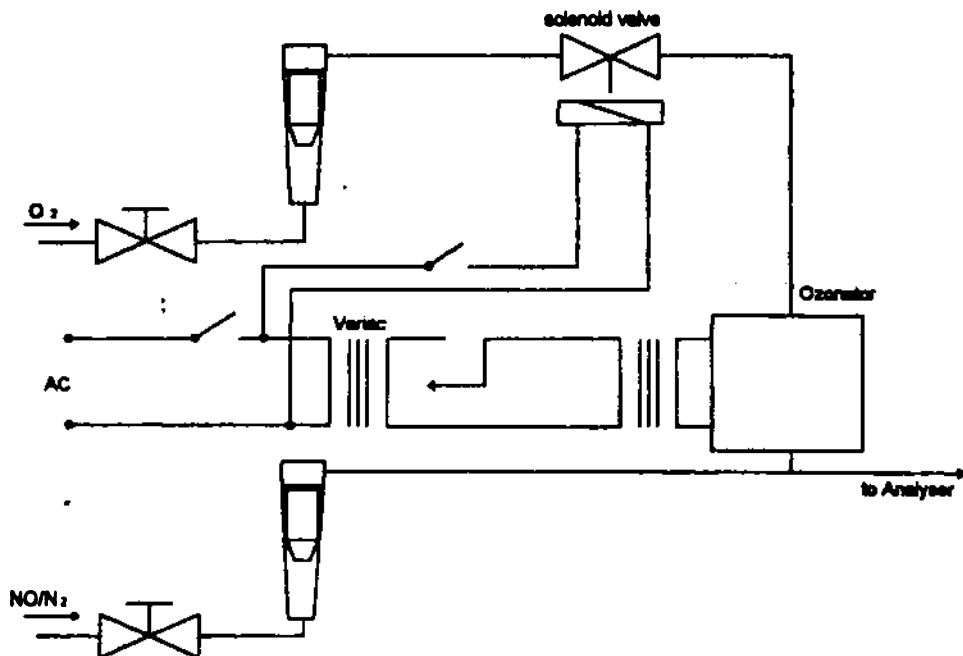


Fig. 12.6. Schema **dispozitivului** pentru verificarea eficienței convertorului **NO_x**

12.8.6.7.3 Calcularea

Eficiența **convertizorului** de **NO_x** trebuie calculată după cum urmează:

$$Eficienta(\%) = \left(1 + \frac{a-b}{c-d} \right) \cdot 100 \quad (12.20)$$

unde:

a = concentrație de **NO_x**

b = concentrație de **NO_x**

c = concentrație de **NO**

d = **concentrație** de **NO**

12.8.6.7.4 Adăugarea de oxigen

12.8.6.7.4.1 Printr-un racord în T, oxigenul sau aerul zero trebuie introduse continuu în debitul de gaz până când concentrația indicată este de aprox. 20% mai mică decât concentrația de etalonare indicată prevăzută la 7.2 de mai sus (analizorul trebuie să fie în **modul NO_x**).

12.8.6.7.4.2 Concentrația "**c**" indicată trebuie înregistrată. **Ozonizorul** trebuie ținut deconectat pe toată perioada procesului.

12.8.6.7.5 Punerea în funcțiune a **ozonizorului**

Ozonizorul va **fi** acum conectat pentru a genera **suficient** ozon în vederea reducerii concentrației de NO la **aprox.** 20% (minim 10%) din concentrația de **etalonare** dată la 12.8.7.2 de mai sus. Concentrația (d) indicată trebuie înregistrată (analizorul trebuie să **fie** în modul NO).

12.8.6.7.6 Modul NO_x

Analizorul NO trebuie apoi comutat pe modul NO_x astfel încât amestecul de gaze (**format** din NO, NO₂, O₂ și N₂) să treacă acum prin convertizor. Concentrația "a" indicată trebuie înregistrată (analizorul trebuie să **fie** în modul NO_x).

12.8.6.7.7 Oprirea ozonizorului

Ozonizorul trebuie acum deconectat. Amestecul de gaze descris la 12.8.7.6 de mai jos trece printr-un convertizor într-un detector. Concentrația "b" indicată trebuie înregistrată (analizorul trebuie să **fie** în modul NO_x).

12.8.6.7.8 Modul NO

S-a comutat în modul NO cu **ozonizorul** deconectat, debitul de oxigen sau aer sintetic trebuie să **fie** de asemenea închise. Citirea a NO_x analizorului nu trebuie să devieze cu mai mult de $\pm 5\%$ din valoarea **măsurată** conform 12.8.7.2 de mai sus (analizorul trebuie să **fie** în modul NO_x).

12.8.6.7.9 Intervalul de încercare

Eficiența **convertizorului** trebuie încercată înaintea **fiecărei etalonări** a analizorului NO_x.

12.8.6.7.10 Randamentul cerut

Randamentul **convertizorului** nu va **fi** mai mic de 90%, dar se recomandă un randament de peste 95%

Notă Dacă, cu analizorul în cel mai comun domeniu, **convertizorul** nu poate da o reducere de la 80% la 29% .

12.8.6.8 Efectele perturbării la **analizoarele** de CO, CO₂, NO_x și O₂

Gazele prezente în evacuare, **altele** decât cele care au fost analizate, pot perturba citirea în câteva moduri. Perturbarea pozitivă se poate produce la aparatele NDIR și **PMD** unde gazul **perturbator** are același efect ca gazul care a fost măsurat, dar într-un grad mai mic. Perturbarea negativă se poate produce la aparate NDIR, prin gazul **perturbator** care lărgeste banda de absorbție a gazului măsurat, și la aparatele CLD, prin gazul perturbator care atenuează radiația. **Verificările** conform 12.8..1 și 12.8..2 în **legătură** cu trebuie efectuate înaintea utilizării inițiale a analizorului și **după** intervale majore de funcționare.

12.8.6.8.1 Verificarea perturbării analizorului de CO

Apa și CO₂ pot perturba funcționarea analizorului de CO. Deci, un gaz de CO, de etalonare care are o concentrație de 80 până la 100% din întreaga scală α domeniului maxim de funcționare utilizat la încercare trebuie să **barboteze** prin apă la **temperatura** camerei și indicația analizorului înregistrată. Indicația analizorului nu va **fi** mai mare de 1% din întreaga scală α **domeniilor** egale sau mai mari de 300 ppm sau mai mare de 3 ppm pentru domeniile sub 300 ppm.

12.8.6.8.2 Verificarea atenuării la analizorul de NO_x

Cele două gaze care au un efect perturbator asupra aparatelor CLD (și HCLD) sunt CO₂ și vaporii de apă. **Indicațiile** de atenuare a acestor gaze sunt proporționale cu concentrațiile lor, și deci necesită tehnici de încercare pentru determinarea atenuării în cele mai mari concentrații așteptate care au fost experimentate în timpul încercării.

12.8.6.8.2.1 Verificarea atenuării de CO₂

12.8.6.8.2.1.1 Un gaz de CO₂ cu o concentrație de 80% până la 100% din întreaga scală α domeniului maxim de funcționare se trece prin analizorul NDIR iar valoarea CO₂ se înregistrează sub forma A. Apoi CO₂ va fi diluat aprox. 50% cu gaz de etalonare de NO și trecut prin NDIR și (H)CLD, cu valori de CO₂ și NO înregistrate sub forma B și respectiv C.

Apoi **CO₂** va fi închis și doar **gazul** de **etalonare** **NO** va **fi** trecut prin **(H)CLD** și valoarea **NO** **înregistrată** sub forma **D**.

12.8.6.8.2.1.2 Atenuarea trebuie calculată după cum urmează:

$$\%Atenuare = 1 - \left[\frac{\left(\frac{C}{D} \right)}{\left(\frac{C}{D} \right) - \left(\frac{C}{D} \right)} \right] \cdot 100 \quad (12.21)$$

și nu va fi mai mare de 3% din întreaga scală.

unde:

A = Concentrație de **CO₂** nediluată **măsurată** cu **NDIR** %

B = Concentrație de **CO₂** diluată măsurată cu **NDIR** %

C = Concentrație de **NO** diluată măsurată cu **(H)CLD** ppm

D = Concentrație de **NO** nediluată măsurată cu **(H)CLD** ppm

12.8.6.8.2.1.3 Se pot utiliza și alte metode de diluare și de măsurare a valorilor gazelor de **CO₂** și **NO** de etalonare, cura ar **fi** de exemplu amestecul dinamic.

12.8.6.8.2.2 Verificarea atenuării de apă

12.8.6.8.2.1.1 Această verificare se aplică la măsurătorile **concentrației** de gaze umede. Calculul atenuării de apă trebuie să ia în considerare diluarea gazului de etalonare **NO** cu vapori de apă și determinarea pe scală a concentrației de vapori de apă din amestec **față** de cea așteptată pe timpul încercării.

12.8.6.8.2.2.2 Un gaz de etalonare cu o **concentrație** de 80% până la 100% din **întreaga** scală a domeniului normal de funcționare trebuie trecut prin **(H)CLD** și valoarea **NC** înregistrată sub forma **D**. Gazul de etalonare **NO** trebuie apoi **barbotat** prin **apă** la temperatura camerei și trecut prin **(H)CLD** și valoarea **NO_x** înregistrată sub forma **C**. Presiunea absolută de funcționare a analizorului și temperatura apei trebuie determinate și înregistrate sub forma **E** și respectiv **F**. Presiunea vaporilor de saturație din amestec care corespunde temperaturii de **barbotare** a apei (**F**) trebuie determinată și înregistrată sub forma **G**. Concentrația de vapori de apă (în %) din amestec trebuie **calculată** astfel:

$$H = 100 \cdot \left(\frac{C}{D} \right) \quad (12.22)$$

și înregistrată sub forma **//**. Concentrația **așteptată** α gazului **NO** de etalonare diluat trebuie **calculat** astfel:

$$De = D \cdot \left(\frac{H}{100} \right) \quad (12.23)$$

și înregistrată sub forma **De**. Pentru gazele **arse** de evacuare de la motoarele diesel, **concentrația** maximă a vaporilor de apă din gazele arse de evacuare (în %) așteptată pe timpul încercării trebuie **estimată**, conform ipotezei unui raport de 1,8/1 a atomilor de **hidrogen/carbon (H/C)** din **combustibil**, din concentrația gazului de etalonare nediluat de **CO₂** (**A**, așa cum s-a măsurat la 12.8.6.8.2.1) astfel:

$$Hm = 0,9 \cdot A \quad (12.24)$$

și **înregistrată** sub forma **Hm**.

12.8.6.8.2.2.3 Atenuarea apei trebuie calculată astfel:

$$\%Atenuare = 100 \cdot \left(\frac{e^{-\alpha}}{De} \right) \cdot \frac{H}{H} \quad (12.25)$$

și nu va fi mai mare de 3%.

unde:

De = Concentrația diluată de NO care se așteaptă ppm

C = Concentrația diluată de NO ppm

Hm = Concentrația **maximă** de vapori de apă %

H = Concentrația reală a vaporilor de apă %

Notă: Este important ca gazul de etalonare de NO să conțină o concentrație minimă de NO_2 , pentru efectuarea acestei verificări, deoarece absorbția de NO_2 din apă nu a fost luată în calculele atenuării.

12.8.6.8.3 Perturbarea analizorului de O_2

12.8.6.8.3.1 Indicația aparatului unui analizor **PMD** determinată de gaze, altele decât oxigenul, este comparativ ușoară. Echivalenții oxigenului din componentele comune ale gazelor arse de evacuare sunt date în tabelul 12.23.

Tabelul 12.23. Echivalenți de oxigen

100% concentrație de gaz	Procentaj echivalent de O_2
Dioxid de carbon, CO_2	- 0,623
Monoxid de carbon, CO	- 0,354
Oxizi de azot, NO	+ 44,4
Dioxid de azot, NO_2	+ 28,7
Apă H_2O	- 0,381

12.8.6.8.3.2 Concentrația de oxigen măsurată trebuie corectată prin următoarea formulă dacă se fac măsurători de mare precizie:

$$Perturbare = (Procentajechivalent\ de\ O_2 \cdot Concentrația\ măsurată) / 100 \quad (12.26)$$

12.8.6.8.3.3 Pentru **analizoarele ZRDO** și ECS, perturbarea produsă de gaze, altele decât oxigenul, trebuie compensată **conform** instrucțiunilor **furnizorului** de aparate.

12.8.6.9 Intervale de etalonare

Analizoarele trebuie calibrate la cel puțin 3 luni sau ori de câte ori se face o reparație sau modificare la instalație care ar putea influența **etalonarea**.

12.8.7. Calcularea debitului **masic al** gazelor arse de evacuare (metoda compensării cu carbon)

12.8.7.1 Introducere

12.8.7.1.1 Acest apendice este destinat calculării debitului masic al gazelor arse de evacuare **și/sau** consumului de aer de ardere. Ambele metode date în continuare se bazează pe măsurarea concentrației gazelor arse de evacuare și pe cunoașterea consumului de combustibil. Simbolurile și descrierile de termeni și variabile utilizate în formulele pentru metoda de măsurare a compensării cu carbon sunt date în anexa 12.8.3 a acestui Cod.

12.8.7.1.2 Această anexă include două metode de calculare a debitului masic al gazelor arse de evacuare astfel: 12.8.7.2 metoda 1 (Compensarea cu carbon) este valabilă doar folosind combustibili **fără** conținut de oxigen și azot: și 12.8.7.3 metoda 2 (Compensare

universală **carbon/oxigen**) este aplicabili pentru combustibili ce conțin **H, C, S, O, N** în proporție cunoscută.

12.8.7.1.3 Metoda 2 prevede o **derivație** ușor de înțeles și universală pentru toate **formulele** care includ toate constantele. Această metodă este prevăzută deoarece există cazuri când constantele existente, care neglijează parametrii esențiali, pot conduce la rezultate cu erori inevitabile. Folosind formulele din Metoda 2 se pot de asemenea calcula parametrii esențiali în condiții de abatere de la condițiile standard.

12.8.7.1.4 Exemplele de parametrii pentru câțiva combustibili aleși sunt date în tabelul 1. Valorile pentru compoziția combustibilului sunt date doar în **scop** de referință și nu vor fi utilizate în locul valorilor de compoziție din motorina utilizată în mod real.

Tabelul 12.24. Parametrii pentru câțiva combustibili **aleși (exemple)**

Combustibil	C%	H%	S%	O%	I	FFH	FFW	FFD	EXH DENS
Diesel	86,2	13,6	0,17	0	1 135 3,5	1,835 1,865 1,920	0,749	-0,767	1,294 1,93 1,292
RME	77,2	12,0		10,5	1 1,35 33	1,600 1,63 1,685	0,734	-0,599	1,296 1,295 1,92
Methanol	37,3	12,6	0	50,0	1 135 33	1,495 1,565 1,705	1,046	-0,354	1,233 1,246 1,272
Ethanol	52,1	13,1	0	34,7	1 1,35 33	1,65 1,704 1,807	0,965	-0,49	1,26 1,65 1,281
Gaz natural	60,6	19,3	0	1,9	1 135 33	2,309 2,372 2,689	1,078	-1,065	1,257 1,265 1,28
Propan	81,7	18,3	0	0	1 135 33	2,423 2,473 2,364	1,007	-1,025	1,268 1,273 1,284
Italan	82,7	17,3	0	0	1 135 33	2,298 2,343 2,426	0,952	-0,97	1,273 1,277 1,285

*Compoziție volumetrică: CO_2 1,10%; N_2 12,10%; CH_4 84,20%; C_2H_6 3,42%;
 C_3H_8 0,66% C_4H_{10} 0,22%; C_5H_{12} 0,05%; C_6H_{14} 0,05%;

12.8.7.1.5 Dacă nu se specifică **altfel**, toate rezultatele calculelor cerute de acest apendice vor fi menționate în raportul de încercare a motorului în conformitate cu secțiunea 5.10 din acest Cod.

12.8.7.2. Metoda 1, compensarea cu carbon

12.8.7.2.1 Această metodă include șase etape care vor fi folosite în calculul concentrațiilor din gazele arse de evacuare în legătură cu caracteristicile combustibilului.

12.8.7.2.2 Formulele date ale Metodei 1 sunt valabile doar în absența oxigenului din combustibil.

12.8.7.2.3 Prima etapă: Calcularea cererii de aer **stoichiometric**.

12.8.7.2.3.1 Procesul de ardere completă:



$$STOLAR = \left(\frac{BET}{12,011} + \frac{ALF}{(4 \cdot 1,0074)} + \frac{GAM}{32,060} \right) \cdot \frac{31,9988}{23,15} \quad (12.30)$$

12.8.7.2.4 A doua etapă: Calcularea factorului de exces de aer bazat pe arderea completă și concentrația de CO_2 .

$$EAFCD = \left\{ \left[BET \cdot 10 \cdot \frac{22,262}{(12,011 \cdot 1000)} + STOLAR \cdot \frac{23,15}{1,42895} - BET \cdot 10 \cdot \frac{22,262}{(12,011 \cdot 1000)} - \right. \right. \\ \left. \left. - GAM \cdot 10 \cdot \frac{21,891}{(32,060 \cdot 1000)} \right] \right\} \left[STOLAR \cdot \frac{90,7685}{1,2505} + \frac{0,2315}{1,42895} \right] \quad (12.31)$$

12.8.7.2.5 A treia etapă Calcularea raportului hidrogen/carbon.

$$HTCRAT = ALF \cdot \frac{12,011}{(1,00794 \cdot BET)} \quad (12.32)$$

12.8.7.2.6 A patra etapă: Calcularea concentrației uscate de hidrocarbon bazat pe procedeul ECE R-49 referitor la caracteristicile combustibilului și raportul aer/combustibil.

12.8.7.2.6.1 Conversia concentrației de la uscat la umed este dată de:

$$conc_{umed} = conc_{uscat} \cdot (1 - FHH (\text{consum combustibil}/\text{consum aer uscat})) \quad (12.33)$$

$$FHH = \frac{\text{Consum combustibil}}{\text{Consum aer uscat}} \cdot \frac{\text{Volumul de apă din procesul de ardere}}{\text{Volumul total al gazelor arse umede de evacuare}} \quad (12.34)$$

$$\begin{aligned} \text{Volumul total al gazelor arse de evacuare} = & \text{Azot din aerul de ardere} + \\ & + \text{excesul de oxigen} + \text{argonul din aerul de ardere} + \\ & + \text{apa din aerul de ardere} + \text{apa din procesul de ardere} + \\ & + CO_2 \text{ din procesul de ardere} + SO_2 \text{ din procesul de ardere} \end{aligned} \quad (12.35)$$

$$\begin{aligned}
 FFH \cdot \frac{GFUEL}{GAIRD} = & \left[10 \cdot ALF \cdot \frac{MVH_2O}{(2 \cdot 1,0079)} \right] \cdot GFUEL / ((0,7751 \\
 & / 1,2505 \cdot [GAIRD / (GFUEL \cdot STOLAR)] \cdot STOLAR + 0,2315 \\
 & / 1,42895 - \{ [GAIRD / (GFUEL \cdot STOLAR)] - 1 \} STOLAR + 0,0129 \\
 & / 1,7840 \cdot [GAIRD / (GFUEL \cdot STOLAR)] \cdot STOLAR + 0,0005 \\
 & / 1,9769 \cdot [GAIRD / (GFUEL \cdot STOLAR)] \cdot STOLAR + (ALF \cdot 10 \cdot M \cdot CO_2) \\
 & / (2 \cdot 1,0079 \cdot 1000) + [BET \cdot 10 \cdot M \cdot CO_2 / (12,001 \cdot 1000)] \\
 & + (GAM \cdot 10 \cdot M \cdot SO_2) / (32,060 \cdot 1000) \cdot GFUEL
 \end{aligned} \quad (12.36)$$

unde:

$$MVH_2O = 22,401 \text{ dm}^3/\text{mol}$$

$$MVC O = 22,262 \text{ dm}^3/\text{mol}$$

$$MVS O_2 = 21,891 \text{ dm}^3/\text{mol}$$

12.8.7.2.6.2 Din formulă rezultă:

$$FFH \cdot \frac{GFUEL}{GAIRD} = \frac{0,111127 \cdot ALF}{ALF - 0,000109 \cdot BET - 0,000157 \cdot GAM + 0,773329} \cdot \frac{GAIRD}{GFUEL} \quad (12.37)$$

și

$$FFH = \frac{0,111127 \cdot ALF}{0,773329} + (0,0555583 \cdot ALF - 0,000109 \cdot BET - 0,000157 \cdot GAM) \cdot \frac{GAIRD}{GFUEL} \quad (12.38)$$

12.8.7.2.6.3 Factorul de exces de aer este definit ca:

$$L_v = \text{consum de aer} / (\text{consum de combustibil} \cdot \text{cerere de aer stoichiometric}) \quad (12.39)$$

$$EAF CDO = \frac{GAIRD}{GFUEL \cdot STOLAR} \quad (12.40)$$

$$GAIRD = EAF CDO \cdot GFUEL \cdot STOLAR \quad (12.41)$$

$$\begin{aligned}
 CWET &= CDRY \cdot (1 - FFH \cdot GFUEL / GAIRD) \\
 &= CDRY \cdot [1 - FFH \cdot GFUEL / (EAF CDO \cdot GFUEL \cdot STOLAR)] \\
 &= CDRY \cdot [1 - FFH / (EAF CDO \cdot STOLAR)]
 \end{aligned} \quad (12.42)$$

$$\begin{aligned}
 CDRY &= CWET \cdot [1 - FFH / (EAF CDO \cdot STOLAR)] \\
 &= CWET \cdot EAF CDO \cdot STOLAR / (EAF CDO \cdot STOLAR - FFH)
 \end{aligned} \quad (12.43)$$

$$HCD = HCW \cdot EAF CDO \cdot STOLAR / (EAF CDO \cdot STOLAR - FFH) \quad (12.44)$$

12.8.7.2.7 A **cincea** etapă: Calcularea factorului de exces de aer se **bazează** pe procedeele **specificate** în **Articolul 40**, Codul de Reguli Federale al Statelor Unite (40CFR86.345-79).

$$EXHCPN = \frac{CO2D}{100} + \frac{COD}{10^6} + \frac{HCD}{10^6} \quad (12.45)$$

$$\begin{aligned} I_v &= EAFEXH = (1 / EXHCPN - COD / (10^6 \cdot 2 \cdot EXHCPN) \\ &- HCD / (10^6 \cdot EXHCPN) + HTCRAT / 4 \cdot (1 - HCD / (10^6 \cdot EXHCPN)) \\ &- 0,75 \cdot HTCRAT / (3,5(COD / (10^6 \cdot EXHCPN)) + \\ &+ ((1 - 3,5) / (1 - HCD / (10^6 \cdot EXHCPN))) / (4,77 \cdot (1 + HTCRAT / 4))) \end{aligned} \quad (12.46)$$

12.8.7.2.8 A **șasea** etapă: Calcularea masei de gaze arse de evacuare

$$\text{Debitul masic al gazelor arse de evacuare} = \text{Consum de combustibil} + \text{consum de aer de ardere} \quad (12.47)$$

(cu factorul de exces de aer definit în etapa a patra)

$$\text{consum de aer} = I_v \cdot \text{consum de combustibil} \cdot \text{cerere de aer stoichiometric} \quad (12.48)$$

$$GEVHW = GFUEL \cdot (1 + EAFEXH \cdot STOLAR) \quad (12.49)$$

12.8.7.3 Metoda **2.Compensare universală carbon/oxigen**

12.8.7.3.1 Introducere

Metoda prezentată în continuare face o descriere **usor** de înțeles a metodei de **compensare** carbon / oxigen. Ea se poate folosi dacă consumul de combustibil este măsurabil și dacă se cunoaște compoziția combustibilului și concentrațiile componentelor din gazele arse de **evacuare**.

12.8.7.3.2 Calcularea debitului masic al gazelor arse de evacuare pe baza compensării de carbon

$$\begin{aligned} GEVHW &= \frac{GFUEL \cdot BET \cdot EXHDENS \cdot 10^4}{AWC} \times \\ &\times \frac{1}{\frac{CO2W \cdot 10^4}{MWCO2} + \frac{COW}{MWCO} + \frac{HCW}{MWHC} + \frac{CW}{AWC}} \end{aligned} \quad (12.50)$$

12.8.7.3.2.1 Simplificarea de ardere **completă**:

$$GEVHW = \frac{GFUEL \cdot BET \cdot EXHDENS \cdot MWCO2}{AWC \cdot (CO2W - CO2AIR)} \quad (12.51)$$

12.8.7.3.3 Calcularea **debitului** masic al gazelor arse de evacuare pe baza compensării de oxigen

$$G_{EXHW} = G_{FUEL} \cdot \left(\frac{\frac{\text{Factor 1}}{1000 \cdot EXHDENS} + 10 \cdot \text{Factor 1} - 10 \cdot EPS}{10 \cdot TAU - \frac{\text{Factor 1}}{1000 \cdot EXHDENS}} + 1 \right) \quad (12.52)$$

unde:

$$\begin{aligned} \text{Factor 1} = 10^4 \cdot & \frac{M_{H_2O_2} \cdot O_2W}{M_{H_2O_2}} - \frac{M_{H_2O}}{M_{H_2O}} \cdot COW + \frac{M_{H_2O}}{M_{H_2O}} \cdot NOW + \\ & + \frac{2 \cdot M_{H_2O}}{M_{H_2O_2}} \cdot NO_2W - \frac{3 \cdot M_{H_2O}}{M_{H_2C}} \cdot HCW - \frac{2 \cdot M_{H_2O}}{M_{H_2C}} \cdot CW \end{aligned} \quad (12.53)$$

și

$$\text{Factor 2} = ALF \cdot \frac{M_{H_2O}}{2 \cdot M_{H_2H}} + BET \cdot \frac{2 \cdot M_{H_2O}}{M_{H_2C}} + GAM \cdot \frac{M_{H_2O}}{M_{H_2S}} \quad (12.54)$$

12.8.7.3.3.1 Simplificarea cu ardere completă:

$$\text{Factor 1}_{\text{compl}} = 10^4 \cdot \frac{M_{H_2O_2}}{M_{H_2O_2}} \cdot O_2W \quad (12.55)$$

12.8.7.3.4 Derivația compensării cu oxigen pentru arderea incompletă

12.8.7.3.4.1 Intrarea de oxigen în g/h este:

$$G_{AIRW} \cdot TAU \cdot 10 + G_{FUEL} \cdot EPS \cdot 10 \quad (12.56)$$

12.8.7.3.4.2 Ieșirea de oxigen în g/h este:

$$\begin{aligned} GO_2 + GCO_2 \cdot \frac{2 \cdot M_{H_2O}}{M_{H_2CO_2}} + GCO \cdot \frac{M_{H_2O}}{M_{H_2CO}} + GNO \cdot \frac{M_{H_2O}}{M_{H_2NO}} + \\ + GNO_2 \cdot \frac{2 \cdot M_{H_2O}}{M_{H_2NO_2}} + GSO_2 \cdot \frac{2 \cdot M_{H_2O}}{M_{H_2SO_2}} + GH_2O \cdot \frac{M_{H_2O}}{M_{H_2H_2O}} \end{aligned} \quad (12.57)$$

bazându-se pe următoarele definiții și formule, componentele individuale din gaz sunt calculate în g/h în funcție de gazul umed de evacuare (CC este funinginea în g/h).

$$GO_2 = \frac{M_{H_2O_2} \cdot 10}{M_{H_2O_2} \cdot EXHDENS} \cdot O_2W \cdot G_{EXHW} \quad (12.58)$$

$$CCO = \frac{M_{H_2CO}}{M_{H_2CO} \cdot EXHDENS \cdot 1000} \cdot COW \cdot G_{EXHW} \quad (12.59)$$

$$GNO = \frac{M_{H_2CO}}{M_{H_2NO} \cdot EXHDENS \cdot 1000} \cdot NOW \cdot G_{EXHW} \quad (12.60)$$

$$G_{NO_2} = \frac{M_{H_2NO_2}}{M_{H_2NO_2} \cdot EXHDENS \cdot 1000} \cdot NO_2W \cdot G_{EXHW} \quad (12.61)$$

$$GCO_2 = \frac{MWCO_2}{AWC} \cdot GFUEL \cdot BET \cdot 10 - GCO \cdot \frac{MWCO_2}{MWCO} -$$

$$-GHC \cdot \frac{MWCO_2}{MWC} - GC \cdot \frac{MWCO_2}{AWC} \quad (12.62)$$

$$GH_2O = \frac{MWH_2O}{2 \cdot AWH} \cdot GFUEL \cdot ALF \cdot 10 - GHC \cdot \frac{MWH_2O}{MWHC} \quad (12.63)$$

$$GSO_2 = \frac{MWCO_2}{AWS} \cdot GFUEL \cdot GAM \cdot 10 \quad (12.64)$$

$$GHC = \frac{MWHC}{MWHC \cdot EXHDENS \cdot 1000} HCW \cdot GEXHW \quad (12.65)$$

$$GC = \frac{1}{EXHDENS \cdot 1000} CW \cdot GEXHW \quad (12.66)$$

12.8.7.3.4.3 EXHDENS este calculat astfel:

$$G_{AIRW} \cdot TAU \cdot 10 + GFUEL \cdot EPS \cdot 10 = \frac{GEXHW}{10^3 \cdot EXHDENS} \times$$

$$\times \left(\frac{MWO_2 \cdot O_2W \cdot 10^4}{MWO_2} + \frac{AWO \cdot COW}{MVCO} + \frac{AWO \cdot NOW}{MVNO} + \right.$$

$$\left. + \frac{2 \cdot AWO \cdot NO_2W}{MVNO_2} - \frac{3 \cdot AWO \cdot HCW}{MWHC} - \frac{2 \cdot AWO \cdot CW}{AWC} \right) +$$

$$+ 10 \cdot GFUEL \cdot \left(\frac{ALF \cdot AWO}{2 \cdot AWH} + \frac{BET \cdot 2 \cdot AWO}{AWC} + \frac{GAM \cdot AWO}{AWS} \right) \quad (12.67)$$

12.8.7.3.4.4 Prima paranteză este definită ca Factor 1, cea de-a doua ca Factor 2 (vezi și formula (12.52) și (12-53).

unde:

$$GEXHW = G_{AIR} + GFUEL \quad (12.68)$$

12.8.7.3.4.5 Masa de aer consumat și masa de gaze arse de evacuare se pot calcula după următoarea formulă:

$$G_{AIRW} = GFUEL \cdot \left(\frac{\frac{\text{Factor1}}{1000 \cdot EXHDENS} + 10 \cdot \text{Factor2} - 10 \cdot EPS}{TAU \cdot 10 - \frac{\text{Factor1}}{1000 \cdot EXHDENS}} \right) \quad (12.69)$$

și respectiv

$$GEXHW = GFUEL \cdot \left(\frac{\frac{\text{Factor1}}{1000 \cdot EXHDENS} + 10 \cdot \text{Factor2} - 10 \cdot EPS}{TAU \cdot 10 - \frac{\text{Factor1}}{1000 \cdot EXHDENS}} + 1 \right) \quad (12.70)$$

12.8.7.3.5 Derivația compensării cu carbon pentru o ardere incompletă

12.8.7.3.5.1 Intrare carbon în g/h:

$$GFUEL \cdot BET \cdot 10 \quad (12.71)$$

12.8.7.3.5.2 Ieșire carbon în g/h:

$$GCO_2 = \frac{AWC}{AWCO_2} + GCO \cdot \frac{AWC}{AWCO} + GHC \cdot \frac{AWC}{AWHC} + GC \cdot \frac{AWC}{AWC} \quad (12.72)$$

12.8.7.3.5.3 Pe baza următoarelor definiții și formule, fiecare componentă din gaz este calculată în g/h, funcție de gazul de evacuare umed (GC este funinginea în g/h).

$$GCO_2 = \frac{AWCO_2}{AWCO_2 \cdot EXHDENS} \cdot CO_2W \cdot GEXHW \quad (12.73)$$

$$GCO = \frac{AWCO}{AWCO \cdot EXHDENS \cdot 1000} \cdot COW \cdot GEXHW \quad (12.74)$$

$$GHC = \frac{AWHC}{AWHC \cdot EXHDENS \cdot 1000} \cdot HCW \cdot GEXHW \quad (12.75)$$

$$GC = \frac{1}{EXHDENS} \cdot CW \cdot GEXHW \quad (12.76)$$

12.8.7.3.5.4 Pentru condiția de compensare:

Intrare carbon = Ieșire carbon

$$GFUEL \cdot BET \cdot 10 = \frac{GEXHW \cdot AWC}{EXHDENS \cdot 1000} \times \left(\frac{CO_2W}{AWCO_2} + \frac{COW}{AWCO} + \frac{HCW}{AWHC} + \frac{CW}{AWC} \right) \quad (12.77)$$

12.8.7.3.5.5 Calcularea debitului masic al gazelor arse de evacuare pe baza compensării de carbon:

$$GEXHW = \frac{GFUEL \cdot BET \cdot EXHDENS \cdot 10^4}{AWC} \times \frac{1}{\left(\frac{CO_2W \cdot 10^4}{AWCO_2} + \frac{COW}{AWCO} + \frac{HCW}{AWHC} + \frac{CW}{AWC} \right)} \quad (12.78)$$

12.8.7.3.6 Calcularea compozitei volumetrică a gazelor arse de evacuare și a densității gazelor arse de evacuare cu ardere incompletă

$$VCO = COW \cdot 10^6 \cdot VEXHW \quad (12.79)$$

$$VNO = NOW \cdot 10^6 \cdot VEXHW \quad (12.80)$$

$$VNO_2 = NO_2W \cdot 10^6 \cdot VEXHW \quad (12.81)$$

$$VHC = HCW \cdot 10^6 \cdot VEXHW \quad (12.82)$$

$$VH2O = \frac{\left(\frac{GAIRW \cdot NUE \cdot MWH2O}{MWH2O} + \frac{GFUEL \cdot ALF \cdot MWH2O}{2 \cdot AWH} \right)}{100} - VHC \quad (12.83)$$

$$VCO2 = \left(\frac{GAIRW \cdot CO2}{V \cdot 1.293} + \frac{ET \cdot \frac{MCO2}{AWC}}{J} \right) \cdot \frac{1}{100} - VCO - VHC \quad (12.84)$$

cu $CO2AIR = CO_2$ - concentrația din aerul de ardere (vol %).

$$TAL2 = \frac{GFUEL}{GAIRW} \cdot \left(ALF \cdot \frac{AWO}{2 \cdot AWH} + BET \cdot \frac{2 \cdot AWO}{AWS} - 1 \right) \quad (12.85)$$

$$VO2 = \frac{GAIRW \cdot (T - TNO) \cdot MVO2}{100} + \frac{(1/2) \cdot VHC}{MWO2} + VCO \cdot \frac{1}{2} + (1/2) \cdot VNO2 - \frac{CW \cdot GEXHW}{EXHDENS} \cdot \frac{2 \cdot AWO \cdot MVO2}{AWC \cdot MWO2} \quad (12.86)$$

$$VN2 = \frac{GAIRW \cdot ETA \cdot \frac{MN2}{MWN2} + GFUEL \cdot DEL \cdot \frac{MN2}{MWN2}}{100} - \frac{1}{2} VNO - \frac{1}{2} VNO \quad (12.87)$$

$$VSO2 = \frac{GFUEL \cdot GAM \cdot \frac{MSO2}{AWS}}{100} \quad (12.88)$$

$$VEXHW = VH2O + VCO2 + VO2 + VN2 + VSO2 + VCO + VNO + VNO2 + VHC \quad (12.89)$$

$$VEXHD = VEXHW - VH2O \quad (12.90)$$

$$EXHDENS = GEXHW - VH2O \quad (12.91)$$

$$KEYH = VEXHD / VEXHW \quad (12.92)$$

12.8.7.3.7 Programul pentru calcularea debitului masic al gazelor arse de evacuare

12.8.7.3.7.1 Rezultatele ambelor calcule stoichiometrice pentru calcularea carbonului și oxigenului dau compoziția totală a gazelor arse de evacuare și debitul masic al gazelor arse de evacuare inclusiv conținutul de apă.

12.8.7.3.7.2 Formula din program se bazează în principal pe gaze de evacuare umede.

12.8.7.3.7.3 Dacă se măsoară concentrațiile uscate (O_2 și CO_2), se va folosi factorul de corecție de la uscat la umed $KWEXH (=K_w)$.

12.8.7.3.7.4 Programul calculează debitul masic al gazelor arse de evacuare cu $KWEXH$ cunoscut, precum și $KWEXH$ cu debitul cunoscut al gazelor arse de evac :are. Dacă nu se cunoaște nici una din valori, programul ia o valoare preliminară pentru $KWEXH (= K_{wEXH})$ și se face calculul iterativ până când ambele valori corespund una cu alta și nu se schimbă deloc.

12.8.7.3.7.5 Dacă formula de compensare a masei este utilizată fără program, trebuie utilizat următorul factor de corecție de la uscat la umed:

$$K_{w,r,3} = \left(\frac{100}{\frac{ALF \cdot MW_{H_2O} \cdot AW_C \cdot (CO_2D)}{BET \cdot MW_{CO_2} \cdot 2 \cdot AW_H}} + NUC \cdot 1,608 \cdot 100 \right) \quad (12.93)$$

12.8.7.3.7.6 Aceeași formulă sub altă formă:

$$K_{w,r,3} = \left(\frac{100}{\frac{ALF \cdot 5,995 \cdot (CO_2D)}{BET}} + NUC \cdot 1,608 \cdot 100 \right) \quad (12.94)$$

12.8.7.3.7.7 Pentru formula generală pentru corecția $KWEXH = K_{w,r}$ uscat/umed sunt posibile diferite versiuni.

12.8.7.3.7.8 Formulele (12-92) și (12-93), precum și formula (12.12) din acest Cod nu sunt absolut exacte, deoarece corecția pentru apa de ardere și pentru apa din aerul de admisie nu sunt complementare.

12.8.7.3.7.9 Formula exactă este:

$$K_{w,r,3} = \frac{GFUEL + GAIRD \cdot \frac{GFUEL \cdot ALF \cdot MW_{H_2O}}{200 \cdot AW_H} \cdot \frac{RhoEXHDAC}{Rho_{H_2O}}}{GFUEL + GAIRD + \frac{Ha \cdot GAIRD}{1000} \cdot \frac{RhoEXH DAC}{Rho_{MO}}} \quad (12.95)$$

unde:

$RhoEXH DAC$ = densitatea gazelor arse de evacuare cu ardere cu aer uscat ($kg/stdm^3$)

Rho_{H_2O} = densitatea vaporilor de apă ($kg/stdm^3$) MW_{H_2O}/MV_{H_2O}

12.8.7.3.7.10 O comparație între formula (12.12) din acest Cod și formula (12-94) arată foarte mici diferențe ale factorului $K_{w,r}$, așa cum se vede în următoarele exemple:

Umiditate Abateri de la factorul $K_{w,r}$ (comparativ cu (12-94))

g/kg

%

10,0

0,2

25,0

0,5

12.8.7.3.7.11 Formula dată la (12-94) nu este foarte practică pentru că în multe cazuri $RhoEXH DAC$ nu este cunoscut și pentru că utilizarea factorului de combustibil specific F_{FH} este exclus. Deci, se vor utiliza formulele mult mai practice (12.9), (12.10), (12.12) și (12.13) din acest Cod: erorile rezultate din <0,2% (în cele mai multe cazuri) pot fi neglijate.

12.8.7.3.8 Calcularea factorilor de combustibil specifici FFD și FFW în cadrul calculului debitului gazelor arse de evacuare

$$FFD = \frac{V_{EXHD} - V_{AIRD}}{GFUEL} \quad (12.96)$$

$$FFW = \frac{V_{EXHW} - V_{AIRW}}{GFUEL} \quad (12.97)$$

12.8.7.3.8.1 Cu ajutorul următoarelor formule:

$$V_{EXHD} = V_{H_2O} + V_{CO_2} + V_{O_2} + V_{N_2} + V_{O_2} \quad (12.98)$$

$$V_{EXHD} = V_{CO2} + V_{O2} + V_{N2} + V_{O2} \quad (12.99)$$

și, conform formulelor (12-82), (12.83), (12.85), (12.86) și (12.87) factorii pot fi dați de formulele (12.99) și respectiv (12.101):

$$FFW = \frac{ALF}{100} \cdot \left(\frac{MVH2O}{2 \cdot AWH} - \frac{MVO2}{4 \cdot AWH} \right) + \frac{BET}{100} \cdot \frac{MCO2}{AWC} - \frac{MCO2}{AWC} + \frac{GAM}{100} \cdot \left(\frac{MVS02}{A \cdot AWS} - \frac{MVO2}{AWS} \right) + \frac{DEL}{100} \cdot \left(\frac{MVN2}{MWN2} \right) + \frac{EPS}{100} \cdot \left(\frac{MVO2}{MWN2} \right) \quad (12.100)$$

12.8.7.3.8.2. Aceeași formulă cu numerele:

$$FFW = 0,05557 \cdot ALF - 0,00011 \cdot BET - 0,00017 \cdot GAM + 0,0080055 \cdot DEL + 40,006998 \cdot EPS \quad (12.101)$$

12.8.7.3.8.3 Formula pentru FFD este foarte asemănătoare; singura diferență este la coeficientul ALF pentru apă:

$$FFD = \frac{ALF}{100} \cdot \left(\frac{MVO2}{4 \cdot AWH} \right) + \frac{BET}{100} \cdot \frac{MCO2}{AWC} - \frac{MCO2}{AWC} + \frac{GAM}{100} \cdot \left(\frac{MVS02}{A \cdot AWS} - \frac{MVO2}{AWS} \right) + \frac{DEL}{100} \cdot \left(\frac{MVN2}{MWN2} \right) + \frac{EPS}{100} \cdot \left(\frac{MVO2}{MWN2} \right) \quad (P \ 102)$$

12.8.7.3.8.4 Aceeași formula cu numerele:

$$FFW = 0,05564 \cdot ALF - 0,00011 \cdot BET - 0,00017 \cdot GAM + 0,0080055 \cdot DEL + 40,006998 \cdot EPS \quad (12.103)$$

12.8.7.3.9 Derivația factorului F_{FH} pentru combustibilul specific

12.8.7.3.9.1 Se folosește la calcularea concentrației umede din concentrația uscată.

$$conc(umedă) = K_{w,l} \cdot conc(uscată) \quad (12.104)$$

Notă: în următoarea derivație, simbolurile pentru variabilele indicate diferă de simbolurile date în abrevieri pentru că denumirile variabilelor din programul **menționat**, de exemplu: $K_{w,l} = K_{wexh} = KWEXH$.

12.8.7.3.9.2 Derivația de FFH consideră aerul de admisie uscat deoarece formula (12.65) include apa în aerul de admisie separat.

$$KWEXH = \left(1 - FFH \cdot \frac{GFUEL}{GAK} \right) \quad (12.105)$$

și unde:

$$conc(umed) \cdot V_{EXHW} = conc(uscat) \cdot V_{EXHD} \quad (12.106)$$

(Compensare de volume)

$$\begin{aligned}
 KW_{EXH} &= \frac{V_{EXHD}}{V_{EXHW}} = \frac{V_{EXHW} - V_{H2O}}{V_{EXHW}} = 1 - \frac{V_{H2O}}{V_{EXHW}} = \\
 &= 1 - \frac{\frac{GH_{2O}}{100} \cdot EXHDENS}{\frac{M_{WH2O}}{M_{H2O}} \cdot GEXHW}
 \end{aligned} \quad (12.107)$$

și unde:

$$GH_{2O} = \frac{M_{WH2O}}{2 \cdot AHW} \cdot GFUEL \cdot ALF \cdot 10 \quad (12.108)$$

Și

$$GEXHW = G_{AIRW} + GFUEL \quad (12.109)$$

$$\begin{aligned}
 KW_{EXH} &= 1 - \frac{GFUEL \cdot ALF \cdot EXHDENS \cdot M_{H2O}}{200 \cdot AHW \cdot (G_{AIRW} + GFUEL)} = \\
 &= 1 - \frac{GFUEL \cdot ALF \cdot EXHDENS \cdot M_{H2O}}{200 \cdot AHW \cdot \left(1 + \frac{GFUEL}{G_{AIRW}}\right)}
 \end{aligned} \quad (12.110)$$

$$F_{FH} = FFH = - \frac{ALF \cdot EXHDENS \cdot M_{H2O}}{200 \cdot AHW \cdot \left(1 + \frac{GFUEL}{G_{AIRW}}\right)} \quad (12.111)$$

12.8.7.3.9.3 Formula universală, aplicabilă tuturor combustibililor (cu densitatea cunoscută a gazelor arse de evacuare), poate fi simplificată pentru combustibilii diesel astfel:

$$F_{FH} = ALF \cdot 0,1448 \cdot \frac{1}{1 + \frac{GFUEL}{G_{AIRW}}} \quad (12.112)$$

12.8.8. Lista de verificare pentru metoda de verificare a parametrilor motorului

12.8.8.1. Pentru unii parametri există diferite posibilități de inspecție. Oricare din metodele menționate mai jos pot fi suficiente pentru a arăta **conformitatea**. Cu aprobarea Administrației, operatorul de nave, sprijinit de producătorul de motoare, poate alege metoda de utilizat.

1. parametrul "reglarea injectiei"

1. poziția camelor de combustibil (came separate sau ale arborelui cu came dacă aceste came sunt reglabile),
- opțional (depinde de construcție): poziția unei legături între came și acționarea pompei.
- opțional pentru pompe de măsurat cu manșon: index VIT și poziția camelor sau poziția capului cilindric al pompei, sau
- alt dispozitiv de măsurat cu manșon;
2. începerea alimentării pentru anumite poziții ale cremalierii (măsurarea presiunii dinamice);

3. deschiderea supapei de injecție pentru **anumite** puncte de încărcare, de ex., utilizarea unui **senzor Hall** sau senzorul de accelerație;
4. valori de operare dependente de sarcina pentru presiunea de **alimentare** cu aer, presiunea maximă de ardere, temperatura aerului de încărcare, temperatura gazelor arse de evacuare contrar graficelor ce arată corelarea cu NO_x . Suplimentar, se va asigura că raportul de compresie corespunde valorii inițiale de certificare (vezi 12.8.1.7):

Notă: Pentru evaluarea prezentei temporizări este necesar să se cunoască limitele admisibile pentru respectarea limitelor de emanație sau chiar graficele ce arată **influența** reglării privind NO_x , funcție de rezultatele măsurătorilor de NO_x de la încercarea pe stand.

2.parametrul "injector"

1. **specificație** și număr de identificare componentă

3.parametrul "pompa de injecție"

1. număr identificare componentă (care specifică construcția **plonjorului** și capului cilindrului)

4.parametrul "camă de combustibil"

1. număr de identificare componentă (care specifică forma)
2. începerea și terminarea alimentării pentru o anumită poziție a **cremalierii** (măsurarea presiunii dinamice)

5.parametrul "presiune de injecție"

1. numai pentru instalațiile normale cu țevi: presiune dependentă de sarcina din țevi, graficul arată corelarea cu NO_x .

6.parametrul "camera de ardere"

1. numerele de identificare a componentelor pentru **chiulasa** și fundul de piston

• 7.parametrul "raportul de compresie"

1. verificarea spațiului existent
2. verificarea tije pistonului și a bielei

8.parametrul "tip și construcția turbosuflantei"

1. model și specificație (**numerele** de identificare)
2. presiunea aerului de alimentare dependentă de **sarcină**, graficul arată corelarea cu NO_x

9.parametrul "răcitorul de aer de încărcare, **preîncălzitorul** de aer de încărcare"

1. model și specificație
2. **temperatura** aerului de încărcare dependentă de sarcină corectată la condițiile de **referință**, graficul arată corelarea cu NO_x

10.parametrul "distribuție cu supapă" (doar pentru motoare în 4 timpi cu **închiderea** supapei de **admisie** înaintea **BDC**)

1. poziția camelor
2. verificarea temporizării existente

11.parametrul "injecție cu apă" (pentru evaluare: graficul arată influența **privind** NO_x)

1. consumul de apă dependent de sarcină (control)

12.parametrul "combustibil **emulsionat**" (pentru evaluare: graficul arată influența privind NO_x)

1. poziția cremalierii dependentă de sarcină (control)
2. consumul de apă dependent de sarcină (control)

13.parametrul "recircularea gazelor arse de evacuare" (pentru evaluare: graficul arată influența privind NO_x)

1. gaze arse de evacuare **recirculate** din debitul masic dependente de **sarcină** (control)
2. concentrație de **CO₂** din amestecul de aer curat și gaze arse de evacuare, și anume, din "**aerul uzat**" (control)
3. concentrație de **O₂** din "**aerul uzat**" (control)

14. parametrul "reducere catalitică selectivă" (SCR)

1. debitul masic dependent de sarcină al agentului de reducere (control) și verificările periodice locale privind concentrațiile de **NO_x** după SCR (pentru evaluare, graficul arată influența privind **NO_x**)

12.8.8.2. Pentru motoarele cu "**reducere** catalitică selectivă" (SCR) fără sistem de reglaj cu **reacție**, măsurătoarea opțională de **NO_x** (verificările periodice locale sau controlul) este utilă pentru a arata că eficiența SCR mai corespunde încă stării menționate în certificare indiferent dacă condițiile ambiante sau calitatea combustibilului duc la diferite emanații impure.

Bibliografie

- | | |
|---------|---|
| [1] *** | Technical code on control of emission of nitrogen oxides from Marine Diesel Engines |
| [2] *** | Convenția Internațională pentru prevenirea poluării de la nave
MARPOL 73/78; Anexa VI |
| [3] *** | Prevederile Registrului Naval Român
1998 |